

International Nonproprietary Names for Pharmaceutical Substances (INN)

Notice is hereby given that, in accordance with article 3 of the Procedure for the Selection of Recommended International Nonproprietary Names for Pharmaceutical Substances, the names given in the list on the following pages are under consideration by the World Health Organization as Proposed International Nonproprietary Names. The inclusion of a name in the lists of Proposed International Nonproprietary Names does not imply any recommendation of the use of the substance in medicine or pharmacy.

Lists of Proposed (1–117) and Recommended (1–78) International Nonproprietary Names can be found in *Cumulative List No. 17, 2017* (available in CD-ROM only). The statements indicating action and use are based largely on information supplied by the manufacturer. **This information is merely meant to provide an indication of the potential use of new substances at the time they are accorded Proposed International Nonproprietary Names.** WHO is not in a position either to uphold these statements or to comment on the efficacy of the action claimed. Because of their provisional nature, these descriptors will neither be revised **nor included in the Cumulative Lists of INNs.**

Dénominations communes internationales des Substances pharmaceutiques (DCI)

Il est notifié que, conformément aux dispositions de l'article 3 de la Procédure à suivre en vue du choix de Dénominations communes internationales recommandées pour les Substances pharmaceutiques les dénominations ci-dessous sont mises à l'étude par l'Organisation mondiale de la Santé en tant que dénominations communes internationales proposées. L'inclusion d'une dénomination dans les listes de DCI proposées n'implique aucune recommandation en vue de l'utilisation de la substance correspondante en médecine ou en pharmacie.

On trouvera d'autres listes de Dénominations communes internationales proposées (1–117) et recommandées (1–78) dans la *Liste récapitulative No. 17, 2017* (disponible sur CD-ROM seulement). Les mentions indiquant les propriétés et les indications des substances sont fondées sur les renseignements communiqués par le fabricant. **Elles ne visent qu'à donner une idée de l'utilisation potentielle des nouvelles substances au moment où elles sont l'objet de propositions de DCI.** L'OMS n'est pas en mesure de confirmer ces déclarations ni de faire de commentaires sur l'efficacité du mode d'action ainsi décrit. En raison de leur caractère provisoire, ces informations **ne figureront pas dans les listes récapitulatives de DCI.**

Denominaciones Comunes Internacionales para las Sustancias Farmacéuticas (DCI)

De conformidad con lo que dispone el párrafo 3 del "Procedimiento de Selección de Denominaciones Comunes Internacionales Recomendadas para las Sustancias Farmacéuticas", se comunica por el presente anuncio que las denominaciones detalladas en las páginas siguientes están sometidas a estudio por la Organización Mundial de La Salud como Denominaciones Comunes Internacionales

Propuestas. La inclusión de una denominación en las listas de las DCI Propuestas no supone recomendación alguna en favor del empleo de la sustancia respectiva en medicina o en farmacia.

Las listas de Denominaciones Comunes Internacionales Propuestas (1–117) y Recomendadas (1–78) se encuentran reunidas en *Cumulative List No. 17, 2017* (disponible sólo en CD-ROM). Las indicaciones sobre acción y uso que aparecen se basan principalmente en la información facilitada por los fabricantes. **Esta información tiene por objeto dar una idea únicamente de las posibilidades de aplicación de las nuevas sustancias a las que se asigna una DCI Propuesta.** La OMS no está facultada para respaldar esas indicaciones ni para formular comentarios sobre la eficacia de la acción que se atribuye al producto. Debido a su carácter provisional, esos datos descriptivos **no deben incluirse en las listas recapitulativas de DCI.**

Proposed International Nonproprietary Names: List 125

Comments on, or formal objections to, the proposed names may be forwarded by any person to the INN Programme of the World Health Organization within four months of the date of their publication in *WHO Drug Information*, i.e., for **List 125 of Proposed INN not later than 29 November 2021.**

Publication date: 30/07/2021

Dénominations communes internationales proposées: Liste 125

Des observations ou des objections formelles à l'égard des dénominations proposées peuvent être adressées par toute personne au Programme des Dénominations communes internationales de l'Organisation mondiale de la Santé dans un délai de quatre mois à compter de la date de leur publication dans *WHO Drug Information*, c'est à dire pour la **Liste 125 de DCI Proposées le 29 novembre 2021 au plus tard. Date de publication : 30/07/2021**

Denominaciones Comunes Internacionales Propuestas: Lista 125

Cualquier persona puede dirigir observaciones u objeciones respecto de las denominaciones propuestas, al Programa de Comunes Internacionales de la Organización Mundial de la Salud, en un plazo de cuatro meses, contados desde la fecha de su publicación en *WHO Drug Information*, es decir, para la **Lista 125 de DCI Propuestas el 29 de noviembre de 2021 a más tardar.**

Fecha de publicación: 30/07/2021

<i>Proposed INN (Latin, English, French, Spanish)</i>	<i>Chemical name or description: Action and use: Molecular formula Chemical Abstracts Service (CAS) registry number: Graphic formula</i>
<i>DCI Proposée</i>	<i>Nom chimique ou description: Propriétés et indications: Formule brute Numéro dans le registre du CAS: Formule développée</i>
<i>DCI Propuesta</i>	<i>Nombre químico o descripción: Acción y uso: Fórmula molecular Número de registro del CAS: Fórmula desarrollada</i>

acmucabtagenum autoleucelum

acmucabtagene autoleucel

autologous T cells obtained from peripheral blood mononuclear cells by leukapheresis, transduced with a self-inactivating, non-replicating lentiviral vector, encoding a chimeric antigen receptor (CAR) targeting B-lymphocyte antigen CD19 (also known as B-Lymphocyte surface antigen B4) under control of the murine stem cell virus promoter. The transgene is a T cell antigen coupler (TAC) which has three components:

	(i) an extracellular antigen-binding domain (anti-human CD19; FMC63 single chain variable fragment (scFv)), (ii) an extracellular T cell receptor (TCR) recruitment domain (anti-human CD3 ϵ ; UCHT1 scFv [Y177T]), and (iii) a membrane-ancre co-receptor domain that consists of the transmembrane and cytoplasmic domains of CD4. The vector genome is flanked by 5' and 3' long terminal repeats (LTRs) and contains also a ψ packaging signal, a Rev response element (RRE), a central polypurine tract (cPPT) sequence and the Woodchuck hepatitis virus post-transcriptional regulatory element (WPRE). The leukapheresis material is enriched for CD4/CD8 T cells by positive immunoselection. T cells are cultured in the presence serum-free medium containing IL-2 and IL-7, and activated using a CD3/CD28/CD2 soluble activator. The T cells (>70%, generally $\geq 99\%$) are predominantly CD4 and CD8 T cells, with >10% viable CD3+TAC+ cells. <i>cell-based gene therapy (antineoplastic)</i>
acmucabtagène autoleucel	lymphocytes T autologues obtenus à partir de cellules mononucléaires de sang périphérique par leucaphérèse, transduits avec un vecteur lentiviral auto-inactivant, non répliquant, codant un récepteur antigénique chimérique (CAR) ciblant l'antigène des lymphocytes B CD19 (également connu comme antigène de surface des lymphocytes B B4) sous le contrôle du promoteur du virus des cellules souches murines. Le transgène est un coupleur d'antigène de lymphocyte T (TAC) qui a trois composants: (i) un domaine extracellulaire de liaison à l'antigène (anti-CD19 humain; fragment variable à chaîne unique (scFv) FMC63), (ii) un domaine extracellulaire de recrutement du récepteur des lymphocytes T (TCR) (anti-CD3 ϵ humain; UCHT1 scFv [Y177T]), et (iii) un domaine de corécepteur d'ancrage à la membrane, constitué des domaines transmembranaires et cytoplasmiques du CD4. Le génome du vecteur est flanqué de longues répétitions terminales (LTRs) en 5' et 3' et contient également un signal d'encapsulation ψ , un élément de réponse Rev (RRE), une séquence du tractus polypurine central (cPPT) et l'élément régulateur post-transcriptionnel du virus de l'hépatite de Woodchuck (WPRE). Le matériel de leucaphérèse est enrichi en lymphocytes T CD4/CD8 par immuno-sélection positive. Les lymphocytes T sont cultivés en présence de milieu sans sérum contenant de l'IL-2 et de l'IL-7, et activés à l'aide d'un activateur soluble CD3/CD28/CD2. Les lymphocytes T (>70%, généralement $\geq 99\%$) sont principalement des lymphocytes T CD4 et CD8, avec >10% de cellules CD3+TAC+ viables. <i>thérapie génique à base de cellules (antinéoplasique)</i>
acmucabtagén autoleucel	linfocitos T autólogos obtenidos a partir de células mononucleares de sang periférica mediante leucaféresis, transducidos con un vector lentiviral auto inactivante, no replicativo, que codifica para un receptor de antígenos químérico (CAR) dirigido al antígeno de linfocitos CD19 (también conocido como antígeno de superficie de linfocitos B, B4) bajo el control del promotor del virus de células madre murino. El transgen es un acoplador de antígeno de linfocitos T (TAC) que tiene tres componentes: (i) un dominio extracelular de unión a antígeno (anti-CD19 humano; fragmento de cadena variable simple (scFv) de FMC63), (ii) un dominio extracelular de reclutamiento del receptor de

linfocitos T (TCR) (anti-CD3ε humano; UCHT1 scFC [Y177T]), y (iii) un dominio correceptor de anclaje a la membrana que consiste en los dominios transmembrana y citoplásmico de CD4. El genoma del vector está flanqueado por repeticiones terminales largas (LTRs) en 5' y 3' y también contiene una señal de empaquetamiento ψ, un elemento de respuesta Rev (RRE), un tracto de poli-purina central (cPPT) y el elemento regulador post-transcripcional del virus de la hepatitis de la marmota (WPRE). El material de leucofréresis se enriquece en linfocitos T CD4/CD8 mediante inmunoselección positiva. Los linfocitos T se cultivan en presencia de medio sin suero que contiene IL-2 y IL-7 y se activan usando el activador soluble CD3/CD28/CD2. Los linfocitos T (>70%, generalmente ≥99%) son predominantemente linfocitos T CD4 y CD8, con >10% de células CD3+TAC+ viables.

terapia génica basada en células (antineoplásico)

adintrevimabum #

adintrevimab

immunoglobulin G1-lambda2, anti-[severe acute respiratory syndrome coronavirus 2 (SARS-CoV-2) spike (S) glycoprotein, receptor binding domain (RBD)], *Homo sapiens* monoclonal antibody; gamma1 heavy chain *Homo sapiens* (1-454) [VH (*Homo sapiens* IGHV3-21*01 (88.8%) -(IGHD) -IGHJ4*01 (92.9%), CDR-IMGT [8.8.17] (26-33.51-58.97-113)) (1-124) -*Homo sapiens* IGHG1*03, G1m3, nG1m1, G1v24 CH3 L107, S114 (CH1 R120 (221) (125-222), hinge 1-15 (223-237), CH2 (238-347), CH3 E12 (363), M14 (365), M107>L (435), N114>A (441) (348-452), CHS (453-454)) (125-453)], (227-217')-disulfide with lambda2 light chain *Homo sapiens* (1'-218') [V-LAMBDA (*Homo sapiens* IGLV1-40*01 (95.9%) -IGLJ1*01 (91.7%), CDR-IMGT [9.3.12] (26-34.52-54.91-102)) (1'-112') -*Homo sapiens* IGLC2*01 (100%) (113'-218')]; dimer (233-233":236-236")-bisdisulfide, produced in Chinese hamster ovary (CHO) cells, glycoform alfa antiviral

adintrévimab

immunoglobuline G1-lambda2, anti-[domaine de liaison au récepteur (RBD) de la glycoprotéine spike (S) du coronavirus 2 du syndrome respiratoire aigu sévère (SARS-CoV-2)], anticorps monoclonal *Homo sapiens*; chaîne lourde gamma1 *Homo sapiens* (1-454) [VH (*Homo sapiens* IGHV3-21*01 (88.8%) -(IGHD) -IGHJ4*01 (92.9%), CDR-IMGT [8.8.17] (26-33.51-58.97-113)) (1-124) -*Homo sapiens* IGHG1*03, G1m3, nG1m1, G1v24 CH3 L107, S114 (CH1 R120 (221) (125-222), charnière 1-15 (223-237), CH2 (238-347), CH3 E12 (363), M14 (365), M107>L (435), N114>A (441) (348-452), CHS (453-454)) (125-453)], (227-217')-disulfure avec la chaîne légère lambda2 *Homo sapiens* (1'-218') [V-LAMBDA (*Homo sapiens* IGLV1-40*01 (95.9%) -IGLJ1*01 (91.7%), CDR-IMGT [9.3.12] (26-34.52-54.91-102)) (1'-112') -*Homo sapiens* IGLC2*01 (100%) (113'-218')]; dimère (233-233":236-236")-bisdisulfure, produit dans des cellules ovarianes de hamster chinois (CHO), glycoforme alfa antiviral

adintrevimab inmunoglobulina G1-lambda2, anti-[dominio de unión al receptor (RBD) de la glicoproteína spike (S) del coronavirus 2 del síndrome respiratorio agudo severo (SARS-CoV-2)], anticuerpo monoclonal *Homo sapiens*; cadena pesada gamma1 *Homo sapiens* (1-454) [VH (*Homo sapiens* IGHV3-21*01 (88.8%) -(IGHD) -IGHJ4*01 (92.9%), CDR-IMGT [8.8.17] (26-33.51-58.97-113)) (1-124) -*Homo sapiens*IGHG1*03, G1m3, nG1m1, G1v24 CH3 L107, S114 (CH1 R120 (221) (125-222), bisagra 1-15 (223-237), CH2 (238-347), CH3 E12 (363), M14 (365), M107>L (435), N114>A (441) (348-452), CHS (453-454)) (125-453)], (227-217)-disulfuro con la cadena ligera lambda2 *Homo sapiens* (1'-218') [V-LAMBDA (*Homo sapiens* IGLV1-40*01 (95.9%) -IGLJ1*01 (91.7%), CDR-IMGT [9.3.12] (26-34.52-54.91-102)) (1'-112') -*Homo sapiens* IGLC2*01 (100%) (113'-218')]; dímero (233-233':236-236")-bisdisulfuro, producido en las células ováricas de hámster chino (CHO), forma glicosilada alfa
antiviral

2516243-54-0

Heavy chain / Chaîne lourde / Cadena pesada

```

EVQLVESGGV LVKPGGSILRL SCAASGFTFS SYMMNWRQAA PGKGLEWVSS 50
ISEDGYSTYY PDSLKGRTTI SRDSAKNSLY LQMNSLRADD TAVYYCARDF 100
SGHTAWAGTG FEYWQQGTLV TVSSASTKGP SVFPLAPSSK STSGGTAALG 150
CLVKDVFPEP VTVSNNSGAL TSGVHTTPAV LQSSGLYSL SVTVPSSSL 200
GTQTYICNVN HKPSNTKVDK RVEPKSCDKT HTCPPCPAPE LLGGPSVFLF 250
PPKPKDTLMV SRTPEVTCVV DVDSHEDPEV KFNWYDVGE VHNAKTKPKE 300
EQYNSTYRVV SVLTVLHQDW LNGKEYRKVV SNKALPAIE KTISRAKGQP 350
REPVQVTLPP SREEMTKNQV SLTCLVKGFY PSDIAWEWS NQCPENNYKT 400
TPPVLDSDGS FFLYSKLTVK KSRWQQNVF SCSVLHEALTH AHYTQKSLSL 450
SPGK 454

```

Light chain / Chaîne légère / Cadena ligera

```

QSVLTQPSPV SGAPGQRITI SCTGSSSNIG AGYDVHWYQQ LPGTAPKLLI 50
YGSSSRNSGV PDRFGSKSG TSASLAITGL QAEDEADYYC QSYDSSLQL 100
YTFTGTTKVT VLQQPKAAAPS VTLFPSSSE LQANKATLVC LISDFYPGAV 150
TVANKADSSP VKAGVETTTP SKQSNNKYAA SSYLSLTPEQ WKSHRSYSCQ 200
TTPVQLSDGS FFLYSKLTVK KSRWQQNVF SCSVLHEALTH AHYTQKSLSL 218

```

Post-translational modifications

Disulfid bridges location / Position des ponts disulfure / Posiciones de los puentes disulfuro
 Intra-H (C23-C104) 22-96 151-207 268-328 374-432
 22"-96" 151"-207" 268"-328" 374"-432"
 Intra-L (C23-C104) 22-90° 140-199°
 22"-90" 140"-199"
 Inter-H-L (h 5-CL 126) 227-217 227"-217"
 Inter-H-H (h 11, h 14) 233-233" 236-236"

N-terminal glutaminyl cyclization / Cyclisation du glutaminy N-terminal / Ciclación del glutamínico N-terminal
 L VL Q1> pyroglutamyl (pe, 5-oxoprolyl): 1', 1"

N-glycosylation sites / Sites de N-glycosylation / Posiciones de N-glicosilación
 H CH2 N84.4: 304, 304"
 Fucosylated complex bi-antennary CHO-type glycans / glycanes de type CHO bi-antennaires complexes fucosylés / glicanos de tipo CHO biantenarios complejos fucosilados.

C-terminal lysine clipping / Coupure de la lysine C-terminale / Recorte de lisina C-terminal
 H CHS K2: 454, 454"

adrulipasum alfa #**adrulipase alfa**

Yarrowia lipolytica triacylglycerol lipase 2 (acid-resistant glycosylated lipase, lipase 2), produced in *Yarrowia lipolytica* yeast cells, glycoform alfa;
 triacylglycerol lipase 2 of the yeast *Yarrowia lipolytica* (acid-resistant glycosylated lipase, lipase 2, Lip2, PDB 3O0D, EC 3.1.1.3), produced in recombinant *Yarrowia lipolytica* yeast cells, glycoform alfa
enzyme replacement therapy

adrulipase alfa

Yarrowia lipolytica triacylglycérol lipase 2 (lipase glycosylée résistante aux acides, lipase 2), produite dans les cellules de levure de *Yarrowia lipolytica*, glicoforme alfa;
triacylglycérol lipase 2 de la levure Yarrowia lipolytica (lipase glycosylée résistante aux acides, lipase 2, Lip2, PDB 3O0D, EC 3.1.1.3), produite dans des cellules de levure recombinante *Yarrowia lipolytica*, glicoforme alfa *traitement enzymatique substitutif*

adrulipase alfa

Yarrowia lipolytica triacilglicerol lipasa 2 (lipasa glicosilada resistente a los ácidos, lipasa 2), producida en células de levadura de *Yarrowia lipolytica*, glicoforma alfa;
triacilglicerol lipasa 2 de la levadura Yarrowia lipolytica (lipasa glicosilada resistente a los ácidos, lipasa 2, Lip2, PDB 3O0D, EC 3.1.1.3), producida en células de levadura recombinante *Yarrowia lipolytica*, glicoforma alfa *tratamiento enzimático de sustitución*

2488626-93-1

Sequence / Séquence / Secuencia
 VYTSTETSHI DQEYSNNFEK YARLANIGYC VGPGTGKIFKE FNCGLQCAHF 50
 PNVELIEEFH DPRLLIFDWSG YLAUDHASKQ IYLVIRGTHS LEDVITDIRI 100
 MQAPLTNFDL AANISSTATC DDCLVHNGKQI QSYNNNTYNQI GPKLDSVIEQ 150
 YPDYQIAVTG HSLGGAAALL FGINLKVNGH DPLVVTLGQF IVGNAGFANW 200
 VDKLFFFQEN PDVSXVSKDR KLYRITHRGD IVPQVPPWDG YQHCSGEVFI 250
 DWPLIHPPPLS NVVMCQGQSN KQCSAGNTLL QQVNIGNHL QYFVTEGVCG 300
 I 301

Post-translational modifications

Disulfide bridges location / Position des ponts disulfure / Posición del puentes disulfuro
 30-299, 43-47, 120-123, 265-273

Glycosylation sites / Sites de glycosylation / Posiciones de glicosilación
 N113, N134 -(GlcNAc)_x-Man_y (x = 8-12)

alogabatum

alogabat

6-{[5-methyl-3-(6-methylpyridin-3-yl)-1,2-oxazol-4-yl]methoxy}-N-(oxan-4-yl)pyridazine-3-carboxamide
GABA_A receptor positive allosteric modulator

alogabat

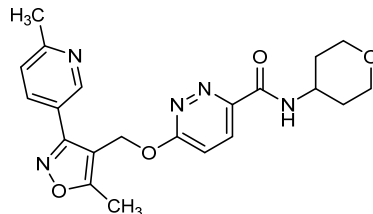
6-{[5-méthyl-3-(6-méthylpyridin-3-yl)-1,2-oxazol-4-yl]méthoxy}-N-(oxan-4-yl)pyridazine-3-carboxamide
modulateur allostérique positif du récepteur GABA_A

alogabat

6-{[5-metil-3-(6-metilpiridin-3-il)-1,2-oxazol-4-il]metoxi}-N-(oxan-4-il)piridazina-3-carboxamida
modulador alostérico positivo del receptor GABA_A

C₂₁H₂₃N₅O₄

2230009-48-8



alrefimotidum

alrefimotide

telomerase reverse transcriptase (human TERT, hTERT, EC:2.7.7.49) (660-689)-peptide:
 L-alanyl-L-leucyl-L-phenylalanyl-L-seryl-L-valyl-L-leucyl-L-asparaginyl-L-tyrosyl-L- α -glutamyl-L-arginyl-L-alanyl-L-arginyl-L-arginyl-L-prolylglycyl-L-leucyl-L-leucylglycyl-L-alanyl-L-seryl-L-valyl-L-leucylglycyl-L-leucyl-L- α -aspartyl-L- α -aspartyl-L-isoleucyl-L-histidyl-L-arginyl-L-alanine

immunological agent for active immunization

alréfimotide

(660-689)-peptide de la transcriptase inverse de la télomérase (TERT humaine, hTERT, EC:2.7.7.49):
 L-alanyl-L-leucyl-L-phénylalanyl-L-séryl-L-valyl-L-leucyl-L-asparaginyl-L-tyrosyl-L- α -glutamyl-L-arginyl-L-alanyl-L-arginyl-L-arginyl-L-prolylglycyl-L-leucyl-L-leucylglycyl-L-alanyl-L-séryl-L-valyl-L-leucylglycyl-L-leucyl-L- α -aspartyl-L- α -aspartyl-L-isoleucyl-L-histidyl-L-arginyl-L-alanine

agent immunologique d'immunisation active

alrefimotida

(660-689)-péptido de la telomerasa transcriptasa inversa (TERT humana, hTERT, EC:2.7.7.49):
 L-alanil-L-leucil-L-fenilalanil-L-seril-L-valil-L-leucil-L-asparaginil-L-tirosil-L- α -glutamil-L-arginil-L-alanil-L-arginil-L-arginil-L-proliglicil-L-leucil-L-leuciglicil-L-alanil-L-seril-L-valil-L-leuciglicil-L-leucil-L- α -aspartil-L- α -aspartil-L-isoleucil-L-histidil-L-arginil-L-alanina

agente inmunológico para inmunización activa

C₁₄₆H₂₃₉N₄₅O₄₁

1331848-79-3

ALFSVLNYER ARRPGLLGAS VLGLDDIHRA 30

alrizomadlinum

alrizomadlin

4-[(3'R,4'S,5'R)-6"-chloro-4'-(3-chloro-2-fluorophenyl)-1'-ethyl-2"-oxo-1",2"-dihydrodispiro[cyclohexane-1,2"-pyrrolidine-3',3"-indole]-5'-carboxamido]bicyclo[2.2.2]octane-1-carboxylic acid
E3 ubiquitin-protein ligase Mdm2 (Hdm2) inhibitor

alrizomadline

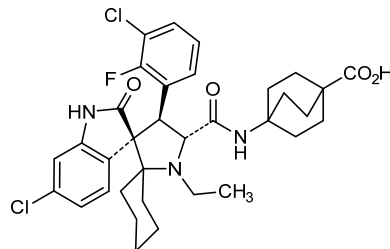
acide 4-[(3'R,4'S,5'R)-6"-chloro-4'-(3-chloro-2-fluorophényl)-1'-éthyl-2"-oxo-1",2"-dihydrodispiro[cyclohexane-1,2"-pyrrolidine-3',3"-indole]-5'-carboxamido]bicyclo[2.2.2]octane-1-carboxylique
inhibiteur de l'ubiquitine-protéine ligase E3 Mdm2 (Hdm2)

alrizomadlina

ácido 4-[(3'R,4'S,5'R)-6"-cloro-4'-(3-cloro-2-fluorofenil)-1'-etil-2"-oxo-1",2"-dihidrodispiro[ciclohexano-1,2"-pirrolidina-3',3"-indol]-5'-carboxamido]biciclo[2.2.2]octano-1-carboxílico
inhibidor de ubiquitina-proteína ligasa E3 Mdm2 (Hdm2)

C₃₄H₃₈Cl₂FN₃O₄

1818393-16-6

**amdzalisibum**

amdzalisib

4-amino-6-[(1S)-1-(3-chloro-6-phenylimidazo[1,2-b]pyridazin-7-yl)ethyl]amino}pyrimidine-5-carbonitrile
phosphatidylinositol 3-kinase (PI3K) inhibitor, immunomodulator, antineoplastic

amdzalisib

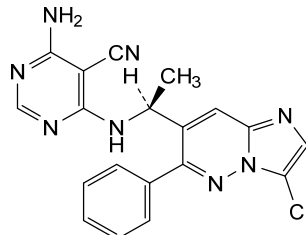
4-amino-6-[(1S)-1-(3-chloro-6-phénylimidazo[1,2-b]pyridazin-7-yl)éthyl]amino}pyrimidine-5-carbonitrile
inhibiteur de phosphatidylinositol 3-kinase (PI3K), immunomodulateur, antinéoplasique

amdzalisib

4-amino-6-[(1S)-1-(3-cloro-6-fenilimidazo[1,2-b]piridazin-7-ii)etil]amino}pirimidina-5-carbonitrilo
inhibidor del fosfatidilinositol 3-kinasa (PI3K), inmunomodulador, antineoplásico

C₁₉H₁₅ClN₈

1894229-05-0

**amubarvimab #**

amubarvimab

immunoglobulin G1-kappa, anti-[severe acute respiratory syndrome coronavirus 2 (SARS-CoV-2) spike (S) glycoprotein, receptor binding domain (RBD)], *Homo sapiens* monoclonal antibody;
 gamma1 heavy chain *Homo sapiens* (1-447) [VH (*Homo sapiens*IGHV3-66*01 (95.9%) -(IGHD) -IGHJ6*01 (100%), CDR-IMGT [8.7.11] (26-33.51-57.96-106)) (1-117) -*Homo sapiens*IGHG1*01, G1m17.1, G1v21 CH2 Y15.1, T16, E18 (CH1 K120 (214) (118-215), hinge 1-15 (216-230), CH2 M15.1>Y (252), S16>T (254), T18>E (256) (231-340), CH3 D12 (356), L14 (358) (341-445), CHS (446-447)) (118-447)], (220-214')-disulfide with kappa light chain *Homo sapiens* (1'-214') [V-KAPPA (*Homo sapiens*IGKV3-20*01 (100%) -IGKJ2*01 (100%), CDR-IMGT [7.3.8] (27-33.51-53.90-97)) (1'-107') -*Homo sapiens* IGKC*01 (100%), Km3 A45.1 (153), V101 (191) (108'-214')]; dimer (226-226":229-229")-bisdisulfide, produced in a Chinese hamster ovary (CHO)-K1 cell line, glycoform alfa *antiviral*

amubarvimab	immunoglobuline G1-kappa, anti-[domaine de liaison au récepteur (RBD) de la glycoprotéine spike (S) du coronavirus 2 du syndrome respiratoire aigu sévère (SARS-CoV-2)], anticorps monoclonal <i>Homo sapiens</i> : chaîne lourde gamma1 <i>Homo sapiens</i> (1-447) [VH (<i>Homo sapiens</i> IGHV3-66*01 (95.9%) -(IGHD) -IGHJ6*01 (100%), CDR-IMGT [8.7.11] (26-33.51-57.96-106)) (1-117) - <i>Homo sapiens</i> IGHG1*01, G1m17,1, G1v21 CH2 Y15.1, T16, E18 (CH1 K120 (214) (118-215), charnière 1-15 (216-230), CH2 M15.1>Y (252), S16>T (254), T18>E (256) (231-340), CH3 D12 (356), L14 (358) (341-445), CHS (446-447)) (118-447)], (220-214')-disulfure avec la chaîne légère kappa <i>Homo sapiens</i> (1'-214') [V-KAPPA (<i>Homo sapiens</i> IGKV3-20*01 (100%) -IGKJ2*01 (100%), CDR-IMGT [7.3.8] (27-33.51-53.90-97)) (1'-107') - <i>Homo sapiens</i> IGKC*01 (100%), Km3 A45.1 (153), V101 (191) (108'-214')]; dimère (226-226":229-229")-bisisulfure, produit dans des cellules ovarianes de hamster chinois (CHO) lignée cellulaire CHO-K1, glycoforme alfa <i>antiviral</i>
amubarvimab	inmunoglobulina G1-kappa, anti-[dominio de unión al receptor (RBD) de la glicoproteína spike (S) del coronavirus 2 del síndrome respiratorio agudo severo (SARS-CoV-2)], anticuerpo monoclonal <i>Homo sapiens</i> : cadena pesada gamma1 <i>Homo sapiens</i> (1-447) [VH (<i>Homo sapiens</i> IGHV3-66*01 (95.9%) -(IGHD) -IGHJ6*01 (100%), CDR-IMGT [8.7.11] (26-33.51-57.96-106)) (1-117) - <i>Homo sapiens</i> IGHG1*01, G1m17,1, G1v21 CH2 Y15.1, T16, E18 (CH1 K120 (214) (118-215), bisagra 1-15 (216-230), CH2 M15.1>Y (252), S16>T (254), T18>E (256) (231-340), CH3 D12 (356), L14 (358) (341-445), CHS (446-447)) (118-447)], (220-214')-disulfuro con la cadena ligera kappa <i>Homo sapiens</i> (1'-214') [V-KAPPA (<i>Homo sapiens</i> IGKV3-20*01 (100%) -IGKJ2*01 (100%), CDR-IMGT [7.3.8] (27-33.51-53.90-97)) (1'-107') - <i>Homo sapiens</i> IGKC*01 (100%), Km3 A45.1 (153), V101 (191) (108'-214')]; dímero (226-226":229-229")-bisisulfuro, producido en las células ováricas de hámster chino (CHO) línea celular CHO-K1, forma glicosilada alfa <i>antiviral</i>

2509447-07-6

Heavy chain / Chaîne lourde / Cadena pesada

EVQLVESGGV 100
 L V Q P G G S R L 100
 S C A A G S I T V S 100
 S N Y M N W V R Q A 100
 P G K G L E W V S L 100
 I Y S G G S T Y Y 100
 D S V K G R F T I S 100
 R D N S K N T I Y L 100
 Q M S N L R A E D T 100
 A V Y H C A R D L V 100
 R V G M D V W G Q Q 100
 T T V T V S S A S T 100
 K G P S V F P L A P 100
 S S K S T S G G T A 100
 A L C L V K D Y F 100
 (26-33.51-57.96-106)) 100
 (1-117) -*Homo sapiens* 100
 I G H G 1 * 0 1 , 100
 G 1 m 1 7 , 1 , 100
 G 1 v 2 1 C H 2 Y 1 5 . 1 , 100
 T 1 6 , E 1 8 (C H 1 K 1 2 0 (2 1 4) (1 1 8 - 2 1 5) , 100
 (2 1 6 - 2 3 0) , C H 2 M 1 5 . 1 > Y (2 5 2) , S 1 6 > T (2 5 4) , T 1 8 > E (2 5 6) (2 3 1 - 3 4 0) , 100
 C H 3 D 1 2 (3 5 6) , L 1 4 (3 5 8) (3 4 1 - 4 4 5) , C H S (4 4 6 - 4 4 7) (1 1 8 - 4 4 7) , 100
 (2 2 0 - 2 2 4 ') -d i s u l f u r e a v e c l a c h a i n e l e g è r e k a p p a *Homo sapiens* (1'-214') [V-KAPPA (*Homo sapiens* I G K V 3 - 2 0 * 0 1 (1 0 0 %) - I G K J 2 * 0 1 (1 0 0 %) , C D R - I M G T [7.3.8] (2 7 - 3 3 . 5 1 - 5 3 . 9 0 - 9 7)) (1'-107') -*Homo sapiens* I G K C * 0 1 (1 0 0 %) , K m 3 A 4 5 . 1 (1 5 3) , V 1 0 1 (1 9 1) (1 0 8 '- 2 1 4 ')] ; d i m è r e (2 2 6 - 2 2 6 " : 2 2 9 - 2 2 9 ") -b i s i s u l f u r o , p r o d u i t d a n s d e s c e l u l l e s o v a r i e n n e s d e h à m s t e r c h i n o i s (C H O) l i g n é e c e l l u l a i r e C H O - K 1 , g l y c o f o r m e a l f a
antiviral

Light chain / Chaîne légère / Cadena ligera

E I V I T Q S P G T 1 0 0
 L S L S P G E R A T 1 0 0
 L S C R A S Q S V S 1 0 0
 S S Y L A W Y Q Q K 1 0 0
 P G Q A P R L L I Y 1 0 0
 I Y S G G S T Y Y 1 0 0
 D S V K G R F T I S 1 0 0
 R D N S K N T I Y L 1 0 0
 Q M S N L R A E D T 1 0 0
 A V Y H C A R D L V 1 0 0
 R V G M D V W G Q Q 1 0 0
 T T V T V S S A S T 1 0 0
 K G P S V F P L A P 1 0 0
 S S K S T S G G T A 1 0 0
 A L C L V K D Y F 1 0 0
 (2 2 0 - 2 2 4 ') -d i s u l f u r e a v e c l a c h a i n e l e g è r e k a p p a *Homo sapiens* (1'-214') [V-KAPPA (*Homo sapiens* I G K V 3 - 2 0 * 0 1 (1 0 0 %) - I G K J 2 * 0 1 (1 0 0 %) , C D R - I M G T [7.3.8] (2 7 - 3 3 . 5 1 - 5 3 . 9 0 - 9 7)) (1'-107') -*Homo sapiens* I G K C * 0 1 (1 0 0 %) , K m 3 A 4 5 . 1 (1 5 3) , V 1 0 1 (1 9 1) (1 0 8 '- 2 1 4 ')] ; d i m è r e (2 2 6 - 2 2 6 " : 2 2 9 - 2 2 9 ") -b i s i s u l f u r o , p r o d u i t d a n s d e s c e l u l l e s o v a r i e n n e s d e h à m s t e r c h i n o i s (C H O) l i g n é e c e l l u l a i r e C H O - K 1 , g l y c o f o r m e a l f a
antiviral

Post-translational modifications

Disulfide bridges location / Position des ponts disulfure / Posiciones de los puentes disulfuro
 Intra-H (C23-C104) 22-95 144-200 261-321 367-425

22"-95" 144"-200" 261"-321" 367"-425"

Intra-L (C23-C104) 23"-89" 134"-194"
 23"-89" 134"-194"

Inter-H-L (h5-CL 126) 220-214" 220"-214"

Inter-H-H (h 11, h 14) 226-226" 229-229"

N-glycosylation sites / Sites de N-glycosylation / Posiciones de N-glicosilación

H CH2 N84.4: 297, 297"

Fucosylated complex bi-antennary CHO-type glycans / glycanes de tipo CHO bi-antennarios complejos fucosilados / glicanos de tipo CHO biantenarios complejos fucosilados.

C-terminal lysine clipping / Coupe de la lysine C-terminale / Recorte de lisina C-terminal
 H CHS K2: 447, 447"

anselamimabum #

anselamimab

immunoglobulin G1-kappa, anti-[*Homo sapiens* immunoglobulin light chain amyloid (AL) fibrils], chimeric monoclonal antibody; gamma1 heavy chain chimeric (1-441) [*Mus musculus* VH (IGHV2-3*01 (92.6%) -(IGHD) -IGHJ4*01 (92.9%), CDR-IMGT [8.7.5] (26-33.51-57.96-100)) (1-111) -*Homo sapiens* IGHG1*03 (100%), G1m3, nG1m1 (CH1 R120 (208) (112-209), hinge 1-15 (210-224), CH2 (225-334), CH3 E12 (350), M14 (352) (335-439), CHS (440-441)) (112-441)], (214-219')-disulfide with kappa light chain chimeric (1'-219') [*Mus musculus* V-KAPPA (IGKV1-110*01 (95.0%) -IGKJ1*01 (100%), CDR-IMGT [11.3.9] (27-37.55-57.94-102)) (1'-112') -*Homo sapiens* IGKC*01 (100%), Km3 A45.1 (158), V101 (196) (113'-219')]; dimer (220-220":223-223")-bisdisulfide, produced in a Chinese hamster ovary (CHO)-DG44 cell line, glycoform alfa *élimination des immunoglobulin light chain amyloid deposits*

ansélamimab

immunoglobuline G1-kappa, anti-[*Homo sapiens* fibrilles amyloïdes de chaînes légères d'immunoglobulines (AL)], anticorps monoclonal chimérique; chaîne lourde gamma1 chimérique (1-441) [*Mus musculus* VH (IGHV2-3*01 (92.6%) -(IGHD) -IGHJ4*01 (92.9%), CDR-IMGT [8.7.5] (26-33.51-57.96-100)) (1-111) -*Homo sapiens* IGHG1*03 (100%), G1m3, nG1m1 (CH1 R120 (208) (112-209), charnière 1-15 (210-224), CH2 (225-334), CH3 E12 (350), M14 (352) (335-439), CHS (440-441)) (112-441)], (214-219')-disulfure avec la chaîne légère kappa chimérique (1'-219') [*Mus musculus* V-KAPPA (IGKV1-110*01 (95.0%) -IGKJ1*01 (100%), CDR-IMGT [11.3.9] (27-37.55-57.94-102)) (1'-112') -*Homo sapiens* IGKC*01 (100%), Km3 A45.1 (158), V101 (196) (113'-219')]; dimère (220-220":223-223")-bisdisulfure, produit dans des cellules ovariennes de hamster chinois (CHO) lignée cellulaire CHO-DG44, glycoforme alfa *élimination des fibrilles amyloïdes de chaînes légères d'immunoglobulines*

anselamimab

inmunoglobulina G1-kappa, anti-[*Homo sapiens* fibrillas amieloides de cadenas ligeras de inmunoglobulinas (AL)], anticuerpo monoclonal químérico; cadena pesada gamma1 químérica (1-441) [*Mus musculus* VH (IGHV2-3*01 (92.6%) -(IGHD) -IGHJ4*01 (92.9%), CDR-IMGT [8.7.5] (26-33.51-57.96-100)) (1-111) -*Homo sapiens* IGHG1*03 (100%), G1m3, nG1m1 (CH1 R120 (208) (112-209), bisagra 1-15 (210-224), CH2 (225-334), CH3 E12 (350), M14 (352) (335-439), CHS (440-441)) (112-441)], (214-219')-disulfuro con la cadena ligera kappa químérica (1'-219') [*Mus musculus* V-KAPPA (IGKV1-110*01 (95.0%) -IGKJ1*01 (100%), CDR-IMGT [11.3.9] (27-37.55-57.94-102)) (1'-112') -*Homo sapiens* IGKC*01 (100%), Km3 A45.1 (158), V101 (196) (113'-219')]; dímero (220-220":223-223")-bisdisulfuro, producido en las células ováricas de hámster chino (CHO) línea celular CHO-DG44, forma glicosilada alfa *eliminación de depósitos de amiloïdes de la cadena ligera de inmunoglobulina*

2414866-63-8

Heavy chain / Chaîne lourde / Cadena pesada
 EVQLVESGGG LVQPGGSLRL SCAAAGITVS SNYMNWRQQA PGKGLEWVSL 50
 IYSGGSTYYA DSVKGRTFIS RDNSKNTLYL QMNSLRAEDT AVYHCARDLV 100
 VYGMWDWQGQ TTVTVSSAST KGPSPVPIAP SSKSTSGGTA ALGCLVKDVF 150
 PEPFTVSWNS GALTSGVHTP FAVLQGSSGLY SLSSVVTVPSS SSLCTQTYIC 200
 NVNNHKPSNTK VDKKVEPKSC DKTHTCPPCPC APELLGGGSV FLFFFPKPKDT 250
 LYITREPETV CVVVVDVSHED PEVKFNWYVD GVEVHNAAKTK FREEQYNSTY 300
 RVVSVLTVIH QDWLNKEYK CKVSNKALPA PIEKTISAK QOPREPQVVT 350
 LPPSRDEITK NQVSLTCLVK GFYFSDIADV WESNGQPENN YKTPPPVLDs 400
 DGSFFLYSKL TVDKSRWQQQ NVFSCSVMHE ALHNHYTQKS LSLSPGK 447

Light chain / Chaîne légère / Cadena ligera
 EIVLTQSPGT LSLSFGERAT LSCRAQSWS SSYLAWYQQK PGQAPRLLIY 50
 GASSRATGIP DREFSGGSQGT DFTLITISRLP PEDFAYVWCQ QYGSSPTFQG 100
 GTKLEIKRTV AAPSVFIFPP SDEQLKSGTA SVVCLNNFY PREAKVQWKV 150
 DNALQSGNSQ ESVTEQDSKD STYSLSSLT LSKADYEKKH VYACEVTHQG 200
 LSSPVTKSFN RGEc 214

Post-translational modifications

Disulfide bridges location / Position des ponts disulfure / Posiciones de los puentes disulfuro
 Intra-H (C23-C104) 22-95 144-200 261-321 367-425
 22"-95" 144"-200" 261"-321" 367"-425"
 Intra-L (C23-C104) 23"-89" 134"-194"
 23"-89" 134"-194"
 Inter-H-L (h 5-CL 126) 220-214" 220"-214"
 Inter-H-H (h 11, h 14) 226-226" 229-229"

N-glycosylation sites / Sites de N-glycosylation / Posiciones de N-glicosilación
 H CH2 N84.4: 297, 297"

Fucosylated complex bi-antennary CHO-type glycans / glycanes de type CHO bi-antennaires complexes fucosylés / glicanos de tipo CHO biantenarios complejos fucosilados.

C-terminal lysine clipping / Coupure de la lysine C-terminale / Recorte de lisina C-terminal
 H CHS K2: 447, 447"

anumigilimabum #
anumigilimab

immunoglobulin G4-kappa, anti-[*Homo sapiens* CSF3R (colony stimulating factor 3 receptor, CD114, colony stimulating factor 3 receptor (granulocyte, GCSFR)], *Homo sapiens* monoclonal antibody; gamma4 heavy chain *Homo sapiens* (1-445) [VH (*Homo sapiens*IGHV3-23*01 (92.9%) -(IGHD) - IGHJ5*02 (100%), CDR-IMGT [8.8.11] (26-33.51-58.97-107)) (1-118)-*Homo sapiens*IGHG4*01, G4v5 h P10 (CH1 (119-216), hinge 1-12 S10>P (226) (217-228), CH2 (229-338), CH3 (339-443), CHS (444-445)) (119-445)], (132-214')-disulfide with kappa light chain *Homo sapiens* (1'-214') [V-KAPPA (*Homo sapiens* IGKV1-39*01 (95.8%)-IGKJ4*01 (100%), CDR-IMGT [6.3.9] (27-32.50-52.89-97)) (1'-107') -*Homo sapiens* IGKC*01 (100%), Km3 A45.1 (153), V101 (191) (108'-214')]; dimer (224-224"-227-227")-bisdisulfide, produced in a Chinese hamster ovary (CHO) cell line derived from CHO-K1SV, glycoform alfa immunomodulator

anumigilimab

immunoglobuline G4-kappa, anti-[*Homo sapiens* CSF3R (récepteur du facteur 3 stimulant les colonies, CD114, récepteur du facteur 3 stimulant les colonies (granulocyte), GCSFR)], anticorps monoclonal *Homo sapiens*; chaîne lourde gamma4 *Homo sapiens* (1-445) [VH (*Homo sapiens*IGHV3-23*01 (92.9%) -(IGHD) - IGHJ5*02 (100%), CDR-IMGT [8.8.11] (26-33.51-58.97-107)) (1-118)-*Homo sapiens*IGHG4*01, G4v5 h P10 (CH1 (119-216), charnière 1-12 S10>P (226) (217-228), CH2 (229-338), CH3 (339-443), CHS (444-445)) (119-445)], (132-214')-disulfure avec la chaîne

légère kappa *Homo sapiens* (1'-214') [V-KAPPA (*Homo sapiens* IGKV1-39*01 (95.8%) -IGKJ4*01 (100%), CDR-IMGT [6.3.9] (27-32.50-52.89-97)) (1'-107') -*Homo sapiens* IGKC*01 (100%), Km3 A45.1 (153), V101 (191) (108'-214')]; dimère (224-224":227-227")-bisdisulfure, produit dans des cellules ovariennes de hamster chinois (CHO) dérivant de la lignée cellulaire CHO-K1SV, glycoforme alfa *immunomodulateur*

anumigilimab

inmunoglobulina G4-kappa, anti-[*Homo sapiens* CSF3R (receptor del factor 3 estimulante de las colonias, CD114, receptor del factor 3 estimulante de las colonias (granulocito), GCSFR)], anticuerpo monoclonal *Homo sapiens*; cadena pesada gamma4 *Homo sapiens* (1-445) [VH (*Homo sapiens*IGHV3-23*01 (92.9%) -(IGHD) -IGHJ5*02 (100%), CDR-IMGT [8.8.11] (26-33.51-58.97-107)) (1-118)-*Homo sapiens*IGHG4*01, G4v5 h P10 (CH1 (119-216), bisagra 1-12 S10>P (226) (217-228), CH2 (229-338), CH3 (339-443), CHS (444-445) (119-445)], (132-214')-disulfuro con la cadena ligera kappa *Homo sapiens* (1'-214') [V-KAPPA (*Homo sapiens* IGKV1-39*01 (95.8%) -IGKJ4*01 (100%), CDR-IMGT [6.3.9] (27-32.50-52.89-97)) (1'-107') -*Homo sapiens* IGKC*01 (100%), Km3 A45.1 (153), V101 (191) (108'-214')]; dímero (224-224":227-227")-bisdisulfuro, producido en las células ováricas de hámster chino (CHO) línea celular derivada de CHO-K1SV, forma glicosilada alfa *inmunomodulador*

2416593-08-1

Heavy chain / Chaîne lourde / Cadena pesada

```

EVQILLESGGG LVQPGGSSLRLT SCAAASGFTTFS LYWMGWVRQA PGKGLEWVSS 50
ISSGGGVTPY ADDVKGRFTT SRDNNSKNTLY LQMNLSRAED TAVYYCAKLG 100
ELGWFDPPWGQQ GTLTVTVSSAS TKGPSVEPLA PCSRSTSEST AALGCLVKDY 150
FPEPVTVWSN SGAITSGVHT FPAVFLQSSGL YSLSSVVTVP SSSLCGTTKYT 200
CNVDHKPSNT KVDKRVESKY GPPCPCPAP EFLGGPSVFL FPPKFKDTLM 250
ISRTPEVTVQ VVDDVSQEDPE VQFNWYDVG EVHNARTKPR ERQQNSTYRV 300
VSVLTVLHQD WLNKEYKCFK VSNGKLPESSI EKTISKAKQ PREPVQWVKG 350
PSQEEMTKNQ VSITCLVKGF YPSDIAVEWME SNQGPENNYK TPPVLDSDG 400
SFFFLYSRLTV DKSRRWQEGNV FSCSVMHEAL HNHYTQKSLS LSLGK 445

```

Light chain / Chaîne légère / Cadena ligera

```

DIQMTOQSFSSS LSASVGDRTV ITCRASQGIS SYLNWYQQKP GKAPKLLIYY 50
ASNQLQNGVPS RFSFGSGSTTR FTLTISLQP EDFATYQCQ SYSTPLFFG 100
GTVKEIKRTV AAPSVFIFPP SDEQLKSGTA SVVCLNNFY PREAKVQWVKG 150
DNAHQSGNSQ ESVTEQDSKD STYSLSSLT LSKADYEHKH VYACEVTHQG 200
LSSPVTKGSFN RGEC 214

```

Post-translational modifications

Disulfide bridges location / Position des ponts disulfure / Posiciones de los puentes disulfuro
 Intra-H (C23-C104) 22-96 145-201 259-319 365-423
 22"-96" 145"-201" 259"-319" 365"-423"
 Intra-L (C23-C104) 23"-88" 134"-194"
 23"-88" 134"-194"
 Inter-H-L (CH1 10-CL 126) 132-214' 132"-214"
 Inter-H-H (h 8, h 11) 224-224" 227-227"

N-glycosylation sites / Sites de N-glycosylation / Posiciones de N-glicosilación

H CH2 N84.4: 295, 295"
 Fucosylated complex bi-antennary CHO-type glycans / glycanes de type CHO bi-anténnaires complexes fucosylés / glicanos de tipo CHO biantenarios complejos fucosilados.

C-terminal lysine clipping / Coupe de la lysine C-terminale / Recorte de lisina C-terminal
 H CHS K2: 445, 445"

atuliflaponum

atuliflapon

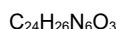
(1*R*,2*R*)-2-[4-(5-methyl-1*H*-pyrazol-3-yl)benzoyl]-*N*-(4-oxo-4,5,6,7-tetrahydropyrazolo[1,5-*a*]pyrazin-3-yl)cyclohexane-1-carboxamide
5-lipoxygenase activating protein (FLAP) inhibitor

atuliflapon

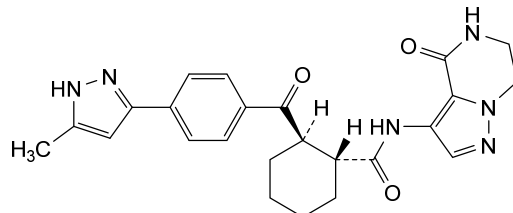
(1*R*,2*R*)-2-[4-(5-méthyl-1*H*-pyrazol-3-yl)benzoyl]-*N*-(4-oxo-4,5,6,7-tétrahydropyrazolo[1,5-*a*]pyrazin-3-yl)cyclohexane-1-carboxamide
inhibiteur de la protéine activant la 5-lipoxygénase (FLAP)

atuliflapón

(1*R*,2*R*)-2-[4-(5-metil-1*H*-pirazol-3-il)benzoiil]-*N*-(4-oxo-4,5,6,7-tetrahidropirazolo[1,5-*a*]pirazin-3-il)ciclohexano-1-carboxamida
inhibidor de la proteína activadora de la 5-lipoxigenasa (FLAP)



2041075-86-7

**atuzabrutinibum**

atuzabrutinib

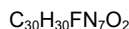
(2*E*)-2-[(3*R*)-3-[4-amino-3-(2-fluoro-4-phenoxyphenyl)-1*H*-pyrazolo[3,4-*d*]pyrimidin-1-yl]piperidine-1-carbonyl]-4,4-dimethylpent-2-enenitrile
Bruton's tyrosine kinase inhibitor

atuzabrutinib

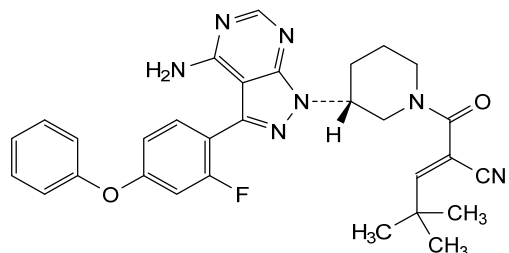
(2*E*)-2-[(3*R*)-3-[4-amino-3-(2-fluoro-4-phenoxyphényl)-1*H*-pyrazolo[3,4-*d*]pyrimidin-1-yl]pipéridine-1-carbonyl]-4,4-diméthylpent-2-ènenitrile
inhibiteur de la tyrosine kinase de Bruton

atuzabrutinib

(2*E*)-2-[(3*R*)-3-[4-amino-3-(4-fenoxi-2-fluorofenil)-1*H*-pirazolo[3,4-*d*]pirimidin-1-il]piperidina-1-carbonil]-4,4-dimetilpent-2-enonitrilo
inhibidor de la tiroxina kinasa de Bruton



1581714-49-9



azamidugenum autotemcelum #

azamidugene autotemcel

autologous CD34+ cells obtained from mobilised peripheral blood, transduced with a self-inactivating lentiviral vector expressing human alpha-L-iduronidase (IDUA) under the control of a human phosphoglycerate kinase (PGK) promoter; the construct is flanked by 5' and 3' long terminal repeats (LTRs) and also contains a HIV-1 ψ packaging signal, a Rev response element (RRE), a central polypurine tract (cPPT) sequence and the Woodchuck hepatitis virus post-transcriptional regulatory element (WPRE). The vector is pseudotyped with the envelope glycoprotein (G) of the vesicular stomatitis virus (VSV). The CD34+ cell population was enriched using immunomagnetic microbeads, and the cells cultured in the presence of media containing FMS-related tyrosine kinase 3 ligand (Flt-3L), interleukin 3 (IL-3), thrombopoietin (TPO) and stem cell factor (SCF). The final substance contains ≥70% CD34+ cells.

cell-based gene therapy (mucopolysaccharidosis)

azamidugène autotemcel

cellules CD34+ autologues obtenues à partir de sang périphérique mobilisé, transduites avec un vecteur lentiviral auto-inactivant exprimant l'alpha-L-iduronidase humaine (IDUA) sous le contrôle du promoteur de la phosphoglycérate kinase humaine (PGK); la construction est flanquée de longues répétitions terminales (LTRs) en 5' et 3' et contient également un signal d'encapsulation du VIH-1 ψ, un élément de réponse Rev (RRE), une séquence du tractus polypurine central (cPPT) et l'élément régulateur post-transcriptionnel du virus de l'hépatite de Woodchuck (WPRE). Le vecteur est pseudotypé avec la glycoprotéine de l'enveloppe (G) du virus de la stomatite vésiculaire (VSV). La population de cellules CD34+ a été enrichie à l'aide de microbilles immunomagnétiques, et les cellules ont été cultivées en présence de milieu contenant du ligand de la tyrosine kinase 3 liée au FMS (Flt-3L), de l'interleukine 3 (IL-3), de la thrombopoïétine (TPO) et du facteur des cellules souches (SCF). La substance finale contient ≥ 70% de cellules CD34+.

thérapie génique à base de cellules (mucopolysaccharidose)

azamidugén autotemcel

células CD34+ autólogas obtenidas a partir de células movilizadas de sangre periférica, transducidas con un vector lentiviral auto-inactivante, que expresa la alfa-L-iduronidasa (IDUA) humana bajo el control de un promotor de la fosfoglicerato quinasa humana (PGK); el constructo está flanqueado por repeticiones terminales largas (LTRs) en 5' y 3' y también contiene una señal de empaquetamiento ψ de VIH-1, un elemento de respuesta Rev (RRE), un trácto de poli-purina central (cPPT) y el elemento regulador post-transcripcional del virus de la hepatitis de la marmota (WPRE). El vector está seudotipado con la glicoproteína (G) de la envuelta del virus de la estomatitis vesicular (VSV). La población de células CD34+ se enriqueció usando microbolas inmunomagnéticas, y las células se cultivaron en presencia de medio que contiene ligando de tirosina quinasa 3 tipo FMS (Flt-3L), interleukina 3 (IL-3), trombopoietina (TPO) y factor de células madre (SCF). La substancia final contiene ≥70% de células CD34+.

terapia génica basada en células (mucopolisacaridosis)

bafisontamabum #

bafisontamab

immunoglobulin G1-kappa-Fab, anti-[*Homo sapiens* MET (MET proto-oncogene receptor tyrosine kinase, HGFR, RCCP2, DFNB97)] and anti-[*Homo sapiens* EGFR (epidermal growth factor receptor, receptor tyrosine-protein kinase erbB-1, ERBB1, HER1, HER-1, ERBB)], *Homo sapiens* and humanized monoclonal antibody, bispecific; kappa light chain and gamma1 heavy chain *Homo sapiens* and humanized anti-MET and anti-EGFR (V-KAPPA-C-KAPPA-VH-CH1-h-CH2-CH3) (1-663) [V-KAPPA *Homo sapiens* anti-MET (*Homo sapiens* IGKV1-12*01 (96.8%) -IGKJ4*01 (100%), CDR-IMGT [6.3.9] (27-32.50-52.89-97)) (1-107) -*Homo sapiens* IGKC*01 (100%) Km3 A45.1 (153), V101 (191) (108-214) -VH humanized anti-EGFR (*Homo sapiens* IGHV4-61*01 (89.9%) -(IGHD) -IGHJ3*02 (100%), CDR-IMGT [10.7.11] (240-249.267-273.312-322)) (215-333) -*Homo sapiens* IGHG1*03v G1m3>G1m17, nG1m1 (CH1 R120>K (430) (334-431), hinge 1-15 (432-446), CH2 (447-556), CH3 E12 (572), M14 (574) (557-661), CHS (662-663)) (334-663)], (436-214")-disulfide with Fab G1-kappa anti-MET and anti-EGFR *Homo sapiens* [VH (CH1-hinge) gamma1 heavy chain (1"-220") anti-MET (*Homo sapiens* IGHV1-18*01 (96.9%) -(IGHD) -IGHJ4*01 (93.3%), CDR-IMGT [8.8.10] (26-33.51-58.97-106)) (1"-117") -*Homo sapiens* IGHG1*01, G1m17 (CH1 K120 (214) (118"-215"), hinge 1-5 (216"-220") (118"-220")], (214"-220")-disulfide with kappa light chain *Homo sapiens* anti-EGFR (1"-214") [V-KAPPA (*Homo sapiens* IGKV1-33*01 (95.8%) -IGKJ4*01 (91.7%), CDR-IMGT [6.3.9] (27-32.50-52.89-97)) (1"-107") -*Homo sapiens* IGKC*01 (100%), Km3 A45.1 (153), V101 (191) (108"-214")]; dimer (442-442":445-445")-bisdisulfide, produced in a Chinese hamster ovary (CHO)-K1 cell line, glycoform alfa
immunomodulator, antineoplastic

bafisontamab

immunoglobuline G1-kappa-Fab, anti-[*Homo sapiens* MET (MET proto-oncogène, récepteur tyrosine kinase, HGFR, RCCP2, DFNB97)] et anti-[*Homo sapiens* EGFR (récepteur du facteur de croissance épidermique, récepteur tyrosine-protéine kinase erb-1, ERBB1, HER1, HER-1, ERBB)], anticorps monoclonal *Homo sapiens* et humanisé, bispécifique; chaîne légère kappa et chaîne lourde gamma1 anti-MET et anti-EGFR *Homo sapiens* et humanisée (V-KAPPA-C-KAPPA-VH-CH1-h-CH2-CH3) (1-663) [V-KAPPA *Homo sapiens* anti-MET (*Homo sapiens* IGKV1-12*01 (96.8%) -IGKJ4*01 (100%), CDR-IMGT [6.3.9] (27-32.50-52.89-97)) (1-107) -*Homo sapiens* IGKC*01 (100%) Km3 A45.1 (153), V101 (191) (108-214) -VH humanisée anti-EGFR (*Homo sapiens* IGHV4-61*01 (89.9%) -(IGHD) -IGHJ3*02 (100%), CDR-IMGT [10.7.11] (240-249.267-273.312-322)) (215-333) -*Homo sapiens* IGHG1*03v G1m3>G1m17, nG1m1 (CH1 R120>K (430) (334-431), 1-15 (432-446), CH2 (447-556), CH3 E12 (572), M14 (574) (557-661), CHS (662-663)) (334-663)], (436-214")-disulfure avec la chaîne lourde Fab G1-kappa anti-MET et anti-EGFR *Homo sapiens* [VH (CH1-charnière) chaîne lourde gamma1 (1"-220") anti-MET (*Homo sapiens* IGHV1-18*01 (96.9%) -(IGHD) -IGHJ4*01 (93.3%), CDR-IMGT [8.8.10] (26-33.51-58.97-106)) (1"-117") -*Homo sapiens* IGHG1*01, G1m17 (CH1 K120 (214) (118"-215"), charnière 1-5 (216"-220') (118"-220")], (214"-220")-disulfure avec la chaîne légère kappa anti-EGFR *Homo sapiens* (1"-214") [V-KAPPA (*Homo sapiens* IGKV1-33*01 (95.8%) -IGKJ4*01 (91.7%), CDR-IMGT [6.3.9] (27-32.50-52.89-97)) (1"-107") -*Homo sapiens* IGKC*01 (100%), Km3 A45.1 (153), V101 (191) (108"-214")]; dimère (442-442":445-445")-bisdisulfure, produit dans des cellules ovariennes de hamster chinois (CHO) lignée cellulaire CHO-K1, glycoforme alfa
immunomodulateur, antinéoplasique

bafisontamab inmunoglobulina G1-kappa-Fab, anti-[*Homo sapiens* MET (MET proto-oncogén, receptor tirosina kinasa, HGFR, RCCP2, DFNB97)] y anti-[*Homo sapiens* EGFR (receptor del factor de crecimiento epidérmico, receptor tirosina-proteína kinasa erb-1, ERBB1, HER1, HER-1, ERBB)], anticuerpo monoclonal *Homo sapiens* y humanizado, biespecífico; cadena ligera kappa y cadena pesada gamma1 anti-MET y anti-EGFR *Homo sapiens* y humanizada (V-KAPPA-C-KAPPA-VH-CH1-h-CH2-CH3) (1-663) [V-KAPPA *Homo sapiens* anti-MET (*Homo sapiens* IGKV1-12*01 (96.8%) - IGKJ4*01 (100%), CDR-IMGT [6.3.9] (27-32.50-52.89-97)) (1-107) -*Homo sapiens* IGKC*01 (100%) Km3 A45.1 (153), V101 (191) (108-214)-VH humanizada anti-EGFR (*Homo sapiens* IGHV4-61*01 (89.9%) -(IGHD) -IGHJ3*02 (100%), CDR-IMGT [10.7.11] (240-249.267-273.312-322)) (215-333) -*Homo sapiens* IGHG1*03v G1m3>G1m17, nG1m1 (CH1 R120>K (430) (334-431), 1-15 (432-446), CH2 (447-556), CH3 E12 (572), M14 (574) (557-661), CHS (662-663)) (334-663)], (436-214")-disulfuro con la cadena pesada Fab G1-kappa anti-MET y anti-EGFR *Homo sapiens* [VH (CH1-bisagra) cadena pesada gamma1 (1"-220") anti-MET (*Homo sapiens* IGHV1-18*01 (96.9%) -(IGHD) -IGHJ4*01 (93.3%), CDR-IMGT [8.8.10] (26-33.51-58.97-106)) (1"-117") -*Homo sapiens* IGHG1*01, G1m17 (CH1 K120 (214) (118"-215"), bisagra 1-5 (216"-220") (118"-220")], (214"-220")-disulfuro con la cadena ligera kappa anti-EGFR *Homo sapiens* (1"-214") [V-KAPPA (*Homo sapiens* IGKV1-33*01 (95.8%) - IGKJ4*01 (91.7%), CDR-IMGT [6.3.9] (27-32.50-52.89-97)) (1"-107") -*Homo sapiens* IGKC*01 (100%), Km3 A45.1 (153), V101 (191) (108"-214")]; dímero (442-442":445-445")-bisdisulfuro, producido en las células ováricas de hámster chino (CHO) línea celular CHO-K1, forma glicosilada alfa inmunomodulador, antineoplásico

2437210-79-0

Heavy chain / Chaîne lourde / Cadena pesada (anti-EGFR, anti-MET)

DIQMTSPSS VSASAVGDRVT ITCRASQGIN TWLAWYQQKF GKAPKLLIYA 50
 ASSLKSQVPS RFSGSGSGTD FFLTISSLQP EDFATYYCQQ ANSFPLTFGG 100
 GTKVEIKRTV AAPSPVIFPPP SDEQLKSQTA SVVCLLNNFY PREAKVQWKV 150
 DNALQSGNSQ ESVTEQDSKQ STYSLSSLT LSKADYEKHK VYACEVTHQG 200
 LSSPVTKSFN RGECCQVQLQG SGPCLVKVPSE TLSLTCTVSG GSVSGLSDYWM 250
 TWIRQSPKG LEWIGHQYQGS GNTVNNPSLK SRLTISITDS KTQFSLKLSS 300
 VTAADTAIYY CVDRVRTGAF DIWGQGTMVTT VSSASTKGPS VFPLAASSKS 350
 TSGGTAALGC LVKDYPPPEV TVSNNSGALT SGVHTFFPAV QSSGLYSLSS 400
 VVTVPSSSLG QTYYICNVNLN KPSNTKVDK VEFPKSCDKTH TCPGPCPAPEL 450
 LGGPSVFLFP PKPKDTLMS RTPVETVVV DVSHEDPEVK FNYYVGDGEV 500
 HNAKTRKPREE QYNSTYTRVVS VLTVLHQDWL NGKEYKCKVS NKAALPAPIEK 550
 TISKAKQGPQ EPQVYTLPLS REEMTKNQVS LTCLVKGFYP SDIAVWEWSN 600
 GQEENNYYKT PPVLDSDGDF FLYSKLTVDK SRWQQGNVFS CSVMHEALHN 650
 HYTQKSLSLSG PKG 663

Light chain / Chaîne légère / Cadena ligera (anti-MET)

QVOLVQSGAE VKKPGASVKV SCKASGYTFT SYGFSSWVRQA PGQGLEWRMGW 50
 ISASINGNTYY AQKLQGRVTVM TTDTISTAY MELRSLSRSDD TAVYYCARVY 100
 ADYADYWQGQ TLTVSVSSAST KGPSSVFLAP SSKSTSGGTA ALGCLIVKDYF 150
 PEPTVTSWNS GALTSGVHFT PAVLQSSGLY SLSSVTVPS SSLGTQTYIC 200
 NVNHPKPSNTK VDKKVEPKSC 220

Light chain / Chaîne légère / Cadena ligera (anti-EGFR)

DIQMTSPSSS LSASAVGDRVT ITCGASODIS NYLNWYQQKP GKAPKLLIYD 50
 ASNLETGVPS RFSGSGSGTD FFLTISSLQP EDFATYYCQH FDHLPLAFLGG 100
 GTKVEIKRTV AAPSPVIFPPP SDEQLKSQTA SVVCLLNNFY PREAKVQWKV 150
 DNALQSGNSQ ESVTEQDSKQ STYSLSSLT LSKADYEKHK VYACEVTHQG 200
 LSSPVTKSFN RGE 214

Post-translational modifications

Disulfide bridges location / Position des ponts disulfure / Posiciones de los puentes disulfuro

Intra-H (C23-C104) 23-88 134-194 236-311 360-416 477-537 583-641

23"-88" 134"-194" 236"-311" 360"-416" 477"-537" 583"-641"

Intra-L (C23-C104) 22"-96" 144"-200"

23"-88" 134"-194"

Intra-H-L (h 5-CL 126) 214-220" 214"-220"

436-214" 436"-214"

Intra-H-H (h 11, h 14) 442-442" 445-445"

N-terminal glutaminyl cyclization / Cyclisation du glutaminyle N-terminal / Ciclación del glutaminilo N-terminal

L VL Q1> pyroglutamyl (pE, 5-oxopropyl): 1'

N-glycosylation sites / Sites de N-glycosylation / Posiciones de N-glicosilación

H CH2 N84.4: 513, 513"

Fucosylated complex bi-antennary CHO-type glycans / glycanes de type CHO bi-antennaires complexes fucosylés / glicanos de tipo CHO biantennarios complejos fucosilados.

C-terminal lysine clipping / Coupure de la lysine C-terminale / Recorte de lisina C-terminal

H CHS K2: 663, 663"

barzolvolimabum #

barzolvolimab

immunoglobulin G1-kappa, anti-[*Homo sapiens* KIT (KIT proto-oncogene receptor tyrosine kinase, c-kit, c-Kit, SCFR, CD117) extracellular domain], monoclonal antibody; gamma1 heavy chain (1-445) [VH Musmus/Homsap (*Mus musculus* IGHV1-76*01 (87.8%) -(IGHD) -IGHJ2*01 (93.3%) L124>V (112)/*Homo sapiens* IGHV1-2*06 (76.5%) -(IGHD) -IGHJ4*01 (93.3%) L123>T (111), CDR-IMGT [8.8.9] (26-33.51-58.97-105)) (1-116) -*Homo sapiens* IGHG1*01, G1m17,1, G1v21 CH2 Y15.1, T16, E18, G1v20 CH2 A105 (CH1 K120 (213) (117-214), hinge 1-15 (215-229), CH2 L1.3>A (233), L1.2>Q (234), M15.1>Y (251), S16>T (253), T18>E (255), K105>Q (321) (230-339), CH3 D12 (355), L14 (357) (340-444), CHS K>del (445)) (117-445)], (219-214')-disulfide with kappa light chain (1'-214') [V-KAPPA Musmus/Homsap (*Mus musculus* IGKV6-15*01 (84.2%) -IGKJ1*01 (90.9%) L124>V (104)/*Homo sapiens* IGKV1-16*01 (81.1%) -IGKJ4*01 (100%), CDR-IMGT [6.3.9] (27-32.50-52.89-97)) (1'-107') -*Homo sapiens* IGKC*01 (100%), Km3 A45.1 (153), V101 (191) (108-214')]; dimer (225-225":228-228")-bisdisulfide, produced in Chinese hamster ovary (CHO) cells, glycoform alfa *immunomodulator*

barzolvolimab

immunoglobuline G1-kappa, anti-[domaine extracellulaire de *Homo sapiens* KIT (KIT proto-oncogene récepteur tyrosine kinase, c-kit, c-Kit, SCFR, CD117)], anticorps monoclonal chimérique; chaîne lourde gamma1 (1-445) [VH Musmus/Homsap (*Mus musculus* IGHV1-76*01 (87.8%) -(IGHD) -IGHJ2*01 (93.3%) L124>V (112)/*Homo sapiens* IGHV1-2*06 (76.5%) -(IGHD) -IGHJ4*01 (93.3%) L123>T (111), CDR-IMGT [8.8.9] (26-33.51-58.97-105)) (1-116) -*Homo sapiens* IGHG1*01, G1m17,1, G1v21 CH2 Y15.1, T16, E18, G1v20 CH2 A105 (CH1 K120 (213) (117-214), charnière 1-15 (215-229), CH2 L1.3>A (233), L1.2>Q (234), M15.1>Y (251), S16>T (253), T18>E (255), K105>Q (321) (230-339), CH3 D12 (355), L14 (357) (340-444), CHS K>del (445)) (117-445)], (219-214')-disulfure avec la chaîne légère kappa (1'-214') [V-KAPPA Musmus/Homsap (*Mus musculus* IGKV6-15*01 (84.2%) -IGKJ1*01 (90.9%) L124>V (104)/*Homo sapiens* IGKV1-16*01 (81.1%) -IGKJ4*01 (100%), CDR-IMGT [6.3.9] (27-32.50-52.89-97)) (1'-107') -*Homo sapiens* IGKC*01 (100%), Km3 A45.1 (153), V101 (191) (108-214')]; dimère (225-225":228-228")-bisdisulfure, produit dans des cellules ovarianes de hamster chinois (CHO), glycoforme alfa *immunomodulateur*

barzolvolimab

inmunoglobulina G1-kappa, anti-[dominio extracelular de *Homo sapiens* KIT (KIT proto-oncogén receptor tirosina kinasa, c-kit, c-Kit, SCFR, CD117)], anticuerpo monoclonal químérico; cadena pesada gamma1 (1-445) [VH Musmus/Homsap (*Mus musculus* IGHV1-76*01 (87.8%) -(IGHD) -IGHJ2*01 (93.3%) L124>V (112)/*Homo sapiens* IGHV1-2*06 (76.5%) -(IGHD) -IGHJ4*01 (93.3%) L123>T (111), CDR-IMGT [8.8.9] (26-33.51-58.97-105)) (1-116) -*Homo sapiens* IGHG1*01, G1m17,1, G1v21 CH2 Y15.1, T16, E18, G1v20 CH2 A105 (CH1 K120 (213) (117-214), bisagra 1-15 (215-229), CH2 L1.3>A (233), L1.2>Q (234), M15.1>Y (251), S16>T (253), T18>E (255), K105>Q (321) (230-339), CH3 D12 (355), L14 (357) (340-444), CHS K>del (445)) (117-445)], (219-214')-disulfuro con la cadena ligera kappa (1'-214') [V-KAPPA Musmus/Homsap (*Mus musculus* IGKV6-15*01 (84.2%) -IGKJ1*01 (90.9%) L124>V (104)/*Homo sapiens* IGKV1-16*01 (81.1%) -IGKJ4*01 (100%), CDR-IMGT [6.3.9] (27-32.50-52.89-97)) (1'-107') -*Homo sapiens* IGKC*01 (100%), Km3 A45.1 (153), V101 (191) (108-214')]; dímero (225-225":228-228")-bisdisulfuro, producido en las células ováricas de hámster chino (CHO), forma glicosilada alfa *inmunomodulador*

Heavy chain / Chaîne lourde / Cadena pesada

QVQLVQSAE VKKPGAVSKL SKCASGYTFT DYYINWVRQD PGKGLEWIAR 50
 IYFGSGNTYY NEFKFGRATL TADKSTSTAY MQLSSLRSED TAVYFCARGV 100
 YYFDYWQGQT TVTVSSASTK GPSVFLPLAPS SKSTSCTAA LGCLVKDYPF 150
 EPVPTVSWNSG ALTSGVHTFP AVLQSSGLYS LSSSVTFSS SLGTQTYICN 200
 VNHKPSNTKV DKKVEPKSCD KTHTCPFCFA PEQQGGPSVLF PFPKPKDFT 250
 YITREPEVTC VVVVDVSHEDP EVKFNWYWDG VEVHNAKTKR REEQYNSTYR 300
 VVSVLTVLHQ DLWINGKEYKC QVSNKALPAP IEKTISKAKG QPREPVQVYL 350
 PPSRDELTKN QVSILTCLVKKG FYPSPDIAVEW ESNQPNENNY KTPPVLDSD 400
 GSFFFLYSKLT VDKSRWQQGN VFSCSVMHEA LHNHYTQKSL SLSPG 445

Light chain / Chaîne légère / Cadena ligera

DIVMTQSPSS LSASVGRDVT ITCKASQNRN TNVAWYQQKP GKAPKALIYS 50
 ASRYSGVPD RFTGSGSGTD FTFTISSLQP EDFADYFCQQ YNSYPRTFEG 100
 GTKVEIKRTV AAPSVFIFPP SDEQLKSGTA SVVCLNNFY PREAKVQWKV 150
 DNALQSGNSQ ESVTEQDSKD STYSLSSLT LSKADYEKHK VYACEVTHQ 200
 LSSPVTKSFN RGEC 214

Post-translational modifications

Disulfide bridges location / Position des ponts disulfure / Posiciones de los puentes disulfuro
 Intra-H (C23-C104) 22-96 143-199 260-320 366-424

22"-96" 143"-199" 260"-320" 366"-424"

Intra-L (C23-C104) 23"-88" 134"-194"
 23"-88" 134"-194"

Inter-H-L (h 5-CL 126) 219-214" 219"-214"

Inter-H-H (h 11, h 14) 225-225" 228-228"

N-terminal glutaminyl cyclization / Cyclisation du glutaminy N-terminal / Ciclación del glutamínico N-terminal
 H VH Q1 > pyroglutamyl (pE, 5-oxoprolyl): 1, 1"

N-glycosylation sites / Sites de N-glycosylation / Posiciones de N-glicosilación

H CH2N84.4: 296, 296"
 Fucosylated complex bi-antennary CHO-type glycans / glycanes de tipo CHO bi-antennarios complejos fucosilados / glicanos de tipo CHO biantenarios complejos fucosilados.

bavdegalutamidum
bavdegalutamide

rac-N-[trans-4-(3-chloro-4-cyanophenoxy)cyclohexyl]-6-{4-[{4-[2-[{(3R)-2,6-dioxopiperidin-3-yl}]-6-fluoro-1,3-dioxo-2,3-dihydro-1H-isoindol-5-yl}]-methyl}piperidin-1-yl}pyridazine-3-carboxamide
antiandrogen, antineoplastic

bavdégalutamide

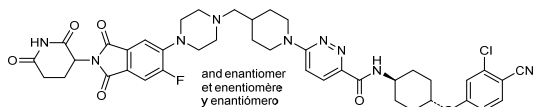
rac-N-[trans-4-(3-chloro-4-cyanophenoxy)cyclohexyl]-6-{4-[{4-[2-[{(3R)-2,6-dioxopiperidin-3-yl}]-6-fluoro-1,3-dioxo-2,3-dihydro-1H-isoindol-5-yl}]-methyl}piperidin-1-yl}pyridazine-3-carboxamide
antiandrogène, antineoplasique

bavdegalutamida

rac-N-[trans-4-(4-ciano-3-clorofenoxy)ciclohexil]-6-{4-[{4-[2-[{(3R)-2,6-dioxopiperidin-3-yl}]-6-fluoro-1,3-dioxo-2,3-dihdro-1H-isoindol-5-yl}]-methyl}piperazin-1-il]metil}piperidin-1-il}piridazina-3-carboxamida
antiandrógeno, antineoplásico



2222112-77-6

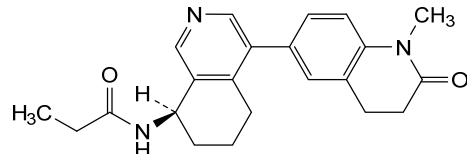
**baxdrostatum**
baxdrostat

N-[(8R)-4-(1-methyl-2-oxo-1,2,3,4-tetrahydroquinolin-6-yl)-5,6,7,8-tetrahydroisoquinolin-8-yl]propanamide
aldosterone synthase inhibitor

baxdrostat *N*-[*(8R*)-4-(1-méthyl-2-oxo-1,2,3,4-tétrahydroquinoléin-6-yl)-5,6,7,8-tétrahydroisoquinoléin-8-yl]propanamide
inhibiteur de l'aldostéron synthase

baxdrostat *N*-[*(8R*)-4-(1-méthyl-2-oxo-1,2,3,4-tétrahydroquinoléin-6-yl)-5,6,7,8-tétrahydroisoquinoléin-8-yl]propanamide
inhibidor de la aldosterona sintasa

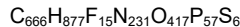
C₂₂H₂₅N₃O₂ 1428652-17-8



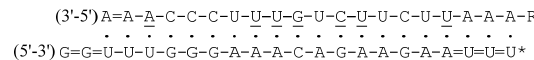
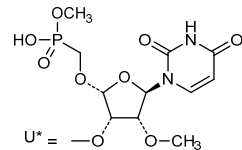
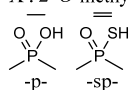
belcesiranum
belcesiran

*all-P-ambo-2'-O-methyl-P-thioadenylyl-(3'→5')-2'-O-methyladenylyl-(3'→5')-2'-O-methylcytidylyl-(3'→5')-2'-O-methylcytidylyl-(3'→5')-2'-O-methyluridylyl-(3'→5')-2'-deoxy-2'-fluorouridylyl-(3'→5')-2'-deoxy-2'-fluorouridylyl-(3'→5')-2'-deoxy-2'-fluoroguanlyl-(3'→5')-2'-O-methyluridylyl-(3'→5')-2'-deoxy-2'-fluorocytidyl-(3'→5')-2'-deoxy-2'-fluorouridylyl-(3'→5')-2'-O-methyluridylyl-(3'→5')-2'-O-methylcytidylyl-(3'→5')-2'-O-methyladenylyl-(3'→5')-2'-O-methyladenylyl-(3'→5')-2'-O-methylguanylyl-(3'→5')-2'-O-methylcytidylyl-(3'→5')-2'-O-methylguanylyl-(3'→5')-2'-O-methylcytidylyl-(3'→5')-2'-O-methylguanylyl-(3'→5')-2'-O-methylcytidylyl-(3'→5')-2'-O-[{2-(2-{5-[2-acetamido-2-deoxy-β-D-galactopyranosyl]oxy}pentanamido)ethoxy]methoxy]guanylyl-(3'→5')-2'-O-[{2-(2-{5-[2-acetamido-2-deoxy-β-D-galactopyranosyl]oxy}pentanamido)ethoxy]ethoxy]methyl adenyl-(3'→5')-2'-O-[{2-(2-{5-[2-acetamido-2-deoxy-β-D-galactopyranosyl]oxy}pentanamido)ethoxy]ethoxy]methyl adenyl-(3'→5')-2'-O-[{2-(2-{5-[2-acetamido-2-deoxy-β-D-galactopyranosyl]oxy}pentanamido)ethoxy]ethoxy]methyl adenyl-(3'→5')-2'-O-methylguanylyl-(3'→5')-2'-O-methyluridylyl-(3'→5')-2'-O-methylguanylyl-(3'→5')-2'-O-methylcytidine duplex with *all-P-ambo-2'-O-methyl-P-thioguanlyl-(5'→3')-2'-O-methyl-P-thioguanlyl-(5'→3')-2'-O-methyluridylyl-(5'→3')-2'-deoxy-2'-fluorouridylyl-(5'→3')-2'-O-methyluridylyl-(5'→3')-2'-O-methylguanylyl-(5'→3')-2'-O-methylguanylyl-(5'→3')-2'-O-methylguanylyl-(5'→3')-2'-deoxy-2'-fluoroguanlyl-(5'→3')-2'-O-methylguanylyl-(5'→3')-2'-O-methyladenylyl-(5'→3')-2'-O-methylguanylyl-(5'→3')-2'-O-methyladenylyl-(5'→3')-2'-deoxy-2'-fluoroadenyl-(5'→3')-2'-O-methylguanylyl-(5'→3')-2'-deoxy-2'-fluoroadenyl-(5'→3')-2'-O-methyl-P-thioadenylyl-(5'→3')-2'-deoxy-2'-fluoro-P-thiouridylyl-(5'→3')-methyl hydrogen 2'-O-methyl-5'-oxa-O-5'-carba-5'-uridylate alpha-1-antitrypsin synthesis reducer**

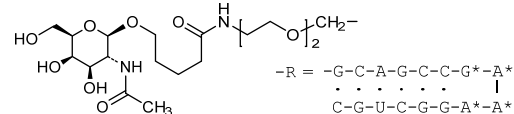
fluoroadenilil-(5'→3')-2'-O-metiladenilil-(5'→3')-2'-desoxi-2'-fluoroadenilil-(5'→3')-2'-O-metilcitidilil-(5'→3')-2'-O-metiladenilil-(5'→3')-2'-O-metilguanilil-(5'→3')-2'-O-metiladenilil-(5'→3')-2'-desoxi-2'-fluoroadenilil-(5'→3')-2'-O-metilguanilil-(5'→3')-2'-desoxi-2'-fluoroadenilil-(5'→3')-2'-O-metil-P-tioadenilil-(5'→3')-2'-desoxi-2'-fluoro-P-tiouridilil-(5'→3')-2'-desoxi-2'-fluoro-P-tiouridilil-(5'→3')-hidrógeno-2'-O-metil-5'-oxa-O-5'-carba-5'-uridilato de metilo
reductor de la síntesis de la alfa-1-antitripsina



2375562-54-0

LegendX : 2'-deoxy-2'-fluoronucleotideX : 2'-O-methylnucleotide

2'-O-substituant of nucleotides A* & G*



-R = -G-C-A-G-C-C-G*-A*

C-G-U-C-G-G-A*-A*

beludavimabum #

beludavimab

immunoglobulin G1-kappa, anti-[severe acute respiratory syndrome coronavirus 2 (SARS-CoV-2) spike (S) glycoprotein, receptor binding domain (RBD)], *Homo sapiens* monoclonal antibody; gamma1 heavy chain *Homo sapiens* (1-457) [VH (*Homo sapiens* IGHV1-18*01 (92.9%) -(IGHD) -IGHJ5*01 (92.9%), CDR-IMGT [8.8.20] (26-33.51-58.97-116)) (1-127) -*Homo sapiens* IGHG1*01, G1m17.1, G1v12 CH2 A1.1, L115, E117, G1v24 CH3 L107, S114 (CH1 K120 (224) (128-225), hinge 1-15 (226-240), CH2 G1.1>A (246), A115>L (340), I117>E (342) (241-350), CH3 D12 (366), L14 (368), M107>L (438), N114>S (444) (351-455), CHS (456-457)) (128-457)], (230-214')-disulfide with kappa light chain *Homo sapiens* (1'-214') [V-KAPPA (*Homo sapiens* IGKV3-20*01 (93.7%) -IGKJ4*01 (100%), CDR-IMGT [7.3.8] (27-33.51-53.90-97)) (1'-107') -*Homo sapiens* IGKC*01 (100%), Km3 A45.1 (153), V101 (191) (108'-214')]; dimer (236-236":239-239")-bisdisulfide, produced in a Chinese hamster ovary (CHO)-K1 cell line, glycoform alfa

antiviral

béludavimab

immunoglobuline G1-kappa, anti-[domaine de liaison au récepteur (RBD) de la glycoprotéine spike (S) du coronavirus 2 du syndrome respiratoire aigu sévère (SARS-CoV-2)], anticorps monoclonal *Homo sapiens*; chaîne lourde gamma1 *Homo sapiens* (1-457) [VH (*Homo sapiens* IGHV1-18*01 (92.9%) -(IGHD) -IGHJ5*01 (92.9%), CDR-IMGT [8.8.20] (26-33.51-58.97-116)) (1-127) -*Homo sapiens* IGHG1*01, G1m17.1, G1v12 CH2 A1.1, L115, E117, G1v24 CH3 L107, S114 (CH1 K120 (224) (128-225), charnière 1-15 (226-240), CH2 G1.1>A (246), A115>L (340), I117>E (342) (241-350), CH3 D12 (366), L14 (368), M107>L (438), N114>S (444) (351-455), CHS (456-457)) (128-457)], (230-214')-disulfure avec la chaîne

légère kappa *Homo sapiens* (1'-214') [V-KAPPA (*Homo sapiens* IGKV3-20*01 (93.7%) -IGKJ4*01 (100%), CDR-IMGT [7.3.8] (27-33.51-53.90-97)) (1'-107') -*Homo sapiens* IGKC*01 (100%), Km3 A45.1 (153), V101 (191) (108'-214')]; dimère (236-236":239-239")-bisdisulfure, produit dans des cellules ovariennes de hamster chinois (CHO) lignée cellulaire CHO-K1, glycoforme alfa antiviral

beludavimab

inmunoglobulina G1-kappa, anti-[dominio de unión al receptor (RBD) de la glicoproteína spike (S) del coronavirus 2 del síndrome respiratorio agudo severo (SARS-CoV-2)], anticuerpo monoclonal *Homo sapiens*; cadena pesada gamma1 *Homo sapiens* (1-457) [VH (*Homo sapiens*IGHV1-18*01 (92.9%) -(IGHD) -IGHJ5*01 (92.9%), CDR-IMGT [8.8.20] (26-33.51-58.97-116)) (1-127') -*Homo sapiens*IGHG1*01, G1m17.1, G1v12 CH2 A1.1, L115, E117, G1v24 CH3 L107, S114 (CH1 K120 (224) (128-225), bisagra 1-15 (226-240), CH2 G1.1>A (246), A115>L (340), I117>E (342) (241-350), CH3 D12 (366), L14 (368), M107>L (438), N114>S (444) (351-455), CHS (456-457)) (128-457)], (230-214')-disulfuro con la cadena ligera kappa *Homo sapiens* (1'-214') [V-KAPPA (*Homo sapiens* IGKV3-20*01 (93.7%) -IGKJ4*01 (100%), CDR-IMGT [7.3.8] (27-33.51-53.90-97)) (1'-107') -*Homo sapiens* IGKC*01 (100%), Km3 A45.1 (153), V101 (191) (108'-214')]; dímero (236-236":239-239")-bisdisulfuro, producido en las células ováricas de hámster chino (CHO) línea celular CHO-K1, forma glicosilada alfa antiviral

2423016-74-2

Heavy chain / Chaîne lourde / Cadena pesada

QVQLVQSGAE VKKPGASVKV SCKASGYPFT SYGISWVRQA PGQGLEWMGW 50
ISTYQGNNTNY AQKFQGRVTM TTDTSSTTGY MELRRRLRSDD TAVYYCARDY 100
TRGAWFGEGL IGGFDNWGGG TLTVTSSAST RGPSPVFPLAP SSRSSTGGTA 150
ALGCLVKDYE PEPPTVWSNS GALTSGVHTP PAVLQSSGLY SLSSVVTVPS 200
SSLGQTQTYIC VNHHPKSNPK VDKVKEPKSC DKTHTCPCP ACPELLAGPSV 250
FLFPKKPKDPT LMISRTPEVT CVVVDVSHED PEVKENWYWD GVEVHNNAKTK 300
PREEQYNSTY RVVSVLTVLH QDWLNKEYK CKVSNKALPL FEEKTISKAK 350
GQREPQVYLT IPPSRDELTK NQVSILTCLVK GFYPSDIAVE WESNGOPENN 400
YKTTTPVILDS DGSEFLYSKL TVDKSRWQQ NVFSCSVLHE ALHSHYTQKS 450
LSLSPKG 457

Light chain / Chaîne légère / Cadena ligera

EIVLTQSPGT LSLSPGERAT LSLCRASQTVS STSLAWYQQK PGQAPRLLIY 50
GASRSATGIP DRFGSGSGT DFTLTISRL PEDFAVYYCQ QHDTSLTFGG 100
GTVIEIKRTV AAPSVFIFPP SDEQLKSGTA SVVCLLNPFY PREAKVQNKV 150
DNALQSGNSO ESVTEQDSKD STYSLSSTLT LSKADYEKHK VYACEVTTHQG 200
LSSPVTKSFN RGEC 214

Post-translational modifications

Disulfide bridges location / Position des ponts disulfure / Posiciones de los puentes disulfuro
 Intra-H (C23-C104) 22-96 154-210 271-331 377-435
 22"-96" 154"-210" 271"-331" 377"-435"
 Intra-L (C23-C104) 23-89 134-194"
 23"-89" 134"-194"
 Inter-H-L (h 5-CL 126) 230-214" 230"-214"
 Inter-H-H (h 11, h 14) 236-236" 239-239"

N-terminal glutaminyl cyclization / Cyclisation du glutaminyle N-terminal / Ciclación del glutamínilo N-terminal
 VH VH Q1 > pyroglutamyl (pE, 5-oxopropyl): 1, 1"

N-glycosylation sites / Sites de N-glycosylation / Posiciones de N-glicosilación
 H CH2N84.4: 307, 307"
 Fucosylated complex bi-antennary CHO-type glycans / glycanes de type CHO bi-antennaires complexes fucosylés / glicanos de tipo CHO biantenarios complejos fucosilados.

C-terminal lysine clipping / Coupe de la lysine C-terminale / Recorte de lisina C-terminal
 H CHS K2: 457, 457"

bemnifosbuvirum

bemnifosbuvir

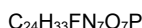
propan-2-yl *N*-[(*P*⁵*S*,*2'R*)-2-amino-2'-deoxy-2'-fluoro-*N*⁶,2'-dimethyl-*O*^P-phenyl-5'-adenylyl]-L-alaninate
antiviral

bemnifosbuvir

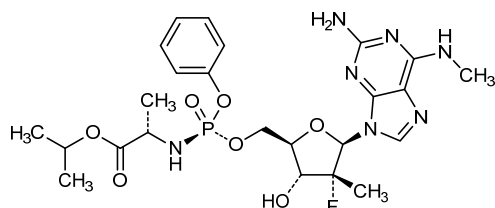
N-[(*P*⁵*S*,*2'R*)-2-amino-2'-désoxy-2'-fluoro-*N*⁶,2'-diméthyl-*O*^P-phényl-5'-adénylyl]-L-alaninate de propan-2-yle
antiviral

bemnifosbuvir

N-[(*P*⁵*S*,*2'R*)-2-amino-2'-desoxi-*O*^P-fenil-2'-fluoro-*N*⁶,2'-dimetil-5'-adenilil]-L-alaninato de propan-2-ilo
antiviral



1998705-64-8

**bevurogantum**

bevurogant

8-[(1*S*)-1-cyclopropylethyl]-2-(4-cyclopropyl-6-methylpyrimidin-5-yl)-6-((5-(methanesulfonyl)pyridin-2-yl)methyl)amino)pteridin-7(8*H*)-one
retinoid-related orphan receptor-gamma t (RORγt) antagonist

bévurogant

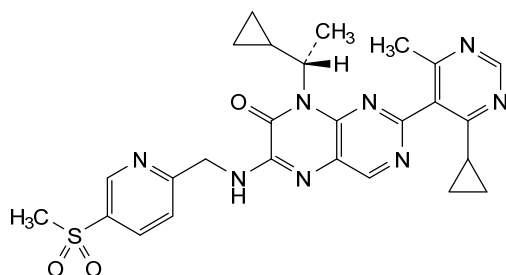
8-[(1*S*)-1-cyclopropylethyl]-2-(4-cyclopropyl-6-méthylpyrimidin-5-yl)-6-((5-(méthanesulfonyl)pyridin-2-yl)méthyl)amino)ptéridin-7(8*H*)-one
antagoniste des récepteurs gamma t orphelins liés aux rétinoïdes (RORγt)

bevurogant

8-[(1*S*)-1-ciclopropiletil]-2-(4-ciclopropil-6-metilpirimidin-5-il)-6-((5-(metanosulfonil)piridin-2-il)metyl)amino)pteridin-7(8*H*)-ona
antagonista de los receptores gamma t huérfanos relacionados con los retinoides (RORγt)



1817773-66-2



bididistrogenum xeboparvovecum #

bididistrogene xeboparvovect

recombinant self-complementary (dimeric) non-replicating adeno-associated virus (AAV) serotype rh.74 vector encoding codon-optimized human beta-sarcoglycan (hSGCB) under control of a hybrid promoter (MHCK7) consisting of enhancer/promoter regions of murine muscle creatine kinase (CK) and alpha-myosin heavy-chain genes, followed by a chimeric intron, composed of the 5' donor site from the human beta-globin gene and the branchpoint and 3' splice acceptor site from IgG heavy chain variable region, and terminated by a small synthetic polyadenylation (polyA) signal sequence, flanked by adeno-associated virus 2 (AAV2) inverted terminal repeats (ITRs).
gene therapy (muscular dystrophy)

bididistrogène xéboparvovect

vecteur recombinant auto-complémentaire (dimère) non réplicant du virus adéno-associé (AAV) de sérotype rh.74 vecteur codant la bêta-sarcoglycane humaine aux codons optimisés (hSGCB) sous le contrôle du promoteur hybride (MHCK7) composé de régions amplificatrices/promotrices des gènes de la créatine kinase (CK) et de l'alpha-myosine murine à chaîne lourde de muscle, suivi d'un intron chimérique, composé du site donneur en 5' du gène de la bêta-globine humaine et du site accepteur d'épissage en 3' et du point de branchements de la région variable de la chaîne lourde de l'IgG, et terminé par une petite séquence signal synthétique de polyadénylation (polyA), flanquée de répétitions terminales inversées (ITRs) du virus adéno-associé 2 (AAV2).
thérapie génique (dystrophie musculaire)

bididistrogén xeboparvovect

vector de virus adenoasociado (AAV) recombinante del serotipo rh.74 autocomplementario (dimérico), no replicativo, que codifica para el sarcoglicano beta humano (hSGCB) con codones optimizados, bajo el control de un promotor híbrido que consiste en regiones promotoras/potenciadoras del gen de la creatina quinasa (CK) de músculo murina y del gen de la cadena pesada de la miosina alfa, seguido de un intrón químérico, compuesto por el sitio donante 5' del gen de la beta-globina humana y la bifurcación y el sitio aceptor 3' de la región variable de la cadena pesada de la IgG, y terminado por una pequeña secuencia señal de poliadenilación (polyA) sintética, flanqueado por las repeticiones terminales invertidas (ITRs) del virus adenoasociado 2 (AAV2).
terapia génica (distrofia muscular)

2365142-14-7

bofelisimerum

bofelisimer

$N^{\omega}-\{[(2\text{-ambo-}2,3\text{-dihydroxypropyl})sulfanyl]acetyl\}-N^{\omega}-$
 $(2,5,8,11\text{-tetraoxatridecan-}13\text{-yl})poly[N^{\omega}-\{[(2\text{-ambo-}2,3\text{-dihydroxypropyl})sulfanyl]acetyl\}-L\text{-lysine}\text{-co-}N^{\omega}-\{[(4\text{-oxo-}4\text{-}\{[2\text{-}(4\text{-}\{[3\text{-O}\text{-}(3\text{-O-sulfo-}\beta\text{-D-glucopyranuronosyl)\text{-}\beta\text{-D-}galactopyranosyl]\text{oxy}\}\text{phenyl})\text{ethyl}\}\text{amino}\}\text{butyl}\}\text{sulfanyl}\}\text{acetyl}\}\text{-L\text{-lysine}}\text{ (~0.65:0.35)}]-\omega\text{-amide}$
immunomodulator

bofélisimère

N^ω-{[(2-ambo-2,3-dihydroxypropyl)sulfanyl]acétyl}-N^ω-(2,5,8,11-tetraoxatridécan-13-yl)poly[N⁶-{[(2-ambo-2,3-dihydroxypropyl)sulfanyl]acétyl}-L-lysine-co-N⁶-{[(4-oxo-4-{[2-(4-{[3-O-(3-O-sulfo-β-D-glucopyranuronosyl)-β-D-galactopyranosyl]oxy}phényl)éthyl]amino}butyl)sulfanyl]acétyl}-L-lysine (~0,65:0,35)]-ω-amide

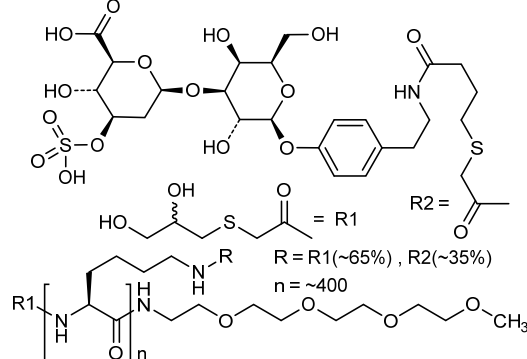
immunomodulateur

bofelisímero

N^ω-{[(2-ambo-2,3-dihidroxipropil)sulfanil]acetil}-N^ω-(2,5,8,11-tetraoxatridecan-13-il)poli[N⁶-{[(2-ambo-2,3-dihidroxipropil)sulfanil]acetil}-L-lisina-co-N⁶-{[(4-oxo-4-{[3-O-(3-O-sulfo-β-D-glucopiranuronosil)-β-D-galactopiranosil]oxi}fenil)etil]amino}butil)sulfanil]acetil]-L-lisina (~0,65:0,35)]-ω-amida

inmunomodulador

$[(C_{11}H_{20}N_2O_4S)_x(C_{32}H_{47}N_3O_{18}S_2)_y]_n$ 2485035-32-1
 $(C_{14}H_{29}NO_7S)$

**bomtabegagenum bavoparvovecum #**

bomtabegagene bavoparvovec

recombinant, non-replicating adeno-associated virus serotype 9 (AAV9) vector encoding human lysosomal acid beta-galactosidase (GLB1), under control of a cytomegalovirus immediate early enhancer fused to a chicken beta-actin promoter, a chimeric intron containing splice donor site of the chicken beta-actin intron and splice acceptor site of the rabbit beta-globin gene, and terminated with the simian virus 40 (SV40) polyadenylation sequence, flanked by AAV2 inverted terminal repeats (ITRs). *gene therapy (beta-galactosidase deficiency)*

bomtabégagène bavoparvovec

vecteur recombinant, non réplicant, du virus adéno-associé de sérotype 9 (AAV9) codant la bêta-galactosidase acide lysosomale humaine (GLB1), sous le contrôle d'un activateur précoce immédiat du cytomégalovirus fusionné à un promoteur de la bêta-actine de poulet, un intron chimérique contenant le site donneur d'épissage de l'intron de la bêta-actine de poulet et le site accepteur d'épissage du gène de la bêta-globine de lapin, et terminé par la séquence de polyadénylation du virus simien 40 (SV40), flanqué de répétitions terminales inversées (ITRs) d'AAV2. *thérapie génique (déficit en bêta-galactosidase)*

bomtabegagén bavoparvovec

vector de virus adenoasociado de serotipo 9 (AAV9) recombinante, no replicativo, que codifica para la beta-galactosidasa ácida lisosomal bajo el control de un potenciador inmediato temprano del citomegalovirus fusionado a un promotor de la beta-actina de pollo, un intrón químico que contiene el sitio donante del procesamiento del intrón de la beta-actina de pollo y el sitio aceptor del procesamiento del gen de la beta-globina de conejo, y terminado con la secuencia poliadenilación del virus simio 40 (SV40), flanqueado por repeticiones terminales invertidas (ITRs) de AAV2.
terapia génica (deficiencia de beta-galactosidasa)

2364477-20-1

brexucabtagenum autoleucelum #

brexucabtagene autoleucel

autologous T cells obtained from the peripheral blood of patients with relapsed/refractory mantle cell lymphoma, collected by leukapheresis, transduced with a murine stem cell virus-based retroviral vector encoding a chimeric antigen receptor (CAR) under the control of the 5' long terminal repeat (LTR) murine stem cell virus promoter, comprising a single-chain variable fragment derived from the murine antibody FMC63 targeting CD19 (B-lymphocyte antigen CD19), a CD28 spacer, a CD28 transmembrane and intracellular costimulatory domains, and a CD3 ζ intracellular activation domain. The T cells are selected with anti-CD4 and anti-CD8 coated particles, activated with anti-CD3, and anti-CD28 antibodies and cultured in media containing IL-2. The CD4/CD8 enriched T cells are predominantly CD3+ ($\geq 98\%$), anti-CD19.CAR ($\geq 24\%$), and contain on average 0.1% natural killer (NK) cells and 0.5% other cellular impurities. The T cells also release interferon gamma (IFN- γ) by co-culture *in vitro*.
cell-based gene therapy (antineoplastic)

bréxucabtagène autoleucel

lymphocytes T autologues obtenus à partir du sang périphérique de patients atteints d'un lymphome à cellules du manteau récidivant/réfractaire, recueillis par leucaphérèse, transduits avec un vecteur rétroviral à base de virus de cellules souches murines codant un récepteur antigénique chimérique (CAR) sous le contrôle du promoteur du virus de cellules souches murines à répétition terminale longue (LTR) en 5', comprenant un fragment variable à chaîne unique dérivé de l'anticorps murin FMC63 ciblant CD19 (antigène des lymphocytes B CD19), un espaceur CD28, un CD28 transmembranaire et des domaines co-stimulateurs intracellulaires, et un domaine d'activation intracellulaire CD3 ζ . Les lymphocytes T sont sélectionnés avec des particules recouvertes d'anti-CD4 et d'anti-CD8, activés avec des anticorps anti-CD3 et anti-CD28, et cultivés dans un milieu contenant de l'IL-2. Les lymphocytes T enrichis en CD4/CD8 sont principalement CD3+ ($\geq 98\%$), anti-CD19.CAR ($\geq 24\%$), et contiennent en moyenne 0,1% de cellules tueuses naturelles (NK) et 0,5% d'autres impuretés cellulaires. Les lymphocytes T libèrent également de l'interféron gamma (IFN- γ) par co-culture *in vitro*.
thérapie génique à base de cellules (antinéoplasique)

brexucabtagén autoleucel

linfocitos T autólogos obtenidos a partir de la sangre periférica de pacientes con linfoma de células del manto mediante leucaférésis, transducidos con un vector retroviral basado en el virus de células madre murino que codifica para un receptor de antígenos quimérico (CAR) bajo el control del promotor de la repetición terminal larga (LTR) en 5' del virus de células madre murino. El CAR consta de un fragmento de cadena variable sencilla derivado del anticuerpo murino FMC63 dirigido a CD19 (antígeno de linfocitos B CD19), un espaciador CD28, un dominio transmembrana y un dominio coestimulador intracelular, ambos de CD28, y un dominio de activación intracelular de CD3 ζ . Los linfocitos T se seleccionan con partículas forradas de anticuerpos anti-CD4 y anti-CD8, se activan con anticuerpos anti-CD3 y anti-CD28, y se cultivan en medio que contiene IL-2. Los linfocitos T enriquecidos en CD4/CD8 son predominantemente CD3+ ($\geq 98\%$), anti-CD19.CAR ($\geq 24\%$) y contienen de media 0,1% de células natural killer (NK) y 0,5% de otras impurezas celulares. Los linfocitos T liberan también interferón gamma (IFN- γ) mediante co-cultivo *in vitro*.

terapia génica basada en células (antineoplásico)

camizestrantum

camizestrant

N-[1-(3-fluoropropyl)azetidin-3-yl]-6-[(6*S,8R*)-8-methyl-7-(2,2,2-trifluoroethyl)-6,7,8,9-tetrahydro-3*H*-pyrazolo[4,3-*f*]isoquinolin-6-yl]pyridin-3-amine
antiestrogen, antineoplastic

camizestrant

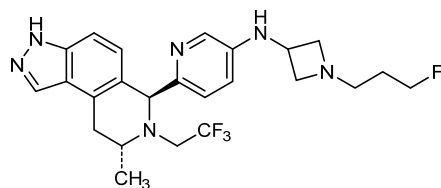
N-[1-(3-fluoropropyl)azétidin-3-yl]-6-[(6*S,8R*)-8-méthyl-7-(2,2,2-trifluoroéthyl)-6,7,8,9-tétrahydro-3*H*-pyrazolo[4,3-*f*]isoquinoléin-6-yl]pyridin-3-amine
anti-oestrogène, antineoplasique

camizestrant

N-[1-(3-fluoropropyl)azetidin-3-yl]-6-[(6*S,8R*)-8-metil-7-(2,2,2-trifluoroetil)-6,7,8,9-tetrahidro-3*H*-pirazolo[4,3-*f*]isoquinolein-6-il]piridin-3-amina
antiestrógeno, antineoplásico

C₂₄H₂₈F₄N₆

2222844-89-3

**cimdelirsenum**

cimdelirsen

all-P-ambo-5'-O-(28-[(2-acetamido-2-deoxy- β -D-galactopyranosyl)oxy]-16,16-bis{[3-((6-[(2-acetamido-2-deoxy- β -D-galactopyranosyl)oxy]hex-yl)amino)-3-oxopropoxy]methyl}-1-hydroxy-1,10,14,21-tetraoxo-

2,18-dioxa-9,15,22-triaza-1 λ^5 -phosphoacatosan-1-yl)-2'-O-(2-methoxyethyl)-5-methyl-P-thiocytidyl-(3'→5')-2'-O-(2-methoxyethyl)-5-methyl-P-thiocytidyl-(3'→5')-2'-O-(2-methoxyethyl)-5-methylcytidyl-(3'→5')-2'-O-(2-methoxyethyl)-5-methyl-P-thiocytidyl-(3'→5')-P-thiothymidyl-(3'→5')-P-thiothymidyl-(3'→5')-P-thiothymidyl-(3'→5')-P-thiothymidyl-(3'→5')-2'-deoxy-P-thioguananyl-(3'→5')-2'-deoxy-P-thioguananyl-(3'→5')-P-thiothymidyl-(3'→5')-2'-deoxy-P-thioguananyl-(3'→5')-2'-deoxy-P-thioadenylyl-(3'→5')-2'-O-(2-methoxyethyl)-5-methyluridylyl-(3'→5')-2'-O-(2-methoxyethyl)adenylyl-(3'→5')-2'-O-(2-methoxyethyl)-5-methyl-P-thiocytidyl-(3'→5')-2'-O-(2-methoxyethyl)adenosine
growth hormone receptor expression reducer

cimdélirsen

*tout-P-ambo-5'-O-(28-[(2-acétamido-2-désoxy- β -D-galactopyranosyl)-oxy]-16,16-bis[[3-({6-[(2-acétamido-2-désoxy- β -D-galactopyranosyl)-oxy]hexyl}amino)-3-oxopropoxy]méthyl]-1-hydroxy-1,10,14,21-tétraoxy-2,18-dioxa-9,15,22-triaza-1 λ^5 -phosphoacatosan-1-yl)-2'-O-(2-méthoxyéthyl)-5-méthyl-P-thiocytidyl-(3'→5')-2'-O-(2-méthoxyéthyl)-5-méthyl-P-thiocytidyl-(3'→5')-2'-O-(2-méthoxyéthyl)-5-méthylcytidyl-(3'→5')-2'-O-(2-méthoxyéthyl)-5-méthyl-P-thiocytidyl-(3'→5')-P-thiothymidyl-(3'→5')-P-thiothymidyl-(3'→5')-2'-désoxy-P-thioguananyl-(3'→5')-2'-désoxy-P-thioguananyl-(3'→5')-P-thiothymidyl-(3'→5')-2'-désoxy-P-thioguananyl-(3'→5')-2'-désoxy-P-thioadénlyl-(3'→5')-2'-O-(2-méthoxyéthyl)-5-méthyluridylyl-(3'→5')-2'-O-(2-méthoxyéthyl)adenylyl-(3'→5')-2'-O-(2-méthoxyéthyl)-5-méthyl-P-thiocytidyl-(3'→5')-2'-O-(2-méthoxyéthyl)adenosine
*réducteur de l'expression du récepteur d'hormone de croissance**

cimdelirsén

*todo-P-ambo-5'-O-(28-[(2-acetamido-2-desoxi- β -D-galactopiranosil)oxi]-16,16-bis[[3-{6-[(2-acetamido-2-desoxi- β -D-galactopiranosil)oxi]hexil}amino)-3-oxopropoxi]metil]-1-hidroxi-1,10,14,21-tétraoxy-2,18-dioxa-9,15,22-triaza-1 λ^5 -fosfaacatosan-1-il)-5-metil-2'-O-(2-metoxietil)-P-tiocitidilil-(3'→5')-5-metil-2'-O-(2-metoxietil)-P-tiocitidilil-(3'→5')-2'-O-(2-metoxietil)adenilil-(3'→5')-5-metil-2'-O-(2-metoxietil)citidilil-(3'→5')-5-metil-2'-O-(2-metoxietil)-P-tiocitidilil-(3'→5')-P-tiotimidilil-(3'→5')-2'-desoxi-P-tioguanilil-(3'→5')-2'-desoxi-P-tioguanilil-(3'→5')-P-tiotimidilil-(3'→5')-2'-desoxi-P-tioguanilil-(3'→5')-2'-desoxi-P-tioguanilil-(3'→5')-P-tiotimidilil-(3'→5')-2'-desoxi-P-tioguanilil-(3'→5')-5-metil-2'-O-(2-metoxietil)uridilil-(3'→5')-2'-O-(2-metoxietil)adenilil-(3'→5')-2'-O-(2-metoxietil)-P-tioguanilil-(3'→5')-5-metil-2'-O-(2-metoxietil)-P-tiocitidilil-(3'→5')-2'-O-(2-metoxietil)adenosina
*reductor de la expresión del receptor de la hormona de crecimiento**

$C_{296}H_{435}N_{83}O_{152}P_{20}S_{15}$

2131025-82-4

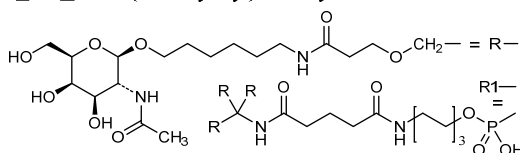
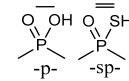
(3'-5') R1-C=C=A-C-C=d(T=T=T=G=G=G=T=G=A=A)=U-A-G=C=A

Legend:

A , G & T : 2'-deoxynucleotide

A & G : 2'-O-(methoxyethyl)nucleotide

C & U : 2'-O-(methoxyethyl)-5-methylnucleotide

**cinaxadamtsum alfa #**

cinaxadamtase alfa

human ADAMTS13 endopeptidase (a disintegrin and metalloproteinase with thrombospondin motifs 13, von Willebrand factor-cleaving protease) variant (Q^{23>R}), produced in Chinese hamster ovary (CHO) cells, glycoform alfa;

human ADAMTS13 endopeptidase (a disintegrin and metalloproteinase with thrombospondin motifs 13, von Willebrand factor-cleaving protease, vWF-CP, EC:3.4.24.87), Gln^{23>Arg} variant, produced in Chinese hamster ovary (CHO) cells, glycoform alfa
enzyme replacement therapy

cinaxadamtase alfa

variant (Q^{23>R}) de l'endopeptidase humaine ADAMTS13 (une désintégrine et métalloprotéinase avec des motifs de thrombospondine, membre 13, protéase clivant le facteur de von Willebrand), produit dans des cellules ovaries de hamster chinois (CHO), glycoforme alfa;

endopeptidase ADAMTS13 humaine (une désintégrine et métallo-protéinase avec motifs de thrombospondine, membre 13, protéase clivant le facteur de von Willebrand, vWF-CP, EC:3.4.24.87), variante Gln^{23>Arg}, produite par des cellules ovaries de hamsters chinois (CHO), glycoforme alfa
traitement enzymatique substitutif

cinaxadamtasa alfa

endopeptidasa humana ADAMTS13 (miembro 13 de la familia de desintegrinas y metaloproteinasas con motivos de tipo 1 de trombospondinas, proteasa de escisión del factor von Willebrand) variante (Q^{23>R}), producida en células ováricas de hamster chino (CHO), glicoforma alfa;

endopeptidasa ADAMTS13 humana (miembro 13 de la familia de metaloproteinasas y desintegrinas con motivos de tipo 1 de trombospondinas, proteasa de escisión del factor de von Willebrand, vWF-CP, EC:3.4.24.87), variante Gln^{23>Arg}, producida en las células ováricas de hámster chino (CHO), glicoforma alfa
tratamiento enzimático de sustitución

Sequence / Séquence / Secuencia

AAGGILHLEI IVAVGPDVFO AH~~R~~EDTERYYV LTNLNIGAEL LRDPGLAQF 50
 RVHLVKMVIL TEPEGAPNIT ANLTSSLLSV CGWSQTINPE DDTDPGHADL 100
 VLYITRFDLE LPDGNRQVRQ VTIQLOGACSP TWSCLTEDT GFDLGTVIAH 150
 EIGHSPGLEH DGAPGSGCGF SCHVMASDGA APRAGIAWSP CSRQRQLSSLL 200
 SAGRARCVMQ A SPPQPGSAG HPDQAQPGLY YSANPQCRVA FCPKAVACTF 250
 AREHLDMCQA LSCHTDPLDQ SSCSRLLVPL LDGTECGVEK WCSKGCRSL 300
 VELTPIAAVH GRWSSWGPRS PCSRSCGGG VTRRRQCNNP RPAFGGRACV 350
 GADLQAEAMCN TQACEKTQLE FMSQQCARTID QGPLRSSLPG ASFYHWGAAV 400
 PHSGQDALCR HMCRRAIGESF IMKRGDSFLD GTRCMPSGPR EDGTLSLCVS 450
 GSCRTRFGCDG RMDSQQVWDR CQVCGGDNST CSPRKGSFTA GRAREYVFTL 500
 TVTPNLTSVY IANHRLPLFTH LAVRIGGRYV VAGKMSISP VNTPSLLIEDG 550
 RVEYRVALTE DRLPRLLEIR IWGLPQEDAD IQVYRRYGEI YGNLTRPDT 600
 FTYFQPKPRW AWVWAARVGP CSVQOCAGLR WVNYSCLDQK RKLVELVTVC 650
 QGSQQPAPW EACVLEPCPP YWAVGDFGPGC SASCGGGLRE RPVRCEVAQG 700
 SLLKTLTPPAR CRAGAQQPAV ALETCTNQPC PARWEVSEPS SCTSAGGAGL 750
 ALENETCVPG ADGLEAPVTE GPGSVDKLP APEPCVGMSC PFGWGHLDAT 800
 SAGEKAPSW GSIRTGQAA HWTPVPAAGC SVSCCRGIME LRFLCMDSA 850
 RRPVQEELCG LASKEPGRRE VCQAVPCPAR WQYKLAICASV SCGRGVVRRI 900
 LYCARAHGED DGEBEILLDTQ CGQLPRPEPQ EACSLEPCPP RWKVLMSLGP 950
 SASCGLGTAR RSVACVQLDQ QDVEVDEA CAALVPRPEAS VFCLIAACTY 1000
 RWHVGTWMEC SVSCCDGIQR RRDTCILGPQA QAFVPADFCQ HLPKPVTVRG 1050
 CWAGPCVQOG TPSLVPHEEA AAPCRTTATP AGASLWEQ A QCLLFSPAPO 1100
 PRRLLPGPQE NSVQSSACGR QHLERPTGID MRCPGQADCA VAIGRPLGEV 1150
 VTLRVLESSL NCSAGDMILL WGRRTLWRKMC RKLLDMTSE KNTNTLUVQR 1200
 CGRRGGVVIL RYGSQSLAPET FYRECDMQLF GPWGEIVSPS LSPATSNAGG 1250
 CRLFINVAPH ARIAIHALAT NMAGTAGETAN ASYILIIRTH SLRTTAPHQ 1300
 QVLYWESESS QAEMEFSEGK LKAQASLRQ YWTIQLQSWVPE MQDPQSWKGK 1350
 EGT 1353

Mutation / Mutation / Mutación
Q23>**R**

Post-translational modifications

Disulfide bridges location / Position des ponts disulfure / Posiciones de los puentes disulfuro 81-134, 128-207, 168-191, 237-263, 248-273, 258-292, 286-297, 322-359, 326-364, 337-349, 376-413, 409-448, 434-453, 458-474, 471-481

N-glycosylation sites / Sites of N-glycosylation / Posiciones de N-glicosilación N68, N72, N478, N505, N540, N593, N633, N754, N1161, N1280

Fucosylated complex bi-antennary CHO-type glycans / glycanes de type CHO bi-antennaires complexes fucosylés / glicanos de tipo CH0 biantenarios complejos fucosilados

O-fucosylation sites / Sites of O-fucosylation / Posiciones de O-fucosilación S325, S624, S683, S833, S891, S953, S1013

C-mannosylation site / Site of C-mannosylation / Posición de C-manosilación W313 = 2-(α -D-Manp)-L-Trp

dabocemagenum autoficelum #

dabocemagene autoficel

autologous human dermal fibroblast cells derived from skin biopsies, and transduced with a non-replicating, self-inactivating lentivirus vector that encodes human collagen type VII alpha 1 (COL7A1) under the control of a human cytomegalovirus (CMV) promoter / 5' UTR region with Kozak sequence; the construct flanked by 5' and 3' long terminal repeats (LTR) and also contains a human immunodeficiency virus (HIV) Rev response element (RRE) and HIV central polypurine tract (cPPT) sequences. The vector is pseudotyped with the envelope glycoprotein (G) of vesicular stomatitis virus (VSV).

Cells isolated from the skin biopsies are expanded in standard growth medium containing serum. The cells are predominantly fibroblasts (identified by CD90; ≥98%), with keratinocytes (identified by CD104) being the main residual cell type (≤2%).

cell-based gene therapy (dystrophic epidermolysis bullosa)

dabocémagène autoficel

cellules fibroblastes dermiques humaines autologues dérivées de biopsies de peau, et transductées avec un vecteur lentiviral auto-inactivant non répliquant qui code le collagène humain de type VII alpha 1 (COL7A1) sous le contrôle du promoteur du cytomégalovirus humain (CMV) / région 5' UTR avec séquence de Kozak; la construction est flanquée de longues répétitions terminales (LTR) en 5' et 3' et contient également un élément de réponse Rev (RRE) du virus de l'immunodéficience humaine (VIH) et des séquences du tractus de polyuridine central (cPPT) du VIH. Le vecteur est pseudotypé avec la glycoprotéine de l'enveloppe (G) du virus de la stomatite vésiculaire (VSV). Les cellules isolées à partir des biopsies de peau sont amplifiées dans un milieu de croissance standard contenant du sérum. Les cellules sont principalement des fibroblastes (identifiés par CD90; ≥98%), les kératinocytes (identifiés par CD104) étant le principal type cellulaire résiduel (<2%).
thérapie génique à base de cellules (épidermolyse bulleuse dystrophique)

dabocemagén autoficel

fibroblastos dérmicos humanos autólogos, derivados de biopsias de piel, y transducidos con un vector lentiviral autoinactivante, no replicativo, que codifica para el colágeno humano tipo VII alfa 1 (COL7A1) bajo el control de un promotor de citomegalovirus (CMV) humano / región 5' UTR con secuencia Kozak; el constructo está flanqueado por repeticiones terminales largas (LTR) en 5' y 3' y también contiene las secuencias de un elemento de respuesta Rev (RRE) del virus de inmunodeficiencia humana (VIH) y del tracto de poli-purina central (cPPT) del VIH. El vector está seudotipado con la glicoproteína (G) de la envuelta del virus de la estomatitis vesicular (VSV). Las células aisladas de biopsias de la piel se expanden en medio de crecimiento estándar que contiene suero. Las células son predominantemente fibroblastos (identificadas por CD90; ≥98%), con queratinocitos (identificados por CD104) como principal tipo celular residual (<2%).
terapia génica basada en células (epidermolisis ampollosa distrófica bullosa)

2365353-63-3

dalutrafuspum alfa #

dalutrafusp alfa

humanized immunoglobulin G1-kappa anti-(human 5'-nucleotidase, ecto-5'-nucleotidase, CD73) variant (N²⁹⁷>A in the heavy chain) fused at the C-terminus of heavy chain (1-446), via peptidyl linker
⁴⁴⁷GGGGSGGGGSGGGGSGGGSG⁴⁶⁷, to human transforming growth factor beta receptor type II (TGF-beta receptor type II, TGF β R2) extracellular domain (1-136, 468-603 in the current sequence), dimer, produced in Chinese hamster ovary (CHO) cells, glycoform alfa; humanized immunoglobulin G1-kappa, anti-[human 5'-nucleotidase (ecto-5'-nucleotidase, NT5E, EC:3.1.3.5, CD73)], fused at the C-terminus of both heavy chains via a peptide linker to the (1-136)-fragment of the extracellular domain of mature human TGF-beta receptor type 2 (TGF β R2, TGFBR2, transforming growth factor beta receptor type II, TGF β type II receptor); gamma1 heavy

chain (1-446) [*Homo sapiens* IGHV5-51*01; *Homo sapiens* IGHJ4*01; *Homo sapiens*IGHG1*03; VH: 1-117; CH1: 118-215; hinge: 216-230; CH2: 231-340 (N²⁹⁷>A); CH3: 341-445; CHS: 446-446 (K447del); CDR Kabat H1: SSWIN (31-35); CDR Kabat H2: RIYPRAGDTNYAGKFKD (50-66); CDR Kabat H3: LLDYSMDY (99-106)] fused via a (G₄S)₄G linker (447-467) to the TGFβR2 (1-136)-peptide (468-603), (220-214')-disulfide with kappa light chain (1'-214') [*Homo sapiens* IGKV1-33*01; *Homo sapiens* IGKJ1*01; *Homo sapiens* IGKC*01; VL: 1-117; CL: 118-215; CDR Kabat L1: RASQDISNYLN (24-34); CDR Kabat L2: YTSRLHS (50-56); CDR Kabat L3: QQGNTLPLT (89-97)]; dimer (226-226":229-229")-bisdisulfide, produced in Chinese hamster ovary (CHO) cells, glycoform alfa
immunomodulator, antineoplastic

dalutrafusp alfa

variant (N²⁹⁷>A dans la chaîne lourde) de l'immunoglobuline G1-kappa humanisée anti-(5'-nucleotidase humaine, ecto-5'-nucleotidase, CD73) fusionné à l'extrémité C-terminale de la chaîne lourde (1-446), via la liaison peptidique⁴⁴⁷GGGGSGGGGGSGGGSGGGSG⁴⁶⁷, au récepteur bêta du facteur de croissance transformant humain de type II (récepteur TGF-bêta de type II, TGFβR2) domaine extracellulaire (1-136, 468-603 dans la séquence actuelle), dimère, produit dans des cellules ovaries de hamsters chinois (CHO), glycoforme alfa; immunoglobuline G1-kappa humanisée, anti-[5'-nucleotidase humaine (ecto-5'-nucleotidase, NT5E, EC:3.1.3.5, CD73)], fusionnée à l'extrémité C-terminale des deux chaînes lourdes via une liaison peptidique au fragment (1-136) du domaine extracellulaire du récepteur humain mature de type 2 du TGF-bêta (TGFβR2, TGFR2, récepteur de type 2 du facteur bêta de croissance transformant, récepteur de type II du TGFβ); chaîne lourde gamma1 (1-446) [*Homo sapiens* IGHV5-51*01; *Homo sapiens* IGHJ4*01; *Homo sapiens*IGHG1*03; VH: 1-117; CH1: 118-215; charnière: 216-230; CH2: 231-340 (N²⁹⁷>A); CH3: 341-445; CHS: 446-446 (K447del); CDR Kabat H1: SSWIN (31-35); CDR Kabat H2: RIYPRAGDTNYAGKFKD (50-66); CDR Kabat H3: LLDYSMDY (99-106)] fusionnée via une liaison (G₄S)₄G (447-467) au peptide 1-136 du TGFβR2 (468-603), (220-214')-disulfure avec la chaîne légère kappa (1'-214') [*Homo sapiens* IGKV1-33*01; *Homo sapiens* IGKJ1*01; *Homo sapiens* IGKC*01; VL: 1-117; CL: 118-215; CDR Kabat L1: RASQDISNYLN (24-34); CDR Kabat L2: YTSRLHS (50-56); CDR Kabat L3: QQGNTLPLT (89-97)]; dimère (226-226":229-229")-bisdisulfure, produit dans des cellules ovaries de hamsters chinois (CHO), glycoforme alfa
immunomodulateur, antinéoplasique

dalutrafusp alfa

inmunoglobulina G1-kappa humanizada anti-(5'-nucleotidasa humana, ecto-5'-nucleotidasa, CD73) variante (N²⁹⁷>A en la cadena pesada) fusionada en el extremo C-terminal de cada una de las cadenas pesadas (1-446), a través de un enlace peptídil⁴⁴⁷GGGGSGGGGGSGGGSGGGSG⁴⁶⁷, al receptor humano de tipo 2 del factor beta de crecimiento transformante, (TGF-receptor beta tipo II, TGFβR2) dominio extracelular (1-136, 468-603 en la secuencia actual), dímero, producido en células ováricas de hámster chino (CHO), glicoforma alfa;

inmunoglobulina G1-kappa humanizada, anti-[5'-nucleotidasa humana (ecto-5'-nucleotidasa, NT5E, EC:3.1.3.5, CD73)], fusionada en el extremo C-terminal de las dos cadenas pesadas mediante un conector peptídico al fragmento (1-136) del dominio extracelular del receptor humano maduro de tipo 2 del TGF-beta (TGF β R2, TGFBR2, receptor de tipo 2 del factor beta de crecimiento transformante, receptor de tipo II del TGF β); cadena pesada gamma1 (1-446) [*Homo sapiens* IGHV5-51*01; *Homo sapiens*IGHJ4*01; *Homo sapiens*IGHG1*03; VH: 1-117; CH1: 118-215; bisagra: 216-230; CH2: 231-340 (N²⁹⁷>A); CH3: 341-445; CHS: 446-446 (K447del); CDR Kabat H1: SSWIN (31-35); CDR Kabat H2: RIYPRAGDTNYAGKFKD (50-66); CDR Kabat H3: LLDYSMDY (99-106)], fusionada mediante un conector peptídico (G₄S)₄G (447-467) al (1-136)-péptido del TGF β R2 (468-603), (220-214')-disulfuro con la cadena ligera kappa (1'-214') [*Homo sapiens* IGKV1-33*01; *Homo sapiens*IGKJ1*01; *Homo sapiens* IGKC*01; VL: 1-117; CL: 118-215; CDR Kabat L1: RASQDISNYLN (24-34); CDR Kabat L2: YTSLRHS (50-56); CDR Kabat L3: QQGNTLPLT (89-97)]; dímero (226-226":229-229")-bisdisulfuro, producido en las células ováricas de hámster chino (CHO), glicoforma alfa
inmunomodulador, antineoplásico

2419918-89-9

Heavy chain / Chaîne lourde / Cadena pesada

EVQLVQSGAE VKPGESLKI SCKASGYAFS	SSWINWVRQM PGKGLEWMGR	50
1YPRAGDTNY AGKFKDQVTI SAADKSITAY	LQWSSLKASD TAMYYCASLL	100
DYSMDYWQCG TLVTVSSAST KGPSPVFPLAP	SSKSTSGGTA ALGCLVKDF	150
PEPVTVSNSN GALTGSVHTE PAVLQSSGLY	SLSSVVTVPS SSSLGTQTYIC	200
NVNHHKESNTK VDKRVEPKSC DKHTTCPPC	APELLGGPSV FLFPKPKD	250
LMISRTPEVT CVVVDVSHED PEVKFNWYVD	GVEVHNNAKT K PREEQV A STY	300
RVVSVLTVLH QDWLNGKEYK CKVSNKALPA	PIEKTSKAK GQPREFQVYT	350
LPPSREEMTK NQVSLTCLVK GFYFSDIAVE	WESNGQFENNT YKTPPVLDL	400
DGSFFFLYSKLI TVDKSWMQCG NVFSCSVMHE	ALHNHYTQKS LSLSPC GGGG	450
SGGGGGGGGG SGGGGGGG IPI	HVQKSVNNNDM IVTDDNNGAVS	500
RESTCDNQKS CMSNCITSI CEKPKQEVCA	FPQLCKFCIVD	550
PYHDFILEDA ASPKCIMKEK KKPGETFFMC	SCSSDECNDN IIFSEEYNIS	600
NPD		603

Light chain / Chaîne légère / Cadena ligera

DIGMTQSPFSS LSASRQDRTV ITCRASQDIS	NYLNWYQQKP GKAPKLIIYY	50
TSRLHSVGPS REFGSGSGSTD TFTFISSLQP	EDIAIATYYCQQ GNTLPLTFQG	100
GTKEVIEKRTV AAPSPVFIIPP SDEQLKSGTA	SVVCLNNFY PREAKVQWQV	150
DNALQSGNSQ ESVTEQDSKD STYSLSSTLT	LSKADYEHKK VYACEVTHQG	200
LSSPVTKSFN RGEc		214

Mutation / Mutation / Mutación

N²⁹⁷>~~A~~ N²⁹⁷*>~~A~~

Peptide linker / Peptide link / Péptido de unión
447 **GGGGGGGGGGGGGGGGGGGG** 467 (1-21)

Post-translational modifications

Disulfide bridges location / Position des ponts disulfure / Posiciones de los puentes disulfuro	
Intra-H	22-96 144-200 261-321 367-425
	22"-96" 144"-200" 261"-321" 367"-425"
TGF β R2	495-528 498-515 505-511 521-545 565-580 582-587
	495"-528" 498"-515" 505"-511" 521"-545" 565"-580" 582"-587"
Intra-L	23"-88" 134"-194"
	23""-88"" 134""-194""
Inter-H-L	220-214" 220"-214"
Inter-H-H	226-226" 229-229"

N-glycosylation sites / Sites de N-glycosylation / Posiciones de N-glicosilación

TGF β R2 N514, N538, N514*, N538*

Fucosylated complex bi-antennary CHO-type glycans / glycanes de type CHO bi-antennaires complexes fucosylés / glicanos de tipo CHO biantenarios complejos fucosilados

davoceticeptum #

davoceticept

fragment (1-107) of human T-lymphocyte activation antigen CD80 (CTLA-4 (cytotoxic T-lymphocyte antigen 4) counter-receptor B7.1) variant ($H^{18}>Y$, $A^{26}>E$, $E^{35}>D$, $M^{47}>L$, $V^{68}>M$, $A^{71}>G$, $D^{90}>G$) fused, via peptidyl linker $^{108}\text{GSGGGGS}^{114}$ to human immunoglobulin G1 Fc fragment (115-345) variant ($C^{119}>S$, $L^{133}>A$, $L^{134}>E$, $G^{136}>A$, C-terminal K^{346} deleted), dimer, produced in Chinese hamster ovary (CHO) cells, glycoform alfa; *Homo sapiens* T-lymphocyte activation antigen CD80 [CD80, activation B7-1 antigen, CTLA-4 (cytotoxic T-lymphocyte antigen 4) counter-receptor B7.1, B7, BB1] (1-107)-fragment [$H^{18}>Y$, $A^{26}>E$, $E^{35}>D$, $M^{47}>L$, $V^{68}>M$, $A^{71}>G$, $D^{90}>G$]-variant, fused via a GSG₄S peptide linker (108-114) to a human immunoglobulin G1 heavy chain constant fragment (Fc) (115-345) [*Homo sapiens* IGHG1*01; hinge: 115-129 ($C^{119}>S$); CH2: 130-239 ($L^{133}>A$, $L^{134}>E$, $G^{136}>A$); CH3: 240-344; CHS: 345-345 (K346del)]; dimer (125-125':128-128')-bisdisulfide, produced in Chinese hamster ovary (CHO) cells, glycoform alfa
immunostimulant, antineoplastic

davocéticept

fragment (1-107) de l'antigène CD80 d'activation des lymphocytes T humains (contre-récepteur B7.1 du CTLA-4 (antigène 4 des lymphocytes T cytotoxiques) variant ($H^{18}>Y$, $A^{26}>E$, $E^{35}>D$, $M^{47}>L$, $V^{68}>M$, $A^{71}>G$, $D^{90}>G$) fusionné, via une liaison peptidique $^{108}\text{GSGGGGS}^{114}$ au variant (115-345) du fragment Fc de l'immunoglobuline G1 ($C^{119}>S$, $L^{133}>A$, $L^{134}>E$, $G^{136}>A$, C-terminal K^{346} déleté), dimère, produit dans des cellules ovariennes de hamsters chinois (CHO), glycoforme alfa; antigène CD80 d'activation des lymphocytes T d'*Homo sapiens* [CD80, antigène B7-1 d'activation, contre-récepteur B7.1, du CTLA-4 (antigène 4 des lymphocytes T cytotoxiques), B7, BB1], variant [$H^{18}>Y$, $A^{26}>E$, $E^{35}>D$, $M^{47}>L$, $V^{68}>M$, $A^{71}>G$, $D^{90}>G$] du fragment (1-107), fusionnée via une liaison peptidique GSG₄S (108-114) au fragment constant (Fc) (115-345) de la chaîne lourde d'une immunoglobuline G1 humaine [*Homo sapiens* IGHG1*01; charnière: 115-129 ($C^{119}>S$); CH2: 130-239 ($L^{133}>A$, $L^{134}>E$, $G^{136}>A$); CH3: 240-344; CHS: 345-345 (K346del)]; dimère (125-125':128-128')-bisdisulfure, produit dans des cellules ovariennes de hamsters chinois (CHO), glycoforme alfa
immunostimulant, antinéoplasique

davoceticept

fragmento (1-107) del antígeno CD80 de activación de linfocitos T humano (contrarreceptor B7.1 de CTLA-4 (antígeno 4 de linfocitos T citotóxicos)), variante ($H^{18}>Y$, $A^{26}>E$, $E^{35}>D$, $M^{47}>L$, $V^{68}>M$, $A^{71}>G$, $D^{90}>G$) fusionado, a través de enlace peptídil $^{108}\text{GSGGGGS}^{114}$ al fragmento Fc de la inmunoglobulina G1 humana (115-345) variante ($C^{119}>S$, $L^{133}>A$, $L^{134}>E$, $G^{136}>A$, C-terminal K^{346} eliminada), dímero, producido en células ováricas de hámster chino (CHO), glicoforma alfa; antígeno CD80 de activación de linfocitos T de *Homo sapiens* [CD80, antígeno activador B7-1, contrarreceptor B7.1 de CTLA-4 (antígeno 4 de linfocitos T citotóxicos), B7, BB1], fragmento (1-107), mutante [$H^{18}>Y$, $A^{26}>E$, $E^{35}>D$, $M^{47}>L$, $V^{68}>M$, $A^{71}>G$, $D^{90}>G$], fusionado a través de un péptido GSG₄S (108-114) al fragmento constante (Fc) de la cadena pesada de una inmunoglobulina G1 humana (115-345), [*Homo sapiens* IGHG1*01; bisagra: 115-129 ($C^{119}>S$); CH2: 130-239 ($L^{133}>A$, $L^{134}>E$, $G^{136}>A$); CH3: 240-344; CHS: 345-345 (K346del)]; dímero (125-125':128-128')-bisdisulfuro, producido en las células ováricas de hámster chino (CHO), glicoforma alfa
inmunoestimulante, antineoplásico

Sequence / Séquence / Secuencia
 VIVHTVKVE VATLSCG₁INV SVEEL₂EOTRI YWQKD₃KMV₄ TMMSGD₅LNIW₆ 50
 PEYKRNTRIFD ITNNLS₇IML₈ G₉RPSDEGT₁₀ ECVLK₁₁YKG₁₂ AFKREH₁₃LAEV₁₄ 100
 TLSVKAD₁₅GSG₁₆GGGS₁₇PKSS₁₈ KTHTCPPCPA P₁₉E₂₀A₂₁P₂₂S₂₃V₂₄F₂₅ LPFPKPKDTL₂₆ 150
 MISRTPEVT₂₇C VVVVD₂₈WSHED₂₉ EVKENWYVG₃₀ VEVHN₃₁AKTP₃₂ REEQVN₃₃STYR₃₄ 200
 VVS₃₅VLTVLHQ₃₆ DNLNGKEYKC₃₇ KVSNKALPAP₃₈ IEKTISKAG₃₉ QPREPQVYT₄₀ 250
 PPSRDELTKN₄₁ QVSLTCLVK₄₂ FYPSTDIAEW₄₃ ESNQFENNY₄₄ KTPPVLD₄₅ 300
 GSFFLYS₄₆SLTK₄₇ VDKSRWQ₄₈QGN₄₉ VFSCSV₅₀MHEA₅₁ LHNHYTQ₅₂KS₅₃ SLSPG₅₄ 345

Mutation / Mutation / Mutación
 CD80: H18>**Y**, A26>**L**, E35>**D**, M47>**L**, V68>**M**, A71>**G**, D90>**G**
 H18>**Y**, A26>**E**, E35>**D**, M47>**L**, V68>**M**, A71>**G**, D90>**G**
 Fc: C119>**S**, L133>**A**, L134>**E**, G136>**A**, K346>del
 C119>**S**, L133>**A**, L134>**E**, G136>**A**, K346>del

Peptide linker / Peptide liant / Péptido de unión
 108 **GS**GGGS 114 (1-7)

Post-translational modifications

Disulfide bridges location / Position des ponts disulfure / Posiciones de los puentes disulfuro
 Intra-chain 16-82 160-220 266-324 Inter-chain 125-125' 128-128'
 16-82' 160-220' 266-324'

Glycosylation sites / Sites de glycosylation / Posiciones de glicosilación

N19, N55, N64, N196

N19', N55', N64', N196'

Fucosylated complex bi-antennary CHO-type glycans / glycanes de type CHO bi-antennaires complexes fucosylés / glicanos de tipo CHO biantenarios complejos fucosilados

dazucorilantum dazucorilant

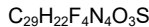
*((4a*R*)-1-(4-fluorophenyl)-6-[4-(trifluoromethyl)benzene-1-sulfonyl]-1,4,5,6,7,8-hexahydro-4*a*H-pyrazolo[3,4-*g*]isoquinolin-4*a*-yl}(pyridin-2-yl)methanone
glucocorticoid receptor antagonist*

dazucorilant

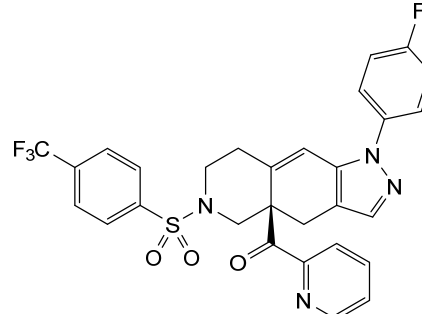
*((4a*R*)-1-(4-fluorophényl)-6-[4-(trifluorométhyl)benzène-1-sulfonyl]-1,4,5,6,7,8-hexahydro-4*a*H-pyrazolo[3,4-*g*]isoquinoléin-4*a*-yl}(pyridin-2-yl)méthanone
antagoniste des récepteurs glucocorticoïdes*

dazucorilant

*((4a*R*)-1-(4-fluorofenil)-6-[4-(trifluorometil)benceno-1-sulfonyl]-1,4,5,6,7,8-hexahidro-4*a*H-pirazolo[3,4-*g*]isoquinoleno-4*a*-il)(piridin-2-il)metanona
antagonista de los receptores glucocorticosides*



1496508-34-9



denifanstatum denifanstat

*4-{1-[4-cyclobutyl-2-methyl-5-(5-methyl-1*H*-1,2,4-triazol-3-yl)benzoyl]piperidin-4-yl}benzonitrile
fatty acid synthase inhibitor*

dénifanstat

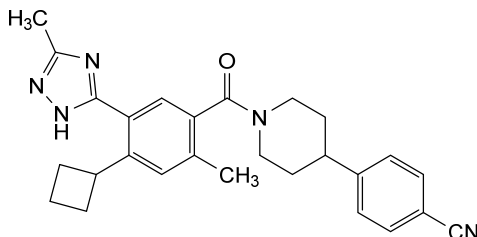
4-[1-[4-cyclobutyl-2-méthyl-5-(5-méthyl-1H-1,2,4-triazol-3-yl)benzoyl]pipéridin-4-yl]benzonitrile
inhibiteur de la synthétase des acides gras

denifanstat

4-[1-[4-ciclobutil-2-metil-5-(5-metil-1H-1,2,4-triazol-3-il)benzoil]piperidin-4-il]benzonitriolo
inhibidor de la ácido graso sintasa

C27H29N5O

1399177-37-7

**dexepicatechinum**

dexepicatechin

(2S,3S)-2-(3,4-dihydroxyphenyl)-3,4-dihydro-2H-1-benzopyran-3,5,7-triol
antioxidant

dexépicatéchine

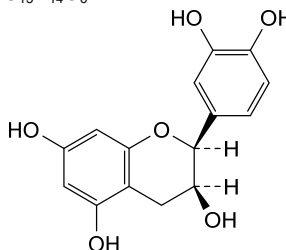
(2S,3S)-2-(3,4-dihydroxyphényle)-3,4-dihydro-2H-1-benzopyran-3,5,7-triol
antioxydant

dexepicatechina

(2S,3S)-2-(3,4-dihidroxifenil)-3,4-dihidro-2H-1-benzopirano-3,5,7-triol
antioxidante

C15H14O6

35323-91-2

**domofenogenum zalfaparvovecum #**

domofenogene zalfaparvovec

recombinant, replication-incompetent adeno-associated virus serotype 5 (AAV5) vector encoding codon-optimized human phenylalanine hydroxylase (hPAH) under control of a liver-selective transcription regulatory element (TRE), consisting of the apolipoprotein E enhancer and the human alpha-1 anti-trypsin promoter, a human alpha-1 anti-trypsin/human beta-globin hybrid intron and terminated by the bovine growth hormone polyadenylation sequence, flanked by AAV2 inverted terminal repeats (ITRs).
gene therapy (phenylalanine hydroxylase deficiency)

domofénogène zalfaparvovec	vecteur recombinant, incompétent à la réPLICATION, du virus adéno-associé de sérotype 5 (AAV5), codant la phénylalanine hydroxylase humaine (hPAH) aux codons optimisés, sous le contrôle d'un élément régulateur de transcription (TRE) sélectif du foie, constitué de l'amplificateur de l'apolipoprotéine E et du promoteur de l'antitrypsine alpha-1 humaine, d'un intron hybride antitrypsine alpha-1 humaine/béta-globine humaine, terminé par la séquence de polyadénylation de l'hormone de croissance bovine, flanqué de répétitions terminales inversées (ITRs) de l'AAV2. <i>thérapie génique (déficit en phénylalanine hydroxylase)</i>
domofenogén zalfaparvovec	vector de virus adenoasociado de serotipo 5 (AAV5) recombinante, incompetente para la replicación, que codifica para la fenilalanina hidroxilasa humana, con codones optimizados, bajo el control de un elemento regulador de la transcripción (TRE) selectivo de hígado consistente en un potenciador de la apolipoproteína E y el promotor de la alfa-1 antitripsina humana, un intrón híbrido de la alfa-1 antitripsina humana/beta-globina humana y terminada por la secuencia de poliadenilación de la hormona de crecimiento bovina, flanqueado por las repeticiones terminales invertidas (ITRs) del AAV2. <i>terapia génica (deficiencia de fenilalanina hidroxilasa)</i>

2382896-04-8

doruxapapogenum ralaplasmidum #

doruxapapogene ralaplasmid

DNA plasmid encoding a fusion protein consisting of E6 and E7 proteins from human papilloma virus (HPV) types 11 and 6, with each protein coding sequence separated by a furin P2A cleavage site in the order HPV11 E6/furin peptide/HPV11 E7/furin peptide/HPV6 E6/furin peptide/HPV6 E7, having an N-terminal immunoglobulin E (IgE) leader sequence, driven by a human cytomegalovirus (CMV) immediate-early promoter and terminated by the bovine growth hormone polyadenylation signal (bGH polyA). The plasmid also contains a pUC origin of replication and a *kanamycin* resistance gene.
gene therapy (antiviral)

doruxapapogène ralaplasmide

plasmide d'ADN codant une protéine de fusion constituée des protéines E6 et E7 des types 11 et 6 du virus du papillome humain (HPV), chaque séquence codant une protéine étant séparée par un site de clivage de la furine P2A dans l'ordre suivant: HPV11 E6/peptide de la furine/HPV11 E7/peptide de la furine/HPV6 E6/peptide de la furine/HPV6 E7, ayant une séquence de tête de l'immunoglobuline E (IgE) en N-terminal, induite par un promoteur immédiat précoce du cytomégavirus humain (CMV) et terminée par le signal de polyadénylation de l'hormone de croissance bovine (bGH polyA). Le plasmide contient également une origine de réPLICATION pUC et un gène de résistance à la kanamycine.
thérapie génique (antiviral)

doruxapapogén ralaplásmito

plásmido de ADN que codifica para una proteína de fusión que consta de las proteínas E6 y E7 del virus del papiloma humano (VPH) tipos 11 y 6, con la secuencia que codifica para cada proteína separada por un sitio de escisión de furina P2A en el orden VPH11 E6/péptido de furina/VPH11 E7/ péptido de furina/VPH6 E6/péptido de furina/VPH6 E7, teniendo una secuencia líder N-terminal de immunoglobulina E (IgE), dirigido por un promotor inmediato-temprano del citomegalovirus (CMV) humano y terminado por una señal de poliadenilación de la hormona de crecimiento bovina. El plásmido también contiene un origen de replicación pUC y un gen de resistencia a *kanamicina*. *terapia génica (antiviral)*

2416305-95-6

doxecitimum

doxecitine

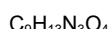
2'-deoxycytidine;
4-amino-1-(2-deoxy- β -D-*erythro*-pentofuranosyl)pyrimidin-2(1*H*)-one
nucleotide precursor

doxécitine

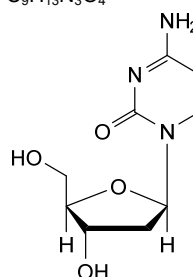
2'-désoxycytidine;
4-amino-1-(2-désoxy- β -D-*érythro*-pentofuranosyl)pyrimidin-2(1*H*)-one
précurseur nucléotidique

doxecitina

2'-desoxicitidina;
4-amino-1-(2-desoxi- β -D-*eritro*-pentofuranosil)pirimidin-2(1*H*)-ona
precursor de nucleótidos



951-77-9

**doxribtiminum**

doxribtimine

thymidine;
1-(2-deoxy- β -D-*erythro*-pentofuranosyl)-5-methylpyrimidine-2,4(1*H,3H*)-dione
nucleotide precursor

doxribtimine

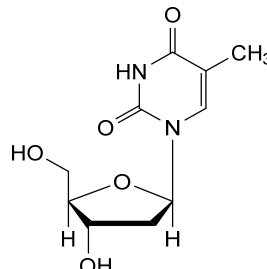
thymidine;
1-(2-désoxy- β -D-*érythro*-pentofuranosyl)-5-méthylpyrimidine-2,4(1*H,3H*)-dione
précurseur nucléotidique

doxribtimina

timidina;
1-(2-desoxi- β -D-*eritro*-pentofuranosil)-5-metilpirimidina-
2,4(1H,3H)-diona
precursor de nucleótidos

 $C_{10}H_{14}N_2O_5$

50-89-5

**dresbuxelimab #**

dresbuxelimab

immunoglobulin G1-kappa, anti-[*Homo sapiens* NT5E
(5'-nucleotidase ecto, 5' nucleotidase, 5'-NT, NT5, CD73)],
humanized monoclonal antibody;
gamma1 heavy chain humanized (1-451) [VH (*Homo sapiens*
IGHV1-46*01 (81.6%) -(IGHD) -IGHJ4*01 (86.7%) L123>T
(116), V124>L (117), CDR-IMGT [8.8.14] (26-33.51-58.97-
110)) (1-121) -*Homo sapiens* IGHG1*01, G1m17,1, G1v14
CH2 A1.3, A1.2 (CH1 K120 (218) (122-219), hinge 1-15 (220-
234), CH2 L1.3>A (238), L1.2>A (239) (235-344), CH3 D12
(360), L14 (362) (345-449), CHS (450-451)) (122-451)], (224-
220')-disulfide with kappa light chain humanized (1'-220') [V-
KAPPA (*Homo sapiens* IGKV4-1*01 (89.1%) -IGKJ2*01
(91.7%) Q120>G (106), CDR-IMGT [12.3.9] (27-38.56-58.95-
103)) (1'-113') -*Homo sapiens* IGKC*01 (100%), Km3 A45.1
(159), V101 (197) (114'-220')]; dimer (230-230":233-233")-
bisdisulfide, produced in Chinese hamster ovary (CHO) cells,
glycoform alfa
immunomodulator

dresbuxélimab

immunoglobuline G1-kappa, anti-[*Homo sapiens* NT5E (5' ecto
nucléotidase, 5' nucléotidase, 5'-NT, NT5, CD73)], anticorps
monoclonal humanisé;
chaîne lourde gamma1 humanisée (1-451) [VH (*Homo sapiens*
IGHV1-46*01 (81.6%) -(IGHD) -IGHJ4*01 (86.7%) L123>T
(116), V124>L (117), CDR-IMGT [8.8.14] (26-33.51-58.97-
110)) (1-121) -*Homo sapiens* IGHG1*01, G1m17,1, G1v14
CH2 A1.3, A1.2 (CH1 K120 (218) (122-219), charnière 1-15
(220-234), CH2 L1.3>A (238), L1.2>A (239) (235-344), CH3
D12 (360), L14 (362) (345-449), CHS (450-451)) (122-451)],
(224-220')-disulfure avec la chaîne légère kappa humanisée
(1'-220') [V-KAPPA (*Homo sapiens* IGKV4-1*01 (89.1%) -
IGKJ2*01 (91.7%) Q120>G (106), CDR-IMGT [12.3.9] (27-
38.56-58.95-103)) (1'-113') -*Homo sapiens* IGKC*01 (100%),
Km3 A45.1 (159), V101 (197) (114'-220')]; dimère (230-
230":233-233")-bisdisulfure, produit dans des cellules
ovariennes de hamster chinois (CHO), glycoforme alfa
immunomodulateur

dresbuxelimab

inmunoglobulina G1-kappa, anti-[*Homo sapiens* NT5E (5' ecto
nucleotidasa, 5' nucleotidasa, 5'-NT, NT5, CD73)], anticuerpo
monoclonal humanizado;

cadena pesada gamma1 humanizada (1-451) [VH (*Homo sapiens* IGHV1-46*01 (81.6%) -(IGHD) -IGHJ4*01 (86.7%) L123>T (116), V124>L (117), CDR-IMGT [8.8.14] (26-33.51-58.97-110)) (1-121)-*Homo sapiens* IGHG1*01, G1m17,1, G1v14 CH2 A1.3, A1.2 (CH1 K120 (218) (122-219), bisagra 1-15 (220-234), CH2 L1.3>A (238), L1.2>A (239) (235-344), CH3 D12 (360), L14 (362) (345-449), CHS (450-451)) (122-451)], (224-220')-disulfuro con la cadena ligera kappa humanizada (1'-220') [V-KAPPA (*Homo sapiens* IGKV4-1*01 (89.1%) -IGKJ2*01 (91.7%) Q120>G (106), CDR-IMGT [12.3.9] (27-38.56-58.95-103)) (1'-113') -*Homo sapiens* IGKC*01 (100%), Km3 A45.1 (159), V101 (197) (114'-220')]; dímero (230-230":233-233")-bisdisulfuro, producido en las células ováricas de hamster chino (CHO), forma glicosilada alfa *inmunomodulador*

2550560-20-6

Heavy chain / Chaîne lourde / Cadena pesada

QVQLVQSGAE VVKPGAVSVK CCKASGVSTF GYTMNWRQA PGQNLEWIGL 50
INPYNAGTSY NQKFQGKVIL TVDKSTSTAY MELSSLRSED TAVYYCARSE 100
YRYGGDYFDY WGQGTTLTWS SASTKGPSVF PLAFSSKTS GGTAALGCLV 150
KDYPFPEFTV SWNSGALTSG VHTTFAVLQSG SGLYSSLSSV TVPSSSLGTQ 200
TYICVNHHKP SNTKVKVKVPSV PKSCDKTHTC PPCPAPEAAQ GPSPVLFPPK 250
PKDTLMSRT PEVTCVVDYI SHEDPEVKFN WYVDGVEVHN AKTKPREEQY 300
NSTYRVVSVL TVLHQDWLNG KEYKCKVSNK ALPAPIEKTI SAKAKQPREP 350
QVYTLPPSRD ELTKNQVSLT CLVKGQFYPSD IAVEWESENQ PENNYKTPPP 400
VLDSDGSFFL YSKLTVDKRSR WQQGNVFSCS VMHEALHNHY TQKSLSLSPG 450
K 451

Light chain / Chaîne légère / Cadena ligera

DIVMTQSPSS LAVS3GERVT ISCKKSQSLL NSSNQKNYLA WTQQKPGQAP 50
KLLLYFASTR ESGVDPFRSG SSGSGTDFLT ISSLQAEVDIA VYYCQCHYDT 100
PYTFGGTKL EIKRTVAQPS VIFIPPSDEQ LKSGTASVVC LLNNFYPREA 150
KVQWKVDNAL QSGNQSESVT EQDSKSTDSTS LSSTLTLASKA DYEKHKVYAC 200
EVTHHQGLSSP VTKSFNRGEC 220

Post-translational modifications

Disulfide bridges location / Position des ponts disulfure / Posiciones de los puentes disulfuro
Intra-H (C23-C104) 22-96 148-204 265-325 371-429
22"-96" 148"-204" 265"-325" 371"-429"
Intra-L (C23-C104) 23"-94" 140"-200"
23"-94" 140"-200"
Inter-H-L (h 5-CL 126) 224-220" 224"-220"
Inter-H-H (h 11, h 14) 230-230" 233-233"

N-terminal glutaminyl cyclization / Cyclisation du glutaminyle N-terminal / Ciclación del glutaminilo N-terminal
H VH Q1 > pyroglutamyl (pE, 5-oxoprolyl): 1, 1"

N-glycosylation sites / Sites de N-glycosylation / Posiciones de N-glicosilación
H CH2 N84.4:301, 301"
Fucosylated complex bi-antennary CHO-type glycans / glycanes de type CHO bi-anténaires complexes fucosylés / glicanos de tipo CHO biantenarios complejos fucosilados.

C-terminal lysine clipping / Coupe de la lysine C-terminale / Recorte de lisina C-terminal
H CHS K2:451, 451"

eblasakimabum #

eblasakimab

immunoglobulin G4-kappa, anti-[*Homo sapiens* IL13RA1 (interleukin 13 receptor subunit alpha 1, CD213a1)], *Homo sapiens* monoclonal antibody;
gamma4 heavy chain *Homo sapiens* (1-445) [VH (*Homo sapiens* IGHV5-51*01 (98.0%) -(IGHD) -IGHJ1*01 (85.7%), CDR-IMGT [8.8.11] (26-33.51-58.97-107)) (1-118)-*Homo sapiens* IGHG4*01, G4v5 h P10 (CH1 (119-216), hinge 1-12 S10>P (226) (217-228), CH2 (229-338), CH3 (339-443), CHS (444-445)) (119-445)), (132-211')-disulfide with kappa light chain *Homo sapiens* (1'-211') [V-KAPPA (*Homo sapiens* IGKV3-20*01 (97.9%) -IGKJ1*01 (100%), CDR-IMGT [7.3.5] (27-33.51-53.90-94)) (1'-104') -*Homo sapiens* IGKC*01 (100%), Km3 A45.1 (150), V101 (188) (105'-211')]; dimer (224-224":227-227")-bisdisulfide, produced in a Chinese hamster ovary (CHO) cell line derived from CHO-K1, glycoform alfa *immunomodulator*

éblasakimab	immunoglobuline G4-kappa, anti-[<i>Homo sapiens</i> IL13RA1 (sous-unité alpha 1 du récepteur de l'interleukine 13, CD213a1)], anticorps monoclonal <i>Homo sapiens</i> ; chaîne lourde gamma4 <i>Homo sapiens</i> (1-445) [VH (<i>Homo sapiens</i> IGHV5-51*01 (98.0%) -(IGHD) -IGHJ1*01 (85.7%), CDR-IMGT [8.8.11] (26-33.51-58.97-107)) (1-118)- <i>Homo sapiens</i> IGHG4*01, G4v5 h P10 (CH1 (119-216), charnière 1-12 S10>P (226) (217-228), CH2 (229-338), CH3 (339-443), CHS (444-445)) (119-445)], (132-211')-disulfure avec la chaîne légère kappa <i>Homo sapiens</i> (1'-211') [V-KAPPA (<i>Homo sapiens</i> IGKV3-20*01 (97.9%) -IGKJ1*01 (100%), CDR-IMGT [7.3.5] (27-33.51-53.90-94)) (1'-104') - <i>Homo sapiens</i> IGKC*01 (100%), Km3 A45.1 (150), V101 (188) (105'-211')]; dimère (224-224"-227-227")-bisdisulfure, produit dans des cellules ovaries de hamster chinois (CHO) dérivant de la lignée cellulaire CHO-K1, glycoforme alfa <i>immunomodulateur</i>
eblasakimab	inmunoglobulina G4-kappa, anti-[<i>Homo sapiens</i> IL13RA1 (subunidad alfa 1 del receptor de la interleukina 13, CD213a1)], anticuerpo monoclonal <i>Homo sapiens</i> ; cadena pesada gamma4 <i>Homo sapiens</i> (1-445) [VH (<i>Homo sapiens</i> IGHV5-51*01 (98.0%) -(IGHD) -IGHJ1*01 (85.7%), CDR-IMGT [8.8.11] (26-33.51-58.97-107)) (1-118)- <i>Homo sapiens</i> IGHG4*01, G4v5 h P10 (CH1 (119-216), bisagra 1-12 S10>P (226) (217-228), CH2 (229-338), CH3 (339-443), CHS (444-445)) (119-445)], (132-211')-disulfuro con la cadena ligera kappa <i>Homo sapiens</i> (1'-211') [V-KAPPA (<i>Homo sapiens</i> IGKV3-20*01 (97.9%) -IGKJ1*01 (100%), CDR-IMGT [7.3.5] (27-33.51-53.90-94)) (1'-104') - <i>Homo sapiens</i> IGKC*01 (100%), Km3 A45.1 (150), V101 (188) (105'-211')]; dímero (224-224"-227-227")-bisdisulfuro, producido en las células ováricas de hamster chino (CHO) línea celular derivada de CHO-K1, forma glicosilada alfa <i>inmunomodulador</i>

2445460-16-0

Heavy chain / Chaîne lourde / Cadena pesada

EVQLVQSGAE VKPGESIKEI SCKGSGYSFT SYWIGWVRQM PGKGLEWMGV 50
 TVPGDSVTRY SPSPQGVITI SADKSISTAY LQWSSLKASD TAMYYCARMV 100
 NWGSLDHWGQ GTLTVTSSA TKGPVFVPLA PCSRSTSEST AALGCLVKDY 150
 FPEPVTVPSWN SGALTSGVHT FPAVQLQSSGL YSLSSVVVTEV SSSLGTKTY 200
 CNVDHKPSNT KVDKRVESKY GPPCPFCPAP EFLGGPSVFL FPFPKPKDTIM 250
 ISRTPEVTCV VVUDSQEDEP VQFNWYVWDGT EVHNNAKTKP EEEQFNSTYRV 300
 VSVLTVLHQD WINGKEYKCK VSNLKGLPSSI EKTISKAKGO PREPQVYTLIP 350
 PSQEEMTKNQ VSLTCLVKGF YPSDIAVEWE SNGQPENNYK TTPVLDSDG 400
 SFFLYSRILTV DKSRLWQEGNV FSCSTMVHEAL HNHYTQKSL SLSLGK 445

Light chain / Chaîne légère / Cadena ligera

EIVLTQSGFT LSLSPGERAT LSCRASQSQIS SSYLAWSYQQK PGQAPRLLIY 50
 GASSRATGIP DRFGSGSGST DFTLTSRLE PEDFAVYVCO QYASFQGQTKT 100
 VEIKRTVAAP SVFIFPESDE QLKSGTASVV CLLNNFYPRE AKVQWKVDNA 150
 LQSGNSQESV TEQDSDKSTDY SLSSLTLSK ADYEKKHVYA CEVTHQGLSS 200
 PVTKSFNRGE C 211

Post-translational modifications

Disulfide bridges location / Position des ponts disulfure / Posiciones de los puentes disulfuro

Intra-H (C23-C104) 22"-96" 145"-201" 259"-319" 365"-423"

22"-96" 145"-201" 259"-319" 365"-423"

Intra-L (C23-C104) 23"-89" 131"-191"

23"-89" 131"-191"

Inter-H-L (h 10-CL 126) 132-211" 132"-211"

Inter-H-H (h 8, h 11) 224-224" 227-227"

N-glycosylation sites / Sites de N-glycosylation / Posiciones de N-glicosilación

H CH2 N84.4: 295, 295"

Fucosylated complex bi-antennary CHO-type glycans / glicanes de tipo CHO bi-antennarios complejos fucosilados.

C-terminal lysine clipping / Coupe de la lysine C-terminale / Recorte de lisina C-terminal
H CHS K2: 445, 445"

ecleralimabum #

ecleralimab

immunoglobulin Fab G1-lambda2, anti-[*Homo sapiens* TSLP (thymic stromal lymphopoitin)], monoclonal antibody; VH-(CH1-hinge) gamma1 heavy chain (1-223) [VH (*Homo sapiens*IGHV3-15*07 (94.9%) -(IGHD) -IGHJ5*01 (100%), CDR-IMGT [8.10.11] (26-33.51-60.99-109)) (1-120) -CH1-hinge (*Homo sapiens*IGHG1*03 (100%), G1m3 (CH1 R120 (217) (121-218), hinge 1-5 (219-223)) (121-223)], (223-212')-disulfide with lambda2 light chain (1'-213') [V-LAMBDA (*Homo sapiens*IGLV3-9*01 (91.2%) -IGLJ2*01 (100%), CDR-IMGT [6.3.10] (26-31.49-51.88-97)) (1'-107') -*Homo sapiens*IGLC2*01(100%) (108'-213')], produced in Chinese hamster ovary (CHO) cells, non-glycosylated
immunomodulator

écleralimab

immunoglobuline Fab G1-lambda2, anti-[*Homo sapiens* TSLP (lymphopoïétine stromale thymique)], anticorps monoclonal; VH-(CH1-charnière) chaîne lourde gamma1 (1-223) [VH (*Homo sapiens*IGHV3-15*07 (94.9%) -(IGHD) -IGHJ5*01 (100%), CDR-IMGT [8.10.11] (26-33.51-60.99-109)) (1-120) -CH1-charnière (*Homo sapiens*IGHG1*03 (100%), G1m3 (CH1 R120 (217) (121-218), charnière 1-5 (219-223)) (121-223)], (223-212')-disulfure avec la chaîne légère lambda2(1'-213') [V-LAMBDA (*Homo sapiens*IGLV3-9*01 (91.2%) -IGLJ2*01 (100%), CDR-IMGT [6.3.10] (26-31.49-51.88-97)) (1'-107') -*Homo sapiens*IGLC2*01(100%) (108'-213')], produit dans des cellules ovarianes de hamster chinois (CHO), non-glycosylé
immunomodulateur

ecleralimab

inmunoglobulina Fab G1-lambda2, anti-[*Homo sapiens* TSLP (linfopoyetina estromal tímica)], anticuerpo monoclonal; VH-(CH1-bisagra) cadena pesada gamma1 (1-223) [VH (*Homo sapiens*IGHV3-15*07 (94.9%) -(IGHD) -IGHJ5*01 (100%), CDR-IMGT [8.10.11] (26-33.51-60.99-109)) (1-120) -CH1-bisagra (*Homo sapiens*IGHG1*03 (100%), G1m3 (CH1 R120 (217) (121-218), bisagra 1-5 (219-223)) (121-223)], (223-212')-disulfuro con la cadena ligera lambda2(1'-213') [V-LAMBDA (*Homo sapiens*IGLV3-9*01 (91.2%) -IGLJ2*01 (100%), CDR-IMGT [6.3.10] (26-31.49-51.88-97)) (1'-107') -*Homo sapiens*IGLC2*01(100%) (108'-213')], producido en las células ováricas de hámster chino (CHO), no glicosilado
inmunomodulador

2415207-91-7

Heavy chain / Chaîne lourde / Cadena pesada

EVQLVESGGG LVKPGSRL SCAASGFTS DYWMHWVRQA PGKGLEWVGH 50
IKSKTDAGTT DYAAPVKGRF TISRDDSKNL LYLOMNSLKT EDTAVYYCAR 100
EIYYYAFDSW GGGTLVTVSS ASTKGPSVFP LAPSSKSTSG GTAALGCLVK 150
DYFPEPVTVS WNSGALTSGV HTFFFAVLQSS GLYSLSVVVT VPSSSLGTQT 200
YICNVNHHKS NTKVVDKRVEE KSC 223

Light chain / Chaîne légère / Cadena ligera

SYELTOPLSV SVALGQATARI TCGSDNIGSK YVHWYQQKPG QAPVVLVIYGD 50
NERRSGIPER FGSNSGNNTA TLTIISRQAG DEADYYCQAA DWVDFYVFGG 100
GKLTVLQGP KAAFSVTLFP PSSEELQANK ATLVCVLISDF YPGAVTVAWK 150
ADSSPVKAGV ETTTPSQRQN NKYAAASSYLS LTPEQWKSRR SYSCQVTHEG 200
STVEKTVAPT ECS 213

Post-translational modifications

Disulfide bridges location / Position des ponts disulfure / Posiciones de los puentes disulfuro
Intra-H (C23-C104) 22-98 147-203
Intra-L (C23-C104) 22-87' 135'-194'
Inter-H-L (h 5-CL 126) 223-212'

No N-glycosylation sites / pas de site de N-glycosylation / ningún posición de N-glicosilación

efdamrofuspum alfa #

efdamrofusp alfa

human vascular endothelial growth factor receptor 1 (VEGFR-1) immunoglobulin-like domain 2 containing fragment (104-204, 1-101 in the current sequence), fused via human vascular endothelial growth factor receptor 2 (VEGFR-2) immunoglobulin-like domain 3 containing fragment (206-308, 102-204 in the current sequence) to human immunoglobulin G1 Fc fragment (205-431), fused via peptidyl linker $^{432}\text{GGGGGG}^{437}$ to human complement receptor type 1 (CR1) fragment (1-192, 438-629 in the current sequence) variant ($\text{N}^{29}>\text{K}^{466}$, $\text{S}^{37}>\text{Y}^{474}$, $\text{G}^{79}>\text{D}^{516}$, $\text{D}^{109}>\text{N}^{546}$), dimer, produced in Chinese hamster ovary (CHO) cells, glycoform alfa;
 VEGFR1/VEGFR2 fragments-IgG1 Fc-CR1 fusion protein: human vascular endothelial growth factor receptor 1 (VEGFR1) (104-204)-peptide (containing the Ig-like C2-type domain 2) (1-101) / human vascular endothelial growth factor receptor 2 (VEGFR2) (206-308)-peptide (containing the Ig-like C2-type domain 3) (102-204) / human immunoglobulin G1 heavy chain constant region C-terminal 227-peptide fragment (IgG1 Fc) (205-431) [*Homo sapiens* IGHG1*01; hinge: 205-214; CH2: 215-324; CH3: 325-429; CHS: 430-431] / G_6 peptide linker (432-437) / human complement receptor type 1 (CR1) [$\text{N}^{29}>\text{K}^{466}$, $\text{S}^{37}>\text{Y}^{474}$, $\text{G}^{79}>\text{D}^{516}$, $\text{D}^{109}>\text{N}^{546}$] (1-192)-peptide (438-629) fusion protein, dimer (210-210':213-213')-bisdisulfide, produced in Chinese hamster ovary (CHO) cells, glycoform alfa
angiogenesis inhibitor

efdamrofusp alfa

fragment contenant le domaine 2 de type immunoglobuline du récepteur 1 du facteur de croissance endothélique vasculaire humain (VEGFR-1) (104-204, 1-101 dans la séquence actuelle), fusionné via un fragment contenant le domaine 3 de type immunoglobuline du récepteur 2 du facteur de croissance endothélique vasculaire humain (VEGFR-2) (206-308, 102-204 dans la séquence actuelle) au fragment Fc de l'immunoglobuline G1 humaine (205-431), fusionné via une liaison peptidique $^{432}\text{GGGGGG}^{437}$ au fragment du récepteur du complément humain de type 1 (CR1) (1-192, 438-629 dans la séquence actuelle), variant ($\text{N}^{29}>\text{K}^{466}$, $\text{S}^{37}>\text{Y}^{474}$, $\text{G}^{79}>\text{D}^{516}$, $\text{D}^{109}>\text{N}^{546}$), dimère, produit dans des cellules ovariennes de hamster chinois (CHO), glycoforme alfa; protéine de fusion des fragments VEGFR1 et VEGFR2, de l'IgG1 Fc et de CR1: protéine de fusion du récepteur 1 du facteur de croissance de l'endothélium vasculaire humain (VEGFR1), peptide 104-204 (contenant le domaine 2 de type C2 de type Ig) (1-101) / récepteur 2 du facteur de croissance de l'endothélium vasculaire humain (VEGFR2), peptide 206-308 (contenant le domaine 3 de type C2 de type Ig) (102-204) / région constante à chaîne lourde de l'immunoglobuline humaine G1 (fragment de 227-peptidique en C-terminal, IgG1 Fc) (205-431) [*Homo sapiens* IGHG1*01; charnière: 205-214; CH2: 215-324; CH3: 325-429; CHS: 430-431] / liaison peptidique G_6 (432-437) / récepteur du complément humain de type 1 (CR1) [$\text{N}^{29}>\text{K}^{466}$, $\text{S}^{37}>\text{Y}^{474}$, $\text{G}^{79}>\text{D}^{516}$, $\text{D}^{109}>\text{N}^{546}$] peptide 1-192 (438-629), dimère (210-210':213-213')-bisdisulfure, produit dans des cellules ovariennes de hamster chinois (CHO), glycoforme alfa
inhibiteur de l'angiogénèse

efdamrofusp alfa

el receptor 1 del factor de crecimiento endotelial vascular humano (VEGFR-1) dominio 2 de tipo de inmunoglobulina contenido fragmento (104-204, 1-101 en la secuencia actual), fusionado a través del receptor del factor 2 de crecimiento endotelial vascular humano (VEGFR-2) dominio 3 de tipo de inmunoglobulina contenido fragmento (206-308, 102-204 en la secuencia actual) al fragmento de la inmunoglobulina humana G1 Fc (205-431), fusionado a través de un enlace peptidil $^{432}\text{GGGGGG}^{437}$ al receptor humano complementario 1 (CR1) fragmento (1-192, 438-629 en la secuencia actual) variante

(N²⁹>K⁴⁶⁶, S³⁷>Y⁴⁷⁴, G⁷⁹>D⁵¹⁶, D¹⁰⁹>N⁵⁴⁶), dímero, producido en células ováricas de hámster chino (CHO), glicoforma alfa; proteína de fusión de fragmentos de VEGFR1 y VEGFR2, IgG1 Fc y CR1: proteína de fusión del receptor 1 humano del factor de crecimiento endotelial vascular (VEGFR1), péptido 104-204 (que contiene el dominio 2 de tipo C2 tipo Ig) (1-101) / receptor 2 humano del factor de crecimiento humano endotelio vascular (VEGFR2), péptido 206-308 (que contiene el dominio 3 de tipo C2 tipo Ig) (102-204) / inmunoglobulina G1 humana, región constante de la cadena pesada (fragmento de 227-péptido C-terminal, IgG1 Fc) (205-431) [*Homo sapiens* IGHG1*01; bisagra: 205-214; CH2: 215-324; CH3: 325-429; CHS: 430-431] / péptido G₆ de unión (432-437) / receptor de tipo 1 del complemento humano (CR1) [N²⁹>K⁴⁶⁶, S³⁷>Y⁴⁷⁴, G⁷⁹>D⁵¹⁶, D¹⁰⁹>N⁵⁴⁶] péptido 1-192 (438-629), dímero (210-210':213-213')-bisdisulfuro, producido en células ováricas de hámster chino (CHO), glicoforma alfa *inhibidor de la angiogénesis*

C₆₂₄₀H₉₇₀₈N₁₇₀₀O₁₈₇₄S₅₈

2375661-82-6

Sequence / Séquence / Secuencia

```
DTGRPFVEMY SEIPEIHM EGRELVIPC R VTSPNITVIL KKEPLDTLIP      50
DGKRIIWDSR KGFIISNATY KEIGLLTCEA TVNGHLYKTN YLTHRQNTNI 100
IDVVLSPSHG IELSVGEKLV LNCTARTEILN VGIDFWNEIP SSKHQHKKLV 150
NRDLKTSQGS EMKKFLSTLT IDGVTRSDQQ LYTCAAASSGL MTRKNSTFV 200
VHEKDQHTC PPCPAPEILL GSVELFFPK PKDTLMISRT PEVTKNVVDV 250
SHEDPEVKFN WYVDGVEVHAY AKTKPREEQY NSTYRVVSVL TVLHQDWLNG 300
KEYKCKVSNK ALAPATEKTI SKAKQCPREP QVYTLPSSRD ELTKNQNSLT 350
CLVKGFYPSD IAVEWESENQG PENNYKTTTP VLDSDGSSFL YSKLTVDKSR 400
WQQGNVFS CS VMHEALHHNHY TQKSLSLSPG KGGGGQQCN APEWLFPARP 450
TNLTDEEFPF IGTYLKYECR PGYTGRPFST ICLKNWSWIG AKDRCCRKSC 500
RNPPDPVNGM VHVIDIQFG SOQYSCTKG YRLIGSSSAT CIISTNTVIW 550
DNETPICDRI PCCGLPFTITN GDFISTNREN PHYGSVVTYR CNPGSGGRKV 600
FELVGEPSI CTSNDQVGVI WSGPAPQCI 629
```

Mutation sites / Sites de mutation / Posiciones de mutación

N466>**K**, S474>**Y**, G516>**D**, D546>**N**
N466>**K**, S474>**Y**, G516>**D**, D546>**N**

Peptide linker / Peptide liant / Péptido de unión
432 **GGGGGG** 437 (1-6)

Post-translational modifications

Disulfide bridges location / Position des ponts disulfure / Posición del puentes disulfuro
Intra-chain VEGFR1: 29-78; VEGFR2: 123-184; Fc: 245-305, 351-409
VEGFR1': 29'-78'; VEGFR2': 123'-184'; Fc': 245'-305', 351'-409'
CR1: 439-482, 469-495, 500-541, 527-557, 562-611, 591-628
CR1': 439'-482', 469'-495', 500'-541', 527'-557', 562'-611', 591'-628'
Inter-chain Fc-Fc': 210-210', 213-213'

N-Glycosylation sites / Sites de N-glycosylation / Posiciones de N-glicosilación
VEGFR1: N35, N67; VEGFR2: N122, N195; Fc: N281; CR1: N452, N552
VEGFR1': N35', N67'; VEGFR2': N122', N195'; Fc': N281'; CR1': N452', N552'
Fucosylated complex bi-antennary CHO-type glycans / glycanes de type CHO bi-antennaires complexes fucosylés / glicanos de tipo CHO bianténarios complejos fucosilados

efprezimodum alfa #

efprezimod alfa

human signal transducer CD24 (CD24, small cell lung carcinoma cluster 4 antigen) fragment (1-30), fused to a human immunoglobulin Fc fragment (31-261), dimer, produced in Chinese hamster ovary (CHO) cells, glycoform alfa;
human signal transducer CD24 (CD24, CD24A, heat stable antigen CD24, small cell lung carcinoma cluster 4 antigen) (1-30)-peptide fused with a human immunoglobulin G1 C-terminal Fc (heavy chain constant fragment) (31-261) [*Homo sapiens* IGHG1*01; hinge: 31-44 (E30del); CH2: 45-154; CH3: 155-259; CHS: 260-261]; dimer (40-40':43-43')-bisdisulfide, produced in Chinese hamster ovary (CHO) cells, glycoform alfa
immunomodulator

efprézimod alfa

fragment (1-30) du transducteur de signal humain CD24 (CD24, antigène 4 d'amas de carcinome pulmonaire à petites cellules), fusionné à un fragment Fc d'immunoglobuline humaine (31-261), dimère, produit dans des cellules ovariennes de hamster chinois (CHO), glycoforme alfa;
 peptide 1-30 du transducteur de signal CD24 humain (CD24, CD24A, antigène thermostable CD24, antigène 4 d'amas de carcinome pulmonaire à petites cellules), fusionné à un Fc de l'extrémité C-terminale de l'immunoglobuline G1 humaine (31-261) [*Homo sapiens*IGHG1*01; chaîne: 31-44 (E30del); CH2: 45-154; CH3: 155-259; CHS: 260-261]; dimère (40-40':43-43')-bisdisulfure, produit par des cellules ovariennes de hamsters chinois (CHO), glycoforme alfa
immunomodulateur

efprezimod alfa

fragment humano del transductor de señal CD24 (CD24, antígeno 4 del grupo de carcinoma de pulmón de células pequeñas) (1-30), fusionado a un fragmento Fc de la inmunoglobulina humana (31-261), dímero, producido en células ováricas de hamster chino (CHO), glicoforma alfa;
 péptido 1-30 del transductor de señal CD24 humano (CD24, CD24A, antígeno estable al calor CD24, antígeno 4 del grupo de carcinoma de pulmón de células pequeñas), fusionado a un fragmento Fc C-terminal de la inmunoglobulina G1 humana (31-261) [*Homo sapiens*IGHG1*01; bisagra: 31-44 (E30del); CH2: 45-154; CH3: 155-259; CHS: 260-261]; dímero (40-40':43-43')-bisdisulfuro, producido en las células ováricas de hámster chino (CHO), glicoforma alfa
inmunomodulador

2574508-57-7

Sequence / Séquence / Secuencia

SETTTGTSSN SSQSTSNSGL APNPTNATTK PKSCDKHTC PPCPAPELLG	50
GPSVFLFPFK PKDTLMISRT FEVTCVVVDF SHDPEVKFEN WYVDGVEVHN	100
AKTKPREEQY NSTYRVSVL TVLHQDWLNG KEYKCKVSNALPAPIEKTI	150
SKAKGQPREP QVYTLPPSRD ELTKNQVSLT CLVKGFYPSD IAVEWESNGO	200
PENNYKTTPR VLDSDGSEFL YSKLTVDKSR WQQGNVFSCS VMHEALHNHY	250
TQKSLSLSPG K	261

Post-translational modifications

Disulfide bridges location / Position des ponts disulfure / Posiciones de los puentes disulfuro
 Intra-chain 75-125 181-239
 75'-125' 181'-239'
 Inter-chain 40-40' 43-43'

N-glycosylation sites / Sites de N-glycosylation / Posiciones de N-glicosilación
 N10, N26, N111,
 N10', N26', N111'

C-terminal lysine clipping / Coupe de la lysine C-terminale / Recorte de lisina C-terminal
 H CHS K2: K261, K261'

efzofitimidum

efzofitimod

human L-methionyl immunoglobulin G1 Fc fragment (1-228) fused to human histidine tRNA synthetase fragment (2-60, 229-287 in the current sequence), dimer, non-glycosylated, produced in *Escherichia coli*; L-methionyl human immunoglobulin G1 Fc (1-228) fused to the (2-60)-peptide of human histidine-tRNA ligase, dimer: L-methionyl-immunoglobulin G1 (*Homo sapiens*) γ1-chain C-terminal 227-peptide Fc fragment

(1-228) [*Homo sapiens* IGHG1*01; hinge: 1-11; CH2: 12-121; CH3: 122-226; CHS: 227-228] fused with the (2-60)-peptide (neuropilin-2-binding domain, HARS iMod domain, WHEP-TRS domain) (229-287) of human cytoplasmic histidine-tRNA ligase (histidyl-tRNA synthetase, HisRS, HRS, HARS1, HARS, EC:6.1.1.21), dimer (7'-10'-bisdisulfide, non-glycosylated, produced in *Escherichia coli*)
immunomodulator

efzofitimod

fragment Fc de l'immunoglobuline G1 humaine L-méthionyl (1-228) fusionné au fragment de l'histidine ARNt synthétase humaine (2-60, 229-287 dans la séquence actuelle), dimère, non glycosylé, produit par *Escherichia coli*;
L-méthionyl Fc (1-228) de la immunoglobuline G1 humain fusionné au peptide 2-60 de la histidine-ARNt ligase, dimère : L-méthionyl-fragment Fc (227-peptide C-terminal) de la chaîne γ1 de la immunoglobuline G1 (*Homo sapiens*) (1-228) [*Homo sapiens* IGHG1*01; charnière: 1-11; CH2: 12-121; CH3: 122-226; CHS: 227-228] fusionné au peptide 2-60 (domaine de liaison à la neuropiline-2, domaine HARS iMod, domaine WHEP-TRS) (229-287) de la histidine-ARNt ligase cytoplasmique humaine (histidyl-ARNt synthétase, HisRS, HRS, HARS1, HARS, EC:6.1.1.21), dimère (7'-10'-bisdisulfure, non glycosylé, produit par *Escherichia coli*)
immunomodulateur

efzofitimod

fragmento Fc de la inmunoglobulina G1 humana L-metionil (1-228) fusionado al fragmento de la histidina ARNt sintetasa humana (2-60, 229-287 en la secuencia actual), dímero, no glicosilado, producido por *Escherichia coli*;
L-metionil Fc (1-228) de inmunoglobulina G1 humana fusionado al péptido 2-60 de la histidina-ARNt ligasa, dímero: L-metionil-fragmento Fc (227-péptido C-terminal) de la cadena γ1 de inmunoglobulina G1 (*Homo sapiens*) (1-228) [*Homo sapiens* IGHG1*01; bisagra: 1-11; CH2: 12-121; CH3: 122-226; CHS: 227-228] fusionado al péptido 2-60 (dominio de unión a neuropilina-2, dominio HARS iMod, dominio WHEP-TRS) (229-287) de la histidina-ARNt ligasa citoplasmática humana (histidil-ARNt sintetasa, HisRS, HRS, HARS1, HARS, EC:6.1.1.21), dímero (7'-10'-bisdisulfuro, no glicosilado, producido por *Escherichia coli*)
inmunomodulador

2566615-11-8

Sequence / Séquence / Secuencia

MDKTHTCPCP	PAPELLGGPS	VFLFPKKPKD	TLMISRTPEV	TCVVVDVSH	50
DPEVKFNWYV	DGVEVHNART	KPREEQYNST	YRVVSVLTVL	HQDWLNKEY	100
KCKVSNKALP	APIEKTISKA	KGPQREPQVY	TLPSSRDELT	KNQVSILTCLV	150
KGFYPSDIAV	EWESNGOPEN	NYKTTTPVLD	SDGSFFLYSK	LTVDKSRWQQ	200
GNVFSCSVMH	EALHNHYTQK	SLSLSFGKAE	RAALEELVKL	QGERVRGLKQ	250
QKASAEELIEE	EVAKLLKLKA	QLGPDESKQK	FVLKTPK		287

Post-translational modifications

Disulfide bridges location / Position des ponts disulfure / Posiciones de los puentes disulfuro
Intra-chain 42-102 148-206
42-102' 148-206'
Inter-chain 7'-10'-10'

Glycosylation sites / Sites de glycosylation / Posiciones de glicosilación
none / aucune / ninguna

C-terminal lysine clipping / Coupe de la lysine C-terminale / Recorte de lisina C-terminal
H CHS K2: K287, K287' (<0.1 %)

elranatamabum #

elranatamab

immunoglobulin G2-kappa, anti-[*Homo sapiens* TNFRSF17 (TNF receptor superfamily member 17, tumor necrosis factor receptor superfamily, member 17, B cell maturation antigen, BCMA, BCM, TNFRSF13A, CD269)] and anti-[*Homo sapiens* CD3E (CD3e molecule, Leu-4)], *Homo sapiens* and humanized monoclonal antibody, bispecific; gamma2 heavy chain *Homo sapiens* anti-TNFRSF17 (1-441) [VH anti-TNFRSF17 (*Homo sapiens* IGHV3-23*01 (93.9%) -(IGHD) -IGHJ1*01(100%), CDR-IMGT [8.8.8] (26-33.51-58.97-104)) (1-115) -*Homo sapiens* IGHG2*01, G2m.. CH2 V45.1 (CH1 (116-213), hinge 1-12 C5>E (218), P10>E (223) (214-225), CH2 D27>A (259), V45.1 (276), A115>S (324), P116>S (325) (226-334), CH3 L24>E (362),(335-439), CHS (440-441)) (116-441)], (129-215')-disulfide with kappa light chain *Homo sapiens* anti-TNFRSF17 (1'-215') [V-KAPPA anti-TNFRSF17 (*Homo sapiens* IGKV3-20*01 (94.8%) -IGKJ1*01 (100%), CDR-IMGT [7.3.9] (27-33.51-53.90-98)) (1'-108') -*Homo sapiens* IGKC*01 (100%), Km3 A45.1 (154), V101 (192) (109'-215')]; gamma2 heavy chain humanized anti-CD3E (1"-447") [VH anti-CD3E (*Homo sapiens* IGHV3-48*03 (84.0%) -(IGHD) -IGHJ4*01(85.7%) L123>T (116"), CDR-IMGT [8.10.12] (26-33.51-60.99-110)) (1"-121") -*Homo sapiens* IGHG2*01, G2m.. CH2 V45.1 (CH1 (122"-219"), hinge 1-12 C5>R (224"), E7>R (226"), P10>R (229") (220"-231"), CH2 D27>A (265"), V45.1 (282"), A115>S (330"), P116>S (331") (232"-340"), CH3K88>R (409") (341"-445"), CHS (446"-447") (122"-447")], (135"-219")-disulfide with kappa light chain humanized anti-CD3E (1"-219") [V-KAPPA anti-CD3E (*Homo sapiens* IGKV4-1*01 (89.8%) -IGKJ2*02 (90.9%) Q120>S (105), CDR-IMGT [12.3.8] (27-38.56-58.95-102)) (1"-112") -*Homo sapiens* IGKC*01 (100%), Km3 A45.1 (158), V101 (196) (113"-219")]; dimer (217-223":221-227":224-230")-trisulfide, produced in a Chinese hamster ovary (CHO)-K1SV cell line, glycoform alfa immunomodulator, antineoplastic

elranatamab

immunoglobuline G2-kappa, anti-[*Homo sapiens* TNFRSF17 (membre 17 de la superfamille des récepteurs du TNF, membre 17 de la superfamille des récepteur du facteur de nécrose tumorale, antigène de maturation de cellule B, BCMA, BCM, TNFRSF13A, CD269)] et anti-[*Homo sapiens* CD3E (CD3e molecule, Leu-4)], anticorps monoclonal *Homo sapiens* et humanisé, bispécifique; chaîne lourde gamma2 *Homo sapiens* anti-TNFRSF17 (1-441) [VH anti-TNFRSF17 (*Homo sapiens* IGHV3-23*01 (93.9%) -(IGHD) -IGHJ1*01(100%), CDR-IMGT [8.8.8] (26-33.51-58.97-104)) (1-115) -*Homo sapiens* IGHG2*01, G2m.. CH2 V45.1 (CH1 (116-213), charnière 1-12 C5>E (218), P10>E (223) (214-225), CH2 D27>A (259), V45.1 (276), A115>S (324), P116>S (325) (226-334), CH3 L24>E (362),(335-439), CHS (440-441)) (116-441)], (129-215')-disulfure avec la chaîne légère kappa *Homo sapiens* anti-TNFRSF17 (1'-215') [V-KAPPA anti-TNFRSF17 (*Homo sapiens* IGKV3-20*01 (94.8%) -IGKJ1*01 (100%), CDR-IMGT [7.3.9] (27-33.51-53.90-98)) (1'-108') -*Homo sapiens* IGKC*01 (100%), Km3 A45.1 (154), V101 (192) (109'-215')];

chaîne lourde gamma2 humanisée anti-CD3E (1"-447") [VH anti-CD3E (*Homo sapiens* IGHV3-48*03 (84.0%) -(IGHD) -IGHJ4*01(85.7%) L123>T (116"), CDR-IMGT [8.10.12] (26-33.51-60.99-110)) (1"-121") -*Homo sapiens* IGHG2*01, G2m.. CH2 V45.1 (CH1 (122"-219"), charnière 1-12 C5>R (224"), E7>R (226"), P10>R (229") (220"-231"), CH2 D27>A (265"), V45.1 (282"), A115>S (330"), P116>S (331") (232"-340"), CH3 K88>R (409") (341"-445"), CHS (446"-447") (122"-447")], (135"-219")-disulfure avec la chaîne légère kappa humanisée anti-CD3E (1"-219") [V-KAPPA anti-CD3E (*Homo sapiens* IGKV4-1*01 (89.8%) -IGKJ2*02 (90.9%) Q120>S (105), CDR-IMGT [12.3.8] (27-38.56-58.95-102)) (1"-112") -*Homo sapiens* IGKC*01 (100%), Km3 A45.1 (158), V101 (196) (113"-219")]; dimère (217-223":221-227":224-230")-trisdisulfure, produit dans des cellules ovariennes de hamster chinois (CHO) lignée cellulaire CHO-K1SV, glycoforme alfa *immunomodulateur, antineoplastique*

elranatamab

inmunoglobulina G2-kappa, anti-[*Homo sapiens* TNFRSF17 (miembro 17 de la superfamilia de los receptores del TNF, miembro 17 de la superfamilia de los receptores del factor de necrosis tumoral, antígeno de maduración de célula B, BCMA, BCM, TNFRSF13A, CD269)] y anti-[*Homo sapiens* CD3E (CD3e molécula, Leu-4)], anticuerpo monoclonal *Homo sapiens* y humanizado biespecífico; cadena pesada gamma2 *Homo sapiens* anti-TNFRSF17 (1-441) [VH anti-TNFRSF17 (*Homo sapiens* IGHV3-23*01 (93.9%) -(IGHD) -IGHJ1*01(100%), CDR-IMGT [8.8.8] (26-33.51-58.97-104)) (1-115) -*Homo sapiens* IGHG2*01, G2m.. CH2 V45.1 (CH1 (116-213), bisagra 1-12 C5>E (218), P10>E (223) (214-225), CH2 D27>A (259), V45.1 (276), A115>S (324), P116>S (325) (226-334), CH3 L24>E (362), (335-439), CHS (440-441)) (116-441)], (129-215")-disulfuro con la cadena ligera kappa *Homo sapiens* anti-TNFRSF17 (1"-215') [V-KAPPA anti-TNFRSF17 (*Homo sapiens* IGKV3-20*01 (94.8%) -IGKJ1*01 (100%), CDR-IMGT [7.3.9] (27-33.51-53.90-98)) (1"-108") -*Homo sapiens* IGKC*01 (100%), Km3 A45.1 (154), V101 (192) (109"-215")]; cadena pesada gamma2 humanizada anti-CD3E (1"-447") [VH anti-CD3E (*Homo sapiens* IGHV3-48*03 (84.0%) -(IGHD) -IGHJ4*01(85.7%) L123>T (116"), CDR-IMGT [8.10.12] (26-33.51-60.99-110)) (1"-121") -*Homo sapiens* IGHG2*01, G2m.. CH2 V45.1 (CH1 (122"-219"), bisagra 1-12 C5>R (224"), E7>R (226"), P10>R (229") (220"-231"), CH2 D27>A (265"), V45.1 (282"), A115>S (330"), P116>S (331") (232"-340"), CH3 K88>R (409") (341"-445"), CHS (446"-447") (122"-447")], (135"-219")-disulfuro con la cadena ligera kappa humanizada anti-CD3E (1"-219") [V-KAPPA anti-CD3E (*Homo sapiens* IGKV4-1*01 (89.8%) -IGKJ2*02 (90.9%) Q120>S (105), CDR-IMGT [12.3.8] (27-38.56-58.95-102)) (1"-112") -*Homo sapiens* IGKC*01 (100%), Km3 A45.1 (158), V101 (196) (113"-219")]; dímero (217-223":221-227":224-230")-trisdisulfuro, producido en las células ováricas de hámster chino (CHO) línea celular CHO-K1SV, forma glicosilada alfa *inmunomodulador, antineoplásico*

Heavy chain / Chaîne lourde / Cadena pesada (anti-TNFRSF17)

EVQLLESGGG LVQPGGSRLR SCAASGFTFS SYPMSWVRQA PGKGLEWVSA 50
 IGGSGGSLPY ADIVKGKRTI SRDNNSKNTLY LQMNLSRAED TAVYYCARYW 100
 PMDIWGQGTI VTVSSASTKG PSVFPLAPCS RSTSESTAAL GCLVKDVFPE 150
 PVTVSWSNGA LTSGVHTPFA VLQSSGLYSL SSVTVTPSSN FGQTQYTNCV 200
 DMDPSNTKVDF KTRVKRCEVE CPECFAPPVVA GPSVFLFPK PKDTLMISRT 250
 PEVTCVVVAV SHEDPEVQFN WZVDGVEVHN AKTKPREEQF NSTFRVSVL 300
 TVVHQDWLNLG KEYKQVSNK GLPSSIEKTI SKTKGQPREP QVYTLPPSRE 350
 EMTKNQVSLT CEVKGFYPSD IAWEVESNGO PENNYKTTP MLDSDGSSFL 400
 YSKLTVDKSR WQQGNVFSCS VMHEALHNHY TQKSLSLSPG K 441

Heavy chain / Chaîne lourde / Cadena pesada (anti-CD3E)

EVQLVESGGG LVQPGGSRLR SCAASGFTFS DYMMTWRVRAA PGKGLEWVAF 50
 IRNRRARGTS DHNPSPVKGRF TISRDNAKNS LYQMNNSLRA EDTAVYYCAR 100
 DRPSYVLDW WGQGTIVTWS SASTKGPSSV PLAPCSRSTS ESTAAIGCLV 150
 KDYFPEPVTV SWNSGALTSG VHTFFAVLQS SGYLSLSSVV TVPSSNFGTQ 200
 TYTCNVTDHKP SNTKVDKTV E RCKRVRCPRC PAPFVGAPSV FLFPKKPKDT 250
 LMISRTPEVT CVVVAVSHED PEVQFNYYVD GVEVNHAATK PREEQFNSTF 300
 RVVSVLTVVH QDWLNKEKYK CKVSNKGCLPS SIEKTISIJKT GQPREPVQVYT 350
 LPSPREEMIT NQVSILTCLVK GFYPSDIAVE WESNGQPEENN YTAKTPMLDS 400
 DGSFFLYSRL TVDKSRWQQG NVFSCSVMHE ALHNHYTQKS LSLSPGK 447

Light chain / Chaîne légère / Cadena ligera (anti-TNFRSF17)

EIVLTVQSPGT LSLSPGERAT LSCRAQSQS V SYLAWYQQK PGQAPRLLMY 50
 DASIRATGIP DRFGSGGSGT DFTLITSRLE PEDFAYVYYCQ QQQSPLTFG 100
 QGTKEVIEKRT VAAPSVFIFP PSDEQLKSGT ASVVCILNNF YPREAKVQWK 150
 VDNALQSGNS QESVTEQDSK DSTYLSSTL TLSKADYEKH KVYACEVTHQ 200
 GLSSPVTKSF NRGECA 215

Light chain / Chaîne légère / Cadena ligera (anti-CD3E)

DIVMTQSPDS LAWSLGERAT INCKSSOSLF NVRSRKNYLA WYQQKPGQPP 50
 KLLISWASTR ESGVPDRFSG SSGSGTDFLT ISSLQAEDVA VYYCKQSYDL 100
 FTFGSGTKLE IKRTVAAPSV FIFPPSDEQL KSGTASVVL LNNFYPRREAK 150
 VQWVKVDNALQ SGNSQESVTE QDSKDSTYSL SSTTLTSKAD YEKHHVYACE 200
 VTHQGLSSPV TKSFRNRGEC 219

Post-translational modifications

Disulfide bridges location / Position des ponts disulfure / Posiciones de los puentes disulfuro

Intra-H (C23-C104) 22-96 142-198 255-315 361-419

22"-98" 148"-204" 261"-321" 367"-425"

Intra-L (C23-C104) 23-89" 135"-195"

23"-94" 139"-199"

Inter-H-L (CH1 10-CL 126) 129-215" 135"-219"

Inter-H-H (h 4, h 8, h11) 217-223" 221-227" 224-230"

N-glycosylation sites / Sites de N-glycosylation / Posiciones de N-glicosilación

H CH2 N84: 291, 297"

Fucosylated complex bi-antennary CHO-type glycans / glycanes de type CHO bi-antennaires complexes fucosylés / glicanos de tipo CHO biantenarios complejos fucosilados.

C-terminal lysine clipping / Coupure de la lysine C-terminale / Recorte de lisina C-terminal
H CHS K2: 441, 447"**elunonavirum**

elunonavir

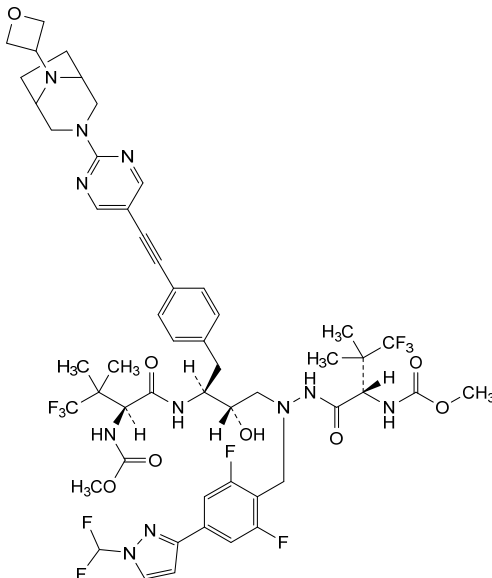
dimethyl (3S,8S,9S,12S)-6-((4-[1-(difluoromethyl)-1*H*-pyrazol-3-yl]-2,6-difluorophenyl)methyl)-8-hydroxy-9-((4-((2-[8-(oxetan-3-yl)-3,8-diazabicyclo[3.2.1]octan-3-yl]pyrimidin-5-yl)ethynyl)phenyl)methyl)-4,11-dioxo-3,12-bis(1,1,1-trifluoro-2-methylpropan-2-yl)-2,5,6,10,13-pentaazatetradeccane-1,14-dioate
antiviral

élunonavir

(3S,8S,9S,12S)-6-((4-[1-(difluorométhyl)-1*H*-pyrazol-3-yl]-2,6-difluorophényl)méthyl)-8-hydroxy-9-[(4-((2-[8-(oxétan-3-yl)-3,8-diazabicyclo[3.2.1]octan-3-yl]pyrimidin-5-yl)éthynyl)phényl)méthyl]-4,11-dioxo-3,12-bis(1,1,1-trifluoro-2-méthylpropan-2-yl)-2,5,6,10,13-pentaazatétradécane-1,14-dioate de diméthyle
antiviral

elunonavir

(3S,8S,9S,12S)-6-((4-[1-(difluorometil)-1*H*-pirazol-3-il]-2,6-difluorofenil)metyl)-8-hidroxi-9-[(4-((2-[8-(oxetan-3-il)-3,8-diazabiciclo[3.2.1]octan-3-il]pirimidin-5-il)etinil)metyl)-4,11-dioxo-3,12-bis(1,1,1-trifluoro-2-metilpropan-2-il)-2,5,6,10,13-pentaazatetradecano-1,14-dioato de dimetilo
antiviral



emlenoflastum
emlenoflast

*N-[(1,2,3,5,6,7-hexahydro-s-indacen-4-yl)carbamoyl]-1-(propan-2-yl)-1*H*-pyrazole-3-sulfonamide
non-steroidal anti-inflammatory*

emlénoflast

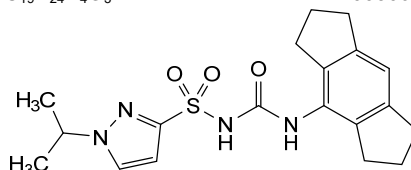
*N-[(1,2,3,5,6,7-hexahydro-s-indacen-4-yl)carbamoyl]-1-(propan-2-yl)-1*H*-pyrazole-3-sulfonamide
anti-inflammatoire non stéroïdien*

emlenoflast

*N-[(1,2,3,5,6,7-hexahidro-s-indacen-4-il)carbamoi]-1-(propan-2-il)-1*H*-pirazol-3-sulfonamida
antiinflamatorio no esteroide*



1995067-59-8



emraclidinum
emraclidine

1-(2,4-diméthyl-5,7-dihydro-6*H*-pyrrolo[3,4-*b*]pyridin-6-yl)-2-{1-[2-(trifluorométhyl)pyridin-4-yl]azétidin-3-yl}éthan-1-one
muscarinic M4 receptor positive allosteric modulator

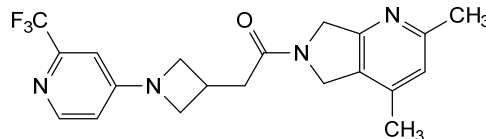
emraclidine

1-(2,4-diméthyl-5,7-dihydro-6*H*-pyrrolo[3,4-*b*]pyridin-6-yl)-2-{1-[2-(trifluorométhyl)pyridin-4-yl]azétidin-3-yl}éthan-1-one
modulateur allostérique positif des récepteurs muscariniques M4

emraclidina 1-(2,4-dimetil-5,7-dihidro-6H-pirrolo[3,4-*b*]piridin-6-il)-2-{1-[2-(trifluorometil)piridin-4-il]azetidin-3-il}etan-1-ona
modulador alostérico positivo de los receptores muscarínicos M4

C₂₀H₂₁F₃N₄O

2170722-84-4

**ensomafuspum alfa #**

ensomafusp alfa humanized immunoglobulin G1-kappa anti-(human B-lymphocyte antigen CD19) modified heterodimer where the heavy and light chain variable regions of one arm have been substituted by three subunits of human 4-1BB ligand (tumor necrosis factor ligand superfamily member 9, TNFSF9) with the following structural arrangement: human 4-1BB ligand fragment (71-248, 1-178 in the current sequence) fused via peptidyl linker ¹⁷⁹GGGGSGGGGS¹⁸⁸ to human 4-1BB ligand fragment (71-248, 189-366 in the current sequence), fused via peptidyl linker ³⁶⁷GGGGSGGGGS³⁷⁶ to immunoglobulin G1 kappa light chain constant region (377-483) variant (E³⁹²>R, Q³⁹³>K), which is linked to immunoglobulin G1 heavy chain constant region (484-710) variant (L⁴⁹⁷>A, L⁴⁹⁸>A, P⁵⁹²>G, S⁶¹⁷>C, T⁶²⁹>W) and 483-291'-disulfide with human 4-1BB ligand fragment (71-248, 1'-178' in the current sequence) fused via peptidyl linker ¹⁷⁹GGGGSGGGGS¹⁸⁸ to the immunoglobulin G1 heavy chain constant region (189'-291') variant (K²¹⁸>E, K²⁸⁴>E), heterodimer with humanized immunoglobulin G1 anti-(human CD19) heavy chain (1"-452") variant (L²³⁸>A, L²³⁹>A, P³³³>G, Y³⁵³>C, T³⁷⁰>S, L³⁷²>A, Y⁴¹¹>V), (224"-219")-disulfide with immunoglobulin G1 anti-(human CD19) kappa light chain (1""-219"), produced in Chinese hamster ovary (CHO) cells, glycoform alfa; fusion protein with three copies of an extracellular domain fragment of the human 4-1BB ligand (tumor necrosis factor ligand superfamily member 9, TNFSF9), replacing the heavy chain and light chain variable regions of one arm of a modified humanized anti-[CD19 (B-lymphocyte antigen CD19, B-lymphocyte surface antigen B4, T-cell surface antigen Leu-12)] immunoglobulin G1 (IgG1) kappa: 4-1BB ligand (71-248)-peptide (1-178) / (G₄S)₂ linker (179-188) / 4-1BB ligand (71-248)-peptide (189-366) / (G₄S)₂ linker (367-376) / IgG1 kappa light chain constant region (377-483) [Homo sapiens IGKC*01 (E³⁹²>R, Q³⁹³>K)] / IgG1 heavy chain constant region (484-710) [Homo sapiens IGHG1*01; hinge: 484-493; CH2: 494-603 (L⁴⁹⁷>A, L⁴⁹⁸>A, P⁵⁹²>G), CH3: 604-708 (S⁶¹⁷>C, T⁶²⁹>W); CHS: 709-710] fusion protein, (483-291')-disulfide with 4-1BB ligand (71-248)-peptide (1'-178') / (G₄S)₂ linker (179'-188') / IgG1 gamma-1 heavy chain constant region (189'-291') [Homo sapiens IGHG1*01; CH1: 189-286 (K²¹⁸>E, K²⁸⁴>E)] fusion protein; heterodimer (489-230"-492-233"-617-353")-trisdisulfide with humanized anti-CD19 IgG1 heavy chain (1"-452") [Homo sapiens IGHV1-2*02; Homo sapiens IGHJ4*01; Homo sapiens IGHG1*01; VH: 1-121; CH1: 122-219; hinge: 220-234; CH2: 235-344 (L²³⁸>A, L²³⁹>A, P³³³>G); CH3: 345-449 (Y³⁵³>C, T³⁷⁰>S, L³⁷²>A, Y⁴¹¹>V); CHS: 450-451; CDR Kabat H1: DYIMH (31-35); CDR Kabat H2: YINPYNDGSKYTEKFQG (50-66); CDR Kabat H3: GTYYYYGPQLFDY (99-110)], (224"-219")-disulfide with humanized anti-CD19 IgG1 kappa light chain (1""-219") [Homo sapiens IGKV2-29*02; Homo sapiens IGKJ2*01; Homo sapiens IGKC*01; VL: 1-112; CL: 113-219; CDR Kabat L1:

KSSQSLETSTGTTYN (24-39); CDR Kabat L2: RVSKRFS (55-61); CDR Kabat L3: LQLLEDPTYT (94-102)], produced in Chinese hamster ovary (CHO) cells, glycoform alfa
immunomodulator, antineoplastic

ensomafusp alfa

hétérodimère modifié de l'immunoglobuline G1-kappa anti-(antigène de lymphocyte B humain CD19) humanisée dont les régions variables des chaînes lourdes et légères d'un bras ont été substituées par trois sous-unités du ligand 4-1BB humain (membre de la superfamille des ligands du facteur de nécrose tumorale 9, TNFSF9) avec l'arrangement structurel suivant: fragment du ligand 4-1BB humain (71-248, 1-178 dans la séquence actuelle) fusionné par l'intermédiaire de la liaison peptidique ¹⁷⁹GGGGSGGGGS¹⁸⁸ au fragment du ligand 4-1BB humain (71-248, 189-366 dans la séquence actuelle), fusionné par l'intermédiaire de la liaison peptidique ³⁶⁷GGGGSGGGGS³⁷⁶ au variant (377-483) de la région constante de la chaîne légère kappa de l'immunoglobuline G1 (E³⁹²>R, Q³⁹³>K), qui est lié au variant (484-710) de la région constante de la chaîne lourde de l'immunoglobuline G1 (L⁴⁹⁷>A, L⁴⁹⁸>A, P⁵⁹²>G, S⁶¹⁷>C T⁶²⁹>W) et 483-291'-disulfure avec le fragment du ligand 4-1BB humain (71-248, 1'-178' dans la séquence actuelle) fusionné par l'intermédiaire d'une liaison peptidique ¹⁷⁹GGGGSGGGGS¹⁸⁸ au variant (189'-291') de la région constante de la chaîne lourde de l'immunoglobuline G1 (K²¹⁸>E K²⁸⁴>E), hétérodimère avec le variant (1"-452") de l'immunoglobuline G1 humanisée anti-(CD19 humain) de la chaîne lourde (L²³⁸>A, L²³⁹>A, P³³³>G, Y³⁵³>C, T³⁷⁰>S, L³⁷²>A, Y⁴¹¹>V), disulfure (224"-219") avec la chaîne légère kappa de l'immunoglobuline G1 anti-(CD19 humain) (1""-219""), glycoforme alfa, produit dans des cellules ovaries de hamster chinois (CHO); protéine de fusion avec trois copies d'un fragment du domaine extracellulaire du ligand 4-1BB humain (membre 9 de la superfamille des ligands du facteur de nécrose tumorale, TNFSF9) remplaçant les régions variables des chaînes lourdes et légères d'un bras de l'immunoglobuline G1 (IgG1) kappa humanisée modifiée anti-[CD19 (antigène CD19 des lymphocytes B, antigène B4 de surface des lymphocytes B, antigène Leu-12 de surface des lymphocytes T)]; protéine de fusion de peptide 71-248 du ligand 4-1BB (1-178) / peptide (G₄S)₂ de liaison (179-188) / peptide 71-248 du ligand 4-1BB (189-366) / peptide (G₄S)₂ de liaison (367-376) / région constante de la chaîne légère kappa de l'IgG1 (377-483) [*Homo sapiens* IGKC*01 (E³⁹²>R, Q³⁹³>K)] / région constante de la chaîne lourde de l'IgG1 [L⁴⁹⁷>A, L⁴⁹⁸>A, P⁵⁹²>G] (484-710), [*Homo sapiens* IGHG1*01; charnière: 484-493; CH2: 494-603 (L⁴⁹⁷>A, L⁴⁹⁸>A, P⁵⁹²>G), CH3: 604-708 (S⁶¹⁷>C, T⁶²⁹>W); CHS: 709-710] (483-291')-disulfure avec le peptide 71-248 du ligand 4-1BB (1'-178') / peptide (G₄S)₂ de liaison (179'-188') / région constante CH1 de la chaîne lourde gamma-1 de l'IgG1 (189'-291') [*Homo sapiens* IGHG1*01; CH1: 189-286 (K²¹⁸>E, K²⁸⁴>E)]; hétérodimère (489-230":492-233":617-353")-tridisulfure avec la chaîne lourde de l'IgG1 anti-CD19 humanisée [L²³⁸>A, L²³⁹>A, P³³³>G] (1"-452") [*Homo sapiens* IGHV1-2*02; *Homo sapiens* IGHJ4*01; *Homo sapiens* IGHG1*01; VH: 1-121; CH1: 122-219; charnière: 220-234; CH2: 235-344 (L²³⁸>A, L²³⁹>A, P³³³>G); CH3: 345-449 (Y³⁵³>C, T³⁷⁰>S, L³⁷²>A, Y⁴¹¹>V); CHS: 450-451; CDR Kabat H1: DYIMH (31-35); CDR Kabat H2: YINPYNDGSKYTEKFQG (50-66); CDR Kabat H3: GTYYYGPQLFDY (99-110)], (224"-219")-disulfure avec la chaîne légère kappa de l'IgG1 anti-CD19 humanisée (1""-219""), [*Homo sapiens* IGKV2-29*02; *Homo sapiens* IGKJ2*01; *Homo sapiens* IGKC*01; VL: 1-112; CL: 113-219; CDR Kabat L1: KSSQSLETSTGTTYN (24-39); CDR Kabat L2: RVSKRFS (55-61); CDR Kabat L3: LQLLEDPTYT (94-102)], produite dans des cellules ovaries de hamster chinois (CHO), glycoforme alfa
immunomodulateur, antineoplastique

ensomafusp alfa

inmunoglobulina humana G1-kappa anti-(antígeno CD19 humano de linfocito B) heterodímero modificado donde las regiones variables de un brazo de la cadena pesada y ligera se sustituyen por 3 subunidades del ligando humano 4-1BB (miembro 9 de la superfamilia del ligando del factor de necrosis tumoral, TNFSF9) con la siguiente conformación estructural: fragmento del ligando humano 4-1BB (71-248, 1-178 en la secuencia actual) fusionado a través del enlace peptidil $^{179}\text{GGGGSGGGGS}^{188}$ al fragmento del ligando humano 4-1BB (71-248, 189-366 en la secuencia actual), fusionado a través de un enlace peptidil $^{367}\text{GGGGSGGGGS}^{376}$ a la región constante de la cadena ligera de la inmunoglobulina G1 kappa (377-483) variante ($\text{E}^{392}>\text{R}, \text{Q}^{393}>\text{K}$), que está unida a la región constante de la cadena pesada de la inmunoglobulina G1 (484-710) variante ($\text{L}^{497}>\text{A}, \text{L}^{498}>\text{A}, \text{P}^{592}>\text{G}, \text{S}^{617}>\text{C}, \text{T}^{629}>\text{W}$) y 483-291'-disulfuro con fragmento del ligando humano 4-1BB (71-248, 1'-178' en la secuencia actual) fusionado a través del enlace peptidil $^{179}\text{GGGGSGGGGS}^{188}$ a la región constante de la cadena pesada de la inmunoglobulina G1 (189'-291') variante ($\text{K}^{218}>\text{E}, \text{K}^{284}>\text{E}$), heterodímero con inmunoglobulina humanizada G1 anti-(CD19 humana) cadena pesada ("1"-452") variante ($\text{L}^{238}>\text{A}, \text{L}^{239}>\text{A}, \text{P}^{333}>\text{G}, \text{Y}^{353}>\text{C}, \text{T}^{370}>\text{S}, \text{L}^{372}>\text{A}, \text{Y}^{411}>\text{V}$), (224"-219")-disulfuro con inmunoglobulina G1 anti-(CD19 humana) cadena ligera kappa (1"-219"), producida en células ováricas de hámster chino (CHO), glicoforma alfa; proteína de fusión con tres copias de un fragmento de dominio extracelular del ligando 4-1BB humano (miembro 9 de la superfamilia del ligando del factor de necrosis tumoral, TNFSF9) que reemplaza las regiones variables de cadenas pesadas y ligeras de un brazo de una inmunoglobulina G1 (IgG1) kappa anti-[CD19 (antígeno CD19 de linfocitos B, antígeno B4 de superficie de linfocitos B, antígeno Leu-12 de superficie de linfocitos T)] humana modificada: proteína de fusión de péptido 71-248 de ligando 4-1BB (1-178) / conector peptídico (G_4S_2)₂ (179-188) / péptido 71-248 de ligando 4-1BB (189-366) / conector peptídico (G_4S_2)₂ (367-376) / región constante de cadena ligera kappa de IgG1 (377-483) [*Homo sapiens* IGKC*01 ($\text{E}^{392}>\text{R}, \text{Q}^{393}>\text{K}$)] / región constante de cadena pesada de IgG1 [$\text{L}^{497}>\text{A}, \text{L}^{498}>\text{A}, \text{P}^{592}>\text{G}$] (484-710), [*Homo sapiens* IGHG1*01; bisagra: 484-493; CH2: 494-603 ($\text{L}^{497}>\text{A}, \text{L}^{498}>\text{A}, \text{P}^{592}>\text{G}$), CH3: 604-708 ($\text{S}^{617}>\text{C}, \text{T}^{629}>\text{W}$); CHS: 709-710] (483-291')-disulfuro con la proteína de fusión de péptido 71-248 de ligando 4-1BB (1'-178') / conector peptídico (G_4S_2)₂ (179'-188') / región constante CH1 de cadena pesada de IgG1 (189'-291') [*Homo sapiens* IGHG1*01; CH1: 189-286 ($\text{K}^{218}>\text{E}, \text{K}^{284}>\text{E}$)]; heterodímero (489-230":492-233":617-353")-tridisulfuro con la cadena pesada [$\text{L}^{238}>\text{A}, \text{L}^{239}>\text{A}, \text{P}^{333}>\text{G}$] de IgG1 anti-CD19 humana (1"-452") [*Homo sapiens* IGHV1-2*02; *Homo sapiens* IGHJ4*01; *Homo sapiens* IGHG1*01; VH: 1-121; CH1: 122-219; bisagra: 220-234; CH2: 235-344 ($\text{L}^{238}>\text{A}, \text{L}^{239}>\text{A}, \text{P}^{333}>\text{G}$); CH3: 345-449 ($\text{Y}^{353}>\text{C}, \text{T}^{370}>\text{S}, \text{L}^{372}>\text{A}, \text{Y}^{411}>\text{V}$); CHS: 450-451; CDR Kabat H1: DYIMH (31-35); CDR Kabat H2: YINPYNDGSKYTEKFQG (50-66); CDR Kabat H3: GTYYYYGPQLFDY (99-110)], (224"-219")-disulfuro con la cadena ligera kappa de IgG1 anti-CD19 humana (1"-219") [*Homo sapiens* IGKV2-29*02; *Homo sapiens* IGKJ2*01; *Homo sapiens* IGKC*01; VL: 1-112; CL: 113-219; CDR Kabat L1: KSSQSLETSTGTTYN (24-39); CDR Kabat L2: RVSKRFS (55-61); CDR Kabat L3: LQLLEDPYT (94-102)], producida en las células ováricas de hámster chino (CHO), glicoforma alfa *inmunomodulador, antineoplásico*

2417199-08-5

Heavy chains / Chaines lourdes / Cadenas pesadas

H: 4-IBBL / (G ₄ S) ₂ - 4-IBBL / (G ₄ S) ₂ / IgG1 κ-Fc / IgG1 γ-Fc	
REGPELSPDD PAGLDDRQG MFAQLVAQNV LLIDGPLSWY SDPGLAGVSL	50
TGGLSYKEDT KELVVAKAGV YYVFPQLEIR RVVAGEGSGS VSLALHLQPL	100
RSAAGAAALA LTVDLPPASS EARNSAFGFQ GRLLHLSAQQ RLGVHLHTEA	150
RARHAWQLTQ GATVLGLFRV TPEI PAGI GG GGGGGGS RE GEPLSPDPA	200
GLLDRQGMF AQLVAQNVLL IDGFLSWYSD PLAGVSLTG GLSKREDTKE	250
LVVAKAGVYY VFFQLELRLRV VAGEGSGSVS LALH1QPLRS AAGAAALAIT	300
VDLPPASSEA RNSAPFGFQR LLHISAGQL GVHLHTEARA RHAWQLTQGA	350
TVLGLFRVTPE EIPAGI GGGG SGGGG RTVA APSVFIIFPSD D RGKLSGTAS	400
VVCLLNFFP REAKAVQWVND NALQSGNSQE SVTEQDKSDS TYSSLSTIL	450
SKADYEKKHV YACEVTHQGL SSPVTKSFRN GECDKTHTC PCPAPF A GG	500
PSVFLFPKPK KDTLMISRTP EVTCCVVVDS HEDPEVKFN YVDGVEVHN	550
KTKPREEQYN STYRVSLSLT VLHQDWLNG EYCKVSNKA I GAPEKITS	600
KAKGQPREEQ VVTLPGRDE LTKNQVSLIC LVRGFYPSDI AVEWEESNGQP	650
ENNYKTPPV LDSDGSFFLY SKLTVDKSRW QQGNVFSCS VMHEALHNHY	700
OKSLSLSPKG	710

H*: anti-CD19

QVQLVSGAE VKKPGASVVKV SCKASGYFTF DYIMHWVRQV PQCGLEWMGY	50
INPYNDGSKY TEKFQGRVTM TSDTDISTAY MELSRLRSDD TAVYYCARGT	100
YYGPGQLFDY WQQGTTVTVS SASTKGPSVIF PLAPSSKSTS GTAAALGCV	150
KDYFPEPVTV SWNSGALTSG VHTPEPAVLQS SGLYSLSSVU TVPSSSLGTQ	200
TYICVNHNKP SNTKVDKKVE PKSCDKTHTC PPCPAPF A GG GPSVFLFPK	250
PKDTLMISRPT PEVTCVVVDSH DEDPEVKFN WYVDGVEVHN AKTPKPREEQY	300
NSTYRVSLSLTVLHQDWLNG KEYCKVSNKA I GAPEKITS SKAKGQPREEQ	350
QVC T LPPSRD ELTKNQVSLIC C AVKGFYPSDI IAVEWEESNGQP	400
VLDSDGSFFL Y SKLTVDKSRW QQGNVFSCS VMHEALHNHY TQKSLSLSPKG	450
K	451

Light chains / Chaines légères / Cadenas ligeras

L: 4-IBBL / (G₄S)₂ / IgG1 CH1

REGPELSPDD PAGLDDRQG MFAQLVAQNV LLIDGPLSWY SDPGLAGVSL	50
TGGLSYKEDT KELVVAKAGV YYVFPQLEIR RVVAGEGSGS VSLALHLQPL	100
RSAAGAAALA LTVDLPPASS EARNSAFGFQ GRLLHLSAQQ RLGVHLHTEA	150
RARHAWQLTQ GATVLGLFRV TPEI PAGI GG GGGGGGS AS TKGPSVPLA	200
PSSKSTSGGT AALGCL E DY FPEFVTVSNW SGALTSGVHT FPAAVLQSSL	250
YSLSSVVTVP SSSLGQTQYI CNVNHKPSNT KV E KVEPKS C	291

L": anti-CD19

DIVMTQTPLS LSVTFGQPAS ISCKSSQSLE TSTGTTYLNW YLQKPGSQPQ	50
LLIYRVSKR E SGVPDRFGS GS GTDFTLKI SRVEADVGV YYCLQLIEDP	100
YTFCQGTKLE IKRTVAAPSV FIFPDSDEQL KSGTASVCL LNYYFPREAK	150
VQNKVDNALQ SGNSQESVTE QDSKDSTYSL SSTLTLSKAD YEKKHVYACE	200
VTHQGLSSPV TKSFRNRGEC	219

Mutation sites / Sites de mutation / Posiciones de mutación

H: E392> R , Q393> K , L497> A , L498> A , P592> G , S617> C , T629> W	
H*: anti-CD19; L238> A , L239> A , P333> G , Y353> C , T370> S , L372> A , Y411> V	
L: K218> E , K284> E	

Peptide linkers / Peptides liants / Péptidos de unión

179 GGGGSGGGGS 188 (1-10) 367 GGGGSGGGGS 376 (1-10)
179' GGGGSGGGGS 188' (1-10)

Post-translational modifications

Disulfide bridges location / Position des ponts disulfure / Posiciones de los puentes disulfuro

Intra-H 403-463 524-584 630-688

Intra-H" 22"-96" 148"-204" 265"-325" 371"-429"

Intra-L" 215"-271"; Intra-L" 23"-93" 139"-199"

Inter-H-L" 483-291'; Inter-H"-L" 224"-219"; Inter-H-H" 489-230" 492-233" 617-353"

Glycosylation sites / Sites de glycosylation / Posiciones de glicosilación

H CH2 N84.4: N560, N301"

Fucosylated complex bi-antennary CHO-type glycans

enuzovimabum #
enuzovimab

immunoglobulin G4-kappa, anti-[severe acute respiratory syndrome coronavirus 2 (SARS-CoV-2) spike (S) glycoprotein, receptor binding domain (RBD)], *Homo sapiens* monoclonal antibody;

gamma4 heavy chain *Homo sapiens* (1-445) [VH (*Homo sapiens* IGHV3-53*01 (95.9%) -(IGHD) -IGHJ4*01 (92.9%), CDR-IMGT [8.7.12] (26-33.51-57.96-107)) (1-118)-*Homo sapiens* IGHG4*01, G4v5 h P10, G4v21 CH2 Y15.1, T16, E18 (CH1 (119-216), hinge 1-12 S10>P (226) (217-228), CH2 M15.1>Y (250), S16>T (252), T18>E (254) (229-338), CH3 (339-443), CHS (444-445)) (119-445)], (132-214')-disulfide con la cadena ligera kappa *Homo sapiens* (1'-214') [V-KAPPA (*Homo sapiens* IGKV1-12*01 (98.9%) -IGKJ2*01 (100%), CDR-IMGT [6.3.9] (27-32.50-52.89-97)) (1'-107') -*Homo sapiens* IGKC*01 (100%), Km3 A45.1 (153), V101 (191) (108'-214')]; dímero (224-224":227-227")-bisdisulfuro, producido en ovocitos de rata chino (CHO), forma glicosilada alfa antiviral

énuzovimab

immunoglobuline G4-kappa, anti-[domaine de liaison au récepteur (RBD) de la glycoprotéine spike (S) du coronavirus 2 du syndrome respiratoire aigu sévère (SARS-CoV-2)], anticorps monoclonal *Homo sapiens*; chaîne lourde gamma4 *Homo sapiens* (1-445) [VH (*Homo sapiens* IGHV3-53*01 (95.9%) -(IGHD) -IGHJ4*01 (92.9%), CDR-IMGT [8.7.12] (26-33.51-57.96-107)) (1-118)-*Homo sapiens* IGHG4*01, G4v5 h P10, G4v21 CH2 Y15.1, T16, E18 (CH1 (119-216), charnière 1-12 S10>P (226) (217-228), CH2 M15.1>Y (250), S16>T (252), T18>E (254) (229-338), CH3 (339-443), CHS (444-445)) (119-445)], (132-214')-disulfuro con la cadena ligera kappa *Homo sapiens* (1'-214') [V-KAPPA (*Homo sapiens* IGKV1-12*01 (98.9%) -IGKJ2*01 (100%), CDR-IMGT [6.3.9] (27-32.50-52.89-97)) (1'-107') -*Homo sapiens* IGKC*01 (100%), Km3 A45.1 (153), V101 (191) (108'-214')]; dimero (224-224":227-227")-bisdisulfuro, producido en las células ováricas de hamster chino (CHO), glicofórmico alfa antiviral

enuzovimab

inmunoglobulina G4-kappa, anti-[dominio de unión al receptor (RBD) de la glicoproteína spike (S) del coronavirus 2 del síndrome respiratorio agudo severo (SARS-CoV-2)], anticuerpo monoclonal *Homo sapiens*; cadena pesada gamma4 *Homo sapiens* (1-445) [VH (*Homo sapiens* IGHV3-53*01 (95.9%) -(IGHD) -IGHJ4*01 (92.9%), CDR-IMGT [8.7.12] (26-33.51-57.96-107)) (1-118)-*Homo sapiens* IGHG4*01, G4v5 h P10, G4v21 CH2 Y15.1, T16, E18 (CH1 (119-216), bisagra 1-12 S10>P (226) (217-228), CH2 M15.1>Y (250), S16>T (252), T18>E (254) (229-338), CH3 (339-443), CHS (444-445)) (119-445)], (132-214')-disulfuro con la cadena ligera kappa *Homo sapiens* (1'-214') [V-KAPPA (*Homo sapiens* IGKV1-12*01 (98.9%) -IGKJ2*01 (100%), CDR-IMGT [6.3.9] (27-32.50-52.89-97)) (1'-107') -*Homo sapiens* IGKC*01 (100%), Km3 A45.1 (153), V101 (191) (108'-214')]; dímero (224-224":227-227")-bisdisulfuro, producido en las células ováricas de hamster chino (CHO), forma glicosilada alfa antiviral

Heavy chain / Chaîne lourde / Cadena pesada

EVQLVSEGGL LQPGGLRLR SCAASGFIVS SNYMSWVRQA PGKGLEWVSI 50
 IYSGGSTFYA DSVKGRTTIS RDNSKNTLYL QMNSLRVEDT AVYYCARIDLQ 100
 ELGSLDYWGQ GTLVTVSSAS TKGPSVFPLA PCSRSSTSEST AALGCLVKDY 150
 FPEPVTSWNL SGALTSGVHT FPAPVLQSSGL YSLSSVVTVP SSSLGTKTYY 200
 CNVDHKPSNT KVDKRVESKY GPCPPCPAP EFLGGPSVFL FFPKPDKTL 250
 ITREPEPTCV VVDVSQEDPE VQFNWYVWDGV EVHNNAKTPR EEFQFNSTYRV 300
 VSVLTVLHQD WLNGKEYKCK VSNKGLPSSI ETKISKAKGG PREEPVYTL 350
 PSQEEMTKNQ VSLTCLVKGPF YPSDIAVEME SNGQEPNNYK TTPPVLDSDG 400
 SFFLYSRILTV DKSRWQEGNV FSCSVMHEAL HNHYTQKSLK LSLGK 445

Light chain / Chaîne légère / Cadena ligera

DIGMTQSFS VSASVGDRTI ITCRASQGIS SWLAWYQQKP GKAPKLLIYA 50
 ASSLQSGVPS RFSGSGSGTD FTLLTISSQGP EDFATYYQCQ ANSPFVTFQ 100
 GTKLEIKRTV AAPSVFIFPP SDEQLKSFTA SVVCLLNFFY PREAKVQWKV 150
 DNALQSGNSQ ESVTEQDSKD STYSLSSLT LSKADYEKHK VYACEVTHQG 200
 LSSPVTKSFN RGECK 214

Post-translational modifications

Disulfide bridges location / Position des ponts disulfure / Posiciones de los puentes disulfuro

Intra-H (C23-C104) 22-95 145-201 259-319 365-423
 22"-95" 145"-201" 259"-319" 365"-423"

Intra-L (C23-C104) 23-88" 134"-194"
 23"-88" 134"-194"

Inter-H-H (CH1 10-CL 126) 132-214" 132"-214"

Inter-H-H (h 8, h 11) 224-224" 227-227"

N-glycosylation sites / Sites de N-glycosylation / Posiciones de N-glicosilación

H CH2N84.4: 295, 295"

Fucosylated complex bi-antennary CHO-type glycans / glycanes de tipo CHO bi-antennaires complexes fucosylés / glicanos de tipo CHO biantenarios complejos fucosilados.

C-terminal lysine clipping / Coupe de la lysine C-terminale / Recorte de lisina C-terminal

H CHS K2: 445, 445"

eragidomidum
 eragidomide

rac-2-(4-chlorophenyl)-*N*-(2-[(3*R*)-2,6-dioxopiperidin-3-yl]-1-oxo-2,3-dihydro-1*H*-isoindol-5-yl)methyl)-2,2-difluoroacetamide
antineoplastic

éragidomide

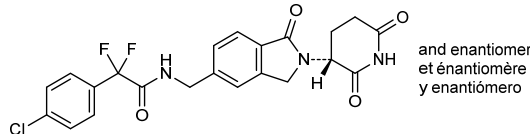
rac-2-(4-chlorophényl)-*N*-(2-[(3*R*)-2,6-dioxopipérnidin-3-yl]-1-oxo-2,3-dihydro-1*H*-isoindol-5-yl)méthyl)-2,2-difluoroacétamide
antineoplastique

eragidomida

rac-2-(4-clorofenil)-*N*-(2-[(3*R*)-2,6-dioxopiperidin-3-il]-1-oxo-2,3-dihidro-1*H*-isoindol-5-il)metyl)-2,2-difluoroacetamida
antineoplásico

C₂₂H₁₈ClF₂N₃O₄

1860875-51-9


ersemadromcelum
 ersemadromcel

autologous mesenchymal progenitor cells prepared from subcutaneous adipose tissue of patients with osteoarthritis (40-75 years old), collected by liposuction. The adipose tissue is digested and the released cells placed in culture medium containing insulin-transferrin-selenium, recombinant human basic fibroblast growth factor (bFGF), and recombinant human epidermal growth factor (EGF). The cells are frozen, resuscitated and culture expanded to around passage 4-5. The cells express mesenchymal progenitor cell marker CD73, CD90, and CD105 (>95%) and

do not express human leukocyte antigen (HLA) DR, CD14, and CD45 (<2%). The cells are capable to differentiate into chondroblasts under standard *in vitro* tissue culture-differentiating conditions and demonstrate the inhibitory effect of mesenchymal progenitor cells on the proliferation of T lymphocytes.
cell therapy (tissue regeneration)

ersémadromcel

cellules progénitrices mésenchymateuses autologues préparées à partir du tissu adipeux sous-cutané de patients atteints d'arthrose (40-75 ans), prélevé par liposuccion. Le tissu adipeux est digéré et les cellules libérées sont placées dans un milieu de culture contenant de l'insuline-transferrine-sélénium, du facteur de croissance basique des fibroblastes (bFGF) humain recombinant et du facteur de croissance épidermique (EGF) humain recombinant. Les cellules sont congelées, réanimées et mises en culture d'amplification jusqu'au passage 4-5 environ. Les cellules expriment les marqueurs de cellules progénitrices mésenchymateuses CD73, CD90 et CD105 (>95%) et n'expriment pas l'antigène leucocyttaire humain (HLA) DR, CD14 et CD45 (<2%). Les cellules sont capables de se différencier en chondroblastes dans des conditions standard de différenciation de culture tissulaire *in vitro* et démontrent l'effet inhibiteur des progéniteurs mésenchymateux sur la prolifération des lymphocytes T.
thérapie cellulaire (regénération tissulaire)

ersemadromcel

células progenitoras mesenquimales autólogas preparadas a partir de tejido adiposo subcutáneo de pacientes con osteoartritis (entre 40-75 años de edad), recogido mediante liposucción. El tejido adiposo se digiere, y las células liberadas se ponen en medio de cultivo que contiene insulina-transferrina-selenio, factor básico de crecimiento de fibroblastos (bFGF) humano recombinante, y factor de crecimiento epidérmico (EGF) humano recombinante. Las células se congelan, se resucitan y se expanden en cultivo hasta aproximadamente 4-5 pasos. Las células expresan los marcadores de células progenitoras mesenquimales CD73, CD90 y CD105 (> 95%) y no expresan el antígeno leucocitario humano (HLA) DR, CD14 y CD45 (< 2%). Las células son capaces de diferenciarse en condroblastos bajo condiciones de cultivo estándar para diferenciación *in vitro* y demuestran el efecto inhibidor de las células progenitoras mesenquimales en la proliferación de linfocitos T.
terapia celular (regeneración tisular)

escibenzolinum
escibenzoline

(*-*)-2-[(1*S*)-2,2-diphenylcyclopropyl]-4,5-dihydro-1*H*-imidazole
antiarrhythmic

escibenzoline

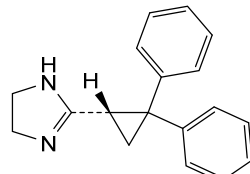
(*-*)-2-[(1*S*)-2,2-diphénylcyclopropyl]-4,5-dihydro-1*H*-imidazole
antiarythmique

escibenzolina

(*-*)-2-[(1*S*)-2,2-difenilciclopropil]-4,5-dihidro-1*H*-imidazol
antiarrítmico

C₁₈H₁₈N₂

103419-18-7



etuvetidigenum autotemcelum #

etuvetidigene autotemcel

autologous CD34+ hematopoietic stem and progenitor cells (HSPC), obtained from bone marrow or mobilised peripheral blood. The cells are transduced *ex vivo* with a self-inactivating (SIN), replication-incompetent human immunodeficiency virus 1 (HIV-1) based lentiviral vector encoding the Wiskott-Aldrich syndrome (WAS) protein under the control of the human WAS gene 1.6 kb promoter. The vector is pseudotyped with the vesicular stomatitis virus (VSV) envelope glycoprotein. The vector genome also contains a mutated Woodchuck hepatitis virus post-transcriptional regulatory element (WPRE), a fragment of the HIV-1 *gag*, the HIV-1 Rev response element (RRE), the HIV-1 central polypurine tract (cPPT) and a fragment of *nef*. The CD34+ cell population corresponds to an heterogeneous population of stem and progenitor cells, some expressing the CD90 and/or CD133 markers.
cell-based gene therapy (Wiskott Aldrich syndrome)

étuvétidigène autotemcel

cellules souches et progénitrices hématopoïétiques CD34+ autologues (HSPC), obtenues à partir de moelle osseuse ou de sang périphérique mobilisé. Les cellules sont transduites *ex vivo* avec un vecteur lentival auto-inactivant (SIN), basé sur le virus de l'immunodéficience humaine de type 1 (VIH-1), incomptétent à la réPLICATION, codant la protéine du syndrome de Wiskott-Aldrich (WAS) sous le contrôle d'un promoteur de 1,6 kb du gène WAS. Le vecteur est pseudotypé avec la glycoprotéine d'enveloppe du virus de la stomatite vésiculeuse (VSV). Le génome du vecteur contient également un élément régulateur post-transcriptionnel Woodchuck (WPRE) du virus de l'hépatite muté, un fragment du *gag* du VIH-1, l'élément de réponse post-transcriptionnel (RRE) du VIH-1 et le tractus de polypurine central (cPPT) du VIH-1, ainsi qu'un fragment de *nef*. La population de cellules CD34+ correspond à une population hétérogène de cellules souches et progénitrices, certaines exprimant les marqueurs CD90 et/ou CD133.
thérapie génique à base de cellules (syndrome de Wiskott-Aldrich)

etuvetidigén autotemcel

células madre y progenitoras hematopoyéticas (HSPC) CD34+, autólogas, obtenidas de médula ósea o movilizadas de sangre periférica. Las células se transducen *ex vivo* con un vector lentival basado en virus de inmunodeficiencia humana del tipo 1 (VIH-1), auto inactivante (SIN) y incompetente en replicación, que codifica para la proteína del síndrome de Wiskott-Aldrich (WAS) bajo el control de un promotor de 1,6 kb del gene WAS humano. El vector está seudotipado con la glicoproteína de la envuelta del virus de la estomatitis vesicular (VSV). El genoma del vector también contiene un elemento regulador post-transcripcional del virus de la hepatitis de la marmota (WPRE) mutado, un fragmento de *gag* del VIH-1, un elemento de respuesta post-transcripcional (RRE) del VIH-1 y un tramo central de poli-purina (cPPT) de VIH-1, así como un fragmento de *nef*. La población de células CD34+ corresponde en una población de celulas madre y progenitoras, algunas expressando los marcadores CD90 y/o CD133.
terapia génica basada en células (síndrome de Wiskott-Aldrich)

evexomostatum

evexomostat

poly({N-[{(2R)-2-hydroxypropyl]}methacrylamide}-co-[{N-methacryloylglycyl-L-phenylalanyl-L-leucyl-N'}-(*trans*-4-{{[(3R,4S,5S,6R)-5-methoxy-4-[(2R,3R)-2-methyl-3-(3-methylbut-2-en-1-yl)oxiran-2-yl]-1-oxaspiro[2.5]octan-6-yl}oxy]carbonyl}amino)cyclohexyl)glycinamide (~0.91:0.09 x)); poly([N-(2-hydroxypropyl)methacrylamide]-co-{methacryloyl-Gly-Phe-Leu-Gly amide with O-[(*trans*-4-aminocyclohexyl)carbamoyl]fumagillol})

methionine aminopeptidase 2 (MetAP2) inhibitor

évéxomostat

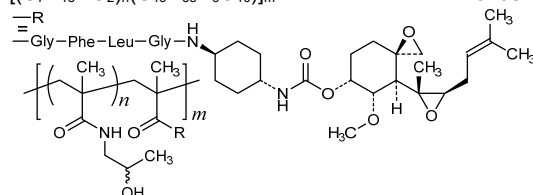
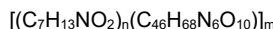
poly({N-[{(2R)-2-hydroxypropyl]}méthacrylamide}-co-[{N-méthacryloylglycyl-L-phénynalanyl-L-leucyl-N'}-(*trans*-4-{{[(3R,4S,5S,6R)-5-méthoxy-4-[(2R,3R)-2-méthyl-3-(3-méthylbut-2-én-1-yl)oxiran-2-yl]-1-oxaspiro[2.5]octan-6-yl}oxy]carbonyl}amino)cyclohexyl)glycinamide (~0,91:0,09 x)); poly([N-(2-hydroxypropyl)méthacrylamide]-co-{méthacryloyl-Gly-Phé-Leu-Gly amide avec O-[(*trans*-4-aminocyclohexyl)carbamoyl]fumagillol})

inhibiteur de la méthionine aminopeptidase 2 (MetAP2)

evexomostat

poli({N-[{(2RS)-2-hidroxipropil]}metacrilamida}-co-[{N-metacriloilglicil-L-fenilalanil-L-leucil-N'}-(*trans*-4-{{[(3R,4S,5S,6R)-4-[(2R,3R)-2-metil-3-(3-metilbut-2-en-1-yl)oxiran-2-yl]-5-metoxi-1-oxaspiro[2.5]octan-6-yl}oxi}carbonil}amino)ciclohexil)glycinamida (~0,91:0,09 x)); poli([N-(2-hidroxipropil)]metacrilamida)-co-{(metacriloil-Gli-Fen-Leu-Gli amida con O-[(*trans*-4-aminociclohexil)carbamoil]fumagillol})

inhibidor de la metionina aminopeptidasa 2 (MetAP2)



2416263-67-5

évifacotrepum

évifacotrep

4-chloro-5-{4-[4-fluoro-2-(trifluoromethyl)phenoxy]-5,8-dihydropyrido[3,4-d]pyrimidin-7(6H)-yl}pyridazin-3(2H)-one
short transient receptor potential channel 5 (TRPC5) antagonist

évifacotrep

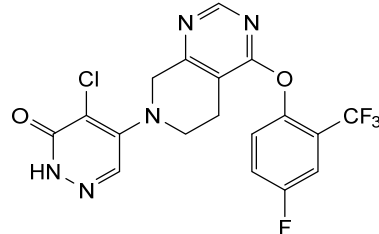
4-chloro-5-{4-[4-fluoro-2-(trifluorométhyl)phénoxy]-5,8-dihydropyrido[3,4-d]pyrimidin-7(6H)-yl}pyridazin-3(2H)-one
agent bloquant les canaux perméables aux cations de type 5 (TRPC5)

evifacotrep

4-cloro-5-{4-[4-fluoro-2-(trifluorometil)fenoxy]-5,8-dihidropirido[3,4-d]pirimidin-7(6H)-il}piridazin-3(2H)-ona
antagonista de los canales permeables de los cationes de tipo 5 de potencial de receptor transitorio corto (TRPC5)

C₁₈H₁₂ClF₄N₅O₂

2413739-88-3

**evixapodlinum**

evixapodlin

(1²S,12²S)-6²,7²-dichloro-5³,8⁶-dimethoxy-3,10-diaza-5,8(2,5)-dipyrazina-1,12(2)-dipyrrolidina-6,7(1,3)-dibenzenadodecaphane-1⁵,12⁵-dione*programmed cell death ligand 1 (PD-L1) inhibitor*

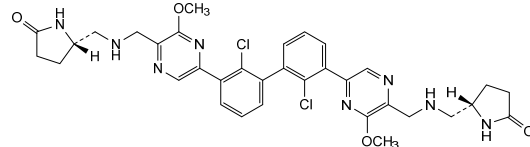
évixapodline

(1²S,12²S)-6²,7²-dichloro-5³,8⁶-diméthoxy-3,10-diaza-5,8(2,5)-dipyrazina-1,12(2)-dipyrrolidina-6,7(1,3)-dibenzénadodécaphane-1⁵,12⁵-dione*inhibiteur du ligand 1 de mort cellulaire programmée (PD-L1)*

evixapodlina

(1²S,12²S)-6²,7²-dichloro-5³,8⁶-dimetoxi-3,10-diaza-5,8(2,5)-dipyrazina-1,12(2)-dipirrolidina-6,7(1,3)-dibencenadodecafano-1⁵,12⁵-diona*inhibidor del ligando 1 de la muerte programada (PD-L1)*C₃₄H₃₆Cl₂N₈O₄

2374856-75-2

**evoncabtagenem pazurgedleucel #**

evoncabtagene pazurgedleucel

allogeneic T cells obtained from peripheral blood by leukapheresis, genetically modified by CRISPR/Cas9 (clustered regularly interspaced short palindromic repeats/CRISPR-associated protein 9) mediated gene editing consisting of two guide RNAs (gRNAs) introduced transiently as Cas9-gRNA ribonucleoprotein (RNP) complex for the targeted disruption of the T cell receptor alpha chain constant (TRAC) and β2 microglobulin (B2M) loci and insertion of an anti-CD19 chimeric antigen receptor (CAR) transgene into the TRAC locus via an adeno-associated virus serotype 6 (AAV6) vector. The CAR is composed of a humanized single-chain variable fragment (scFv) derived from the murine antibody FMC63 targeting CD19, followed by a CD8 hinge and transmembrane region, a CD28 co-stimulatory domain and a CD3ζ signalling domain. Expression of the CAR is driven by the elongation factor 1 alpha (EF-1α) promoter and is terminated by a synthetic polyadenylation sequence. The CD19 expression cassette is flanked by two TRAC homology arms guiding the expression cassette to the TRAC locus. The T cells are cultured in the presence of growth medium containing

interleukin 2 (IL-2) and 7 (IL-7) and are ≥30% CAR+ T cells, ≤0.5% TCR+ and ≤30% B2M+.
cell-based gene therapy (antineoplastic)

évoncabtagène pazurgedleucel

lymphocytes T allogéniques obtenus à partir de sang périphérique par leucaphérèse, génétiquement modifiés par édition génique médiée par CRISPR/Cas9 (courtes répétitions palindromiques groupées et régulièrement espacées / protéine 9 associée à CRISPR), consistant de deux guides ARN (ARNg) introduits transitoirement sous forme de complexe ribonucléoprotéique CAS9-ARNg pour la rupture ciblée des loci de la partie constante de la chaîne alpha du récepteur des lymphocytes T (TRAC) et de la β2 microglobuline (B2M), et l'insertion d'un transgène du récepteur antigénique chimérique (CAR) anti-CD19 dans le locus TRAC via un vecteur du virus adéno-associé de sérotype 6 (AAV6). Le CAR est composé d'un fragment variable à chaîne unique humanisé (scFv) dérivé de l'anticorps murin FMC63 ciblant CD19, suivi d'une charnière CD8 et d'une région transmembranaire, d'un domaine costimulateur CD28 et d'un domaine de signalisation CD3ζ. L'expression du CAR est dirigée par le promoteur du facteur d'elongation 1 alpha (EF-1α) et terminée par une séquence de polyadénylation synthétique. La cassette d'expression CD19 est flanquée de deux bras d'homologie TRAC guidant la cassette d'expression vers le locus TRAC. Les lymphocytes T sont cultivés en présence de milieu de croissance contenant de l'interleukine 2 (IL-2) et 7 (IL-7) et sont ≥30% des lymphocytes CAR+ T, ≤0,5% de TCR+ et ≤30% de B2M+.
thérapie génique à base de cellules (antineoplastique)

evoncabtagén pazurgedleucel

linfocitos T alogénicos obtenidos de sangre periférica mediante leucaféresis, modificados genéticamente por edición génica mediada por CRISPR/Cas9 (repeticiones palindrómicas cortas agrupadas y espaciadas regularmente /proteína asociada a CRISPR 9) que consta de dos ARNs guía (ARNg) introducidos de forma transitoria como un complejo de ribonucleoproteína (RNP) de Cas9-ARNg para la ruptura dirigida de los loci de la cadena constante alfa del receptor del linfocito T (TRAC) y de la β2 microglobulina (B2M) y la inserción del transgen para un receptor de antígeno químérico (CAR) anti-CD19 en el locus TRAC por medio de un vector de virus adenoasociado de serotipo 6 (AAV6). El CAR está compuesto por un fragmento de cadena variable sencilla (scFV) humanizado, derivado del anticuerpo murino FMC63 dirigido frente a CD19, seguido de una región bisagra y transmembrana de CD8, un dominio coestimulador de CD28 y un dominio de señalización de CD3ζ. La expresión del CAR está dirigida por el promotor del factor de elongación 1 alfa (EF-1α) y terminada por una secuencia de poliadenilación sintética. El casete de expresión de CD19 está flanqueado por dos brazos homólogos de TRAC que guían el casete de expresión al locus TRAC. Los linfocitos T se cultivan en presencia de medio de crecimiento que contiene interleukina 2 (IL-2) y 7 (IL-7) y son ≥30% linfocitos T CAR+, ≤0,5% TCR+ y ≤30% B2M+.
terapia génica basada en células (antineoplásico)

exidavnemabum #

exidavnemab

immunoglobulin G4-kappa, anti-[*Homo sapiens* SNCA (synuclein alpha, PARK1, PARK4, Parkinson disease (autosomal dominant, Lewy body) 4, synuclein alpha (non A4 component of amyloid precursor))], monoclonal antibody; gamma4 heavy chain (1-444) [VH (*Homo sapiens* IGHV4-4*08 (79.4%) -(IGHD) -IGHJ3*01 (85.7%), CDR-IMGT [8.7.12] (26-33.51-57.96-107)) (1-118)-*Homo sapiens* IGHG4*01, G4v5 h P10 (CH1 (119-216), hinge 1-12 S10>P (226) (217-228), CH2 (229-338), CH3 (339-443), CHS K2>del (444)) (119-444)], (132-219')-disulfide with kappa light chain (1'-219') [V-KAPPA Musmus/Homsap (*Mus musculus* IGKV1-117*01 (89.0%) -IGKJ4*01 (91.7%) S120>Q (105)/*Homo sapiens* IGKV2-28*01 (85.0%) -IGKJ2*02 (100%), CDR-IMGT [11.3.9] (27-37.55-57.94-102)) (1'-112') -*Homo sapiens* IGKC*01 (100%), Km3 A45.1 (158), V101 (196) (113'-219')]; dimer (224-224':227-227")-bisdisulfide, produced in Chinese hamster ovary (CHO)-K1SV cell line lacking the glutamine synthetase gene (GS-KO), glycoform alfa *antiparkinsonian*

exidavnémab

immunoglobuline G4-kappa, anti-[*Homo sapiens* SNCA (synucléine alpha, alpha-synucléine, PARK1, PARK4, maladie de Parkinson (autosomique dominante, corps de Lewy) 4, synucléine alpha (composant non A4 du précurseur amyloïde))], anticorps monoclonal; chaîne lourde gamma4 (1-444) [VH (*Homo sapiens* IGHV4-4*08 (79.4%) -(IGHD) -IGHJ3*01 (85.7%), CDR-IMGT [8.7.12] (26-33.51-57.96-107)) (1-118)-*Homo sapiens* IGHG4*01, G4v5 h P10 (CH1 (119-216), charnière 1-12 S10>P (226) (217-228), CH2 (229-338), CH3 (339-443), CHS K2>del (444)) (119-444)], (132-219')-disulfure avec la chaîne légère kappa (1'-219') [V-KAPPA Musmus/Homsap (*Mus musculus* IGKV1-117*01 (89.0%) -IGKJ4*01 (91.7%) S120>Q (105)/*Homo sapiens* IGKV2-28*01 (85.0%) -IGKJ2*02 (100%), CDR-IMGT [11.3.9] (27-37.55-57.94-102)) (1'-112') -*Homo sapiens* IGKC*01 (100%), Km3 A45.1 (158), V101 (196) (113'-219')]; dimère (224-224':227-227")-bisdisulfure, produit dans des cellules ovariennes de hamster chinois (CHO) lignée cellulaire CHO-K1SV ne présentant pas le gène de la glutamine synthétase (GS-KO), glycoforme alfa *antiparkinson*

exidavnemab

inmunoglobulina G4-kappa, anti-[*Homo sapiens* SNCA (sinucleína alfa, alfa-sinucleína, PARK1, PARK4, enfermedad de Parkinson (autosómico dominante, cuerpo de Lewy) 4, sinucleína alfa (componente no A4 del precursor amiloide)), anticuerpo monoclonal; cadena pesada gamma4 (1-444) [VH (*Homo sapiens* IGHV4-4*08 (79.4%) -(IGHD) -IGHJ3*01 (85.7%), CDR-IMGT [8.7.12] (26-33.51-57.96-107)) (1-118)-*Homo sapiens* IGHG4*01, G4v5 h P10 (CH1 (119-216), bisagra 1-12 S10>P (226) (217-228), CH2 (229-338), CH3 (339-443), CHS K2>del (444)) (119-444)], (132-219')-disulfuro con la cadena ligera kappa (1'-219') [V-KAPPA Musmus/Homsap (*Mus musculus* IGKV1-117*01 (89.0%) -IGKJ4*01 (91.7%) S120>Q (105)/*Homo sapiens* IGKV2-28*01 (85.0%) -IGKJ2*02 (100%), CDR-IMGT [11.3.9] (27-37.55-57.94-102)) (1'-112') -*Homo sapiens* IGKC*01 (100%), Km3 A45.1 (158), V101 (196) (113'-219')]; dímero (224-224':227-227")-bisdisulfuro, producido en las células ováricas de hámster chino (CHO) línea celular CHO-K1SV en ausencia del gen glutamina sintetasa (GS-KO), forma glicosilada alfa *antiparkinsoniano*

2438229-02-6

Heavy chain / Chaîne lourde / Cadena pesada

QVQLQESGPG LVKPSETLTL TCTVSGFSLT SYGVHWRQP PGKGLWEIGV 50
 IWRCGSTDVS AAIFMSRLTIS KDTSKNQVSL KLSVTAADDV AVYYCAKLLR 100
 SVGGFADWQQ GTMVTVSSAS TKGFSVPLA PCRSRTSEST AALGCLVKDY 150
 FPEPFTVSWN SGALTSGVHT FPAVLQSSGL YSILSVVTVP SSSLGKTKYT 200
 CNVDHKPSNT KVDKRVESKY GPPCPCPAP EFLGGPSVFL FPPKEKDTIM 250
 ISRTPEVTC VVDVSQEDPE VQFNWYDVG EVHNNAKTPR EEQFNSTYRV 300
 VSVLTVLHQD WLNGKEYKCS VSNKGLPSSI EKTISAKGG PREEQVYTLP 350
 PSQEEMTKNQ VSLSCLVKG YSDIAVEWNE SNQCPENNYY TPPVLDSDG 400
 SFFFLYSRILTV DKSRWQEGNV FSCSVMHEAL HHNYQTQKSLS LSLG 444

Light chain / Chaîne légère / Cadena ligera

DIVMTQSPLSL LPVPTGEPEAS ISCRSSQPTIV HNNNGNTYLEW YLQKPGQSPQ 50
 LLIYKVSNRF SGVPDRFSGS GSGTDFTLKI SRVEAEDWVG YYCFCGSHVP 100
 FTFGQGTKLE IKRTVAAPSV FIFPPSDEQL KSGTASVVCL LNNFYPREAK 150
 VQWKVNDALQ SGNSQESVTA QDSKDSTYSL SSTTLTSKAD YEKHKVYACE 200
 VTHQGLSSPV TKSFNRGEC 219

Post-translational modifications

Disulfide bridges location / Position des ponts disulfure / Posiciones de los puentes disulfuro
 Intra-H (C23-C104) 22-95 145-201 259-319 365-423

22[“]-95[“] 145[“]-201[“] 259[“]-319[“] 365[“]-423[“]

Intra-L (C23-C104) 23[“]-93[“] 139[“]-199[“]

23[“]-93[“] 139[“]-199[“]

Inter-H-L (CH1 10-CL 126) 132-219[“] 132[“]-219[“]

Inter-H-H (h 8, h 11) 224-224[“] 227-227[“]

N-terminal glutaminyl cyclization / Cyclisation du glutaminyle N-terminal / Ciclación del glutamínico N-terminal
 H VH QI> pyroglutamyl (pE, 5-oxoprolyl): 1, 1[“]

N-glycosylation sites / Sites de N-glycosylation / Posiciones de N-glicosilación

H CH2 N84:4; 295, 295[“]

Fucosylated complex bi-antennary CHO-type glycans / glycanes de type CHO bi-antennaires complexes fucosylés / glicanos de tipo CHO biantenarios complejos fucosilados.

ezurpimtrostatum
ezurpimtrostat

4-[4-(*tert*-butylamino)piperidin-1-yl]-N-[(4-chlorophenyl)methyl]quinolin-2-amine
palmitoyl protein thioesterase 1 (PPT-1) inhibitor

ézurpimtrostat

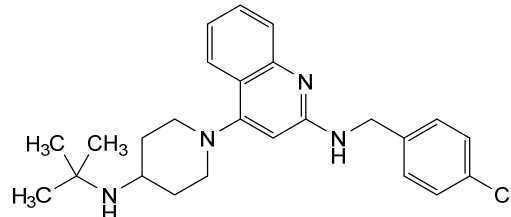
4-[4-(*tert*-butylamino)piperidin-1-yl]-N-[(4-chlorophényl)méthyl]quinoléin-2-amine
inhibiteur de la palmitoyle protéine thioestérase 1 (PPT-1)

ezurpimtrostat

4-[4-(*tert*-butylamino)piperidin-1-yl]-N-[(4-clorofenil)metyl]quinolein-2-amina
inhibidor de la palmitoil proteína tioesterasa 1 (PPT-1)

C₂₅H₃₁CIN₄

1914148-72-3



famitinibum
famitinib

5-[2-(diethylamino)ethyl]-2-[(Z)-(5-fluoro-2-oxo-1,2-dihydro-3H-indol-3-ylidene)methyl]-3-methyl-1,5,6,7-tetrahydro-4H-pyrrolo[3,2-c]pyridin-4-one
tyrosine kinase inhibitor, antineoplastic

famitinib

5-[2-(diéthylamino)éthyl]-2-[(Z)-(5-fluoro-2-oxo-1,2-dihydro-3H-indol-3-ylidène)méthyl]-3-méthyl-1,5,6,7-tétrahydro-4H-pyrrolo[3,2-c]pyridin-4-one
inhibiteur de la tyrosine kinase, antinéoplasique

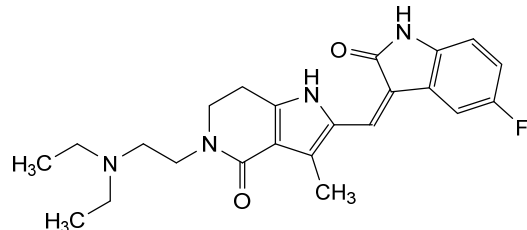
famitinib

5-[2-(dietilamino)etil]-2-[(Z)-(5-fluoro-2-oxo-1,2-dihidro-3H-indol-3-ilideno)metil]-3-metil-1,5,6,7-tetrahidro-4H-pirrolo[3,2-c]piridin-4-ona

inhibidor de la tirosina kinasa, antineoplásico

C₂₃H₂₇FN₄O₂

1044040-56-3



farletuzumab ecteribulinum

farletuzumab ecteribulin

immunoglobulin G1-kappa, anti-[*Homo sapiens* FOLR1 (folate receptor 1, folate receptor alpha, FR-alpha, adult folate-binding protein, FBP, ovarian tumor-associated antigen MOv18)], humanized monoclonal antibody, conjugated to *eribulin* via a cleavable linker; gamma1 heavy chain humanized (1-449) [VH (*Homo sapiens* IGHV3-30*03 (83.5%) -(IGHD) -IGHJ6*01 (90.9%) T123>P (114), CDR-IMGT [8.8.12] (26-33.51-58.97-108)) (1-119) -*Homo sapiens* IGHG1*01 (100%), G1m17,1 (CH1 K120 (216) (120-217), hinge 1-15 (218-232), CH2 (233-342), CH3 D12 (358), L14 (360) (343-447), CHS (448-449)) (120-449)], (222-217')-disulfide with kappa light chain humanized (1'-217') [V-KAPPA (*Homo sapiens* IGKV1-13*02 (81.2%) -IGKJ2*01 (91.7%) L124>V (107), CDR-IMGT [7.3.11] (27-33.51-53.90-100)) (1'-110') -*Homo sapiens* IGKC*01 (100%), Km3 A45.1 (156), V101 (194) (111'-217')]; dimer (228-228":231-231")-bisdisulfide, produced in a Chinese hamster ovary (CHO)-K1SV cell line, glycoform alfa; substituted at an average of four S atoms of cysteine residues (reduced inter-chain disulfide bonds) with (3RS)-1-[(6S,9S)-1-amino-6-[(4-[(2S)-2-hydroxy-3-[(1²S,1³S,1⁴R,1⁵R,3²R,3⁴R,-3⁶S,6²S,6⁵S,9²S,9³aR,9⁴aR,9⁵S,9⁵aS,9⁷R,9⁹aS,9¹⁰aR,9¹⁰bS)-1'-methoxy-3'-methyl-3³,6³-bis(methylenidene)-11-oxo-9-decahydro-9³H-9(2,7)-(2,5-epoxyfuro[2',3':4,5]furo[3,2-b]pyran[2,3-e]pyrana)-3(2,6)-oxana-1(2,3),6(2,5)-bis(oxolana)cyclododecaphan-1⁵-yl]propyl]carbamoyl)oxy]methyl]phenyl]carbamoyl]-1,8,11-trioxa-9-(propan-2-yl)-14,17-dioxa-2,7,10-triazanonadecan-19-yl]-2,5-dioxopyrrolidin-3-yl (*ecteribulin*) groups *tubulin binder, antineoplastic*

farlétuzumab ectéribuline

immunoglobuline G1-kappa, anti-[*Homo sapiens* FOLR1 (récepteur 1 du folate, récepteur alpha du folate, FR-alpha, protéine de l'adulte liant le folate, FBP, antigène MOv18 associé à des tumeurs ovariennes)], anticorps monoclonal humanisé, conjugué à l'*eribulin* via un linker clivable; chaîne lourde gamma1 humanisée (1-449) [VH (*Homo sapiens* IGHV3-30*03 (83.5%) -(IGHD) -IGHJ6*01 (90.9%) T123>P (114), CDR-IMGT [8.8.12] (26-33.51-58.97-108)) (1-119) -*Homo sapiens* IGHG1*01 (100%), G1m17,1 (CH1 K120 (216) (120-217), charnière 1-15 (218-232), CH2 (233-342), CH3 D12 (358), L14 (360) (343-447), CHS (448-449)) (120-449)], (222-217')-disulfure avec la chaîne légère kappa humanisée (1'-217')

[V-KAPPA (*Homo sapiens* IGKV1-13*02 (81.2%) - IGKJ2*01 (91.7%) L124>V (107), CDR-IMGT [7.3.11] (27-33.51-53.90-100)) (1'-110') -*Homo sapiens* IGKC*01 (100%), Km3 A45.1 (156), V101 (194) (111'-217')]; dimère (228-228":231-231")-bisdisulfure, produit dans des cellules ovariennes de hamster chinois (CHO) lignée cellulaire CHO-K1SV, glycoforme alfa; substitué à une moyenne de quatre atomes S de résidus cystéine (liaisons disulfure inter-châînes réduites) par des groupes (3RS)-1-[(6S,9S)-1-amino-6-[(4-[[((2S)-2-hydroxy-3-[(1²S,1³S,1⁴R,1⁵R,-3²R,3⁴R,3⁶S,6²S,6⁵S,9²S,9^{3a}R,9^{4a}R,9⁵S,9^{5a}S,9⁷R,9^{9a}S,9^{10a}R,9^{10b}S)-1⁴-méthoxy-3⁴-méthyl-3³,6³-bis(méthylidène)-11-oxo-9-décahydro-9³H-9(2,7)-(2,5-époxyfuro[2',3':4,5]furo[3,2-b]pirano[2,3-e]pirana)-3(2,6)-oxana-1(2,3),6(2,5)-bis(oxolana)cyclododecaphan-1⁵-yl]propyl]carbamoyl)oxy]méthyl]phényl)carbamoyl]-1,8,11-trioxo-9-(propan-2-yl)-14,17-dioxa-2,7,10-triazanonadécan-19-il]-2,5-dioxopirrolidin-3-yle (**ectéribuline**)

ligand de la tubuline, antinéoplasique

farletuzumab ecteribulina

inmunoglobulina G1-kappa, anti-[*Homo sapiens* FOLR1 (receptor 1 de folato, receptor alfa de folato, FR-alfa, proteína de adulto de unión al folato, FBP, antígeno MOV18 asociado a los tumores ováricos)], anticuerpo monoclonal humanizado, conjugado con la *eribulina*, mediante un conector escindible; cadena pesada gamma1 humanizada (1-449) [VH (*Homo sapiens*IGHV3-30*03 (83.5%) -(IGHD)-IGHJ6*01 (90.9%) T123>P (114), CDR-IMGT [8.8.12] (26-33.51-58.97-108)) (1-119') -*Homo sapiens*IGHG1*01 (100%), G1m17,1 (CH1 K120 (216) (120-217), bisagra 1-15 (218-232), CH2 (233-342), CH3 D12 (358), L14 (360) (343-447), CHS (448-449)) (120-449)], (222-217')-disulfuro con la cadena ligera kappa humanizada (1'-217') [V-KAPPA (*Homo sapiens* IGKV1-13*02 (81.2%) -IGKJ2*01 (91.7%) L124>V (107), CDR-IMGT [7.3.11] (27-33.51-53.90-100)) (1'-110') -*Homo sapiens* IGKC*01 (100%), Km3 A45.1 (156), V101 (194) (111'-217')]; dímero (228-228":231-231")-bisdisulfuro, producido en las células ováricas de hamster chino (CHO) línea celular CHO-K1SV, forma glicosilada alfa; sustituido en un promedio de cuatro átomos de S de residuos de cisteína (enlaces disulfuro intercatenarios reducidos) con grupos (3RS)-1-[(6S,9S)-1-amino-6-[(4-[[((2S)-2-hidroxi-3-[(1²S,1³S,1⁴R,1⁵R,-3²R,3⁴R,3⁶S,6²S,6⁵S,9²S,9^{3a}R,9^{4a}R,9⁵S,9^{5a}S,9⁷R,9^{9a}S,9^{10a}R,9^{10b}S)-3⁴-metil-3³,6³-bis(metilideno)-1⁴-metoxi-11-oxo-9-decahidro-9³H-9(2,7)-(2,5-époxyfuro[2',3':4,5]furo[3,2-b]pirano[2,3-e]pirana)-3(2,6)-oxana-1(2,3),6(2,5)-bis(oxolana)cyclododecaphan-1⁵-il]propil]carbamoyl)oxi]metil]fenil)carbamoyl]-1,8,11-trioxo-9-(propan-2-il)-14,17-dioxa-2,7,10-triazanonadecan-19-il]-2,5-dioxopirrolidin-3-ilo (**ecteribulina**)

ligando de tubulina, antineoplásico

Heavy chain / Chaîne lourde / Cadena pesada

EVQLVESGGG VVSPGRSLRL SCASACFTFS GYGLSWVRQA PGKGLEWVAM 50
 ISSGGSYTYY ADSVKGRFAI SRDNAKNTLF LQMSLRLPED TGVYPCARHG 100
 DPAWFAYWG QGTPTVVTSA STKGPSVFL APSSKSTSGG TAAALCLVLD 150
 YPFPEPVTVSW NSGALTSGVH TPAPAVLQSSG LYSLSVVW PSSSLGTQTY 200
 ICNVNHHKPSN TKVDKKVEPK SCDKTHTCPP CPEAPELLGGP SVFLFFPKPK 250
 DTLMSRTPF VTCVVVDVSH EDPEVKFNWY WDGVVEHNAK TKPREEQINS 300
 TYRVVSVLTV LHQDWLNGKE YKCKVSNKAL PAPIEKTISK ARGQPREPQV 350
 YTLPFSRDEL TNKQVSLTCL VKGFGYPSDIA WEWESNGQE NNYYKTTFPVL 400
 DSDGGSFFFLYS KLTVDKSRWQ QGNVFSCSVN HEALHNHYTQ KSLSLSPGK 449

Light chain / Chaîne légère / Cadena ligera

DIQLTQSPPS LSASVGDRVTITCSVSSIS SNNILHWYQQK PGKAPKPWY 50
 GTSNLASGPV SRFSGSGSGT DYFTISSLQ PEDIATYYCQ QWSSYPYMT 100
 FGQGKVEIK RTVAAPSFLV FPFSDEQIQLS GTASVCLLN NYFPREAKVQ 150
 WKVDNALQSG NSQESVTEQD SKDSTYSLSS TLTLSKADYE KHKVYACEVT 200
 HQGLSSPVTK SFNRGEC 217

Post-translational modifications

Disulfide bridges location / Position des ponts disulfure / Posiciones de los puentes disulfuro

Intra-H (C23-C104) 22"-96" 146"-202" 263"-323" 369"-427"

22"-96" 146"-202" 263"-323" 369"-427"

Intra-L (C23-C104) 23"-89" 137"-197"

23"-89" 137"-197"

Inter-H-L (h 5-CL 126)* 222-217" 222"-217"

Inter-H-H (h 1, h 14)* 228-228" 231-231"

*At least two of the four inter-chain disulfide bridges are not present, an average of 4 cysteinyl being conjugated each via a thioether bond to a drug linker. *Au moins deux des quatre ponts disulfures inter-chaines ne sont pas présents, 4 cystéinyl en moyenne étant chacun conjugué via un liaison thioéther à un linker-principe actif. *Al menos dos de los cuatro puentes disulfuro inter-catenarios no estan presentes, una media de 4 cisteinil está conjugada a conectores de principio activo.

N-glycosylation sites / Sites de N-glycosylation / Posiciones de N-glicosilación

H CH2 N84.4:299,299"

Fucosylated complex bi-antennary CHO-type glycans / glycanes de tipo CHO bi-antennarios complejos fucosylés / glicanos de tipo CHO biantenarios complejos fucosilados.

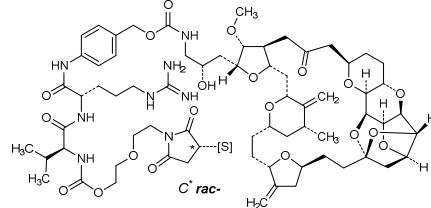
C-terminal lysine clipping / Coupage de la lysine C-terminale / Recorte de lisina C-terminal
 H CHS K2: 449,449"

Conjugation sites / Sites de conjugaison / Posiciones de conjugación

~4.0 ecteribulin groups/mAb at the S atoms of Cys of reduced intermolecular S-S bonds /

~4.0 ecteribulin groups/mAb at the S atoms of Cys of reduced intermolecular S-S bonds /

~4.0 grupos ecteribulina/mAb en los átomos S de Cys de puentes reducidos intermoleculares S-S:

**farudodstatum**

farudodstat

2-[(3,5-difluoro-3'-methoxy[1,1'-biphenyl]-4-yl)amino]pyridine-3-carboxylic acid
dihydroorotate dehydrogenase (DHODH) inhibitor

farudodstat

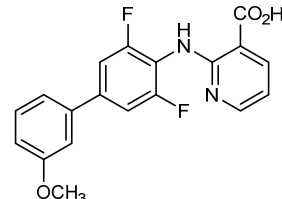
acide 2-[(3,5-difluoro-3'-méthoxy[1,1'-biphényl]-4-yl)amino]pyridine-3-carboxylique
inhibiteur de la dihydroorotate déshydrogénase (DHODH)

farudodstat

ácido 2-[(3,5-difluoro-3'-metoxi[1,1'-bifenil]-4-il)amino]piridina-3-carboxílico
inhibidor de la dihidroorotato deshidrogenasa (DHODH)

C₁₉H₁₄F₂N₂O₃

1035688-66-4



fazulemeranum #

fazulemeran

messenger RNA (mRNA), 5' capped, encoding human vascular endothelial growth factor A (vascular permeability factor (VPF)), isoform 165 (VEGF165, VEGF-A₁₆₅), further optimized by two additional stop codons, flanked by an artificial 5' untranslated region (UTR) and a 3' UTR derived from the human alpha globin gene (HBA1) and a 3' poly(A) tail; contains N¹-methylpseudouridine instead of uridine (*all*-U>m¹Ψ). *messenger RNA encoding vascular endothelial growth factor*

fazuléméran

ARN messager (ARNm), protégé d'une coiffe en 5', codant le facteur de croissance endothérial vasculaire A humain (facteur de perméabilité vasculaire (VPF)), isoforme 165 (VEGF165, VEGF- A₁₆₅), optimisé davantage par l'ajout de deux codons stop, flanqué d'une région non traduite (UTR) en 5' artificielle et d'une UTR en 3' dérivée du gène de l'alpha-globine humaine (HBA1) et d'une queue poly(A) en 3'; contient de la N¹-méthylpseudouridine au lieu de l'uridine (*all*-U>m¹Ψ). *ARN messager codant pour le facteur de croissance de l'endothélium vasculaire*

fazulemerán

ARN mensajero (ARNm), protegido en 5', que codifica para el factor de crecimiento del endotelio vascular A humano (factor de permeabilidad vascular (VPF)), isoforma 165 (VEGF165, VEGF-A₁₆₅), optimizado mediante dos codones de terminación adicionales, flanqueado por un región 5' no traducida (UTR) artificial y una UTR en 3' derivada del gen de la globina alfa humana (HBA1) y una cola poly(A) en 3'; contiene N¹-methylpseudouridine en lugar de uridina (*all*-U>m¹Ψ).

ARN mensajero que codifica para el factor de crecimiento endotelial vascular

2417174-26-4

fidasimtamabum #

fidasimtamab

immunoglobulin G1-kappa, anti-[*Homo sapiens* PDCD1 (programmed cell death 1, PD1, PD-1, CD279)] and anti-[*Homo sapiens* ERBB2 (epidermal growth factor receptor 2, receptor tyrosine-protein kinase erbB-2, EGFR2, HER2, HER-2, p185c-erbB2, NEU, CD340)], *Homo sapiens* and humanized monoclonal antibody, bispecific; gamma1 heavy chain *Homo sapiens* anti-PDCD1 (1-450) [VH anti-PDCD1 (*Homo sapiens*IGHV1-69*01 (95.9%) -(IGHD) -IGHJ4*01 (100%), CDR-IMGT [8.8.13] (26-33.51-58.97-109)) (1-120) -*Homo sapiens* IGHG1*01, G1m17,1(CH1 K120 (217) (121-218), hinge 1-15 (219-233), CH2 (234-343), CH3 D12 (359), L14 (361), T22>L (369), D84.2>R (402) (344-448), CHS (449-450)) (121-450)], (223-214')-disulfide with

	kappa light chain <i>Homo sapiens</i> anti-PDCD1 (1'-214') [V-KAPPA anti-PDCD1 (<i>Homo sapiens</i> IGKV1-12*01 (96.8%) -IGKJ4*01 (91.7%), CDR-IMGT [6.3.9] (27-32.50-52.89-97)) (1'-107') - <i>Homo sapiens</i> IGKC*01 (100%), Km3 A45.1 (153), V101 (191) (108'-214')]; gamma1 heavy chain humanized anti-ERBB2 (1"-450") [VH anti-ERBB2 (<i>Homo sapiens</i> IGHV3-66*01 (81.6%) -(IGHD) -IGHJ4*01 (100%), CDR-IMGT [8.8.13] (26-33.51-58.97-109)) (1"-120") - <i>Homo sapiens</i> IGHG1*01, G1m17.1(CH1 K120 (217) (121"-218"), hinge 1-15 (219"-233"), CH2 (234"-343"), CH3 L7>E (354), D12 (359), L14 (361), Y86>L (410), K88>V (412) (344"-448"), CHS (449"-450")) (121"-450")], (223"-214")-disulfide with kappa light chain humanized anti-ERBB2 (1"-214") [V-KAPPA anti-ERBB2 (<i>Homo sapiens</i> IGKV1-39*01 (86.3%) -IGKJ1*01 (100%), CDR-IMGT [6.3.9] (27-32.50-52.89-97)) (1"-107") - <i>Homo sapiens</i> IGKC*01 (100%), Km3 A45.1 (153), V101 (191) (108"-214")]; dimer (229-229":232-232")-bisdisulfide, produced in Chinese hamster ovary (CHO)-K1SV cell line lacking the glutamine synthetase gene (GSKO), glycoform alfa <i>immunomodulator, antineoplastic</i>
fidasimtamab	immunoglobuline G1-kappa, anti-[<i>Homo sapiens</i> PDCD1 (protéine 1 de mort cellulaire programmée, PD1, PD-1, CD279)] et anti-[<i>Homo sapiens</i> ERBB2 (récepteur tyrosine-protéine kinase erbB-2, récepteur pour les facteurs de croissance, EGFR2, HER2, HER-2, p185c-erbB2, NEU, CD340)], anticorps monoclonal <i>Homo sapiens</i> et humanisé, bispécifique; chaîne lourde gamma1 <i>Homo sapiens</i> anti-PDCD1 (1-450) [VH anti-PDCD1 (<i>Homo sapiens</i> IGHV1-69*01 (95.9%) -(IGHD) -IGHJ4*01 (100%), CDR-IMGT [8.8.13] (26-33.51-58.97-109)) (1-120") - <i>Homo sapiens</i> IGHG1*01, G1m17.1(CH1 K120 (217) (121-218), charnière 1-15 (219-233), CH2 (234-343), CH3 D12 (359), L14 (361), T22>L (369), D84.2>R (402) (344-448), CHS (449-450)) (121-450")], (223-214")-disulfure avec la chaîne légère kappa <i>Homo sapiens</i> anti-PDCD1 (1'-214') [V-KAPPA anti-PDCD1 (<i>Homo sapiens</i> IGKV1-12*01 (96.8%) -IGKJ4*01 (91.7%), CDR-IMGT [6.3.9] (27-32.50-52.89-97)) (1'-107') - <i>Homo sapiens</i> IGKC*01 (100%), Km3 A45.1 (153), V101 (191) (108'-214')]; chaîne lourde gamma1 humanisée anti-ERBB2 (1"-450") [VH anti-ERBB2 (<i>Homo sapiens</i> IGHV3-66*01 (81.6%) -(IGHD) -IGHJ4*01 (100%), CDR-IMGT [8.8.13] (26-33.51-58.97-109)) (1"-120") - <i>Homo sapiens</i> IGHG1*01, G1m17.1(CH1 K120 (217) (121"-218"), charnière 1-15 (219"-233"), CH2 (234"-343"), CH3 L7>E (354), D12 (359), L14 (361), Y86>L (410), K88>V (412) (344"-448"), CHS (449"-450")) (121"-450")], (223"-214")-disulfure avec la chaîne légère kappa humanisée anti-ERBB2 (1"-214") [V-KAPPA anti-ERBB2 (<i>Homo sapiens</i> IGKV1-39*01 (86.3%) -IGKJ1*01 (100%), CDR-IMGT [6.3.9] (27-32.50-52.89-97)) (1"-107") - <i>Homo sapiens</i> IGKC*01 (100%), Km3 A45.1 (153), V101 (191) (108"-214")]; dimère (229-229":232-232")-bisdisulfure, produit dans des cellules ovarianes de hamster chinois (CHO) lignée cellulaire CHO-K1SV ne présentant pas le gène de la glutamine synthétase (GSKO), glycoforme alfa <i>immunomodulateur, antinéoplasique</i>
fidasimtamab	inmunoglobulina G1-kappa, anti-[<i>Homo sapiens</i> PDCD1 (proteína 1 de muerte celular programada, PD1, PD-1, CD279)] y anti-[<i>Homo sapiens</i> ERBB2 (receptor tirosina-proteína kinasa erbB-2, receptor para los factores de crecimiento, EGFR2, HER2, HER-2, p185c-erbB2, NEU, CD340)], anticuerpo monoclonal <i>Homo sapiens</i> y humanizado, biespecífico; cadena pesada gamma1 <i>Homo sapiens</i> anti-PDCD1 (1-450) [VH anti-PDCD1 (<i>Homo sapiens</i> IGHV1-69*01 (95.9%) -(IGHD) -IGHJ4*01 (100%), CDR-IMGT [8.8.13] (26-33.51-58.97-109)) (1-120") - <i>Homo sapiens</i> IGHG1*01, G1m17.1(CH1 K120 (217) (121-218), bisagra 1-15 (219-233), CH2 (234-343), CH3 D12 (359), L14 (361), T22>L (369), D84.2>R (402) (344-448), CHS (449-450)) (121-450")], (223-214")-disulfuro con la cadena

ligera kappa *Homo sapiens* anti-PDCD1 (1'-214') [V-KAPPA anti-PDCD1 (*Homo sapiens* IGKV1-12*01 (96.8%) -IGKJ4*01 (91.7%), CDR-IMGT [6.3.9] (27-32.50-52.89-97)) (1'-107') -*Homo sapiens* IGKC*01 (100%), Km3 A45.1 (153), V101 (191) (108'-214')];
 cadena pesada gamma1 humanizada anti-ERBB2 (1"-450") [VH anti-ERBB2 (*Homo sapiens*IGHV3-66*01 (81.6%) -(IGHD) -IGHJ4*01 (100%), CDR-IMGT [8.8.13] (26-33.51-58.97-109)) (1"-120") -*Homo sapiens*IGHG1*01, G1m17,1(CH1 K120 (217) (121"-218"), bisagra 1-15 (219"-233"), CH2 (234"-343"), CH3 L7>E (354), D12 (359), L14 (361), Y86>L (410), K88>V (412) (344"-448"), CHS (449"-450")) (121"-450")], (223"-214")-disulfuro con la cadena ligera kappa humanizada anti-ERBB2 (1"-214") [V-KAPPA anti-ERBB2 (*Homo sapiens* IGKV1-39*01 (86.3%) -IGKJ1*01 (100%), CDR-IMGT [6.3.9] (27-32.50-52.89-97)) (1"-107") -*Homo sapiens* IGKC*01 (100%), Km3 A45.1 (153), V101 (191) (108"-214")]; dímero (229-229":232-232")-bisdisulfuro, producido en las células ováricas de hámster chino (CHO) línea celular CHO-K1SV en ausencia del gen glutamina sintetasa (GSKO), forma glicosilada alfa inmunomodulador, antineoplásico

2377419-89-9

Heavy chain / Chaîne lourde / Cadena pesada (anti-PDCD1)

QVQLVQSGAE VKPGGSSVKV SCKASGGTFS STAISSWVRQA PGQGLEWMGG 50
 IWPSEGFTASY AQKFQGRVTI TADESTSTAY MELSSLRSED TAVYYCARAE 100
 YSSTGIFDYW QQGTLVTVSS ASTKGPSVFP LAPSSKSTSG GTAALGCLVK 150
 DYFPEPVTVS WNSGALTSGV HTFPAVIQQSS GLYSLSSVVT VFSSSLGTQT 200
 YICNVNHPKS NTKVDKKVEP KSCDKTHTCP PCPAPELILGG PSVFLFPKP 250
 KDTLMISRTP EVTCVVVDVS HEDPEVKFNW YVDGVEVHNNA KTKPREEQYN 300
 STYRVPSVLT VLHQDWLNKG EYKCKVSNKA LPAPIEKTTIS KAKGQPREPQ 350
 VYTFPPSRDE LTKNQVSLTC LVKGFYPSDI AVEWESENQQP ENNYKTTPPV 400
 LRSDDGSFFLY SKLTVQDSRW QQGNVFSCSV MHEALHNHYT QKSLSLSPKG 450

Heavy chain / Chaîne lourde / Cadena pesada (anti-ERBB2)

EVQLVEGGG LVQPGGSLRL SCAASGFNIK DTYIHWVWRQA PGKGLEWVAR 50
 IYPTNGYTRVY ADVSQKGRFTI SADTSKNTAY LQMNSSLRAED TAVYYCSRWG 100
 GGDGYIAMDW QQGTLVTVSS ASTKGPSVFP LAPSSKSTSG GTAALGCLVK 150
 DYFPEPVTVS WNSGALTSGV HTFPAVIQQSS GLYSLSSVVT VFSSSLGTQT 200
 YICNVNHPKS NTKVDKKVEP KSCDKTHTCP PCPAPELILGG PSVFLFPKP 250
 KDTLMISRTP EVTCVVVDVS HEDPEVKFNW YVDGVEVHNNA KTKPREEQYN 300
 STYRVPSVLT VLHQDWLNKG EYKCKVSNKA LPAPIEKTTIS KAKGQPREPQ 350
 VYTFPPSRDE LTKNQVSLTC LVKGFYPSDI AVEWESENQQP ENNYKTTPPV 400
 LRSDDGSFLL SVLTVDKSRW QQGNVFSCSV MHEALHNHYT QKSLSLSPKG 450

Light chain / Chaîne légère / Cadena ligera (anti-PDCD1)

DIQMTQSPSS VSASVGDRVT ITCRASQGQIS SWLAWYQQQP GKAPKLLISA 50
 ASSLQSGVPSS RFSGSGSGTD FTLTISLQP EDFATYYCQQ ANHLPPTFEGG 100
 GTKVEIKRTV AAPSVFIFPP SDEQLKSGTA SVVCLNNFY PREAKVQWKV 150
 DNAIQSGNSQ ESVTEQDSDK STYSLLSSTIT LSKADYEKHK VYACEVTHHQ 200
 LSSPVTKSFN RGEC 214

Light chain / Chaîne légère / Cadena ligera (anti-ERBB2)

DIQMTQSPSS LSASVGDRVT ITCRASQDVN TAVAWEYQQQP GKAPKLLIYS 50
 ASFLYSGVPS RFSGSGSGTD FTLTISLQP EDFATYYCQQ HYTTPTFPGQ 100
 GTKVEIKRTV AAPSVFIFPP SDEQLKSGTA SVVCLNNFY PREAKVQWKV 150
 DNAIQSGNSQ ESVTEQDSDK STYSLLSSTIT LSKADYEKHK VYACEVTHHQ 200
 LSSPVTKSFN RGEC 214

Post-translational modifications

Disulfide bridges location / Position des ponts disulfure / Posiciones de los puentes disulfuro
 Intra-H (C23-C104) 22"-96 147"-203 264"-324 370"-428"
 22"-96" 147"-203" 264"-324" 370"-428"
 Intra-L (C23-C104) 23"-88" 134"-194"
 23"-88" 134"-194"
 Inter-H-L (h 5-CL 126) 223"-214" 223"-214"
 Inter-H-H (h 11, h 14) 229"-229" 232"-232"

N-terminal glutaminyl cyclization / Cyclisation du glutaminyle N-terminal / Ciclación del glutamínilo N-terminal
 H VH QI> pyroglutamyl (p.E, 5-oxoprolyl): 1

N-glycosylation sites / Sites de N-glycosylation / Posiciones de N-glicosilación
 H CH2N84:4: 300, 300"
 Fucosylated complex bi-antennary CHO-type glycans / glycanes de type CHO bi-antennaires complejos fucosylés / glicanos de tipo CHO biantenarios complejos fucosilados.

C-terminal lysine clipping / Coupe de la lysine C-terminale / Recorte de lisina C-terminal
 H CHS K2: 450, 450"

firolimogenum autotemcelum #
firolimogene autotemcel

autologous CD34+ cells isolated from bone marrow of newly diagnosed X-linked severe combined immunodeficiency (X-SCID) patients, transduced *ex vivo* with a self-inactivating lentiviral vector, encoding codon-optimized human interleukin-2 receptor subunit gamma (IL2RG) also known as common gamma chain (γ_c), driven by a short version of the EF1 α promoter. The vector contains human immunodeficiency virus (HIV) central polypurine tract sequences, the HIV Rev response element (RRE) and is flanked by HIV long terminal repeats. The vector also contains a 400bp insulator fragment from the chicken beta-globin locus inserted into the deleted U3 region of the HIV long terminal repeat followed by a polyadenylation sequence derived from the rabbit beta-globin gene. *cell-based gene therapy (immunodeficiency)*

firolimogène autotemcel

cellules CD34+ autologues isolées de la moelle osseuse de patients atteints d'un déficit immunitaire combiné sévère lié à l'X (X-SCID) récemment diagnostiquée, transduites *ex vivo* avec un vecteur lentiviral auto-inactivant, codant la sous-unité gamma du récepteur de l'interleukine 2 humaine aux codons optimisés (IL2RG) aussi connue comme la chaîne gamma commune (γ_c), exprimée par une version courte du promoteur EF1 α . Le vecteur contient des séquences de tractus de polypurine central du virus de l'immunodéficience humaine (VIH), des éléments de réponse Rev (RRE) du VIH et est flanqué par des répétitions terminales longues du VIH. Le vecteur contient aussi un fragment isolant de 400pb provenant du locus de la bêta-globine de poulet inséré dans la région U3 supprimée des répétitions terminales longues du VIH suivi d'une séquence de polyadénylation dérivée du gène de la bêta-globine de lapin. *thérapie génique à base de cellules (carence immunitaire)*

firolimogén autotemcel

células autólogas CD34+ aisladas de médula ósea de pacientes diagnosticados recientemente de inmunodeficiencia combinada severa ligada al cromosoma X (X-SCID), transducidas *ex vivo* con un vector lentiviral auto inactivante, que codifica para la subunidad gamma del receptor de la interleukina 2 humana (IL2RG) también conocida como cadena gamma (γ_c), con codones optimizados, dirigido por una versión corta del promotor EF1 α . El vector contiene un segmento central de poli-purina del virus de inmunodeficiencia humana (VIH), el elemento de respuesta Rev (RRE) del VIH y está flanqueado por las repeticiones terminales largas del VIH. El vector también contiene un fragmento aislante de 400 pb del locus de la b-globina de pollo insertado en la región delecionada U3 de la repetición terminal larga del VIH, seguido de una secuencia de poliadenilación derivada del gen de la beta-globina de conejo. *terapia génica basada en células (inmunodeficiencia)*

flumbatinib

flumbatinib

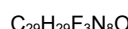
4-[(4-methylpiperazin-1-yl)methyl]-N-(6-methyl-5-[(4-pyridin-3-yl)pyrimidin-2-yl]amino)pyridin-3-yl)-3-(trifluoromethyl)benzamide
tyrosine kinase inhibitor, antineoplastic

flumbatinib

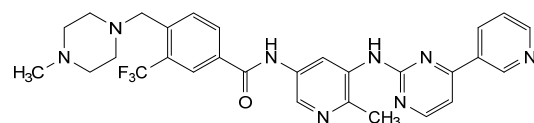
4-[(4-méthylpipérazin-1-yl)méthyl]-N-(6-méthyl-5-[(4-pyridin-3-yl)pyrimidin-2-yl]amino)pyridin-3-yl)-3-(trifluorométhyl)benzamide
inhibiteur de la tyrosine kinase, antinéoplasique

flumbatinib

4-[(4-metilpiperazin-1-il)metil]-N-(6-metil-5-[(4-piridin-3-il)pirimidin-2-il]amino)piridin-3-il)-3-(trifluorometil)benzamida
inhibidor de la tirosina kinasa, antineoplásico



895519-90-1

**fobrepodacinum**

fobrepodacin

2-(5-{2-[(ethylcarbamoyl)amino]-6-fluoro-7-[(2R)-oxolan-2-yl]-1H-benzimidazol-5-yl}pyrimidin-2-yl)propan-2-yl dihydrogen phosphate
antibacterial

fobrépodacine

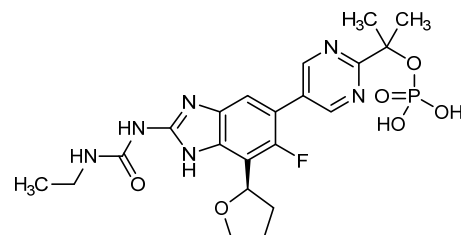
dihydrogénophosphate de 2-(5-{2-[(éthylcarbamoyl)amino]-6-fluoro-7-[(2R)-oxolan-2-yl]-1H-benzimidazol-5-yl}pyrimidin-2-yl)propan-2-yle
antibactérien

fobrepodacina

dihidrogenofosfato de 2-(5-{2-[(etilcarbamoi)amino]-6-fluoro-7-[(2R)-oxolan-2-il]-1H-benzimidazol-5-il}pirimidin-2-il)propan-2-ilo
antibacteriano



1384984-31-9

**fosgonimetonum**

fosgonimeton

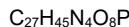
N-hexanoyl-O-phosphono-L-tyrosyl-N¹-(6-amino-6-oxohexyl)-L-isoleucinamide
hepatocyte growth factor receptor agonist

fosgoniméton

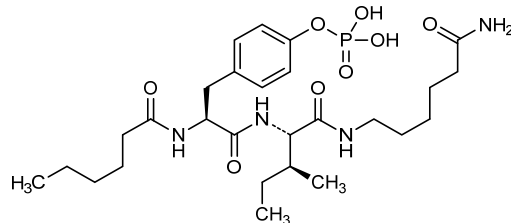
N-hexanoyl-O-phosphono-L-tyrosyl-N¹-(6-amino-6-oxohexyl)-L-isoleucinamide
agoniste des récepteurs du facteur de croissance des hépatocytes

fosgonimetón

N-hexanoil-*O*-fosfono-L-tirosil-*N*¹-(6-amino-6-oxohexil)-L-isoleucinamida
agonista del receptor del factor de crecimiento de los hepatocitos



2093305-05-4

**fostroxacitabinum bralpamidum**

fostroxacitabine bralpamide (2*S*)-pentan-2-yl *N*[(*S*)-{[(2*S*,4*S*)-4-(4-amino-2-oxopyrimidin-1(2*H*)-yl)-1,3-dioxolan-2-yl]methoxy}(4-bromophenoxy)phosphoryl]-*L*-alaninate
antineoplásico

fostroxacitabine bralpamide

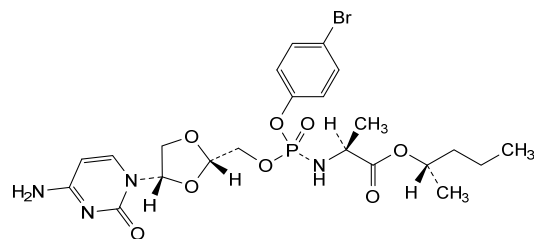
N[(*S*)-{[(2*S*,4*S*)-4-(4-amino-2-oxopyrimidin-1(2*H*)-yl)-1,3-dioxolan-2-yl]méthoxy}(4-bromophénoxy)phosphoryl]-*L*-alanate de (2*S*)-pentan-2-yle
antineoplastique

fostroxacitabina bralpamida

N[(*S*)-{[(2*S*,4*S*)-4-(4-amino-2-oxopyrimidin-1(2*H*)-yl)-1,3-dioxolan-2-yl]metoxi}(4-bromofenoxy)fosforil]-*L*-alaninato de (2*S*)-pentan-2-ilo
antineopásico



2129993-56-0

**frenlosirsenum**

frenlosirsen

all-P-ambo-2'-*O*,4'-*C*[(1*S*)-ethane-1,1-diyll]-*P*-thioadenylyl-(3'→5')-2'-*O*,4'-*C*[(1*S*)-ethane-1,1-diyll]-*P*-thioguanlyl-(3'→5')-*P*-thiothymidylyl-(3'→5')-*P*-thiothymidylyl-(3'→5')-2'-deoxy-*P*-thioguanlyl-(3'→5')-*P*-thiothymidylyl-(3'→5')-2'-deoxy-*P*-thioadenylyl-(3'→5')-2'-deoxy-*P*-thioadenylyl-(3'→5')-2'-deoxy-*P*-thioguanlyl-(3'→5')-2'-*O*-(2-methoxyethyl)-*P*-thioadenylyl-(3'→5')-2'-*O*-(2-methoxyethyl)-5-methyl-*P*-thiouridyl-(3'→5')-2'-*O*,4'-*C*[(1*S*)-ethane-1,1-diyll]-5-methyl-*P*-thiocytidyl-(3'→5')-2'-*O*,4'-*C*[(1*S*)-ethane-1,1-diyll]guanosine
interferon regulatory factor 4 (IRF4) synthesis reducer, antineoplásico

frenlosirsen

tout-P-ambo-2'-O,4'-C-[(1S)-éthane-1,1-diyl]-P-thioadénylyl-(3'→5')-2'-O,4'-C-[(1S)-éthane-1,1-diyl]-P-thioguanilyl-(3'→5')-P-thiothymidylyl-(3'→5')-P-thiothymidylyl-(3'→5')-2'-désoxy-P-thioguanilyl-(3'→5')-P-thiothymidylyl-(3'→5')-2'-désoxy-P-thioadénlyl-(3'→5')-P-thiothymidylyl-(3'→5')-2'-désoxy-P-thioguanilyl-(3'→5')-2'-O-(2-méthoxyéthyl)-P-thioadénlyl-(3'→5')-2'-O-(2-méthoxyéthyl)-P-thioguanilyl-(3'→5')-2'-O-(2-méthoxyéthyl)-5-méthyl-P-thiouridyl-(3'→5')-2'-O,4'-C-[(1S)-éthane-1,1-diyl]-5-méthyl-P-thiocitidyl-(3'→5')-2'-O,4'-C-[(1S)-éthane-1,1-diyl]guanosine

réducteur de la synthèse du facteur 4 de régulation de l'interféron (IRF4), antinéoplasique

frenlosirsén

todo-P-ambo-2'-O,4'-C-[(1S)-etano-1,1-diil]-P-tioadenilil-(3'→5')-2'-O,4'-C-[(1S)-etano-1,1-diil]-P-tioguanilil-(3'→5')-P-tiotimidilil-(3'→5')-P-tiotimidilil-(3'→5')-2'-desoxi-P-tioguanilil-(3'→5')-P-tiotimidilil-(3'→5')-2'-desoxi-P-tioadenilil-(3'→5')-2'-desoxi-P-tioadenilil-(3'→5')-2'-desoxi-P-tioguanilil-(3'→5')-2'-O-(2-metoxietil)-P-tioadenilil-(3'→5')-2'-O-(2-metoxietil)-P-tioguanilil-(3'→5')-5-métil-2'-O-(2-metoxietil)-P-tiouridilil-(3'→5')-2'-O,4'-C-[(1S)-etano-1,1-diil]-5-métil-P-tiocitidilil-(3'→5')-2'-O,4'-C-[(1S)-etano-1,1-diil]guanosina

reductor de la síntesis de factor 4 regulador del interferón (IRF4), antineoplásico



2304711-81-5

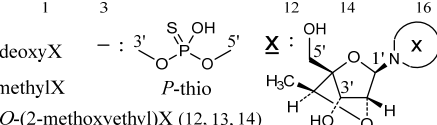
$(3'-5')(P\text{-thio})\overset{1}{A}\text{-}\overset{3}{G}\text{-d}(\overset{1}{T}\text{-}\overset{3}{T}\text{-}\overset{5}{G}\text{-}\overset{7}{T}\text{-}\overset{9}{A}\text{-}\overset{11}{A}\text{-}\overset{13}{T}\text{-}\overset{15}{G})\text{-}\overset{12}{A}\text{-}\overset{14}{G}\text{-m}^5\text{U}\text{-}\overset{16}{m}^5\text{C}\text{-}\overset{17}{G}$

Legend:

$dX : 2'\text{-deoxy}X$

$m^5X : 5\text{-methyl}X$

$X : 2'\text{-O-(2-methoxyethyl)}X$

**fuzuloparibum**

fuzuloparib

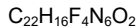
4-({4-fluoro-3-[2-(trifluoromethyl)-5,6-dihydro[1,2,4]triazolo[1,5-a]pyrazine-7(8H)-carbonyl]phényl)méthyl)phtalazin-1(2H)-one
poly (ADP-ribose) polymerase (PARP) inhibitor, antineoplastic

fuzuloparib

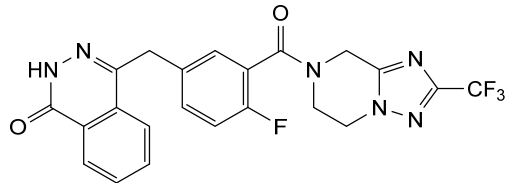
4-({4-fluoro-3-[2-(trifluorométhyl)-5,6-dihydro[1,2,4]triazolo[1,5-a]pyrazine-7(8H)-carbonyl]phényl)méthyl)phtalazin-1(2H)-one
inhibiteur de la PARP (poly-ADP-ribose-polymérase), antinéoplasique

fuzuloparib

4-({4-fluoro-3-[2-(trifluorometil)-5,6-dihidro[1,2,4]triazolo[1,5-a]pirazina-7(8H)-carbonil]fenil)métil)pftalazin-1(2H)-ona
inhibidor de la PARP (poli-ADP-ribosa polimerasa), antineoplásico



1358715-18-0

**gadoqutranum**

gadoquatane

rac-[$\{\mu_4\text{-}2,2',2'',2''',2''''\}\text{-}\{[(2R,16E)\text{-}3,6,12,15\text{-tétراoxo-}1\kappa O^3\text{:}2\kappa O^{15}\text{-}9,9\text{-bis}[(2\text{-}\{(2\Xi)\text{-}2\text{-}[4,7,10\text{-tris(carboxy-}3\kappa^3O^4\text{,}O^7\text{,}O^{10}\text{:}4\kappa^3O^4\text{,}O^7\text{,}O^{10}\text{-methyl)\text{-}1,4,7,10-tétraazacyclododecan-1-yl-}3\kappa^4N^1\text{,}N^4\text{,}N^7\text{,}N^{10}\text{:}4\kappa^4N^1\text{,}N^4\text{,}N^7\text{,}N^{10}\text{-propanamido-}3\kappa O\text{:}4\kappa O'\text{acétamido)méthyl]\text{-}4,7,11,14\text{-téraazaheptadecane-}2\text{-}16\text{-diyl}\}bis(1,4,7,10\text{-téraazacyclododecan-10,1,4,7-tétrayl-}1\kappa^4N^1\text{,}N^4\text{,}N^7\text{,}N^{10}\text{:}2\kappa^4N^1\text{,}N^4\text{,}N^7\text{,}N^{10})\text{]hexaacétato-}1\kappa^3O^1\text{,}O^4\text{,}O^7\text{:}-2\kappa^3O^1\text{,}O^4\text{,}O^7\}\text{)}(12\text{-})]$]tetragadolinium diagnostic imaging agent

gadoquatane

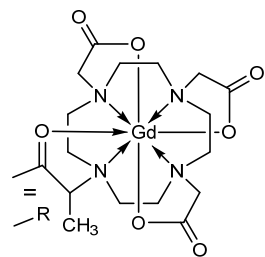
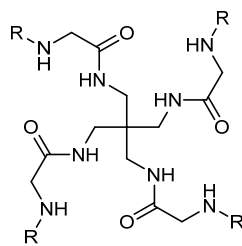
rac-[$\{\mu_4\text{-}2,2',2'',2''',2''''\}\text{-}\{[(2R,16E)\text{-}3,6,12,15\text{-tétراoxo-}1\kappa O^3\text{:}2\kappa O^{15}\text{-}9,9\text{-bis}[(2\text{-}\{(2\Xi)\text{-}2\text{-}[4,7,10\text{-tris(carboxy-}3\kappa^3O^4\text{,}O^7\text{,}O^{10}\text{:}4\kappa^3O^4\text{,}O^7\text{,}O^{10}\text{-méthyl)\text{-}1,4,7,10-tétraazacyclododécan-1-yl-}3\kappa^4N^1\text{,}N^4\text{,}N^7\text{,}N^{10}\text{:}4\kappa^4N^1\text{,}N^4\text{,}N^7\text{,}N^{10}\text{-propanamido-}3\kappa O\text{:}4\kappa O'\text{acétamido)méthyl]\text{-}4,7,11,14\text{-téraazaheptadécane-}2\text{-}16\text{-diyl}\}bis(1,4,7,10\text{-téraazacyclododécan-10,1,4,7-tétrayl-}1\kappa^4N^1\text{,}N^4\text{,}N^7\text{,}N^{10}\text{:}2\kappa^4N^1\text{,}N^4\text{,}N^7\text{,}N^{10})\text{]hexaacétato-}1\kappa^3O^1\text{,}O^4\text{,}O^7\text{:}-2\kappa^3O^1\text{,}O^4\text{,}O^7\}\text{)}(12\text{-})]$]tétragadolinium agent de diagnostique

gadocuatrano

rac-[$\{\mu_4\text{-}2,2',2'',2''',2''''\}\text{-}\{[(2R,16E)\text{-}3,6,12,15\text{-tétراoxo-}1\kappa O^3\text{:}2\kappa O^{15}\text{-}9,9\text{-bis}[(2\text{-}\{(2\Xi)\text{-}2\text{-}[4,7,10\text{-tris(carboxy-}3\kappa^3O^4\text{,}O^7\text{,}O^{10}\text{:}4\kappa^3O^4\text{,}O^7\text{,}O^{10}\text{-metil)-}1,4,7,10\text{-téraazaciclododecan-1-il-}3\kappa^4N^1\text{,}N^4\text{,}N^7\text{,}N^{10}\text{:}4\kappa^4N^1\text{,}N^4\text{,}N^7\text{,}N^{10}\text{-propanamido-}3\kappa O\text{:}4\kappa O'\text{acétamido)metil]\text{-}4,7,11,14\text{-téraazaheptadecano-}2\text{-}16\text{-diil}\}bis(1,4,7,10\text{-téraazaciclododecano-}10,1,4,7\text{-tetrail-}1\kappa^4N^1\text{,}N^4\text{,}N^7\text{,}N^{10}\text{:}2\kappa^4N^1\text{,}N^4\text{,}N^7\text{,}N^{10})\text{]hexaacétato-}1\kappa^3O^1\text{,}O^4\text{,}O^7\text{:}-2\kappa^3O^1\text{,}O^4\text{,}O^7\}\text{)}(12\text{-})]$]tétragadolino agente de diagnóstico



2048221-65-2



galegenimabum #

galegenimab

immunoglobulin Fab G1-kappa, anti-[*Homo sapiens* HTRA1 (HtrA serine peptidase 1, protease serine 11 (IGF binding), PRSS11, IGFBP5-protease, ARMD7)], humanized monoclonal antibody; VH-(CH1-hinge) gamma1 heavy chain humanized (1-223) [VH (*Homo sapiens*IGHV1-46*01 (77.6%) -(IGHD) -IGHJ4*01 (92.9%), CDR-IMGT [8.8.12] (26-33.51-58.97-108)) (1-119) -CH1-hinge (*Homo sapiens*IGHG1*01 (100%), G1m17 (CH1 K120 (216) (120-217), hinge 1-7 (218-223)) (120-223)], (222-213')-disulfide with kappa light chain humanized (1'-213') [V-KAPPA (*Homo sapiens*IGKV1-39*01 (84.2%) -IGKJ1*01 (100%), CDR-IMGT [5.3.9] (27-31.49-51.88-96)) (1'-106') -*Homo sapiens*IGKC*01 (100%), Km3 A45.1 (152), V101 (190) (107-213')], produced in the bacteria *Escherichia coli* (*E. coli*), non-glycosylated *human serine protease (HTRA1) inhibitor*

galégénimab

immunoglobuline Fab G1-kappa, anti-[*Homo sapiens* HTRA1 (HtrA sérine peptidase 1, sérine protéase 11 (se liant à l'IGF), PRSS11, protéase IGFBP5, ARMD7)], anticorps monoclonal humanisé; VH-(CH1-charnière) chaîne lourde gamma1 humanisée (1-223) [VH (*Homo sapiens*IGHV1-46*01 (77.6%) -(IGHD) -IGHJ4*01 (92.9%), CDR-IMGT [8.8.12] (26-33.51-58.97-108)) (1-119) -CH1-charnière (*Homo sapiens*IGHG1*01 (100%), G1m17 (CH1 K120 (216) (120-217), charnière 1-7 (218-223)) (120-223)], (222-213')-disulfure avec la chaîne légère kappa humanisée (1'-213') [V-KAPPA (*Homo sapiens*IGKV1-39*01 (84.2%) -IGKJ1*01 (100%), CDR-IMGT [5.3.9] (27-31.49-51.88-96)) (1'-106') -*Homo sapiens*IGKC*01 (100%), Km3 A45.1 (152), V101 (190) (107-213')], produit dans la bactérie *Escherichia coli* (*E. coli*), non-glycosylé *inhibiteur de la sérine-protéase humaine (HTRA1)*

galegenimab

inmunoglobulina Fab G1-kappa, anti-[*Homo sapiens* HTRA1 (HtrA serina peptidasa 1, serina proteasa 11 (de unión al IGF), PRSS11, proteasa IGFBP5, ARMD7)], anticuerpo monoclonal humanizado; VH-(CH1-bisagra) cadena pesada gamma1 humanizada (1-223) [VH (*Homo sapiens*IGHV1-46*01 (77.6%) -(IGHD) -IGHJ4*01 (92.9%), CDR-IMGT [8.8.12] (26-33.51-58.97-108)) (1-119) -CH1-bisagra (*Homo sapiens*IGHG1*01 (100%), G1m17 (CH1 K120 (216) (120-217), bisagra 1-7 (218-223)) (120-223)], (222-213')-disulfuro con la cadena ligera kappa humanizada (1'-213') [V-KAPPA (*Homo sapiens*IGKV1-39*01 (84.2%) -IGKJ1*01 (100%), CDR-IMGT [5.3.9] (27-31.49-51.88-96)) (1'-106') -*Homo sapiens*IGKC*01 (100%), Km3 A45.1 (152), V101 (190) (107-213')], producido en la bacteria *Escherichia coli* (*E. coli*), no glicosilado *inhibidor de la serina proteasa humana (HTRA1)*

2403683-24-7

Heavy chain / Chaîne lourde / Cadena pesada

EVQLVQSGAE VKKPGASVKV SCKASGYKFT DSEMHWVRQA PGQQGLEWIGG 50
VPDETEGAAY NQKEKGGRATI TDTSTSTAY LELOSSLRSED TAVYYCTRGY 100
DYDYALDYWG QGTLTVTVSSA STKGPSVFPL APSSKSTSGG TAALGCLVKD 150
YFPPEPVTVSW NSGALTSGVH TFPAVLQSSG LYSLSSVVTV PSSSLGTQTY 200
ICNVNHPKPSN TKVDDKKVKEPK SCDC 223

Light chain / Chaîne légère / Cadena ligera

DIQMTQSPSS LSASVGDRVT ITCRASSSVE FIHWYQQKPG KAKPPLISAT 50
SNLASGVPSR FSGSGSGCTDF LTISSIQPE DFATYYCQW SSAPWTFCQG 100
TKVEIKRTVA APSVFIFFPS DEQLKSGTAS VVCLLNFFP REAKVQNKVD 150
NALQGSNSQE SVTEQDSKDS TYSSLSTLTL SKADYEKHKV YACEVTHQGL 200
SSPVTKSFNR GEC 213

Post-translational modifications

Disulfide bridges location / Position des ponts disulfure / Posiciones de los puentes disulfuro
Intra-H (C23-C104) 22-96 146-202
Intra-L (C23-C104) 23-87 133-193'
Inter-H-L (h5-CL 126) 222-213'

No N-glycosylation sites / pas de site de N-glycosylation / ningún posición de N-glicosilación

gartisertibum

gartisertib

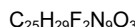
2-amino-6-fluoro-N-(5-fluoro-4-{4-[4-(oxetan-3-yl)piperazine-1-carbonyl]piperidin-1-yl}pyridin-3-yl)pyrazolo[1,5-a]pyrimidine-3-carboxamide
serine/ threonine kinase inhibitor, antineoplastic

gartisertib

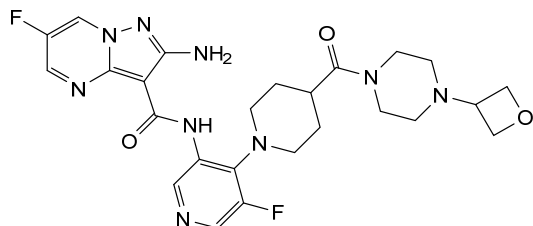
2-amino-6-fluoro-N-(5-fluoro-4-{4-[4-(oxétan-3-yl)pipérazine-1-carbonyl]pipéridin-1-yl}pyridin-3-yl)pyrazolo[1,5-a]pyrimidine-3-carboxamide
inhibiteur de sérine/ thréonine kinase, antinéoplasique

gartisertib

2-amino-6-fluoro-N-(5-fluoro-4-{4-[4-(oxetan-3-yl)piperazina-1-carbonil]piperidin-1-il}piridin-3-il)pirazolo[1,5-a]pirimidina-3-carboxamida
inhibidor de serina/ treonina kinasa, antineoplásico



1613191-99-3

**gemnelatinibum**

gemnelatinib

(3R)-2⁵-fluoro-3,8¹-dimethyl-2⁶-oxo-2⁶H-6-oxa-5(2,5)-pyrimidina-1(2),2(3,1)-dipyridina-8(4)-piperidina-4(1,3)-benzenaoctaphane-1⁴-carbonitrile
tyrosine kinase inhibitor, antineoplastic

gemnélatinib

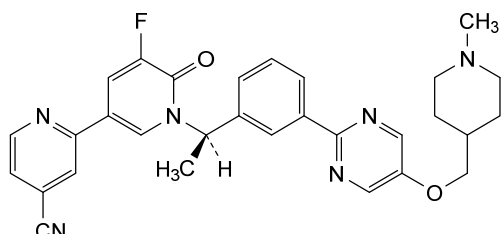
(3R)-2⁵-fluoro-3,8¹-diméthyl-2⁶-oxo-2⁶H-6-oxa-5(2,5)-pyrimidina-1(2),2(3,1)-dipyridina-8(4)-pipéridina-4(1,3)-benzénaoctaphane-1⁴-carbonitrile
inhibiteur de la tyrosine kinase, antinéoplasique

gemnelatinib

(3R)-2⁵-fluoro-3,8¹-dimetyl-2⁶-oxo-2⁶H-6-oxa-5(2,5)-pirimidina-1(2),2(3,1)-dipiridina-8(4)-piperidina-4(1,3)-bencenaoctafano-1⁴-carbonitrido
inhibidor de la tirosina kinasa, antineoplásico



2225123-30-6



ginisortamab #

ginisortamab

immunoglobulin G4-kappa, anti-[*Homo sapiens* GREM1 (gremlin 1 DAN family BMP antagonist, cystine knot protein superfamily 1 BMP antagonist 1, CKTSF1B1, hereditary mixed polyposis syndrome, HMPS)], *Homo sapiens* monoclonal antibody; gamma4 heavy chain *Homo sapiens* (1-451) [VH (*Homo sapiens* IGHV1-69-2*01 (98.0%) -(IGHD) -IGHJ4*01 (93.3%), CDR-IMGT [8.8.17] (26-33.51-58.97-113)) (1-124)-*Homo sapiens* IGHG4*01, G4v5 h P10 (CH1 (125-222), hinge 1-12 S10>P (232) (223-234), CH2 (235-344), CH3 (345-449), CHS (450-451)) (125-451)], (138-219')-disulfide with kappa light chain *Homo sapiens* (1'-219') [V-KAPPA (*Homo sapiens* IGKV4-1*01 (97.0%) -IGKJ5*01 (100%), CDR-IMGT [12.3.8] (27-38.56-58.95-102)) (1'-112') -*Homo sapiens* IGKC*01 (100%), Km3 A45.1 (158), V101 (196) (113'-219')]; dimer (230-230":233-233")-bisdisulfide, produced in a Chinese hamster ovary (CHO)-DG44 cell line, glycoform alfa *antineoplastic*

ginisortamab

immunoglobuline G4-kappa, anti-[*Homo sapiens* GREM1 (gremline 1 antagoniste BMP de la famille DAN, antagoniste 1 BMP de la superfamille 1 des protéines à nœud cystine, CKTSF1B1, syndrome de polypose mixte héréditaire, HMPS)], anticorps monoclonal *Homo sapiens*; chaîne lourde gamma4 *Homo sapiens* (1-451) [VH (*Homo sapiens* IGHV1-69-2*01 (98.0%) -(IGHD) -IGHJ4*01 (93.3%), CDR-IMGT [8.8.17] (26-33.51-58.97-113)) (1-124)-*Homo sapiens* IGHG4*01, G4v5 h P10 (CH1 (125-222), charnière 1-12 S10>P (232) (223-234), CH2 (235-344), CH3 (345-449), CHS (450-451)) (125-451)], (138-219')-disulfure avec la chaîne légère kappa *Homo sapiens* (1'-219') [V-KAPPA (*Homo sapiens* IGKV4-1*01 (97.0%) -IGKJ5*01 (100%), CDR-IMGT [12.3.8] (27-38.56-58.95-102)) (1'-112') -*Homo sapiens* IGKC*01 (100%), Km3 A45.1 (158), V101 (196) (113'-219')]; dimère (230-230":233-233")-bisdisulfure, produit dans des cellules ovarianes de hamster chinois (CHO) lignée cellulaire CHO-DG44, glycoforme alfa *antinéoplasique*

ginisortamab

inmunoglobulina G4-kappa, anti-[*Homo sapiens* GREM1 (gremlina 1 antagonista BMP de la familia DAN, antagonista 1 BMP de la superfamilia 1 de las proteínas del nodo cistina, CKTSF1B1, síndrome de poliposis mixta hereditaria, HMPS)], anticuerpo monoclonal *Homo sapiens*; cadena pesada gamma4 *Homo sapiens* (1-451) [VH (*Homo sapiens* IGHV1-69-2*01 (98.0%) -(IGHD) -IGHJ4*01 (93.3%), CDR-IMGT [8.8.17] (26-33.51-58.97-113)) (1-124)-*Homo sapiens* IGHG4*01, G4v5 h P10 (CH1 (125-222), bisagra 1-12 S10>P (232) (223-234), CH2 (235-344), CH3 (345-449), CHS (450-451)) (125-451)], (138-219')-disulfuro con la cadena ligera kappa *Homo sapiens* (1'-219') [V-KAPPA (*Homo sapiens* IGKV4-1*01 (97.0%) -IGKJ5*01 (100%), CDR-IMGT [12.3.8] (27-38.56-58.95-102)) (1'-112') -*Homo sapiens* IGKC*01 (100%), Km3 A45.1 (158), V101 (196) (113'-219')]; dímero (230-230":233-233")-bisdisulfuro, producido en las células ováricas de hámster chino (CHO) línea celular CHO-DG44, forma glicosilada alfa *antineoplásico*

Heavy chain / Chaîne lourde / Cadena pesada

QQLVLEVSAA VRKPGATVKI SCKVSGYTFDYMMHWVQQA PGKGLEWMLG 50
 VDPEDGETI AAEKPGQRVTI TADTSTDAY MELOSSRSED TAVYVCATDA 100
 RGSSGYPPNH FDYWQGOGLV TVSSASTKGP SVEPLAPCSH STSEESTAALG 150
 CLVKDVFPEP VTVSWNSGAL TSGVHTPPAV LQSSGLYSLS SVTIVPSSL 200
 GTKTYTCNVD HKPSNTKVDK RVESKYGPPC PFCPAPEFLG GPSVFLFPK 250
 PKDTLMISRT PEVITCVVVDV SQEDDEVQFN WYWDGVEVHN AKTKPREEQF 300
 NSTYRVSVL TLVHQDWLNG KEYKCKVSNK GLPSSIEKTT SKAKGGPREG 350
 QVTTLPSPQEMTKNQVSLT CLVKGFFYPSD IAVEWESNGG PENNYKTTTP 400
 VLSDGSFYL YSLRLTVDKSR WQEGNVSFCSS VMHEALHNHY TQKSLSLSLG 450
 K 451

Light chain / Chaîne légère / Cadena ligera

DIVMTQSPDS LAVSLGERAT INCKSSQSVL YSSNNKNYLA WYQQKPGQP 50
 KLLIYWAESTR ESGVPDRFSG SGSGTDFITL INSLOAEVVA VYFCQQYTD 100
 PTFGQGTRLR IKRTVVAAPSV FIFPFPSDEQL KSGTASVCL LNNYFPREAK 150
 VQWKVNDNALO SONSQESVTE QOSKDDSTYSL SSTLTLSKAD YEKKHVYACE 200
 VTHQGLSSPV TKSFNRGEC 219

Post-translational modifications

Disulfide bridges location / Position des ponts disulfure / Posiciones de los puentes disulfuro
 Intra-H (C23-C104) 22-96 151-207 265-325 371-429

22"-96" 151"-207" 265"-325" 371"-429"

Intra-L (C23-C104) 23"-94" 139"-199"

23"-94" 139"-199"

Inter-H-L (CH1 10-CL 126) 138-219" 138"-219"

Inter-H-H (h 8, h 11) 230-230" 233-233"

N-terminal glutaminyl cyclization / Cyclisation du glutaminy N-terminal / Ciclación del glutamínico N-terminal
 H VH QI> pyroglutamyl (pE, 5-oxopropyl): 1, 1"

N-glycosylation sites / Sites de N-glycosylation / Posiciones de N-glicosilación
 H CH2N84.4: 301, 301"
 Fucosylated complex bi-antennary CHO-type glycans / glycanes de tipo CHO bi-antennarios complejos fucosilados.

C-terminal lysine clipping / Coupure de la lysine C-terminale / Supresión de la lisina C-terminal:
 H CHS K2:451, 451"

golidocitinibum
golidocitinib

(2*R*)-*N*-(3-{2-[(3-methoxy-1-methyl-1*H*-pyrazol-4-yl)amino]pyrimidin-4-yl}-1*H*-indol-7-yl)-2-(4-methylpiperazin-1-yl)propanamide
Janus kinase inhibitor, antineoplastic

golidocitinib

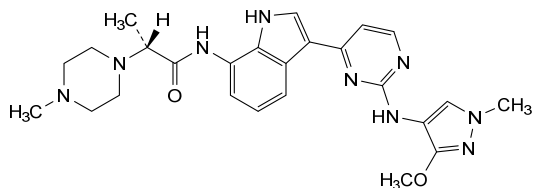
(2*R*)-*N*-(3-{2-[(3-méthoxy-1-méthyl-1*H*-pyrazol-4-yl)amino]pyrimidin-4-yl}-1*H*-indol-7-yl)-2-(4-méthylpiperazin-1-yl)propanamide
inhibiteur de la kinase de Janus, antinéoplasique

golidocitinib

(2*R*)-*N*-(3-{2-[(1-metil-3-metoxi-1*H*-pirazol-4-yl)amino]pirimidin-4-yl}-1*H*-indol-7-yl)-2-(4-metilpiperazin-1-il)propanamide
inhibidor de la kinasa de Janus, antineoplásico

C₂₅H₃₁N₉O₂

2091134-68-6



gresonitamabum #
gresonitamab

immunoglobulin scFv-scFv-scFc, anti-[*Homo sapiens* CLDN18 (SFTPJ, surfactant associated protein J) isoform 2, extracellular domain 1 (EC1)] and anti-[*Homo sapiens* CD3E (CD3e, CD3 epsilon)], single chain monoclonal antibody, bispecific;

IG single chain scFv-scFv-scFc, anti-CLDN18 and anti-CD3E (1-990) [scFv-VH-V-KAPPA anti-CLDN18 (1-248) [VH (*Homo sapiens* IGHV1-2*02 (98.0%) -(IGHD) -IGHJ6*01 (100%), CDR-IMGT [8.8.18] (25-33.51-58.97-114)) (1-125) -15-mer tris(tetraglycyl-séryl) linker (126-140) -V-KAPPA (*Homo sapiens* IGKV1-12*01 (94.7%) -IGKJ5*01 (91.7%) Q120>C (240), CDR-IMGT [6.3.9] (167-172.190-192.229-237)) (141-248)] -5-mer tétraglycyl-séryl linker (249-253) -[scFv-VH-V-LAMBDA anti-CD3E (254-502) [VH Musmus/Homsap (*Mus musculus* IGHV10-1*02 (91.9%) -(IGHD) -IGHJ3*01 (86.7%)/*Homo sapiens* IGHV3-73*01 (87.0%) -(IGHD) -IGHJ5*01 (100%), CDR-IMGT [8.10.16] (279-286.304-313.352-367)) (254-378) -15-mer tris(tetraglycyl-séryl) linker (379-393) -V-LAMBDA (*Homo sapiens* IGLV7-43*01 (85.1%) -IGLJ3*02 (100%), CDR-IMGT [9.3.9] (419-427.445-447.484-492)) (394-502)] -4-mer tétraglycyl linker (503-506) -[scFc (h-CH2-CH3)-(h-CH2-CH3) (507-990) [*Homo sapiens* IGHG1*03 h-CH2-CH3, nG1m1, G1v30 CH2 N84.4>G (hinge 6-15 (507-516), CH2 R83>C (578), N84.4>G (583), V85>C (588) (517-626), CH3 E12 (642), M14 (644) (627-731), CHS (732-733)) (507-733)] -30-mer hexakis(tetraglycyl-séryl) linker (734-763) -[*Homo sapiens* IGHG1*03 h-CH2-CH3, nG1m1, G1v30 CH2 N84.4>G (hinge 6-15 (764-773), CH2 R83>C (835), N84.4>G (840), V85>C (845) (774-883), CH3 E12 (899), M14 (901) (884-988), CHS (989-990)) (764-990)]], produced in Chinese hamster ovary (CHO) cells, non-glycosylated *immunomodulator, antineoplastic*

grésonitamab

immunoglobuline scFv-scFv-scFc, anti-[*Homo sapiens* CLDN18 (SFTPJ, surfactant associé à la protéine J) isoforme 2, domaine extracellulaire 1 (EC1)] et anti-[*Homo sapiens* CD3E (CD3e, CD3 epsilon)], anticorps monoclonal à chaîne unique, bispécifique; IG à chaîne unique scFv-scFv-scFc, anti-CLDN18 et anti-CD3E (1-990) [scFv-VH-V-KAPPA anti-CLDN18 (1-248) [VH (*Homo sapiens* IGHV1-2*02 (98.0%) -(IGHD) -IGHJ6*01 (100%), CDR-IMGT [8.8.18] (25-33.51-58.97-114)) (1-125) -15-mer tris(tétraglycyl-séryl) linker (126-140) -V-KAPPA (*Homo sapiens* IGKV1-12*01 (94.7%) -IGKJ5*01 (91.7%) Q120>C (240), CDR-IMGT [6.3.9] (167-172.190-192.229-237)) (141-248)] -5-mer tétraglycyl-séryl linker (249-253) -[scFv-VH-V-LAMBDA anti-CD3E (254-502) [VH Musmus/Homsap (*Mus musculus* IGHV10-1*02 (91.9%) -(IGHD) -IGHJ3*01 (92.9%)/*Homo sapiens* IGHV3-73*01 (87.0%) -(IGHD) -IGHJ5*01 (100%), CDR-IMGT [8.10.16] (279-286.304-313.352-367)) (254-378) -15-mer tris(tétraglycyl-séryl) linker (379-393) -V-LAMBDA (*Homo sapiens* IGLV7-43*01 (85.1%) -IGLJ3*02 (100%), CDR-IMGT [9.3.9] (419-427.445-447.484-492)) (394-502)] -4-mer tétraglycyl linker (503-506) -[scFc (h-CH2-CH3)-(h-CH2-CH3) (507-990) [*Homo sapiens* IGHG1*03 h-CH2-CH3, nG1m1, G1v30 CH2 N84.4>G (charnière 6-15 (507-516), CH2 R83>C (578), N84.4>G (583), V85>C (588) (517-626), CH3 E12 (642), M14 (644) (627-731), CHS (732-733)) (507-733)] -30-mer hexakis(tétraglycyl-séryl) linker (734-763) -[*Homo sapiens* IGHG1*03 h-CH2-CH3, nG1m1, G1v30 CH2 N84.4>G (charnière 6-15 (764-773), CH2 R83>C (835), N84.4>G (840), V85>C (845) (774-883), CH3 E12 (899), M14 (901) (884-988), CHS (989-990)) (764-990)]], produit dans des cellules ovarianes de hamster chinois (CHO), non-glycosylé *immunomodulateur, antinéoplasique*

gresonitamab

inmunoglobulina scFv-scFv-scFc, anti-[*Homo sapiens* CLDN18 (SFTPJ, surfactante asociado a la proteína J) isoforma 2, dominio extracelular 1 (EC1)] y anti-[*Homo sapiens* CD3E (CD3e, CD3 epsilon)], anticuerpo monoclonal con cadena única, biespecífica ;
 IG con cadena única scFv-scFv-scFc, anti-CLDN18 y anti-CD3E (1-990) [scFv-VH-V-KAPPA anti-CLDN18 (1-248)] [VH (*Homo sapiens*IGHV1-2*02 (98.0%) -(IGHD) -IGHJ6*01 (100%), CDR-IMGT [8.8.18] (25-33.51-58.97-114)) (1-125) -15-mer tris(tetraglicil-seril) linker (126-140) -V-KAPPA (*Homo sapiens*IGKV1-12*01 (94.7%) -IGKJ5*01 (91.7%) Q120>C (240), CDR-IMGT [6.3.9] (167-172.190-192.229-237)) (141-248)] -5-mer tetraglicil-seril linker (249-253) -[scFv-VH-V-LAMBDA anti-CD3E (254-502)] [VH Musmus/Homsap (*Mus musculus*IGHV10-1*02 (91.9%) -(IGHD) -IGHJ3*01 (92.9%)/*Homo sapiens*IGHV3-73*01 (87.0%) -(IGHD) -IGHJ5*01 (100%), CDR-IMGT [8.10.16] (279-286.304-313.352-367)) (254-378) -15-mer tris(tetraglicil-seril) linker (379-393) -V-LAMBDA (*Homo sapiens*IGLV7-43*01 (85.1%) -IGLJ3*02 (100%), CDR-IMGT [9.3.9] (419-427.445-447.484-492)) (394-502)] -4-mer tetraglicil linker (503-506) -[scFc (h-CH2-CH3)-(h-CH2-CH3) (507-990) [*Homo sapiens*IGHG1*03 h-CH2-CH3, nG1m1, G1v30 CH2 N84.4>G (bisagra 6-15 (507-516), CH2 R83>C (578), N84.4>G (583), V85>C (588) (517-626), CH3 E12 (642), M14 (644) (627-731), CHS (732-733)) (507-733)] -30-mer hexakis(tetraglicil-seril) linker (734-763) -[*Homo sapiens*IGHG1*03 h-CH2-CH3, nG1m1, G1v30 CH2 N84.4>G (bisagra 6-15 (764-773), CH2 R83>C (835), N84.4>G (840), V85>C (845) (774-883), CH3 E12 (899), M14 (901) (884-988), CHS (989-990) (764-990)]], producido en las células ováricas de hámster chino (CHO), no glicosilado *inmunomodulador, antineoplásico*

2413817-97-5

Heavy chain / Chaîne lourde / Cadena pesada

QVQLVSGAE VKPGAGSVKV SCKASGYTFT GYMMHWVRQA PGQCLEWMWG 50
 INPNNSGGTY AQKFQGRVTM TRDTISIAY TMELSRLRSDD TAVYYCARDR 100
 ITAVAGTYYY GMDVWGGQTT VTVSSCGGGGS GGGGGGGGGS DIQMTQSPSS 150
 VSASVGDRTV ITCRASQGVN MLNLAWIQQKP GRAPKLLIYT ASSLQSGVPS 200
 RFSGSSGSGTD FTLTIRSLQP EDFATYYCQQ ANSFPIITFGC GTRLEIKSGG 250
 GGSEVQLVLES GGGLVQPGGS LKLSCAASGE TNKYAMNNW RQAPGKGLEN 300
 VARIRSCKVS YATYYADSVK DRFTISRDDA KNTAYLQMN LNKTEDTAVYY 350
 CVRHGNFGNS YISYNAWYGO CTLTVSSGG GSSTGGGGGG GSSTOTVVQE 400
 PSLTVSPGGT VLTTCGSSGT AVTSGNYPNL VQKPGQAPR GLIGGTKEFLA 450
 PGTPARFSGS LLGGKAATL SGVQPEDEAE YYICVLYISNR WVFGGGTKLT 500
 VLGGGGDKTHP TCPCPAPAEI LGGPSVFLFP PRPKDTLMIS RTEVTCVVA 550
 DVSHEDPEVK FNWYVDGVEV HNAKTKPCEA QYGSTYRCVS VLTVLHQDWL 600
 NGKEYKCKVS NKALPAIEK TISKAKGQPA EPQVYTLPPS REEMTKNQWS 650
 LTCLVKGFPY SDIAVEWESN QOPENNNYKTT PPVLDSDGSF FLYSKLTVDK 700
 SRWQQGNVFS CSVMHEALHN HYTQKSLSLS PKGGGGGGGG GSSTGGGGGG 750
 GGSGGGGGGG GGSDKTHTCP PCPAPELLGG PSVFLFPKPK KDTLMSRTP 800
 EVTCVVVVDVS HDPEVKFNW YVDGVEVHNNA KTKPCCEEQYQG STYRCVSVLT 850
 VLHQDWLNKG EYKCKVSNKA LPAPIEKTS KAKGQPREPQ VYTLPPSREE 900
 MTKNQVSLTC LVKGFYPSDI AWEWESNCQP ENNYKTTPPV LDSDGSFFLY 950
 SKLTVDKSRW QQGNVFSCSV MHEALHNHYT QRKSLSLSPGK 990

Post-translational modifications

Disulfide bridges location / Position des ponts disulfure / Posiciones de los puentes disulfuro

Intra-V (C23-C104) 22-96 163-228 275-351 415-483

Intra-C (C23-C104) 547-607 653-711 804-864 910-968

Intra-CH2 (C83-C85) 578-588 835-845

Inter-VH-VL (C49-C120) 44-240

Inter-h11 (h 11 - h 11) 512-769

Inter-h14 (h 14 - h 14) 515-772

N-terminal glutaminyl cyclization / Cyclisation du glutaminyle N-terminal / Ciclación del glutamínilo N-terminal

H VH Q1 > pyroglutamyl (pE, 5-oxoprolyl): 1

No N-glycosylation sites / pas de sites de N-glycosylation / ningún sitio de N-glicosilación CH2 N84.4>G: 583, 840

Aglycosylated / aglycosylé / aglycosilado

C-terminal lysine clipping / Coupe de la lysine C-terminale / Recorte de lisina C-terminal
H CHS K2: 990

gumokimabum #

gumokimab

immunoglobulin G1-kappa, anti-[*Homo sapiens* IL17A (interleukin 17A, IL-17A)], monoclonal antibody; gamma1 heavy chain (1-450) [VH (*Homo sapiens* IGHV4-30-4*01 (90.8%) -(IGHD) -IGHJ4*01 (92.3%) L123>S (115), CDR-IMGT [9.7.13] (26-34.52-58.97-109)) (1-120) -*Homo sapiens* IGHG1*01 (100%), G1m17,1 (CH1 K120 (217) (121-218), hinge 1-15 (219-233), CH2 (234-343), CH3 D12 (359), L14 (361) (344-448), CHS (449-450)) (121-450)], (223-218')-disulfide with kappa light chain (1'-218') [V-KAPPA Musmus/Homsap (*Mus musculus* IGKV1-110*01 (94.9%) -IGKJ1*01 (100%)/*Homo sapiens* IGKV2-30*02 (88.0%) -IGKJ4*01 (90.9%) V124>L (108), CDR-IMGT [11.3.8] (27-37.55-57.94-101)) (1'-111') -*Homo sapiens* IGKC*01 (100%), Km3 A45.1 (157), V101 (195) (112'-218')]; dimer (229-229":232-232")-bisdisulfide, produced in Chinese hamster ovary (CHO) cells, glycoform alfa immunomodulator

gumokimab

immunoglobuline G1-kappa, anti-[*Homo sapiens* IL17A (interleukine 17A, IL-17A)], anticorps monoclonal; chaîne lourde gamma1 (1-450) [VH (*Homo sapiens* IGHV4-30-4*01 (90.8%) -(IGHD) -IGHJ4*01 (92.3%) L123>S (115), CDR-IMGT [9.7.13] (26-34.52-58.97-109)) (1-120) -*Homo sapiens* IGHG1*01 (100%), G1m17,1 (CH1 K120 (217) (121-218), charnière 1-15 (219-233), CH2 (234-343), CH3 D12 (359), L14 (361) (344-448), CHS (449-450)) (121-450)], (223-218')-disulfure avec la chaîne légère kappa (1'-218') [V-KAPPA Musmus/Homsap (*Mus musculus* IGKV1-110*01 (94.9%) -IGKJ1*01 (100%)/*Homo sapiens* IGKV2-30*02 (88.0%) -IGKJ4*01 (90.9%) V124>L (108), CDR-IMGT [11.3.8] (27-37.55-57.94-101)) (1'-111') -*Homo sapiens* IGKC*01 (100%), Km3 A45.1 (157), V101 (195) (112'-218')]; dimère (229-229":232-232")-bisdisulfure, produit dans des cellules ovariennes de hamster chinois (CHO), glycoforme alfa immunomodulateur

gumokimab

inmunoglobulina G1-kappa, anti-[*Homo sapiens* IL17A (interleukina 17A, IL-17A)], anticuerpo monoclonal; cadena pesada gamma1 (1-450) [VH (*Homo sapiens* IGHV4-30-4*01 (90.8%) -(IGHD) -IGHJ4*01 (92.3%) L123>S (115), CDR-IMGT [9.7.13] (26-34.52-58.97-109)) (1-120) -*Homo sapiens* IGHG1*01 (100%), G1m17,1 (CH1 K120 (217) (121-218), bisagra 1-15 (219-233), CH2 (234-343), CH3 D12 (359), L14 (361) (344-448), CHS (449-450)) (121-450)], (223-218')-disulfuro con la cadena ligera kappa (1'-218') [V-KAPPA Musmus/Homsap (*Mus musculus* IGKV1-110*01 (94.9%) -IGKJ1*01 (100%)/*Homo sapiens* IGKV2-30*02 (88.0%) -IGKJ4*01 (90.9%) V124>L (108), CDR-IMGT [11.3.8] (27-37.55-57.94-101)) (1'-111') -*Homo sapiens* IGKC*01 (100%), Km3 A45.1 (157), V101 (195) (112'-218')]; dímero (229-229":232-232")-bisdisulfuro, producido en las células ováricas de hámster chino (CHO), forma glicosilada alfa inmunomodulador

Heavy chain / Chaîne lourde / Cadena pesada

DVQLQESPGG LVKPSQTLSL TCTVSSYYSFT SDYAWSWIRO PPGKGLEWIG 50
 YITYSGVTSY NPSLKSRTVI SVDTSKNQFS LKLSSVTAAAD TAVVYCARAD 100
 YDSYYTMDW GQTSVTVTSS ASTKGPSVPP LAPSSKSTSG GTAALGCLVK 150
 DYFPEPFTVS WNSGALTSGV HTFFAVLQSS GLYSILSSVVT VESSSLGTQT 200
 YICNVNHHKPS NTKVDDKKVEP KSCDKTHTCP PCPAPELLGG FSVFLFPKP 250
 KDTLMISRTP EVTCVVVWDVS HDEDEVKFWN YVDGVEVHNA KTKPREEQYN 300
 STYRVVSVLT VHJQDWLNKG EYKCKVSNKA LPAPIEKTS KAKQCPREPB 350
 VYTLPPSRSDE LTKNQVSLTC LVKGFYPSDI AVEWESNGQP ENNYKTPPPV 400
 LDSDGSFFLY SKLTVDKSRW QQGNVFSCSV MHEALHNHYT QKSLSLSPKG 450

Light chain / Chaîne légère / Cadena ligera

DVVMQTQPLS LPVTLGQPSA ISCRSSQSLV HSNGNTYLHW YLQKPGQSPR 50
 LLIYKVSNRF SGVPDRFGS GSGTDFTLKI SRVEAEIDLGV YYCSQSHTEW 100
 TFGGGTKLEI KRTVAAPSVE IFPPSDEQLK SGTASVVCLL NNFYPREAKV 150
 QWKVDNALQG GNSQESVTEQ DSKDSTYSLS STLTLKADY EKHKVYACEV 200
 THQGLLSPVU KSFNRGEC 218

Post-translational modifications

Disulfide bridges location / Position des ponts disulfure / Posiciones de los puentes disulfuro
 Intra-H (C23-C104) 22-96 147-203 264-324 370-428
 22"-96" 147"-203" 264"-324" 370"-428"

Intra-L (C23-C104) 23"-93" 138"-198"
 23"-93" 138"-198"
 Inter-H-L (h5-CL 126) 223-218" 223"-218"
 Inter-H-H (h 11, h 14) 229-229" 232-232"

N-glycosylation sites / Sites de N-glycosylation / Posiciones de N-glicosilación
 H CH2 N84.4; 300, 300"

Fucosylated complex bi-antennary CHO-type glycans / glycanes de type CHO bi-antennaires complexes fucosylés / glicanos de tipo CHO biantenarios complejos fucosilados.

C-terminal lysine clipping / Coupure de la lysine C-terminale / Recorte de lisina C-terminal
 H CHS K2: 450, 450"

gunagratinibum

gunagratinib

3-[(3,5-dimethoxyphenyl)ethynyl]-5-(methylamino)-1-
 [(3S)-1-(prop-2-enoyl)pyrrolidin-3-yl]-1*H*-pyrazole-4-
 carboxamide
tyrosine kinase inhibitor, antineoplastic

gunagratinib

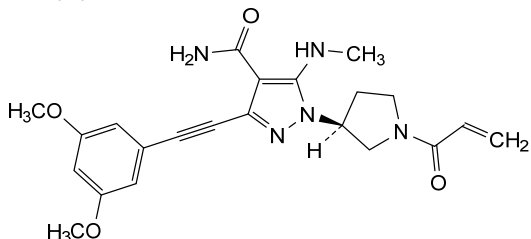
3-[(3,5-diméthoxyphényl)éthynyl]-5-(méthylamino)-1-
 [(3S)-1-(prop-2-énoyl)pyrrolidin-3-yl]-1*H*-pyrazole-4-
 carboxamide
inhibiteur de la tyrosine kinase, antinéoplasique

gunagratinib

3-[(3,5-dimetoxifenil)etinilo]-5-(metilamino)-1-[(3S)-1-
 (prop-2-enoil)pirrolidin-3-il]-1*H*-pirazol-4-carboxamida
inhibidor de la tirosina kinasa, antineoplásico

C₂₂H₂₅N₅O₄

2211082-53-8

**hexanatrii fytas**

hexasodium fytate

hexasodium *myo*-inositol hexakis(hydrogen phosphate);
 hexasodium (1*R*,2*s*,3*S*,4*R*,5*s*,6*S*)-cyclohexane-
 1,2,3,4,5,6-hexyl hexakis(hydrogen phosphate)
hydroxyapatite formation inhibitor

fytate d'hexasodium

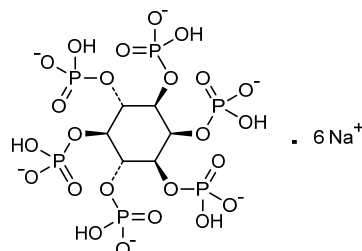
hexakis(hydrogénophosphate) de *myo*-inositol et d'hexasodium;
 hexakis(hydrogénophosphate) de (*1R,2s,3S,4R,5s,6S*)-cyclohexane-1,2,3,4,5,6-hexaïle et d'hexasodium
inhibiteur de la formation de l'hydroxyapatite

fitato de hexasodio

hexakis(hidrogenofosfato) de *mio*-inositol y de hexasodio;
 hexakis(hidrogenofosfato) de (*1R,2s,3S,4R,5s,6S*)-ciclohexano-1,2,3,4,5,6-hexaïlo y de hexasodio
inhibidor de la formación de la hidroxiapatita



34367-89-0

**iclepertinum**

iclepertin

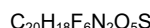
[5-(methanesulfonyl)-2-[(*2R*)-1,1,1-trifluoropropan-2-yl]oxyphenyl]({(1*R,5R*)-1-[5-(trifluoromethyl)-1,2-oxazol-3-yl]-3-azabicyclo[3.1.0]hexan-3-yl)methanone
glycine transporter inhibitor, antipsychotic

iclépertine

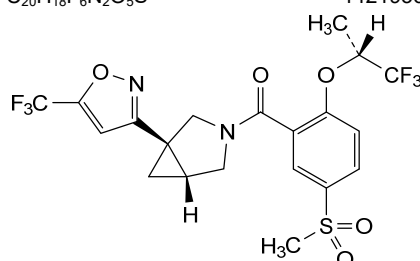
[5-(méthanesulfonyl)-2-[(*2R*)-1,1,1-trifluoropropan-2-yl]oxyphényl]({(1*R,5R*)-1-[5-(trifluorométhyl)-1,2-oxazol-3-yl]-3-azabicyclo[3.1.0]hexan-3-yl)méthanone
inhibiteur du transporteur de la glycine, antipsychotique

iclepertina

[5-(metanosulfonil)-2-[(*2R*)-1,1,1-trifluoropropan-2-yl]oxi)fénil]({(1*R,5R*)-1-[5-(trifluorometil)-1,2-oxazol-3-il]-3-azabicielo[3.1.0]hexan-3-il}metanona
inhibidor del transportador de la glicina, antipsicótico



1421936-85-7

**idestopoetin alfa #**

idestopoetin alfa

Felis catus erythropoietin variant (G¹⁸>E, A³⁰>N, G³²>T, P⁸⁷>V, S⁸⁸>N), produced in Chinese hamster ovary (CHO) cells, glycoform alfa;

erythropoietin (*Felis catus*) [G¹⁸>E, A³⁰>N, G³²>T, P⁸⁷>V, S⁸⁸>N], produced in Chinese hamster ovary (CHO) cells, glycoform alfa
antianæmic (veterinary use)

idestopoétine alfa

variant d'érythropoïétine de *Felis catus* (G¹⁸>E, A³⁰>N, G³²>T, P⁸⁷>V, S⁸⁸>N), produit dans des cellules ovariennes de hamster chinois (CHO), glicoforme alfa; érythropoïétine (*Felis catus*) [G¹⁸>E, A³⁰>N, G³²>T, P⁸⁷>V, S⁸⁸>N], produite dans des cellules ovariennes de hamster chinois (CHO), glicoforme alfa
antianémique (usage vétérinaire)

idestopoetina alfa

variante eritropoyetina *Felis catus* (G¹⁸>E, A³⁰>N, G³²>T, P⁸⁷>V, S⁸⁸>N), producida en células ováricas de hámster chino (CHO), glicoforma alfa; eritropoyetina (*Felis catus*) [G¹⁸>E, A³⁰>N, G³²>T, P⁸⁷>V, S⁸⁸>N], producida en células ováricas de hámster chino (CHO), glicoforma alfa
antianémico (uso veterinario)

2370888-96-1

Sequence / Séquence / Secuencia

APPRLLICDSR VLEYIIL E AR EAENVTMGQ N E T CSFSENIT VPDTKVNFYT	50
WKRMDVQQQA VEVWQGL A L SEAILRQ G AI LANSSC V N I T LQLHVDKAVS	100
SIRSLTSL R ALGAQ K EATS LPEATSAAPL RTFTVDTL C LFRIYSNFLR	150
GRKLTY G EA CRRGDR	166

Mutation sites / Sites de mutation / Posiciones de mutación
 G18>**E**, A30>**N**, G32>**T**, P87>**V**, S88>**N**

Post-translational modifications

Disulfide bridges location / Position des ponts disulfure / Posición del puentes disulfuro
 7-161, 29-33 (Cys-SH: 139)

N-Glycosylation sites / Sites de N-glycosylation / Posiciones de N-glicosilación
 N24, N30, N38, N83, N88
 Fucosylated complex bi-antennary CHO-type glycans / glycanes de tipo CHO bi-antennaires complexes fucosylés / glicanos de tipo CHO biantenarios complejos fucosilados

idrevloridum

idrevloride

3,5-diamino-6-chloro-N-[(4-(4-{2-[(1-deoxy-D-glucitol-1-yl)(hexyl)amino]ethoxy}phenyl)butyl]carbamimidoyl}pyrazine-2-carboxamide
epithelial sodium channel (ENaC) inhibitor

idrévloride

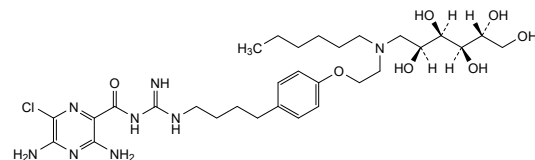
3,5-diamino-6-chloro-N-[(4-(4-{2-[(1-désoxy-D-glucitol-1-yl)(hexyl)amino]éthoxy}phényle)butyl]carbamimidoyl}pyrazine-2-carboxamide
inhibiteur du canal sodique épithélial (ENaC)

idrevlorida

3,5-diamino-6-cloro-N-[(4-(4-{2-[(1-desoxi-D-glucitol-1-yl)(hexil)amino]etoxi}fenil)butil]carbamimidoil)pirazina-2-carboxamida
inhibidor del canal de sodio epitelial (ENaC)



1416973-63-1



ifezuntirgenum inilparvovecum #

ifezuntirgene inilparvovec

a recombinant, replication deficient adeno-associated virus serotype 5 (AAV5) vector encoding a microRNA (miRNA) targeting the exon 1 of human huntingtin protein (HTT) mRNA (miHTT). The expression cassette consists of a chimeric chicken beta-actin promoter, the miHTT sequence engineered in the miR-451 backbone, with the upstream region of miR-451 containing an inactivated miR-144 sequence, and a human growth hormone polyadenylation signal, flanked by AAV2 5' and 3' inverted terminal repeats (ITRs).

gene therapy (Huntington's disease)

ifezuntirgène inilparvovec

vecteur recombinant, à réplication déficiente, du virus adéno-associé de sérotype 5 (AAV5) codant un microARN (miARN) ciblant l'exon 1 de l'ARNm de la protéine huntingtine (HTT) humaine (miHTT). La cassette d'expression consiste en un promoteur chimérique de la bêta-actine de poulet, de la séquence miHTT intégrée au squelette du miR-451, avec la région en amont de miR-451 contenant une séquence miR-144 inactivée, et d'un signal polyadénylation de l'hormone de croissance humaine, flanqué des répétitions terminales inversées (ITRs) en 5' et 3' de l'AAV2.

thérapie génique (chorée de Huntington)

ifezuntirgén inilparvovec

vector de virus adenosociado recombinante de serotipo 5 (AAV5) deficiente de replicación que codifica para un microARN (miARN) dirigido al exón 1 del ARNm de la proteína huntingtina humana (miHTT). El casete de expresión consiste en un promotor químérico de la beta-actina de pollo, la secuencia miHTT introducida por ingeniería en el esqueleto de miR-451, con la región *upstream* de miR-451 que contiene una secuencia miR-144 inactivada, y la señal poliadenilación de la hormona de crecimiento humana, flanqueado en 5' y 3' por la repeticiones terminales invertidas (ITRs) de AAV2.

terapia génica (enfermedad de Huntington)

2407582-19-6

ilunocitinibum

ilunocitinib

{1-(cyclopropanesulfonyl)-3-[4-(7*H*-pyrrolo[2,3-d]pyrimidin-4-yl)-1*H*-pyrazol-1-yl]azetidin-3-yl}acetonitrile

Janus kinase inhibitor (veterinary use)

ilunocitinib

{1-(cyclopropanesulfonyl)-3-[4-(7*H*-pyrrolo[2,3-d]pyrimidin-4-yl)-1*H*-pyrazol-1-yl]azétidin-3-yl}acetonitrile

inhibiteur de la kinase de Janus (usage vétérinaire)

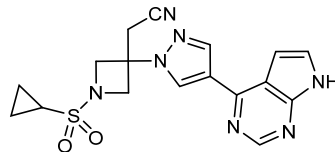
ilunocitinib

{1-(ciclopropanosulfonil)-3-[4-(7*H*-pirrolo[2,3-d]pirimidin-4-il)-1*H*-pirazol-1-il]azetidin-3-il}acetonitrilo

inhibidor de la kinasa de Janus (uso veterinario)

C₁₇H₁₇N₇O₂S

1187594-14-4

**inaxaplinum**

inaxaplin

3-[5,7-difluoro-2-(4-fluorophényl)-1H-indol-3-yl]-N-[(3S,4R)-4-hydroxy-2-oxopyrrolidin-3-yl]propanamide
apolipoprotein L1 (APOL1) function inhibitor

inaxapline

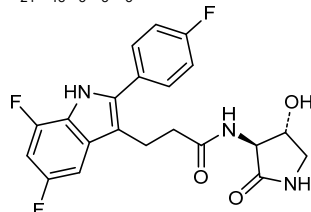
3-[5,7-difluoro-2-(4-fluorophényl)-1H-indol-3-il]-N-[(3S,4R)-4-hydroxy-2-oxopyrrolidin-3-il]propanamide
inhibiteur fonctionnel de l'apolipoprotéine L1 (APOL1)

inaxaprina

3-[5,7-difluoro-2-(4-fluorofenil)-1H-indol-3-il]-N-[(3S,4R)-4-hidroxi-2-oxopirrolidin-3-il]propanamida
inhibidor de la función de la apolipoproteína L1 (APOL1)

C₂₁H₁₈F₃N₃O₃

2446816-88-0

**inobrodibum**

inobrodib

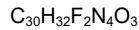
(6S)-1-(3,4-difluorophényl)-6-[5-(3,5-diméthyl-1,2-oxazol-4-yl)-1-(trans-4-méthoxycyclohexyl)-1H-benzimidazol-2-yl]piperidin-2-one
inhibitor of the histone acetyltransferase p300 and CREB-binding protein, antineoplastic

inobrodib

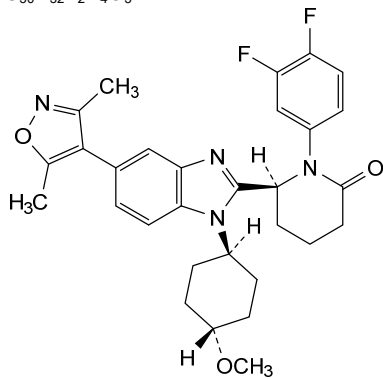
(6S)-1-(3,4-difluorophényl)-6-[5-(3,5-diméthyl-1,2-oxazol-4-yl)-1-(trans-4-méthoxycyclohexyl)-1H-benzimidazol-2-yl]piperidin-2-one
inhibiteur de l'histone acétyltransférase p300 et de la protéine de liaison à CREB, antinéoplasique

inobrodib

(6S)-1-(3,4-difluorofenil)-6-[5-(3,5-dimetil-1,2-oxazol-4-il)-1-(trans-4-metoxiciclohexil)-1H-benzimidazol-2-il]piperidin-2-ona
inhibidor de la acetiltransferasa de histonas p300 y de la proteína de unión a CREB, antineoplásico



2222941-37-7

**insulinum sudelidecum**

insulin sudelidec

*N⁶-B²⁹-[4-[N²-(15-carboxypentadecanoyl)-L-lysine-N⁶-yl]-4-oxobutanoyl]-B30-des-L-threonine-insulin (human)
hypoglycaemic*

insuline sudélidec

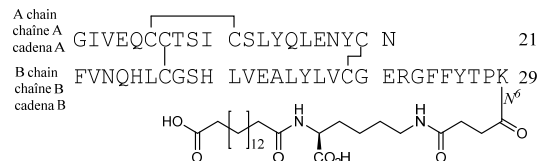
*N⁶-B²⁹-[4-[N²-(15-carboxypentadécanoyl)-L-lysine-N⁶-yl]-4-oxobutanoyl]-B30-dés-L-thréonine-insuline
(humaine)
hypoglycémiant*

insulina sudelidec

*N⁶-B²⁹-[4-[N²-(15-carboxipentadecanoil)-L-lysine-N⁶-yl]-4-oxobutanoyl]-B30-des-L-treonina-insulina (humana)
hipoglucemante*



2415174-82-0

**iodinum (¹²⁴I) evuzamitidum**iodine (¹²⁴I) evuzamitide

synthetic basic (¹²⁴I) iodine-labeled polypeptide that binds to amyloid deposits;
glycylglycylglycyl-3-(¹²⁴I)iodo-L-tyrosyl-L-seryl-L-lysyl-L-alanyl-L-glutaminyl-L-lysyl-L-alanyl-L-glutaminyl-L-alanyl-L-lysyl-L-glutaminyl-L-alanyl-L-lysyl-L-alanyl-L-lysyl-L-glutaminyl-L-alanyl-L-lysyl-L-glutaminyl-L-alanyl-L-lysyl-L-glutaminyl-L-alanyl-L-lysyl-L-glutaminyl-L-alanyl-L-lysyl-L-glutaminyl-L-alanyl-L-lysyl-L-glutaminyl-L-alanyl-L-lysyl-L-glutaminyl-L-alanyl-L-lysyl-L-glutaminyl-L-alanyl-L-lysyl-L-glutaminyl-L-alanyl-L-lysyl-L-glutaminyl-L-alanyl-L-lysyl-L-glutaminyl-L-alanyl-L-lysyl-L-alanyl-L-lysyl-L-glutamine diagnostic imaging agent

iodine (¹²⁴I) évuzamitide

polypeptide synthétique basique marqué à l'iode (¹²⁴I)
qui se lie aux dépôts amyloïdes;

glycylglycylglycyl-3-(¹²⁴I)iodo-L-tyrosyl-L-séryl-L-lysyl-L-alanyl-L-glutaminyl-L-lysyl-L-alanyl-L-glutaminyl-L-alanyl-L-lysyl-L-glutaminyl-L-alanyl-L-lysyl-L-glutaminyl-L-alanyl-L-glutaminyl-L-lysyl-L-alanyl-L-glutaminyl-L-lysyl-L-alanyl-L-glutaminyl-L-lysyl-L-alanyl-L-glutaminyl-L-lysyl-L-alanyl-L-glutaminyl-L-lysyl-L-alanyl-L-glutaminyl-L-lysyl-L-alanyl-L-glutaminyl-L-lysyl-L-alanyl-L-glutaminyl-L-lysyl-L-alanyl-L-glutamine
agent de diagnostique

iodo (¹²⁴I) evuzamitida

polipéptido sintético básico marcado con (¹²⁴I) iodo que se une a depósitos de amiloide; glicilglicilglicil-3-(¹²⁴I)iodo-L-tirosil-L-seril-L-lisil-L-alanil-L-glutaminil-L-lisil-L-alanil-L-glutaminil-L-alanil-L-lisil-L-glutaminil-L-alanil-L-glutaminil-L-alanil-L-lisil-L-alanil-L-glutaminil-L-alanil-L-lisil-L-alanil-L-glutaminil-L-alanil-L-lisil-L-alanil-L-glutaminil-L-alanil-L-lisil-L-alanil-L-glutaminil-L-alanil-L-lisil-L-alanil-L-glutaminil-L-alanil-L-lisil-L-glutamina
agente de diagnóstico

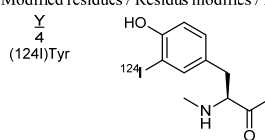


2420475-06-3

Sequence / Séquence / Secuencia

GGGYSKAQKA QAKQAKQAQK AQQKAQAKQAK QAQKAQKAQKA KQAKQ 45

Modified residues / Résidus modifiés / Restos modificados



iparomlimabum #
 iparomlimab

immunoglobulin G4-kappa, anti-[*Homo sapiens* PDCD1 (programmed cell death 1, PD1, PD-1, CD279)], humanized and chimeric monoclonal antibody; gamma4 heavy chain humanized (1-446) [VH (*Homo sapiens* IGHV1-46*01 (85.7%) -(IGHD) -IGHJ1*01 (100%), CDR-IMGT [8.8.12] (26-33.51-58.97-108)) (1-119) -*Homo sapiens* IGHG4*01, G4v5 h P10 (CH1 (120-217), hinge 1-12 S10>P (227) (218-229), CH2 (230-339), CH3 (340-444), CHS (445-446)) (120-446)], (133-220')-disulfide with kappa light chain chimeric (1'-220') [V-KAPPA Musmus/Homsap (*Mus musculus* IGKV8-28*01 (82.2%) -IGKJ2*01 (91.7%) L124>V (110)/*Homo sapiens* IGKV1-27*01 (80.2%) -IGKJ4*01 (100%), CDR-IMGT [12.3.9] (27-38.56-58.95-103)) (1'-113') -*Homo sapiens* IGKC*01 (100%), Km3 A45.1 (159), V101 (197) (114'-220')]; dimer (225-225"-228-228")-bisdisulfide, produced in a Chinese hamster ovary (CHO)-S cell line, glycoform alfa
immunomodulator, antineoplastic

iparomlimab

immunoglobuline G4-kappa, anti-[*Homo sapiens* PDCD1 (protéine 1 de mort cellulaire programmée, PD1, PD-1, CD279)], anticorps monoclonal humanisé et chimérique;

chaîne lourde gamma4 humanisé (1-446) [VH (*Homo sapiens* IGHV1-46*01 (85.7%) -(IGHD) -IGHJ1*01 (100%), CDR-IMGT [8.8.12] (26-33.51-58.97-108)) (1-119) -*Homo sapiens* IGHG4*01, G4v5 h P10 (CH1 (120-217), charnière 1-12 S10>P (227) (218-229), CH2 (230-339), CH3 (340-444), CHS (445-446)) (120-446)], (133-220')-disulfure avec la chaîne légère kappa chimérique (1'-220') [V-KAPPA Musmus/Homsap (*Mus musculus* IGKV8-28*01 (82.2%) -IGKJ2*01 (91.7%) L124>V (110)/*Homo sapiens* IGKV1-27*01 (80.2%) -IGKJ4*01 (100%), CDR-IMGT [12.3.9] (27-38.56-58.95-103)) (1'-113') -*Homo sapiens* IGKC*01 (100%), Km3 A45.1 (159), V101 (197) (114'-220')]; dimère (225-225":228-228")-bisdisulfure, produit dans des cellules ovarianes de hamster chinois (CHO) lignée cellulaire CHO-S, glycoforme alfa
immunomodulateur, antinéoplasique

iparomlimab

inmunoglobulina G4-kappa, anti-[*Homo sapiens* PDCD1 (proteína 1 de muerte celular programada, PD1, PD-1, CD279)], anticuerpo monoclonal humanizado y químérico ; cadena pesada gamma4 humanizada (1-446) [VH (*Homo sapiens* IGHV1-46*01 (85.7%) -(IGHD) -IGHJ1*01 (100%), CDR-IMGT [8.8.12] (26-33.51-58.97-108)) (1-119) -*Homo sapiens* IGHG4*01, G4v5 h P10 (CH1 (120-217), bisagra 1-12 S10>P (227) (218-229), CH2 (230-339), CH3 (340-444), CHS (445-446)) (120-446)], (133-220')-disulfuro con la cadena ligera kappa químérica (1'-220') [V-KAPPA Musmus/Homsap (*Mus musculus* IGKV8-28*01 (82.2%) -IGKJ2*01 (91.7%) L124>V (110)/*Homo sapiens* IGKV1-27*01 (80.2%) -IGKJ4*01 (100%), CDR-IMGT [12.3.9] (27-38.56-58.95-103)) (1'-113') -*Homo sapiens* IGKC*01 (100%), Km3 A45.1 (159), V101 (197) (114'-220')]; dímero (225-225":228-228")-bisdisulfuro, producido en las células ováricas de hámster chino (CHO) línea celular CHO-S, forma glicosilada alfa *inmunomodulador, antineoplásico*

2417649-33-1

Heavy chain / Chaîne lourde / Cadena pesada

QVQLVQSGAE VKKPAGASVKV SCKASGYTFT NYWIHWVRQA PGQQGLEWMGE 50
IDPYGDSYTN NSQKEFKGRVTM TVDKTSSTVY MELSSLRSED TAVYYCARPG 100
FTYGGMDFWG QGTLVTVSSA STKGPSVFPL APCSRSTSES TAAALCCLVKD 150
YFPEPFTVTSW NSGALTSGVH TPFAVLQSGQ LYSLSSVTVT PSSSLGTTKY 200
TCNVDHKPSN TKVDKRVESK YGPFCPPCPA PEFLGGPSVF LFPPKPKDTL 250
MISRTPEVTC VVVVDVQSQEDP EVQFNWYVVDG VEVHNAKTKP REEQFNSTYR 300
VVSVLTVLHQ DLWNLGEKEYKK KVSNKGLPSSS TIEKTIKAKG QPREPVQVTL 350
PFSQEEMTKN QSVSLTCLVKG FYPSDIAVEW ESNQPEENNNT KITPPVLDSD 400
GSFFFLYSRLT VDKSRWQEGN VFSCSVMHEA LHNNHTQKSL SLSLGK 446

Light chain / Chaîne légère / Cadena ligera

DIQMTQSPSS LSASVGDRVT ITCKSSQSLF NSGNQKNYLA WYQQKPGKVP 50
KLILYGASTR DSGVPYRFSSC SSGGTDTFLT ISSLQLPEDVA TYYCQNNDHY 100
PYTFGGTGTKV EIKRTVAAAPS VEIIFPPSDEQ LKSGTASVVC LLNNFYPREA 150
KVQWKVNDNL QSGNQSESVT EQDSKDSTYS LSSTTLTSKA DYEKHHKVYAC 200
EVTHQGLSSP VTKSFNRGEC 220

Post-translational modifications

Disulfide bridges location / Position des ponts disulfure / Posiciones de los puentes disulfuro

Intra-H (C23-C104) 22-96 146-202 260-320 366-424

22"-96" 146"-202" 260"-320" 366"-424"

Intra-L (C23-C104) 23"-94" 140"-200"

23"-94" 140"-200"

Inter-H-L (CH1 10-CL 126) 133-220" 133"-220"

Inter-H-H (h 8, h 11) 225-225" 228-228"

N-terminal glutaminyl cyclization cyclization / Cyclisation du glutaminyile N-terminal /

Ciclación del glutamínilo N-terminal

H VH Q1 > pyroglutamyl (pE, 5-oxoprolyl): 1, 1"

N-glycosylation sites / Sites de N-glycosylation / Posiciones de N-glicosilación

H CH2 N84.4: 296, 296"

Fucosylated complex bi-antennary CHO-type glycans / Glycane de type CHO bi-antennaires complexes fucosyles / glicanos de tipo CHO biantenarios complejos fucosilados.

C-terminal lysine clipping / Coupure de la lysine C-terminale / Recorte de lisina C-terminal

H CHS K2: 446, 446"

irsenontrinum

irsenontrine

7-(2-methoxy-3,5-dimethylpyridin-4-yl)-1-[(3S)-oxolan-3-yl]-1,5-dihydro-4H-pyrazolo[4,3-c]quinolin-4-one
phosphodiesterase (PDE) 9 inhibitor

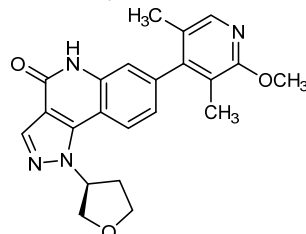
irsénontrine

7-(2-méthoxy-3,5-diméthylpyridin-4-yl)-1-[(3S)-oxolan-3-yl]-1,5-dihydro-4H-pyrazolo[4,3-c]quinoléin-4-one
inhibiteur de la phosphodiestérase 9 (PDE9)

irsenontrina

7-(3,5-dimetil-2-metoxipiridin-4-il)-1-[(3S)-oxolan-3-il]-1,5-dihidro-4H-pirazolo[4,3-c]quinolein-4-ona
inhibidor de la fosfodiesterasa 9 (PDE9)

C₂₂H₂₂N₄O₃ 1429509-82-9

**itezocabtagenum autoleucelum #**

itezocabtagene autoleucel

autologous T cells obtained from peripheral blood mononuclear cells by leukapheresis, transduced with a non-replicating Moloney murine leukaemia virus (MMLV) vector, encoding a chimeric antigen receptor (CAR) under the control of the 5' long terminal repeat (LTR) MMLV promoter, comprising a single-chain variable fragment derived from the murine antibody HRS3 targeting CD30 (tumour necrosis factor receptor superfamily member 8 [TNFRSF8]), an IgG1 CH2-CH3 spacer, CD28 transmembrane and intracellular costimulatory domains, and a CD3ζ intracellular activation domain. The T cells are activated in the presence of anti-CD3 and anti-CD28 then cultured in the presence of growth medium containing human serum, interleukin 7 (IL-7) and IL-15. The T cells are CD3+ ($\geq 70\%$; historically 98% +/- 1.7%), anti-CD30-CAR ($\geq 20\%$), are cytotoxic for CD30-expressing cells and contain <1% of residual B and natural killer (NK) cells.

cell-based gene therapy (antineoplastic)

itézocabtagène autoleucel

lymphocytes T autologues obtenus à partir de cellules mononucléaires du sang périphérique par leucaphérèse, transduits avec un vecteur non répliquant du virus de la leucémie murine de Moloney (MMLV), codant un récepteur antigénique chimérique (CAR) sous le contrôle du promoteur MMLV à répétition terminale longue (LTR) en 5', comprenant un fragment variable à chaîne unique dérivé de l'anticorps murin HRS3 ciblant CD30 (membre 8 de la superfamille des récepteurs du facteur de nécrose tumorale [TNFRSF8]), un espaceur IgG1 CH2-CH3,

un CD28 transmembranaire et des domaines co-stimulateurs intracellulaires, et un domaine d'activation intracellulaire CD3 ζ . Les lymphocytes T sont activés en présence d'anti-CD3 et d'anti-CD28 puis cultivés en présence de milieu de croissance contenant du sérum humain, de l'interleukine 7 (IL-7) et de l'IL-15. Les lymphocytes T sont CD3+ ($\geq 70\%$; historiquement 98% +/- 1,7%), anti-CD30-CAR ($\geq 20\%$), cytotoxiques pour les cellules exprimant CD30 et contiennent <1% de cellules B et de tueuses naturelles (NK) résiduelles.

thérapie génique à base de cellules (anticancéreux)

itezocabtagén autoleucel

linfocitos T autólogos obtenidos a partir de células mononucleares de sangre periférica mediante leucaféresis, transducidos con un vector no replicativo del virus de la leucemia de Moloney murino (MMLV), que codifica para un receptor de antígenos químérico (CAR) bajo el control del promotor de la repetición terminal larga (LTR) en 5' del MMLV. El CAR consta de un fragmento de cadena variable sencilla derivado del anticuerpo murino HRS3 dirigido a CD30 (miembro 8 de la superfamilia del receptor del factor de necrosis tumoral [TNFRSF8]), un espaciador CH2-CH3 de IgG1, un dominio transmembrana y un dominio coestimulador intracelular, ambos de CD28, y un dominio de activación intracelular de CD3 ζ . Los linfocitos T se activan en presencia de anti-CD3 y anti-CD28, y después se cultivan en presencia de medio de crecimiento que contiene suero humano, interleukina 7 (IL-7) e IL-15. Los linfocitos T son CD3+ ($\geq 70\%$; históricamente 98% +/- 1,7%), anti-CD30-CAR ($\geq 20\%$), son citotóxicos para células que expresan CD30 y contienen <1% de linfocitos B y células natural killer (NK) residuales.

terapia génica basada en células (anticancéreux)

ivicentamab

ivicentamab

immunoglobulin G1-kappa, anti-[*Homo sapiens* CD37 (tetraspanin-26, TSPAN26)], humanized monoclonal antibody, biparatopic;
 gamma1 heavy chain humanized (1-449) [VH (*Homo sapiens* IGHV3-66*01 (85.6%) -(IGHD) -IGHJ2*01 (86.7%) R120>Q (112), CDR-IMGT [8.7.14] (26-33.51-57.96-109)) (1-120) - *Homo sapiens* IGHG1*03, G1m3, nG1m1 (CH1 R120 (217) (121-218), hinge 1-15 (219-233), CH2 (234-343), CH3 E12 (359), M14 (361), F85.1>L (408), E109>G (433) (344-448), CHS K2>del (449) (121-449)], (223-217')-disulfide with kappa light chain humanized (1'-217') [V-KAPPA (*Homo sapiens* IGKV1-5*03 (86.5%) -IGKJ4*01 (100%), CDR-IMGT [6.3.12] (27-32.50-52.89-100)) (1'-110') -*Homo sapiens* IGKC*01 (100%), Km3 A45.1 (156), V101 (194) (111'-217')];
 gamma1 heavy chain humanized (1"-448") [VH (*Homo sapiens* IGHV3-66*01 (85.6%) -(IGHD) -IGHJ1*01 (100%), CDR-IMGT [8.7.13] (26-33.51-57.96-108)) (1"-119") -*Homo sapiens* IGHG1*03, G1m3, nG1m1 (CH1 R120 (216) (120"-217"), hinge 1-15 (218"-232"), CH2 (233"-342"), CH3 E12 (358), M14 (360), K88>R (411), E109>G (432) (343"-447"), CHS K2>del (448) (120"-448")], (222"-217")-disulfide with

	kappa light chain humanized (1"-217") [V-KAPPA (<i>Homo sapiens</i> IGKV1-9*01 (87.4%) -IGKJ4*01 (100%), CDR-IMGT [6.3.12] (27-32.50-52.89-100)) (1"-110") - <i>Homo sapiens</i> IGKC*01 (100%), Km3 A45.1 (156), V101 (194) (111"-217")]; dimer (229-228":232-231")-bisdisulfide, produced in Chinese hamster ovary (CHO) cells, glycoform alfa <i>immunomodulator, antineoplastic</i>
ivicentamab	immunoglobuline G1-kappa, anti-[<i>Homo sapiens</i> CD37 (tétraspanine-26, TSPAN26)], anticorps monoclonal humanisé, biparatopique; chaîne lourde gamma1 humanisée (1-449) [VH (<i>Homo sapiens</i> IGHV3-66*01 (85.6%) -(IGHD) -IGHJ2*01 (86.7%) R120>Q (112), CDR-IMGT [8.7.14] (26-33.51-57.96-109)) (1-120) - <i>Homo sapiens</i> IGHG1*03, G1m3, nG1m1 (CH1 R120 (217) (121-218), charnière 1-15 (219-233), CH2 (234-343), CH3 E12 (359), M14 (361), F85.1>L (408), E109>G (433) (344-448), CHS K2>del (449)) (121-449)], (223-217")-disulfure avec la chaîne légère kappa humanisée (1"-217") [V-KAPPA (<i>Homo sapiens</i> IGKV1-5*03 (86.5%) -IGKJ4*01 (100%), CDR-IMGT [6.3.12] (27-32.50-52.89-100)) (1"-110") - <i>Homo sapiens</i> IGKC*01 (100%), Km3 A45.1 (156), V101 (194) (111"-217")]; chaîne lourde gamma1 humanisée (1"-448") [VH (<i>Homo sapiens</i> IGHV3-66*01 (85.6%) -(IGHD) -IGHJ1*01 (100%), CDR-IMGT [8.7.13] (26-33.51-57.96-108)) (1"-119") - <i>Homo sapiens</i> IGHG1*03, G1m3, nG1m1 (CH1 R120 (216) (120"-217"), charnière 1-15 (218"-232"), CH2 (233"-342"), CH3 E12 (358), M14 (360), K88>R (411), E109>G (432) (343"-447"), CHS K2>del (448)) (120"-448")], (222"-217")-disulfure avec la chaîne légère kappa humanisée (1"-217") [V-KAPPA (<i>Homo sapiens</i> IGKV1-9*01 (87.4%) -IGKJ4*01 (100%), CDR-IMGT [6.3.12] (27-32.50-52.89-100)) (1"-110") - <i>Homo sapiens</i> IGKC*01 (100%), Km3 A45.1 (156), V101 (194) (111"-217")]; dimère (229-228":232-231")-bisdisulfure, produit dans des cellules ovariennes de hamster chinois (CHO), glycoforme alfa <i>immunomodulateur, antinéoplasique</i>
ivicentamab	inmunoglobulina G1-kappa, anti-[<i>Homo sapiens</i> CD37 (tetraspanina-26, TSPAN26)], anticuerpo monoclonal humanizado, biparatópico; cadena pesada gamma1 humanizada (1-449) [VH (<i>Homo sapiens</i> IGHV3-66*01 (85.6%) -(IGHD) -IGHJ2*01 (86.7%) R120>Q (112), CDR-IMGT [8.7.14] (26-33.51-57.96-109)) (1-120) - <i>Homo sapiens</i> IGHG1*03, G1m3, nG1m1 (CH1 R120 (217) (121-218), bisagra 1-15 (219-233), CH2 (234-343), CH3 E12 (359), M14 (361), F85.1>L (408), E109>G (433) (344-448), CHS K2>del (449)) (121-449)], (223-217")-disulfuro con la cadena ligera kappa humanizada (1"-217") [V-KAPPA (<i>Homo sapiens</i> IGKV1-5*03 (86.5%) -IGKJ4*01 (100%), CDR-IMGT [6.3.12] (27-32.50-52.89-100)) (1"-110") - <i>Homo sapiens</i> IGKC*01 (100%), Km3 A45.1 (156), V101 (194) (111"-217")]; cadena pesada gamma1 humanizada (1"-448") [VH (<i>Homo sapiens</i> IGHV3-66*01 (85.6%) -(IGHD) -IGHJ1*01 (100%), CDR-IMGT [8.7.13] (26-33.51-57.96-108)) (1"-119") - <i>Homo sapiens</i> IGHG1*03, G1m3, nG1m1 (CH1 R120 (216) (120"-217"), bisagra 1-15 (218"-232"), CH2 (233"-342"), CH3 E12 (358), M14 (360), K88>R (411), E109>G (432) (343"-447"), CHS K2>del (448)) (120"-448")], (222"-217")-disulfuro con la cadena ligera kappa humanizada (1"-217") [V-KAPPA (<i>Homo sapiens</i> IGKV1-9*01 (87.4%) -IGKJ4*01 (100%), CDR-IMGT [6.3.12] (27-32.50-52.89-100)) (1"-110") - <i>Homo sapiens</i> IGKC*01 (100%), Km3 A45.1 (156), V101 (194) (111"-217")]; dímero (229-228":232-231")-bisdisulfuro, producido en las células ováricas de hámster chino (CHO), forma glicosilada alfa <i>inmunomodulador, antineoplásico</i>

Heavy chain / Chaîne lourde / Cadena pesada H

EVQLVESGGG LVQPGGSLRL SCAASGFSLIS NYNMGWVRQA PGKGLEWVSV 50
 IDASGTTYYA TWAKGRFTIS RDNSKNTLYL QMNSLRAEDT ATYYCARELL 100
 YFGSSYYDLW GOCTLTVTSS ASTKGPSVP LAPSSKSTSG GTAALGCLVK 150
 DYFFPEPVTWS WNSGALTSGV HTFPAVLQSS GLYSLSSVVT VFSSLGQTQ 200
 YICVNHHKPS NTKVDKRVEP KSCDKHTCP PCPAPELLGG PSVFLFPKPK 250
 KDTLMISRTP EVTCVVVDVS HDPEVFRNW YDGVGEVHNNA KTKPREEQYN 300
 STYRVWSVLT VLHQDWLNGE EYCKCVSNKA LPAPIEKTIKIS KAKGQPREFQ 350
 VTYLPSPSREE MTKNQVSLTC LVKGFYPSDI AWEWESNQOP ENNYKTTPPV 400
 LDSDGSLFLY SKLTVDKSRW QQGNVFSCSV MHGALHNHYT QKSLSLSPG 449

Heavy chain / Chaîne lourde / Cadena pesada H⁺

EVQLVESGGG LWQPGGSLRL SCAASGFSLIS YNAMNWVRQA PGKGLEWVSI 50
 IFASGRTDYA SWAKGRFTIS RDNSKNTLYL QMNSLRAEDT AVYYCAREGS 100
 TWGDALDPWG QGTLTVTSSA STKGPSVPL APSSSKSTSGG TAALGCLVKD 150
 YFPEPVTVSW NSGALTSGVH TEPAVLQSSG LYSLSSVVTV PSSSLGQTQY 200
 ICVNHHKPSN TKVDRKEVPL SCDKHTTCP CPAPPELGGP SVFLFPKPK 250
 DTLMSRTPF VTCVVVDVSH EDPEVFRNNY YDGVGEVHNNA KTKPREEQYN 300
 TYRVSILTV LHQDWLNGKE YKCKVSNKAL PAPIEKTIKIS KAKGQPREFQ 350
 YTLPSPSREEM TKNQVSLTC LVKGFYPSDIA VEWESENQOP ENNYKTTPPV 400
 DSDGSSLFLY RLTVDKSRW QQGNVFSCSV MHGALHNHYT QKSLSLSPG 448

Light chain / Chaîne légère / Cadena ligera L'

DVVMTQSPTL LSASVGDVRT ITCGQASQNID SNLAWYQQKP GKAPKFLIYY 50
 ASNLPLGVPS RFKGSGSCTE FTLTIISSLOP DDFATYQQQS ADVGSTVVA 100
 FGGGTKEIK RTVAAPSIFI FPPSDEQLKS GTASVVCILN NEYPREAKVQ 150
 WKVDNALQSG NSQESVTEQD SKDSTYSLSS TLTLSKADYE HKHVYACEVT 200
 HQGLSSPVTK SFNRGEC 217

Light chain / Chaîne légère / Cadena ligera L⁺

AYDMTQSPTL LSASVGDVRT ITCGQASQNII DYLAWYQQKP GKAPKLLIHK 50
 ASTLASGVPS RFKGSGSCTE FTLTIISSLOP DDFATYQQQQ GYNSNIDNT 100
 FGGGTKEIK RTVAAPSIFI FPPSDEQLKS GTASVVCILN NEYPREAKVQ 150
 WKVDNALQSG NSQESVTEQD SKDSTYSLSS TLTLSKADYE HKHVYACEVT 200
 HQGLSSPVTK SFNRGEC 217

Post-translational modifications

Disulfide bridges location / Position des ponts disulfure / Posiciones de los puentes disulfuro
 Intra-H (C23-C104) 22-95 147-203 264-324 370-428
 22"-95" 146"-202" 263"-323" 369"-427"
 Intra-L (C23-C104) 23"-88" 137"-197"
 23"-88" 137"-197"
 Inter-H-L (h 5-CL 126) 223-217 222"-217"
 Inter-H-H (h 11, h 14) 229-228" 232-231"

N-glycosylation sites / Sites de N-glycosylation / Posiciones de N-glicosilación

H-CH2 N84.4; 300, 299"
 Fucosylated complex bi-antennary CHO-type glycans / glycanes de type CHO bi-antennaires
 complexes fucosylés / glicanos de tipo CHO biantenarios complejos fucosilados.

ivonescimabum #

ivonescimab

immunoglobulin G1-kappa_scFv, anti-[*Homo sapiens* VEGFA (vascular endothelial growth factor A, VEGF-A, VEGF)], each heavy chain being fused to a scFv anti-[*Homo sapiens* PDCD1 (programmed cell death 1, PD1, CD279)], monoclonal antibody, tetravalent, bispecific; gamma1 heavy chain anti-VEGFA fused to scFv anti-PDCD1 (1-719) [gamma1 heavy chain anti-VEGFA (1-453) [VH (*Homo sapiens*IGHV3-30*02 (76.8%) -(IGHD) -IGHJ4*01 (93.3%), CDR-IMGT [8.8.16] (26-33.51-58.97-112)) (1-123) -*Homo sapiens*IGHG1*01, G1m17.1, G1v14 CH2 A1.3, A1.2 (CH1 K120 (220) (124-221), hinge 1-15 (222-236), CH2 L1.3>A (240), L1.2>A (241) (237-346), CH3 D12 (362), L14 (364) (347-451), CHS (452-453)) (124-453)] -20-mer tetrakis(tetraglycyl-seryl) linker (454-473) -scFv-VH-V-KAPPA anti-PDCD1 (474-719) [VH (*Homo sapiens*IGHV3-23*04 (88.7%) -(IGHD) -IGHJ6*01 (90.9%) T123>L (586), CDR-IMGT [8.8.11] (499-506.524-531.570-580)) (474-591) -20-mer tetrakis(tetraglycyl-seryl) linker (592-611) -V-KAPPA Musmus/Homsap (*Mus musculus* IGKV14-111*01 (86.3%) -IGKJ5*01 (100%)/*Homo sapiens* IGKV1-16*01 (80.0%) -IGKJ2*01 (87.5%) Q120>A (711), CDR-IMGT [6.3.9] (638-643.661-663.700-708) (612-719)], (226-214")-disulfide with kappa light chain anti-VEGFA (1-214') [V-KAPPA (*Homo sapiens* IGKV1-16*01 (88.4%) -IGKJ1*01 (100%), CDR-IMGT [6.3.9] (27-32.50-52.89-97)) (1'-107') -*Homo sapiens* IGKC*01 (100%), Km3 A45.1 (153), V101 (191) (108'-214')]; dimer (232-232":235-235")-bisdisulfide, produced in Chinese hamster ovary (CHO) cells, glycoform alfa immunomodulator, antineoplastic

ivonescimab

immunoglobuline G1-kappa_scFv, anti-[*Homo sapiens* VEGFA (facteur de croissance A de l'endothélium vasculaire, VEGF-A, VEGF)], chaque chaîne lourde étant fusionnée à un scFv anti-[*Homo sapiens* PDCD1 (protéine 1 de mort cellulaire programmée, PD1, PD-1, CD279)], anticorps monoclonal, tétravalent, bispécifique; chaîne lourde gamma1 anti-VEGFA fusionnée à un scFv anti-PDCD1 (1-719) [chaîne lourde gamma1 anti-VEGFA (1-453) [VH (*Homo sapiens* IGHV3-30*02 (76.8%) -(IGHD) -IGHJ4*01 (93.3%), CDR-IMGT [8.8.16] (26-33.51-58.97-112)) (1-123) -*Homo sapiens* IGHG1*01, G1m17,1, G1v14 CH2 A1.3, A1.2 (CH1 K120 (220) (124-221), chaîne 1-15 (222-236), CH2 L1.3>A (240), L1.2>A (241) (237-346), CH3 D12 (362), L14 (364) (347-451), CHS (452-453)) (124-453)]-20-mer tetrakis(tetraglycyl-seryl) linker (454-473) -scFv-VH-V-KAPPA anti-PDCD1 (474-719) [VH (*Homo sapiens* IGHV3-23*04 (88.7%) -(IGHD) -IGHJ6*01 (90.9%) T123>L (586), CDR-IMGT [8.8.11] (499-506.524-531.570-580)) (474-591) -20-mer tetrakis(tetraglycyl-séryl) linker (592-611) -V-KAPPA Musmus/Homsap (*Mus musculus* IGKV14-111*01 (86.3%) -IGKJ5*01 (100%)/*Homo sapiens* IGKV1-16*01 (80.0%) -IGKJ2*01 (87.5%) Q120>A (711), CDR-IMGT [6.3.9] (638-643.661-663.700-708)) (612-719)], (226-214')-disulfure avec la chaîne légère kappa anti-VEGFA (1'-214') [V-KAPPA (*Homo sapiens* IGKV1-16*01 (88.4%) -IGKJ1*01 (100%), CDR-IMGT [6.3.9] (27-32.50-52.89-97)) (1'-107') -*Homo sapiens* IGKC*01 (100%), Km3 A45.1 (153), V101 (191) (108'-214')]; dimère (232-232":235-235")-bisdisulfure, produit dans des cellules ovarianes de hamster chinois (CHO), glycoforme alfa
immunomodulateur, antineoplastique

ivonescimab

inmunoglobulina G1-kappa_scFv, anti-[*Homo sapiens* VEGFA (factor de crecimiento A del endotelio vascular, VEGF-A, VEGF)], cada cadena pesada estando fusionada a un scFv anti-[*Homo sapiens* PDCD1 (proteína 1 de muerte celular programada, PD1, PD-1, CD279)], anticuerpo monoclonal, tetravalente, biespecífico; cadena pesada gamma1 anti-VEGFA fusionada a un scFv anti-PDCD1 (1-719) [cadena pesada gamma1 anti-VEGFA (1-453) [VH (*Homo sapiens* IGHV3-30*02 (76.8%) -(IGHD) -IGHJ4*01 (93.3%), CDR-IMGT [8.8.16] (26-33.51-58.97-112)) (1-123) -*Homo sapiens* IGHG1*01, G1m17,1, G1v14 CH2 A1.3, A1.2 (CH1 K120 (220) (124-221), bisagra 1-15 (222-236), CH2 L1.3>A (240), L1.2>A (241) (237-346), CH3 D12 (362), L14 (364) (347-451), CHS (452-453)) (124-453)]-20-mer tetrakis(tetraglicil-seril) linker (454-473) -scFv-VH-V-KAPPA anti-PDCD1 (474-719) [VH (*Homo sapiens* IGHV3-23*04 (88.7%) -(IGHD) -IGHJ6*01 (90.9%) T123>L (586), CDR-IMGT [8.8.11] (499-506.524-531.570-580)) (474-591) -20-mer tetrakis(tetraglicil-seril) linker (592-611) -V-KAPPA Musmus/Homsap (*Mus musculus* IGKV14-111*01 (86.3%) -IGKJ5*01 (100%)/*Homo sapiens* IGKV1-16*01 (80.0%) -IGKJ2*01 (87.5%) Q120>A (711), CDR-IMGT [6.3.9] (638-643.661-663.700-708)) (612-719)], (226-214')-disulfuro con la cadena ligera kappa anti-VEGFA (1'-214') [V-KAPPA (*Homo sapiens* IGKV1-16*01 (88.4%) -IGKJ1*01 (100%), CDR-IMGT [6.3.9] (27-32.50-52.89-97)) (1'-107') -*Homo sapiens* IGKC*01 (100%), Km3 A45.1 (153), V101 (191) (108'-214')]; dímero (232-232":235-235")-bisdisulfuro, producido en las células ováricas de hámster chino (CHO), forma glicosilada alfa
inmunomodulador, antineoplásico

2428381-53-5

Heavy chain / Chaîne lourde / Cadena pesada

EVQLVESGGG LVQPGGSLRL SCAAAGYTFIT NYGMNWNRQA PGKGLEWWVGW 50
 INTYTGEPTY AADFKRRRTF SLDTSKSTAY LQMNLSRAED TAVVYCAKYD 100
 HYVGSSHWVF DWWGQGTIVT VSSASTKGPS VFLPLAPSSKS TSGCTAALGC 150
 LVKDYFPEPV TVSWNSGALT SGVHTFFPAVL QSSGLYSLSS VVTVFSSSLG 200
 TQTYICNVNH KPSNTKVDKK VEPKSCDRTH TCPCPCEAPEA AGGGSVFLFP 250
 PKPKDYLMS RTPETCVVA DVSHEDPEVK FWNYVVDGEVH HNAKTKPREE 300
 QYNSTYRVRVS LTIVLHQDWI NGKEYCKKVS NKALPAPIEK TISAKAKQPR 350
 EPQVYTLPPS RDELTKNQVS LTCLVKGCFYD SDIAVEWESN GQPENNYKTT 400
 PPVLDSDGSF FLYSKLTVDK SRWQGQNVS CSMVHEALHN HYTKQLSLS 450
 PGKGGGGSGG GSSEVQLVES GGGLVQPGGS LRISCAASLG 500
 AFSSYDMWSW RQAPGKGLDW VATISGGGRY TYYPDSVGR FTISRDNSRN 550
 NLYLQMNSSLR AEDTALYYCA NYGEAWFA WGGGTIVTWS SGGGGGGGG 600
 SGGGGGGGG SDIQMTQSFS SMASAVGDRV TFTCRASQDI NTYLSWFQKQ 650
 PGKSPKTLIY RANRLVSGVP SRFSGSGSQQ DYTLTISLQ PDEMAYYCL 700
 QYDEFPLTGF AGTKLELKR 719

Light chain / Chaîne légère / Cadena ligera

DIGMTQSFS LSASVGRDVT ITCSASQDIS NYLNWYQQKP GKAPKVLIFY 50
 TSSLHSQVPS RFGSGVPS CTIDTIISSLPQ EDFATYTCQQ YSTVFWTFGQ 100
 GTKVEIKRTV AAPSVFIFPP SDEQQLKSGTA SVVCLINNNFY PREAKVQWKV 150
 DNALQSGNSQ ESVTEQDSKD STYSLSSSTLT LSKADYERHKH VYACEVTHQG 200
 LSSPVTKSFN RGEC 214

Post-translational modifications

Disulfide bridges location / Position des ponts disulfure / Posiciones de los puentes disulfuro
 Intra-H (C23-C104) 22-96 150-206 267-327 373-431 495-569 634-699
 22"-96" 150"-206" 267"-327" 373"-431" 495"-569" 634"-699"
 Intra-L (C23-C104) 23"-88" 134"-194"
 23""-88"" 134""-194""
 Inter-H-H (h 5-CL 126) 226-214" 226"-214"
 Inter-H-H (h 11, h 14) 232-232" 235-235"

N-glycosylation sites / Sites de N-glycosylation / Posiciones de N-glicosilación
 H CH2 N84.4:

303, 303"

Fucosylated complex bi-antennary CHO-type glycans / glycanes de type CHO bi-antennaires
 complejos fucosylés / glicanos de tipo CHO biantenarios complejos fucosilados.

ivospemimum

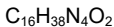
ivospemin

(6S,15S)-3,8,13,18-tetraazaicosane-6,15-diol
spermine analogue, antineoplastic

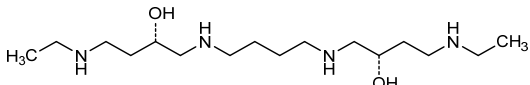
ivospémime

(6S,15S)-3,8,13,18-tetraazaicosane-6,15-diol
analogue de la spermine, antinéoplasique

ivospemina

(6S,15S)-3,8,13,18-tetraazaicosano-6,15-diol
análogo de la espermina, antineoplásico

748119-79-1

**lalikinogenum sifuplasmidum #**

lalikinogene sifuplasmid

DNA plasmid encoding codon-optimized human interleukin 12 subunit alpha (IL12A, IL-12 subunit p35) and subunit beta (IL12B, IL-12 subunit p40).

Expression of the IL-12 subunit p35 is driven by the simian cytomegalovirus (sCMV) promotor and terminated with the bovine growth hormone (bGH) polyadenylation (polyA) signal. Expression of the IL-12 subunit p40 is driven by the human cytomegalovirus (hCMV) promoter and terminated with the simian virus 40 (SV40) polyA signal. The plasmid also contains a pUC origin of replication and a *kanamycin* resistance gene.
gene therapy (antiviral)

lalikinogène sifuplasmide

plasmide d'ADN codant la sous-unité alpha (IL12A, sous-unité p35 de l'IL-12) et la sous-unité bêta (IL12B, sous-unité p40 de l'IL-12) de l'interleukine 12 humaine aux codons optimisés. L'expression de la sous-unité p35 de l'IL-12 est induite par le promoteur du cytomégavirus simien (sCMV) et terminée par le signal de polyadénylation (polyA) de l'hormone de croissance bovine (bGH). L'expression de la sous-unité p40 de l'IL-12 est induite par le promoteur du cytomégavirus humain (hCMV) et terminée par le signal de polyA du virus simien 40 (SV40). Le plasmide contient également une origine de réplication pUC et un gène de résistance à la *kanamycine*.
thérapie génique (antiviral)

lalikinogén sifuplásmido

plásmido de ADN que codifica para la subunidad alfa (IL12A, IL-12 subunidad p35) y la subunidad beta (IL12B, IL-12 subunidad p40) de la interleukina 12 humana. La expresión de la subunidad p35 de la IL-12 está dirigida por el promotor del citomegalovirus de simio (sCMV) y terminado con la señal de poliadenilación (polyA) de la hormona de crecimiento bovina. La expresión de la subunidad p40 de la IL-12 está dirigida por el promotor del citomegalovirus humano (hCMV) y terminado con la señal de polyA del virus simio 40 (SV40). El plásmido también contiene un origen de replicación pUC y un gen de resistencia a *kanamicina*.
terapia génica (antiviral)

2418030-84-7

ledaborbactamum

ledaborbactam

(3*R*)-2-hydroxy-3-(propanamido)-3,4-dihydro-2*H*-1,2-benzoxaborinine-8-carboxylic acid
beta-lactamase inhibitor

lédaborbactam

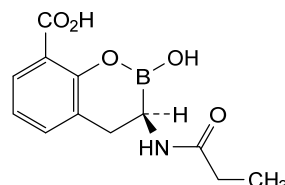
acide(3*R*)-2-hydroxy-3-(propanamido)-3,4-dihydro-2*H*-1,2-benzoxaborinine-8-carboxylique
inhibiteur de bêta-lactamase

ledaborbactam

ácido(3*R*)-2-hidroxi-3-(propanamido)-3,4-dihidro-2*H*-1,2-benzoxaborinina-8-carboxílico
inhibidor de la beta-lactamasa

C₁₂H₁₄BNO₅

1842397-36-7

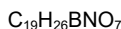
**ledaborbactamum etzadroxiolum**

ledaborbactam etzadroxiol

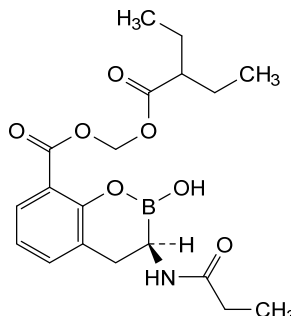
[(2-ethylbutanoyl)oxy]methyl (3*R*)-2-hydroxy-3-(propanamido)-3,4-dihydro-2*H*-1,2-benzoxaborinine-8-carboxylate
beta-lactamase inhibitor

lédaborbactam étzadroxil (3*R*)-2-hydroxy-3-(propanamido)-3,4-dihydro-2*H*-1,2-benzoxaborinine-8-carboxylate de [(2-éthylbutanoyl)oxy]méthyle inhibiteur de la bêta-lactamase

ledaborbactam etzadroxil (3*R*)-2-hidroxi-3-(propanamido)-3,4-dihidro-2*H*-1,2-benzoxaborinina-8-carboxilato de [(2-etylbutanoil)oxi]metilo inhibidor de la beta-lactamasa



1842399-68-1



lepunafuspum alfa

lepunafusp alfa

humanized immunoglobulin G1-kappa Fab fragment (1-226) anti-(human transferrin receptor 1) fused via peptidyl linker $^{227}\text{GGGGSGGGGSGGGGS}^{241}$ to human α -L-iduronidase isoform 1 (242-869), (221-219')-disulfide with kappa light chain (1'-219'), produced in Chinese hamster ovary (CHO) cells, glycoform alfa; immunoglobulin G1-kappa, humanized Fab fragment targeting the human transferrin receptor 1 (TfR1), fused with human α -L-iduronidase isoform 1, glycoform alfa: gamma1 heavy chain [*Homo sapiens* IGHV5-51*01; *Homo sapiens* IGHJ4*01; *Homo sapiens* IGHC1*01; VH: 1-118; CH1: 119-216; hinge: 217-226; CDR Kabat H1: NYWLG (31-35); CDR Kabat H2: DIYPGGDPTYSEKFKV (50-66); CDR Kabat H3: SGNYDEVAY (99-107)] (1-226) fused via a (G₄S)₃ peptide linker (227-241) with human α -L-iduronidase (IDUA) isoform 1 (242-869), (221-219')-disulfide with kappa light chain [*Homo sapiens* IGKV2D-29*02; *Homo sapiens* IGKJ1*01; *Homo sapiens* IGKC*01; VL: 1-112; CL: 113-219; CDR Kabat L1: RSSQSLVHSNGNTYLYH (24-39); CDR Kabat L2: KVSNRFS (55-61); CDR Kabat L3: SQSTHVPWT (94-102)] (1'-219'), produced in Chinese hamster ovary (CHO) cells, glycoform alfa enzyme replacement therapy

lépunausp alfa

fragment Fab (1-226) humanisé de l'immunoglobuline G1-kappa anti-(récepteur 1 de la transferrine humaine) fusionné via une liaison peptique $^{227}\text{GGGGSGGGGSGGGGS}^{241}$ à l'isoforme 1 de l' α -L-iduronidase humaine (242-869), (221-219')-disulfure avec une chaîne légère kappa (1'-219'), produit dans des cellules ovariennes de hamsters chinois (CHO), glycoforme alfa; immunoglobuline G1-kappa, fragment Fab humanisé ciblant le récepteur 1 de la transferrine humaine (TfR1), fusionné avec l'isoforme 1 de l' α -L-iduronidase humaine, glycoforme alfa: chaîne lourde gamma1 [*Homo sapiens* IGHV5-51*01; *Homo*

*sapiens*IGHJ4*01; *Homo sapiens*IGHG1*01; VH: 1-118; CH1: 119-216; charnière: 217-226; CDR Kabat H1: NYWLW (31-35); CDR Kabat H2: DIYPGGDPTYSEKFKV (50-66); CDR Kabat H3: SGNYDEVAY (99-107)] (1-226), fusionnée via une liaison peptidique (G₃S)₃ (227-241) avec l'isoforme 1 de l'α-L-iduronidase (IDUA) humaine (242-869), (221-219')-disulfure avec la chaîne kappa légère [*Homo sapiens*IGKV2D-29*02; *Homo sapiens*IGKJ1*01; *Homo sapiens*IGKC*01; VL: 1-112; CL: 113-219; CDR Kabat L1: RSSQLVHSNGNTYLH (24-39); CDR Kabat L2: KVSNRFS (55-61); CDR Kabat L3: SQSTHVPWT (94-102)] (1'-219'), produit dans des cellules ovaries de hamsters chinois (CHO), glicoforme alfa
traitement enzymatique substitutif

lepunafusp alfa

fragmento Fab de inmunoglobulina G1-kappa humanizada (1-226) anti-(receptor 1 humano de la transferrina) fusionado mediante un conector peptídico ²²⁷GGGGSGGGSGGGGS²⁴¹ a la isoforma α-L-iduronidasa humana (242-869), (221-219')-disulfuro con la cadena ligera kappa (1'-219'), producido en células ováricas de hámster chino (CHO), glicoform alfa; inmunoglobulina G1-kappa, fragmento Fab humanizado cuya diana es el receptor 1 de la transferrina (TFR1), fusionado con la isoforma 1 de la α-L-iduronidasa humana, glicoform alfa: cadena pesada gamma1 [*Homo sapiens*IGHV5-51*01; *Homo sapiens*IGHJ4*01; *Homo sapiens*IGHG1*01; VH: 1-118; CH1: 119-216; bisagra: 217-226; CDR Kabat H1: NYWLW (31-35); CDR Kabat H2: DIYPGGDPTYSEKFKV (50-66); CDR Kabat H3: SGNYDEVAY (99-107)] (1-226), fusionada mediante un conector peptídico (G₃S)₃ (227-241) con la isoforma 1 de la α-L-iduronidasa (IDUA) humana (242-869), (221-219')-disulfuro con la cadena kappa ligera [*Homo sapiens*IGKV2D-29*02; *Homo sapiens*IGKJ1*01; *Homo sapiens*IGKC*01; VL: 1-112; CL: 113-219; CDR Kabat L1: RSSQLVHSNGNTYLH (24-39); CDR Kabat L2: KVSNRFS (55-61); CDR Kabat L3: SQSTHVPWT (94-102)] (1'-219'), producido en las células ováricas de hámster chino (CHO), glicoform alfa
tratamiento enzimático de sustitución

2396411-71-3

Heavy chain / Chaîne lourde / Cadena pesada

EVLVQSGAE VKRPGESLKY	CKGSSGYSM	NYWLGVWRQPM	PGKGLERWMD	50
IYPGGDPTY	SEKFQVQVIT	SADKSISIAY	LQLSSLKASD	100
NYDEVAYWQ	GTLLTVTSSAS	TKGPSVPLA	PSSKSTSGGT	150
FPEPVTVSNN	SGALGTGQVHT	FEAVLQSSGL	YSLSSVTVF	200
CVNHHKPSNT	KVDKVEPKS	CDKTH ²⁷ GGGG	SGGGGSGGGG	250
DAARALPLR	RFWRSTGFCP	PLPHSQAQDY	VLSLWDQQLN	300
IKQVRTHWLL	ELVITTRGSGTG	RGLSYNFTHL	DGYLDLLRQN	350
SASGHFTDFE	DKQVQEWEKKA	LVSLLARRYI	GRYGLAHVSK	400
HHDFDNVSMT	MQGFNLYYDDA	CEGRLRAASP	ALRIGGPGDS	450
WGLLRKHCQD	TNFFTGEAVG	RLDYISLHRK	GARSSISILE	500
QLFPKFADPT	IYNEADAPLV	GWSLPLQPWRA	DVTYAMAMVK	550
ANTTSAPFYA	LLSNNDNAFLS	YHPHPFAQRT	LTAREQVNNT	600
PVLTAMGLIA	LLDEEQIINAE	VSQAGTVLNS	NHTVQVLASA	650
RAAFLITYASD	DTRAHPNRSV	ATVRLRLRGVP	PGPGLIVVTR	700
GEWRRRLGRPV	FPTAEQFPRM	RAAEDFVAA	PRPLFAGGRL	750
LLLHVHVCARP	EKPPGQVTRI	RALPLTQGQL	VLVWSDEHVG	800
FSDQDGKAYTP	VSRKPSTFN	FVFSPDTGAV	SGSYRVRALD	850
PVPIYLEVVP	RGPSPGNP			869

Light chain / Chaîne légère / Cadena ligera

DIVMIQTPLS	LSVTPGQPAS	ICRCSQSLV	HSNGNTYLHW	YIQLKPGQSPQ	50
LLIYKVSNRF	SGVDPDFSGS	GSGETDFTLKI	SRVEADEVG	YYCSQSTHVP	100
WTFQGQTKVE	IKRVAAPSV	FIFPPSDEQL	KSGTASVCL	LNNFYPREAK	150
VQWKVDNAHQ	SGNSQESVTE	QDSKDSTYSL	SSTLTLSKAD	YEKKHVYACE	200
VTHQGLSSPV	TKSFNRGEC				220

Peptide linker / Peptide liant / Péptido de unión
227 **GGGGSGGGSGGGGS** 241 (1-15)

Post-translational modifications

Disulfide bridges location / Position des ponts disulfure / Posiciones de los puentes disulfuro
Intra-H 22-96, 145-201, 757-793
Intra-L 23'-93', 139-199'
Inter-H-L 221-219'

Glycosylation sites / Sites de glycosylation / Posiciones de glicosilación

N326, N406, N552, N588, N631, N667

Fucosylated complex bi-antennary CHO-type glycans / glycanes de type CHO bi-antennaires complexes fucosylés / glicanos de tipo CHO biantenarios complejos fucosilados

lerapolturevum #

lerapolturev

recombinant, oncolytic live attenuated poliovirus Sabin serotype 1 (PV1S) containing a heterologous internal ribosomal entry site (IRES) from human rhinovirus type 2 (HRV2)
virus-based therapy (antineoplastic)

lerapolturev

poliovirus recombinant oncolytique vivant atténué de sérotype Sabin 1 (PV1S) contenant un site d'entrée ribosomique interne (IRES) hétérologue provenant du rhinovirus humain de type 2 (HRV2)
thérapie à base de virus (antineoplastique)

lerapolturev

poliovirus atenuado Sabin de serotipo 1 (PV1S) recombinante, oncolítico que contiene un sitio interno de entrada al ribosoma (IRES) heterólogo del rinovirus tipo 2 humano (HRV2)
terapia basada en virus (antineoplásico)

2430048-02-3

lexanersenum

lexanersen

(P^3S)-2'-O-methyl-P-thioguanyl-(3'→5')-2'-O-methyluridyl-(3'→5')-2'-O-methylguanyl-(3'→5')-2'-O-methylcytidyl-(3'→5')-(P^3S)-2'-O-methyl-P-thioadenyl-(3'→5')-(P^3S)-2'-deoxy-P-thiocytidyl-(3'→5')-(P^3S)-2'-deoxy-P-thioadenyl-(3'→5')-(P^3S)-2'-deoxy-P-thiocytidyl-(3'→5')-(P^3S)-2'-deoxy-P-thioadenyl-(3'→5')-(P^3S)-2'-deoxy-P-thiocytidyl-(3'→5')-(P^3S)-P-thiouridylyl-(3'→5')-(P^3S)-2'-deoxy-P-thioadenyl-(3'→5')-(P^3R)-2'-deoxy-P-thioguanyl-(3'→5')-(P^3S)-2'-deoxy-P-thioadenyl-(3'→5')-(P^3S)-P-thiouridylyl-(3'→5')-2'-O-methyladenyl-(3'→5')-2'-O-methylguanyl-(3'→5')-2'-O-methyladenyl-(3'→5')-2'-O-methylguanyl-(3'→5')-(P^3S)-2'-O-methyl-P-thioguanyl-(3'→5')-2'-O-methylguanosine
abnormal huntingtin synthesis reducer

lexanersen

(P^3S)-2'-O-méthyl-P-thioguanyl-(3'→5')-2'-O-méthyluridyl-(3'→5')-2'-O-méthylguanyl-(3'→5')-2'-O-méthylcytidyl-(3'→5')-(P^3S)-2'-O-méthyl-P-thioadenyl-(3'→5')-(P^3S)-2'-désoxy-P-thiocytidyl-(3'→5')-(P^3S)-2'-désoxy-P-thioadenyl-(3'→5')-(P^3S)-2'-désoxy-P-thiocytidyl-(3'→5')-(P^3S)-2'-désoxy-P-thioadenyl-(3'→5')-(P^3S)-2'-désoxy-P-thioguanyl-(3'→5')-2'-O-méthyladényl-(3'→5')-2'-O-méthylguanyl-(3'→5')-2'-O-méthylguanyl-(3'→5')-(P^3S)-2'-O-méthyl-P-thioguanyl-(3'→5')-2'-O-méthylguanosine
réducteur de la synthèse de huntingtine anormale

lexanersén

(P^3S)-2'-O-metil-P-tioguanilil-(3'→5')-2'-O-metiluridilil-(3'→5')-2'-O-metilguanilil-(3'→5')-2'-O-metilcytidilil-(3'→5')-(P^3S)-2'-O-metil-P-tioadenilil-(3'→5')-(P^3S)-2'-desoxi-P-tiocitidilil-(3'→5')-(P^3S)-2'-desoxi-P-tioadenilil-(3'→5')-(P^3S)-2'-desoxi-P-tioadenilil-(3'→5')-(P^3S)-2'-desoxi-P-tioguanilil-(3'→5')-(P^3S)-2'-desoxi-P-tioguanilil-(3'→5')-(P^3S)-P-tiotimidilil-(3'→5')-(P^3S)-2'-desoxi-P-tioadenilil-(3'→5')-(P^3R)-2'-desoxi-P-tioguanilil-(3'→5')-(P^3S)-2'-desoxi-P-tioadenilil-(3'→5')-(P^3S)-P-tiotimidilil-(3'→5')-2'-O-metilguanilil-(3'→5')-2'-O-metiladenilil-(3'→5')-2'-O-metilguanilil-(3'→5')-(P^3S)-2'-O-metil-P-tioguanilil-(3'→5')-2'-O-metilguanosina
reductor de la síntesis de huntingtina anormal

C₂₀₆H₂₆₂N₈₅O₁₁₂P₁₉S₁₃

2073015-40-2

(3'-5') G=U—G—C—A=d(C=A=C=A=G=T=A=G=G=G=G)

Legend: X : 2'-O-methylnucleotide

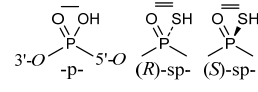
2'-O-méthylnucletide

2'-O-metilnucleotido

X : 2'-deoxynucleotide

2'-désoxynucleotide

2'-desoxinucleotido

**ligufalimab #**

ligufalimab

immunoglobulin G4-kappa, anti-[*Homo sapiens* CD47 (integrin associated protein, IAP, MER6, OA3)], monoclonal antibody; gamma4 heavy chain (1-444) [VH Musmus/Homsap (*Mus musculus*IGHV1S126*01 (84.7%) -(IGHD) - IGHJ1*01 (100%)/*Homo sapiens*IGHV1-46*01 (79.6%) -(IGHD) -IGHJ3*01 (85.7%) Q120>A (109), M123>T (112), CDR-IMGT [8.8.10] (26-33.51-58.97-106)) (1-117)-*Homo sapiens*IGHG4*01, G4v5 h P10 (CH1 (118-215), hinge 1-12 S10>P (225) (216-227), CH2 (228-337), CH3 (338-442), CHS (443-444)) (118-444)], (131-214')-disulfide with kappa light chain (1'-214') [V-KAPPA Musmus/Homsap (*Mus musculus*IGKV6-20*01 (84.2%) -IGKJ2*01 (100%)/*Homo sapiens*IGKV3D-7*01 (78.9%) -IGKJ2*01 (91.7%) Q120>G (100), CDR-IMGT [6.3.9] (27-32.50-52.89-97)) (1'-107') -*Homo sapiens*IGKC*01 (100%), Km3 A45.1 (153), V101 (191) (108'-214')]; dimer (223-223":226-226")-bisdisulfide, produced in Chinese hamster ovary (CHO) cells, glycoform alfa *immunomodulator, antineoplastic*

ligufalimab

immunoglobuline G4-kappa, anti-[*Homo sapiens* CD47 (protéine associée à l'intégrine, IAP, MER6, OA3)], anticorps monoclonal; chaîne lourde gamma4 (1-444) [VH Musmus/Homsap (*Mus musculus*IGHV1S126*01 (84.7%) -(IGHD) - IGHJ1*01 (100%)/*Homo sapiens*IGHV1-46*01 (79.6%) -(IGHD) -IGHJ3*01 (85.7%) Q120>A (109), M123>T (112), CDR-IMGT [8.8.10] (26-33.51-58.97-106)) (1-117)-*Homo sapiens*IGHG4*01, G4v5 h P10 (CH1 (118-215), charnière 1-12 S10>P (225) (216-227), CH2 (228-337), CH3 (338-442), CHS (443-444)) (118-444)], (131-214')-disulfure avec la chaîne légère kappa (1'-214') [V-KAPPA Musmus/Homsap (*Mus musculus*IGKV6-20*01 (84.2%) -IGKJ2*01 (100%)/*Homo sapiens*IGKV3D-7*01 (78.9%) -IGKJ2*01 (91.7%) Q120>G (100), CDR-IMGT [6.3.9] (27-32.50-52.89-97)) (1'-107') -*Homo sapiens*IGKC*01 (100%), Km3 A45.1 (153), V101 (191) (108'-214')]; dimère (226-226":229-229")-bisdisulfure, produit dans des cellules ovarienches de hamster chinois (CHO), glycoforme alfa *immunomodulateur, antinéoplasique*

ligufalimab

inmunoglobulina G4-kappa, anti-[*Homo sapiens* CD47 (proteína asociada a la integrina, IAP, MER6, OA3)], anticuerpo monoclonal;

cadena pesada gamma4 (1-444) [VH Musmus/Homsap (*Mus musculus*)
 IGHV1S126*01 (84.7%) -(IGHD) -IGHJ1*01 (100%)/*Homo sapiens*IGHV1-46*01 (79.6%) -(IGHD) -IGHJ3*01 (85.7%) Q120>A (109), M123>T (112), CDR-IMGT [8.8.10] (26-33.51-58.97-106)) (1-117)-*Homo sapiens*
 IGHG4*01, G4v5 h P10 (CH1 (118-215), bisagra 1-12 S10>P (225) (216-227), CH2 (228-337), CH3 (338-442), CHS (443-444)) (118-444)], (131-214')-disulfuro con la cadena ligera kappa (1'-214') [V-KAPPA
 Musmus/Homsap (*Mus musculus*) IGKV6-20*01 (84.2%) -IGKJ2*01 (100%)/*Homo sapiens* IGKV3D-7*01 (78.9%) -IGKJ2*01 (91.7%) Q120>G (100), CDR-IMGT [6.3.9] (27-32.50-52.89-97)) (1'-107') -*Homo sapiens* IGKC*01 (100%), Km3 A45.1 (153), V101 (191) (108'-214')]; dímero (226-226'':229-229'')-bisdisulfuro, producido en las células ováricas de hámster chino (CHO), forma glicosilada alfa
inmunomodulador, antineoplásico

2428381-55-7

Heavy chain / Chaîne lourde / Cadena pesada

```

QVQLVQSGAE VKVPGASVKL SCKASGYIFT SYWMNWRVQR PGQGLEWIGM 50
IDPSDETHN AQKFQKGATL TVDKSTSTAY MHLSSLRSED TAVYYCARLY 100
RWIFDVWGAG TTIVTVSSAST KGPVSFPLAP CSRSTSESTA ALGCLVKDYF 150
PEPVTVSWSN GALTGVSHFT PAVLQSGSLY SLSSVTVPS SSLGTTKTYC 200
NVDHKPSNTV VDKRVESVKG PPCPPCPAPE FLGGPSVFLF PPKPKDITMI 250
SRTPEVTCVV DVGQSQEDPEV QFNWVYDGVE VHNAKTKPQE EQFNSTYRV 300
SVLTVLHQDW LNGKEYKCKV SNKGLPSSIE KTISKAKGQ REPQVYTLPP 350
SQEEMTKNQV SLTCLVKGFY PSDIAWEWS NGQPENNYKT TPPVLDSDGS 400
FFLYSRLTVD KSRWQEGNVF SCSVMEHALH NYHTQKSLSL SLGK 444
  
```

Light chain / Chaîne légère / Cadena ligera

```

NIVMTQSPAT MSMSPGERVT LSCRASEIYG TYVSWFQQKP GQAPRLLIYG 50
ASNRYTGVPK RFGSGSGGTD FTLTISVQD EDLADYHCGQ SYNFPTYFGG 100
GTKLEIKRTV AAPSVFVIFPP SDEQLKSGTA SVVCLNNFY FREAKVQNKV 150
DNALQSGNSQ ESVTEQDSRD STYSLSSLT LSKADYEKHK VYACEVTHQG 200
LSSPVTKSFN RGEC 214
  
```

Post-translational modifications

Disulfide bridges location / Position des ponts disulfure / Posiciones de los puentes disulfuro

Intra-H (C23-C104)	22.96	144-200	258-318	364-422
	22"-96"	144"-200"	258"-318"	364"-422"
Intra-L (C23-C104)	23"-88"	134"-194"		
	23"-88"	134"-194"		
Inter-H-L (CH1 10-CL 126)	131-214'	131"-214"		
Inter-H-H (h 8, h 11)	223-223"	226-226"		

N-terminal glutaminyl cyclization / Cyclisation du glutaminyile N-terminal / Ciclación del glutaminiilo N-terminal

H VH Q1 > pyroglutamyl (pE, 5-oxopropyl): 1, 1"

N-glycosylation sites / Sites de N-glycosylation / Posiciones de N-glicosilación

H CH2 N84.4: 294, 294"

Fucosylated complex bi-antennary CHO-type glycans / glycanes de type CHO bi-antennaires complexes fucosyles / glicanos de tipo CHO biantenarios complejos fucosilados.

C-terminal lysine clipping / Coupe de la lysine C-terminale / Recorte de lisina C-terminal
 H CHS K2: 444, 444"**lisafotoclaxum**

lisafotoclax

¹⁴-chloro-N-[4-({[(2S)-1,4-dioxan-2-yl]methyl}amino)-3-nitrobenzene-1-sulfonyl]-⁷¹H-6-oxa-7(5)-pyrrolo[2,3-b]pyridina-4(1,4)-piperazina-2(6,7)-spiro[3.5]nonana-1(1),5(1,3)-dibenzenaheptaphan-2⁶-ene-5⁴-carboxamide
antineoplásico

lisafotoclax

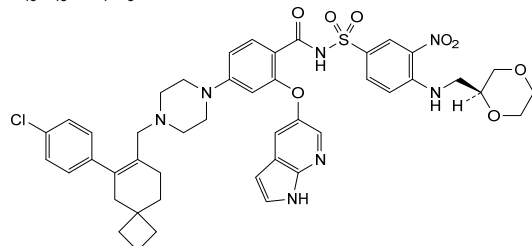
¹⁴-chloro-N-[4-({[(2S)-1,4-dioxan-2-yl]méthyl}amino)-3-nitrobenzène-1-sulfonyl]-⁷¹H-6-oxa-7(5)-pyrrolo[2,3-b]pyridina-4(1,4)-pipérazine-2(6,7)-spiro[3.5]nonana-1(1),5(1,3)-dibenzenaheptaphan-2⁶-ène-5⁴-carboxamide
antineoplastique

lisafotoclax

¹⁴-cloro-N-[4-({[(2S)-1,4-dioxan-2-il]metil}amino)-3-nitrobenceno-1-sulfonil]-⁷¹H-6-oxa-7(5)-pirrolo[2,3-b]piridina-4(1,4)-piperazina-2(6,7)-espiro[3.5]nonana-1(1),5(1,3)-dibencenaheptafan-2⁶-eno-5⁴-carboxamida
antineoplásico

C₄₅H₄₈CIN₇O₈S

2180923-05-9

**livmoniplimab #**

livmoniplimab

immunoglobulin G4-kappa, anti-[*Homo sapiens* LRRC32 (leucine rich repeat containing 32, transforming growth factor beta activator LRRC32, glycoprotein A repetitions predominant, GARP) / *Homo sapiens* TGFB1 (transforming growth factor beta1, TGF beta) complex], chimeric and humanized monoclonal antibody; gamma4 heavy chain chimeric (1-452) [VH Vipcpac/Homsap (*Vicugna pacos* IGHV1-1*01 (87.8%) - (IGHD) -IGHJ3*01 (100%)/*Homo sapiens* IGHV1-46*01 (85.7%) -(IGHD) -IGHJ4*01 (85.7%), CDR-IMGT [8.8.19] (26-33.51-58.97-115)) (1-126)-*Homo sapiens* IGHG4*01, G4v5 h P10 (CH1 (127-224), hinge 1-12 S10>P (234) (225-236), CH2 (237-346), CH3 (347-451), CHS K2>del (452)) (127-452)], (140-214')-disulfide with kappa light chain humanized (1'-214') [V-KAPPA (*Homo sapiens* IGKV1-39*01 (85.3%) -IGKJ1*01 (100%), CDR-IMGT [6.3.9] (27-32.50-52.89-97)) (1'-107') -*Homo sapiens* IGKC*01 (100%), Km3 A45.1 (153), V101 (191) (108'-214')]; dimer (232-232":235-235")-bisdisulfide, produced in Chinese hamster ovary (CHO) cells, glycoform alfa immunomodulator, antineoplastic

livmoniplimab

immunoglobuline G4-kappa, anti-[complexe *Homo sapiens* LRRC32 (membre 32 contenant des répétitions riches en leucine, activateur LRRC32 du facteur de croissance transformant bêta, glycoprotéine A répétitions prédominantes, GARP) / *Homo sapiens* TGFB1 (facteur de croissance transformant bêta1, TGF bêta)], anticorps monoclonal chimérique et humanisé; chaîne lourde gamma4 chimérique (1-452) [VH Vipcpac/Homsap (*Vicugna pacos* IGHV1-1*01 (87.8%) - (IGHD) -IGHJ3*01 (100%)/*Homo sapiens* IGHV1-46*01 (85.7%) -(IGHD) -IGHJ4*01 (85.7%), CDR-IMGT [8.8.19] (26-33.51-58.97-115)) (1-126)-*Homo sapiens* IGHG4*01, G4v5 h P10 (CH1 (127-224), charnière 1-12 S10>P (234) (225-236), CH2 (237-346), CH3 (347-451), CHS K2>del (452)) (127-452)], (140-214')-disulfure avec la chaîne légère kappa humanisée (1'-214') [V-KAPPA (*Homo sapiens* IGKV1-39*01 (85.3%) -IGKJ1*01 (100%), CDR-IMGT [6.3.9] (27-32.50-52.89-97)) (1'-107') -*Homo sapiens* IGKC*01 (100%), Km3 A45.1 (153), V101 (191) (108'-214')]; dimère (232-232":235-235")-bisdisulfure, produit dans des cellules ovariennes de hamster chinois (CHO), glycoforme alfa immunomodulateur, antinéoplasique

livmoniplimab

inmunoglobulina G4-kappa, anti-[complejo *Homo sapiens* LRRC32 (miembro 32 conteniendo repeticiones ricas en leucina, activador LRRC32 del factor de crecimiento transformante beta, glicoproteína A repeticiones predominantes, GARP) / *Homo sapiens* TGFB1 (factor de crecimiento transformante beta1, TGF beta)], anticuerpo monoclonal químérico y humanizado; cadena pesada gamma4 químérica (1-452) [VH Vicpac/Homsap (*Vicugna pacos*)IGHV1-1*01 (87.8%) - (IGHD) -IGHJ3*01 (100%)/*Homo sapiens*IGHV1-46*01 (85.7%) -(IGHD) -IGHJ4*01 (85.7%), CDR-IMGT [8.8.19] (26-33.51-58.97-115)) (1-126)-*Homo sapiens*IGHG4*01, G4v5 h P10 (CH1 (127-224), bisagra 1-12 S10>P (234) (225-236), CH2 (237-346), CH3 (347-451), CHS K2>del (452)) (127-452)], (140-214')-disulfuro con la cadena ligera kappa humanizada (1'-214') [V-KAPPA (*Homo sapiens* IGKV1-39*01 (85.3%) -IGKJ1*01 (100%), CDR-IMGT [6.3.9] (27-32.50-52.89-97)) (1'-107') -*Homo sapiens*IGKC*01 (100%), Km3 A45.1 (153), V101 (191) (108'-214')]; dímero (232-232":235-235")-bisdisulfuro, producido en las células ováricas de hámster chino (CHO), forma glicosilada alfa *inmunomodulador, antineoplásico*

2412004-88-5

Heavy chain / Chaîne lourde / Cadena pesada

QVQLVQPGAE VRKPGASVKV SCKASGYRFT SYYIDWVRQA PGQQLENNMGR 50
IDPFEDAGTKY AQKFQGRVTM TADTSTSTVY VELSSLRSED TAVYYCARYE 100
WETVVVGDLIM YEYEWQCGT LTVTSSASTK GPSVFPFLAPC SRSTSEATAA 150
LGLCLVKDYPF EPFTVSWNSG ALTSGVHTFP AVLQSSGLYS LSSVTVTPSS 200
SLGTKTYTCN VDHKEPSNTKV DKRVESKYGP PCPFCPAPAEF LGGPSVELFP 250
PKPKDTILMIS RTPEVTVCCV DVSQEDEPVEQ FNWYVGDGEV HNAATKFREE 300
QFNSTYRVVVS VLTVLHQDWL NGKEYKCKVS NKGPLSSIEK TISKAKGQPR 350
EPQVYTLPPS QEEMTQNQVS LTLCLVKGFPF SDIAVEWESN QPENNYKTT 400
PPVLDSDGSF FLYSRSLTVDK SRWQEGGNVFS CSVMEHALHN HYTKQLSLS 450
LG 452

Light chain / Chaîne légère / Cadena ligera

DIGQMTGSFSS LSASVGRDRVT ITTCQASQHSIS SYLAWSQQKP GQAKPILYIG 50
ASRLKTGVES RFSGSGSGTS FFLTISSLEP EDAATYTYCQQ YASPVFTFQ 100
GTRKEIKRTV AAPSVFIFPP SDEOLKSGTA SVVCLLNNFY PREAKVQWKV 150
DNALQSGNSQ ESVTEQDSKD STYSLSSTLT LSKADYEKHK VYACEVTHQG 200
LSSPVTKSFN RGECA 214

Post-translational modifications

Disulfide bridges location / Position des ponts disulfure / Posiciones de los puentes disulfuro
Intra-H (C23-C104) 22-96 153-209 267-327 373-431
22"-96" 153"-209" 267"-327" 373"-431"
Intra-L (C23-C104) 23'-88 134'-194'
23"-88" 134"-194"
Inter-H-L (CH1 10-CL 126) 140-214' 140"-214"
Inter-H-H (h 8, h 11) 232-232" 235-235"

N-terminal glutaminyl cyclization / Cyclisation du glutaminyle N-terminal / Ciclación del glutamínilo N-terminal
H VH Q1> pyroglutamyl (pE, 5-oxopropyl): 1, 1"

N-glycosylation sites / Sites de N-glycosylation / Posiciones de N-glicosilación
H CH2 N84.4:303, 303"
Fucosylated complex bi-antennary CHO-type glycans / glycanes de type CHO bi-antennaires complexes fucosylés / glicanos de tipo CHO biantenarios complejos fucosilados.

lixadesiranum

lixadesiran

guanylyl-(3'→5')-guanylyl-(3'→5')-uridylyl-(3'→5')-cytidylyl-(3'→5')-uridylyl-(3'→5')-guanylyl-(3'→5')-uridylyl-(3'→5')-guanylyl-(3'→5')-cytidylyl-(3'→5')-cytidylyl-(3'→5')-uridylyl-(3'→5')-guanylyl-(3'→5')-guanylyl-(3'→5')-uridylyl-(3'→5')-cytidylyl-(3'→5')-uridylyl-(3'→5')-guanylyl-(3'→5')-adenylyl-(3'→5')-uridylyl-(3'→5')-guanylyl-(3'→5')-adenylyl-(3'→5')-uridylyl-(3'→5')-guanylyl-(3'→5')-uridine,

	duplex with cytidylyl-(5'→3')-cytidylyl-(5'→3')-adenylyl-(5'→3')-guanylyl-(5'→3')-adenylyl-(5'→3')-cytidylyl-(5'→3')-cytidylyl-(5'→3')-cytidylyl-(5'→3')-adenylyl-(5'→3')-cytidylyl-(5'→3')-guanylyl-(5'→3')-guanylyl-(5'→3')-adenylyl-(5'→3')-adenylyl-(5'→3')-cytidylyl-(5'→3')-adenylyl-(5'→3')-guanylyl-(5'→3')-adenylyl-(5'→3')-cytidylyl-(5'→3')-uridylyl-(5'→3')-adenylyl-(5'→3')-cytidylyl-(5'→3')-adenosine <i>cyclooxygenase synthesis reducer, antineoplastic</i>
lixadésiran	guanylyl-(3'→5')-guanylyl-(3'→5')-uridylyl-(3'→5')-cytidylyl-(3'→5')-uridylyl-(3'→5')-guanylyl-(3'→5')-guanylyl-(3'→5')-guanylyl-(3'→5')-uridylyl-(3'→5')-guanylyl-(3'→5')-cytidylyl-(3'→5')-cytidylyl-(3'→5')-uridylyl-(3'→5')-guanylyl-(3'→5')-guanylyl-(3'→5')-uridylyl-(3'→5')-cytidylyl-(3'→5')-uridylyl-(3'→5')-guanylyl-(3'→5')-adénylyl-(3'→5')-uridylyl-(3'→5')-guanylyl-(3'→5')-adénylyl-(3'→5')-uridylyl-(3'→5')-guanylyl-(3'→5')-uridine, duplex avec cytidylyl-(5'→3')-cytidylyl-(5'→3')-adénylyl-(5'→3')-guanylyl-(5'→3')-adénylyl-(5'→3')-cytidylyl-(5'→3')-guanylyl-(5'→3')-guanylyl-(5'→3')-adénylyl-(5'→3')-cytidylyl-(5'→3')-adénylyl-(5'→3')-guanylyl-(5'→3')-adénylyl-(5'→3')-cytidylyl-(5'→3')-uridylyl-(5'→3')-uridylyl-(5'→3')-adénylyl-(5'→3')-cytidylyl-(5'→3')-uridylyl-(5'→3')-adénylyl-(5'→3')-cytidylyl-(5'→3')-uridylyl-(5'→3')-adénosine <i>réducteur de la synthèse de la cyclo-oxygénase, antineoplastique</i>
lixadesirán	guanilil-(3'→5')-guanilil-(3'→5')-uridilil-(3'→5')-citidilil-(3'→5')-uridilil-(3'→5')-guanilil-(3'→5')-guanilil-(3'→5')-uridilil-(3'→5')-guanilil-(3'→5')-uridilil-(3'→5')-uridilil-(3'→5')-uridilil-(3'→5')-guanilil-(3'→5')-guanilil-(3'→5')-uridilil-(3'→5')-guanilil-(3'→5')-guanilil-(3'→5')-uridilil-(3'→5')-guanilil-(3'→5')-uridilil-(3'→5')-uridilil-(3'→5')-guanilil-(3'→5')-adenilil-(3'→5')-uridilil-(3'→5')-guanilil-(3'→5')-uridilil-(3'→5')-adenilil-(3'→5')-adenilil-(3'→5')-uridilil-(3'→5')-guanilil-(3'→5')-uridine, duplex con citidilil-(5'→3')-citidilil-(5'→3')-adenilil-(5'→3')-guanilil-(5'→3')-adenilil-(5'→3')-citidilil-(5'→3')-guanilil-(5'→3')-adenilil-(5'→3')-citidilil-(5'→3')-guanilil-(5'→3')-adenilil-(5'→3')-guanilil-(5'→3')-adenilil-(5'→3')-guanilil-(5'→3')-adenilil-(5'→3')-uridilil-(5'→3')-adenilil-(5'→3')-uridilil-(5'→3')-adenilil-(5'→3')-uridilil-(5'→3')-adenosina <i>reductor de la síntesis de la ciclooxigenasa, antineoplásico</i>
	C ₄₇₅ H ₅₉₁ N ₁₈₉ O ₃₄₆ P ₄₈ 1152798-49-6
lomtegovimabum #	
lomtegovimab	immunoglobulin G1-kappa, anti-[severe acute respiratory syndrome coronavirus 2 (SARS-CoV-2) spike (S) glycoprotein, receptor binding domain (RBD)], <i>Homo sapiens</i> monoclonal antibody; gamma1 heavy chain <i>Homo sapiens</i> (1-449) [VH (<i>Homo sapiens</i> IGHV3-33*03 (88.8%) -(IGHD)-IGHJ3*02 (90.9%) M123>L (115), CDR-IMGT [8.8.13] (26-33.51-58.97-109)) (1-120) - <i>Homo sapiens</i> IGHG1*03 (100%), G1m3, NG1m1 (CH1 R120 (217) (121-218), hinge 1-15 (219-233), CH2 (234-343), CH3 E12 (359), M14 (361) (344-448), CHS K>del (449)) (121-449)], (223-214')-disulfide with kappa light chain <i>Homo sapiens</i> (1'-214') [VKAPPA (<i>Homo sapiens</i> IGKV1-5*03 (89.4%) -IGKJ4*01 (91.7%) E125>D (105), CDR-IMGT [6.3.9] (27-32.50-52.89-97)) (1'-107') - <i>Homo sapiens</i> IGKC*01 (100%), Km3 A45.1 (153), V101 (191) (108'-214')]; dimer (229-229":232-232")-bisdisulfide, produced in a Chinese hamster ovary (CHO)-K1 cell line, glycoform alfa <i>antiviral</i>

lomtégovimab immunoglobuline G1-kappa, anti-[domaine de liaison au récepteur (RBD) de la glycoprotéine spike (S) du coronavirus 2 du syndrome respiratoire aigu sévère (SARS-CoV-2)], anticorps monoclonal *Homo sapiens*; chaîne lourde gamma1 *Homo sapiens* (1-449) [VH (*Homo sapiens* IGHV3-33*03 (88.8%) -(IGHD) -IGHJ3*02 (90.9%) M123>L (115), CDR-IMGT [8.8.13] (26-33.51-58.97-109)) (1-120) -*Homo sapiens* IGHG1*03 (100%), G1m3, nG1m1 (CH1 R120 (217) (121-218), charnière 1-15 (219-233), CH2 (234-343), CH3 E12 (359), M14 (361) (344-448), CHS K>del (449)) (121-449)], (223-214')-disulfure avec la chaîne légère kappa *Homo sapiens* (1'-214') [V-KAPPA (*Homo sapiens* IGKV1-5*03 (89.4%) -IGKJ4*01 (91.7%) E125>D (105), CDR-IMGT [6.3.9] (27-32.50-52.89-97) (1'-107') -*Homo sapiens* IGKC*01 (100%), Km3 A45.1 (153), V101 (191) (108'-214')]; dimère (229-229":232-232")-bisdisulfure, produit dans des cellules ovariennes de hamster chinois (CHO) lignée cellulaire CHO-K1, glycoforme alfa
antiviral

lomtegovimab inmunoglobulina G1-kappa, anti-[dominio de unión al receptor (RBD) de la glicoproteína spike (S) del coronavirus 2 del síndrome respiratorio agudo severo (SARS-CoV-2)], anticuerpo monoclonal *Homo sapiens*; cadena pesada gamma1 *Homo sapiens* (1-449) [VH (*Homo sapiens* IGHV3-33*03 (88.8%) -(IGHD) -IGHJ3*02 (90.9%) M123>L (115), CDR-IMGT [8.8.13] (26-33.51-58.97-109)) (1-120) -*Homo sapiens* IGHG1*03 (100%), G1m3, nG1m1 (CH1 R120 (217) (121-218), bisagra 1-15 (219-233), CH2 (234-343), CH3 E12 (359), M14 (361) (344-448), CHS K>del (449)) (121-449)], (223-214')-disulfuro con la cadena ligera kappa *Homo sapiens* (1'-214') [V-KAPPA (*Homo sapiens* IGKV1-5*03 (89.4%) -IGKJ4*01 (91.7%) E125>D (105), CDR-IMGT [6.3.9] (27-32.50-52.89-97) (1'-107') -*Homo sapiens* IGKC*01 (100%), Km3 A45.1 (153), V101 (191) (108'-214')]; dímero (229-229":232-232")-bisdisulfuro, producido en las células ováricas de hámster chino (CHO) línea celular CHO-K1, forma glicosilada alfa
antiviral

2550869-33-3

Heavy chain / Chaîne lourde/ Cadena pesada
QVQLVEGGGV VVQPGRSLRL SCAATGFTFR RYGMHWVRQA PGKGLEWVAG 50
ILFDGDSNKYY VDSVKGRFTI SRDSSRNLYL LQINSLSLRRED TAVKYCAGKK 100
DYEWEELLESW QGGTLVTVSS ASTKGCPVFV LPAPSSKSTSG GTAALGLCLVK 150
DYFPEPVTVS WNSGALTSGV HTFPAAVQSS GLYSLSSVVT VPSSSLGTQT 200
YICVNHHKPS NTKVDKRVEP KSCDKTHTCP PCPAPELLGG PSVFLFPKPK 250
KDTLMISRTP ETVCTVVVDDVS HEDPEVKFNNW YVDGVEVHNNA KTKEPREQYN 300
STYRVSVLT VLHQDWLNLKG EYKCKVSNKA LPAPIEKTTS KAKGQPREPQ 350
VYTLEPSREEE MTKNQVSILTV LVKGFYPSDI AVEWESNGQP ENNYKTTTPV 400
LSDSDGSFFLY SKLTVDKSRW QQGNVFCSV NHEALHNHYT QKSLSLSPG 449

Light chain / Chaîne légère / Cadena ligera
DIQMTCQSPST VSASVQGDRVT ITCRASQSID NWLAWYQEKP GKAPKVLIYK 50
ASSLESQVPVS RFSGCRGSGTE FTLTIISSLQP GDFATYQCHQ YHSPLFTFGG 100
GTVKVDIKRTV AAPSVIFIPP SDEQLKSGTA SVCLLNNFY PREAKVQKV 150
DNAQSGNSQ ESLTEQDSKD STYSLSSLTLS LSKADYEHKK VYACEVTHQG 200
LSSPVTKSFN RGEC 214

Post-translational modifications

Disulfide bridges location / Position des ponts disulfure / Posiciones de los puentes disulfuro
Intra-H (C23-C104) 22-96 147-203 264-324 370-428
22"-96" 147"-203" 264"-324" 370"-428"
Intra-L (C23-C104) 23"-88" 134"-194"
23"-88" 134"-194"
Inter-H-L (h 5-CL 126) 223-214" 223"-214"
Inter-H-H (h 11, h 14) 229-229" 232-232"

N-terminal glutaminyl cyclization / Cyclisation du glutaminyle N-terminal / Ciclación del glutamínilo N-terminal
H VH Q1 > pyroglutamyl (pE, 5-oxoprolyl): 1, 1"

N-glycosylation sites / Sites de N-glycosylation / Posiciones de N-glicosilación
H CH2 N84.4: 300, 300"
Fucosylated complex bi-antennary CHO-type glycans / glycanes de type CHO bi-antennaires complexes fucosylés / glicanos de tipo CHO biantenarios complejos fucosilados.

lorigerlimabum #

lorigerlimab

immunoglobulin G4 scFv-h-CH2-CH3_scFv, anti-[*Homo sapiens* PDCD1 (programmed cell death 1, PD1, PD-1, CD279)] and anti-[*Homo sapiens* CTLA4 (cytotoxic T-lymphocyte-associated protein 4, CD152)], chimeric, *Homo sapiens* and humanized monoclonal antibody, tetravalent, bispecific; scFv-h-CH2-CH3, chimeric and *Homo sapiens*, anti-PDCD1 and anti-CTLA4 (1-499) [scFv-V-KAPPA-VH (1-237) [V-KAPPA anti-PDCD1 Musmus/Homsap (*Mus musculus* IGKV3-2*01 (80.8%) -(IGHD) -IGKJ2*01 (91.7%) L124>V (108)/*Homo sapiens* IGKV3D-11*02 (77.7%) -(IGHD) -IGKJ4*01 (100%), CDR-IMGT [10.3.9] (27-36.54-56.93-101)) (1-111) -8 mer triglycyl-seryl-tetraglycyl linker (112-119) -VH anti-CTLA4 (*Homo sapiens* IGHV3-30*01 (93.9%) -(IGHD) -IGHJ4*01 (100%), CDR-IMGT [8.8.11] (145-152.170-177.216-226)) (120-237)] -E-coil linker (238-271) [6-mer diglycyl-cysteinyl-triglycyl linker (238-243) -28-mer (glutamyl-valyl-dialanyl-cysteinyl-glutamyl-lysyl)-tris(glutamyl-valyl-dialanyl-leucyl-glutamyl-lysyl) E-coil motif (244-271)] -[scFc *Homo sapiens* IGHG4*01 h-CH2-CH3, G4v5 h P10, G4v21 CH2 Y15.1, T16, E18 (hinge 1-12 S10>P (281) (272-283), CH2 M15.1>Y (305), S16>T (307), T18>E (309) (284-393), CH3 (394-498), CHS K2>del (499) (272-499)] (248"-246')-disulfide with scFv-V-KAPPA-VH, *Homo sapiens* and humanized, anti-CTLA4 and anti-PDCD1(1-269) [V-KAPPA anti-CTLA4 (*Homo sapiens* IGKV3-20*01 (99.0%) -IGKJ1*01 (100%), CDR-IMGT [7.3.9] (27-33.51-53.90-98)) (1'-108') -8 mer triglycyl-seryl-tetraglycyl linker (109'-116') -VH anti-PDCD1 (*Homo sapiens* IGHV1-46*01 (81.6%) -(IGHD) -IGHJ4*01 (92.9%), CDR-IMGT [8.8.12] (142-149.167-174.213-224)) (117'-235')] -K-coil linker (236'-269') [6-mer diglycyl-cysteinyl-triglycyl linker (236'-241') -28-mer (lysyl-valyl-dialanyl-cysteinyl-lysyl-glutamyl)-tris(lysyl-valyl-dialanyl-leucyl-lysyl-glutamyl) K-coil motif (242'-269')]; dimer (279-279".282-282")-bisdisulfide, produced in a Chinese hamster ovary (CHO)-S cell line, glycoform alfa
immunomodulator, antineoplastic

lorigerlimab

immunoglobuline G4-kappa scFv-h-CH2-CH3_scFv, anti-[*Homo sapiens* PDCD1 (protéine 1 de mort cellulaire programmée, PD1, PD-1, CD279)] et anti-[*Homo sapiens* CTLA4 (protéine 4 associée aux lymphocytes T cytotoxiques, CD152)], anticorps monoclonal chimérique, *Homo sapiens* et humanisé, tétravalent, bispécifique; scFv-h-CH2-CH3, chimérique et *Homo sapiens*, anti-PDCD1 et anti-CTLA4 (1-499) [scFv-V-KAPPA-VH (1-237) [V-KAPPA anti-PDCD1 Musmus/Homsap (*Mus musculus* IGKV3-2*01 (80.8%) -(IGHD) -IGKJ2*01 (91.7%) L124>V (108)/*Homo sapiens* IGKV3D-11*02 (77.7%) -(IGHD) -IGKJ4*01 (100%), CDR-IMGT [10.3.9] (27-36.54-56.93-101)) (1-111) -8 mer triglycyl-seryl-tétraglycyl linker (112-119) -VH anti-CTLA4 (*Homo sapiens* IGHV3-30*01 (93.9%) -(IGHD) -IGHJ4*01 (100%), CDR-IMGT [8.8.11] (145-152.170-177.216-226)) (120-237)] -linker-E-coil (238-271) [6-mer diglycyl-cystéinyl-triglycyl linker (238-243) -28-mer (glutamyl-valyl-dialanyl-cystéinyl-glutamyl-lysyl)-tris(glutamyl-valyl-dialanyl-leucyl-glutamyl-lysyl) motif E-coil (244-271)] -[scFc *Homo sapiens* IGHG4*01

h-CH2-CH3, G4v5 h P10, G4v21 CH2 Y15.1, T16, E18
 (charnière1-12 S10>P (281) (272-283), CH2 M15.1>Y
 (305), S16>T (307), T18>E (309) (284-393), CH3 (394-498),
 CHS K>del (499)) (272-499)], (248"-246")-disulfure avec
 scFv-V-KAPPA-VH, *Homo sapiens* et humanisée, anti-
 CTLA4 et anti-PDCD1(1'-269') [V-KAPPA anti-CTLA4
(Homo sapiens IGKV3-20*01 (99.0%) -IGKJ1*01 (100%),
 CDR-IMGT [7.3.9] (27-33.51-53.90-98)) (1'-108') -8-mer
 triglycyl-séryl-tétraglycyl linker (109'-116') -VH anti-PDCD1
(Homo sapiens IGHV1-46*01 (81.6%) -(IGHD) -IGHJ4*01
 (92.9%), CDR-IMGT [8.8.12] (142-149.167-174.213-224))
 (117'-235')] -linker K-coil (236'-269') [6-mer diglycyl-
 cystéinyl-triglycyl linker (236'-241') -28-mer (lysyl-valyl-
 dialanyl-cystéinyl-lysyl-glutamyl)-tris(lysyl-valyl-dialanyl-
 leucyl-lysyl-glutamyl) motif K-coil (242'-269')]; dimère (279-
 279":282-282")-bisdisulfure, produit dans des cellules
 ovariennes de hamster chinois (CHO) lignée cellulaire CHO-
 S, glycoforme alfa
immunomodulateur, antineoplasique

Iorgerlimab

inmunoglobulina G4-kappa scFv-h-CH2-CH3_scFv, anti-[*Homo sapiens* PDCD1 (proteína 1 de muerte celular programada, PD1, PD-1, CD279)] y anti-[*Homo sapiens* CTLA4 (proteína 4 asociada a los linfocitos T citotóxicos, CD152)], anticuerpo monoclonal químérico, *Homo sapiens* y humanizado, tetravalente, biespecífico;
 scFv-h-CH2-CH3, químérico y *Homo sapiens*, anti-PDCD1 y anti-CTLA4 (1-499) [scFv-V-KAPPA-VH (1-237) [V-KAPPA anti-PDCD1 Musmus/Homsap (*Mus musculus* IGKV3-2*01 (80.8%) -(IGHD) -IGKJ2*01 (91.7%) L124>V (108)/*Homo sapiens* IGKV3D-11*02 (77.7%) -(IGHD) -IGKJ4*01 (100%), CDR-IMGT [10.3.9] (27-36.54-56.93-101)) (1-111) -8-mer triglicil-seril-tetraglicil linker (112-119) -VH anti-CTLA4 (*Homo sapiens* IGHV3-30*01 (93.9%) -(IGHD) -IGHJ4*01 (100%), CDR-IMGT [8.8.11] (145-152.170-177.216-226)) (120-237)] -linker-E-coil (238-271) [6-mer diglicil-cisteinil-triglicil linker (238-243) -28-mer (glutamil-valil-dialanil-cisteinil-glutamilo-lisil)-tris(glutamil-valil-dialanil-leucil-glutamilo-lisil) motif E-coil (244-271)] -[scFc *Homo sapiens* IGHG4*01 h-CH2-CH3, G4v5 h P10, G4v21 CH2 Y15.1, T16, E18 (bisagra1-12 S10>P (281) (272-283), CH2 M15.1>Y (305), S16>T (307), T18>E (309) (284-393), CH3 (394-498), CHS K>del (499)) (272-499)], (248"-246")-disulfuro con scFv-V-KAPPA-VH, *Homo sapiens* y humanizada, anti-CTLA4 y anti-PDCD1(1'-269') [V-KAPPA anti-CTLA4 (*Homo sapiens* IGKV3-20*01 (99.0%) -IGKJ1*01 (100%), CDR-IMGT [7.3.9] (27-33.51-53.90-98)) (1'-108') -8-mer triglicil-seril-tetraglicil linker (109'-116') -VH anti-PDCD1 (*Homo sapiens* IGHV1-46*01 (81.6%) -(IGHD) -IGHJ4*01 (92.9%), CDR-IMGT [8.8.12] (142-149.167-174.213-224)) (117'-235')] -linker K-coil (236'-269') [6-mer diglicil-cisteinil-triglicil linker (236'-241') -28-mer (lisil-valil-dialanil-cisteinil-lisil-glutamilo)-tris(lisil-valil-dialanil-leucil-glutamilo) motif K-coil (242'-269')]; dímero (279-279":282-282")-bisdisulfuro, producido en las células ováricas de hamster chino (CHO) línea celular CHO-S, forma glicosilada alfa
inmunomodulador, antineoplásico

Heavy chain / Chaîne lourde / Cadena pesada

EIVLTQSPAT LSLSPGERAT LSCRASESVD NYGMSFMNWQ QQKPGQQPKL 50
 LIHAAASNQGS GPVSRFGSGG SGDTFLITIS SLEPEDFAVY FCQQSKEVPY 100
 TFGGGTKEI KGGGGGGGGQ VOLVESGGV VQFGRSLRLS CAASGFTESS 150
 YTMMHWVRQAP GKGLEWWTPI SYDGSNKHYA DSVKGRFTVS RDNSKNTLYL 200
 QMNSLRAEDT AIIYCCARTGW LGPFDYWGQG TLTVSSGGC GGGEVAACEK 250
 EVAALKEKEVA ALEKEVAALE KESKGVPCCP PCPAPEFLGG PSVFLPPKP 300
 KDTLYITREP EVTCVVVVDS QDPEVQPNW YVDGVEVHNA KTKPREEQFN 350
 STYRVVSVLT VLHQDWLNKG EYKCKVSNKG LPSSIEKTIS KAKGQREPQ 400
 VYTLPPFSQEE MTKRNQVSILTC LVKGFTYPSDI AVEWESNGQF ENNYKTTFPV 450
 LDSDGFSFLY SRLTVDKSME QEGNVFSCSV MHEALHHHYYT QKSLSLSLG 499

Light chain / Chaîne légère / Cadena ligera

EIVLTQSPGT LSLSPGERAT LSCRASGSVS SSFLAWYQQK PGQAPRLLIY 50
 GASSRATGIP DRFGSGSGST DFTLITISRL PEDFAVYCCQ QGYSSPWFIC 100
 QGTRKVEIKGG GSGGGGGVOL VQSGAEVKP GASVKVSCKA SGYSFTSYWM 150
 NWVRQAPGOG LEWIGVIVHPS DSETWLQKF KDRVITVDK STSTAYMELS 200
 SLRSEDTAVY YCARHYGTS PFAYWGQTL TVVSSGGCGG GKVAACKEV 250
 AALKKEVAAK KEKVAALKE 269

Post-translational modifications

Disulfide bridges location / Position des ponts disulfure / Posiciones de los puentes disulfuro
 Intra-H (C23-C104) anti-PDI VL: 23"-92" anti-CTLA4 VH: 141"-215 Fc: 314"-374, 420"-478

anti-PDI VL: 23"-92" anti-CTLA4 VH: 141"-215 Fc: 314"-374", 420"-478"
 Intra-L (C23-C104) anti-CTLA4 VL: 23"-89" anti-CTLA4 VH: 138"-212"
 anti-CTLA4 VL: 23"-89" anti-PDI VH: 138"-212"

Inter-H-L (CH1 10-CL 126) G6 linkers: 240-238*, 240-238*
 E- and K-coil peptides: 248-246*, 248"-246"
 Inter-H-H (h 8, h 11) 279-279*, 282-282*

N-glycosylation sites / Sites de N-glycosylation / Posiciones de N-glicosilación
 H CH2 N84.4: 350, 350"

Fucosylated complex bi-antennary CHO-type glycans / glycanes de type CHO bi-antennaires
 complejos fucosylés / glicanos de tipo CHO biantenarios complejos fucosilados.

lotazadromcelum

lotazadromcel

allogeneic mesenchymal progenitor cells prepared from subcutaneous adipose tissue of healthy donors (18-40 years old), collected by liposuction. The adipose tissue is digested and the released cells placed in culture medium containing insulin-transferrin-selenium, recombinant human basic fibroblast growth factor (bFGF), and recombinant human epidermal growth factor (EGF). The cells are frozen at an early passage (Master Cell Bank / Working Cell Bank), and then resuscitated and culture expanded to around passage 7. The cells express mesenchymal progenitor cell marker CD73, CD90, and CD105 (>95%) and do not express human leukocyte antigen (HLA) DR, CD14, and CD45 (<2%). The cells are capable to differentiate into chondroblasts under standard *in vitro* tissue culture-differentiating conditions and demonstrate the inhibitory effect of mesenchymal progenitor cells on the proliferation of T lymphocytes.
cell therapy (tissue regeneration)

lotazadromcel

cellules progénitrices mésenchymateuses allogéniques préparées à partir du tissu adipeux sous-cutané de donneurs sains (18-40 ans), prélevé par liposucción. Le tissu adipeux est digéré, et les cellules libérées sont placées dans un milieu de culture contenant de l'insuline-transferrine-sélénium, du facteur de croissance basique des fibroblastes (bFGF) humain recombinant, et du facteur de croissance épidermique (EGF) humain recombinant. Les cellules sont congelées à un stade précoce (Master Cell Bank / Working Cell Bank), puis ressuscitées et mises en culture d'amplification jusqu'au passage 7 environ. Les cellules expriment les marqueurs de cellules progénitrices mésenchymateuses CD73, CD90 et CD105 (>95%) et n'expriment pas l'antigène leucocytaire humain (HLA) DR, CD14 et CD45 (<2%). Les cellules sont capables de se différencier en chondroblastes dans des conditions standard de différenciation de culture tissulaire *in vitro* et démontrent l'effet inhibiteur des progéniteurs mésenchymateux sur la prolifération des lymphocytes T.
thérapie cellulaire (regénération tissulaire)

lotazadromcel

células progenitoras mesenquimales autólogas preparadas a partir de tejido adiposo subcutáneo de donantes sanos (entre 18-40 años de edad), recogido mediante liposucción. El tejido adiposo se digiere, y las células liberadas se ponen en medio de cultivo que contiene insulina-transferrina-selenio, factor básico de crecimiento de fibroblastos (bFGF) humano recombinante, y factor de crecimiento epidérmico (EGF) humano recombinante. Las células se congelan en un pase temprano (Banco de Células Maestro/Banco de Células de Trabajo), y después se resucitan y expanden en cultivo hasta aproximadamente 7 pasos. Las células expresan los marcadores de células progenitoras mesenquimales CD73, CD90 y CD105 (>95%) y no expresan el antígeno leucocitario humano (HLA) DR, CD14 y CD45 (<2%). Las células son capaces de diferenciarse en condroblastos bajo condiciones de cultivo estándar para diferenciación *in vitro* y demuestran el efecto inhibidor de las células progenitoras mesenquimales en la proliferación de linfocitos T.

terapia celular (regeneración tisular)

lovotibeglogenum autotemcelum #

lovotibeglogene autotemcel

autologous CD34+ hematopoietic stem cells (HSCs) obtained from mobilised peripheral blood, from patients with sickle cell disease. The cells are transduced with *betibeglogene darolentivec*, a self-inactivating human immunodeficiency virus (HIV-1)-derived lentiviral vector encoding a T87Q-mutated form of the human hemoglobin subunit beta (HBB, beta-globin) gene under the control of a human beta-globin promoter and a 3' beta-globin enhancer; the vector genome is flanked by 5' and 3' long terminal repeats (LTRs) and contains a ψ packaging signal, a Rev response element (RRE), and two polypurine tract (PPT) sequences. The CD34+ cell population was enriched using immunomagnetic microbeads, and then cultured in a stem cell growth medium, supplemented with recombinant human cytokines such as stem cell factor (SCF), FMS-related tyrosine kinase 3 ligand (Flt-3L) and thrombopoietin (TPO). The cells consist of CD34+ cells (≥70%), of which ≥56% express the transgene.

cell-based gene therapy (sickle cell disease)

lovotibéglogène autotemcel

cellules souches hématopoïétiques (HSCs) CD34+ autologues obtenues à partir de sang périphérique mobilisé, provenant de patients atteints de drépanocytose. Les cellules sont transduites avec *bétibéglogène darolentivec*, un vecteur lentiviral auto-inactivant dérivé du virus de l'immunodéficience humaine (HIV-1) codant pour une forme mutée T87Q du gène de la sous-unité bêta de l'hémoglobine humaine (HBB, bêta-globine) sous le contrôle du promoteur de la bêta-globine humaine et d'un amplificateur de la bêta-globine en 3'; le génome du vecteur est flanqué de longues répétitions terminales (LTRs) en 5' et 3' et contient un signal d'encapsidation ψ, un élément de réponse Rev (RRE) et deux séquences du tractus de polypurine central (cPPT). La population de cellules CD34+ a été enrichie à l'aide de microbilles immunomagnétiques, puis cultivée dans un milieu de croissance de cellules

souches, complété par des cytokines humaines recombinantes telles que le facteur de cellules souches (SCF), le ligand de la tyrosine kinase 3 lié au FMS (Flt-3L) et la thrombopoïétine (TPO). Les cellules sont constituées de cellules CD34+ ($\geq 70\%$), dont $\geq 56\%$ expriment le transgène.

thérapie génique à base de cellules (anémie falciforme)

lovotibeglogén autotemcel

células madre hematopoyéticas CD34+ autólogas obtenidas a partir de células movilizadas de sangre periférica de pacientes con enfermedad de células falciformes. Las células se transducen con *betibeglogene darolentivec*, un vector lentiviral derivado del virus de la inmunodeficiencia humana (VIH-1), auto inactivante, que codifica un gen de una forma mutada T87Q de la subunidad beta de la hemoglobina humana (HBB, beta-globina) bajo el control de un promotor de la beta-globina humana y un potenciador de la beta-globina en 3'; el genoma del vector está flanqueado por repeticiones terminales largas (LTRs) en 5' y 3' y contiene una señal de empaquetamiento ψ, un elemento de respuesta Rev (RRE), y dos tractos de poli-purina central (cPPT). La población de células CD34+ se enriqueció usando microbolas inmunomagnéticas, y después las células se cultivaron en un medio de cultivo de células madre, suplementado con citoquinas humanas recombinantes tales como el factor de células madre (SCF), el ligando de tirosina quinasa 3 tipo FMS (Flt-3L) y trombopoietina (TPO). Las células constan de células CD34+ ($\geq 70\%$), de las cuales $\geq 56\%$ expresan el transgen.

terapia génica basada en células (anemia drepanocítica)

lufepirsenum

lufepirsen

lufépirsen

2'-désoxyguanylyl-(3'→5')-thymidyl-(3'→5')-2'-désoxyadénylyl-(3'→5')-2'-désoxyadénylyl-(3'→5')-thymidyl-(3'→5')-thymidyl-(3'→5')-2'-désoxyguanylyl-(3'→5')-2'-désoxycytidyl-(3'→5')-2'-désoxyguanylyl-(3'→5')-2'-désoxyguanylyl-(3'→5')-2'-désoxycytidyl-(3'→5')-2'-désoxyadénylyl-(3'→5')-2'-désoxyadénylyl-

(3'→5')-2'-désoxyguanylyl-(3'→5')-2'-désoxyadénylyl-
 (3'→5')-2'-désoxyadénylyl-(3'→5')-2'-désoxyguanylyl-
 (3'→5')-2'-désoxyadénylyl-(3'→5')-2'-désoxyadénylyl-
 (3'→5')-thymidyl-(3'→5')-thymidyl-(3'→5')-2'-
 désoxyguanylyl-(3'→5')-thymidyl-(3'→5')-thymidyl-(3'→5')-
 thymidyl-(3'→5')-2'-désoxycytidyl-(3'→5')-
 thymidyl-(3'→5')-2'-désoxyguanylyl-(3'→5')-thymidyl-(3'→5')-2'-désoxycytidine
réducteur de la synthèse de la protéine alpha-1 de la jonction communicante

lufepirsén

2'-desoxiguanilil-(3'→5')-timidilil-(3'→5')-2'-desoxiadénilil-(3'→5')-2'-desoxiadénilil-(3'→5')-timidilil-(3'→5')-timidilil-(3'→5')-2'-desoxiguanilil-(3'→5')-2'-desoxicitidilil-(3'→5')-2'-desoxiguanilil-(3'→5')-2'-desoxiguanilil-(3'→5')-2'-desoxicitidilil-(3'→5')-2'-desoxiguanilil-(3'→5')-2'-desoxiguanilil-(3'→5')-2'-desoxiadénilil-(3'→5')-2'-desoxiguanilil-(3'→5')-2'-desoxiadénilil-(3'→5')-2'-desoxiguanilil-(3'→5')-2'-desoxiadénilil-(3'→5')-2'-desoxiguanilil-(3'→5')-2'-desoxicitidilil-(3'→5')-timidilil-(3'→5')-2'-desoxiguanilil-(3'→5')-timidilil-(3'→5')-timidilil-(3'→5')-2'-desoxicitidilil-(3'→5')-timidilil-(3'→5')-2'-desoxiguanilil-(3'→5')-timidilil-(3'→5')-2'-desoxicitidina
reductor de la síntesis de la proteína alfa-1 de unión gap

C₂₉₆H₃₇₁N₁₁₂O₁₈₀P₂₉ 287122-58-1

(3'→5') d(G-T-A-A-T-T-G-C-G-G-C-A-A-G-A-
 A-G-A-A-T-T-G-T-T-C-T-G-T-C)

lufotrelvirum**lufotrelvir**

(3S)-3-[(2S)-2-(4-methoxy-1*H*-indole-2-carboxamido)-4-methylpentanamido]-2-oxo-4-[(3*S*)-2-oxopyrrolidin-3-yl]butyl dihydrogen phosphate
antiviral

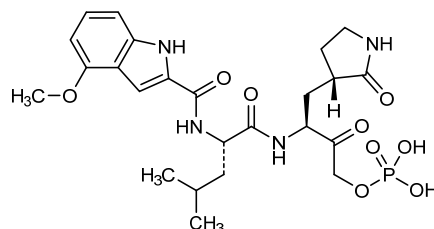
lufotrelvir

dihydrogénophosphate de (3*S*)-3-[(2*S*)-2-(4-méthoxy-1*H*-indole-2-carboxamido)-4-méthylpentanamido]-2-oxo-4-[(3*S*)-2-oxopyrrolidin-3-yl]butyle
antiviral

lufotrelvir

dihidrogenofosfato de (3*S*)-3-[(2*S*)-4-métil-2-(4-metoxi-1*H*-indol-2-carboxamido)pentanamido]-2-oxo-4-[(3*S*)-oxopirrolidin-3-il]butilo
antiviral

C₂₄H₃₃N₄O₉P 2468015-78-1



lutetium (¹⁷⁷Lu) zadavotidum guraxetanumlutetium (¹⁷⁷Lu) zadavotide guraxetan

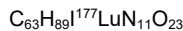
[*N*-(4S)-4-carboxy-κO-4-[4,7,10-tris(carboxy-
κ³O⁴,O⁷,O¹⁰-methyl)-1,4,7,10-tetraazacyclododecan-1-
yl-κ⁴N¹,N⁴,N⁷,N¹⁰]butanoyl]-3-iodo-D-tyrosyl-D-
phenylalanyl-N⁶-(8-{N²-[(L-glutamic acid-N-yl)carbonyl]-
L-lysine-N⁶-yl}-8-oxooctanoyl)-D-
lysinate(3-)](¹⁷⁷Lu)lutetium
antineoplastic

lutécium (¹⁷⁷Lu) zadavotide guraxétan

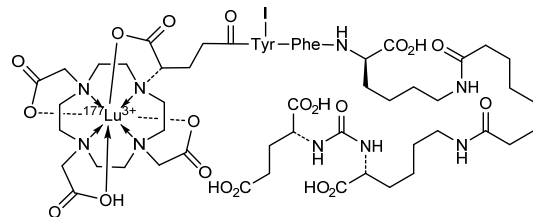
[*N*-(4S)-4-carboxy-κO-4-[4,7,10-tris(carboxy-
κ³O⁴,O⁷,O¹⁰-méthyl)-1,4,7,10-tétraazacyclododécan-1-
yl-κ⁴N¹,N⁴,N⁷,N¹⁰]butanoyl]-3-iodo-D-tyrosyl-D-
phénylalanyl-N⁶-(8-{N²-[(acide L-glutamique-N-
yl)carbonyl]-L-lysine-N⁶-yl}-8-oxooctanoyl)-D-
lysinate(3-)](¹⁷⁷Lu)lutécium
antinéoplasique

lutecio (¹⁷⁷Lu) zadavotida guraxetán

[*N*-(4S)-4-carboxi-κO-4-[4,7,10-tris(carboxi-
κ³O⁴,O⁷,O¹⁰-metil)-1,4,7,10-tetraazaciclododecan-1-il-
κ⁴N¹,N⁴,N⁷,N¹⁰]butanoil]-3-iodo-D-tyrosil-D-fenilalanil-N⁶-
(8-{N²-[(ácido L-glutámico-N-il)carbonil]-L-lisin-N⁶-il}-8-
oxooctanoil)-D-lisinato(3-)](¹⁷⁷Lu)lutecio
antineoplásico



2447131-70-4

**luxeritinibum**

luxeritinib

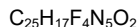
N-{3-fluoro-4-[7-(4-methyl-1*H*-imidazol-2-yl)-1-oxo-2,3-dihydro-1*H*-isoindol-4-yl]phenyl}-*N'*-(2,4,6-trifluorophenyl)urea
tyrosine kinase inhibitor, antineoplastic

luxeritinib

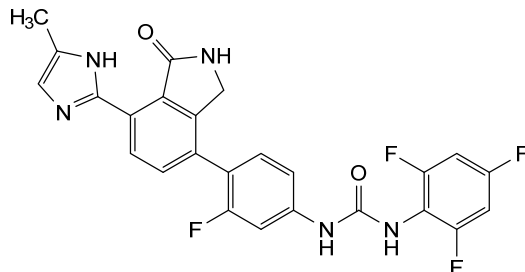
N-{3-fluoro-4-[7-(4-méthyl-1*H*-imidazol-2-yl)-1-oxo-2,3-dihydro-1*H*-isoindol-4-yl]phényl}-*N'*-(2,4,6-trifluorophényl)urée
inhibiteur de la tyrosine kinase, antinéoplasique

luxeritinib

N-{3-fluoro-4-[7-(4-metil-1*H*-imidazol-2-il)-1-oxo-2,3-dihidro-1*H*-isoindol-4-il]fenil}-*N'*-(2,4,6-trifluorofenil)urea
inhibidor de la tirosina kinasa, antineoplásico



1616428-23-9

**manidokimab #**

manidokimab

immunoglobulin G4-kappa, anti-[*Homo sapiens* IL4R (interleukin 4 receptor, IL4RA, IL-4RA, CD124)], humanized monoclonal antibody; gamma4 heavy chain humanized (1-443) [VH (*Homo sapiens* IGHV1-2*02 (81.6%) -(IGHD) -IGHJ4*01 (92.3%) L123>S (111), CDR-IMGT [8.8.9] (26-33.51-58.97-105)) (1-116)-*Homo sapiens* IGHG4*01, G4v5 h P10 (CH1 (117-214), hinge 1-12 S10>P (224) (215-226), CH2 (227-336), CH3 (337-441), CHS (442-443)) (117-443)], (130-214')-disulfide with kappa light chain humanized (1'-214') [V-KAPPA (*Homo sapiens* IGKV1-39*01 (83.2%) -IGKJ4*01 (81.8%) K123>N (103), V124>L (104), CDR-IMGT [6.3.9] (27-32.50-52.89-97)) (1'-107') -*Homo sapiens* IGKC*01 (100%), Km3 A45.1 (153), V101 (191) (108'-214')]; dimer (222-222":225-225")-bisdisulfide, produced in Chinese hamster ovary (CHO) cells, glycoform alfa

immunomodulator

manidokimab

immunoglobuline G4-kappa, anti-[*Homo sapiens* IL4R (récepteur de l'interleukine 4, IL4RA, IL-4RA, CD124)], anticorps monoclonal humanisé; chaîne lourde gamma4 humanisée (1-443) [VH (*Homo sapiens* IGHV1-2*02 (81.6%) -(IGHD) -IGHJ4*01 (92.3%) L123>S (111), CDR-IMGT [8.8.9] (26-33.51-58.97-105)) (1-116)-*Homo sapiens* IGHG4*01, G4v5 h P10 (CH1 (117-214), charnière 1-12 S10>P (224) (215-226), CH2 (227-336), CH3 (337-441), CHS (442-443)) (117-443)], (130-214')-disulfure avec la chaîne légère kappa humanisée (1'-214') [V-KAPPA (*Homo sapiens* IGKV1-39*01 (83.2%) -IGKJ4*01 (81.8%) K123>N (103), V124>L (104), CDR-IMGT [6.3.9] (27-32.50-52.89-97)) (1'-107') -*Homo sapiens* IGKC*01 (100%), Km3 A45.1 (153), V101 (191) (108'-214')]; dimère (222-222":225-225")-bisdisulfure, produit dans des cellules ovarianes de hamster chinois (CHO), glicoforme alfa

immunomodulateur

manidokimab

inmunoglobulina G4-kappa, anti-[*Homo sapiens* IL4R (receptor de la interleukina 4, IL4RA, IL-4RA, CD124)], anticuerpo monoclonal humanizado; cadena pesada gamma4 humanizada (1-443) [VH (*Homo sapiens* IGHV1-2*02 (81.6%) -(IGHD) -IGHJ4*01 (92.3%) L123>S (111), CDR-IMGT [8.8.9] (26-33.51-58.97-105)) (1-116) -*Homo sapiens* IGHG4*01, G4v5 h P10 (CH1 (117-214), bisagra 1-12 S10>P (224) (215-226), CH2 (227-336), CH3 (337-441), CHS (442-443)) (117-443)], (130-214')-disulfuro con la cadena ligera kappa humanizada (1'-214') [V-KAPPA (*Homo sapiens* IGKV1-39*01 (83.2%) -IGKJ4*01 (81.8%) K123>N (103), V124>L (104), CDR-IMGT [6.3.9] (27-32.50-52.89-97)) (1'-107') -*Homo sapiens* IGKC*01 (100%), Km3 A45.1 (153), V101 (191) (108'-214')]; dímero (222-222":225-225")-bisdisulfuro, producido en las células ováricas de hámster chino (CHO), forma glicosilada alfa

inmunomodulador

2428381-56-8

Heavy chain / Chaîne lourde / Cadena pesada
 QVQLVQSGAE VVKPGASVKV SCKTSGYTF EYTIHWVRQA PGQSLEWIGG 50
 INPNNGGTV NQKFGKVTI TVDKSTSTAY MELSSLRSED TAVYCARVR 100
 RGMGYWGGT SVTVSSASTK GPSVFLAPC SRSTSESTAA LCLCLVKDYPF 150
 EPVTVSWNSG ALTSGVHTFF AVLQSSGVS LSSVVTVFESS SLGTTKTYTCN 200
 VDHKPNTKV DKRVEKYGF PCPFCPAPEF LGGPSVFLFP PKPKDTLMIS 250
 RTPEVTCVVA DVSQEDPEVQ FNWYVDGVEV HNAKTKPREE QFNSTYRVVS 300
 VLTVLHQDWL NGKEYKCKWS NKGLPNSIEK TISAKGQP EEQVYTLPFS 350
 QEEMTKRNQVS LTCLVKGFYF SDIAVEWESN GQPENNYKTF PVFLSDGSF 400
 FLYSRLTVDK SRWQEGNVFS CSVMEALHN HYTQKSLSLS LQK 443

Light chain / Chaîne légère / Cadena ligera
 DIQMTQSPSS LSASAVGDRVT ITCRASQDVT TAVAWYQQKP GKAPKLLIYS 50
 ASYRYTGVS RFSGSGSGTD FTLLTSSVQP EDLATYYCQQ HYSAPWTFGG 100
 GTNLEIKRTV AAPSVFTIPPF SDEQLKSGTA SVVCLLNFFY PREAKVQWKR 150
 DNALQSGNSQ ESVTEQDSKD STYSLSTLT LSKADYEKHK VYACEVTHQG 200
 LSSPVTKSFN RGECA 214

Post-translational modifications
 Disulfide bridges location / Position des ponts disulfure / Posiciones de los puentes disulfuro
 Intra-H (C23-C104) 22-96 143-199 257-317 363-421
 22"-96" 143"-199" 257"-317" 363"-421"
 Intra-L (C23-C104) 23"-88" 134"-194"
 Inter-H-L (CH1 10-CL 126) 130-214" 130"-214"
 Inter-H-H (h 8, h 11) 222-222" 225-225"

N-terminal glutaminyl cyclization / Cyclisation du glutaminyle N-terminal / Ciclación del glutaminilo N-terminal
 H VH QI > pyroglutamyl (pe, 5-oxoprolyl); 1, "

N-glycosylation sites / Sites de N-glycosylation / Posiciones de N-glicosilación
 H CH2 N84.4: 293, 293"
 Fucosylated complex bi-antennary CHO-type glycans / glycanes de tipo CHO bi-antennaires complexes fucosylés / glicanos de tipo CHO biantenarios complejos fucosilados.

C-terminal lysine clipping / Coupeure de la lysine C-terminale / Recorte de lisina C-terminal
 H CHS K2: 443, 443"

marnetegragenum autotemcelum

marnetegragene autotemcel

autologous CD34+ hematopoietic cells obtained from mobilised peripheral blood, transduced with a self-inactivating, non-replicating lentiviral vector expressing human integrin β 2 (ITGB2, CD18) under the control of a cathepsin G (CatG)/c-Fes chimeric promoter; the construct is flanked by 5' and 3' long terminal repeats (LTRs) and also contains a ψ packaging signal, a Rev response element (RRE), a central polypurine tract (cPPT) sequence and the Woodchuck hepatitis virus post-transcriptional regulatory element (WPRE). The vector is pseudotyped with the envelope glycoprotein (G) of vesicular stomatitis virus (VSV). The CD34+ cell population was enriched using immunomagnetic microbeads, and the cells cultured in bags coated with a fragment of recombinant human fibronectin with medium containing stem cell factor (SCF), FMS-related tyrosine kinase 3 ligand (Flt-3L), thrombopoietin (TPO), and interleukin 3 (IL-3). Myeloid differentiated cells generated from the transduced CD34+ cells bind soluble intercellular adhesion molecule-1 (sICAM-1) upon activation.
cell-based gene therapy (leukocyte adhesion deficiency)

marnétégagène autotemcel

cellules hématopoïétiques CD34+ autologues obtenues à partir de sang périphérique mobilisé, transduites avec un vecteur lentiviral auto-inactivant et non répliquant exprimant l'intégrine β 2 humaine (ITGB2, CD18) sous le contrôle du promoteur chimérique de la cathepsine G (CatG)/c-Fes; la construction est flanquée de longues répétitions terminales (LTRs) en 5' et 3' et contient également un signal d'encapsidation ψ , un élément de réponse Rev (RRE), une séquence du tractus de polypurine central (cPPT) et

l'élément régulateur post-transcriptionnel du virus de l'hépatite de Woodchuck (WPRE). Le vecteur est pseudotypé avec la glycoprotéine de l'enveloppe (G) du virus de la stomatite vésiculaire (VSV). La population de cellules CD34+ a été enrichie à l'aide de microbilles immunomagnétiques, et les cellules ont été cultivées dans des sacs recouverts d'un fragment de fibronectine humaine recombinante avec un milieu contenant du facteur de cellules souches (SCF), du ligand de la tyrosine kinase 3 lié au FMS (Flt-3L), de la thrombopoïétine (TPO) et de l'interleukine 3 (IL-3). Les cellules myéloïdes différencieront à partir des cellules CD34+ transduites lient la molécule 1 d'adhésion intercellulaire soluble (sICAM-1) lors de l'activation.

thérapie génique à base de cellules (déficit d'adhérence leucocytaire)

marnetegragén autotemcel

células hematopoyéticas CD34+ autólogas obtenidas a partir de células movilizadas de sangre periférica, transducidas con un vector lentiviral auto-inactivante, no replicativo, que expresa la integrina humana β2 (ITGB2, CD18) bajo el control de un promotor químérico de catepsina G (CatG)/c-Fes; el constructo está flanqueado por repeticiones terminales largas (LTRs) en 5' y 3' y también contiene una señal de empaquetamiento ψ, un elemento de respuesta Rev (RRE), un tracto de poli-purina central (CPPT) y el elemento regulador post-transcripcional del virus de la hepatitis de la marmota (WPRE). El vector está pseudotipado con la glicoproteína (G) de la envuelta del virus de la estomatitis vesicular (VSV). La población de células CD34+ se enriqueció usando microbolas inmunomagnéticas, y las células se cultivaron en bolsas forradas con un fragmento de la fibronectina humana recombinante en medio de cultivo con factor de células madre (SCF), ligando de tirosina quinasa 3 tipo FMS (Flt-3L), trombopoietina (TPO), y interleukina 3 (IL-3). Las células mieloides diferenciadas que se generan a partir de las células CD34+ transducidas son capaces de unirse a la molécula de adhesión intercelular 1 soluble (sICAM-1) tras su activación.

terapia génica basada en células (deficiencia de adhesión leucocitaria)

mazorelvimabum #

mazorelvimab

immunoglobulin G1-kappa, anti-[rabies lyssavirus (rabies virus, RABV) spike glycoprotein G], monoclonal antibody; gamma1 heavy chain (1-450) [VH (*Homo sapiens*)IGHV3-48*03 (85.7%) -(IGHD) -IGHJ4*01 (92.3%) L123>M (115), CDR-IMGT [8.8.13] (26-33.51-58.97-109)) (1-120) -*Homo sapiens* IGHG1*01 (100%), G1m17,1 (CH1 K120 (217) (121-218), hinge 1-15 (219-233), CH2 (234-343), CH3 D12 (359), L14 (361) (344-448), CHS (449-450)) (121-450)], (223-219')-disulfide with kappa light chain (1'-219') [V-KAPPA Musmus/Homsap (*Mus musculus*)IGKV1-99*01 (92.0%) -IGKJ1*02 (90.0%) L124>V (109)/*Homo sapiens* IGKV2D-29*02 (88.0%) -IGKJ4*01 (91.7%), CDR-IMGT [11.3.9] (27-37.55-57.94-102)) (1'-112') -*Homo sapiens* IGKC*01 (100%), Km3 A45.1 (158), V101 (196) (113'-219')]; dimer (229-229":232-232")-bisdisulfide, produced in a Chinese hamster ovary (CHO)-DG44 cell line, glycoform alfa antiviral

mazorelvimab	immunoglobuline G1-kappa, anti-[glycoprotéine spike G du lyssavirus de la rage (virus de la rage, RABV)], anticorps monoclonal; chaîne lourde gamma1 (1-450) [VH (<i>Homo sapiens</i> IGHV3-48*03 (85.7%) - (IGHD) -IGHJ4*01 (92.3%) L123>M (115), CDR-IMGT [8.8.13] (26-33.51-58.97-109)) (1-120) - <i>Homo sapiens</i> IGHG1*01 (100%), G1m17,1 (CH1 K120 (217) (121-218), charnière 1-15 (219-233), CH2 (234-343), CH3 D12 (359), L14 (361) (344-448), CHS (449-450)) (121-450)], (223-219')-disulfure avec la chaîne légère kappa (1'-219') [V-KAPPA Musmus/Homsap (<i>Mus musculus</i> IGKV1-99*01 (92.0%) -IGKJ1*02 (90.0%) L124>V (109)/ <i>Homo sapiens</i> IGKV2D-29*02 (88.0%) -IGKJ4*01 (91.7%), CDR-IMGT [11.3.9] (27-37.55-57.94-102)) (1'-112') - <i>Homo sapiens</i> IGKC*01 (100%), Km3 A45.1 (158), V101 (196) (113'-219')]; dimère (229-229":232-232")-bisdisulfure, produit dans des cellules ovariennes de hamster chinois (CHO) lignée cellulaire CHO-DG44, glycoformé alfa antiviral
mazorelvimab	inmunoglobulina G1-kappa, anti-[glicoproteína spike G del lyssavirus de la rabia (virus de la rabia, RABV)], anticuerpo monoclonal; cadena pesada gamma1 (1-450) [VH (<i>Homo sapiens</i> IGHV3-48*03 (85.7%) -(IGHD) -IGHJ4*01 (92.3%) L123>M (115), CDR-IMGT [8.8.13] (26-33.51-58.97-109)) (1-120) - <i>Homo sapiens</i> IGHG1*01 (100%), G1m17,1 (CH1 K120 (217) (121-218), bisagra 1-15 (219-233), CH2 (234-343), CH3 D12 (359), L14 (361) (344-448), CHS (449-450)) (121-450)], (223-219')-disulfuro con la cadena ligera kappa (1'-219') [V-KAPPA Musmus/Homsap (<i>Mus musculus</i> IGKV1-99*01 (92.0%) -IGKJ1*02 (90.0%) L124>V (109)/ <i>Homo sapiens</i> IGKV2D-29*02 (88.0%) -IGKJ4*01 (91.7%), CDR-IMGT [11.3.9] (27-37.55-57.94-102)) (1'-112') - <i>Homo sapiens</i> IGKC*01 (100%), Km3 A45.1 (158), V101 (196) (113'-219')]; dímero (229-229":232-232")-bisdisulfuro, producido en las células ováricas de hámster chino (CHO) línea celular CHO-DG44, forma glicosilada alfa antiviral

2419087-89-9

Heavy chain / Chaîne lourde / Cadena pesada

EVQLVESGGG LVQPQGGSLIL SCAASGFTFS GFAMMSWVRQA PGKGLEWVAT 50
 ISSGGTYYYS PDSVMGRFTI SRDNAKNSLY LQMNSLRAED TAVYYCARRL 100
 RRNYYYSMDYW GQQGTMVTWSS ASTKGPSVFP LAPSSKSTSG GTAAALGCLVK 150
 DYFPEPVTVS WNSGALTSGV HTFPAPLVQSS GLYSLSSVVT VPSSSSLQT 200
 YICNVNHHKPS NTKVDKVKEP KSCDKRHTCP PCPAPELLGG PSVFLFPKP 250
 KDTLMISRTP EVTCVVVVDS HEDPEVKFNW YVDGVEVHNA KTKPREEQYN 300
 STYRVVSVLT VLHQDWLNKG EYKCKVSNKA LPAPIEKTTIS KAKGQPREQP 350
 VYTLPPSRDE LTKNQVSLSLQ LVKGFYPSDI AWEWESNGQP ENNYKRTFPV 400
 LDSDGFFFLY SKLTVDKSRW QQGNVFSCSV MHEALHNHYT QKSLSLSPKG 450

Light chain / Chaîne légère / Cadena ligera

DIVMTQSPLS LPVPTGEGPAS ISCKSTKSLL NSDGFTYLDW YLQKPGQSPQ 50
 LLIYLVSNRFK SGVPDRFGSGS GSGTDFTLKI SRVEAEADGVV YYCFCGSNYLP 100
 FTFGGGTKVE IKRTVAAPSV FIFPPSDEQL KSGTASVWCL LNNFYPREAK 150
 VQWKVNDNALQ SGNSQESVTE QDSKDSTYSL SSTLTLSKAD YEKHKVYACE 200
 VTHQGLLSSPV TKSFNRGEC 219

Post-translational modifications

Disulfide bridges location / Position des ponts disulfure / Posiciones de los puentes disulfuro

Intra-H (C23-C104) 22-96 147-203 264-324 370-428

22"-96" 147"-203" 264"-324" 370"-428"

Intra-L (C23-C104) 23"-93" 139"-199"

23""-93"" 139""-199""

Inter-H-I (h5-CL 126) 223-219' 223"-219"

Inter-H-II (h 11, h 14) 229-229" 232-232"

N-glycosylation sites / Sites de N-glycosylation / Posiciones de N-glicosilación

H CH2 N84:4:300, 300"

Fucosylated complex bi-antennary CHO-type glycans / glycanes de type CHO bi-antennaires complexes fucosylés / glicanos de tipo CHO biantenarios complejos fucosilados.

C-terminal lysine clipping / Coupe de la lysine C-terminale / Recorte de lisina C-terminal
H CHS K2: 450, 450"

melredableukinum alfa #

melredableukin alfa

human immunoglobulin G1 non-binding variant (heavy chain 1-444, L²³²>A, L²³³>A, P³²⁷>G) fused at the C-terminus of the heavy chain via peptidyl linker⁴⁴⁵GGGGSGGGGGSGGGGS⁴⁵⁹ to human interleukin 2 (1-33, 460-592 in the current sequence) variant (T³>A⁴⁶², N⁸⁸>D⁵⁴⁷, C¹²⁵>A⁵⁸⁴), dimer, produced in Chinese hamster ovary (CHO) cells, glycoform alfa;
 human non-binding immunoglobulin G1 kappa (IgG1-k) fused via a peptide linker to a mutated human interleukin 2 (IL2 mutein): fusion protein combining a gamma1 heavy chain (1-444) [*Homo sapiens* IGHV3-23*01; *Homo sapiens*IGHJ4*01; *Homo sapiens*IGHG1*01; VH: 1-115; CH1: 116-213; hinge: 214-228; CH2: 229-338 (L²³²>A, L²³³>A, P³²⁷>G); CH3: 339-443; CHS: 444-444 (K445del); CDR Kabat H1: SYAMS (31-35); CDR Kabat H2: AISGSGGSTYYADSVKG (50-66); CDR Kabat H3: GSGFDY (99-104)], a (G₄S)₃ peptide linker (445-459), and *Homo sapiens* interleukin 2 (460-592) [T³>A, N⁸⁸>D⁵⁴⁷, A¹²⁵>C⁵⁸⁴] -variant, (218-215')-disulfide with kappa light chain (1'-215') [*Homo sapiens* IGKV3-20*01; *Homo sapiens*IGKJ1*01; *Homo sapiens*IGKC*01; VL: 1-108; CL: 109-215; CDR Kabat L1: RASQSVSSSYLA (24-35); CDR Kabat L2: GASSRAT (51-57); CDR Kabat L3: QQYGSSPLT (90-98)]; dimer (229-229"-232-232")-bisdisulfide, produced in Chinese hamster ovary (CHO) cells, glycoform alfa
immunomodulator

melrédableukine alfa

variant non liant de l'immunoglobuline G1 humaine (chaîne lourde 1-444, L²³²>A, L²³³>A, P³²⁷>G) fusionné à l'extrémité C-terminale de la chaîne lourde, via une liaison peptidique⁴⁴⁵GGGGSGGGGGSGGGGS⁴⁵⁹, au variant (T³>A⁴⁶², N⁸⁸>D⁵⁴⁷, C¹²⁵>A⁵⁸⁴) de l'interleukine 2 humaine (1-33, 460-592 dans la séquence actuelle), dimère, produit dans des cellules ovariennes de hamster chinois (CHO), glycoforme alfa;
 immunoglobuline G1 kappa (IgG1-k) non liante humaine, fusionnée via une liaison peptidique à une interleukine 2 humaine mutée (IL2 mutéine): protéine de fusion combinant une chaîne lourde gamma1 (1-444) [*Homo sapiens* IGHV3-23*01; *Homo sapiens*IGHJ4*01; *Homo sapiens*IGHG1*01; VH: 1-115; CH1: 116-213; charnière: 214-228; CH2: 229-338 (L²³²>A, L²³³>A, P³²⁷>G); CH3: 339-443; CHS: 444-444 (K445del); CDR Kabat H1: SYAMS (31-35); CDR Kabat H2: AISGSGGSTYYADSVKG (50-66); CDR Kabat H3: GSGFDY (99-104)], une liaison peptidique (G₄S)₃ (445-459) et le variant [T³>A, N⁸⁸>D⁵⁴⁷, A¹²⁵>C⁵⁸⁴] de l'interleukine 2 d'*Homo sapiens* (460-592), (218-215')-disulfure avec une chaîne légère kappa (1'-215') [*Homo sapiens* IGKV3-20*01; *Homo sapiens*IGKJ1*01; *Homo sapiens*IGKC*01; VL: 1-108; CL: 109-215; CDR Kabat L1: RASQSVSSSYLA (24-35); CDR Kabat L2: GASSRAT (51-57); CDR Kabat L3: QQYGSSPLT (90-98)]; dimère (229-229"-232-232")-bisdisulfure, produit dans des cellules ovariennes de hamster chinois (CHO), glycoforme alfa
immunomodulateur

melredableukina alfa

variante no vinculante de inmunoglobulina humana G1 (cadena pesada 1-444, L²³²>A, L²³³>A, P³²⁷>G) fusionada a la terminal C de la cadena pesada, a través de un enlace peptidil ⁴⁴⁵GGGGGGGGGGGGGG⁴⁵⁹, a la interleukina humana 2 (1-33, 460-592 en la secuencia actual) variante (T³>A⁴⁶², N⁸⁸>D⁵⁴⁷, C¹²⁵>A⁵⁸⁴), dímero, producida en células ováricas de hámster chino (CHO), glicoforma alfa; inmunoglobulina G1 kappa (IgG1-k) no ligante humana, fusionada a través de un péptido de unión a una interleukina 2 humana mutada (IL2 mutéfina): proteína de fusión que combina una cadena pesada gamma1 (1-444) [*Homo sapiens* IGHV3-23*01; *Homo sapiens* IGHJ4*01; *Homo sapiens*IGHG1*01; VH: 1-115; CH1: 116-213; bisagra: 214-228; CH2: 229-338 (L²³²>A, L²³³>A, P³²⁷>G), CH3: 339-443; CHS: 444-444 (K445del); CDR Kabat H1: SYAMS (31-35); CDR Kabat H2: AISGSGGSTYYADSVKG (50-66); CDR Kabat H3: GSGFDY (99-104)], un péptido de unión (G₄S)₃ (445-459) y la variante [T³>A, N⁸⁸>D⁵⁴⁷, A¹²⁵>C⁵⁸⁴] de interleukina 2 de *Homo sapiens* (460-592), (218-215')-disulfuro con la cadena ligera kappa (1'-215') [*Homo sapiens* IGKV3-20*01; *Homo sapiens* IGKJ1*01; *Homo sapiens* IGKC*01; VL: 1-108; CL: 109-215; CDR Kabat L1: RASQSVSSSYLA (24-35); CDR Kabat L2: GASSRAT (51-57); CDR Kabat L3: QQYGSSPLT (90-98)]; dímero (229-229":232-232")-bisdisulfuro, producido en células ováricas de hámster chino (CHO), glicoforma alfa *inmunomodulador*

2056881-92-4

Heavy chain / Chaîne lourde / Cadena pesada

EVQLLESGGG LVQPGGSSLRL SCAASGFTFS	SYAMSWVRQA PGKGLEWVSA	50
ISGGGGSTYY ADSVKGRFTI SRDNRSNTLY LQMNSLRAED TAVYYCAKGS	100	
GFDYWQGQTL VTVSSASTKG PSVFPFLAPSS KSTSGGTAAAL GCLVKDYFPE	150	
PVTVSWNSGA LTSGVHTFPV LQSSGLYSL SSVVTPVSSS LGOTYICNV	200	
NHKPSNTKVD KKVEPKSCDK THTCPPCPAP F#AAGGPSVFL FFPKPKDTLM	250	
ISRTPEVTCV VVDVSHEDPE VKFNWYVWDGE EVHNAKTKPR EEQYNSTYRV	300	
VSVTLVHQD WLNGKEYCKK VSNKAI#API EKTISKAKGQ PREQQVYTLP	350	
PSRDELTKND VSLTCLVKGF YPSDIATEWV SNGQPENNNY TTTPVLDSDG	400	
SFFFLYSKLT DKSRRQOQGVN FSCSVMHEAL HHNYTQKSLS LSPCGGGGSG	450	
GGGGGGGG FASSTTRKTO LQLEHLLLDL QMILNGINNY KNPKRLTRMLT	500	
FKFYMFKKAT ELKHLQCLEE ELKFLEEVLN LAQSKNFHLR PRDLI#DINV	550	
IVLELKGSSET TFMCEYADET ATIVEFLRNW ITFAQSIIST LT	592	

Light chain / Chaîne légère / Cadena ligera

EIVLTQSPGT LSLSFGERAT LSCRASQSVS SSYLAWSYQQE PQQAPRLLIY	50
GASSRATGIP DRFGSGGSGGT DFTLTISRLR PEDFAVYCCQ QVGSSPLTGF	100
QGKTVKEIKRT VAAPSVFIFPF PSDEQLKSGT ASVVCLLNNF YFREAKVQNK	150
VDNALGSNS QESVTEQDSK DSTYSLSSTL TLSKADYEKH KVYACEVTHQ	200
GLSSPVTKSF NRGEQ	215

Mutation sites / Sites de mutation / Posiciones de mutación

IgG1: L232>**A**, L233>**A**, P327>**G**; IL2: T462>**A**, N547>**D**, C584>**A**
 IgG1: L232">**A**, L233">**A**, P327">**G**; IL2: T462">**A**, N547">**D**, C584">**A**

Peptide linker / Peptide liant / Péptido de unión
 445 GGGGGGGGGGGG 459 (1-15)

Post-translational modifications

Disulfide bridges location / Position des ponts disulfure / Posiciones de los puentes disulfuro
 Intra-H IgG1: 22-96 142-198 259-319 365-423 IL2: 517-564
 IgG1: 22"-96" 142"-198" 259"-319" 365"-423" IL2: 517"-564"
 Intra-L 23"-89" 135"-195"
 23"-89" 135"-195"
 Inter-H-L 218-215' 218"-215"
 Inter-H-H 224-224" 227-227"

Glycosylation sites / Sites de glycosylation / Posiciones de glicosilación

HCH2N84.4:N295, N295"
 Fucosylated complex bi-antennary CHO-type glycans / glycanes de type CHO bi-antennaires complexes fucosylés / glicanos de tipo CHO biantenarios complejos fucosilados

mezigdomidum

mezigdomide

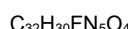
(8^3S)-1²-fluoro-7¹,8²,8⁶-trioxo-7¹,7³-dihydro-6-oxa-7(4,2)-isoindola-2(1,4)-piperazina-8(3)-piperidina-1(1),4(1,4)-dibenzenoctaphane-1⁴-carbonitrile
antineoplastic

mézigdomide

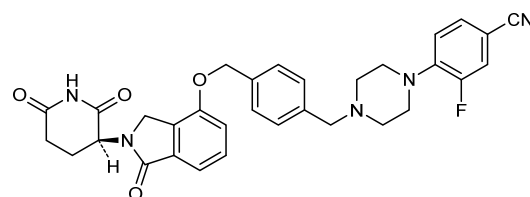
(8^3S)-1²-fluoro-7¹,8²,8⁶-trioxo-7¹,7³-dihydro-6-oxa-7(4,2)-isoindola-2(1,4)-pipérazina-8(3)-pipéridina-1(1),4(1,4)-dibenzénaoctaphane-1⁴-carbonitrile
antineoplastique

mezigdomida

(8^3S)-1²-fluoro-7¹,8²,8⁶-trioxo-7¹,7³-dihidro-6-oxa-7(4,2)-isoindola-2(1,4)-piperazina-8(3)-piperidina-1(1),4(1,4)-dibencenoctafano-1⁴-carbonitrido
antineoplásico



2259648-80-9

**mivorilanerum**

mivorilaner

3-[(5S)-5-(3,5-dichloro-4-fluorophenyl)-5-(trifluoromethyl)-4,5-dihydro-1,2-oxazol-3-yl]-N-[2-[(2,2-difluoroethyl)amino]-2-oxoethyl]-5,6-dihydro-4H-cyclopenta[c]thiophene-1-carboxamide
antiparasitic (veterinary use)

mivorilaner

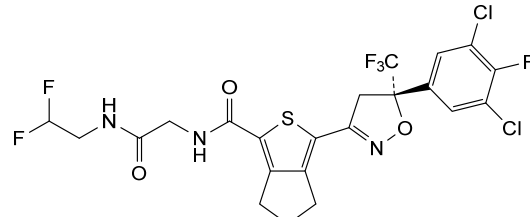
3-[(5S)-5-(3,5-dichloro-4-fluorophényl)-5-(trifluorométhyl)-4,5-dihydro-1,2-oxazol-3-yl]-N-[2-[(2,2-difluoroéthyl)amino]-2-oxoéthyl]-5,6-dihydro-4H-cyclopenta[c]thiophène-1-carboxamide
antiparasitaire (usage vétérinaire)

mivorilaner

3-[(5S)-5-(3,5-dicloro-4-fluorofenil)-5-(trifluorometil)-4,5-dihidro-1,2-oxazol-3-il]-N-[2-[(2,2-difluoroetil)amino]-2-oxoetil]-5,6-dihidro-4H-ciclopenta[c]tiofeno-1-carboxamida
antiparasitario (uso veterinario)



1414642-93-5



morponidazolum

morponidazole

rac-(2*R*)-1-(2-methyl-5-nitro-1*H*-imidazol-1-yl)-3-(morpholin-4-yl)propan-2-ol
antibacterial

morponidazole

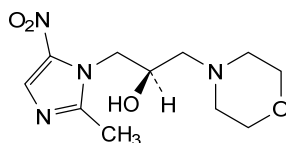
rac-(2*R*)-1-(2-méthyl-5-nitro-1*H*-imidazol-1-yl)-3-(morpholin-4-yl)propan-2-ol
antibactérien

morponidazol

rac-(2*R*)-1-(2-metil-5-nitro-1*H*-imidazol-1-il)-3-(morfolin-4-il)propan-2-ol
antibacteriano

C₁₁H₁₈N₄O₄

92478-27-8



and enantiomer
et énantiomère
y enantiómero

motacabtagenum lurevgedleucelum #

motacabtagene lurevgedleucel

allogeneic T cells obtained from peripheral blood by leukapheresis, genetically modified by CRISPR/Cas9 (clustered regularly interspaced short palindromic repeats/CRISPR-associated protein 9) mediated gene editing consisting of two guide RNAs (gRNAs) introduced transiently as CAS9-gRNA ribonucleoprotein (RNP) complex for the targeted disruption of the T cell receptor alpha chain constant (TRAC) and β2 microglobulin (B2M) loci and the insertion of an anti-B cell maturation antigen (BCMA) CAR transgene into the TRAC locus via an adeno-associated virus serotype 6 (AAV6) vector. The CAR is composed of a humanized single-chain variable fragment (scFv) targeting BCMA, followed by a CD8 hinge and transmembrane region, a 4-1BB (CD137) co-stimulatory domain and a CD3ζ signalling domain. Expression of the CAR is driven by the elongation factor, EF-1α, promoter and is terminated by a synthetic poly A sequence. The BCMA expression cassette is flanked by two TRAC homology arms guiding the expression cassette to the TRAC locus. The T cells are cultured in the presence of growth medium containing interleukin 2 (IL-2) and 7 (IL-7) and are ≥30% CAR+ T cells, ≤0.4% TCR+ and ≤30% B2M+. *cell-based gene therapy (antineoplastic)*

motacabtagène lurévgedleucel

lymphocytes T allogéniques obtenus à partir de sang périphérique par leucaphérèse, génétiquement modifiés par édition génique médiée par CRISPR/Cas9 (courtes répétitions palindromiques groupées et régulièrement espacées / protéine 9 associée à CRISPR), consistant en deux guides ARN (ARNg) introduits temporairement sous forme de complexe ribonucléoprotéique CAS9-ARNg pour la rupture ciblée des loci de la partie constante de la chaîne alpha du récepteur des lymphocytes T (TRAC) et de la β2 microglobuline (B2M), et l'insertion d'un transgène CAR de l'antigène de maturation des cellules B (BCMA)

dans le locus TRAC via un vecteur du virus adéno-associé de sérotype 6 (AAV6). Le CAR est composé d'un fragment variable à chaîne unique (scFv) humanisé ciblant BCMA, suivi d'une charnière CD8 et d'une région transmembranaire, d'un domaine costimulateur 4-1BB (CD137) et d'un domaine de signalisation CD3 ζ . L'expression du CAR est dirigée par le promoteur du facteur d'elongation EF-1 α et terminée par une séquence poly A synthétique. La cassette d'expression BCMA est flanquée de deux bras d'homologie TRAC guidant la cassette d'expression vers le locus TRAC. Les lymphocytes T sont cultivés en présence de milieu de croissance contenant de l'interleukine 2 (IL-2) et 7 (IL-7) et sont $\geq 30\%$ des lymphocytes CAR+ T, $\leq 0,4\%$ TCR+ et $\leq 30\%$ B2M+. *thérapie génique à base de cellules (antinéoplasique)*

motacabtagén lurevgedleuel

linfocitos T alogénicos obtenidos de sangre periférica mediante leucocitofragia, modificados genéticamente por edición genética mediada por CRISPR/Cas9 (repeticiones palindrómicas cortas agrupadas y espaciadas regularmente /proteína asociada a CRISPR 9) que consta de dos ARNs guía (ARNg) introducidos de forma transitoria como un complejo de ribonucleoproteína (RNP) de Cas9-ARNg para la ruptura dirigida de los loci de la cadena constante alfa del receptor del linfocito T (TRAC) y de la $\beta 2$ microglobulina (B2M) y la inserción del transgen para un receptor de antígeno químérico (CAR) anti-antígeno de maduración de linfocitos B (BCMA) en el locus TRAC por medio de un vector de virus adenoasociado de serotipo 6 (AAV6). El CAR está compuesto por un fragmento de cadena variable sencilla (scFV) humanizado dirigido a BCMA, seguido de una región bisagra y transmembrana de CD8, un dominio coestimulador de 4-1BB (CD137) y un dominio de señalización de CD3 ζ . La expresión del CAR está dirigida por el promotor del factor de elongación EF-1 α y terminada por una secuencia polyA sintética. El casete de expresión de BCMA está flanqueado por dos brazos homólogos de TRAC que guían el casete de expresión al locus TRAC. Los linfocitos T se cultivan en presencia de medio de crecimiento que contiene interleukina 2 (IL-2) y 7 (IL-7) y son $\geq 30\%$ linfocitos T CAR+, $\leq 0,4\%$ TCR+ y $\leq 30\%$ B2M+. *terapia génica basada en células (antineoplásico)*

movronersen

movronersen

*all-P-ambo-2'-O-(2-methoxyethyl)-P-thioadenyllyl-(3'→5')-2'-O-(2-methoxyethyl)-5-methoxycytidyllyl-(3'→5')-2'-O-(2-methoxyethyl)-P-thioadenyllyl-(3'→5')-2'-O-(2-methoxyethyl)-P-thioguananyllyl-(3'→5')-2'-O-(2-methoxyethyl)-P-thioadenyllyl-(3'→5')-P-thiothymidyllyl-(3'→5')-2'-deoxy-P-thioadenyllyl-(3'→5')-P-thiothymidyllyl-(3'→5')-P-thiothymidyllyl-(3'→5')-P-thiothymidyllyl-(3'→5')-P-thiothymidyllyl-(3'→5')-P-thiothymidyllyl-(3'→5')-2'-deoxy-P-thioguananyllyl-(3'→5')-P-thiothymidyllyl-(3'→5')-P-thiothymidyllyl-(3'→5')-2'-O-(2-methoxyethyl)-5-methylcytidyllyl-(3'→5')-2'-O-(2-methoxyethyl)-5-methyluridyllyl-(3'→5')-2'-O-(2-methoxyethyl)-P-thioguananyllyl-(3'→5')-2'-O-(2-methoxyethyl)-5-methyl-P-thiocytidyllyl-(3'→5')-2'-O-(2-methoxyethyl)-5-methylcytidine
alpha synuclein synthesis reducer*

movronersen

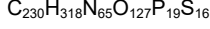
tout-P-ambo-2'-O-(2-méthoxyéthyl)-P-thioadénylyl-(3'→5')-2'-O-(2-méthoxyéthyl)-5-méthylcytidylyl-(3'→5')-2'-O-(2-méthoxyéthyl)-P-thioadénylyl-(3'→5')-2'-O-(2-méthoxyéthyl)-P-thioadénylyl-(3'→5')-2'-désoxy-P-thioadénylyl-(3'→5')-P-thiothymidylyl-(3'→5')-P-thiothymidylyl-(3'→5')-P-thiothymidylyl-(3'→5')-P-thiothymidylyl-(3'→5')-P-thiothymidylyl-(3'→5')-P-thiothymidylyl-(3'→5')-2'-désoxy-P-thioguanlyl-(3'→5')-P-thiothymidylyl-(3'→5')-P-thiothymidylyl-(3'→5')-2'-O-(2-méthoxyéthyl)-5-méthylcytidylyl-(3'→5')-2'-O-(2-méthoxyéthyl)-5-méthyluridyl-(3'→5')-2'-O-(2-méthoxyéthyl)-P-thioguanlyl-(3'→5')-2'-O-(2-méthoxyéthyl)-5-méthyl-P-thiocytidylyl-(3'→5')-2'-O-(2-méthoxyéthyl)-5-méthylcytidine

réducteur de la synthèse de l'alpha-synucléine

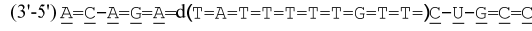
movronersén

todo-P-ambo-2'-O-(2-metoxietil)-P-tioadenilil-(3'→5')-5-metil-2'-O-(2-metoxietil)citidilil-(3'→5')-2'-O-(2-metoxietil)-P-tioadenilil-(3'→5')-2'-O-(2-metoxietil)-P-tioadenilil-(3'→5')-P-tiotimidilil-(3'→5')-2'-desoxi-P-tioadenilil-(3'→5')-P-tiotimidilil-(3'→5')-P-tiotimidilil-(3'→5')-P-tiotimidilil-(3'→5')-P-tiotimidilil-(3'→5')-P-tiotimidilil-(3'→5')-2'-desoxi-P-tioguanilil-(3'→5')-P-tiotimidilil-(3'→5')-P-tiotimidilil-(3'→5')-5-metil-2'-O-(2-metoxietil)citidilil-(3'→5')-5-metil-2'-O-(2-metoxietil)uridilil-(3'→5')-2'-O-(2-metoxietil)-P-tioguanilil-(3'→5')-5-metil-2'-O-(2-metoxietil)-P-tiocitidilil-(3'→5')-5-metil-2'-O-(2-metoxietil)citidina

reductor de la síntesis de la alfa-sinucléina



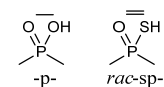
2411937-33-0

Legend:

$\underline{\text{C}}$ & $\underline{\text{U}}$: 2'-O-(2-methoxyethyl)-5-methylnucleotide

$\underline{\text{A}}$ & $\underline{\text{G}}$: 2'-O-(2-methoxyethyl)nucleotide

X : 2'-deoxynucleotide

**mozafancogenum autotemcelum #**

mozafancogene autotemcel

autologous CD34+ cells obtained from mobilised peripheral blood, transduced with a self-inactivating lentiviral vector expressing human Fanconi anemia complementation group A (FANCA) under the control of a human phosphoglycerate kinase (PGK) promoter; the construct is flanked by 5' and 3' long terminal repeats (LTRs) and also contains a ψ packaging signal, a Rev response element (RRE), a central polypyrimidine tract (cPPT) sequence and the Woodchuck hepatitis virus post-transcriptional regulatory element (WPRE). The vector is pseudotyped with the envelope glycoprotein (G) of vesicular stomatitis virus (VSV). The CD34+ cell population was enriched using immunomagnetic microbeads, and the cells cultured in bags coated with a fragment of recombinant human fibronectin in the presence of medium containing stem cell factor (SCF), FMS-related tyrosine kinase 3 ligand (Flt-3L), thrombopoietin (TPO), interleukin 3 (IL-3)) and the TNF-α inhibitor *etanercept*. Myeloid differentiated cells generated from the transduced CD34+ cells are able to form colonies in the presence of *mitomycin* (mitomycin-C, MMC). *cell-based gene therapy (Fanconi's anaemia)*

mozafancogène autotemcel

cellules CD34+ autologues obtenues à partir de sang périphérique mobilisé, transduites avec un vecteur lentiviral auto-inactivant exprimant le groupe A de complémentation de l'anémie de Fanconi (FANCA) humaine sous le contrôle du promoteur de la phosphoglycérate kinase (PGK) humaine; la construction est flanquée de longues répétitions terminales (LTRs) en 5' et 3' et contient également un signal d'encapsulation ψ, un élément de réponse Rev (RRE), une séquence du tractus de polyuridine central (cPPT) et l'élément régulateur post-transcriptionnel du virus de l'hépatite de Woodchuck (WPRE). Le vecteur est pseudotypé avec la glycoprotéine de l'enveloppe (G) du virus de la stomatite vésiculaire (VSV). La population de cellules CD34+ a été enrichie à l'aide de microbilles immunomagnétiques, et les cellules ont été cultivées dans des sacs recouverts d'un fragment de fibronectine humaine recombinante en présence de milieu contenant du facteur de cellules souches (SCF), du ligand de la tyrosine kinase 3 lié au FMS (Flt-3L), de la thrombopoïétine (TPO), de l'interleukine 3 (IL-3) et d'*étanercept*, un inhibiteur du TNF-α. Les cellules myéloïdes différencieront générées à partir des cellules CD34+ transduites sont capables de former des colonies en présence de *mitomycine* (mitomycin-C, MMC).

thérapie génique à base de cellules (anémie de Fanconi)

mozafancogén autotemcel

células CD34+ autólogas obtenidas a partir de células movilizadas de sangre periférica, transducidas con un vector lentiviral auto-inactivante que expresa la anemia de Fanconi, grupo de complementación A (FANCA) humana, bajo el control de un promotor de la fosfoglicerato quinasa (PGH) humana; el constructo está flanqueado por repeticiones terminales largas (LTRs) en 5' y 3' y también contiene una señal de empaquetamiento ψ, un elemento de respuesta Rev (RRE), un trácto de poli-purina central (CPPT) y el elemento regulador post-transcripcional del virus de la hepatitis de la marmota (WPRE). El vector está seudotipado con la glicoproteína (G) de la envuelta del virus de la estomatitis vesicular (VSV). La población de células CD34+ se enriqueció usando microbolas inmunomagnéticas, y las células se cultivaron en bolsas forradas con un fragmento de la fibronectina humana recombinante en medio de cultivo con factor de células madre (SCF), ligando de tirosina quinasa 3 tipo FMS (Flt-3L), trombopoietina (TPO), interleukina 3 (IL-3) y el inhibidor de TNF-α *etanercept*. Las células mieloides diferenciadas que se generan a partir de las células CD34+ transducidas son capaces de formar colonias en presencia de *mitomicina* (mitomicina C, MMC).

terapia génica basada en células (la anemia de Fanconi)

mupadolimabum #

mupadolimab

immunoglobulin G1-kappa, anti-[*Homo sapiens* NT5E (5'-nucleotidase ecto, 5' nucleotidase, 5'-NT, NT5, CD73)], humanized monoclonal antibody; gamma1 heavy chain humanized (1-452) [VH (*Homo sapiens*IGHV1-69*06 (82.7%) -(IGHD) -IGHJ4*01 (92.9%), CDR-IMGT [8.8.15] (26-33.51-58.97-111)) (1-122) -*Homo sapiens*IGHG1*01, G1m17,1, G1v36 CH2 N84.4>Q (CH1 K120 (219) (123-220), hinge 1-15 (221-235), CH2 N84.4>Q (302) (236-345), CH3 D12 (361), L14 (363) (346-450), CHS (451-452)) (123-452)], (225-218')-disulfide with kappa light chain humanized (1'-218') [V-KAPPA (*Homo sapiens*IGKV3D-11*02 (76.6%) -IGKJ1*01 (91.7%), CDR-IMGT [10.3.9] (27-36.54-56.93-101)) (1'-111') -*Homo sapiens*IGKC*01 (100%), Km3 A45.1 (157), V101 (195) (112'-218')]; dimer (231-231":234-234")-bisdisulfide, produced in Chinese hamster ovary (CHO)-K1SV cell line lacking the glutamine synthetase gene (GS-KO), glycoform alfa *immunostimulant*

mupadolimab

immunoglobuline G1-kappa, anti-[*Homo sapiens* NT5E (5' ecto nucléotidase, 5' nucleotidase, 5'-NT, NT5, CD73)], anticorps monoclonal humanisé; chaîne lourde gamma1 humanisée (1-452) [VH (*Homo sapiens*IGHV1-69*06 (82.7%) -(IGHD) -IGHJ4*01 (92.9%), CDR-IMGT [8.8.15] (26-33.51-58.97-111)) (1-122) -*Homo sapiens*IGHG1*01, G1m17,1, G1v36 CH2 N84.4>Q (CH1 K120 (219) (123-220), charnière 1-15 (221-235), CH2 N84.4>Q (302) (236-345), CH3 D12 (361), L14 (363) (346-450), CHS (451-452)) (123-452)], (225-218')-disulfure avec la chaîne légère kappa humanisée (1'-218') [V-KAPPA (*Homo sapiens*IGKV3D-11*02 (76.6%) -IGKJ1*01 (91.7%), CDR-IMGT [10.3.9] (27-36.54-56.93-101)) (1'-111') -*Homo sapiens*IGKC*01 (100%), Km3 A45.1 (157), V101 (195) (112'-218')]; dimère (231-231":234-234")-bisdisulfure, produit dans des cellules ovarianes de hamster chinois (CHO) lignée cellulaire CHO-K1SV ne présentant pas le gène de la glutamine synthétase (GS-KO), glycoforme alfa *immunostimulant*

mupadolimab

inmunoglobulina G1-kappa, anti-[*Homo sapiens* NT5E (5' ecto nucleotidasa, 5' nucleotidasa, 5'-NT, NT5, CD73)], anticuerpo monoclonal humanizado; cadena pesada gamma1 humanizada (1-452) [VH (*Homo sapiens*IGHV1-69*06 (82.7%) -(IGHD) -IGHJ4*01 (92.9%), CDR-IMGT [8.8.15] (26-33.51-58.97-111)) (1-122) -*Homo sapiens*IGHG1*01, G1m17,1, G1v36 CH2 N84.4>Q (CH1 K120 (219) (123-220), bisagra 1-15 (221-235), CH2 N84.4>Q (302) (236-345), CH3 D12 (361), L14 (363) (346-450), CHS (451-452)) (123-452)], (225-218')-disulfuro con la cadena ligera kappa humanizada (1'-218') [V-KAPPA (*Homo sapiens*IGKV3D-11*02 (76.6%) -IGKJ1*01 (91.7%), CDR-IMGT [10.3.9] (27-36.54-56.93-101)) (1'-111') -*Homo sapiens*IGKC*01 (100%), Km3 A45.1 (157), V101 (195) (112'-218')]; dímero (o231-231":234-234")-bisdisulfuro, producido en las células ováricas de hámster chino (CHO) línea celular CHO-K1SV en ausencia del gen glutamina sintetasa (GS-KO), forma glicosilada alfa *inmunoestimulante*

2451856-97-4

Heavy chain / Chaîne lourde / Cadena pesada
 QVQLVQSGAE VEKPGASVKV SCKASGYTFT SYWITWVRQA PGQGLEWMGD 50
 TYPGSNTNN NEKFKTRVTI TADKSTSTAY MELSSLRSED TAVYYCAKEG 100
 GLTTEDYALR YWGQGTLVTV SSASTKGPSV FPLAPSKST SGGTAALGCL 150
 VKDYFEEPVLT VSWWNNGALTS GVHTFPAVLQ SSGLYSLSVV VIVFPSSSLGT 200
 QTYYCNVNHH PSNTKVKDKV KV EPKSCDKTHT CPCCPAPELL GCPSPVFLFP 250
 KPKDTLMISR TPEVTCVUVVD VSHEDEPEVKF NWYVUDGEVEH NAKTKPREEQ 300
 YQSTYRVVSV ITVLHQDWLN GKELYCKVSN KALPAPIEKT ISKAKGQPRE 350
 PQVYTLPPSR DELTKNQVSL TCLVKGFYPS DIAVEWESNG QEPENNYKTTPE 400
 PVLDSDGSFF LYSLKTVDKS RWQQQGNVFC SVMHEALHNH YTQKSLSSLSP 450
 GK 452

Light chain / Chaîne légère / Cadena ligera
 EIVLTQSPAT LSLSPEGERAT LSCRASKNVS TSGYSYMHWY QQKPGQAPRL 50
 LIYLASNLES GIPPRFSGSG YGTDFTLTIN NIESEDAAYY FCQHSRELFF 100
 TFGQGTKEVI KRTVAAPSVF IIPPSDEQLK SGTAGSVCLL NNFPYREAKV 150
 QWKVDNALQS GNSQESVTEQ DSKDSTYSLS STLTLKADY EKHKVYACEV 200
 THQGLSSFVT KSFNRGEC 218

Post-translational modifications
 Disulfide bridges location / Position des ponts disulfure / Posiciones de los puentes disulfuro
 Intra-H (C23-C104) 22-96 149-205 266-326 372-430
 22"-96" 149"-205" 266"-326" 372"-430"
 Intra-L (C23-C104) 23"-92" 138"-198"
 23"-92" 138"-198"
 Inter-H-L (h 5-CL 126) 225-218" 225"-218"
 Inter-H-H (h 11, h 14) 231-231" 234-234"

N-terminal glutaminyl cyclization / Cyclisation du glutaminyle N-terminal / Ciclación del glutamínico N-terminal
 H VH Q1 > pyroglyutamyl (pE, 5-oxoprolyl): 1, 1"

N-glycosylation sites / sites de N-glycosylation / posición de N-glicosilación
 L VL N28: 28', 28"

C-terminal lysine clipping / Coupe de la lysine C-terminale / Recorte de lisina C-terminal
 H CHS K2: 452, 452"

nafimestrocelum nafimestrocel

allogeneic multilineage differentiating stress-enduring (Muse) cells derived from bone marrow of healthy human donors. The cells are expanded by adherent culture under hypoxic conditions to enrich for stage-specific embryonic antigen-3 (SSEA-3) positive cells. The substance contains Muse cells ($\geq 50\%$) that are double positive for CD105 and the embryonic stem cell marker SSEA-3 and mesenchymal stromal cells (CD105+; <50%). Cells are negative for monocyte marker CD14, B cell marker CD19, hematopoietic stem cell marker CD34, leukocyte marker CD45, and human leukocyte antigen (HLA) DR. Cells have pluripotency, secrete fibroblast growth factor (FGF), hepatocyte growth factor (HGF) and vascular endothelial growth factor (VEGF), and produce antifibrotic/fibrolytic factors (matrix metalloproteinases).
cell therapy (cardiovascular)

nafimestrocel

cellules allogéniques résistantes au stress à différentiation par multilignage (Muse) dérivées de la moelle osseuse de donneurs humains sains. Les cellules sont amplifiées par culture adhérente dans des conditions hypoxiques pour enrichir les cellules positives pour l'antigène 3 embryonnaire stade spécifique (SSEA-3). La substance contient des cellules Muse ($\geq 50\%$) qui sont doublement positives pour CD105 et le marqueur de cellules souches embryonnaires SSEA-3 et des cellules stromales mésenchymateuses (CD105+; <50 %). Les cellules sont négatives pour le

marqueur de monocyte CD14, le marqueur de cellule B CD19, le marqueur de cellule souche hématopoïétique CD34, le marqueur de leucocyte CD45, et l'antigène leucocytaire humain (HLA) DR. Les cellules sont pluripotentes, sécrètent le facteur de croissance des fibroblastes (FGF), le facteur de croissance des hépatocytes (HGF) et le facteur de croissance de l'endothélium vasculaire (VEGF), et produisent des facteurs antifibrotiques/fibrolytiques (métalloprotéases matricielles).

thérapie cellulaire (cardiovasculaire)

nafimestrocel

células alogénicas multilinaje resistentes al estrés (Muse) derivadas de médula ósea de donantes sanos. Las células se expanden mediante cultivo adherente en condiciones de hipoxia para enriquecer las células positivas para el antígeno específico de estado embrionario 3 (SSEA-3). La substancia contiene células Muse ($\geq 50\%$) que son doble positivas para CD105 y el marcador de células madre embrionarias SSEA-3 y células mesenquimales estromales (CD105+; <50%). Las células son negativas para el marcador de monocitos CD14, el marcador de linfocitos B CD19, el marcador de células madre hematopoyéticas CD34, el marcador leucocitario CD45 y para el antígeno leucocitario humano (HLA) DR. Las células tienen pluripotencia, secretan factor de crecimiento de fibroblastos (FGF), factor de crecimiento de hepatocitos (HGF) y factor de crecimiento del endotelio vascular (VEGF), y producen factores antifibróticos/fibrolíticos (metaloproteínas de matriz).

terapia celular (cardiovascular)

nizaracianinum

nizaracianine

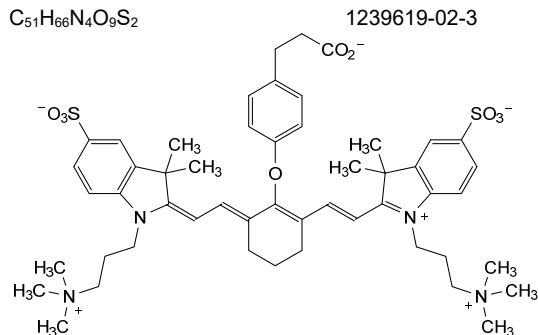
3-[4-((6E)-6-[(2E)-2-{3,3-dimethyl-5-sulfonato-1-[3-(trimethylazaniumyl)propyl]-1,3-dihydro-2H-indol-2-ylidene}éthylidène]-2-[(1E)-2-{3,3-dimethyl-5-sulfonato-1-[3-(trimethylazaniumyl)propyl]-3H-indol-1-iium-2-yl}éthen-1-yl]cyclohex-1-en-1-yl}oxy)phényle]propanoate
diagnostic imaging agent

nizaracianine

3-[4-((6E)-6-[(2E)-2-{3,3-diméthyl-5-sulfonato-1-[3-(triméthylazaniumyl)propyl]-1,3-dihydro-2H-indol-2-ylidène}éthylidène]-2-[(1E)-2-{3,3-diméthyl-5-sulfonato-1-[3-(triméthylazaniumyl)propyl]-3H-indol-1-iium-2-yl}éthén-1-yl]cyclohex-1-én-1-yl}oxy)phényl]propanoate
agent de diagnostique

nizaracianina

3-[4-((6E)-6-[(2E)-2-{3,3-dimetil-5-sulfonato-1-[3-(trimetilazaniol)propil]-1,3-dihidro-2H-indol-2-ilideno}etilideno]-2-[(1E)-2-{3,3-dimetil-5-sulfonato-1-[3-(trimetilazaniol)propil]-3H-indol-1-io-2-il}eten-1-il]ciclohex-1-en-1-il)oxi)fenil]propanoato
agente de diagnóstico

**nofazinlimab #**

nofazinlimab

immunoglobulin G4-kappa, anti-[*Homo sapiens* PDCD1 (programmed cell death 1, PD-1, PD1, CD279)], humanized monoclonal antibody; gamma4 heavy chain humanized (1-442) [VH (*Homo sapiens* IGHV1-69*08 (83.5%) -(IGHD) -IGHJ4*01 (93.3%) L123>M (110), CDR-IMGT [8.8.8] (26-33.51-58.97-104)) (1-115)-*Homo sapiens* IGHG4*01, G4v5 h P10 (CH1 (116-213), hinge 1-12 S10>P (223) (214-225), CH2 (226-335), CH3 (336-440), CHS (441-442)) (116-442)], (129-219')-disulfide with kappa light chain humanized (1'-219') [V-KAPPA (*Homo sapiens* IGKV2-30*02 (91.0%) -IGKJ2*01 (100%), CDR-IMGT [11.3.9] (27-37.55-57.94-102)) (1'-112') -*Homo sapiens* IGKC*01 (100%), Km3 A45.1 (158), V101 (196) (113'-219')]; dimer (221-221":224-224")-bisdisulfide, produced in a Chinese hamster ovary (CHO) cell line derived from CHO-K1, glycoform alfa *immunomodulator, antineoplastic*

nofazinlimab

immunoglobuline G4-kappa, anti-[*Homo sapiens* PDCD1 (protéine 1 de mort cellulaire programmée, PD-1, PD1, CD279)], anticorps monoclonal humanisé; chaîne lourde gamma4 humanisée (1-442) [VH (*Homo sapiens* IGHV1-69*08 (83.5%) -(IGHD) -IGHJ4*01 (93.3%) L123>M (110), CDR-IMGT [8.8.8] (26-33.51-58.97-104)) (1-115)-*Homo sapiens* IGHG4*01, G4v5 h P10 (CH1 (116-213), charnière 1-12 S10>P (223) (214-225), CH2 (226-335), CH3 (336-440), CHS (441-442)) (116-442)], (129-219')-disulfure avec la chaîne légère kappa humanisée (1'-219') [V-KAPPA (*Homo sapiens* IGKV2-30*02 (91.0%) -IGKJ2*01 (100%), CDR-IMGT [11.3.9] (27-37.55-57.94-102)) (1'-112') -*Homo sapiens* IGKC*01 (100%), Km3 A45.1 (158), V101 (196) (113'-219')]; dimère (221-221":224-224")-bisdisulfure, produit dans des cellules ovarianes de hamster chinois (CHO) dérivant de la lignée cellulaire CHO-K1, glycoforme alfa *immunomodulateur, antinéoplasique*

nofazinlimab

inmunoglobulina G4-kappa, anti-[*Homo sapiens* PDCD1 (proteína 1 de muerte celular programada, PD-1, PD1, CD279)], anticuerpo monoclonal humanizado; cadena pesada gamma4 humanizada (1-442) [VH (*Homo sapiens*IGHV1-69*08 (83.5%) -(IGHD) -IGHJ4*01 (93.3%) L123>M (110), CDR-IMGT [8.8.8] (26-33.51-58.97-104)) (1-115)-*Homo sapiens*IGHG4*01, G4v5 h P10 (CH1 (116-213), bisagra 1-12 S10>P (223) (214-225), CH2 (226-335), CH3 (336-440), CHS (441-442)) (116-442)], (129-219')-disulfuro con la cadena ligera kappa humanizada (1'-219') [V-KAPPA (*Homo sapiens* IGKV2-30*02 (91.0%)-IGKJ2*01 (100%), CDR-IMGT [11.3.9] (27-37.55-57.94-102)) (1'-112')-*Homo sapiens* IGKC*01 (100%), Km3 A45.1 (158), V101 (196) (113'-219')]; dímero (221-221":224-224")-bisdisulfuro, producido en las células ováricas de hámster chino (CHO) línea celular derivada de CHO-K1, forma glicosilada alfa *inmunomodulador, antineoplásico*

2377845-98-0

Heavy chain / Chaîne lourde / Cadena pesada

QVOLVQSSGAE VKKPGSSVKV SCKASGFTT TYIISWVRQA PGQGLEYLGV 50
INMGSGGTNY NEFKKGRTVI TADKSTSTAY MELSSLRSED TAVYVCAIIG 100
YFDYWGQGM VTIVSSASTKG PSVFPLAPCS RSTSESTAAL GCLVKDYPFPE 150
PVTVSWSNSGA LTSGVHTFFA VLQSSGLYSL SSVVTVPSSS LGTKTYTCNV 200
DHKPSNTKVD KREVSKYGP P CPCPAPEFL GGPSPVLFPP KPKDTLMISR 250
TPEVTCVVDF VSQEDPEVQF NWYVGVEVH NAKTKPREEQ FNSTYRVSF 300
LTVLHQDWLN GKEYKCKVSN GLKLSSIEKT ISKAKGQPRE PQVYTLPPSQ 350
EEMTKNQVSL TLCVKGFYPS DIAWEWESNG QPENNYYKTPP PVLDSDGSFF 400
LYSRLTVDKS RWQEGNVFSC SVMHEALHNH YTQKSLSL GK 442

Light chain / Chaîne légère / Cadena ligera

DVVMQTQSPLS LPVPLGQPAS ISCRSSQSLL SDGGTYLYW FQQRPQGSPR 50
RLIYLVLSTLG SGVPDRFGS GSGTDFTLKI SRVEAEDVGV YYCMQLTHWP 100
YTFGGTAKLE IKRTVVAAPSV FIFPFPSDEQL KSGTAGSVCL LNNFYFPREAK 150
VQWKVDAQLQ SGNSQESVTE QDSKDSTYSL SSTTLTSKAD YEKHKVYACE 200
VTHQGLSSPV TKSFRNRGEC 219

Post-translational modifications

Disulfide bridges location / Position des ponts disulfure / Posiciones de los puentes disulfuro

Intra-H (C23-C104) 22-96 142-198 256-316 362-420
22"-96" 142"-198" 256"-316" 362"-420"
Intra-L (C23-C104) 23"-93" 139"-199"
23"-93" 139"-199"
Inter-H-L (h 10-CL 126) 129-219' 129"-219"
Inter-H-H (h 8, h 11) 221-221" 224-224"

N-terminal glutaminyl cyclization / Cyclisation du glutaminyle N-terminal / Ciclación del glutaminilo N-terminal

H VH QI> pyroglutamyl (pE, 5-oxopropyl): 1, 1"

N-glycosylation sites / Sites de N-glycosylation / Posiciones de N-glicosilación

H CH2 N84.4: 292, 292"

Fucosylated complex bi-antennary CHO-type glycans / glycanes de type CHO bi-antennaires

complexes fucosylés / glicanos de tipo CHO biantenarios complejos fucosilados.

C-terminal lysine clipping / Coupage de la lysine C-terminale / Recorte de lisina C-terminal

H CHS K2: 441, 441"

obefazimodum

obefazimod

8-chloro-N-[4-(trifluoromethoxy)phenyl]quinolin-2-amine
immunomodulator

obéfazimod

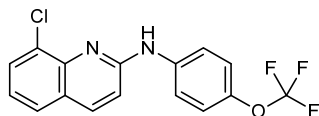
8-chloro-N-[4-(trifluorométhoxy)phényl]quinoléin-2-amine
immunomodulateur

obefazimod

8-cloro-N-[4-(trifluorometoxi)fenil]quinolein-2-amina
inmunomodulador



1258453-75-6

**ocEDURENONE**

occedurenone

2-chloro-4-[(3S,3aR)-3-cyclopentyl-7-(4-hydroxypiperidine-1-carbonyl)-3,3a,4,5-tetrahydro-2H-pyrazolo[3,4-f]quinolin-2-yl]benzonitrile
non-steroidal mineralocorticoid receptors antagonist

océdurénone

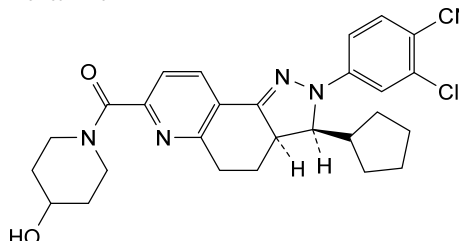
2-chloro-4-[(3S,3aR)-3-cyclopentyl-7-(4-hydroxypiperidine-1-carbonyl)-3,3a,4,5-tetrahydro-2H-pyrazolo[3,4-f]quinolin-2-yl]benzonitrile
antagoniste non-stéroïdien des récepteurs des minéralocorticoïdes

ocedurenona

4-[(3S,3aR)-3-ciclopentil-7-(4-hidroxipiperidina-1-carbonil)-3,3a,4,5-tetrahidro-2H-pirazolo[3,4-f]quinolén-2-il]-2-clorobenzonitrilo
antagonista no esteroide de los receptores de los mineralocorticoïdes



1359969-24-6

**ODATROTOLIDUM**

odatrototide

*N*²-[(3S)-6,7-dihydroxy-1,1-dimethyl-1,2,3,4-tetrahydroisoquinoline-3-carbonyl]-*N*⁶-(L-prolyl-L-alanyl-L-lysyl)-L-lysine;
4,5-dihydroxy-N,2-(propane-2,2-diyl)-L-phenylalanyl-*N*⁶-(L-prolyl-L-alanyl-L-lysyl)-L-lysine
anti-ischemic

odatrototide

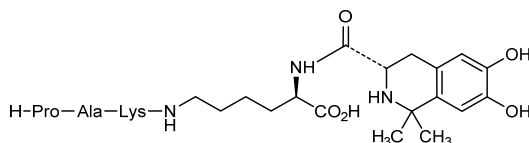
*N*²-[(3S)-6,7-dihydroxy-1,1-dimethyl-1,2,3,4-tetrahydroisoquinoline-3-carbonyl]-*N*⁶-(L-prolyl-L-alanyl-L-lysyl)-L-lysine;
4,5-dihydroxy-N,2-(propane-2,2-diyl)-L-phenylalanyl-*N*⁶-(L-prolyl-L-alanyl-L-lysyl)-L-lysine
anti-ischémique

odatrotilda

*N*²-[(3S)-6,7-dihidroxi-1,1-dimetil-1,2,3,4-tetrahidroisoquinoleina-3-carbonil]-*N*⁶-(L-prolil-L-alanil-L-lisil)-L-lisina;
4,5-dihidroxi-N,2-(propano-2,2-diil)-L-fenilalanil-*N*⁶-(L-prolil-L-alanil-L-lisil)-L-lisina
anti-isquémica

C₃₂H₅₁N₇O₈

1639303-73-3

**olezarsenum**

olezarsen

all-P-ambo-5'-O-(28-[(2-acetamido-2-deoxy-β-D-galactopyranosyl)oxy]-16,16-bis{[3-({6-[(2-acetamido-2-deoxy-β-D-galactopyranosyl)oxy]hexyl}amino)-3-oxopropoxy]methyl}-1-hydroxy-1,10,14,21-tetraoxo-2,18-dioxa-9,15,22-triaza-1λ⁵-phosphaoctacosan-1-yl)-2'-O-(2-methoxyethyl)-*P*-thioadenylyl-(3'→5')-2'-O-(2-methoxyethyl)-*P*-thioguananyl-(3'→5')-2'-O-(2-methoxyethyl)-5-methyl-*P*-thiocytidylyl-(3'→5')-2'-O-(2-methoxyethyl)-5-methyl-*P*-thiouridyl-(3'→5')-2'-O-(2-methoxyethyl)-5-methyl-*P*-thiouridyl-(3'→5')-2'-deoxy-5-methyl-*P*-thiocytidylyl-(3'→5')-*P*-thiouridyl-(3'→5')-2'-deoxy-*P*-thioguananyl-(3'→5')-2'-deoxy-5-methyl-*P*-thiocytidylyl-(3'→5')-2'-O-(2-methoxyethyl)-5-methyl-*P*-thiouridyl-(3'→5')-2'-O-(2-methoxyethyl)-5-methyl-*P*-thiouridyl-(3'→5')-2'-O-(2-methoxyethyl)-5-methyl-*P*-thiouridyl-(3'→5')-2'-O-(2-methoxyethyl)-5-methyluridine
antihyperlipidaemic

olezarsen

tout-P-ambo-5'-O-(28-[(2-acétamido-2-désoxy-β-D-galactopyranosyl)oxy]-16,16-bis{[3-({6-[(2-acétamido-2-désoxy-β-D-galactopyranosyl)oxy]hexyl}amino)-3-oxopropoxy]méthyl}-1-hydroxy-1,10,14,21-tétraoxo-2,18-dioxa-9,15,22-triaza-1λ⁵-phosphaoctacosan-1-yl)-2'-O-(2-méthoxyéthyl)-*P*-thioadénylyl-(3'→5')-2'-O-(2-méthoxyéthyl)-*P*-thioguananyl-(3'→5')-2'-O-(2-méthoxyéthyl)-5-méthyl-*P*-thiocytidylyl-(3'→5')-2'-O-(2-méthoxyéthyl)-5-méthyl-*P*-thiouridyl-(3'→5')-2'-O-(2-méthoxyéthyl)-5-méthyl-*P*-thiouridyl-(3'→5')-2'-deoxy-5-méthyl-*P*-thiocytidylyl-(3'→5')-*P*-thiouridyl-(3'→5')-2'-deoxy-*P*-thioguananyl-(3'→5')-2'-deoxy-5-méthyl-*P*-thiocytidylyl-(3'→5')-2'-O-(2-méthoxyéthyl)-5-méthyl-*P*-thiouridyl-(3'→5')-2'-O-(2-méthoxyéthyl)-5-méthyl-*P*-thiouridyl-(3'→5')-2'-O-(2-méthoxyéthyl)-5-méthyl-*P*-thiouridyl-(3'→5')-2'-O-(2-méthoxyéthyl)-5-méthyluridine
antihyperlipidémiant

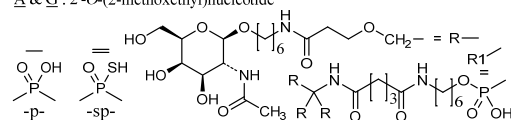
olezarsén

todo-P-ambo-5'-O-(28-[(2-acetamido-2-desoxi- β -D-galactopyranosil)oxi]-16,16-bis{[3-((6-[(2-acetamido-2-desoxi- β -D-galactopyranosil)oxi]hex-1-il)amino)-3-oxopropoxi]metil}-1-hidroxi-1,10,14,21-tetraoxo-2,18-dioxa-9,15,22-triaza-1 λ^5 -fosfaoctacosan-1-il)-2'-O-(2-metoxietil)-P-tioadenilil-(3'→5')-2'-O-(2-metoxietil)-P-tioguanilil-(3'→5')-5-metil-2'-O-(2-metoxietil)-P-tiouridilil-(3'→5')-5-metil-2'-O-(2-metoxietil)-P-tiouridilil-(3'→5')-2'-desoxi-5-metil-P-tiocitidilil-(3'→5')-P-tiotimidilil-(3'→5')-P-tiotimidilil-(3'→5')-2'-desoxi-P-tioguanilil-(3'→5')-P-tiotimidilil-(3'→5')-2'-desoxi-5-metil-P-tiocitidilil-(3'→5')-2'-desoxi-P-tioadenilil-(3'→5')-2'-desoxi-P-tioguanilil-(3'→5')-2'-desoxi-5-metil-P-tiocitidilil-(3'→5')-5-metil-2'-O-(2-metoxietil)-P-tiouridilil-(3'→5')-5-metil-2'-O-(2-metoxietil)-P-tiouridilil-(3'→5')-5-metil-2'-O-(2-metoxietil)-P-tiouridilil-(3'→5')-2'-O-(2-metoxietil)-P-tioadenilil-(3'→5')-5-metil-2'-O-(2-metoxietil)uridina

antihiperlipémico

 $C_{296}H_{439}N_{71}O_{154}P_{20}S_{19}$

2097587-83-0

(3'-5') R1- $\underline{\Delta}$ =G= \underline{C} =U= \underline{U} =d(C=T=T=G=T=C=C=A=G=C)= \underline{U} = \underline{U} = $\underline{\Delta}$ = \underline{U} Legend: A , G & T : 2'-deoxynucleotide C : 2'-deoxy-5-methylcytidylylC & U : 2'-O(2-methylethyl)-5-methylnucleotideA & G : 2'-O(2-methoxethyl)nucleotide

omilancorum

omilancor

1¹H,7¹H-1,7(2)-bis(benzimidazola)-2,6(2,6)-dipyridina-4(1,4)-piperazinahettaphane-3,5-dione

lanthionine synthetase C-like 2 (LANCL2) agonist

omilancor

1¹H,7¹H-1,7(2)-bis(benzimidazola)-2,6(2,6)-dipyridina-4(1,4)-piperazinahettaphane-3,5-dione

agoniste de la lanthionine-synthétase de type C 2 (LANCL2)

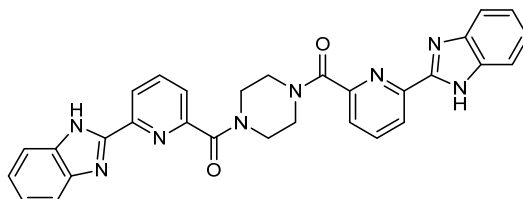
omilancor

1¹H,7¹H-1,7(2)-bis(benzimidazola)-2,6(2,6)-dipiridina-4(1,4)-piperazinahettafano-3,5-diona

agonista de la sintetasa de la lantionina similar a C 2 (LANCL2)

 $C_{30}H_{24}N_6O_2$

1912399-75-7



omzotiromum

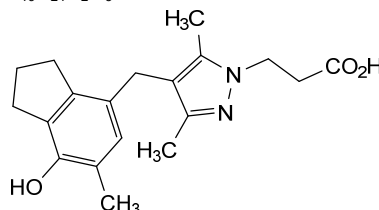
omzotirome

3-[4-[(7-hydroxy-6-methyl-2,3-dihydro-1H-inden-4-yl)methyl]-3,5-dimethyl-1H-pyrazol-1-yl]propanoic acid
antihyperlipidaemic

omzotirome

acide 3-[4-[(7-hydroxy-6-méthyl-2,3-dihydro-1H-indén-4-yl)méthyl]-3,5-diméthyl-1H-pyrazol-1-il]propanoïque
antihyperlipidémiant

omzotiroma

ácido 3-[4-[(7-hidroxi-6-metil-2,3-dihidro-1H-inden-4-il)metyl]-3,5-dimetil-1H-pirazol-1-il]propanoico
*antihiperlipémico*C₁₉H₂₄N₂O₃ 1092551-88-6**onternabezum**

onternabez

(+)-(1S,4S,5S)-4-[2,6-dimethoxy-4-(2-methyloctan-2-yl)phenyl]-6,6-dimethylbicyclo[3.1.1]hept-2-en-2-yl)methanol
cannabinoid 2 (CB2) receptor agonist

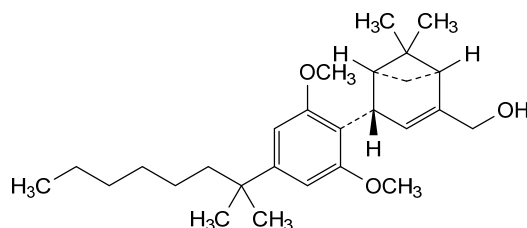
onternabez

(+)-(1S,4S,5S)-4-[2,6-diméthoxy-4-(2-méthyoctan-2-yl)phényle]-6,6-diméthylbicyclo[3.1.1]hept-2-én-2-yl)méthanol
agoniste des récepteurs 2 aux cannabinoïdes (CB2)

onternabez

(+)-(1S,4S,5S)-6,6-dimetil-4-[4-(2-metiloctan-2-il)-2,6-dimetoxifenil]biciclo[3.1.1]hept-2-en-2-il)metanol
*agonista del receptor 2 de cannabinoides (CB2)*C₂₇H₄₂O₃

256934-39-1

**orenivetidum**

orenivetide

L-threonyl-L-lysyl-L-prolyl-L-arginyl-L-proline
GABA_A receptor antagonist

orénétide	L-thréonyl-L-lysyl-L-prolyl-L-arginyl-L-proline <i>antagoniste du récepteur GABA_A</i>	
orenetida	L-treonil-L-lisil-L-prolil-L-arginil-L-prolina <i>antagonista del receptor GABA_A</i>	
	C ₂₆ H ₄₇ N ₉ O ₇	1124168-43-9
	H—Thr—Lys—Pro—Arg—Pro—OH	
ormutivimab #		
ormutivimab	immunoglobulin G1-lambda2, anti-[rabies lyssavirus (rabies virus, RABV) surface glycoprotein 4 (gp4) epitope I], <i>Homo sapiens</i> monoclonal antibody; gamma1 heavy chain <i>Homo sapiens</i> (1-457) [VH (<i>Homo sapiens</i> IGHV1-69*01 (90.8%) -(IGHD) -IGHJ5*02 (100%), CDR-IMGT [8.8.20] (26-33.51-58.97-116)) (1-127) - <i>Homo sapiens</i> IGHG1*03, G1m3, nG1m1 (CH1 S3>L (134), R120 (224) (128-225), hinge 1-15 (226-240), CH2 (241-350), CH3 E12 (366), M14 (368) (351-455), CHS (456-457)) (128-457)], (230-217')-disulfide with lambda2 light chain <i>Homo sapiens</i> (1'-218') [V-LAMBDA (<i>Homo sapiens</i> IGLV2-11*01 (94.9%) -IGLJ2*01 (100%), CDR-IMGT [9.3.12] (26-34.52-54.91-102)) (1'-112') - <i>Homo sapiens</i> IGLC2*01 (100%) (113'-218')]; dimer (236-236":239-239")-bisdisulfide, produced in a Chinese hamster ovary (CHO)-K1 cell line, glycoform alfa <i>antiviral</i>	
ormutivimab	immunoglobuline G1-lambda2, anti-[épitope I de la glycoprotéine 4 de surface (gp4) du lyssavirus de la rage (virus de la rage, RABV)], anticorps monoclonal <i>Homo sapiens</i> ; chaîne lourde gamma1 <i>Homo sapiens</i> (1-457) [VH (<i>Homo sapiens</i> IGHV1-69*01 (90.8%) -(IGHD) -IGHJ5*02 (100%), CDR-IMGT [8.8.20] (26-33.51-58.97-116)) (1-127) - <i>Homo sapiens</i> IGHG1*03, G1m3, nG1m1 (CH1 S3>L (134), R120 (224) (128-225), charnière 1-15 (226-240), CH2 (241-350), CH3 E12 (366), M14 (368) (351-455), CHS (456-457)) (128-457)], (230-217')-disulfure avec la chaîne légère lambda2 <i>Homo sapiens</i> (1'-218') [V-LAMBDA (<i>Homo sapiens</i> IGLV2-11*01 (94.9%) -IGLJ2*01 (100%), CDR-IMGT [9.3.12] (26-34.52-54.91-102)) (1'-112') - <i>Homo sapiens</i> IGLC2*01 (100%) (113'-218')]; dimère (236-236":239-239")-bisdisulfure, produit dans des cellules ovarianes de hamster chinois (CHO) lignée cellulaire CHO-K1, glycoforme alfa <i>antiviral</i>	
ormutivimab	inmunoglobulina G1-lambda2, anti-[epítopo I de la glicoproteína 4 de superficie (gp4) del lyssavirus de la rabia (virus de la rabia, RABV)], anticuerpo monoclonal <i>Homo sapiens</i> ; cadena pesada gamma1 <i>Homo sapiens</i> (1-457) [VH (<i>Homo sapiens</i> IGHV1-69*01 (90.8%) -(IGHD) -IGHJ5*02 (100%), CDR-IMGT [8.8.20] (26-33.51-58.97-116)) (1-127) - <i>Homo sapiens</i> IGHG1*03, G1m3, nG1m1 (CH1 S3>L (134), R120 (224) (128-225), bisagra 1-15 (226-240), CH2 (241-350), CH3 E12 (366), M14 (368) (351-455), CHS (456-457)) (128-457)], (230-217')-disulfuro	

con la cadena ligera lambda2 *Homo sapiens* (1'-218') [V-LAMBDA (*Homo sapiens* IGLV2-11*01 (94.9%) - IGLJ2*01 (100%), CDR-IMGT [9.3.12] (26-34.52-54.91-102)) (1'-112') -*Homo sapiens* IGLC2*01 (100%) (113'-218')]; dímero (236-236":239-239")-bisdisulfuro, producido en las células ováricas de hámster chino (CHO) línea celular CHO-K1, forma glicosilada alfa antiviral

2449086-91-1

Heavy chain / Chaîne lourde / Cadena pesada

QVQLVQSGAE VKKPQSSVKV SKASGGTFN RYTVNWVRQA PGQQGLEWMGG 50
 IIPIFGCTANY AQRFGQLRTI TADESTAY MELOSSRLSDD TAVYFCAREN 100
 LDNSGTYYYYF SGWFDPWGQG TLTVTSSAST KGPLVPEIAP SSKSTSGGTA 150
 ALGCLVKDVF PEPVTWSNLS ALTSGVHTF PAVLQSSGLY SLSSVTVTPS 200
 SSLGTQTYIC NVNHKPSNTK VDKRVEFKSC DKHTHCPPCP APPELLGGPSV 250
 FLFPPPKPDKT LMISRTPEVY CVVVDVSHED PEVKFNWYVD GVEVHNIAKTK 300
 PREEEQNNTSY RVVSVLTVLQI QDWLNGKEYK CKVSNKALPA PIETIKSKAK 350
 GQPREPQVYT LPFSREEMTH NQVSLTCLVK GFYPSDIAVE WESNQCPENN 400
 YKTTPPVLDs DGSFFFLYSKL TVDKSRWQQG NVFSCSVMHE ALHNHYTQKS 450
 LSLSPGK 457

Light chain / Chaîne légère / Cadena ligera

QSALTQPRSV SGSPGQSVTTI SCTGTSSDIG GYNFVSWYQQ HPGKAPKIMI 50
 YDATKRPSGV PDRFSGSKSG NTASLTISGL QAEDEADEYTC CSYAGDVTG 100
 VVFGGTTKLT VLQPKAAPS VTLLFPSSSE LQANKATLVC LISDFYFGAV 150
 TVAKWADSSP VKAGVETTTP SKQSNNKYAA SSYLSLTPEQ WKSHRSYSCQ 200
 VTHEGSTVEK TVAPTECS 218

Post-translational modifications

Disulfide bridges location / Position des ponts disulfure / Posiciones de los puentes disulfuro
 Intra-H (C23-C104) 22"-96" 154"-210" 271"-331" 377"-435"
 22"-96" 154"-210" 271"-331" 377"-435"
 Intra-L (C23-C104) 22"-90" 140"-199"
 22"-90" 140"-199"
 Inter-H-L (h 5-CL 126) 230-217" 230"-217"
 Inter-H-H (h 11, h 14) 236-236" 239-239"

N-terminal glutaminyl cyclization / Cyclisation du glutaminy N-terminal / Ciclación del glutamínico N-terminal

H VH QI> pyroglutamyl (pE, 5-oxoprolyl): 1, 1"

L VL QI> pyroglutamyl (pE, 5-oxoprolyl): 1', 1"

N-glycosylation sites / Sites de N-glycosylation / Posiciones de N-glicosilación

H CH2 N84.4: 307, 307"

Fucosylated complex bi-antennary CHO-type glycans / glycanes de type CHO bi-antennaires complexes fucosylés / glicanos de tipo CHO biantenarios complejos fucosilados.

C-terminal lysine clipping / Coupe de la lysine C-terminale / Recorte de lisina C-terminal
 H CHS K2: 457, 457"

patidistrogenum bexoparvovecum #
patidistrogene bexoparvovect

recombinant self-complementary (dimeric) non-replicating adeno-associated virus serotype rh.74 (AAVrh74) vector encoding codon-optimized human alpha-sarcoglycan (hSGCA), under the control of a triple E box muscle creatine kinase (tMCK) promoter/enhancer, followed by a chimeric intron, composed of the 5' donor site from the human beta-globin gene and the branchpoint and 3' splice acceptor site from the IgG heavy chain variable region, and terminated by a small synthetic polyadenylation (polyA) signal sequence, flanked by adeno-associated virus 2 (AAV2) inverted terminal repeats (ITRs). *gene therapy (muscular dystrophy)*

patidistrogène bexoparvovect

vecteur recombinant auto-complémentaire (dimère) non réplicant du virus adéno-associé de sérotype rh.74 (AAVrh74) codant l'alpha-sarcoglycane humaine (hSGCA) aux codons optimisés, sous le contrôle d'un promoteur/amplificateur de la créatine kinase

musculaire à triple boîte E (tMCK), suivi d'un intron chimérique, composé du site donneur en 5' du gène de la bêta-globine humaine et du site accepteur d'épissage 3' et du point de branchement de la région variable de la chaîne lourde de l'IgG, et terminé par une petite séquence signal synthétique de polyadénylation (polyA), flanquée de répétitions terminales inversées (ITRs) du virus adéno-associé 2 (AAV2).

thérapie génique (dystrophie musculaire)

patidistrogén bexoparvovect

vector de virus adenoasociado recombinante del serotipo rh.74 (AAVrh74), autocomplementario (dimérico), no replicativo, que codifica para el sarcoglicano alfa humano (hSGCA) con codones optimizados, bajo el control de un promotor/potenciador con un triple elemento E-box de la creatina quinasa de músculo (tMCK), seguido de un intron quimérico, compuesto por el sitio donante 5' del gen de la b-globina humana y la bifurcación y el sitio acceptor 3' de la región variable de la cadena pesada de la IgG, y terminado por una pequeña secuencia señal de poliadénilación (polyA) sintética, flanqueado por las repeticiones terminales invertidas (ITRs) del virus adenoasociado 2 (AAV2).

terapia génica (distrofia muscular)

2376210-48-7

pegipanerminum #

pegipanermin

human tumor necrosis factor (TNF, TNF-alfa, tumor necrosis factor ligand superfamily member 2) soluble fragment (77-233, 1-157 in the current sequence) variant (V⁷⁷>M¹, R¹⁰⁷>C³¹, C¹⁴⁵>V⁶⁹, Y¹⁶³>H⁸⁷, C¹⁷⁷>A¹⁰¹, A²²¹>R¹⁴⁵), pegylated at Cys31 with monomethoxy-polyethylene glycol (mPEG, MW ~10 kDa, n ~225), non-glycosylated, produced in *Escherichia coli*; human tumor necrosis factor (TNF, TNF- α , TNFA, tumor necrosis factor ligand superfamily member 2, TNFSF2, cachectin) (77-233)-peptide (TNF soluble form, sTNF, 1-157) [V¹>M, R³¹>C, C⁶⁹>V, Y⁸⁷>H, C¹⁰¹>A, A¹⁴⁵>R]-mutant, non-glycosylated, produced in *Escherichia coli*, conjugated at Cys31 with an S-{1-[3-(3-[α -methylpoly(oxyethylene)- ω -oxy]propyl]amino}-3-oxopropyl]-2,5-dioxopyrrolidin-3-yl} group *anti-inflammatory, immunomodulator*

péguipanermine

variant (77-233, 1-157 dans la séquence actuelle) du fragment soluble du facteur de nécrose tumorale humain (TNF, TNF-alfa, membre 2 de la superfamille des ligands du facteur de nécrose tumorale) (V⁷⁷>M¹, R¹⁰⁷>C³¹, C¹⁴⁵>V⁶⁹, Y¹⁶³>H⁸⁷, C¹⁷⁷>A¹⁰¹, A²²¹>R¹⁴⁵), pégylé sur Cys31 avec du monométhoxy-polyéthylène glycol (mPEG, MW ~10 kDa, n ~225), non glycosylé, produit par *Escherichia coli*; facteur de nécrose tumorale humain (TNF, TNF- α , TNFA, membre 2 de la superfamille des ligands du facteur de nécrose tumorale, TNFSF2, cachectine), peptide 77-233 (forme soluble du TNF, sTNF, 1-157), mutant [V¹>M, R³¹>C, C⁶⁹>V, Y⁸⁷>H, C¹⁰¹>A, A¹⁴⁵>R], non glycosylé, produit par *Escherichia coli*, conjugué sur Cys31 à un groupe S-{1-[3-(3-[α -méthylpoly(oxyéthylène)- ω -oxy]propyl]amino}-3-oxopropyl]-2,5-dioxopyrrolidin-3-yle} *anti-inflammatoire, immunomodulateur*

pegipanermina

factor de necrosis tumoral humano (TNF, TNF-alfa, miembro 2 de la superfamilia de los ligandos del factor de necrosis tumoral), fragmento soluble (77-233, 1-157 en la secuencia actual) variante ($V^{77}>M^1$, $R^{107}>C^{31}$, $C^{145}>V^{69}$, $Y^{163}>H^{87}$, $C^{177}>A^{101}$, $A^{221}>R^{145}$), pegilado en Cis31 con monometoxi-polietileno glicol (mPEG, MW ~10 kDa, n ~225), no glicosilado, producido por *Escherichia coli*;

factor de necrosis tumoral humano (FNT, TNF, TNF- α , TNFA, miembro 2 de la superfamilia de los ligandos del factor de necrosis tumoral, TNFSF2, caquetina), péptido 77-233 (forma soluble del TNF, sTNF, 1-157), mutante [$V^1>M$, $R^{31}>C$, $C^{69}>V$, $Y^{87}>H$, $C^{101}>A$, $A^{145}>R$], no glicosilado, producido por *Escherichia coli*, conjugado en Cis31 con un grupo $S\{-1-[3-(\{3-[\alpha$ -metilpoli(oxietileno)- ω -oxi]propil}amino)-3-oxopropil]-2,5-dioxopirrolidin-3-ilo}

antiinflamatorio, inmunomodulador

2489785-77-3

Sequence / Séquence / Secuencia

MRSSSRTPSD KPVAHVVPNP QAEGLQLQWLN CRANALLANG VELRDNQLVV	50
PSEGGLYIIS QVLFKQGWP STVLLTHTI SRIAVSHOTK VNLLSAIKSP	100
A QRETPEGAE AKPWYEPIYL GGVFQLEKGD RLSAEINRPD YLD F ESGV	150

YFGITIAL 157

Mutation / Mutation / Mutación

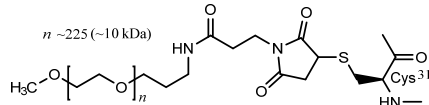
$V^1>\underline{M}$, $R^{31}>\underline{C}$, $C^{69}>\underline{V}$, $Y^{87}>\underline{H}$, $C^{101}>\underline{A}$, $A^{145}>\underline{R}$

Post-translational modifications

Glycosylation sites / Sites de glycosylation / Posiciones de glicosilación

none / aucune / ninguna

Pegylation site / Site de pegylation / Posición de pegilación



pegloxaenatidum

pegloxaenatide

exendin-4 (exenatide), [$Gly^2>D$ -Ala, $Met^{14}>Ahx$, $Asn^{28}>Gln$, $Ser^{39}>Cys$]-modified, synthetic, conjugated at Cys^{39} via a thioether linker with two O-methylpoly(ethylene glycol) chains: L-histidyl-D-alanyl-L- α -glutamylglycyl-L-threonyl-L-phenylalanyl-L-threonyl-L-seryl-L- α -aspartyl-L-leucyl-L-seryl-L-lysyl-L-glutaminyl-L-2-aminohexanoyl-L- α -glutamyl-L- α -glutamyl-L- α -glutamyl-L-alanyl-L-valyl-L-arginyl-L-leucyl-L-phenylalanyl-L-isoleucyl-L- α -glutamyl-L-tryptophyl-L-leucyl-L-lysyl-L-glutaminylglycylglycyl-L-prolyl-L-seryl-L-serylglycyl-L-alanyl-L-prolyl-L-prolyl-S-[(3RS)-1-3-[(2-{ N^2,N^6 -bis[ω -methoxypoly(oxyethylene)- α -carbonyl]-L-lysinamido}ethyl)amino]-3-oxopropyl]-2,5-dioxopyrrolidin-3-yl]-L-cysteinamide glucagon-like peptide-1 receptor agonist, hypoglycaemic

pegloxénatide

exendine-4 (exénatide) [Gly²>D-Ala, Mét¹⁴>Ahx, Asn²⁸>Gln, Sér³⁹>Cys]-modifiée, synthétique, conjuguée en Cys³⁹ via un lieu thioéther avec deux chaînes de O-méthylpoly(éthylène glycol):
 L-histidyl-D-alanyl-L-α-glutamylglycyl-L-thréonyl-L-phénylalanyl-L-thréonyl-L-séryl-L-α-aspartyl-L-leucyl-L-séryl-L-lysyl-L-glutaminyl-L-2-aminohexanoyl-L-α-glutamyl-L-α-glutamyl-L-α-glutamyl-L-alanyl-L-valyl-L-arginyl-L-leucyl-L-phénylalanyl-L-isoleucyl-L-α-glutamyl-L-tryptophyl-L-leucyl-L-lysyl-L-glutaminylglycylglycyl-L-prolyl-L-séryl-L-sérylglycyl-L-alanyl-L-prolyl-L-prolyl-L-prolyl-S-[(3RS)-1-{3-[2-(N²,N⁶-bis[ω-méthoxypoly(oxyéthylène)-α-carbonyl]-L-lysinamido}éthyl)amino]-3-oxopropyl]-2,5-dioxopyrrolidin-3-yl]-L-cystéinamide
agoniste du récepteur au peptide-1 d'action type glucagon, hypoglycémiante

peglozenatida

exendina-4 (exenatida) [Gly²>D-Ala, Mét¹⁴>Ahx, Asn²⁸>Gln, Sér³⁹>Cys]-modificada, sintética, conjugada en Cys³⁹ mediante un conector tioéter con dos cadenas de O-metilpoli(etileno glicol):
 L-histidil-D-alanil-L-α-glutamilmiglicil-L-treonil-L-fenilalanil-L-treonil-L-seril-L-α-aspartil-L-leucil-L-seril-L-lisil-L-glutaminil-L-2-aminohexanoiloil-L-α-glutamilm-L-α-glutamilm-L-α-glutamilm-L-alanil-L-valil-L-arginil-L-leucil-L-lisil-L-glutaminilmiglicilmiglicil-L-glutamilm-L-triptofil-L-leucil-L-lisil-L-glutaminilmiglicilmiglicil-L-prolil-L-seril-L-serilmiglicil-L-alanil-L-prolil-L-prolil-L-prolil-S-[(3RS)-1-{3-[2-(N²,N⁶-bis[ω-metoxipoli(oxietileno)-α-carbonil]-L-lysinamido}étil)amino]-3-oxopropil]-2,5-dioxopirrolidin-3-il]-L-cisteinamida
agonista del receptor del péptido-1 de acción tipo glucagón, hipoglucemiente

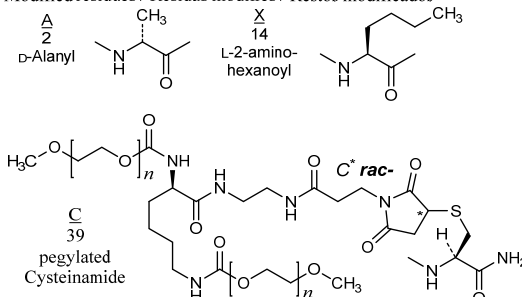


2420483-82-3

Sequence / Séquence / Secuencia

HAEGTFTSDL SKOXEEEAVR LFIEWLQGG PSSGAPPPC 39

Modified residues / Résidus modifiés / Restos modificados



pegmolesatidum

pegmolesatide

$N^{6,22},N^{6,22'}-[({N^2,N^6\text{-bis}[\omega\text{-methoxypoly(oxyethylene)\text{-}\alpha\text{-carbonyl]}}\text{-L-lysyl}\text{-}\beta\text{-alanyl}]azanediyl})\text{bis}(1\text{-oxoethane-2,1-diy})]\text{bis}[S^6,S^{15}\text{-cyclo}(N\text{-acetylglycylglycyl-L-threonyl-L-tyrosyl-L-seryl-L-cysteinyl-L-histidyl-L-phenylalanylglycyl-L-alanyl-L-leucyl-L-threonyl-L-tryptophyl-L-valyl-L-cysteinyl-L-arginyl-L-prolyl-L-glutaminyl-L-arginylglycyl-\beta\text{-alanyl-L-lysinamide})]$

antianaemic

pegmolésatide

$N^{6,22},N^{6,22'}-[({N^2,N^6\text{-bis}[\omega\text{-méthoxypoly(oxyéthylène)\text{-}\alpha\text{-carbonyl]}}\text{-L-lysyl}\text{-}\beta\text{-alanyl}]azanediyl})\text{bis}(1\text{-oxoéthane-2,1-diy})]\text{bis}[S^6,S^{15}\text{-cyclo}(N\text{-acétylglycylglycyl-L-thréonyl-L-tyrosyl-L-seryl-L-cystéinyl-L-histidyl-L-phénylalanylglycyl-L-alanyl-L-leucyl-L-thréonyl-L-tryptophyl-L-valyl-L-cystéinyl-L-arginyl-L-prolyl-L-glutaminyl-L-arginylglycyl-\beta\text{-alanyl-L-lysinamide})]$

antianémique

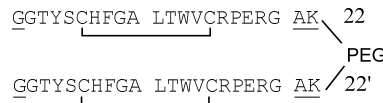
pegmolesatida

$N^{6,22},N^{6,22'}-[({N^2,N^6\text{-bis}[\omega\text{-metoxipoli(oxitileno)\text{-}\alpha\text{-carbonil]}}\text{-L-lisil}\text{-}\beta\text{-alanil}]azanodil})\text{bis}(1\text{-oxoetano-2,1-diy})]\text{bis}[S^6,S^{15}\text{-ciclo}(N\text{-acetilglicilglicil-L-treonil-L-tirosil-L-seril-L-cisteinil-L-fenilalanilglicil-L-alanil-L-leucil-L-treonil-L-triptofil-L-valil-L-cisteinil-L-arginil-L-prolin-L-glutaminil-L-arginilglicil-\beta\text{-alanil-L-lisinamida})]$

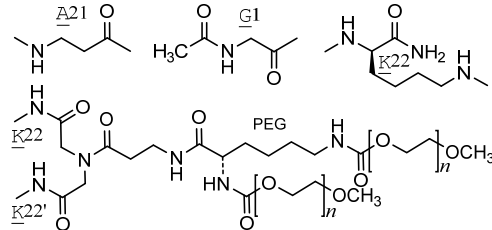
*antianémico*C231H344N72O64S4·(C2H4O)2n

2420483-81-2

Sequences / séquences / secuencias



Modified residues / résidus modifiés / restos modificados

**pegsitacianinum**

pegsitacianine

$\alpha\text{-bromo-}\omega\text{-[2-methyl-1-}[\alpha\text{-methylpoly(oxyethylene)\text{-}\omega\text{-oxy]}]\text{-1-oxopropan-2-yl]poly[2-(dibutylamino)ethyl methacrylate]\text{-co-(2-acetamidoethyl methacrylate)\text{-co-(2-[(2E)-2-(2E,4E,6E)-7-[1,1-dimethyl-3-(4-sulfonatobutyl)-1H-benzo[e]indol-3-ium-2-yl]hepta-2,4,6-trienylidene]-1,1-dimethyl-1,2-dihydro-3H-benzo[e]indol-3-yl]hexanamido}]\text{ethyl methacrylate})$ ($\sim 0.97:0.02:0.01$)
diagnostic imaging agent

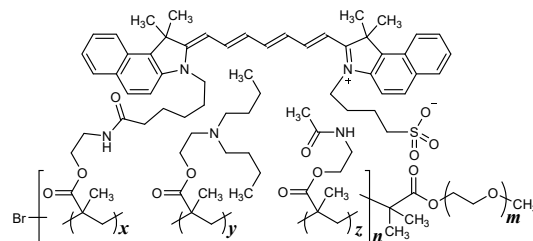
pegsitacianine

α -bromo- ω -[2-méthyl-1-[α -méthylpoly(oxyéthylène)- ω -oxy]-1-oxopropan-2-yl]poly{[méthacrylate de 2-(dibutylamino)éthyle]-co-(méthacrylate de 2-{6-[(2E)-2-((2E,4E,6E)-7-[1,1-diméthyl-3-(4-sulfonatobutyl)-1H-benzo[e]indol-3-iوم-2-yl]hepta-2,4,6-trienylidène)-1,1-diméthyl-1,2-dihydro-3H-benzo[e]indol-3-yl]hexanamido}éthyle)} (~0,97:0,02:0,01)
agent de diagnostique

pegsitacianina

α -bromo- ω -[2-méthyl-1-[α -metilpoli(oxietileno)- ω -oxi]-1-oxopropan-2-il]poli{[metacrilato de 2-(dibutilamino)etilo]-co-(metacrilato de 2-acetamidoetilo)-co-(metacrilato de 2-{6-[(2E)-2-((2E,4E,6E)-7-[1,1-dimétيل-3-(4-sulfonatobutil)-1H-benzo[e]indol-3-io-2-il]hepta-2,4,6-trienilideno)-1,1-dimétيل-1,2-dihidro-3H-benzo[e]indol-3-il]hexanamido}etilo)} (~0,97:0,02:0,01)
agente de diagnóstico

$[(C_{14}H_{27}NO_2)_x(C_8H_{13}NO_3)_y(C_{51}H_{59}N_3O_6S)_z]_m(C_2H_4O)_nC_5H_9BrO_2$ 2396651-85-5



Peg : m ~ 113 (5 kDa) Ratio : y : z : x : 0.97 : 0.02 : 0.01

pirtobrutinibum

pirtobrutinib

5-amino-3-{4-[(5-fluoro-2-methoxybenzamido)methyl]phenyl}-1-[(2S)-1,1,1-trifluoropropan-2-yl]-1H-pyrazole-4-carboxamide
Bruton's tyrosine kinase inhibitor, antineoplastic

pirtobrutinib

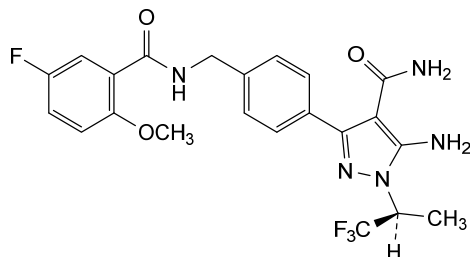
5-amino-3-{4-[(5-fluoro-2-méthoxybenzamido)méthyl]phényl}-1-[(2S)-1,1,1-trifluoropropan-2-yl]-1H-pyrazole-4-carboxamide
inhibiteur de la tyrosine kinase de Bruton, antinéoplasique

pirtobrutinib

5-amino-3-{4-[(5-fluoro-2-metoxibenzamido)metil]fenil}-1-[(2S)-1,1,1-trifluoropropan-2-il]-1H-pirazol-4-carboxamida
inhibidor de la tirosina kinasa de Bruton, antineoplásico

C₂₂H₂₁F₄N₅O₃

2101700-15-4

**pivekimab #**

pivekimab

immunoglobulin G1-kappa, anti-[*Homo sapiens* IL3RA (interleukin 3 receptor subunit alpha, interleukin 3 receptor, alpha (low affinity), CD123)], monoclonal antibody;
 gamma1 heavy chain (1-450) [VH (*Homo sapiens* IGHV1-46*01 (80.6%) -(IGHD) -IGHJ4*01 (100%), CDR-IMGT [8.8.14] (26-33.51-58.97-110)) (1-121) -*Homo sapiens*IGHG1*01, G1m17,1 (CH1 K120 (218) (122-219), hinge 1-15 (220-234), CH2 (235-344), CH3 D12 (360), L14 (362), S122>C (446) (345-449), CHS K2>del (450)) (122-450)], (224-214')-disulfide with kappa light chain (1'-214') [V-KAPPA Musmus/Homsap (*Mus musculus* IGKV14-111*01 (83.2%) -IGKJ2*03 (83.3%) S120>Q (100), L124>V (104)/*Homo sapiens* IGKV1-16*01 (82.1%) -IGKJ2*01 (91.7%) L124>V (104), CDR-IMGT [6.3.9] (27-32.50-52.89-97)) (1'-107') -*Homo sapiens* IGKC*01 (100%), Km3 A45.1 (153), V101 (191) (108'-214')]; dimer (230-230":233-233")-bisdisulfide, produced in a Chinese hamster ovary (CHO)-K1 cell line, glycoform alfa
immunomodulator, antineoplastic

pivékimab

immunoglobuline G1-kappa, anti-[*Homo sapiens* IL3RA (sous-unité alpha du récepteur de l'interleukine 3, récepteur alpha (faible affinité) de l'interleukine 3, CD123)], anticorpus monoclonal;
 chaîne lourde gamma1 (1-450) [VH (*Homo sapiens* IGHV1-46*01 (80.6%) -(IGHD) -IGHJ4*01 (100%), CDR-IMGT [8.8.14] (26-33.51-58.97-110)) (1-121) -*Homo sapiens*IGHG1*01, G1m17,1 (CH1 K120 (218) (122-219), charnière 1-15 (220-234), CH2 (235-344), CH3 D12 (360), L14 (362), S122>C (446) (345-449), CHS K2>del (450)) (122-450)], (224-214')-disulfure avec la chaîne légère kappa (1'-214') [V-KAPPA Musmus/Homsap (*Mus musculus* IGKV14-111*01 (83.2%) -IGKJ2*03 (83.3%) S120>Q (100), L124>V (104)/*Homo sapiens* IGKV1-16*01 (82.1%) -IGKJ2*01 (91.7%) L124>V (104), CDR-IMGT [6.3.9] (27-32.50-52.89-97)) (1'-107') -*Homo sapiens* IGKC*01 (100%), Km3 A45.1 (153), V101 (191) (108'-214')]; dimère (230-230":233-233")-bisdisulfure, produit dans des cellules ovarienes de hamster chinois (CHO) lignée cellulaire CHO-K1, glycoforme alfa
immunomodulateur, antinéoplasique

pivekimab

inmunoglobulina G1-kappa, anti-[*Homo sapiens*] IL3RA (subunidad alfa del receptor de la interleukina 3, receptor alfa (baja afinidad) de la interleukina 3, CD123)], anticuerpo monoclonal; cadena pesada gamma1 (1-450) [VH (*Homo sapiens* IGHV1-46*01 (80.6%) -IGHD) -IGHJ4*01 (100%), CDR-IMGT [8.8.14] (26-33.51-58.97-110)) (1-121) - *Homo sapiens*IGHG1*01, G1m17,1 (CH1 K120 (218) (122-219), bisagra 1-15 (220-234), CH2 (235-344), CH3 D12 (360), L14 (362), S122>C (446) (345-449), CHS K2>del (450)) (122-450)], (224-214')-disulfuro con la cadena ligera kappa (1'-214') [V-KAPPA Musmus/Homsap (*Mus musculus*) IGKV14-111*01 (83.2%) -IGKJ2*03 (83.3%) S120>Q (100), L124>V (104)/*Homo sapiens* IGKV1-16*01 (82.1%) -IGKJ2*01 (91.7%) L124>V (104), CDR-IMGT [6.3.9] (27-32.50-52.89-97)) (1'-107') -*Homo sapiens* (GKC*01 (100%), Km3 A45.1 (153), V101 (191) (108'-214')]; dímero (230-230":233-233")-bisdisulfuro, producido en las células ováricas de hámster chino (CHO) línea celular CHO-K1, forma glicosilada alfa *inmunomodulador, antineoplásico*

2234335-84-1

Heavy chain / Chaîne lourde / Cadena pesada

QVQLVQSGAE VKKPGAVKV SKASGYIFT SSIMHWVRQA PGQGLEWIGY 50
IKPYNDGTYK NEKFKGRLATL TSDERSTSTAY MELSSLRSED TAVYYCAREG 100
GNDYDMDY WQQGTLVTVS SASTKGPSVF PLAPSSKSTS GGTAALCLCV 150
KDVFPEPVIV SWNSGALTSC VHTTPAVLQS SGLYSISSVW TVPESSLGQT 200
TYICVNHHKP SNTVKDKKVE PKSCDKTHTC PPCPAPPELGP GSVPFLPPK 250
PKDTLMISR PVEVTVVVWD SHEDPEVKEN WYDGVVEHVA ARTKEPREQY 300
NSTYRVVSVL TVLHQDWLNG KEYCKVWSNK ALPAPIEKT SKAKGQPRP 350
QVYLPLPSRD EITKNQVSILT CLVKGFYFPSD IAVENESNGQ PENNYKTPP 400
VLSDSGSFL YSKLTVDKSR WQQGNVFSCS VMHEALHNHY TQKSLCLSFN 450

Light chain / Chaîne légère / Cadena ligera

EIQMTQSPSS LSASVGDRTV ITCRASQDIN SYLSWFQQKP GKAPKTLIYR 50
VNRLVVDGVFS RFSGSQSGND YTLTISSLQP EDFATYYCLQ YDAFYYTFQG 100
GTKVELKRTV AAPSVIFIPP SDEQLKSQTA SVVCLINNFY PREAKVQWKV 150
DNALQSGNSQ ESVTEQDSKD STYSLLSSTLT LSKADYERHK VYACEVTQHG 200
LSSPVSKSFN RGEC 214

Post-translational modifications

Disulfide bridges location / Position des ponts disulfure / Posiciones de los puentes disulfuro
Intra-H (C23-C104) 22-96 148-204 265-325 371-429
22"-96" 148"-204" 265"-325" 371"-429"
Intra-L (C23-C104) 23"-88" 134"-194"
23"-88" 134"-194"
Inter-H-L (h 5-CL 126) 224-214' 224"-214"
Inter-H-H (h 11, h 14) 230-230" 233-233"

N-terminal glutaminyl cyclization / Cyclisation du glutaminyle N-terminal / Ciclación del glutamínilo N-terminal
H VH Q1 > pyroglyutamyl (pE, 5-oxopropyl): 1, 1"

N-glycosylation sites / Sites de N-glycosylation / Posiciones de N-glicosilación
H CH2 N84.4:30.1, 30.1"
Fucosylated complex bi-antennary CHO-type glycans / glycanes de type CHO bi-antennaires complexes fucosylés / glicanos de tipo CHO biantenarios complejos fucosilados.

pivekimabum sunirinum #

pivekimab sunirine

immunoglobulin G1-kappa, anti-[*Homo sapiens*] IL3RA (interleukin 3 receptor subunit alpha, interleukin 3 receptor, alpha (low affinity), CD123)], monoclonal antibody, conjugated with sulfonated DGN549-C, a cytotoxic indolobenzodiazepine dimer bonded to a protease-cleavable maleimidoethylamino-adipyl-Ala-Ala linker;

gamma1 heavy chain (1-450) [VH (*Homo sapiens* IGHV1-46*01 (80.6%) -(IGHD) -IGHJ4*01 (100%), CDR-IMGT [8.8.14] (26-33.51-58.97-110)) (1-121) -*Homo sapiens* IGHG1*01, G1m17.1 (CH1 K120 (218) (122-219), hinge 1-15 (220-234), CH2 (235-344), CH3 D12 (360), L14 (362), S122>C (446) (345-449), CHS K2>del (450)) (122-450)], (224-214')-disulfide with kappa light chain (1'-214') [V-KAPPA Musmus/Homsap (*Mus musculus* IGKV14-111*01 (83.2%) -IGKJ2*03 (83.3%) S120>Q (100), L124>V (104)/*Homo sapiens* IGKV1-16*01 (82.1%) -IGKJ2*01 (91.7%) L124>V (104), CDR-IMGT [6.3.9] (27-32.50-52.89-97)) (1'-107') -*Homo sapiens* IGKC*01 (100%), Km3 A45.1 (153), V101 (191) (108'-214')]; dimer (230-230":233-233")-bisdisulfide, produced in a Chinese hamster ovary (CHO)-K1 cell line, glycoform alfa; conjugated at the sulfur atoms of Cys⁴⁴⁶ and Cys^{446"} with approximately two (3Ξ)-1-[2-(6-[(2S)-1-[(2S)-1-3-((12S,12aS)-8-methoxy-6-oxo-12-sulfo-11,12,12a,13-tetrahydro-6H-indolo[2,1-c][1,4]benzodiazepin-9-yl]oxy)methyl]-5-(((12aS)-8-methoxy-6-oxo-11,12,12a,13-tetrahydro-6H-indolo[2,1-c][1,4]benzodiazepin-9-yl]oxy)methyl)anilino]-1-oxopropan-2-yl]amino)-1-oxopropan-2-yl]amino)-6-oxohexanamidoéthyl]-2,5-dioxopyrrolidin-3-yl (*sunirine*) groups *immunomodulator, antineoplastic*

pivékimab sunirine

immunoglobuline G1-kappa, anti-[*Homo sapiens* IL3RA (sous-unité alpha du récepteur de l'interleukine 3, récepteur alpha (faible affinité) de l'interleukine 3, CD123)], anticorps monoclonal, conjugué au DGN549-C sulfonaté, qui est un dimère d'indolobenzodiazépine cytotoxique lié à un linker maléimidoéthylamino-adipyl-Ala-Ala clivable par protéases; chaîne lourde gamma1 (1-450) [VH (*Homo sapiens* IGHV1-46*01 (80.6%) -(IGHD) -IGHJ4*01 (100%), CDR-IMGT [8.8.14] (26-33.51-58.97-110)) (1-121) -*Homo sapiens* IGHG1*01, G1m17.1 (CH1 K120 (218) (122-219), charnière 1-15 (220-234), CH2 (235-344), CH3 D12 (360), L14 (362), S122>C (446) (345-449), CHS K2>del (450)) (122-450)], (224-214')-disulfure avec la chaîne légère kappa (1'-214') [V-KAPPA Musmus/Homsap (*Mus musculus* IGKV14-111*01 (83.2%) -IGKJ2*03 (83.3%) S120>Q (100), L124>V (104)/*Homo sapiens* IGKV1-16*01 (82.1%) -IGKJ2*01 (91.7%) L124>V (104), CDR-IMGT [6.3.9] (27-32.50-52.89-97)) (1'-107') -*Homo sapiens* IGKC*01 (100%), Km3 A45.1 (153), V101 (191) (108'-214')]; dimère (230-230":233-233")-bisdisulfure, produit dans des cellules ovarianes de hamster chinois (CHO) lignée cellulaire CHO-K1, glycoforme alfa; conjugué aux atomes de soufre de Cys⁴⁴⁶ et Cys^{446"} avec environ deux groupes (3Ξ)-1-[2-(6-[(2S)-1-3-((12S,12aS)-8-méthoxy-6-oxo-12-sulfo-11,12,12a,13-tétrahydro-6H-indolo[2,1-c][1,4]benzodiazépin-9-yl]oxy)méthyl]-5-(((12aS)-8-méthoxy-6-oxo-11,12,12a,13-tétrahydro-6H-indolo[2,1-c][1,4]benzodiazépin-9-yl]oxy)méthyl)anilino]-1-oxopropan-2-yl]amino)-1-oxopropan-2-yl]amino)-6-oxohexanamidoéthyl]-2,5-dioxopyrrolidin-3-yle (*sunirine*) *immunomodulateur, antinéoplasique*

pivekimab sunirina

inmunoglobulina G1-kappa, anti-[*Homo sapiens* IL3RA (subunidad alfa del receptor de la interleukina 3, receptor alfa (baja afinidad) de la interleukina 3, CD123)], anticuerpo monoclonal, conjugado con DGN549-C sulfonado, que es un dímero de indolobenzodiazepina citotóxico unido a un enlace maleimidoétilamino-adipil-Ala-Ala escindible por proteasas;

cadena pesada gamma1 (1-450) [VH (*Homo sapiens* IGHV1-46*01 (80.6%) -(IGHD) -IGHJ4*01 (100%), CDR-IMGT [8.8.14] (26-33.51-58.97-110)) (1-121) -*Homo sapiens* IGHG1*01, G1m17.1 (CH1 K120 (218) (122-219), bisagra1-15 (220-234), CH2 (235-344), CH3 D12 (360), L'14 (362), S122>C (446) (345-449), CHS K2>del (450)) (122-450)], (224-214')-disulfuro con la cadena ligera kappa (1'-214') [V-KAPPA Musmus/Homsap (*Mus musculus* IGKV14-111*01 (83.2%) -IGKJ2*03 (83.3%) S120>Q (100), L124>V (104)/*Homo sapiens* IGKV1-16*01 (82.1%) -IGKJ2*01 (91.7%) L124>V (104), CDR-IMGT [6.3.9] (27-32.50-52.89-97)) (1'-107') -*Homo sapiens* IGKC*01 (100%), Km3 A45.1 (153), V101 (191) (108'-214')]; dímero (230-230':233-233")-bisdisulfuro; producido en las células ováricas de hámster chino (CHO) línea celular CHO-K1, forma glicosilada alfa; conjugado en los átomos de azufre de Cys⁴⁴⁶ y Cys^{446'} con aproximadamente dos grupos (3Ξ)-1-[2-(6-[(2S)-1-((2S)-1-[3-((12S,12aS)-8-metoxi-6-oxo-12-sulfo-11,12,12a,13-tetrahidro-6H-indolo[2,1-c][1,4]benzodiazepin-9-il]oxi)methyl)-5-((12aS)-8-metoxi-6-oxo-11,12,12a,13-tetrahidro-6H-indolo[2,1-c][1,4]benzodiazepin-9-il]oxi)methyl]anilino]-1-oxopropan-2-il]amino)-1-oxopropan-2-il]amino)-6-oxohexanamido)ethyl]-2,5-dioxopirrolidin-3-ilo (*sunirina*)
inmunomodulador, antineoplásico

2417174-95-7

Heavy chain / Chaîne lourde / Cadena pesada

```

OQVLVQSGAE VKKPGASVKV SCKASGYIFT SSIMHWVRQA PGQGLEWIGY 50
IKPYNDGTYK NEFKKGRTATL TSDRSTSTAY MELSSLRSED TAVYYCAREG 100
GNDYYDTMDY WGGQTLLVTVS SASTKGFPSVE PLAFSSKSTS GGTAALGCLV 150
KDYFPEEFVTW SWNSGALTSE VHTFFPAVLQSQ SGYLSLSV SVFVSSSLGTQ 200
TYICNVNWKRP SNTKVDKVKVE PKSCDKTHTC PFCPAFELGP GSPVLFFPK 250
PKDTLMISRT PEVTCVVVDV SHEDPEVKFN NYWDGVVEHN AKTKPREEQY 300
NSTYRVVSVL TVLHQDWLNG SHEYCKCVSNK ALPAPIEKTI SKAKQPREP 350
QVYTLPPSRD ELTKRNQVSLLT CLVKGFYPSD IAVEWESNGQ PENNYKTTPP 400
VLDSDGSFFL YSLKLTVDRKS R WQQGNVFCSCS VMHEALHNHY TQKSLCLSPG 450

```

Light chain / Chaîne légère / Cadena ligera

```

ETQMTQSPSS LSASVGDRVT ITCRASQDIN SYLSWFQQKP GKAPKTLIYR 50
VNRLIVDGVP S RFSGSGSGND YTLTISSLQP EDFATYYCLQ YDAFPYTFQ 100
GTFKVEIKRTV AAPSVFIFPP SDEQLKSGTA SVVCLLNNFY PREAKVQMV 150
DNAIQSGNQSQ ESVTEQDSDK STYSLSSTLT LSKADYEKKH VYACEVTHQ 200
LSSPVTKSFN R GEC 214

```

Post-translational modifications

Disulfide bridges location / Position des ponts disulfure / Posiciones de los puentes disulfuro

Intra-H (C23-C104) 22-96 148-204 265-325 371-429

22"-96" 148"-204" 265"-325" 371"-429"

Intra-L (C23-C104) 23"-88" 134"-194"

23"-88" 134"-194"

Inter-H-L (h 5-Cl 126) 224-214" 224"-214"

Inter-H-H (h 11, h 14) 230-230" 233-233"

N-terminal glutaminyl cyclization / Cyclisation du glutaminyle N-terminal / Ciclación del

glutaminilo N-terminal

H VH Q1> pyroglutamyl (pE, 5-oxoprolyl): 1, 1"

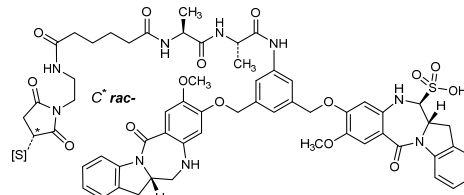
N-glycosylation sites / Sites de N-glycosylation / Posiciones de N-glicosilación

H CH2 N84.4: 301, 301"

Fucosylated complex bi-antennary CHO-type glycans / glycanes de type CHO bi-antennaires complexes fucosylés / glicanos de tipo CHO biantenarios complejos fucosilados.

Conjugation sites / Sites de conjugaison / Posiciones de coniugación

-1.5-2.1 sunirine groups/mAb at the S atoms of Cys C446, C446"/~1.5-2.1 sunirine groups/mAb sur l'atome S de Cys C446, C446"/~1.5-2.1 grupos sunirina/mAb sobre el átomo S de Cys C446, C446":



11789--pixofisiranum

pixofisiran

cytidylyl-(3'→5')-cytidylyl-(3'→5')-cytidylyl-(3'→5')-adenylyl-(3'→5')-adenylyl-(3'→5')-guanylyl-(3'→5')-guanylyl-(3'→5')-guanylyl-(3'→5')-cytidylyl-(3'→5')-uridylyl-(3'→5')-adenylyl-(3'→5')-cytidylyl-(3'→5')-cytidylyl-(3'→5')-adenylyl-(3'→5')-uridylyl-(3'→5')-guanylyl-(3'→5')-cytidylyl-(3'→5')-cytidylyl-(3'→5')-adenylyl-(3'→5')-uridylyl-(3'→5')-uridylyl-(3'→5')-cytidylyl-(3'→5')-uridine,
duplex with

guanylyl-(5'→3')-guanylyl-(5'→3')-guanylyl-(5'→3')-uridylyl-(5'→3')-uridylyl-(5'→3')-cytidylyl-(5'→3')-cytidylyl-(5'→3')-cytidylyl-(5'→3')-guanylyl-(5'→3')-adenylyl-(5'→3')-uridylyl-(5'→3')-guanylyl-(5'→3')-guanylyl-(5'→3')-uridylyl-(5'→3')-adenylyl-(5'→3')-cytidylyl-(5'→3')-guanylyl-(5'→3')-guanylyl-(5'→3')-uridylyl-(5'→3')-uridylyl-(5'→3')-guanylyl-(5'→3')-adenylyl-(5'→3')-adenylyl-(5'→3')-adenosine

transforming growth factor beta-1 (TGFB1) synthesis reducer, antineoplastic

pixofisiran

cytidylyl-(3'→5')-cytidylyl-(3'→5')-cytidylyl-(3'→5')-adénlyl-(3'→5')-adénlyl-(3'→5')-adénlyl-(3'→5')-guanylyl-(3'→5')-guanylyl-(3'→5')-guanylyl-(3'→5')-cytidylyl-(3'→5')-uridylyl-(3'→5')-adénlyl-(3'→5')-uridylyl-(3'→5')-cytidylyl-(3'→5')-cytidylyl-(3'→5')-adénlyl-(3'→5')-uridylyl-(3'→5')-guanylyl-(3'→5')-cytidylyl-(3'→5')-cytidylyl-(3'→5')-uridylyl-(3'→5')-uridylyl-(3'→5')-cytidylyl-(3'→5')-uridine,
duplex avec

guanylyl-(5'→3')-guanylyl-(5'→3')-guanylyl-(5'→3')-uridylyl-(5'→3')-uridylyl-(5'→3')-cytidylyl-(5'→3')-cytidylyl-(5'→3')-cytidylyl-(5'→3')-guanylyl-(5'→3')-adénlyl-(5'→3')-uridylyl-(5'→3')-guanylyl-(5'→3')-guanylyl-(5'→3')-uridylyl-(5'→3')-adénlyl-(5'→3')-cytidylyl-(5'→3')-guanylyl-(5'→3')-uridylyl-(5'→3')-uridylyl-(5'→3')-guanylyl-(5'→3')-adénlyl-(5'→3')-adénlyl-(5'→3')-guanylyl-(5'→3')-adénosine

réducteur de la synthèse du facteur de croissance transformant bêta-1 (TGFB1), antinéoplasique

pixofisirán

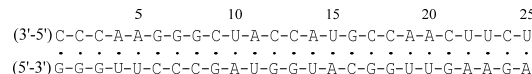
citidilil-(3'→5')-citidilil-(3'→5')-citidilil-(3'→5')-adenilil-(3'→5')-adenilil-(3'→5')-guanilil-(3'→5')-guanilil-(3'→5')-guanilil-(3'→5')-citidilil-(3'→5')-uridilil-(3'→5')-adenilil-(3'→5')-citidilil-(3'→5')-citidilil-(3'→5')-adenilil-(3'→5')-uridilil-(3'→5')-guanilil-(3'→5')-citidilil-(3'→5')-citidilil-(3'→5')-adenilil-(3'→5')-adenilil-(3'→5')-citidilil-(3'→5')-citidilil-(3'→5')-uridilil-(3'→5')-uridilil-(3'→5')-uridine,
duplex con

guanilil-(5'→3')-guanilil-(5'→3')-guanilil-(5'→3')-uridilil-(5'→3')-uridilil-(5'→3')-citidilil-(5'→3')-guanilil-(5'→3')-adenilil-(5'→3')-uridilil-(5'→3')-guanilil-(5'→3')-guanilil-(5'→3')-uridilil-(5'→3')-adenilil-(5'→3')-citidilil-(5'→3')-guanilil-(5'→3')-guanilil-(5'→3')-uridilil-(5'→3')-adenilil-(5'→3')-guanilil-(5'→3')-adenosina

reductor de la síntesis del factor de crecimiento transformante beta-1 (TGFB1), antineoplásico

$C_{475}H_{591}N_{189}O_{346}P_{48}$

1152798-48-5

**pruxelutamidum**

pruxelutamide

$^{12}\text{-fluoro-2}^4,2^4\text{-dimethyl-2}^5\text{-oxo-2}^2\text{-sulfanylidene-1}^3\text{-}$
 (trifluoromethyl)-3(5,2)-pyridina-7(2)-[1,3]oxazola-
 2(1,3)-imidazolidina-1(1)-benzenaheptaphane-1 4 -
 carbonitrile

antiandrogen, antineoplastic

pruxélutamide

$^{12}\text{-fluoro-2}^4,2^4\text{-diméthyl-2}^5\text{-oxo-2}^2\text{-sulfanylidène-1}^3\text{-}$
 (trifluorométhyl)-3(5,2)-piridina-7(2)-[1,3]oxazola-
 2(1,3)-imidazolidina-1(1)-benzénahéptafano-1 4 -carbonitrile

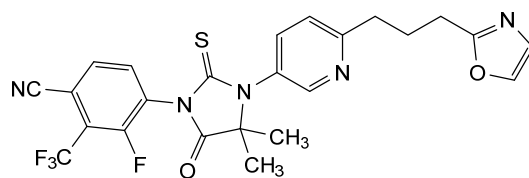
antiandrogène, antinéoplasique

pruxelutamida

$^{12}\text{-fluoro-2}^4,2^4\text{-dimetil-2}^5\text{-oxo-2}^2\text{-sulfanilideno-1}^3\text{-}$
 (trifluorometil)-3(5,2)-piridina-7(2)-[1,3]oxazola-2(1,3)-
 imidazolidina-1(1)-benzenaheptafano-1 4 -carbonitriolo

antiandrógeno, antineoplásico $C_{24}H_{19}F_4N_5O_2S$

1398046-21-3

**pulocimabum #**

pulocimab

immunoglobulin G1-kappa, anti-[*Homo sapiens* KDR (kinase insert domain receptor, vascular endothelial growth factor receptor 2, VEGFR2, VEGF-R2, FLK1, CD309)], monoclonal antibody; gamma1 heavy chain (1-446) [VH (*Homo sapiens* IGHV3-21*01 (99.0%) -IGHD -IGHJ3*02 (100%), CDR-IMGT [8.8.9] (26-33.51-58.97-105)) (1-116) - *Homo sapiens*IGHG1*01 (100%), G1m17,1 (CH1 K120 (213) (117-214), hinge 1-15 (215-229), CH2 (230-339), CH3 D12 (355), L14 (357) (340-444), CHS (445-446)) (117-446)], (219-214')-disulfide with kappa light chain (1'-214') [V-KAPPA (*Homo sapiens* IGKV1-12*01 (84.2%) -IGKJ4*01 (90.9%) E125>D (105), CDR-IMGT [6.3.9] (27-32.50-52.89-97)) (1'-107') - *Homo sapiens* IGKC*01 (100%), Km3 A45.1 (153), V101 (191) (108'-214')]; dimer (225-225":228-228") bisdisulfide, produced in Chinese hamster ovary (CHO) cells, glycoform alfa *angiogenesis inhibitor, antineoplastic*

pulocimab

immunoglobulin G1-kappa, anti-[*Homo sapiens* KDR (kinase insert domain receptor, vascular endothelial growth factor receptor 2, VEGFR2, VEGF-R2, FLK1, CD309)], monoclonal antibody;

chaîne lourde gamma1 (1-446) [VH (*Homo sapiens* IGHV3-21*01 (99.0%) -(IGHD) -IGHJ3*02 (100%), CDR-IMGT [8.8.9] (26-33.51-58.97-105)) (1-116) -*Homo sapiens* IGHG1*01 (100%), G1m17,1 (CH1 K120 (213) (117-214), charnière 1-15 (215-229), CH2 (230-339), CH3 D12 (355), L14 (357) (340-444), CHS (445-446)) (117-446)], (219-214')-disulfure avec la chaîne légère kappa (1'-214') [V-KAPPA (*Homo sapiens* IGKV1-12*01 (84.2%) -IGKJ4*01 (90.9%) E125>D (105), CDR-IMGT [6.3.9] (27-32.50-52.89-97)) (1'-107') -*Homo sapiens* IGKC*01 (100%), Km3 A45.1 (153), V101 (191) (108'-214')]; dimère (225-225":228-228")-bisdisulfure, produit dans des cellules ovariennes de hamster chinois (CHO), glycoforme alfa inhibiteur de l'angiogénèse, antineoplasique

pulocimab

inmunoglobulina G1-kappa, anti-[*Homo sapiens* KDR (receptor con dominio insert kinasa, receptor 2 del factor de crecimiento endotelial vascular, VEGFR2, VEGF-R2, FLK1, CD309)], anticuerpo monoclonal; cadena pesada gamma1 *Homo sapiens* (1-446) [VH (*Homo sapiens* IGHV3-21*01 (99.0%) -(IGHD) -IGHJ3*02 (100%), CDR-IMGT [8.8.9] (26-33.51-58.97-105)) (1-116) -*Homo sapiens* IGHG1*01 (100%), G1m17,1 (CH1 K120 (213) (117-214), bisagra 1-15 (215-229), CH2 (230-339), CH3 D12 (355), L14 (357) (340-444), CHS (445-446)) (117-446)], (219-214')-disulfuro con la cadena ligera kappa (1'-214') [V-KAPPA (*Homo sapiens* IGKV1-12*01 (84.2%) -IGKJ4*01 (90.9%) E125>D (105), CDR-IMGT [6.3.9] (27-32.50-52.89-97)) (1'-107') -*Homo sapiens* IGKC*01 (100%), Km3 A45.1 (153), V101 (191) (108'-214')]; dímero (225-225":228-228")-bisdisulfuro, producido en las células ováricas de hámster chino (CHO), forma glicosilada alfa inhibidor de la angiogénesis, antineoplásico

2428381-49-9

Heavy chain / Chaîne lourde / Cadena pesada

```

EVQLVQSGGG LVKPGGSIRL SCAASGFTFS SYSMNWVRQA PGKGLEWVSS 50
ISSSSYYQQY ADDSVKGRTI SRDNAKNSLY LQMNSLRAED TAVYYCARVT 100
DAFDIWQGGT MVTVSSASTK GPSVFPFLAPS SKSTSQTAA LGCLVKDVF 150
EPVTVWSNG ALTSGVHTTFP AVLQSSGLYS LSSVVTVPSS SLGTQTYICN 200
VNHKPSNTKV DRKVEPKRSCD KTHTCPCPCA PELLGGPSVF LFPKPKDTL 250
MISRTPEVTC VVVDVSHEDP EVKFNWYWDG VEVHNNAKTP REEQYNSTYR 300
VVSVLTVLHQ DWLNGKEYKC KVSNKALFAP IEKTISKAKG QPREPQVYTL 350
PPSRDELTKN QVSLTCLVKG FYPSDIAVEW ESNQCPENNY KTTTPVLDSD 400
GSFFLYSKLT VDKSRWQZQGN VFSCSVMHEA LHNHYTQKSL SLSPGK 446

```

Light chain / Chaîne légère / Cadena ligera

```

DQGMIQSPSS VSAS1GDRVT ITCRASQGLD NWLGWYQQKP GKAPKLLIYD 50
ASNLDTGVPY RFSGSGSGTY FTLTISLQA EDFAVYFCQQ AKAFFPTFGG 100
GTVKIDIKRTV AAPSVFIFPPP SDEQLIKSGTA SVVCLLNFYF FREAKVQNVK 150
DNAQSQGNSQ ESVTEQISKD STYSLSSLT LSKADYEKHK VYACEBVTHQG 200
LSSFVTKSFN RGEC 214

```

Post-translational modifications

Disulfide bridges location / Position des ponts disulfure / Posiciones de los puentes disulfuro

Intra-H (C23-C104) 22-96 143-199 260-320 366-424

22"-96" 143"-199" 260"-320" 366"-424"

Intra-L (C23-C104) 23"-88" 134"-194"

23"-88" 134"-194"

Inter-H-L (h 5-CL 126) 219-214" 219"-214"

Inter-H-H (h 11,h 14) 225-225" 228-228"

N-glycosylation sites / Sites de N-glycosylation / Posiciones de N-glicosilación

H CH2 N84.4: 296, 296"

Fucosylated complex bi-antennary CHO-type glycans / glycanes de tipo CHO bi-antennaires complexes fucosylés / glicanos de tipo CHO biantennarios complejos fucosilados.

C-terminal lysine clipping / Coupe de la lysine C-terminale / Recorte de lisina C-terminal

H CHS K2: 446, 446"

quisovalimabum #

quisovalimab

immunoglobulin G4-kappa, anti-[*Homo sapiens* TNFSF14 (tumor necrosis factor (TNF) superfamily member 14, LIGHT, HVEM-L, CD258)], *Homo sapiens* monoclonal antibody;
 gamma4 heavy chain *Homo sapiens* (1-448) [VH (*Homo sapiens* IGHV4-34*01 (95.9%) -(IGHD) -IGHJ6*01 (100%), CDR-IMGT [8.7.16] (26-33.51-57.96-111)) (1-122)-*Homo sapiens* IGHG4*01, G4v5 h P10, G4v3 CH2 E1.2 (CH1 (123-220), hinge 1-12 S10>P (230) (221-232), CH2 L1.2>E (237) (233-342), CH3 (343-447), CHS K>del (448)) (123-448)], (136-214')-disulfide with kappa light chain *Homo sapiens* (1'-214') [V-KAPPA (*Homo sapiens* IGKV1-13*02 (97.9%) -IGKJ4*01 (100%), CDR-IMGT [6.3.9] (27-32.50-52.89-97)) (1'-107') -*Homo sapiens* IGKC*01 (100%), Km3 A45.1 (153), V101 (191) (108'-214')]; dimer (228-228":231-231")-bisdisulfide, produced in a Chinese hamster ovary (CHO)-K1SV cell line, glycoform alfa
anti-inflammatory, immunomodulator

quisovalimab

immunoglobuline G4-kappa, anti-[*Homo sapiens* TNFSF14 (membre 14 de la superfamille des ligands du facteur de nécrose tumorale, LIGHT, HVEM-L, CD258)], anticorps monoclonal *Homo sapiens*;
 chaîne lourde gamma4 *Homo sapiens* (1-448) [VH (*Homo sapiens* IGHV4-34*01 (95.9%) -(IGHD) -IGHJ6*01 (100%), CDR-IMGT [8.7.16] (26-33.51-57.96-111)) (1-122)-*Homo sapiens* IGHG4*01, G4v5 h P10, G4v3 CH2 E1.2 (CH1 (123-220), charnière 1-12 S10>P (230) (221-232), CH2 L1.2>E (237) (233-342), CH3 (343-447), CHS K>del (448)) (123-448)], (136-214')-disulfure avec la chaîne légère kappa *Homo sapiens* (1'-214') [V-KAPPA (*Homo sapiens* IGKV1-13*02 (97.9%) -IGKJ4*01 (100%), CDR-IMGT [6.3.9] (27-32.50-52.89-97)) (1'-107') -*Homo sapiens* IGKC*01 (100%), Km3 A45.1 (153), V101 (191) (108'-214')]; dimère (228-228":231-231")-bisdisulfure, produit dans des cellules ovarianes de hamster chinois (CHO) lignée cellulaire CHO-K1SV, glycoforme alfa
anti-inflammatoire, immunomodulateur

quisovalimab

inmunoglobulina G4-kappa, anti-[*Homo sapiens* TNFSF14 (miembro 14 de la superfamilia de los ligandos del factor de necrosis tumoral, LIGHT, HVEM-L, CD258)], anticuerpo monoclonal *Homo sapiens*;
 cadena pesada gamma4 *Homo sapiens* (1-448) [VH (*Homo sapiens* IGHV4-34*01 (95.9%) -(IGHD) -IGHJ6*01 (100%), CDR-IMGT [8.7.16] (26-33.51-57.96-111)) (1-122)-*Homo sapiens* IGHG4*01, G4v5 h P10, G4v3 CH2 E1.2 (CH1 (123-220), bisagra 1-12 S10>P (230) (221-232), CH2 L1.2>E (237) (233-342), CH3 (343-447), CHS K>del (448)) (123-448)], (136-214')-disulfuro con la cadena ligera kappa *Homo sapiens* (1'-214') [V-KAPPA (*Homo sapiens* IGKV1-13*02 (97.9%) -IGKJ4*01 (100%), CDR-IMGT [6.3.9] (27-32.50-52.89-97)) (1'-107') -*Homo sapiens* IGKC*01 (100%), Km3 A45.1 (153), V101 (191) (108'-214')]; dímero (228-228":231-231")-bisdisulfuro, producido en las células ováricas de hámster chino (CHO) línea celular CHO-K1SV, forma glicosilada alfa
antiinflamatorio, inmunomodulador

Heavy chain / Chaîne lourde / Cadena pesada

QVQLQQWGAG LLKPSETLSL TCAYVGGGSFS GYNHHWIRQP PGKGLEWIGE 50
 ITHSGSTNNY PSLSKRVTIS VDTSKNQFSL KLSSVTAADT AVYYCVERIA 100
 VAGTGYGMD VNGQTTTVTV SSASTKGPSV FPLAPCSRST SEESTAALGCL 150
 VKDYFFPEVTV VSNNSGALTIS GVHTTPAVLQ SSGLYSLSV SVTVFSSSLGT 200
 KTYTCNVVDHPS PSLTKVDRV ESKYGPCCP CFAPEFEQGP SVFLFPFKPK 250
 DTLMISRTPE VTCVVVDVDSQ EDPEVQFNWY VDGVEVHNAR TPKPREEQFNS 300
 TYRVSVLITV LHQDWLNLKE YKCKVSNKGL PSSIEKTISK AKGQPRREPQV 350
 YTLPSPQEEM TNQVQSLTCL VKGFYPSDIA VEWESNGQPE NNYKTTTPVIL 400
 DSDGSFFFLYS RLTVDKSRWQ EGKVFSCSVME HEALHNHYTQ KSLSLSLG 448

Light chain / Chaîne légère / Cadena ligera

AIQLQTGSPSS LSASVGRDVT ITCRASQGIN SAFAWYQQKPG GKAPKLIIYD 50
 ASSLESGVPS RFSGSGSGTD FTLLTSSLQGP EDFATYQQQ FNSYPLTFQG 100
 GTKVEIKRTV AAPSVFIFPP SDEQLKSGTA SVVCLNNFY PREAKVQWVY 150
 DNALQSGNSQ ESVTEQBSDK STYSLSSLT LSKADYEKHK VYACEVTHQG 200
 LSSPVTKSFPT RGEC 214

Post-translational modifications

Disulfide bridges location / Position des ponts disulfure / Posiciones de los puentes disulfuro
 Intra-H (C23-C104) 22-95 149-205 263-323 369-427

22"-95" 149"-205" 263"-323" 369"-427"

Intra-L (C23-C104) 23"-88" 134"-194"

23"-88" 134"-194"

Inter-H-L (CH1-10-CL 126) 136-214" 136"-214"

Inter-H-H (h 8, h 11) 228-228" 231-231"

N-terminal glutaminyl cyclization / Cyclisation du glutaminylique N-terminal / Ciclación del glutamínico N-terminal
 H VH QI > pyroglutamyl (pE, 5-oxoprolyl): 1, 1"

N-glycosylation sites / Sites de N-glycosylation / Posiciones de N-glicosilación

H CH2 N84.4: 299, 299"

Fucosylated complex bi-antennary CHO-type glycans / glycanes de tipo CHO bi-antennarios complejos fucosilados / glicanos de tipo CHO biantenarios complejos fucosilados.

rebemadlinum

rebemadlin

4-[(4*S*,5*R*)-4,5-bis(4-chlorophenyl)-2-(4-methoxy-2-[(propan-2-yl)oxy]phenyl)-4,5-dihydro-1*H*-imidazole-1-carbonyl]piperazin-2-one

E3 ubiquitin-protein ligase Mdm2 (Hdm2) inhibitor

rébémadline

4-[(4*S*,5*R*)-4,5-bis(4-chlorophényle)-2-(4-méthoxy-2-[(propan-2-yl)oxy]phényl)-4,5-dihydro-1*H*-imidazole-1-carbonyl]pipérazin-2-one

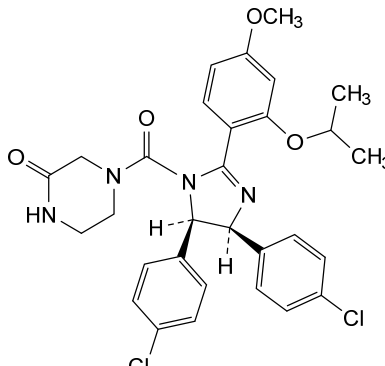
inhibiteur de l'ubiquitine-protéine ligase E3 Mdm2 (Hdm2)

rebemadlina

4-[(4*S*,5*R*)-4,5-bis(4-clorofenil)-2-(4-metoxi-2-[(propan-2-il)oxi]fenil)-4,5-dihidro-1*H*-imidazol-1-carbonil]piperazin-2-ona

inhibidor de ubiquitina-proteína ligasa E3 Mdm2 (Hdm2)

C₃₀H₃₀Cl₂N₄O₄ 675576-98-4



rencofilstatum

rencofilstat

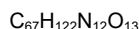
6-[(2S,3R,4R)-10-acetamido-3-hydroxy-4-methyl-2-(methylamino)decanoic acid]-8-(N-methyl-D-alanine)cyclosporin A;
 1,11-anhydro[L-alanyl-D-alanyl-N-methyl-L-leucyl-N-methyl-L-leucyl-N-methyl-L-valyl-(3R,4R)-10-acetamido-3-hydroxy-N,4-dimethyl-L-2-aminodecanoyl-L-2-aminobutanoyl-N-methyl-D-alanyl-N-methyl-L-leucyl-L-valyl-N-methyl-L-leucine]
cyclophilin inhibitor

rencofilstat

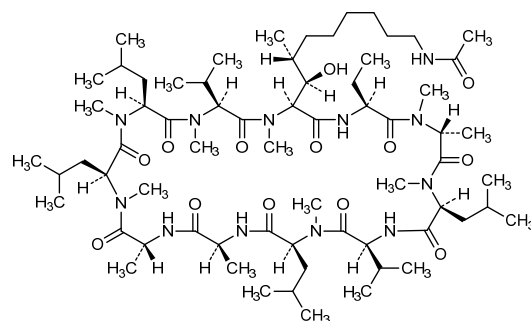
6-[acide (2S,3R,4R)-10-acétamido-3-hydroxy-4-méthyl-2-(méthylamino)décanoïque]-8-(N-méthyl-D-alanine)cyclosporin A;
 1,11-anhydro[L-alanyl-D-alanyl-N-méthyl-L-leucyl-N-méthyl-L-leucyl-N-méthyl-L-valyl-(3R,4R)-10-acétamido-3-hydroxy-N,4-diméthyl-L-2-aminodécanoyl-L-2-aminobutanoyl-N-méthyl-D-alanyl-N-méthyl-L-leucyl-L-valyl-N-méthyl-L-leucine]
inhibiteur de la cyclophiline

rencofilstat

6-[ácido (2S,3R,4R)-10-acetamido-3-hidroxi-4-metil-2-(metilamino)decanoico]-8-(N-metil-D-alanina)ciclosporina A;
 1,11-anhidro[L-alanil-D-alanil-N-metil-L-leucil-N-metil-L-leucil-N-metil-L-valil-(3R,4R)-10-acetamido-3-hidroxi-N,4-dimetil-L-2-aminodecanoil-L-2-aminobutanoil-N-metil-D-alanil-N-metil-L-leucil-L-valil-N-metil-L-leucina]
inhibidor de la ciclofilina



1383420-08-3

**riletamotidum**

riletamotide

telomerase reverse transcriptase (human TERT, hTERT, EC:2.7.7.49) (651-665)-peptide;
 L-alanyl-L- α -glutamyl-L-arginyl-L-leucyl-L-threonyl-L-seryl-L-arginyl-L-valyl-L-lysyl-L-alanyl-L-leucyl-L-phenylalanyl-L-seryl-L-valyl-L-leucine
immunological agent for active immunization

rilétamotide

(651-665)-peptide de la transcriptase inverse de la télomérase (TERT humaine, hTERT, EC:2.7.7.49);
 L-alanyl-L- α -glutamyl-L-arginyl-L-leucyl-L-thréonyl-L-séryl-L-arginyl-L-valyl-L-lysyl-L-alanyl-L-leucyl-L-phénylalanyl-L-séryl-L-valyl-L-leucine
agent immunologique d'immunisation active

riletamotida

(651-665)-péptido de la telomerasa transcriptasa inversa (TERT humana, hTERT, EC:2.7.7.49);
 L-alanil-L- α -glutamil-L-arginil-L-leucil-L-treonil-L-seril-L-arginil-L-valil-L-lisil-L-alanil-L-leucil-L-fenilalanil-L-seril-L-valil-L-leucina
agente inmunológico para inmunización activa

C76H132N22O21

524061-04-9

AERLTSRVKA LFSVL 15

rimteravimabum #

rimteravimab

immunoglobulin gamma1 VH-h-CH2-CH3 dimer, anti-[receptor binding domain (RBD) of the spike (S) glycoprotein of severe acute respiratory syndrome coronavirus (SARS-CoV) / severe acute respiratory syndrome coronavirus 2 (SARS-CoV-2) / bat SARS-like (bat) coronavirus WIV1 (bat SL-CoV-WIV1)], monoclonal antibody, bivalent; gamma1 VH-h-CH2-CH3 chain (1-361) [VH Vicpac/Homsap (*Vicugna pacos*) IGHV3-3*01 R50 (45) (93.8%) -(IGHD) -IGHJ3*01 (92.3%)/*Homo sapiens* IGHV3-23*04 (83.5%) -(IGHD) -IGHJ4*01 (92.9%), CDR-IMGT [8.8.18] (26-33.51-58.97-114)) (1-125)] -10 mer bis(tetraglycyl-séryl) linker (126-135) -[*Homo sapiens*] IGHG1*01 h-CH2-CH3, G1m17, G1v14 CH2 A1.3, A1.2 (hinge 6-15 (136-145), CH2 L1.3>A (149), L1.2>A (150) (146-255), CH3 D12 (271), L14 (273) (256-360), CHS K>del (361)) (136-361)], dimer (141-141":144-144")-bisdisulfide, produced in a Chinese hamster ovary (CHO)-DG44 cell line, glycoform alfa *antiviral*

rimtérvimab

immunoglobuline gamma1 VH-h-CH2-CH3 dimère, anti-[domaine de liaison au récepteur (RBD) de la glycoprotéine spike (S) de coronavirus du syndrome respiratoire aigu sévère (SARS-CoV)] / coronavirus 2 du syndrome respiratoire aigu sévère (SARS-CoV-2) / coronavirus WIV1 (chauve-souris) du bat SARS-like (bat SL-CoV-WIV1)], anticorps monoclonal, bivalent; gamma1 VH-h-CH2-CH3 chaîne (1-361) [VH Vicpac/Homsap (*Vicugna pacos*) IGHV3-3*01 R50 (45) (93.8%) -(IGHD) -IGHJ3*01 (92.3%)/*Homo sapiens* IGHV3-23*04 (83.5%) -(IGHD) -IGHJ4*01 (92.9%), CDR-IMGT [8.8.18] (26-33.51-58.97-114)) (1-125)] -10 mer bis(tétraglycyl-séryl) linker (126-135) -[*Homo sapiens*] IGHG1*01 h-CH2-CH3, G1m17, G1v14 CH2 A1.3, A1.2 (charnière 6-15 (136-145), CH2 L1.3>A (149), L1.2>A (150) (146-255), CH3 D12 (271), L14 (273) (256-360), CHS K>del (361)) (136-361)], dimère (141-141":144-144")-bisdisulfure, produit dans des cellules ovariennes de hamster chinois (CHO) lignée cellulaire CHO-DG44, glycoforme alfa *antiviral*

rimteravimab

inmunoglobulina gamma1 VH-h-CH2-CH3 dímero, anti-[dominio de unión al receptor (RBD) de la glicoproteína spike (S) de coronavirus del síndrome respiratorio agudo severo (SARS-CoV)] / coronavirus 2 del síndrome respiratorio agudo severo (SARS-CoV-2) / coronavirus WIV1 (murciélagos) del bat SARS-like (bat SL-CoV-WIV1)], anticuerpo monoclonal, bivalente; gamma1 VH-h-CH2-CH3 cadena (1-361) [VH Vicpac/Homsap (*Vicugna pacos*) IGHV3-3*01 R50 (45) (93.8%) -(IGHD) -IGHJ3*01 (92.3%)/*Homo sapiens* IGHV3-23*04 (83.5%) -(IGHD) -IGHJ4*01 (92.9%), CDR-IMGT [8.8.18] (26-33.51-58.97-114) (1-125)] -10 mer bis(tetraglicil-seril) linker (126-135) -[*Homo sapiens* IGHG1*01 h-CH2-CH3, G1m17, G1v14 CH2 A1.3, A1.2 (bisagra 6-15 (136-145), CH2 L1.3>A (149), L1.2>A (150) (146-255), CH3 D12 (271), L14 (273) (256-360), CHS K>del (361)) (136-361)], dímero (141-141":144-144")-bisdisulfuro, producido en las células ováricas de hámster chino (CHO) línea celular CHO-DG44, forma glicosilada alfa

antiviral

2540797-21-3

Heavy chain / Chaîne lourde / Cadena pesada

```
DVQI1VE5GGG LVQPGGSRLR SCAASGRTEFS EYAMGWFRQA PGKEREFLVAT 50
ISWGGATIYY TDSVKGRFTI SRDNAKNTVYI LQMNSLRPED TAVYVCAAG 100
LGTVVSEWDY DYDYWGQQTIL VTVSSGGGGS GGGGSDKTHT CPPCPAPEAA 150
GGPSVFLFFF KPDKDTLMISR TPEVTCVWVD VSHEDPEVKF NWYVVGVEHV 200
NAKTKPREEQ YNSTYRVWSV LTVLHQDWLN GKEYKCKVSN KALPAPIEKT 250
ISKAKGOPRE PQVYTLPPSR DELTKNQVSL TCLVKGFYPS DIAVEWESNG 300
QPENNYKTTF PVLDSDGSSF LYSKLTVDKS RWQQGNVFSC SVMHEALHNH 350
YTQKSLSLSP G 361
```

Post-translational modifications

Disulfide bridges location / Position des ponts disulfure / Posiciones de los puentes disulfuro

Intra-V (C23 C104) 22-96

22"-96"

Intra-C (C23-C104) 176-236 282-340

176"-236" 282"-340"

Inter-H-H (h 11, h 14) 141-141" 144-144"

N-glycosylation sites / Sites de N-glycosylation / Posiciones de N-glicosilación

H CH2 N84.4: 212, 212"

Fucosylated complex bi-antennary CHO-type glycans / glycanes de type CHO bi-antennaires complexes fucosylés / glicanos de tipo CHO biantenarios complejos fucosilados.

rocatinlimab #

rocatinlimab

immunoglobulin G1-kappa, anti-[*Homo sapiens* TNFRSF4 (tumor necrosis factor receptor (TNFR) superfamily member 4, OX40, CD134)], *Homo sapiens* monoclonal antibody; gamma1 heavy chain *Homo sapiens* (1-447) [VH (*Homo sapiens* IGHV2-5*02 (94.0%) -(IGHD) -IGHJ1*01 (100%), CDR-IMGT [10.7.9] (26-35.53-59.98-106)) (1-117) -*Homo sapiens* IGHG1*01 (100%), G1m17, 1 (CH1 K120 (214) (118-215), hinge 1-15 (216-230), CH2 (231-340), CH3 D12 (356), L14 (358) (341-445), CHS (446-447)) (118-447)], (220-214")-disulfide with kappa light chain *Homo sapiens* (1'-214') [V-KAPPA (*Homo sapiens* IGKV3-20*01 (98.9%) -IGKJ4*01 (100%), CDR-IMGT [7.3.8] (27-33.51-53.90-97)) (1'-107') -*Homo sapiens* IGKC*01 (100%), Km3 A45.1 (153), V101 (191) (108"-214')]; dimer (226-226":229-229")-bisdisulfide, produced in Chinese hamster ovary (CHO) cells, glycoform alfa immunomodulator

rocatinlimab

immunoglobuline G1-kappa, anti-[*Homo sapiens* TNFRSF4 (membre 4 de la superfamille des récepteurs du facteur de nécrose tumorale (TNFR), OX40, CD134)], anticorps monoclonal *Homo sapiens*;

chaîne lourde gamma1 *Homo sapiens* (1-447) [VH (*Homo sapiens* IGHV2-5*02 (94.0%) -(IGHD) -IGHJ1*01 (100%), CDR-IMGT [10.7.9] (26-35.53-59.98-106)) (1-117) -*Homo sapiens* IGHG1*01 (100%), G1m17,1 (CH1 K120 (214) (118-215), charnière 1-15 (216-230), CH2 (231-340), CH3 D12 (356), L14 (358) (341-445), CHS (446-447)) (118-447)], (220-214')-disulfure avec la chaîne légère kappa *Homo sapiens* (1'-214') [V-KAPPA (*Homo sapiens* IGKV3-20*01 (98.9%) -IGKJ4*01 (100%), CDR-IMGT [7.3.8] (27-33.51-53.90-97)) (1'-107') -*Homo sapiens* IGKC*01 (100%), Km3 A45.1 (153), V101 (191) (108'-214')]; dimère (226-226":229-229")-bisdisulfure, produit dans des cellules ovarianes de hamster chinois (CHO), glycoforme alfa
immunomodulateur

rocatinlimab

inmunoglobulina G1-kappa, anti-[*Homo sapiens* TNFRSF4 (miembro 4 de la superfamilia de los receptores del factor de necrosis tumoral (TNFR), OX40, CD134)], anticuerpo monoclonal *Homo sapiens*; cadena pesada gamma1 *Homo sapiens* (1-447) [VH (*Homo sapiens* IGHV2-5*02 (94.0%) -(IGHD) -IGHJ1*01 (100%), CDR-IMGT [10.7.9] (26-35.53-59.98-106)) (1-117) -*Homo sapiens* IGHG1*01 (100%), G1m17,1 (CH1 K120 (214) (118-215), bisagra 1-15 (216-230), CH2 (231-340), CH3 D12 (356), L14 (358) (341-445), CHS (446-447)) (118-447)], (220-214')-disulfuro con la cadena ligera kappa *Homo sapiens* (1'-214') [V-KAPPA (*Homo sapiens* IGKV3-20*01 (98.9%) -IGKJ4*01 (100%), CDR-IMGT [7.3.8] (27-33.51-53.90-97)) (1'-107') -*Homo sapiens* IGKC*01 (100%), Km3 A45.1 (153), V101 (191) (108'-214')]; dímero (226-226":229-229")-bisdisulfuro, producido en las células ováricas de hámster chino (CHO), forma glicosilada alfa
inmunomodulador

2431972-52-8

Heavy chain / Chaîne lourde / Cadena pesada
QITLKESGFT LVKPKQTLLT TCTFSGFSL S TSGMGVGWIR QPPGKALEWL 50
AVIYWDHQI YSPESLKSRLT ITKDTSKRNQV VLTMTNNDPV DTATYCCRAH 100
RGAIFQHWGGQ TLTVTSASST KGPSPVFPLAP SSKSTSGTA ALGLCLVKDYF 150
PEPVTVSWSNS GALTSGVHTF PAVLQSSGLY SLSSVVTVPS SSLGTQTYIC 200
NVNHKPSNTK VDKVPEPRSC DRTHTCPCP APPELLGGPSV FLEFFPKPKDT 250
LMISRTPEVT CVVLDVSHED PEVKFNWYVD GVEVHNARTK PREEQNSTY 300
RVVSVLTVLH QDWLNGKEYK CKVSNKALPA PIERTKISAK GQPRERPVYT 350
LPPSRDELTK NQVSILTCLVK GFYPSDIAVE WESNGQPFENN YKTTTPVLD 400
DGSFFFLYSKL TVDKSRWQQG NVFSCSVMHE ALHNHYTQKS LSLSPGK 447

Light chain / Chaîne légère / Cadena ligera
EIVLITQSPGT LSLSPGERAT LSCRASQSVS SSYLAWYQQK PGQAPRLLIY 50
GASSRATGIP DRFGSGSGCT DFTLITISRLB PEDFAVYICQ QYDSSLTFGG 100
GTVKEIKRTV AAASFVIIIPP SDEQLKSGTA SVVCLLNFY PREAKVQWKV 150
DNALQSGNSQ ESVTEQDSKD STYSLSSLT LSKADYEKHK VYACEVTQHG 200
LSSEPVTKSFN RGEC 214

Post-translational modifications

Disulfide bridges location / Position des ponts disulfure / Posiciones de los puentes disulfuro
Intra-H (C23-C104) 22-97 144-200 261-321 367-425
22"-97" 144"-200" 261"-321" 367"-425"
Intra-L (C23-C104) 23"-89" 134"-194"
23"-89" 134"-194"
Inter-H-L (h 5-CL 126) 220-214" 220"-214"
Inter-H-H (h 11, h 14) 226-226" 229-229"

N-terminal glutaminyl cyclization / Cyclisation du glutaminyle N-terminal / Ciclación del glutamínico N-terminal
H VH Q1 > pyroglutamyl (pE, 5-oxoprolyl): 1, 1"

N-glycosylation sites / Sites de N-glycosylation / Posiciones de N-glicosilación
H CH2 N84.4; 297, 297"
Afucosylated complex bi-antennary CHO-type glycans / glycanes de tipo CHO bi-antennaires complexes afucosyles / glícanos de tipo CHO biantenarios complejos afucosilados.

C-terminal lysine clipping / Coupure de la lysine C-terminale / Recorte de lisina C-terminal
H CHS K2: 447, 447"

romlusevimabum #

romlusevimab

immunoglobulin G1-lambda2, anti-[severe acute respiratory syndrome coronavirus 2 (SARS-CoV-2) spike (S) glycoprotein, receptor binding domain (RBD)], *Homo sapiens* monoclonal antibody;
 gamma1 heavy chain *Homo sapiens* (1-449) [VH (*Homo sapiens* IGHV7-4-1*02 (95.9%) -(IGHD) -IGHJ6*01 (100%), CDR-IMGT [8.8.12] (26-33.51-58.97-108)) (1-119) -*Homo sapiens* IGHG1*01, G1m17,1, G1v21 CH2 Y15.1, T16, E18 (CH1 K120 (216) (120-217), hinge 1-15 (218-232), CH2 M15.1>Y (254), S16>T (256), T18>E (258) (233-342), CH3 D12 (358), L14 (360) (343-447), CHS (448-449)) (120-449)], (222-213')-disulfide with lambda2 light chain *Homo sapiens* (1'-214') [V-LAMBDA (*Homo sapiens* IGLV3-21*01 (97.9%) -IGLJ2*01 (100%), CDR-IMGT [6.3.11] (26-31.49-51.88-98)) (1'-108') -*Homo sapiens* IGLC2*01 (100%) (109'-214')]; dimer (228-228":231-231")-bisdisulfide, produced in a Chinese hamster ovary (CHO)-K1 cell line, glycoform alfa
antiviral

romlusévimab

immunoglobuline G1-lambda2, anti-[domaine de liaison au récepteur (RBD) de la glycoprotéine spike (S) du coronavirus 2 du syndrome respiratoire aigu sévère (SARS-CoV-2)], anticorps monoclonal *Homo sapiens*;
 chaîne lourde gamma1 *Homo sapiens* (1-449) [VH (*Homo sapiens* IGHV7-4-1*02 (95.9%) -(IGHD) -IGHJ6*01 (100%), CDR-IMGT [8.8.12] (26-33.51-58.97-108)) (1-119) -*Homo sapiens* IGHG1*01, G1m17,1, G1v21 CH2 Y15.1, T16, E18 (CH1 K120 (216) (120-217), 1-15 (218-232), CH2 M15.1>Y (254), S16>T (256), T18>E (258) (233-342), CH3 D12 (358), L14 (360) (343-447), CHS (448-449)) (120-449)], (222-213')-disulfure avec la chaîne légère lambda2 *Homo sapiens* (1'-214') [V-LAMBDA (*Homo sapiens* IGLV3-21*01 (97.9%) -IGLJ2*01 (100%), CDR-IMGT [6.3.11] (26-31.49-51.88-98)) (1'-108') -*Homo sapiens* IGLC2*01 (100%) (109'-214')]; dimère (228-228":231-231")-bisdisulfure, produit dans des cellules ovarianes de hamster chinois (CHO) lignée cellulaire CHO-K1, glycoforme alfa
antiviral

romlusevimab

inmunoglobulina G1-lambda2, anti-[dominio de unión al receptor (RBD) de la glicoproteína spike (S) del coronavirus 2 del síndrome respiratorio agudo severo (SARS-CoV-2)], anticuerpo monoclonal *Homo sapiens*;
 cadena pesada gamma1 *Homo sapiens* (1-449) [VH (*Homo sapiens* IGHV7-4-1*02 (95.9%) -(IGHD) -IGHJ6*01 (100%), CDR-IMGT [8.8.12] (26-33.51-58.97-108)) (1-119) -*Homo sapiens* IGHG1*01, G1m17,1, G1v21 CH2 Y15.1, T16, E18 (CH1 K120 (216) (120-217), 1-15 (218-232), CH2 M15.1>Y (254), S16>T (256), T18>E (258) (233-342), CH3 D12 (358), L14 (360) (343-447), CHS (448-449)) (120-449)], (222-213')-disulfuro con la cadena ligera lambda2 *Homo sapiens* (1'-214') [V-LAMBDA (*Homo sapiens* IGLV3-21*01 (97.9%) -IGLJ2*01 (100%), CDR-IMGT [6.3.11] (26-31.49-51.88-98)) (1'-108') -*Homo sapiens* IGLC2*01 (100%) (109'-214')]; dímero (228-228":231-231")-bisdisulfuro, producido en las células ováricas de hámster chino (CHO) línea celular CHO-K1, forma glicosilada alfa
antiviral

2509447-08-7

Heavy chain / Chaîne lourde / Cadena pesada

QVQLVQSGSE LKKPGASVKV SKCASGYTFT TYVMNWVRQA PGQGLEWMGQ 50
 INTNTQNPFTY AQGFTGRFVF SLDTSVSTAS LQISSLKAED TAVVYCCSSEI 100
 TTLGMDVWS QGTTTVWSA STKGPSVFL AFPSKSTGG TAALGCLVKD 150
 YFPEPVTWSM NSGALTSGVH TFPAVLQSSS LYSLSVVTVT PSSSLGTQTY 200
 ICNVNHPSPN TVDKKVEPK SCDKTHTCP PCAPELLGDP SVFLFPKPK 250
 DTLYITREEP VTCVVVDVSH EDPEVKENWV VDGVEVHNAAK TKPPEEQYNS 300
 TYRVSISVTV LHQDWLNGKE YKCKVSNKAL PAPIKTISK AKGQPREGVQ 350
 YTLPSPRDEL TRNQVSLTCL VKGFYFSIDIA VEWESENQPE NNYKTTTPVLI 400
 DSOGSFLYS KLTVDKSRWQ QGNVFSCSVN HEALHNHYTQ KSLSLSPGK 449

Light chain / Chaîne légère / Cadena ligera

SYVLTQPPSIV SVAPGKTAI TCGGNNIGSK SVHWYQOKPG QAPVLUYYD 50
 SDRPSSGPER FSGSNSGNTA TLTISGVEAG DEADYYCQVW DSISDHVRVFO 100
 GGTKLTVLGLP PKAAPSVTLP PPSSEEELQAN KATLVCLISD FYPGAVTVAW 150
 KADSSPVKAK VETTTPSKQS NNKYAASSYL SLTPEQWKSH RSYSQCQVTHE 200
 GSTVEKTVAP TECS 214

Post-translational modifications

Disulfide bridges location / Position des ponts disulfure / Posiciones de los puentes disulfuro
 Intra-H (C23-C104) 22-96 146-202 263-323 369-427
 22"-96" 146"-202" 263"-323" 369"-427"
 Intra-L (C23-C104) 22"-87" 136"-195"
 22"-87" 136"-195"
 Inter-H-L (h 5-CL 126) 222-213' 222"-213"
 Inter-H-H (h 11, h 14) 228-228" 231-231"

N-terminal glutaminyl cyclization / Cyclisation du glutaminyle N-terminal / Ciclación del glutamínico N-terminal
 H VH Q1 > pyroglutamyl (pE, 5-oxoprolyl): 1, 1"

N-glycosylation sites / Sites de N-glycosylation / Posiciones de N-glicosilación
 H CH2 N84.4: 299, 299"
 Fucosylated complex bi-antennary CHO-type glycans / glycanes de tipo CHO bi-antennares complejos fucosilados / glicanos de tipo CHO biantenarios complejos fucosilados.

C-terminal lysine clipping / Coupure de la lysine C-terminale / Recorte de lisina C-terminal
 H CHS K2: 449, 449"

ropsacitinibum
ropsacitinib

(1*r*,3*r*)-3-(cyanomethyl)-3-{4-[6-(1-methyl-1*H*-pyrazol-4-yl)pyrazolo[1,5-*a*]pyrazin-4-yl]-1*H*-pyrazol-1-yl}cyclobutane-1-carbonitrile
Janus kinase inhibitor

ropsacitinib

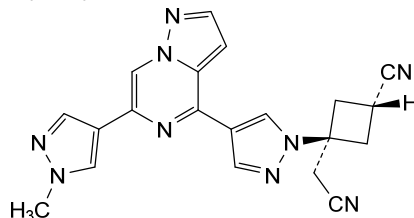
(1*r*,3*r*)-3-(cyanométhyl)-3-{4-[6-(1-méthyl-1*H*-pyrazol-4-yl)pyrazolo[1,5-*a*]pyrazin-4-yl]-1*H*-pyrazol-1-yl}cyclobutane-1-carbonitrile
inhibiteur de la kinase de Janus

ropsacitinib

(1*r*,3*r*)-3-(cianometil)-3-{4-[6-(1-metil-1*H*-pirazol-4-il)pirazolo[1,5-*a*]pirazin-4-il]-1*H*-pirazol-1-il}ciclobutano-1-carbonitrilo
inhibidor de la kinasa de Janus

C₂₀H₁₇N₉

2127109-84-4



rovانرسنوم

rovانersen

(P³S)-2'-O-methyl-P-thioguananyl-(3'→5')-2'-O-methylguanyl-(3'→5')-2'-O-methylyctidyl-(3'→5')-(P³S)-2'-O-methyl-P-thiocytidyl-(3'→5')-(P³S)-2'-deoxy-P-thioadenyl-(3'→5')-(P³S)-2'-deoxy-P-thioadenyl-(3'→5')-(P³S)-2'-deoxy-P-thioguanyl-(3'→5')-(P³S)-2'-deoxy-P-thioguanyl-(3'→5')-(P³S)-2'-deoxy-P-thiocytidyl-(3'→5')-(P³S)-2'-deoxy-P-thioadenyl-(3'→5')-(P³S)-2'-deoxy-P-thioguanyl-(3'→5')-(P³S)-2'-deoxy-P-thioguanyl-(3'→5')-(P³S)-2'-deoxy-P-thiocytidyl-(3'→5')-(P³S)-2'-deoxy-P-thioadenyl-(3'→5')-(P³S)-2'-deoxy-P-thioguanyl-(3'→5')-(P³S)-2'-deoxy-P-thioguanyl-(3'→5')-(P³S)-2'-deoxy-P-thioguanyl-(3'→5')-(P³S)-2'-deoxy-P-thioguanyl-(3'→5')-abnormal huntingtin synthesis reducer

rovانersen

(P³S)-2'-O-méthyl-P-thioguananyl-(3'→5')-2'-O-méthylguanyl-(3'→5')-2'-O-méthylcytidyl-(3'→5')-(P³S)-2'-O-méthyladényl-(3'→5')-(P³S)-2'-désoxy-P-thiodénoly-(3'→5')-(P³S)-2'-désoxy-P-thiocytidyl-(3'→5')-(P³S)-2'-désoxy-P-thioguanyl-(3'→5')-(P³S)-2'-désoxy-P-thioguanyl-(3'→5')-(P³S)-2'-désoxy-P-thiocytidyl-(3'→5')-(P³S)-2'-désoxy-P-thioguanyl-(3'→5')-(P³S)-2'-désoxy-P-thiocytidyl-(3'→5')-(P³R)-2'-désoxy-P-thiocytidyl-(3'→5')-(P³S)-2'-désoxy-P-thioguanyl-(3'→5')-(P³S)-2'-désoxy-P-thioguanyl-(3'→5')-(P³S)-2'-désoxy-P-thioguanyl-(3'→5')-thiouridyl-(3'→5')-2'-O-méthylcytidyl-(3'→5')-2'-O-méthyluridyl-(3'→5')-(P³S)-2'-O-méthyl-P-thiouridyl-(3'→5')-2'-O-méthylcytidine
réducteur de la synthèse de huntingtine anormale

rovانersen

(P³S)-2'-O-metil-P-tioguanilil-(3'→5')-2'-O-metilguanilil-(3'→5')-2'-O-metilicitidilil-(3'→5')-2'-O-metiladenilil-(3'→5')-(P³S)-2'-O-metil-P-tiocitidilil-(3'→5')-(P³S)-2'-desoxi-P-tioadenilil-(3'→5')-(P³S)-2'-desoxi-P-tioguanilil-(3'→5')-(P³S)-2'-desoxi-P-tioguanilil-(3'→5')-(P³S)-2'-desoxi-P-tioguanilil-(3'→5')-(P³S)-2'-desoxi-P-tiocitidilil-(3'→5')-(P³S)-2'-desoxi-P-tioadenilil-(3'→5')-(P³R)-2'-desoxi-P-tiocitidilil-(3'→5')-(P³S)-2'-desoxi-P-tioguanilil-(3'→5')-(P³S)-2'-desoxi-P-tioguanilil-(3'→5')-(P³S)-2'-desoxi-P-tioguanilil-(3'→5')-(P³S)-2'-desoxi-P-tioguanilil-(3'→5')-(P³S)-2'-desoxi-P-tioguanilil-(3'→5')-2'-O-metiladenilil-(3'→5')-2'-O-metilicitidilil-(3'→5')-2'-O-metiluridilil-(3'→5')-(P³S)-2'-O-metil-P-touridilil-(3'→5')-2'-O-metilicitidina
reductor de la síntesis de huntingtina anormal

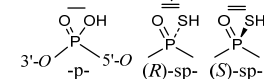
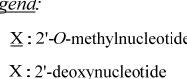
C₂₀₂H₂₅₉N₈₂O₁₁₁P₁₉S₁₃

2072901-32-5

(3'→5') G=G-C-A-C=d(A=A=G=G=C=A=C=G=G)=A-C-U-U=C
Legend:

X : 2'-O-methylnucleotide

X : 2'-deoxynucleotide



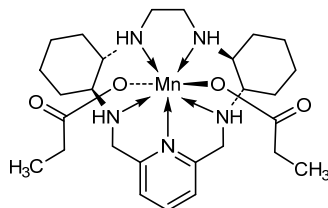
rucosopasemum manganeseum

rucosopasem manganese (PBPY-7-11-2344'3')-di(propanoato- κ O)[(1¹S,1²S,7¹S,7²S)-2,6,8,11-tetraaza-4(2,6)-pyridina-1,7(1,2)-dicyclohexanacycloundecaphane- κ ⁵N²,N^{1,4},N⁶,N⁸,N¹¹]manganese superoxide dismutase (SOD) mimetic

rucosopasem manganèse (PBPY-7-11-2344'3')-di(propanoato- κ O)[(1¹S,1²S,7¹S,7²S)-2,6,8,11-tétraaza-4(2,6)-pyridina-1,7(1,2)-dicyclohexanacycloundécaphane- κ ⁵N²,N^{1,4},N⁶,N⁸,N¹¹]manganèse mimétique de la superoxyde-dismutase (SOD)

rucosopasem manganoso (PBPY-7-11-2344'3')-di(propanoato- κ O)[(1¹S,1²S,7¹S,7²S)-2,6,8,11-tetraaza-4(2,6)-piridina-1,7(1,2)-diciclohexanacicloundecafano- κ ⁵N²,N^{1,4},N⁶,N⁸,N¹¹]manganoso mimético de la superóxido dismutasa (SOD)

C₂₇H₄₅MnN₅O₄ 2248030-85-3

**rugonersenum**

rugonersen

all-P-ambo-5-methyl-2'-O,4'-C-methylene-P-thiouridyl-(3'→5')-5-methyl-2'-O,4'-C-methylene-P-thiouridyl-(3'→5')-2'-O,4'-C-methylene-P-thioadenylyl-(3'→5')-2'-deoxy-P-thiocytidyl-(3'→5')-2'-O,4'-C-methylene-P-thioadenylyl-(3'→5')-2'-deoxy-P-thiocytidyl-(3'→5')-P-thiothymidyl-(3'→5')-P-thiothymidyl-(3'→5')-2'-deoxy-P-thioadenylyl-(3'→5')-P-thiothymidyl-(3'→5')-2'-deoxy-P-thioadenylyl-(3'→5')-2'-deoxy-P-thiocytidyl-(3'→5')-thiouridyl-(3'→5')-5-methyl-2'-O,4'-C-methylene-P-thiouridyl-(3'→5')-5-methyl-2'-O,4'-C-methylenecytidine reduction of ubiquitin-protein ligase E3A (UBE3A) silencing

rugonersen

tout-P-ambo-5-méthyl-2'-O,4'-C-méthylène-P-thiouridyl-(3'→5')-5-méthyl-2'-O,4'-C-méthylène-P-thiouridyl-(3'→5')-2'-O,4'-C-méthylène-P-thioadénylyl-(3'→5')-2'-désoxy-P-thiocytidyl-(3'→5')-2'-O,4'-C-méthylène-P-thioadénlyl-(3'→5')-2'-désoxy-P-thiocytidyl-(3'→5')-P-thiothymidyl-(3'→5')-P-thiothymidyl-(3'→5')-2'-désoxy-P-thioadénlyl-(3'→5')-P-thiothymidyl-(3'→5')-P-thiothymidyl-(3'→5')-2'-désoxy-P-thiocytidyl-(3'→5')-P-thiothymidyl-(3'→5')-2'-désoxy-P-thioadénlyl-(3'→5')-P-thiothymidyl-(3'→5')-P-thiothymidyl-(3'→5')-2'-désoxy-P-thiocytidyl-(3'→5')-P-thiothymidyl-(3'→5')-5-méthyl-2'-O,4'-C-méthylène-P-thiouridyl-(3'→5')-5-méthyl-2'-O,4'-C-méthylène-P-thiocytidyl-(3'→5')-5-méthyl-2'-O,4'-C-méthylènecytidine réducteur du silençage de l'expression de l'ubiquitine-protéine ligase E3A (UBE3A)

rugonersén

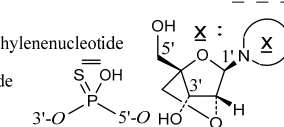
*todo-P-ambo-5-metil-2'-O,4'-C-metileno-P-tiouridilil-(3'→5')-5-metil-2'-O,4'-C-metileno-P-tiouridilil-(3'→5')-2'-O,4'-C-metileno-P-tioadenilil-(3'→5')-2'-desoxi-P-tiocitidilil-(3'→5')-2'-O,4'-C-metileno-P-tioadenilil-(3'→5')-2'-desoxi-P-tiocitidilil-(3'→5')-P-tiotimidilil-(3'→5')-2'-desoxi-P-tioadenilil-(3'→5')-2'-desoxi-P-tioadenilil-(3'→5')-P-tiotimidilil-(3'→5')-2'-desoxi-P-tioadenilil-(3'→5')-P-tiotimidilil-(3'→5')-2'-desoxi-P-tioadenilil-(3'→5')-2'-desoxi-P-tiocitidilil-(3'→5')-5-metil-2'-O,4'-C-metileno-P-tiouridilil-(3'→5')-5-metil-2'-O,4'-C-metileno-P-tiocitidilil-(3'→5')-5-metil-2'-O,4'-C-metilenocitidina
reductor del silenciamiento de la ubiquitina-proteína ligasa E3A (UBE3A)*



2591587-57-2

(3'-5') U=U=A=C=A=C=T=T=A=A=T=T=A=T=A=C=T=U=C=C*Legend:*C & U : 5-methyl-2'-O,4'-C-methylenenucleotideA : 2'-O,4'-C-methyleneadenylide

A , C & T : 2'-deoxyribonucleotide

**rulonilimab #**

rulonilimab

immunoglobulin G1-kappa, anti-[*Homo sapiens* PDCD1 (programmed cell death 1, PD1, PD-1, CD279)], monoclonal antibody; gamma1 heavy chain (1-448) [VH Musmus/Homsap (*Mus musculus* IGHV5-9-2*01 (95.9%) -IGHD -IGHJ4*01 (83.3%) S123>L (113)/*Homo sapiens* IGHV3-23*04 (82.7%) -IGHD -IGHJ3*01 (90.9%) M123>L (113), CDR-IMGT [8.8.11] (26-33.51-58.97-107)) (1-118) -*Homo sapiens*IGHG1*03v, G1m3>G1m17, nG1m1, G1v29 CH2 A84.4, G1v42 CH2 Q14, CH3 L107 (CH1 R120>K (215) (119-216), hinge 1-15 (217-231), CH2 T14>Q (251), N84.4>A (298) (232-341), CH3 E12 (357), M14 (359), M107>L (429) (342-446), CHS (447-448)) (119-448)], (221-218')-disulfide with kappa light chain (1'-218') [V-KAPPA Musmus/Homsap (*Mus musculus* IGKV3-2*01 (92.9%) -IGKJ1*01 (100%)/*Homo sapiens* IGKV3D-11*02 (67.7%) -IGKJ4*01 (90.9%) V124>L (108), CDR-IMGT [10.3.9] (27-36.54-56.93-101)) (1'-111') -*Homo sapiens* IGKC*01 (100%), Km3 A45.1 (157), V101 (195) (112'-218'); dimer (227-227":230-230")-bisdisulfide, produced in Chinese hamster ovary (CHO)/dhFr- cell line lacking the enzyme dihydrofolate reductase (DHFR), non-glycosylated immunomodulator, antineoplastic

rulonilimab

immunoglobuline G1-kappa, anti-[*Homo sapiens* PDCD1 (protéine 1 de mort cellulaire programmée, PD1, PD-1, CD279)], anticorps monoclonal;

	chaîne lourde gamma1 (1-448) [VH Musmus/Homsap (<i>Mus musculus</i> IGHV5-9-2*01 (95.9%) -(IGHD) -IGHJ4*01 (83.3%) S123>L (113)/ <i>Homo sapiens</i> IGHV3-23*04 (82.7%) -(IGHD) -IGHJ3*01 (90.9%) M123>L (113), CDR-IMGT [8.8.11] (26-33.51-58.97-107)) (1-118) - <i>Homo sapiens</i> IGHG1*03v, G1m3>G1m17, nG1m1, G1v29 CH2 A84.4, G1v42 CH2 Q14, CH3 L107 (CH1 R120>K (215) (119-216), charnière 1-15 (217-231), CH2 T14>Q (251), N84.4>A (298) (232-341), CH3 E12 (357), M14 (359), M107>L (429) (342-446), CHS (447-448)) (119-448)], (221-218')-disulfure avec la chaîne légère kappa (1'-218') [V-KAPPA Musmus/Homsap (<i>Mus musculus</i> IGKV3-2*01 (92.9%) -IGKJ1*01 (100%)/ <i>Homo sapiens</i> IGKV3D-11*02 (67.7%) -IGKJ4*01 (90.9%) V124>L (108), CDR-IMGT [10.3.9] (27-36.54-56.93-101)) (1'-111') - <i>Homo sapiens</i> IGKC*01 (100%), Km3 A45.1 (157), V101 (195) (112'-218')]; dimère (227-227":230-230")-bisdisulfure, produit dans des cellules ovariennes de hamster chinois (CHO) lignée cellulaire CHO/dhFr- ne présentant pas l'enzyme dihydrofolate réductase (DHFR), non-glycosylé <i>immunomodulateur, antinéoplasique</i>
rulonilimab	inmunoglobulina G1-kappa, anti-[<i>Homo sapiens</i> PDCD1 (proteína 1 de muerte celular programada, PD1, PD-1, CD279)], anticuerpo monoclonal; cadena pesada gamma1 (1-448) [VH Musmus/Homsap (<i>Mus musculus</i> IGHV5-9-2*01 (95.9%) -(IGHD) -IGHJ4*01 (83.3%) S123>L (113)/ <i>Homo sapiens</i> IGHV3-23*04 (82.7%) -(IGHD) -IGHJ3*01 (90.9%) M123>L (113), CDR-IMGT [8.8.11] (26-33.51-58.97-107)) (1-118) - <i>Homo sapiens</i> IGHG1*03v, G1m3>G1m17, nG1m1, G1v29 CH2 A84.4, G1v42 CH2 Q14, CH3 L107 (CH1 R120>K (215) (119-216), bisagra 1-15 (217-231), CH2 T14>Q (251), N84.4>A (298) (232-341), CH3 E12 (357), M14 (359), M107>L (429) (342-446), CHS (447-448)) (119-448)], (221-218')-disulfuro con la cadena ligera kappa (1'-218') [V-KAPPA Musmus/Homsap (<i>Mus musculus</i> IGKV3-2*01 (92.9%) -IGKJ1*01 (100%)/ <i>Homo sapiens</i> IGKV3D-11*02 (67.7%) -IGKJ4*01 (90.9%) V124>L (108), CDR-IMGT [10.3.9] (27-36.54-56.93-101)) (1'-111') - <i>Homo sapiens</i> IGKC*01 (100%), Km3 A45.1 (157), V101 (195) (112'-218')]; dímero (227-227":230-230")-bisdisulfuro, producido en las células ováricas de hámster chino (CHO) línea celular CHO/dhFr- en ausencia de la enzima dihidrofolato reductasa (DHFR), no glicosilado <i>inmunomodulador, antineoplásico</i>

2417124-95-7

Heavy chain / Chaîne lourde / Cadena pesada

EVQLVESGG LVKPGGSIRL SCAASGFTFS SYGMWSWRQT PERKLEWVAT 50
 ISGGGRDTYY PDSVKGRFTI SRDNAKNNLY LQMSLRSED TALYVCARQK 100
 DTSWFVHWGG GTLTVTSSA TKRGPSVFLIA PSKSSTSGGT AALGCLVKRDY 150
 FPEPVTVWN SGALTSGVHT FPAVLIQSSGL YSLSSVVTVP SSSLGTTQTYI 200
 CNVNHKPSNT KVDKVEPKS CDKTHTCPPC PAPELGGPS VFLLFPKFKD 250
 QLMISRTPEV TCVVVVDVSH DPEVKFENWVY DGEVHNART KPREQYAST 300
 YRVVSLLTQL HQDWLNKEY KCKVSNKALP APIEKTISKA KQGPREPQVX 350
 TLPPSREEMT KNQVSLTCLV KGFYPSDIAV EWESNGOPEN NYKTTTPVLD 400
 SDGSFFLYSK LTVDKSRWQQ GNVFSCSVLH EALHNHYTQK SLSLSPKG 448

Light chain / Chaîne légère / Cadena ligera

EIVLTQSPAT LAVSPGERAT ISCRASESVD DYGISFMWNF QQKPGQPPKL 50
 LIYVVASNQGS GPVAPRFGSSG STGDTFTLNIH PMEEDDTAMY FCQQSKEVFW 100
 TFGGTTKLEI KRTVAAPSVPF IFPPSDQELK SGSTATSVCLL NNFYFREAKV 150
 QWKVDNALQS GNSQESVTEQ DSKDSTYSLS STTLTSKADY EKKHVYACEV 200
 THQGLSSPVT KSFNRGEC 218

Post-translational modifications

Disulfide bridges location / Position des ponts disulfure / Posiciones de los puentes disulfuro
 Intra-H (C23-C104) 22-96 145-201 262-322 368-426
 22°-96° 145°-201° 262°-322° 368°-426°
 Intra-L (C23-C104) 23-92 138-198
 23°-92° 138°-198°
 Inter-H-L (h 5-CL 126) 221-218° 221°-218°
 Inter-H-H (h 11, h 14) 227-227° 230-230°

No N-glycosylation sites / pas de site de N-glycosylation / ningún posición de N-glicosilación
 CH2 N84.4>A (G1v29): 298, 298"

C-terminal lysine clipping / Coupe de la lysine C-terminale / Recorte de lisina C-terminal
 H CHS K2: 448, 448"

rusfertidum

rusfertide

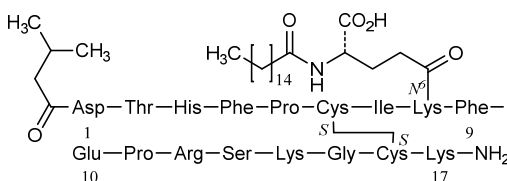
S^6,S^{16} -cyclo[N-(3-methylbutanoyl)-L- α -aspartyl-L-threonyl-L-histidyl-L-phenylalanyl-L-prolyl-L-cysteinyl-L-isoleucyl-N 6 -(N-hexadecanoyl-L- γ -glutamyl)-L-lysyl-L-phenylalanyl-L- α -glutamyl-L-prolyl-L-arginyl-L-seryl-L-lysylglycyl-L-cysteinyl-L-lysinamide]
hepcidin mimetic

rusfertide

S^6,S^{16} -cyclo[N-(3-méthylbutanoyl)-L- α -aspartyl-L-thréonyl-L-histidyl-L-phénylalanyl-L-prolyl-L-cystéinyl-L-isoleucyl-N 6 -(N-hexadécanoyl-L- γ -glutamyl)-L-lysyl-L-phénylalanyl-L- α -glutamyl-L-prolyl-L-arginyl-L-séryl-L-lysylglycyl-L-cystéinyl-L-lysinamide]
mimétique de l'hepcidine

rusfertida

S^6,S^{16} -ciclo[N-(3-metilbutanoil)-L- α -aspartil-L-treonil-L-histidil-L-fenilalanil-L-proil-L-cisteinil-L-isoleucil-N 6 -(N-hexadecanoil-L- γ -glutamil)-L-lisil-L-fenilalanil-L- α -glutamil-L-proil-L-arginil-L-seril-L-lisilglicil-L-cisteinil-L-lisinamida]
mimético de la hepcidina

C114H181N27O28S2 1628323-80-7**ruzinuradum**

ruzinurad

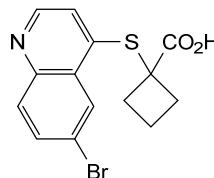
1-[(6-bromoquinolin-4-yl)sulfanyl]cyclobutane-1-carboxylic acid
urate transporter inhibitor

ruzinurad

acide 1-[(6-bromoquinoléin-4-yl)sulfanyl]cyclobutane-1-carboxylique
inhibiteur du transporteur de l'urate

ruzinurad

ácido 1-[(6-bromoquinolein-4-il)sulfaniil]ciclobutano-1-carboxílico
inhibidor del transportador del urato

C14H12BrNO2S 1638327-48-6**sabizabulinum**

sabizabulin

[2-(1H-indol-3-yl)-1H-imidazol-4-yl](3,4,5-trimethoxyphenyl)methanone
tubulin polymerization inhibitor, antineoplastic

sabizabuline

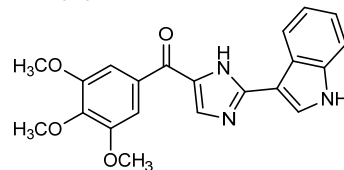
[2-(1H-indol-3-yl)-1H-imidazol-4-yl](3,4,5-triméthoxyphényl)méthanone
inhibiteur de la polymérisation de la tubuline, antineoplasique

sabizabulina

[2-(1H-indol-3-il)-1H-imidazol-4-il](3,4,5-trimetoxifenil)metanona
inhibidor de la polimerización de la tubulina, antineoplásico



1332881-26-1

**sebetalstatum**

sebetalstat

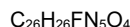
N-[(3-fluoro-4-methoxypyridin-2-yl)methyl]-3-(methoxymethyl)-1-{(4-[(2-oxopyridin-1(2*H*)-yl)methyl]phenyl}methyl)-1*H*-pyrazole-4-carboxamide
kallikrein inhibitor

sébétalstat

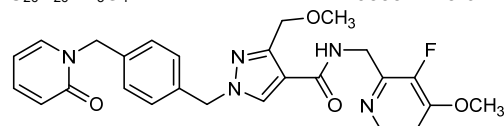
N-[(3-fluoro-4-méthoxypyridin-2-yl)méthyl]-3-(méthoxyméthyl)-1-{(4-[(2-oxopyridin-1(2*H*)-yl)méthyl]phényle}méthyl)-1*H*-pyrazole-4-carboxamide
inhibiteur de la kallicréine

sebetalstat

N-[(3-fluoro-4-metoxipiridin-2-il)metil]-3-(metoximetil)-1-{(4-[(2-oxopiridin-1(2*H*)-il)metil]fenil}metil)-1*H*-pirazol-4-carboxamida
inhibidor de la calicreína



1933514-13-6

**selnoflastum**

selnoflast

1-ethyl-*N*-[(1,2,3,5,6,7-hexahydro-s-indacén-4-yl)carbamoyl]piperidina-4-sulfonamida
non-steroidal anti-inflammatory

selnoflast

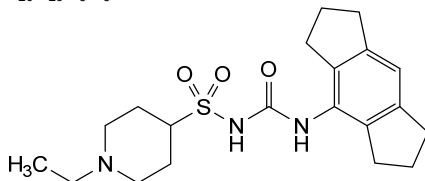
1-éthyl-*N*-[(1,2,3,5,6,7-hexahydro-s-indacén-4-yl)carbamoyl]pipéridine-4-sulfonamida
anti-inflammatoire non-stéroïdien

selnoflast

1-etyl-*N*-[(1,2,3,5,6,7-hexahidro-s-indacen-4-il)carbamoi]piperidina-4-sulfonamida
antiinflamatorio no esteroide



2260969-36-4

**simridarlimab #**

simridarlimab

immunoglobulin (G1_L-kappa)_VH-VH-h-CH2-CH3, anti-[*Homo sapiens* CD47 (leukocyte surface antigen CD47, integrin associated protein, IAP, MER6, OA3) and anti-[*Homo sapiens* CD274 (programmed cell death 1 ligand 1, B7H1, B7-H1, PDL1, PD-L1, PDCD1L1, B7 homolog 1)], *Homo sapiens* and humanized monoclonal antibody, bispecific; gamma1 heavy chain *Homo sapiens* anti-CD47 (1-444) [VH anti-CD47 (*Homo sapiens* IGHV4-59*01 (97.9%) -(IGHD) -IGHJ1*01 (100%), CDR-IMGT [8.7.9] (26-33.51-57.96-104)) (1-115) -*Homo sapiens* IGHG1*01, G1m17,1, G1v14 CH2 A1.3, A1.2, G1v32 CH3 W22 (CH1 K120 (212) (116-213), hinge 1-15 (214-228), CH2 L1.3>A (232), L1.2>A (233) (229-338), CH3 S10>C (352), D12 (354), L14 (356), T22>W (364) (339-443), CHS K2>del (444)) (218-214')]-disulfide with kappa light chain *Homo sapiens* anti-CD47 (1'-214') [V-KAPPA anti-CD47 (*Homo sapiens* IGKV1-12*01 (96.8%) -IGKJ4*01 (91.7%), CDR-IMGT [6.3.9] (27-32.50-52.89-97)) (1'-107) -*Homo sapiens* IGKC*01 (100%), Km3 A45.1 (153), V101 (191) (108'-214')]; gamma1 VH-VH-h-CH2-CH3 chain humanized anti-CD274 (1"-510") [VH anti-CD274 (*Homo sapiens* IGHV3-66*01 (81.2%) -(IGHD) -IGHJ5*02 (100%), CDR-IMGT [8.7.26] (26-33.51-57.96-121)) (1"-132")]-20 mer tetrakis(tetraglycyl-seryl) linker (133"-152") -[VH anti-CD274 (*Homo sapiens* IGHV3-66*01 (81.2%) -(IGHD) -IGHJ5*02 (100%), CDR-IMGT [8.7.26] (178-185.203-209.248-273)) (153"-284") -*Homo sapiens* IGHG1*01 h-CH2-CH3, G1m17, G1v14 CH2 A1.3, A1.2, G1v33 S22, A24, V86 (hinge 1-10 (285"-294"), CH2 L1.3>A (298), L1.2>A (299) (295"-404"), CH3 Y5>C (413), D12 (420), L14 (422), T22>S (430), L24>A (432), Y86>V (471) (405"-509"), CHS K2>del (510")) (285"-510")], dimer (224-290":227-293":352-413")-trisdisulfide, produced in Chinese hamster ovary (CHO)-K1SV cell line lacking the glutamine synthetase gene (GS-KO), glycoform alfa immunomodulator, antineoplastic

simridarlimab

immunoglobuline (G1_L-kappa)_VH-VH-h-CH2-CH3, anti-[*Homo sapiens* CD47 (antigène de surface CD47 de leucocyte, protéine associée à l'intégrine, IAP, MER6, OA3)] et anti-[*Homo sapiens* CD274 (ligand 1 de mort programmée, B7H1, B7-H1, PDL1, PD-L1, PDCD1L1, homologue 1 de B7)], anticorps monoclonal *Homo sapiens* et humanisé, bispécifique; chaîne lourde gamma1 *Homo sapiens* anti-CD47 (1-444) [VH anti-CD47 (*Homo sapiens* IGHV4-59*01 (97.9%) -(IGHD) -IGHJ1*01 (100%), CDR-IMGT [8.7.9] (26-33.51-57.96-104)) (1-115) -*Homo sapiens* IGHG1*01, G1m17,1, G1v14 CH2 A1.3, A1.2, G1v32 CH3 W22 (CH1 K120 (212) (116-213), charnière 1-15 (214-228), CH2 L1.3>A (232), L1.2>A (233) (229-338), CH3 S10>C (352), D12 (354), L14 (356), T22>W (364) (339-443), CHS K2>del (444)) (218-214')]-disulfure avec la

chaîne légère kappa *Homo sapiens* anti-CD47 (1'-214') [V-KAPPA anti-CD47 (*Homo sapiens* IGKV1-12*01 (96.8%) - IGKJ4*01 (91.7%), CDR-IMGT [6.3.9] (27-32.50-52.89-97)) (1'-107') -*Homo sapiens* IGKC*01 (100%), Km3 A45.1 (153), V101 (191) (108'-214')]; gamma1 VH-VH-h-CH2-CH3 chaîne humanisée anti-CD274 (1"-510") [VH anti-CD274 (*Homo sapiens*IGHV3-66*01 (81.2%) -(IGHD)-IGHJ5*02 (100%), CDR-IMGT [8.7.26] (26-33.51-57.96-121)) (1"-132'')] -20-mer tétrakis(tétraglycyl-séryl) linker (133"-152")-[VH anti-CD274 (*Homo sapiens*IGHV3-66*01 (81.2%) -(IGHD)-IGHJ5*02 (100%), CDR-IMGT [8.7.26] (178-185.203-209.248-273)) (153"-284'") -*Homo sapiens* IGHG1*01 h-CH2-CH3, G1m17 CH3 D12, L14, G1v14 CH2 A1.3, A1.2, G1v33 S22, A24, V86 (charnière 1-10 (285"-294"), CH2 L1.3>A (298), L1.2>A (299) (295"-404"), CH3 Y5>C (413), D12 (420), L14 (422), T22>S (430), L24>A (432), Y86>V (471) (405"-509"), CHS K2>del (510") (285"-510'")], dimère (224-290":227-293":352-413")-tridisulfure, produit dans des cellules ovarianes de hamster chinois (CHO) lignée cellulaire CHO-K1SV ne présentant pas le gène de la glutamine synthétase (GS-KO), glycoforme alfa
immunomodulateur, antinéoplasique

simridarlimab

inmunoglobulina (G1_L-kappa)_VH-VH-h-CH2-CH3, anti-[*Homo sapiens* CD47 (antígeno de superficie CD47 de leucocito, proteína asociada a la integrina, IAP, MER6, OA3)] y anti-[*Homo sapiens* CD274 (ligando 1 de muerte programada, B7H1, B7-H1, PDL1, PD-L1, PDCD1L1, homólogo 1 de B7)], anticuerpo monoclonal *Homo sapiens* y humanizado, biespecífico; cadena pesada gamma1 *Homo sapiens* anti-CD47 (1-444) [VH anti-CD47 (*Homo sapiens*IGHV4-59*01 (97.9%) -(IGHD)-IGHJ1*01 (100%), CDR-IMGT [8.7.9] (26-33.51-57.96-104)) (1-115) -*Homo sapiens* IGHG1*01, G1m17,1, G1v14 CH2 A1.3, A1.2, G1v32 CH3 W22 (CH1 K120 (212) (116-213), bisagra 1-15 (214-228), CH2 L1.3>A (232), L1.2>A (233) (229-338), CH3 S10>C (352), D12 (354), L14 (356), T22>W (364) (339-443), CHS K2>del (444)) (116-444)], (218-214')-disulfuro con la cadena ligera kappa *Homo sapiens* anti-CD47 (1'-214') [V-KAPPA anti-CD47 (*Homo sapiens* IGKV1-12*01 (96.8%) -IGKJ4*01 (91.7%), CDR-IMGT [6.3.9] (27-32.50-52.89-97)) (1'-107') -*Homo sapiens* IGKC*01 (100%), Km3 A45.1 (153), V101 (191) (108'-214')]; gamma1 VH-VH-h-CH2-CH3 cadena humanizada anti-CD274 (1"-510") [VH anti-CD274 (*Homo sapiens*IGHV3-66*01 (81.2%)-(IGHD)-IGHJ5*02 (100%), CDR-IMGT [8.7.26] (26-33.51-57.96-121)) (1"-132'')] -20-mer tetrakis(tetraglicil-séryl) linker (133"-152")-[VH anti-CD274 (*Homo sapiens*IGHV3-66*01 (81.2%)-(IGHD)-IGHJ5*02 (100%), CDR-IMGT [8.7.26] (178-185.203-209.248-273)) (153"-284'") -*Homo sapiens* IGHG1*01 h-CH2-CH3, G1m17 CH3 D12, L14, G1v14 CH2 A1.3, A1.2, G1v33 S22, A24, V86 (bisagra 1-10 (285"-294"), CH2 L1.3>A (298), L1.2>A (299) (295"-404"), CH3 Y5>C (413), D12 (420), L14 (422), T22>S (430), L24>A (432), Y86>V (471) (405"-509"), CHS K2>del (510") (285"-510'")], dímero (224-290":227-293":352-413")-tridisulfuro, producido en las células ováricas de hamster chino (CHO) línea celular CHO-K1SV en ausencia del gen glutamina sintetasa (GS-KO), forma glicosilada alfa
inmunomodulador, antineoplásico

2378862-90-7

Heavy chain / Chaîne lourde / Cadena pesada (anti-CD47)
 QVQLQESPGC LVKFSETSL TCTVSGGSIE HYYWWSIRQP PGKGLEWIGY 50
 IYYGSGSTYN FSLSKSRVTIS VDTSRNQFSL KLSSVTAADT AVYVCARGKT 100
 GSAAWGGQTL VTVSSAATKG PSVFFLAPSS KSTSGGTAAL GCLVKDYPFR 150
 PVTVSWSNTGA LTSGVHTFFA VLOSSGGLSYI SSVVTVPSSS LGTQTYICNV 200
 NHKPSNTKVD KKVEPKSCDK THTCPCEPAP EAAGGPPVEL FPFPKPDILM 250
 ISRTEPVTCV VVDVSHEDPE VKENNYVGVG EVHNAKTKPR EEQYNSTYRV 300
 VSVLTVLHQD WLNGKEYRKCK VSNKALPAPI EKTISKAKGQ PREPQVYTLP 350
 PCRDELTKNQ VSLWCLVRGF YPSDTAVEWK SNGCPENNYK TTTPVLDSDG 400
 SFFLYSKLTV DKSERWQQGNV FSCSVMMHEAL HNNHYTQKSLS LSPG 444

Light chain / Chaîne légère / Cadena ligera (anti-CD47)
 DIQMTOQSPSS VSASAVGDRVT ITCRASQGIS RWLAWYQQKP GKAPKLLIYA 50
 ASSLQSGVPSS RFSGSGSGTD FTLTISLQP EDFATYYCQQ TVSFPIITFGG 100
 GTKVEIKRTV AAPSVFIFPP SDEQLKSGTA SVVCLLNNFY PREAKVQKV 150
 DNALQSGNSQ ESVTEQDQSKD STYSLSSTLT LSKADYEKHK VYACEVTHQG 200
 LSSPVTKSFN RGEC 214

Heavy chain / Chaîne lourde / Cadena pesada (VH-VH-h-CH2-CH3, anti-CD274)
 QVQLQESEGGV LVQPGGSLRL SCAASAYTIS RNSMGWFRQG PGKGLEGVAA 50
 IESDGSTSYS DSVKGRFTIS LDNSKNTLYL EMNSLRAEDT AVYCAAPKV 100
 GLGPRTALGH LAFMTLPA LNWCQGTLLTVT SGGGGSGGG GSGGGGSGGG 150
 GSQVQLQESEG GGLVQPGDSL RLSCAASAYT ISRNSMGWFRQG QAPGKGLEGV 200
 AAIESDGSTS YSDSVKGRFT ISLDNSKNTL YLEMNSLRAE DTAVYVCAAP 250
 KVGLGPRTAL GHIAFMTLPA LNywQGTLLTVT TVSSDKTHTC PCPCPAEAG 300
 GPSVFLPPFK PKDTLMISR PEVTCVVVDW SHEDPEVKFN WYWDGVEVHN 350
 AKTKPREEQY NSTYRVVSVL TVLHODMLNG KEYKCKVSNK ALPAPIEKTI 400
 SKAKGQPRREP QVCTLPSSRD ELTKNQWSLS CAVKGFPSSD IAVWESNQG 450
 PENNYKTTTPP VLDSDGSFFL VSKLTVDRSR WQQGNVFSCS VMHEALHNHY 500
 TQKSLSLSPG 510

Post-translational modifications

Disulfide bridges location / Position des ponts disulfure / Posiciones de los puentes disulfuro
 Intra-H (C23-C104) 22-95 142-198 259-319 365-423
 22°-95° 174°-247° 325°-385° 431°-489°
 Intra-L (C23-C104) 23°-88° 134°-194°
 Inter-H-L (h 5-CL 126) 218-214°
 Inter-H-H (h 11, h 14, CH3 C10-CS) 224-290° 227-293° 352-413°

N-terminal glutaminyl cyclization / Cyclisation du glutaminyle N-terminal / Ciclación del glutamínilo N-terminal
 H VH Q1> pyroglutamyl (pE, 5-oxopropyl): 1, 1"

N-glycosylation sites / Sites de N-glycosylation / Posiciones de N-glicosilación
 N CH2 N84:4:295, 361°
 Fucosylated complex bi-antennary CHO-type glycans / glycanes de type CHO bi-antennaires complexes fucosylés / glicanos de tipo CHO biantenarios complejos fucosilados.

simufilam

simufilam

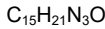
1-benzyl-8-methyl-1,4,8-triazaspiro[4.5]decan-2-one
filamin A altered conformations binder

simufilam

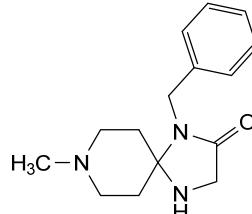
1-benzyl-8-méthyl-1,4,8-triazaspiro[4.5]décan-2-one
ligand des conformations modifiées de la filamine A

simufilam

1-bencil-8-metil-1,4,8-triazaspiro[4.5]decan-2-ona
ligando de las conformaciones modificadas de filamina A



1224591-33-6



sirexatamabum #

sirexatamab

immunoglobulin G4-kappa, anti-[*Homo sapiens* DKK1 (dickkopf WNT signaling pathway inhibitor 1, SK, DKK-1)], humanized monoclonal antibody; gamma4 heavy chain humanized (1-445) [VH (*Homo sapiens*IGHV3-7*01 (90.8%) -(IGHD)-IGHJ3*02 (92.9%) M123>T (114), CDR-IMGT [8.8.12] (26-33.51-58.97-108)) (1-119)-*Homo sapiens*IGHG4*01, G4v5 h P10, G4v4 CH2 A1.3, A1.2 (CH1 (120-217), hinge 1-12 S10>P (227) (218-229), CH2 F1.3>A (233), L1.2>A (234) (230-339), CH3 (340-444), CHS K2>del (445)) (120-445)], (133-214')-disulfide with kappa light chain humanized (1'-214') [V-KAPPA (*Homo sapiens*IGKV3-11*01 (84.2%)-IGKJ4*01 (91.7%), CDR-IMGT [6.3.9] (27-32.50-52.89-97)) (1'-107') -*Homo sapiens*IGKC*01 (100%), Km3 A45.1 (153), V101 (191) (108'-214')]; dimer (225-225":228-228")-bisdisulfide, produced in a Chinese hamster ovary (CHO)-derived cell line, glycoform alfa
immunomodulator, antineoplastic

sirexatamab

immunoglobuline G4-kappa, anti-[*Homo sapiens* DKK1 (dickkopf WNT inhibiteur de voie de signalisation 1, SK, DKK-1)], anticorps monoclonal humanisé; chaîne lourde gamma4 humanisée (1-445) [VH (*Homo sapiens*IGHV3-7*01 (90.8%) -(IGHD)-IGHJ3*02 (92.9%) M123>T (114), CDR-IMGT [8.8.12] (26-33.51-58.97-108)) (1-119)-*Homo sapiens*IGHG4*01, G4v5 h P10, G4v4 CH2 A1.3, A1.2 (CH1 (120-217), charnière 1-12 S10>P (227) (218-229), CH2 F1.3>A (233), L1.2>A (234) (230-339), CH3 (340-444), CHS K2>del (445)) (120-445)], (133-214')-disulfure avec la chaîne légère kappa humanisée (1'-214') [V-KAPPA (*Homo sapiens*IGKV3-11*01 (84.2%)-IGKJ4*01 (91.7%), CDR-IMGT [6.3.9] (27-32.50-52.89-97)) (1'-107') -*Homo sapiens*IGKC*01 (100%), Km3 A45.1 (153), V101 (191) (108'-214')]; dimère (225-225":228-228")-bisdisulfure, produite dans une lignée cellulaire dérivée des cellules ovariennes de hamster chinois (CHO), glycoforme alfa
immunomodulateur, antinéoplasique

sirexatamab

inmunoglobulina G4-kappa, anti-[*Homo sapiens* DKK1 (dickkopf WNT inhibidor de vía de señalización 1, SK, DKK-1)], anticuerpo monoclonal humanizado; cadena pesada gamma4 humanizada (1-445) [VH (*Homo sapiens*IGHV3-7*01 (90.8%) -(IGHD)-IGHJ3*02 (92.9%) M123>T (114), CDR-IMGT [8.8.12] (26-33.51-58.97-108)) (1-119)-*Homo sapiens*IGHG4*01, G4v5 h P10, G4v4 CH2 A1.3, A1.2 (CH1 (120-217), bisagra 1-12 S10>P (227) (218-229), CH2 F1.3>A (233), L1.2>A (234) (230-339), CH3 (340-444), CHS K2>del (445)) (120-445)], (133-214')-disulfuro con la cadena ligera kappa humanizada (1'-214') [V-KAPPA (*Homo sapiens*IGKV3-11*01 (84.2%)-IGKJ4*01 (91.7%), CDR-IMGT [6.3.9] (27-32.50-52.89-97)) (1'-107') -*Homo sapiens*IGKC*01 (100%), Km3 A45.1 (153), V101 (191) (108'-214')]; dímero (225-225":228-228")-bisdisulfuro, producido en una línea celular derivada de las células ováricas de hámster chino (CHO), forma glicosilada alfa
inmunomodulador, antineoplásico

Heavy chain / Chaîne lourde / Cadena pesada
 EVQLVESGGG LVQPGGSLRL SCAASGFTFS SYTMSWVRQA PGKGLEWVAT 50
 ISGGGGFGTY PDSVKGRFTI SRDNAKNSLY LQNNSLRAED TAVYYCARPG 100
 YNNYYFDIWG QGTTTVVSSA STKGPSVFL APCSRSTSES TAALCLVKD 150
 YFPEPVTVSW NSGALTSGVH TFPAVLQSSG LYSLSSVTVF PSSSLGKTQY 200
 TCNVDHKPSN TKVDKRVESK YGPCCPFCPA PEAAGGPSVF LFPPPKPDYL 250
 MISRTPEVTC VVVDVQSQDP EVQFNWYVDG VEVHNNAKTKR REEQFNSTYR 300
 VVSVLTVLHQ DWLNKEKEYKC KVSNKGLPSS IERKTIKAKD QPREPQVYTL 350
 PPSSQEEMTKN QVSLTCLVKKG FYPSPDIAVEW ESNQOPENNT KTPFPVLSD 400
 GSFFFLYSRLLT VDKSRWQEGN VFSCSVMHEA LHNHYTQKSL SLSLG 445

Light chain / Chaîne légère / Cadena ligera
 EIVLTQSPAT LSLSPGERAT LSCHADSIS NSLHWYQQKP GQAPRLLIYY 50
 ARQSIQGIPAA RFSGGSGSTD FTLTISLEP EDFAVYYCQQ SESWPLHFGG 100
 GTKVEIKRTV AAPSVFIIPPP SDEQLKSGTA SVVCLNNNFY PREAKVQWKV 150
 DNALQSGNSQ ESVTEQDSKD STYSLSSLTLS LSKADYEKKH VYACEVTHQG 200
 LSSPVTKSFN RGEC 214

Post-translational modifications

Disulfide bridges location / Position des ponts disulfure / Posiciones de los puentes disulfuro
 Intra-H (C23-C104) 22-96 146-202 260-320 366-424
 22"-96" 146"-202" 260"-320" 366"-424"
 Intra-L (C23-C104) 23"-88" 134"-194"
 23"-88" 134"-194"
 Inter-H-L (CH1 10-CL 126) 133-214" 133"-214"
 Inter-H-H (h 8, h 11) 225-225" 228-228"

N-glycosylation sites / Sites de N-glycosylation / Posiciones de N-glicosilación

H CH2 N84.4; 296, 296"

Fucosylated complex bi-antennary CHO-type glycans / glycanes de tipo CHO bi-antennaires complexes fucosylés / glicanos de tipo CHO biantenarios complejos fucosilados.

sirpiglenastatum

sirpiglenastat

propan-2-yl *N*-acetyl-L-tryptophyl-(2*S*)-2-amino-6-diazo-5-oxohexanoate
glutaminase inhibitor

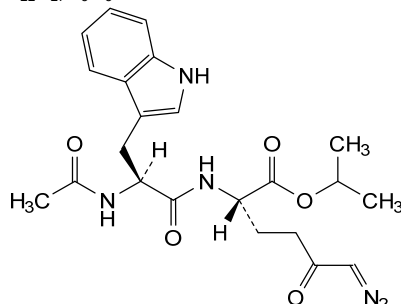
sirpiglénastat

N-acétyl-L-tryptophyl-(2*S*)-2-amino-6-diazo-5-oxohexanoate de propan-2-yle
inhibiteur de la glutaminase

sirpiglenastat

N-acetil-L-triptofil-(2*S*)-2-amino-6-diazo-5-oxohexanoato de propan-2-ilo
inhibidor de la glutaminasa

C₂₂H₂₇N₅O₅ 2079939-05-0

**sitocabnagenum loxiveleucelum #**

sitocabnagene loxiveleucel

allogeneic natural killer (NK) cells derived from umbilical cord blood, transduced with a Moloney murine leukaemia virus (MMLV)-based retroviral vector encoding inducible caspase-9 comprising human caspase-9 fused to a human FK506 binding protein variant (FKBP-F36V), a chimeric antigen receptor

(CAR) targeting CD19 fused to CD28 and CD3 zeta signalling domains, and secretable human interleukin 15 (IL-15), linked together by T2A and E2A self-cleaving peptide sequences, respectively, under the control of the 5' long terminal repeat (LTR) MMLV promoter; the construct is flanked by 5' and 3' LTRs and contains an MMLV ψ packaging signal and partial *pol* gene. The vector is pseudotyped with the envelope glycoprotein of gibbon ape leukaemia virus (GaLV). The cord blood mononuclear cells are treated with antibody-coated magnetic beads against CD19, CD3 and CD14 to remove B cells, T cells, and monocytes. The purified NK cells are then activated using an irradiated antigen presenting cell line (APC) in the presence of growth medium containing IL-2. Further depletion of residual CD3+ T cell may be performed using antibody-coated magnetic beads. The substance contains >80% NK cells (CD45+CD3-CD56+), of which with >21% are CAR positive, and secrete IL-15.
cell-based gene therapy (antineoplastic)

sitocabnagène loxivéleucel

cellules tueuses naturelles (NK) allogéniques dérivées du sang de cordon ombilical, transduites avec un vecteur rétroviral basé sur le virus de la leucémie murine de Moloney (MMLV) codant une caspase-9 inducible comprenant une caspase-9 humaine fusionnée à une variante de la protéine de liaison au FK506 humain (FKBP-F36V), un récepteur antigénique chimérique (CAR) ciblant le CD19 fusionné à des domaines de signalisation CD28 et CD3 zéta, et de l'interleukine 15 (IL-15) humaine sécrétante, liés ensemble par des séquences peptidiques auto-sécables T2A et E2A, respectivement, sous le contrôle du promoteur MMLV à répétition terminale longue (LTR) en 5'; la construction est flanquée de LTRs en 5' et 3', et contient un signal d'encapsulation MMLV ψ et un gène *pol* partiel. Le vecteur est pseudotypé avec la glycoprotéine d'enveloppe du virus de la leucémie du singe gibbon (GaLV). Les cellules mononucléaires du sang de cordon sont traitées avec des billes magnétiques recouvertes d'anticorps contre CD19, CD3 et CD14 pour enlever les cellules B, les lymphocytes T et les monocytes. Les cellules NK purifiées sont ensuite activées en utilisant une lignée de cellules présentatrices d'antigènes (APC) irradiées, en présence de milieu de croissance contenant de l'IL-2. Une déplétion supplémentaire des lymphocytes T CD3+ résiduels peut être effectuée en utilisant des billes magnétiques recouvertes d'anticorps. La substance contient >80% de cellules NK (CD45+CD3-CD56+), dont >21% sont CAR positives, et sécrètent IL-15.
thérapie génique à base de cellules (antinéoplasique)

sitocabnagén loxiveleucel

células natural killer (NK) alogénicas derivadas de sangre de cordón umbilical, transducidas con un vector retroviral basado en el virus de la leucemia de Moloney murino (MMLV) que codifica para la caspasa-9 inducible que consta de caspasa-9 humana

fusionada a una variante de la proteína de unión a FK506 humana (FKBP-F36V), un receptor de antígenos quimérico (CAR) dirigido a CD19 fusionado a dominios de señalización de CD28 y CD3ζ y para interleukina 15 (IL-15) humana que se puede secretar, ligados entre ellos por secuencias de los péptidos auto-escindibles T2A y E2A, respectivamente, bajo el control del promotor de la repetición terminal larga (LTR) en 5' de MMLV; el constructo está flanqueado por LTRs en 5' y 3' y contiene una señal de empaquetamiento ψ de MMLV y un gen *pol* parcial. El vector está seudotipado con la glicoproteína de la envuelta del virus de la leucemia del mono gibón (GaLV). Las células mononucleares de sangre del cordón se tratan con bolas magnéticas forradas de anticuerpos contra CD19, CD3 y CD14 para eliminar linfocitos B, linfocitos T y monocitos. Las células NK purificadas se activan después usando una línea de células presentadoras de antígeno (APC) irradiada en presencia de medio de crecimiento que contiene IL-2. Se puede hacer una deplección adicional de linfocitos T CD3+ residuales usando bolas magnéticas forradas de anticuerpo. La substancia contiene >80% de células NK (CD45+CD3-CD56+), de las cuales >21% son CAR positivas, y secretan IL-15.
terapia génica basada en células (antineoplásico)

socazolimabum #

socazolimab

immunoglobulin G1-lambda2, anti-[*Homo sapiens* CD274 (programmed cell death 1 ligand 1, B7H1, B7-H1, PDL1, PD-L1, PDCD1L1, B7 homolog 1)], monoclonal antibody; gamma1 heavy chain (1-449) [VH (*Homo sapiens*IGHV1-69*01 (98.0%) -(IGHD)-IGHJ6*01 (94.7%), CDR-IMGT [8.8.12] (26-33.51-58.97-108)) (1-119) - *Homo sapiens*IGHG1*01 (100%), G1m17,1 (CH1 K120 (216) (120-217), hinge 1-15 (218-232), CH2 (233-342), CH3 D12 (358), L14 (360) (343-447), CHS (448-449)) (120-449)], (222-214')-disulfide with lambda2 light chain (1'-215') [V-LAMBDA (*Homo sapiens*IGLV2-23*02 (90.8%) -IGLJ2*01 (100%), CDR-IMGT [9.3.10] (26-34.52-54.90-99)) (1'-109') - *Homo sapiens*IGLC2*01 (100%) (110'-215')]; dimer (228-228":231-231")-bisdisulfide, produced in Chinese hamster ovary (CHO)-K1SV cell line lacking the glutamine synthetase gene (GSKO), glycoform alfa *immunomodulator, antineoplastic*

socazolimab

immunoglobuline G1-lambda2, anti-[*Homo sapiens* CD274 (ligand 1 de mort programmée, B7H1, B7-H1, PDL1, PD-L1, PDCD1L1, homologue 1 de B7)], anticorps monoclonal;

chaîne lourde gamma1 (1-449) [VH (*Homo sapiens*IGHV1-69*01 (98.0%) -(IGHD) -IGHJ6*01 (94.7%), CDR-IMGT [8.8.12] (26-33.51-58.97-108)) (1-119) -*Homo sapiens*IGHG1*01 (100%), G1m17,1 (CH1 K120 (216) (120-217), charnière 1-15 (218-232), CH2 (233-342), CH3 D12 (358), L14 (360) (343-447), CHS (448-449)) (120-449)], (222-214')-disulfure avec la chaîne légère lambda2 (1'-215') [V-LAMBDA (*Homo sapiens*IGLV2-23*02 (90.8%) -IGLJ2*01 (100%), CDR-IMGT [9.3.10] (26-34.52-54.90-99)) (1'-109') -*Homo sapiens*IGLC2*01 (100%) (110'-215')]; dimère (228-228":231-231")-bisdisulfure, produit dans des cellules ovariennes de hamster chinois (CHO) lignée cellulaire CHO-K1SV ne présentant pas le gène de la glutamine synthétase (GSKO), glycoforme alfa
immunomodulateur, antinéoplasique

socazolimab

inmunoglobulina G1-lambda2, anti-[*Homo sapiens* CD274 (ligando 1 de muerte programada, B7H1, B7-H1, PDL1, PD-L1, PDCD1L1, homólogo 1 de B7)], anticuerpo monoclonal; cadena pesada gamma1 (1-449) [VH (*Homo sapiens*IGHV1-69*01 (98.0%) -(IGHD) -IGHJ6*01 (94.7%), CDR-IMGT [8.8.12] (26-33.51-58.97-108)) (1-119) -*Homo sapiens*IGHG1*01 (100%), G1m17,1 (CH1 K120 (216) (120-217), bisagra 1-15 (218-232), CH2 (233-342), CH3 D12 (358), L14 (360) (343-447), CHS (448-449)) (120-449)], (222-214')-disulfuro con la cadena ligera lambda2 (1'-215') [V-LAMBDA (*Homo sapiens*IGLV2-23*02 (90.8%) -IGLJ2*01 (100%), CDR-IMGT [9.3.10] (26-34.52-54.90-99)) (1'-109') -*Homo sapiens*IGLC2*01 (100%) (110'-215')]; dímero (228-228":231-231")-bisdisulfuro, producido en las células ováricas de hámster chino (CHO) línea celular CHO-K1SV en ausencia del gen glutamina sintetasa (GSKO), forma glicosilada alfa
inmunomodulador, antineoplásico

2305043-30-3

Heavy chain / Chaîne lourde / Cadena pesada

```

EVQLVESGAE VVKPGSSVKV SCKASGGTFS SYAISWVRQA PGQQLEWMGG 50
IIPFPTAN YAQKFQGRVTI TADESTVTA MELSSLRSED TAVYYCARP 100
YYYYYMDWVG QGTTTVTVSSA STKGPSVFLL APSSKSTSGG TAALCLVLKD 150
YFPEPVTVSW NSGALTSGVH TFPFAVLQSSG LYSLSSVVTVV PSSSLQTQTY 200
ICNVNHPKPSN TKVDKKVEPK SCDKTHTCPP CPAPELLGGP SVFLFPPKKP 250
DTLMISRTE VTCVVVDVSH EDPEVKFNWY VDGVEVHNAAK TKPREEQYNS 300
TYRVSVLTVL LHQDWLNGKE YKCKVSNKAL PAPIEKTISK ARQPFREPQV 350
YTLPSPRDEL TNKQVSLTCL VRGFYPSDIA VEWESNGQE NNYKTTTPV 400
DSGDGSFFLYS KLTVDKSRWQ QGNVFSCSVM HEALHNHYTQ KSLSLSPGK 449

```

Light chain / Chaîne légère / Cadena ligera

```

QSALTQPA SV SGSLQSQSVTI SCTGSSSDVG SYNLVSWYQQ HPGKAPNIMI 50
YDVSKRSGVS NRFGSGSKGN TASLTISGLQ AEDEADYYCS SYTGISTWF 100
GGGTKLTVLG QPKAAPSVTL FPPPSSEELQ NKAATLVCLIS DFYFGAVTV 150
WKADSSPVKA GVVETTPSKQ SNNKYAASSY LSLTPEQWKS HRSYSCQVTH 200
EGSTVEKTV A PTECS 215

```

Post-translational modifications

Disulfide bridges location / Position des ponts disulfure / Posiciones de los puentes disulfuro
Intra-H (C23-C104) 22-96 146-202 263-323 369-427
22"-96" 146"-202" 263"-323" 369"-427"
Intra-L (C23-C104) 22"-89" 137"-196"
22"-89" 137"-196"
Inter-H-L (h 5-CL 126) 222-214" 222"-214"
Inter-H-H (h 11, h 14) 228-228" 231-231"

N-terminal glutaminyl cyclization / Cyclisation du glutaminyle N-terminal / Ciclación del glutamínico N-terminal
L VL Q1 > pyroglutamyl (pE, 5-oxopropyl): I', I"

N-glycosylation sites / Sites de N-glycosylation / Posiciones de N-glicosilación
H CH2 N84:4; 299,299"
Fucosylated complex bi-antennary CHO-type glycans / glycanes de type CHO bi-antennaires complejos fucosilados.

C-terminal lysine clipping / Coupure de la lysine C-terminale / Recorte de lisina C-terminal
H CHS K2: 449, 449"

sotevtamab #

sotevtamab

immunoglobulin G2-kappa, anti-[*Homo sapiens* CLU (clusterin, complement lysis inhibitor, CLI, sulfated glycoprotein 2, SGP-2, SP-40, testosterone-repressed prostate message 2, TRPM-2, apolipoprotein J, APOJ, KUB1)], humanized monoclonal antibody;
 gamma2 heavy chain humanized (1-443) [VH (*Homo sapiens* IGHV1-69-2*01 (85.6%) -(IGHD) -IGHJ4*01 (100%), CDR-IMGT [8.8.10] (26-33.51-58.97-106)) (1-117) -*Homo sapiens* IGHG2*01 (100%), G2m.. CH2 V45.1 (CH1 (118-215), hinge 1-12 (216-227), CH2 V45.1 (278) (228-336), CH3 (337-441), CHS (442-443)) (118-443)], (131-219')-disulfide with kappa light chain humanized (1'-219') [V-KAPPA (*Homo sapiens* IGKV4-1*01 (91.9%) -IGKJ2*02 (100%), CDR-IMGT [12.3.8] (27-38.56-58.95-102)) (1'-112') -*Homo sapiens* IGKC*01 (100%), Km3 A45.1 (158), V101 (196) (113'-219')]; dimer (219-219":220-220":223-223":226-226")-tetrakisdisulfide, produced in a Chinese hamster ovary (CHO) cell line derived from CHO-K1, glycoform alfa *immunomodulator, antineoplastic*

sotévtamab

immunoglobuline G2-kappa, anti-[*Homo sapiens* CLU (clustérine, inhibiteur de lyse du complément, CLI, glycoprotéine sulfatée 2, SGP-2, SP-40, message prostatique 2 réprimé par la testostérone, TRPM-2, apolipoprotéine J, APOJ, KUB1], anticorps monoclonal humanisé; chaîne lourde gamma2 humanisée (1-443) [VH (*Homo sapiens* IGHV1-69-2*01 (85.6%) -(IGHD) -IGHJ4*01 (100%), CDR-IMGT [8.8.10] (26-33.51-58.97-106)) (1-117) -*Homo sapiens* IGHG2*01 (100%), G2m.. CH2 V45.1 (CH1 (118-215), 1-12 (216-227), CH2 V45.1 (278) (228-336), CH3 (337-441), CHS (442-443)) (118-443)], (131-219')-disulfure avec la chaîne légère kappa humanisée (1'-219') [V-KAPPA (*Homo sapiens* IGKV4-1*01 (91.9%) -IGKJ2*02 (100%), CDR-IMGT [12.3.8] (27-38.56-58.95-102)) (1'-112') -*Homo sapiens* IGKC*01 (100%), Km3 A45.1 (158), V101 (196) (113'-219')]; dimère (219-219":220-220":223-223":226-226")-tétrakisdisulfure, produit dans des cellules ovarianes de hamster chinois (CHO) dérivant de la lignée cellulaire CHO-K1, glycoforme alfa *immunomodulateur, antinéoplasique*

sotevtamab

inmunoglobulina G2-kappa, anti-[*Homo sapiens* CLU (clusterina, inhibidor de lisis del complemento, CLI, glicoproteína sulfatada 2, SGP-2, SP-40, mensaje prostático 2 reprimido por la testosterona, TRPM-2, apolipoproteína J, APOJ, KUB1], anticuerpo monoclonal humanizado; cadena pesada gamma2 humanizada (1-443) [VH (*Homo sapiens* IGHV1-69-2*01 (85.6%) -(IGHD) -IGHJ4*01 (100%), CDR-IMGT [8.8.10] (26-33.51-58.97-106)) (1-117) -*Homo sapiens* IGHG2*01 (100%), G2m.. CH2 V45.1 (CH1 (118-215), 1-12 (216-227), CH2 V45.1 (278) (228-336), CH3 (337-441), CHS (442-443)) (118-443)], (131-219')-disulfuro con la cadena ligera kappa humanizada (1'-219') [V-KAPPA (*Homo sapiens* IGKV4-1*01 (91.9%) -IGKJ2*02 (100%), CDR-IMGT [12.3.8] (27-38.56-58.95-102)) (1'-112') -*Homo sapiens* IGKC*01 (100%), Km3 A45.1 (158), V101 (196) (113'-219')]; dímero (219-219":220-220":223-223":226-226")-tetrakisdisulfuro, producido en las células ováricas de hámster chino (CHO) línea celular derivada de CHO-K1, forma glicosilada alfa *inmunomodulador, antineoplásico*

2411526-47-9

Heavy chain / Chaîne lourde / Cadena pesada

QVQLVQSGAE VKKPGATVKI SKVKGFGNIK DIYMHWVQQA PGKGLEWMGR 50
 IDPFAYGNTKY DDKFQGRVTI TADTSDTAY MELSSLRSED TAVVYCARRE 100
 DTAMDYWGGQ TLTVTSSAAT KGPSVPLAP CSRSTSESTA ALGCLVKDVF 150
 PEFVTVSNSN GALTSVGHTF PAVIQSQSLGY SLSVVTVIPS SNFGTQTYTC 200
 NVDHKPSNTK VDKTVERKCC VECPPCPAPP VAGPSVFLFP PKPKDTLMIS 250
 RTPEVTCVVA DVSHEDPEVQ FNWYVGDGEV HNAKTKPREE QFNSTFRVVS 300
 VLTVHQDWL NGKEVKCKVS NGKGLPAPIEK TISKTKGQPR EPQVYTLPEs 350
 REEMTKRNQS LTCLVKGFYD SDAIWEWEN GQPENNYKTT PPMLDSDGF 400
 FLYSKLTVDK SRWQQGNVFS CSVMMHEALH HYTQKSLSLS PKG 443

Light chain / Chaîne légère / Cadena ligera

DIVMTQSPDS LAVSLGERAT INCKSSQSLL NSRTRKNYL A WYQQKPGQPP 50
 KLLIYWASTR ESGVPDRFSG SGSGTDFLT ISSLQAEDVA VYCKQSYNL 100
 WTFGQGTKLE QLRTVAAPSV FIPPSDQEQL KSGTASVVCL LNNEYPREAK 150
 VQWKVDNALQ SGNSQESVTE QDSKDSTYSL SSTLTLSKAD YEKHKVYACE 200
 VTHQGLSSPF TKSFNRGEC 219

Post-translational modifications

Disulfide bridges location / Position des ponts disulfure / Posiciones de los puentes disulfuro
 Intra-H (C23-C104) 22"-96" 144"-200" 257"-317" 363"-421"

22"-96" 144"-200" 257"-317" 363"-421"
 Intra-L (C23-C104) 23"-94" 139"-199"
 23"-94" 39"-199"

Inter-H-L (CH1 10-CL 126) 131"-219" 131"-219"

Inter-H-H (h 4, h 5, h 8, h 11) 219"-219" 220"-220" 223"-223" 226"-226"

N-terminal glutaminyl cyclization / Cyclisation du glutaminyle N-terminal / Ciclación del glutamínilo N-terminal
 HVH Q1> pyroglutamyl (pE, 5-oxoprolyl): 1, 1"

N-glycosylation sites / Sites de N-glycosylation / Posiciones de N-glicosilación
 H CH2 N84.4: 293, 293"
 Fucosylated complex bi-antennary CHO-type glycans / glycanes de tipo CHO bi-antennarios complejos fucosilados.

C-terminal lysine clipping / Coupure de la lysine C-terminale / Recorte de lisina C-terminal
 H CHS K2: 443, 443"

sotuletinibum

sotuletinib

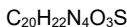
4-[(2-[(1*R*,2*R*)-2-hydroxycyclohexyl]amino)-1,3-benzothiazol-6-yl)oxy]-*N*-methylpyridine-2-carboxamide
tyrosine kinase inhibitor, antineoplastic

sotulétinib

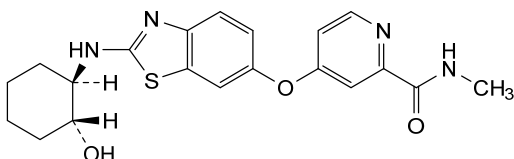
4-[(2-[(1*R*,2*R*)-2-hydroxycyclohexyl]amino)-1,3-benzothiazol-6-yl)oxy]-*N*-méthylpyridine-2-carboxamide
inhibiteur de la tyrosine kinase, antinéoplasique

sotuletinib

4-[(2-[(1*R*,2*R*)-2-hidroxiciclohexil]amino)-1,3-benzotiazol-6-il)oxi]-*N*-metilpiridina-2-carboxamida
inhibidor de la tiroxina kinasa, antineoplásico



953769-46-5

**sovilnesibum**

sovilnesib

2-(6-azaspiro[2.5]octan-6-yl)-*N*-(2-(4,4-difluoropiperidin-1-yl)-6-methylpyrimidin-4-yl)-4-(2-hydroxyethane-1-sulfonamido)benzamide
kinesin-like protein KIF18A inhibitor, antineoplastic

sovilenib	2-(6-azaspiro[2.5]octan-6-yl)-N-[2-(4,4-difluoropiperidin-1-yl)-6-méthylpyrimidin-4-yl]-4-(2-hydroxyéthane-1-sulfonamido)benzamide <i>inhibiteur de la protéine de type kinésine KIF18A, antineoplastique</i>
sovilenib	2-(6-azaspiro[2.5]octan-6-il)-N-[2-(4,4-difluoropiperidin-1-il)-6-metilpirimidin-4-il]-4-(2-hidroxietano-1-sulfonamido)benzamida <i>inhibidor de la proteína similar a la kinesina KIF18A, antineoplásico</i>
	C ₂₆ H ₃₄ F ₂ N ₆ O ₄ S
	2410796-79-9
suciraslimab #	
suciraslimab	immunoglobulin G1-kappa, anti-[<i>Homo sapiens</i> CD22 (sialic acid binding Ig-like lectin 2, SIGLEC2, SIGLEC-2, B-lymphocyte cell adhesion molecule, BL-CAM, Leu-14)], chimeric monoclonal antibody; gamma1 heavy chain chimeric (1-453) [VH Musmus/Homsap (<i>Mus musculus</i> IGHV5-12-1*01 (96.9%) -(IGHD) -IGHJ3*01 (100%)/ <i>Homo sapiens</i> IGHV3-11*01 (79.4%) -(IGHD) -IGHJ4*01 (92.3%), CDR-IMGT [8.8.16] (26-33.51-58.97-112)) (1-123) - <i>Homo sapiens</i> IGHG1*03 (100%), G1m3, nG1m1 (CH1 R120 (220) (124-221), hinge 1-15 (222-236), CH2 (237-346), CH3 E12 (362), M14 (364) (347-451), CHS (452-453)) (124-453)], (226-214')-disulfide with kappa light chain chimeric (1'-214') [V-KAPPA Musmus/Homsap (<i>Mus musculus</i> IGKV10-96*01 (96.8%) -IGKJ1*01 (100%)/ <i>Homo sapiens</i> IGKV1-39*01 (73.7%) -IGKJ4*01 (90.9%) V124>L (104), CDR-IMGT [6.3.9] (27-32.50-52.89-97)) (1'-107') - <i>Homo sapiens</i> IGKC*01 (100%), Km3 A45.1 (153), V101 (191) (108'-214')]; dimer (232-232":235-235")-bisdisulfide, produced in SP2/0-Ag14 murine myeloma cell line, glycoform alfa <i>immunomodulator, antineoplastic</i>
suciraslimab	immunoglobuline G1-kappa, anti-[<i>Homo sapiens</i> CD22 (Ig-like lectine 2 liant l'acide sialique, SIGLEC2, SIGLEC-2, molécule d'adhésion cellulaire du lymphocyte B, BL-CAM, Leu-14)], anticorps monoclonal chimérique; chaîne lourde gamma1 chimérique (1-453) [VH Musmus/Homsap (<i>Mus musculus</i> IGHV5-12-1*01 (96.9%) -(IGHD) -IGHJ3*01 (100%)/ <i>Homo sapiens</i> IGHV3-11*01 (79.4%) -(IGHD) -IGHJ4*01 (92.3%), CDR-IMGT [8.8.16] (26-33.51-58.97-112)) (1-123) - <i>Homo sapiens</i> IGHG1*03 (100%), G1m3, nG1m1 (CH1 R120 (220) (124-221), charnière 1-15 (222-236), CH2 (237-346), CH3 E12 (362), M14 (364) (347-451), CHS (452-453)) (124-453)], (226-214')-disulfure avec la chaîne légère kappa chimérique (1'-214') [V-KAPPA Musmus/Homsap (<i>Mus musculus</i> IGKV10-96*01 (96.8%) -IGKJ1*01 (100%)/ <i>Homo sapiens</i> IGKV1-39*01 (73.7%) -IGKJ4*01 (90.9%) V124>L (104), CDR-IMGT [6.3.9] (27-32.50-52.89-97)) (1'-107') - <i>Homo sapiens</i> IGKC*01 (100%), Km3 A45.1 (153), V101 (191) (108'-214')]; dimère (232-232":235-235")-bisdisulfure, produite dans la lignée cellulaire de myélome murin SP2/0-Ag14, glycoforme alfa <i>immunomodulateur, antineoplastique</i>

suciraslimab

inmunoglobulina G1-kappa, anti-[*Homo sapiens* CD22 (Ig-like lectina 2 fijando el ácido siálico, SIGLEC2, SIGLEC-2, molécula de adhesión celular del linfocito B, BL-CAM, Leu-14)], anticuerpo monoclonal quimérico; cadena pesada gamma1 quimérica (1-453) [VH Musmus/Homsap (*Mus musculus*)IGHV5-12-1*01 (96.9%) -(IGHD) -IGHJ3*01 (100%)/*Homo sapiens* IGHV3-11*01 (79.4%) -(IGHD) -IGHJ4*01 (92.3%), CDR-IMGT [8.8.16] (26-33.51-58.97-112)) (1-123) - *Homo sapiens* IGHG1*03 (100%), G1m3, nG1m1 (CH1 R120 (220) (124-221), bisagra 1-15 (222-236), CH2 (237-346), CH3 E12 (362), M14 (364) (347-451), CHS (452-453)) (124-453)], (226-214')-disulfuro con la cadena ligera kappa quimérica (1'-214') [V-KAPPA Musmus/Homsap (*Mus musculus*)IGKV10-96*01 (96.8%) -IGKJ1*01 (100%)/*Homo sapiens* IGKV1-39*01 (73.7%) -IGKJ4*01 (90.9%) V124-L (104), CDR-IMGT [6.3.9] (27-32.50-52.89-97)) (1'-107') - *Homo sapiens* IGKC*01 (100%), Km3 A45.1 (153), V101 (191) (108'-214')]; dímero (232-232"-235-235")-bisdisulfuro, producido en la línea celular de mieloma murino SP2/0-Ag14, forma glicosilada alfa *inmunomodulador, antineoplásico*

2415439-63-1

Heavy chain / Chaîne lourde / Cadena pesada

QVQLQESEGGV LVKPGGLSLKL SCAASGFAFS IYDMWSWRQT PEKRLENVAY 50
ISSGGGTTYY PDTVKGRFTI SRDNAKNTLY LQMSSLLKSD TAMYYCARHIS 100
GYGSYSVGVLF AWXQGQTLVT VSSASTKGPS VEPPLAPSRS TSGGTAALGC 150
LVKDYFPFV TVSNNSGALT SGVHTPFAVL QSSGLYLSLSS VVTVPSSLLG 200
TQTYICNVNH KPSNTKVDKR VEPKSCDATH TCPCCPAPEL LGCPSPVFLFP 250
PKPKDTLMIS RTPEVTCVVV DVSHEDPEVK FNWIVDGVEV HNAKTKPREE 300
QYNSTYRVVS VLTIVHQDWL NGKEYCKCVS NKALPAIEK TISKAKQQPR 350
EPQVYTLPPS REEMTKNQVS LTCLVKGFPY SDIAVEWESN GQEENNYKTT 400
PPVLDSDGSF FLYSKLTVDK SRWQQGNVFS CSVMEHALHN HYTQKSLSLS 450
PGK 453

Light chain / Chaîne légère / Cadena ligera

DIGLTQTSS LSASLGDRVT ISCRASQDIS NYLNWYQQKP DGTVKLIIY 50
TSILHSGVPS RFSGSGSGTD YSLTISNLQE EDFATYCFCQQ GNTLWTFPGG 100
GTKLEIKRTV AAPSVFIFPP SDEQLKSGTA SVVCLLNFFY PREAKVQWKV 150
DNAQSGNSQ ESVTEQDSKD STYSLSSLT LSKADYEKKH VYACEVTHQG 200
LSSPVTKSFV RGEC 214

Post-translational modifications

Disulfide bridges location / Position des ponts disulfure / Posiciones de los puentes disulfuro Intra-H (C23-C104) 22-96 150-206 267-327 373-431

22"-96" 150"-206" 267"-327" 373"-431"

Intra-L (C23-C104) 23"-88" 134"-194"

23"-88" 134"-194"

Inter-H-L (h5-CL 126) 226-214" 226"-214"

Inter-H-H (h 11, h 14) 232-232" 235-235"

N-terminal glutamyl cyclization / Cyclisation du glutaminyle N-terminal / Ciclación del glutamínilo N-terminal
H VH QI > pyroglutamyl (pE, 5-oxopropyl): 1, 1"

N-glycosylation sites / Sites de N-glycosylation / Posiciones de N-glicosilación

H CH2 N84.4; 303, 303"

Fucosylated complex bi-antennary SP2/0-type glycans / glycanes de type SP2/0 bi-antennaires complexes fucosylés / glicanos de tipo SP2/0 biantenarios complejos fucosilados.

C-terminal lysine clipping / Coupe de la lysine C-terminale / Recorte de lisina C-terminal
H CHS K2: 453, 453"

sucunamostatum
sucunamostat

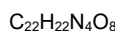
N-{[(3*S*)-6-{[4-(carbamimidoylamino)benzoyl]oxy}-2,3-dihydro-1-benzofuran-3-yl]acetyl}-L-aspartic acid
enteropeptidase inhibitor

sucunamostat

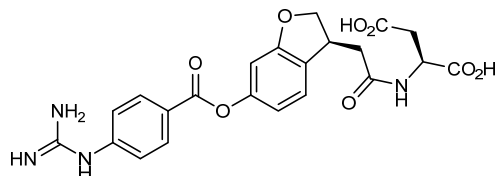
acide *N*-{[(3*S*)-6-[[4-(carbamimidoylamino)benzoyloxy]-2,3-dihydro-1-benzofuran-3-yl]acétyl}-L-aspartique
inhibiteur de l'entélopeptidase

sucunamostat

ácido *N*-{[(3*S*)-6-[[4-(carbamimidooilamino)benzoiloxy]-2,3-dihidro-1-benzofuran-3-il]acetil]-L-aspártico
inhibidor de la enteropeptidasa



1802888-04-5

**sunvozertinibum**

sunvozertinib

N-{5-({4-[5-chloro-4-fluoro-2-(2-hydroxypropan-2-yl)anilino]pyrimidin-2-yl}amino)-2-[(3*R*)-3-(dimethylamino)pyrrolidin-1-yl]-4-methoxyphenyl}prop-2-enamide
tyrosine kinase inhibitor, antineoplastic

sunvozertinib

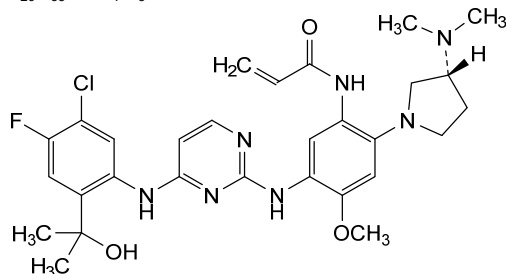
N-{5-({4-[5-chloro-4-fluoro-2-(2-hydroxypropan-2-yl)anilino]pyrimidin-2-yl}amino)-2-[(3*R*)-3-(diméthylamino)pyrrolidin-1-yl]-4-méthoxyphényl}prop-2-énamide
inhibiteur de la tyrosine kinase, antinéoplasique

sunvozertinib

N-{5-({4-[5-cloro-4-fluoro-2-(2-hidroxipropan-2-il)anilino]pirimidin-2-il}amino)-2-[(3*R*)-3-(dimetilamino)pirolidin-1-il]-4-metoxifenil}prop-2-enamida
inhibidor de la tirosina kinasa, antineoplásico



2370013-12-8



tagitanlimabum #

tagitanlimab

immunoglobulin G1-kappa, anti-[*Homo sapiens* CD274 (programmed cell death 1 ligand 1, B7H1, B7-H1, PDL1, PD-L1, PDCD1L1, B7 homolog 1)], humanized monoclonal antibody;
 gamma1 heavy chain humanized (1-450) [VH (*Homo sapiens*IGHV4-4*08 (81.4%) -(IGHD)-IGHJ4*01 (92.9%), CDR-IMGT [8.7.14] (26-33.51-57.96-109)) (1-120) -*Homo sapiens*IGHG1*01, G1m17,1, G1v14 CH2 A1.3, A1.2 (CH1 K120 (217) (121-218), hinge 1-15 (219-233), CH2 L1.3>A (237), L1.2>A (238), G1>A (240) (234-343), CH3 D12 (359), L14 (361) (344-448), CHS (449-450)) (121-450)], (223-214')-disulfide with kappa light chain humanized (1'-214') [V-KAPPA (*Homo sapiens*IGKV6-21*02 (86.3%) -IGKJ2*01 (100%), CDR-IMGT [6.3.9] (27-32.50-52.89-97)) (1'-107') -*Homo sapiens*IGKC*01 (100%), Km3 A45.1 (153), V101 (191) (108'-214')]; dimer (229-229":232-232")-bisdisulfide, produced in a Chinese hamster ovary (CHO)-DG44 cell line, glycoform alfa
immunomodulator

tagitanlimab

immunoglobuline G1-kappa anti-[*Homo sapiens* CD274 (ligand 1 de mort programmée, B7H1, B7-H1, PDL1, PD-L1, PDCD1L1, B7 homolog 1)], anticorps monoclonal humanisé;
 chaîne lourde gamma1 humanisée (1-450) [VH (*Homo sapiens*IGHV4-4*08 (81.4%) -(IGHD)-IGHJ4*01 (92.9%), CDR-IMGT [8.7.14] (26-33.51-57.96-109)) (1-120) -*Homo sapiens*IGHG1*01, G1m17,1, G1v14 CH2 A1.3, A1.2 (CH1 K120 (217) (121-218), charnière 1-15 (219-233), CH2 L1.3>A (237), L1.2>A (238), G1>A (240) (234-343), CH3 D12 (359), L14 (361) (344-448), CHS (449-450)) (121-450)], (223-214')-disulfure avec la chaîne légère kappa humanisée (1'-214') [V-KAPPA (*Homo sapiens*IGKV6-21*02 (86.3%) -IGKJ2*01 (100%), CDR-IMGT [6.3.9] (27-32.50-52.89-97)) (1'-107') -*Homo sapiens*IGKC*01 (100%), Km3 A45.1 (153), V101 (191) (108'-214')]; dimère (229-229":232-232")-bisdisulfure, produit dans des cellules ovariennes de hamster chinois (CHO) lignée cellulaire CHO-DG44, glycoforme alfa
immunomodulateur

tagitanlimab

immunoglobulina G1-kappa anti-[*Homo sapiens* CD274 (ligando 1 de muerte programada, B7H1, B7-H1, PDL1, PD-L1, PDCD1L1, B7 homolog 1)], anticuerpo monoclonal humanizado;
 cadena pesada gamma1 humanizada (1-450) [VH (*Homo sapiens*IGHV4-4*08 (81.4%) -(IGHD)-IGHJ4*01 (92.9%), CDR-IMGT [8.7.14] (26-33.51-57.96-109)) (1-120) -*Homo sapiens*IGHG1*01, G1m17,1, G1v14 CH2 A1.3, A1.2 (CH1 K120 (217) (121-218), bisagra 1-15 (219-233), CH2 L1.3>A (237), L1.2>A (238), G1>A (240) (234-343), CH3 D12 (359), L14 (361) (344-448), CHS (449-450)) (121-450)], (223-214')-disulfuro con la cadena ligera kappa humanizada (1'-214') [V-KAPPA (*Homo sapiens*IGKV6-21*02 (86.3%) -IGKJ2*01 (100%), CDR-IMGT [6.3.9] (27-32.50-52.89-97)) (1'-107') -*Homo sapiens*IGKC*01 (100%), Km3 A45.1 (153), V101 (191) (108'-214')];

dímero (229-229":232-232")-bisdisulfuro, producido en las células ováricas de hámster chino (CHO) línea celular CHO-DG44, forma glicosilada alfa *immunomodulador*

2417649-97-7

Heavy chain / Chaîne lourde / Cadena pesada

QVQLQESCPG LVKPSETLST TCTVSGFSLNS NYDISWIRQP PGKGLEWLGV 50
 IWTGATNYW PALKSRLTIS RDNSRNQVSL KMSSVTAADT AVYYCVRDSN 100
 YRYDEPFTYW CGGTLLTVSS ASTKGFSVFP LAFSSKSTSG GTAALGCLVK 150
 DYPPEFTVTS WNSGAALTSGV HTFFAVLQSS GLYSLLSVVT VESSSLQTQ 200
 YICNVNWKPS NTKVDDKVKVE KSCDKTHTCP PCPAPEAAAGA PSVFLFFPKP 250
 KDTLMISRTP EVTCCVVVDVS HEDEEVKFVNW YVDGVEVHNA KTKPREEQYN 300
 STRYVSVLT VLHQDWLNGK EYKCKVSNKA LPAPIKTIS KAKQQPREGQ 350
 VYTLPPSRTD LTKNQVSLTC LVRGFYPSDI AVEWESNGQP ENNYKTTPPV 400
 LDSDGFFFFLY SKLTVDKSRW QQGNVVFSCSV MHEALHNHYT QKSLSLSPGK 450

Light chain / Chaîne légère / Cadena ligera

EIVLTQSPDT LSVTPEKEVT LTCCRASQSIG TNIIHWFQQKP GQSPKLLIKY 50
 ASESISGVPS RFSGSGSGTD FTLLTINSVEA EDAATYYQQQ SNSWPYTFQQ 100
 GTKLEIKRTV AAPSVFIFPP SDEQLKSGTA SVVCLLNNFY PREAKVQWRV 150
 DNALQSGNSQ ESVTEQDSKD STYSLSSLT LSKADYEKHK VYACEVTHQG 200
 LSSPVTKSFN RGECA 214

Post-translational modifications

Disulfide bridges location / Position des ponts disulfure / Posiciones de los puentes disulfuro
 Intra-H (C23-C104) 22-95 147-203 264-324 370-428
 22"-95" 147"-203" 264"-324" 370"-428"

Intra-L (C23-C104) 23"-88" 134"-194"
 23"-88" 134"-194"

Inter-H-L (h 5-CL 126) 223-214' 223"-214"

Inter-H-H (h 11, h 14) 229-229" 232-232"

N-terminal glutamyl cyclization / Cyclisation du glutaminyle N-terminal / Ciclación del glutaminilo N-terminal
 H VH Q1>pyroglutamyl (peE, 5-oxoprolyl): 1, 1"

N-glycosylation sites / Sites de N-glycosylation / Posiciones de N-glicosilación
 H CH2 N84.4:300, 300"
 Fucosylated complex bi-antennary CHO-type glycans / glycanes de type CHO bi-antennaires complexes fucosylés / glicanos de tipo CHO biantenarios complejos fucosilados.

C-terminal lysine clipping / Coupe de la lysine C-terminale / Recorte de lisina C-terminal
 H CHS K2: 450, 450"

tamgiblimab #

tamgiblimab

immunoglobulin G4-kappa, anti-[*Homo sapiens* TIGIT (T-cell immunoreceptor with Ig domain and ITIM, V-set Ig member 9, VSIG9, V-set and transmembrane member 3, VSTM3)], *Homo sapiens* monoclonal antibody;
 gamma4 heavy chain *Homo sapiens* (1-448) [VH (*Homo sapiens*IGHV1-46*01 (95.9%) -(IGHD) -IGHJ4*01 (100%), CDR-IMGT [8.8.15] (26-33.51-58.97-111)) (1-122)-*Homo sapiens* IGHG4*01, G4v5 h P10, G4v4 CH2 A1.3, A1.2 (CH1 (123-220), hinge 1-12 S10>P (230) (221-232), CH2 F1.3>A (236), L1.2>A (237) (233-342), CH3 (343-447), CHS K2-del (448)) (123-448)], (136-214')-disulfide with kappa light chain *Homo sapiens* (1'-214') [V-KAPPA (*Homo sapiens* IGKV1-12*01 (95.8%) -IGKJ4*01 (91.7%), CDR-IMGT [6.3.9] (27-32.50-52.89-97)) (1'-107') -*Homo sapiens* IGKC*01 (100%), Km3 A45.1 (153), V101 (191) (108'-214')]; dimer (228-228":231-231")-bisdisulfide, produced in Chinese hamster ovary (CHO)-K1SV cell line lacking the glutamine synthetase gene (GSKO), glycoform alfa *immunomodulator, antineoplastic*

tamgiblimab

immunoglobuline G4-kappa, anti-[*Homo sapiens* TIGIT (immunorécepteur des lymphocytes T avec domaine Ig et ITIM, membre 9 de l'Ig V-set, VSIG9, membre 3 de l'Ig V-set et région transmembrinaire, VSTM3)], anticorps monoclonal *Homo sapiens*; chaîne lourde gamma4 *Homo sapiens* (1-448) [VH (*Homo sapiens*

IGHV1-46*01 (95.9%) -(IGHD) -IGHJ4*01 (100%), CDR-IMGT [8.8.15] (26-33.51-58.97-111)) (1-122)-*Homo sapiens* IGHG4*01, G4v5 h P10, G4v4 CH2 A1.3, A1.2 (CH1 (123-220), charnière 1-12 S10>P (230) (221-232), CH2 F1.3>A (236), L1.2>A (237) (233-342), CH3 (343-447), CHS K2>del (448)) (123-448)], (136-214')-disulfure avec la chaîne légère kappa *Homo sapiens* (1'-214') [V-KAPPA (*Homo sapiens* IGKV1-12*01 (95.8%) -IGKJ4*01 (91.7%), CDR-IMGT [6.3.9] (27-32.50-52.89-97)) (1'-107') -*Homo sapiens* IGKC*01 (100%), Km3 A45.1 (153), V101 (191) (108'-214')]; dimère (228-228":231-231")-bisdisulfure, produit dans des cellules ovarianes de hamster chinois (CHO) lignée cellulaire CHO-K1SV ne présentant pas le gène de la glutamine synthétase (GSKO), glycoforme alfa *immunomodulateur, antinéoplasique*

tamgiblimab

inmunoglobulina G4-kappa, anti-[*Homo sapiens* TIGIT (inmunoreceptor de los linfocitos T con dominio Ig e ITIM, miembro 9 de la Ig V-set, VSIG9, miembro 3 de la Ig V-set y región transmembrana, VSTM3)], anticuerpo monoclonal *Homo sapiens*; cadena pesada gamma4 *Homo sapiens* (1-448) [VH (*Homo sapiens* IGHV1-46*01 (95.9%) -(IGHD) -IGHJ4*01 (100%), CDR-IMGT [8.8.15] (26-33.51-58.97-111)) (1-122)-*Homo sapiens* IGHG4*01, G4v5 h P10, G4v4 CH2 A1.3, A1.2 (CH1 (123-220), bisagra 1-12 S10>P (230) (221-232), CH2 F1.3>A (236), L1.2>A (237) (233-342), CH3 (343-447), CHS K2>del (448)) (123-448)], (136-214')-disulfuro con la cadena ligera kappa *Homo sapiens* (1'-214') [V-KAPPA (*Homo sapiens* IGKV1-12*01 (95.8%) -IGKJ4*01 (91.7%), CDR-IMGT [6.3.9] (27-32.50-52.89-97)) (1'-107') -*Homo sapiens* IGKC*01 (100%), Km3 A45.1 (153), V101 (191) (108'-214')]; dímero (228-228":231-231")-bisdisulfuro, producido en las células ováricas de hámster chino (CHO) línea celular CHO-K1SV en ausencia del gen glutamina sintetasa (GSKO), forma glicosilada alfa *inmunomodulador, antineoplásico*

2411914-36-6

Heavy chain / Chaîne lourde / Cadena pesada
 QVQIVQSGAE VKKPGASVKV SCKASGYTTF EYYMHWRQAG PGQGLEWMGI 50
 ISPAGSLTQY AQKFQGRVTM TRDTSTSTTVY MELSSLRSED TAVYYCARDH 100
 DIRLAGRIAD YWGGQTLVTV SSASTKGPSV FPLAPCSRST SESTAALGCL 150
 VKDYFFPEVT VSWNSGALTQ GVHTFFFPAVLQ SSGLYSLSSV VTVFPSSLGT 200
 KTYTCNVDHDT PSNTKVDLDRV ESKYGVPCPP CPAAPEAAGP SVFLFPFKPK 250
 DTMISRTPEE VTCVVVDVSO EDPEVQENNY VDGVEVHNAT TKPREEQFNS 300
 TYRVSLSLTV LHQDWLNKGK YKCKVSNKGL PSSIEKTISK ARKGQPREPOV 350
 YTLPSSQEEM TKNQVSLTCL VRGFYPSDIA VEWESNGQE NNYKTTPPV1 400
 DSDGSFFLYS RLTVDKSRWQ EGNVFSCSVH HEALHNHYTQ KSLSLSQL 448

Light chain / Chaîne légère / Cadena ligera
 DIQMTQSPSS VSAASVGDRTV ITCRASQGIS SWLAWYQQKP GKAPKLLISA 50
 ASSLQLSGVFS RFSGSGSGTD FTFLTISSLQP EDFATYTCQQ AVILPITFGG 100
 GTKVEIKRTV AAEPVFIFPP SDEQLKSGTA SVVCLLNNFY PREAKVQWKV 150
 DNALQSGNSQ ESVTEQDSKD STYSLSSLT LSKADYERHK VYACEVTHQG 200
 LSSPVTKSFN RGEC 214

Post-translational modifications

Disulfide bridges location / Position des ponts disulfure / Posiciones de los puentes disulfuro
 Intra-H (C23-C104) 22-96 149-205 263-323 369-427
 22"-96" 149"-205" 263"-323" 369"-427"
 Intra-L (C23-C104) 23"-88" 134"-194"
 23"-88" 134"-194"
 Inter-H-L (CH1 10-CL 126) 136-214' 136"-214"
 Inter-H-H (h 8, h 11) 228-228" 231-231"

N-terminal glutaminyl cyclization / Cyclisation du glutaminyle N-terminal / Ciclación del glutaminilo N-terminal
 H VH Q1> pyroglutamyl (pE, 5-oxoprolyl): 1, 1"

N-glycosylation sites / Sites de N-glycosylation / Posiciones de N-glicosilación
 H CH2 N84.4:299, 299"
 Fucosylated complex bi-antennary CHO-type glycans / glycanes de type CHO bi-antennaires complexes fucosylés / glicanos de tipo CHO biantenarios complejos fucosilados.

tapderimotidum

tapderimotide

telomerase reverse transcriptase (human TERT, hTERT, EC:2.7.7.49) (691-705)-peptide;
 L-arginyl-L-threonyl-L-phenylalanyl-L-valyl-L-leucyl-L-arginyl-L-valyl-L-arginyl-L-alanyl-L-glutaminyl-L- α -aspartyl-L-prolyl-L-prolyl-L-prolyl-L-glutamic acid
immunological agent for active immunization

tapdérémotide

(691-705)-peptide de la transcriptase inverse de la télomérase (TERT humaine, hTERT, EC:2.7.7.49);
 acide L-arginyl-L-thréonyl-L-phénylalanyl-L-valyl-L-leucyl-L-arginyl-L-valyl-L-arginyl-L-alanyl-L-glutaminyl-L- α -aspartyl-L-prolyl-L-prolyl-L-prolyl-L-glutamique
agent immunologique d'immunisation active

tapderimotida

(691-705)-péptido de la telomerasa transcriptasa inversa (TERT humana, hTERT, EC:2.7.7.49);
 ácido L-arginil-L-treonil-L-fenilalanil-L-valil-L-leucil-L-arginil-L-valil-L-arginil-L-alanil-L-glutaminil-L- α -aspartil-L-prolil-L-prolil-L-glutámico
agente inmunológico para inmunización activa

C79H129N25O22

1221082-45-6

RTFVLRVRAQ DPPPE 15

tarcocimabum #

tarcocimab

immunoglobulin G1-kappa, anti-[*Homo sapiens* VEGFA (vascular endothelial growth factor A, VEGF-A, VEGF)], humanized monoclonal antibody;
 gamma1 heavy chain humanized (1-453) [VH (*Homo sapiens*IGHV3-30*02 (75.8%) -(IGHD) -IGHJ4*01 (93.3%), CDR-IMGT [8.8.16] (26-33.51-58.97-112)) (1-123) -*Homo sapiens*IGHG1*03v, G1m3>G1m17, nG1m1, G1v14 CH2 A1.3, A1.2 (CH1 R120>K (220) (124-221), hinge 1-15 (222-236), CH2 L13.>A (240), L1.2>A (241), G1>A (243) (237-346), CH3 E12 (362), M14 (364), L123>C (449) (347-451), CHS (452-453)) (124-453)], (226-214')-disulfide with kappa light chain humanized (1'-214') [V-KAPPA (*Homo sapiens*IGKV1-16*01 (87.4%) -IGKJ1*01 (100%), CDR-IMGT [6.3.9] (27-32.50-52.89-97)) (1'-107') -*Homo sapiens*IGKC*01 (100%), Km3 A45.1 (153), V101 (191) (108'-214')]; dimer (232-232":235-235")-bisdisulfide, produced in Chinese hamster ovary (CHO)-K1SV cell line lacking the glutamine synthetase gene (GS-KO), glycoform alfa
angiogenesis inhibitor

tarcocimab

immunoglobuline G1-kappa, anti-[*Homo sapiens* VEGFA (facteur de croissance A de l'endothélium vasculaire, VEGF-A, VEGF)], anticorps monoclonal humanisé;
 chaîne lourde gamma1 humanisée (1-453) [VH (*Homo sapiens*IGHV3-30*02 (75.8%) -(IGHD) -IGHJ4*01 (93.3%), CDR-IMGT [8.8.16] (26-33.51-58.97-112)) (1-123) -*Homo sapiens*IGHG1*03v, G1m3>G1m17, nG1m1, G1v14 CH2 A1.3, A1.2 (CH1 R120>K (220) (124-221), charnière 1-15 (222-236), CH2 L13.>A (240), L1.2>A (241), G1>A (243) (237-346), CH3 E12 (362), M14 (364), L123>C (449) (347-451), CHS (452-453)) (124-453)], (226-214')-disulfure avec

la chaîne légère kappa humanisée (1'-214') [V-KAPPA (*Homo sapiens* IGKV1-16*01 (87.4%) -IGKJ1*01 (100%), CDR-IMGT [6.3.9] (27-32.50-52.89-97)) (1'-107') -*Homo sapiens* IGKC*01 (100%), Km3 A45.1 (153), V101 (191) (108'-214')]; dimère (232-232":235-235")-bisdisulfure, produit dans des cellules ovariennes de hamster chinois (CHO) lignée cellulaire CHO-K1SV ne présentant pas le gène de la glutamine synthétase (GS-KO), glycoforme alfa
inhibiteur de l'angiogénèse

tarcocimab

inmunoglobulina G1-kappa, anti-[*Homo sapiens* VEGFA (factor de crecimiento A del endotelio vascular, VEGF-A, VEGF)], anticuerpo monoclonal humanizado; cadena pesada gamma1 humanizada (1-453) [VH (*Homo sapiens* IGHV3-30*02 (75.8%) -(IGHD) -IGHJ4*01 (93.3%), CDR-IMGT [8.8.16] (26-33.51-58.97-112)) (1-123) -*Homo sapiens*IGHG1*03v, G1m3>G1m17, nG1m1, G1v14 CH2 A1.3, A1.2 (CH1 R120>K (220) (124-221), bisagra 1-15 (222-236), CH2 L13.>A (240), L1.2>A (241), G1>A (243) (237-346), CH3 E12 (362), M14 (364), L123>C (449) (347-451), CHS (452-453)) (124-453)], (226-214')-disulfuro con la cadena ligera kappa humanizada (1'-214') [V-KAPPA (*Homo sapiens* IGKV1-16*01 (87.4%) -IGKJ1*01 (100%), CDR-IMGT [6.3.9] (27-32.50-52.89-97)) (1'-107') -*Homo sapiens* IGKC*01 (100%), Km3 A45.1 (153), V101 (191) (108'-214')]; dímero (232-232":235-235")-bisdisulfuro, producido en las células ováricas de hámster chino (CHO) línea celular CHO-K1SV en ausencia del gen glutamina sintetasa (GS-KO), forma glicosilada alfa
inhibidor de la angiogénesis

2408661-40-3

Heavy chain / Chaîne lourde / Cadena pesada

```

EVQLVESGGGVVPPVTVQASVYDFV HYGMNWVRQA PGKGLEWVGW 50
INTYTGEPEVY AADFKRRTFF SLDTSSKSTAY LQMNSSLRAED TAVYYCAKYD 100
YYGGTSHWYF DVWGQGTFLVT VSSASTKGPS VFPLAPSSKS TSGGTAALGC 150
LVKDYFFPEV TVSWNSNGALT SGVHTFPFAVL QSSGLYPSLSS VVTVPSSSLG 200
TQTYLICNVNH KPSNTKVKDKV VEPKSCDKTH TDPCCPAFEA AGAPSFLFFF 250
PKPKDTLMIS RTPEVTCVVV DVSHEDPEVK FNWYWDVGVEV HNAKTKPREE 300
QYNSTYIPPEV VLTFLHQDWL NGKEYKCKVS NKAALPAPIEK TISKAKGQPR 350
EQQVYTLIPPS REEMTKRNQVS LTCILVKGFYP SDIAVEWESN QOPENNYKTT 400
PFVLDSDGSF FLYSKLTVDK SRWQQGNVFS CSVMHEALHN HYTQKSLSCS 450
PGK                                         453

```

Light chain / Chaîne légère / Cadena ligera

```

DIQLTQSPPS LSASVGDRVT ITCSASODIS NYLNWYQQKPG KAKPVKLIYF 50
TSSLHSGCPVS RFSGSGSGTD FILTISSLQP EDFATYQCOQ YSTVFWTFQG 100
GTVKEIKRFV AAPSVFIFPP SDEQLKSGTVA SVVCLLNNFY PREAKVQWKV 150
DNALQSGNSQ ESVTEQDSKD STYSLSSSLT LSKADYEKHK VYACEVTHQG 200
LSSPVTKSPN RGEC                                         214

```

Post-translational modifications

Disulfide bridges location / Position des ponts disulfure / Posiciones de los puentes disulfuro
 Intra-H (C23-C104) 22-96 150-206 267-327 373-431
 22"-96" 150"-206" 267"-327" 373"-431"
 Intra-L (C23-C104) 23"-88" 134"-194"
 23"-88" 134"-194"
 Inter-H-L (h 5-CL 126) 226-214" 226"-214"
 Inter-H-H (h 11,h 14) 232-232" 235-235"

N-glycosylation sites / Sites de N-glycosylation / Posiciones de N-glicosilación

H CH2 N84.4: 303, 303"
 Fucosylated complex bi-antennary CHO-type glycans / glycanes de type CHO bi-antennaires
 complejos fucosilés / glicanos de tipo CHO biantenarios complejos fucosilados.

C-terminal lysine clipping / Coupe de la lysine C-terminale / Recorte de lisina C-terminal
 H CHS K2:453, 453"

tecaginlimabum #

tecaginlimab

immunoglobulin G1-kappa, anti-[*Homo sapiens* CD40 (tumor necrosis factor receptor superfamily member 5, TNFRSF5, p50)] and anti-[*Homo sapiens* TNFRSF9 (tumor necrosis factor receptor (TNFR) superfamily member 9, 4-1BB, T cell antigen ILA, CD137)], humanized monoclonal antibody, bispecific; gamma1 heavy chain humanized anti-CD40 (1-451) [VH anti-CD40 (*Homo sapiens* IGHV1-46*01 (85.7%) - (IGHD) -IGHJ4*01 (92.9%), CDR-IMGT [8.8.15] (26-33.51-58.97-111)) (1-122) -*Homo sapiens* IGHG1*03, G1m3, nG1m1, G1v41 CH2 F1.3, E1.2 (CH1 R120 (219) (123-220), hinge 1-15 (221-235), CH2 L1.3>F (239), L1.2>E (240), D27>A (270) (236-345), CH3 E12 (361), M14 (363), F85.1>L (410) (346-450), CHS K>del (451)) (123-451)], (225-214')-disulfide with kappa light chain humanized anti-CD40 (1'-214') [V-KAPPA anti-CD40 (*Homo sapiens* IGKV1-33*01 (88.4%) -IGKJ4*01 (100%), CDR-IMGT [6.3.9] (27-32.50-52.89-97)) (1'-107') -*Homo sapiens* IGKC*01 (100%), Km3 A45.1 (153), V101 (191) (108'-214')]; gamma1 heavy chain humanized anti-TNFRSF9 (1"-446") [VH anti-TNFRSF9 (*Homo sapiens* IGHV3-49*04 (86.0%) -(IGHD) -IGHJ2*01 (92.9%) R120>Q (109), CDR-IMGT [8.7.11] (26-33.51-57.96-106)) (1"-117") -*Homo sapiens* IGHG1*03, G1m3, nG1m1, G1v41 CH2 F1.3, E1.2 (CH1 R120 (214) (118"-215"), hinge 1-15 (216"-230"), CH2 L1.3>F (234), L1.2>E (235), D27>A (265) (231"-340"), CH3 E12 (356), M14 (358), K88>R (409) (341"-445"), CHS K>del (446)) (118"-446")], (220"-217")-disulfide with kappa light chain humanized anti-TNFRSF9 (1"-217") [V-KAPPA anti-TNFRSF9 (*Homo sapiens* IGKV1-33*01 (85.7%) -IGKJ1*01 (90.0%) Q120>G (103), CDR-IMGT [6.3.12] (27-32.50-52.89-100)) (1"-110") -*Homo sapiens* IGKC*01 (100%), Km3 A45.1 (156), V101 (194) (111"-217")]; dimer (231-226":234-229")-bisdisulfide, produced in Chinese hamster ovary (CHO) cells, glycoform alfa immunomodulator, antineoplastic

técaginlimab

immunoglobuline G1-kappa, anti-[*Homo sapiens* CD40 (membre 5 de la superfamille des récepteurs du TNF, TNFRSF5, p50)] et anti-[*Homo sapiens* TNFRSF9 (membre 9 de la superfamille des récepteurs du facteur de nécrose tumorale, 4-1BB, antigène ILA de lymphocyte T, CD137)], anticorps monoclonal humanisé, bispécifique; chaîne lourde gamma1 humanisée anti-CD40 (1-451) [VH anti-CD40 (*Homo sapiens* IGHV1-46*01 (85.7%) - (IGHD) -IGHJ4*01 (92.9%), CDR-IMGT [8.8.15] (26-33.51-58.97-111)) (1-122) -*Homo sapiens* IGHG1*03, G1m3, nG1m1, G1v41 CH2 F1.3, E1.2 (CH1 R120 (219) (123-220), charnière 1-15 (221-235), CH2 L1.3>F (239), L1.2>E (240), D27>A (270) (236-345), CH3 E12 (361), M14 (363), F85.1>L (410) (346-450), CHS K>del (451)) (123-451)], (225-214')-disulfure avec la chaîne légère kappa humanisée anti-CD40 (1'-214') [V-KAPPA anti-CD40 (*Homo sapiens* IGKV1-33*01 (88.4%) -IGKJ4*01 (100%), CDR-IMGT [6.3.9] (27-32.50-52.89-97)) (1'-107') -*Homo sapiens* IGKC*01 (100%), Km3 A45.1 (153), V101 (191) (108'-214')];

chaîne lourde gamma1 humanisée anti-TNFRSF9 (1"-446") [VH anti-TNFRSF9 (*Homo sapiens*IGHV3-49*04 (86.0%) -(IGHD) -IGHJ2*01 (92.9%) R120>Q (109), CDR-IMGT [8.7.11] (26-33.51-57.96-106)) (1"-117") -*Homo sapiens*IGHG1*03, G1m3, nG1m1, G1v41 CH2 F1.3, E1.2 (CH1 R120 (214) (118"-215"), charnière 1-15 (216"-230"), CH2 L1.3>F (234), L1.2>E (235), D27>A (265) (231"-340"), CH3 E12 (356), M14 (358), K88>R (409) (341"-445"), CHS K>del (446)) (118"-446")], (220"-217")-disulfure avec la chaîne légère kappa humanisée anti-TNFRSF9 (1"-217") [V-KAPPA anti-TNFRSF9 (*Homo sapiens*IGKV1-33*01 (85.7%) -IGKJ1*01 (90.0%) Q120>G (103), CDR-IMGT [6.3.12] (27-32.50-52.89-100)) (1"-110") -*Homo sapiens*IGKC*01 (100%), Km3 A45.1 (156), V101 (194) (111"-217")]; dimère (231-226":234-229")-bisdisulfure, produit dans des cellules ovaries de hamster chinois (CHO), glycoforme alfa *immunomodulateur, antineoplasique*

tecaginlimab

inmunoglobulina G1-kappa, anti-[*Homo sapiens* CD40 (miembro 5 de la superfamilia de los receptores del TNF, TNFRSF5, p50)] y anti-[*Homo sapiens* TNFRSF9 (miembro 9 de la superfamilia de los receptores del factor de necrosis tumoral, 4-1BB, antígeno ILA de linfocito T, CD137)], anticuerpo monoclonal humanizado, biespecífico; cadena pesada gamma1 humanizada anti-CD40 (1-451) [VH anti-CD40 (*Homo sapiens*IGHV1-46*01 (85.7%) -(IGHD) -IGHJ4*01 (92.9%), CDR-IMGT [8.8.15] (26-33.51-58.97-111)) (1-122) -*Homo sapiens*IGHG1*03, G1m3, nG1m1, G1v41 CH2 F1.3, E1.2 (CH1 R120 (219) (123-220), bisagra 1-15 (221-235), CH2 L1.3>F (239), L1.2>E (240), D27>A (270) (236-345), CH3 E12 (361), M14 (363), F85.1>L (410) (346-450), CHS K>del (451)) (123-451)], (225-214")-disulfuro con la cadena ligera kappa humanizada anti-CD40 (1"-214") [V-KAPPA anti-CD40 (*Homo sapiens*IGKV1-33*01 (88.4%) -IGKJ4*01 (100%), CDR-IMGT [6.3.9] (27-32.50-52.89-97)) (1"-107") -*Homo sapiens*IGKC*01 (100%), Km3 A45.1 (153), V101 (191) (108"-214")]; cadena pesada gamma1 humanizada anti-TNFRSF9 (1"-446") [VH anti-TNFRSF9 (*Homo sapiens*IGHV3-49*04 (86.0%) -(IGHD) -IGHJ2*01 (92.9%) R120>Q (109), CDR-IMGT [8.7.11] (26-33.51-57.96-106)) (1"-117") -*Homo sapiens*IGHG1*03, G1m3, nG1m1, G1v41 CH2 F1.3, E1.2 (CH1 R120 (214) (118"-215"), bisagra 1-15 (216"-230"), CH2 L1.3>F (234), L1.2>E (235), D27>A (265) (231"-340"), CH3 E12 (356), M14 (358), K88>R (409) (341"-445"), CHS K>del (446)) (118"-446")], (220"-217")-disulfuro con la cadena ligera kappa humanizada anti-TNFRSF9 (1"-217") [V-KAPPA anti-TNFRSF9 (*Homo sapiens*IGKV1-33*01 (85.7%) -IGKJ1*01 (90.0%) Q120>G (103), CDR-IMGT [6.3.12] (27-32.50-52.89-100)) (1"-110") -*Homo sapiens*IGKC*01 (100%), Km3 A45.1 (156), V101 (194) (111"-217")]; dímero (231-226":234-229")-bisdisulfuro, producido en las células ováricas de hamster chino (CHO), forma glicosilada alfa *inmunomodulador, antineoplásico*

2253891-70-0

Heavy chain / Chaîne lourde / Cadena pesada (anti-CD40)
EVQLVQSGAE VKKPGASVKV SCKTSGYFT EYIMHWRQQA PGQGLEWMGG 50
IIPNNNGTSV NQKFQGRVTM TVDKSTSTGY MELSSLRSED TAVYVCTRRE 100
VYGRNRYALD YWGCGTLTVV SSASTKGPSV FFLAPSSKST SGGAALCGL 150
VKDYFPEEVT VWSNGSKLKV GSHTTPFAVLD SSGLYSLSSV VTPPSSLG 200
QTYICNVNHH PSNTKDVKEV EFKSCDKTHY CFPCPAPEEE GGBPSVFLPPP 250
KPKDTILMISR TVEETCVVVA VSHEDPEVKF NWYVDGVEVH NAKTKEREEQ 300
INSTTYRVVSV LTIVLHQDWLN GKRYCKVSN KALPAPIEK T ISKAQGQPRE 350
PQVYTLPPSR EEMTKNQVSL TCLVKGFPYS DIAVEWESENQ QPENNYKRTT 400
PVLDSDGSFL LYSKLTWVKS RWQQGNVFSC SVMVEALHNH YTQKSLSLSP 450
G 451

Heavy chain / Chaîne lourde / Cadena pesada (anti-TNFRSF9)
EVNLVESGGG LVPGPGRSLR SCTASGFSLN DYWMWSVVRQAA PGKGLEWVG 50
IDVGGSLYYA ASVKGRFTIS RDDSKSTAYI QMNSLKTEDT AVYVCARGGL 100
TYGFDLWQCQ TLTVTVSSAST KGFSVFLPLAP SSKSTSGGTAA LCGCLVKDFY 150
PEPVTVWSNS GALTSGVHTE PAVLQSGLY SLSSVWTVPS SSLGTOYTIC 200
NVNHKPSNTK VDKRVEPKSC DKHTCPFCP APEFEGGPSV FLFPPPKPKDT 250
LMISRTPEVT CVVVAVSHED PEVKFNWYD GVEVHNNAKTK PREEQYNSTY 300
RVVSVLTVLH QDWLNGKEYK CKVSNKALPA PIERTISKAK GQPREFQVYT 350
LPSPREEMTK NQVSILTCLVK GFYFPSDIAVP WESNQNQENN YKTPPVLD 400
DGSFFLYSRL TVDKSRWQG NVFSCSVMHE ALHNHYTQKS LSLSPG 446

Light chain / Chaîne légère / Cadena ligera (anti-CD40)
DTQMTQSPSS LSASVGDRTV ITCSASQGIN NYLAWYQQKP GKAVKLIIY 50
TSSLHSVGVPFS RFSGSGSGTD YFTTISLQLP EDIATYYCQY YSNLYTFGG 100
GTVKEIKPTV AAESPVFIFFP SDEQLKSGTA SVVCLLNNEY PREAKVQWV 150
DNALQSGNSQ ESVTEQDSKD STYSLSTLT LSKADYEKKH VYACEVTHQ 200
LSSPVTKFSN RGEC 214

Light chain / Chaîne légère / Cadena ligera (anti-TNFRSF9)
DIVMTQSPSS LSASVGDRTV ITCSASQGIN NYLAWYQQKP GKAVKLIIY 50
ASDLASVGVPFS RFSGSGSGTD YFTTISLQLP EDIATYYCQY YSNLYTFGG 100
FGGGTKVEIK RTVAAPSVETI FPESDEQLKS GTASVWCLLN NEYPREAKVQ 150
WKVDNALQSG NSQESVTEBQD SKDSTSLSLSS TLTLSKADYE KHKVYACEVT 200
HOGLSSPVTK SFNRGEC 217

Post-translational modifications

Disulfide bridges location / Position des ponts disulfure / Posiciones de los puentes disulfuro

Intra-H (C23-C104) 22-96 149-205 266-326 372-430
22"-95" 144"-200" 261"-321" 367"-425"

Intra-L (C23-C104) 23"-88" 134"-194"

23"-88" 137"-197"

Inter-H-L (h-5-CL 126) 225-214" 220"-217"

Inter-H-H (h 11, h 14) 231-226" 234-229"

N-glycosylation sites / Sites de N-glycosylation / Posiciones de N-glicosilación

H CH2 N84:4; 302, 297"

Fucosylated complex bi-antennary CHO-type glycans / glycanes de type CHO bi-antennaires complexes fucosylés / glicanos de tipo CHO biantenarios complejos fucosilados.

temuterkibum

temuterkib

1²,4⁶,4⁶-trimethyl-1²H-2-aza-4(2,5)-thieno[2,3-c]pyrrola-7(4)-morpholina-3(2,4)-pyrimidina-1(3)-pyrazolaheptaphan-4⁴(4⁶H)-one tyrosine kinase inhibitor, antineoplastic

témuterkib

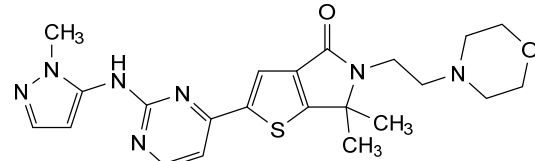
1²,4⁶,4⁶-triméthyl-1²H-2-aza-4(2,5)-thieno[2,3-c]pyrrola-7(4)-morpholina-3(2,4)-pyrimidina-1(3)-pyrazolaheptaphan-4⁴(4⁶H)-one inhibiteur de la tyrosine kinase, antinéoplasique

temuterkib

1²,4⁶,4⁶-trimetil-1²H-2-aza-4(2,5)-tieno[2,3-c]pirrola-7(4)-morfolina-3(2,4)-pirimidina-1(3)-pirazolaheptafan-4⁴(4⁶H)-ona inhibidor de la tirosina kinasa, antineoplásico

C₂₂H₂₇N₇O₂S

1951483-29-6



teropavimab #

teropavimab

immunoglobulin G1-kappa, anti-[human immunodeficiency virus type 1 (HIV-1) gp120 envelope glycoprotein (HIV-1 gp120) CD4 binding site (CD4bs)], monoclonal antibody; gamma1 heavy chain (1-452) [VH (*Homo sapiens* IGHV1-2*02, insert D84.1, F84.2, D85.2, T85.1 (77-80), (62.7%) - (IGHD) -IGHJ3*01 (85.7%) Q120>S (115), M123>Q (118), CDR-IMGT [8.8.12] (26-33.51-58.101-112)) (1-123) -*Homo sapiens* IGHG1*01 G1m17.1, G1v24 CH3 L107, S114 (CH1 K120 (220) (124-221), hinge 1-15 (222-236), CH2 (237-346), CH3 D12 (362), L14 (364), M107>L (434), N114>S (440) (347-451), CHS K2>del (452)) (124-452)], (226-206')-disulfide with kappa light chain (1'-206') [V-KAPPA (*Homo sapiens* IGKV1-33*01 (72.8%) -IGKJ5*01 (71.4%) E119>D (97), I120>L (98), CDR-IMGT [3.3.13] (26-28.46-48.85-97)) (1'-99') -*Homo sapiens* IGKC*01 (100%), Km3 A45.1 (145), V101 (183) (100'-206')]; dimer (232-232":235-235")-bisdisulfide, produced in a Chinese hamster ovary (CHO)-K1SV cell line, glycoform alfa antiviral

téropavimab

immunoglobuline G1-kappa, anti-[site de liaison au CD4 (CD4bs) de la protéine d'enveloppe gp120 du virus de l'immunodéficience humaine de type 1 (HIV-1) (HIV-1 gp120)], anticorps monoclonal; chaîne lourde gamma1 (1-452) [VH (*Homo sapiens* IGHV1-2*02, insert D84.1, F84.2, D85.2, T85.1 (77-80), (62.7%) -(IGHD) -IGHJ3*01 (85.7%) Q120>S (115), M123>Q (118), CDR-IMGT [8.8.12] (26-33.51-58.101-112)) (1-123) -*Homo sapiens* IGHG1*01 G1m17.1, G1v24 CH3 L107, S114 (CH1 K120 (220) (124-221), charnière 1-15 (222-236), CH2 (237-346), CH3 D12 (362), L14 (364), M107>L (434), N114>S (440) (347-451), CHS K2>del (452)) (124-452)], (226-206')-disulfure avec la chaîne légère kappa (1'-206') [V-KAPPA (*Homo sapiens* IGKV1-33*01 (72.8%) -IGKJ5*01 (71.4%) E119>D (97), I120>L (98), CDR-IMGT [3.3.13] (26-28.46-48.85-97)) (1'-99') -*Homo sapiens* IGKC*01 (100%), Km3 A45.1 (145), V101 (183) (100'-206')]; dimère (232-232":235-235")-bisdisulfure, produit dans des cellules ovariennes de hamster chinois (CHO) lignée cellulaire CHO-K1SV, glycoforme alfa antiviral

teropavimab

inmunoglobulina G1-kappa, anti-[lugar de unión al CD4 (CD4bs) de la proteína de envoltura gp120 del virus de la inmunodeficiencia humana de tipo 1 (HIV-1) (HIV-1 gp120)], anticuerpo monoclonal; cadena pesada gamma1 (1-452) [VH (*Homo sapiens* IGHV1-2*02, insert D84.1, F84.2, D85.2, T85.1 (77-80), (62.7%) -(IGHD) -IGHJ3*01 (85.7%) Q120>S (115), M123>Q (118), CDR-IMGT [8.8.12] (26-33.51-58.101-112)) (1-123) -*Homo sapiens* IGHG1*01 G1m17.1, G1v24 CH3 L107, S114 (CH1 K120 (220) (124-221), bisagra 1-15 (222-236), CH2 (237-346), CH3 D12 (362), L14 (364), M107>L (434), N114>S (440) (347-451), CHS K2>del (452)) (124-452)], (226-206')-disulfuro con la cadena ligera kappa (1'-206') [V-KAPPA (*Homo sapiens* IGKV1-33*01 (72.8%) -IGKJ5*01 (71.4%) E119>D (97), I120>L (98), CDR-IMGT [3.3.13] (26-28.46-48.85-97)) (1'-99') -*Homo sapiens* IGKC*01 (100%), Km3 A45.1 (145), V101 (183)

(100'-206']); dímero (232-232":235-235")-bisdisulfuro, producido en las células ováricas de hámster chino (CHO) línea celular CHO-K1SV, forma glicosilada alfa antiviral

2417213-72-8

Heavy chain / Chaîne lourde / Cadena pesada
 QVQLQSGAA VTKPGASVRV SCEASCYINIR DTFIHWWRQA PGQQLQWVGW 50
 INFKIGQPNR FRQFQGVSL TRHASWDFDT FSFYMDLKL RSDDTAVYFC 100
 ARQRSDYDDE DWGSGTQVQT VSSASTKGPS VFVFLAPSSKS TSGGTAALGC 150
 LVKDVFPEPV TVSNNSGALT SGVHTTPAVL QSGLGLSLS VVTVPSSLG 200
 TQTYICNVNI KPSNTKVADKK VEPKSCDKTH TCPCPAPEL LGCPGVFLFP 250
 PKPKDTLMIS RTPEVTCVVV DVSHEDPEVK FNWYVDGVEV HNAKTKFREE 300
 QYNSTYRVVS VLTVLHQDWL NGKEYCKVS NKAALPAPIEK TISKARGQPR 350
 EPQVYTLPS RDELTKNQVS LTCLVKGFPV SDIAVEWESEN QOPENNYKT 400
 PPVLSDGSF FLYSKLTVDK SRWQQGNVFS CSVLHEALHS HYTQKSLSL 450
 PG 452

Light chain / Chaîne légère / Cadena ligera
 DIQMTOFSS LSASVGDIVT ITCQANGYLN WYQQRRGKAP KLLIYDGSKL 50
 ERGPVPSRGF RRWQQEYNLIT INNLQPEDIA TYFCQVYEFV VFGTRLDLKR 100
 TVAAPSVIF PPSDEQLKSG TASVVCILNN FYPREAKVQW KVDNALQSGN 150
 SQESVTEQDS KDSTYSLSST LTLSKADYEK HKVYACEVTH QGLSSPVTKS 200
 FNRGEC 206

Post-translational modifications

Disulfide bridges location / Position des ponts disulfure / Posiciones de los puentes disulfuro
 Intra-H (C23-C104) 22-100 150-206 267-327 373-431
 22"-100" 150"-206" 267"-327" 373"-431"
 Intra-L (C23-C104) 23"-84" 126"-186"
 23"-84" 126"-186"
 Inter-H-L (h 5-CL 126) 226-206" 226"-206"
 Inter-H-H (h 11, h 14) 232-232" 235-235"

N-terminal glutaminyl cyclization / Cyclisation du glutaminyle N-terminal / Ciclación del glutamínilo N-terminal
 H VH Q1> pyroglutamyl (pE, 5-oxoprolyl): 1, 1"

N-glycosylation sites / Sites de N-glycosylation / Posiciones de N-glicosilación
 L VL N88: 68", 68"
 H CH2 N84,4: 303, 303"
 Fucosylated complex bi-antennary CHO-type glycans / glycanes de type CHO bi-antennaires complexes fucosylés / glicanos de tipo CHO biantenarios complejos fucosilados.

timtraxanib

timtraxanib

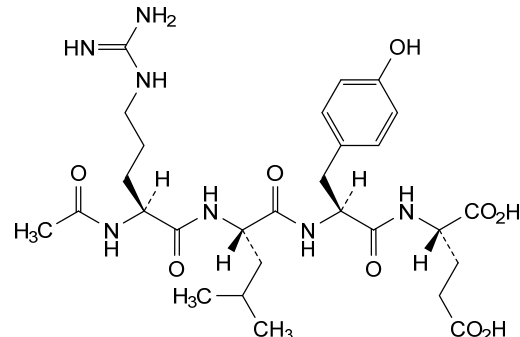
N²-acetyl-L-arginyl-L-leucyl-L-tyrosyl-L-glutamic acid angiogenesis inhibitor

timtraxanib

acide *N²-acétyl-L-arginyl-L-leucyl-L-tyrosyl-L-glutamique inhibiteur de l'angiogénèse*

timtraxanib

ácido *N²-acetil-L-arginil-L-leucil-L-tirosil-L-glutámico inhibidor de la angiogénesis*

C₂₈H₄₃N₇O₉ 2412172-33-7

timuferminum #

timufermin

L-methionyl human fibroblast growth factor 1 (FGF-1) variant ($C^{16}>S$, $A^{66}>C$, $C^{117}>V$), non-glycosylated, produced in *Escherichia coli*; L-methionyl-[$C^{16}>S$, $A^{66}>C$, $C^{117}>V$]-human fibroblast growth factor 1 (FGF-1, FGF1, acidic fibroblast growth factor, aFGF, FGFA, endothelial cell growth factor, ECGF, heparin-binding growth factor 1, HBGF-1), cyclic (66-83)-disulfide, non-glycosylated, produced in *Escherichia coli*
fibroblast growth factor

timufermine

variant du facteur de croissance 1 des fibroblastes (FGF-1) humain L-méthionyl ($C^{16}>S$, $A^{66}>C$, $C^{117}>V$), non-glycosylé, produit par *Escherichia coli*; L-méthionyl-[$C^{16}>S$, $A^{66}>C$, $C^{117}>V$]-facteur de croissance des fibroblastes 1 humain (FCF-1, FCF1, facteur de croissance acide des fibroblastes, aFGF, FGFA, facteur de croissance des cellules endothéliales, ECGF, facteur de croissance liant l'héparine 1, HBGF-1), (66-83)-disulfure cyclique, non-glycosylé, produit par *Escherichia coli*
facteur de croissance des fibroblastes

timufermina

L-metionil factor de crecimiento de fibroblastos 1 humano (FGF-1) variante ($C^{16}>S$, $A^{66}>C$, $C^{117}>V$), no glicosilado, producido por *Escherichia coli*; L-metionil-[$C^{16}>S$, $A^{66}>C$, $C^{117}>V$]-factor de crecimiento de fibroblastos 1 humano (FCF-1, FCF1, factor de crecimiento de fibroblastos ácido, aFGF, FGFA, factor de crecimiento de células endoteliales, ECGF, factor de crecimiento de unión a heparina 1, HBGF-1), (66-83)-disulfuro cílico, no glicosilado, producido por *Escherichia coli*
factor de crecimiento de los fibroblastos

2248800-66-8

Sequence / Séquence / Secuencia

M	0
FNLPPGNYKK PKLLVSNSGG HFLRLLPDGT VDGTRDRSDQ HIQLQLSAE	50
VGEVYIKSTE TGQYICMDTD GLLYGSQTPN EECLEFLERLE ENHYNTYISK	100
KHAENKWFVG LKKNGSVKRG PRTHYGQKAI LFLPLPVSSD	140

Mutation sites / Sites de mutation / Posiciones de mutación
C16->S, A66->C, C117->V

Post-translational modifications

Disulfide bridge location / Position de pont disulfure / Posición de puente disulfuro
66-83**tizaterkibum**

tizaterkib

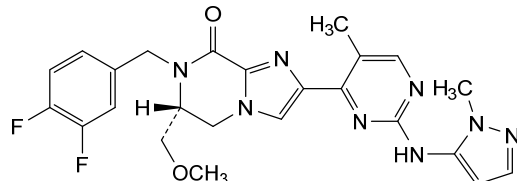
(6*R*)-7-[(3,4-difluorophenyl)methyl]-6-(methoxymethyl)-2-{5-methyl-2-[(1-methyl-1*H*-pyrazol-5-yl)amino]pyrimidin-4-yl}-6,7-dihydroimidazo[1,2-*a*]pyrazin-8(5*H*)-one
tyrosine kinase inhibitor, antineoplastic

tizaterkib

(6*R*)-7-[(3,4-difluorophényl)méthyl]-6-(méthoxyméthyl)-2-{5-méthyl-2-[(1-méthyl-1*H*-pyrazol-5-yl)amino]pyrimidin-4-yl}-6,7-dihydroimidazo[1,2-*a*]pyrazin-8(5*H*)-one
inhibiteur de la tyrosine kinase, antinéoplasique

tizaterkib

(*6R*)-7-[(3,4-difluorofenil)metil]-2-{5-metil-2-[(1-metil-1*H*-pirazol-5-il)amino]pirimidin-4-il}-6-(metoximetil)-6,7-dihidroimidazo[1,2-*a*]pirazin-8(5*H*)-ona
inhibidor de la tirosina kinasa, antineoplásico

 $C_{24}H_{24}F_2N_8O_2$ 

2097416-76-5

trinbelimab

trinbelimab

immunoglobulin G1-lambda3, anti-[*Homo sapiens* RHD (Rhesus blood group D antigen, RhD, CD240D)], *Homo sapiens* monoclonal antibody; gamma1 heavy chain *Homo sapiens* (1-460) [VH (*Homo sapiens*IGHV1-69*06 (92.9%) -(IGHD) - IGHJ6*01 (88.9%) V124>I (126), CDR-IMGT [8.8.23] (26-33.51-58.97-119)) (1-130) -*Homo sapiens* IGHG1*01 (100%), G1m17,1 (CH1 K120 (227) (131-228), hinge 1-15 (229-243), CH2 (244-353), CH3 D12 (369), L14 (371) (354-458), CHS (459-460)) (131-460)], (233-215')-disulfide with lambda3 light chain *Homo sapiens* (1'-216') [V-LAMBDA (*Homo sapiens* IGLV2-14*03 (94.9%) -IGLJ2*01 (100%), CDR-IMGT [9.3.10] (26-34.52-54.91-100)) (1'-110') -*Homo sapiens* IGLC3*03 (100%) (111'-216')]; dimer (239-239":242-242")-bisdisulfide, produced in a Chinese hamster ovary (CHO)-DXB11 cell line, glycoform alfa *immunomodulator*

trinbélémab

immunoglobuline G1-lambda3, anti-[*Homo sapiens* RHD (antigène groupe sanguin Rhésus D, RhD, CD240D)], anticorps monoclonal *Homo sapiens*; chaîne lourde gamma1 *Homo sapiens* (1-460) [VH (*Homo sapiens*IGHV1-69*06 (92.9%) -(IGHD) - IGHJ6*01 (88.9%) V124>I (126), CDR-IMGT [8.8.23] (26-33.51-58.97-119)) (1-130) -*Homo sapiens* IGHG1*01 (100%), G1m17,1 (CH1 K120 (227) (131-228), charnière 1-15 (229-243), CH2 (244-353), CH3 D12 (369), L14 (371) (354-458), CHS (459-460)) (131-460)], (233-215')-disulfure avec la chaîne légère lambda3 *Homo sapiens* (1'-216') [V-LAMBDA (*Homo sapiens* IGLV2-14*03 (94.9%) -IGLJ2*01 (100%), CDR-IMGT [9.3.10] (26-34.52-54.91-100)) (1'-110') -*Homo sapiens* IGLC3*03 (100%) (111'-216')]; dimère (239-239":242-242")-bisdisulfure, produit dans des cellules ovariennes de hamster chinois (CHO) lignée cellulaire CHO-DXB11, glycoforme alfa *immunomodulateur*

trinbelimab

inmunoglobulina G1-lambda3, anti-[*Homo sapiens* RHD (antígeno grupo sanguíneo Rhésus D, RhD, CD240D)], anticuerpo monoclonal *Homo sapiens*; cadena pesada gamma1 *Homo sapiens* (1-460) [VH (*Homo sapiens*IGHV1-69*06 (92.9%) -(IGHD) - IGHJ6*01 (88.9%) V124>I (126), CDR-IMGT [8.8.23] (26-33.51-58.97-119)) (1-130) -*Homo sapiens* IGHG1*01 (100%), G1m17,1 (CH1 K120 (227) (131-228), bisagra 1-15 (229-243), CH2 (244-353), CH3 D12 (369), L14 (371) (354-458), CHS (459-460)) (131-460)], (233-215')-disulfuro con la cadena ligera lambda3 *Homo sapiens* (1'-216') [V-LAMBDA (*Homo sapiens*IGLV2-14*03 (94.9%) -IGLJ2*01 (100%), CDR-IMGT [9.3.10] (26-34.52-54.91-100)) (1'-110') -*Homo sapiens* IGLC3*03 (100%) (111'-216')]; dímero (239-239':242-242")-bisdisulfuro, producido en las células ováricas de hámster chino (CHO) línea celular CHO-DXB11, forma glicosilada alfa *inmunomodulador*

2415078-44-1

Heavy chain / Chaîne lourde / Cadena pesada

QVQLVQSGAE VKPGGSSVKV SCKASGGIFR TYAISWVRQA PGQGLEWMGG 50
IIPMFGTVNY AQQFKQGRVTI SADKSTSTAY MELSRSLRD TAVYVCARPP 100
SGCCGGDCSR RGYYAMDWV QGTTTITVSS ASTKGPSVFP LAPSSKSTSG 150
GTAALGCLVK DYFPEPVTVS WNSGALTSGV HTFPAAVLQSS GLYSLSSVVT 200
VPSSSLGTQT YICNVNHHKS NTKVDKKVEP KSCDRTHTCP FCFAPELLGG 250
PSVFLEPPPKP KDTLMISRTP ETVTCVVVDVS HEDPEVKFWV YVDGVEVHNA 300
KTKPREEQYN STYRVSVLT VLHQDWLNGK EYKCKVSNKA LPAPIEKTIS 350
KAKGQPREPQ VYTLPPSRDE LTKNQVSLTC LVKGFPFSDI AVEWEESNGQP 400
ENNYKTPPVY LDSDGSFFLY SKLTVDKSRW QQGNVFSCSV MHEALHNHYT 450
QKSLSLSPGK 460

Light chain / Chaîne légère / Cadena ligera

QSALTOPASV SGSPQSQITI SCSSGSSSDVG GYKYVSWYOO HPGKAPQLMI 50
YDVNNRPSGV SNRFSGSKSC NTASLITISLG QAEDBADYVC SSYTSSSTRV 100
FGGGTTKLTVL GQPKAAPSVT LFPPSSSEELQ ANKATLVLCL SDFYPGAVTV 150
AWKADSSPVK AGVETTTPSK QSNNKYAASS YLSLTPEQWK SHKSYSQCQVT 200
HEGSTVEKTV APTECS 216

Post-translational modifications

Disulfide bridges location / Position des ponts disulfure / Posiciones de los puentes disulfuro
 Intra-H (C23-C104) 22-96 157-213 274-334 380-438"
 22"-96" 157"-213" 274"-334" 380"-438"
 Intra-L (C23-C104) 22"-90" 138"-197"
 22"-90" 138"-197"
 Inter-H-L (h 5-CL 126) 233-215" 233"-215"
 Inter-H-H (h 11, h 14) 239-239" 242-242"

N-terminal glutaminyl cyclization / Cyclisation du glutaminyle N-terminal / Ciclación del glutamínilo N-terminal

H VH QI> pyroglutamyl (pE, 5-oxoprolyl): I, I"
 L VL QI> pyroglutamyl (pE, 5-oxoprolyl): I', I"'

N-glycosylation sites / Sites de N-glycosylation / Posiciones de N-glicosilación

H CH2N84.4:310, 310"

Fucosylated complex bi-antennary CHO-type glycans / glycanes de type CHO bi-antennaires complexes fucosylés / glicanos de tipo CHO biantenarios complejos fucosilados.

C-terminal lysine clipping / Coupe de la lysine C-terminale / Recorte de lisina C-terminal
 H CHS K2: 460, 460"

trotabresibum

trotabresib

4-[2-(cyclopropylmethoxy)-5-(methanesulfonyl)phenyl]-
2-methyliisoquinolin-1(2H)-one
antineoplastic

trotabrésib

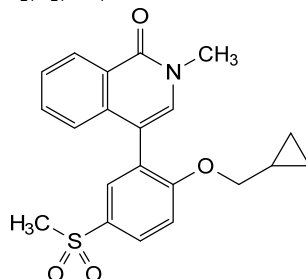
4-[2-(cyclopropylméthoxy)-5-(méthanesulfonyl)phényl]-
2-méthylisoquinoléin-1(2H)-one
antineoplastique

trotabresib

4-[2-(ciclopropilmetoxi)-5-(metanosulfonil)fenil]-2-
metilisoquinolein-1(2H)-ona
antineoplásico

 $C_{21}H_{21}NO_4S$

1706738-98-8

**tunlametinibum**

tunlametinib

4-fluoro-5-(2-fluoro-4-iodoanilino)-N-(2-
hydroxyethoxy)-1,3-benzothiazole-6-carboxamide
tyrosine kinase inhibitor, antineoplastic

tunlamétinib

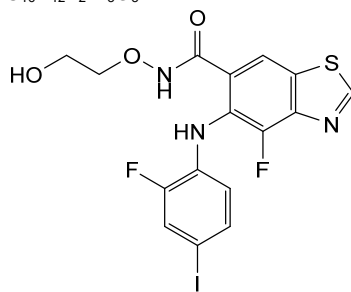
4-fluoro-5-(2-fluoro-4-idoanilino)-N-(2-
hydroxyéthoxy)-1,3-benzothiazole-6-carboxamide
inhibiteur de la tyrosine kinase, antineoplastique

tunlametinib

4-fluoro-5-(2-fluoro-4-idoanilino)-N-(2-hidroxietoxi)-
1,3-benzotiazol-6-carboxamida
inhibidor de la tirosina kinasa, antineoplásico

 $C_{16}H_{12}F_2IN_3O_3S$

1801756-06-8

**tuvonralimabum #**

tuvonralimab

immunoglobulin G1-kappa, anti-[*Homo sapiens* CTLA4
(cytotoxic T-lymphocyte associated protein 4, CTLA-4,
CD152)], monoclonal antibody;

gamma1 heavy chain (1-448) [VH (*Homo sapiens* IGHV3-33*01 (93.9%) -(IGHD) -IGHJ4*01 (100%), CDR-IMGT [8.8.11] (26-33.51-58.97-107)) (1-118) -*Homo sapiens* IGHG1*03v G1m3>G1m17, nG1m1 (CH1 K26>D (148), F81>C (171), V84>C (174), R120>K (215) (119-216), hinge 1-15 C5>G (221) (217-231), CH2 R17>K (256) (232-341), CH3 E12 (357), M14 (359), D84.2>R (400), K88>E (410) (342-446), CHS (447-448)) (119-448)], (171-162':174-160')-bisdisulfide with kappa light chain (1'-214') [V-KAPPA (*Homo sapiens* IGKV3-20*01 (92.7%) -IGKJ3*01 (100%), CDR-IMGT [6.3.9] (27-32.50-52.89-97)) (1'-107') -*Homo sapiens* IGKC*01 (97.2%), Km3 S20>K (131), A45.1 (153), Q79>C (160), S81>C (162), V101 (191) (108'-214')]; dimer (227-227":230-230")-bisdisulfide, produced in a Chinese hamster ovary (CHO)-S cell line, glycoform alfa
immunomodulator, antineoplastic

tuvonralimab

immunoglobuline G1-kappa, anti-[*Homo sapiens* CTLA4 (protéine 4 associée aux lymphocytes T cytotoxiques, CTLA-4, CD152)], anticorps monoclonal; chaîne lourde gamma1 (1-448) [VH (*Homo sapiens* IGHV3-33*01 (93.9%) -(IGHD) -IGHJ4*01 (100%), CDR-IMGT [8.8.11] (26-33.51-58.97-107)) (1-118) -*Homo sapiens* IGHG1*03v G1m3>G1m17, nG1m1 (CH1 K26>D (148), F81>C (171), V84>C (174), R120>K (215) (119-216), charnière 1-15 C5>G (221) (217-231), CH2 R17>K (256) (232-341), CH3 E12 (357), M14 (359), D84.2>R (400), K88>E (410) (342-446), CHS (447-448)) (119-448)], (171-162':174-160')-bis disulfure avec la chaîne légère kappa (1'-214') [V-KAPPA (*Homo sapiens* IGKV3-20*01 (92.7%) -IGKJ3*01 (100%), CDR-IMGT [6.3.9] (27-32.50-52.89-97)) (1'-107') -*Homo sapiens* IGKC*01 (97.2%), Km3 S20>K (131), A45.1 (153), Q79>C (160), S81>C (162), V101 (191) (108'-214')]; dimère (227-227":230-230")-bisdisulfure, produit dans des cellules ovaries de hamster chinois (CHO) lignée cellulaire CHO-S, glycoforme alfa
immunomodulateur, antinéoplasique

tuvonralimab

inmunoglobulina G1-kappa, anti-[*Homo sapiens* CTLA4 (proteína 4 asociada a los linfocitos T citotóxicos, CTLA-4, CD152)], anticuerpo monoclonal; cadena pesada gamma1 (1-448) [VH (*Homo sapiens* IGHV3-33*01 (93.9%) -(IGHD) -IGHJ4*01 (100%), CDR-IMGT [8.8.11] (26-33.51-58.97-107)) (1-118) -*Homo sapiens* IGHG1*03v G1m3>G1m17, nG1m1 (CH1 K26>D (148), F81>C (171), V84>C (174), R120>K (215) (119-216), bisagra 1-15 C5>G (221) (217-231), CH2 R17>K (256) (232-341), CH3 E12 (357), M14 (359), D84.2>R (400), K88>E (410) (342-446), CHS (447-448)) (119-448)], (171-162':174-160')-bis disulfuro con la cadena ligera kappa (1'-214') [V-KAPPA (*Homo sapiens* IGKV3-20*01 (92.7%) -IGKJ3*01 (100%), CDR-IMGT [6.3.9] (27-32.50-52.89-97)) (1'-107') -*Homo sapiens* IGKC*01 (97.2%), Km3 S20>K (131), A45.1 (153), Q79>C (160), S81>C (162), V101 (191) (108'-214')]; dímero (227-227":230-230")-bisdisulfuro, producido en las células ováricas de hámster chino (CHO) línea celular CHO-S, forma glicosilada alfa *inmunomodulador, antineoplásico*

2417649-44-4

Heavy chain / Chaîne lourde / Cadena pesada

QNLVLESGGG VVEPGRSLRL SCAASGFTFS SYGMHHWVRQA PGKGLEWVAV 50
 INVKYDPEWQQ GLTVTVSSAS TKGPSVFLPL PSSKSTSGGT AALGCLVDDY 100
 LLGYFEDYWQQ 110-140 141-201* 262*-322* 368*-426*
 FPEPVTVWSN 202-232 233-293 294-354 355-415
 SGAITSVGHT CFAACLOSSGLI YSLSSVVTVP SSSLGTQTYI 200
 CNVNHKPSNT KVKVKVEPKS GDKTHTCFCPC PAPELLGPGS VELFPKKPD 250
 TLIMISKTFEV TCVVWDVSHE DFEVKWNVY DGVEVHNNAKT KPREEQYNST 300
 YRVSVSLLTQL HQDNLNGKEY KCKVSNKALE APIEKTISKA KGQPREQVY 350
 TLTPSREEMTA KNQVSLTCLV KGCFYPSDIAV ENESNGQPEA NYKTTFPVLR 400
 SGDSFPLYSE LTIVDKSRWQQ GNVFSCSMYH EALHNHYTQI SLSSLSPGK 448

Light chain / Chaîne légère / Cadena ligera

EIVLTQSFGT LSLSLGERAT LSCRASQSN SYLAHQQKP QGAAPRPLIYG 50
 VSSRATGIPV RFSGSGSGTD FTITISRLEE EDPAVYYCQQ YGRYPPTFGP 100
 GTKVDIKRTV AAIFSVIFPP SDEOLKSQTA KVVCILNNFY PREAKVQNKV 150
 DNALQSGNSN ECVTEQDSKD STYSLSSTIT LSKADYEKKH VYACEVTQHG 200
 LSSPVFTKSPF RGES 214

Post-translational modifications

Disulfide bridges location / Position des ponts disulfure / Posiciones de los puentes disulfuro
 Intra-H(C23-C104) 22*-322* 145*-201* 262*-322* 368*-426*

22*-369* 145*-201* 262*-322* 368*-426*

Intra-L(C23-C104) 23*-38* 134*-194*

23*-38* 134*-194*

Inter-H-L (h 5-CL(26) 171-162* 171*-162* 174-160* 174*-160*

Inter-H-H (h 11, h 14) 227-227* 230-230*

N-terminal glutaminyl cyclization / Cyclisation du glutaminyle N-terminal / Ciclación del glutamínilo N-terminal
 HVH Q1> pyroglutamyl (pL, 5-oxopropyl); 1, 1"

N-glycosylation sites / Sites de N-glycosylation / Posiciones de N-glicosilación

H CH2 N84.4:298, 299*
 Fucosylated complex bi-antennary CHO-type glycans / glycanes de type CHO bi-antennaires complexes fucosylés
 / glicanos de tipo CHO bianténarios complejos fucosilados.

C-terminal lysine clipping / Coupe de la lysine C-terminal / Recorte de lisina C-terminal
 H CHS K2:448,448*

tuxobertinibum

tuxobertinib

N-[4²-chloro-3,7-dioxa-5-aza-6(4,7)-quinazolina-10(4)-morpholina-1(2)-pyridina-4(1,4)-benzenadecaphan-6-yl]prop-2-enamide
tyrosine kinase inhibitor, antineoplastic

tuxobertinib

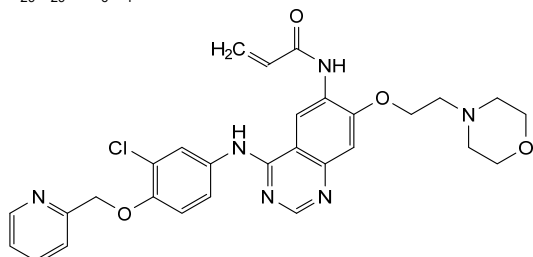
N-[4²-chloro-3,7-dioxa-5-aza-6(4,7)-quinazolina-10(4)-morpholina-1(2)-pyridina-4(1,4)-benzenadecaphan-6-yl]prop-2-enamide
inhibiteur de la tyrosine kinase, antinéoplasique

tuxobertinib

N-[4²-cloro-3,7-dioxa-5-aza-6(4,7)-quinazolina-10(4)-morfolina-1(2)-piridina-4(1,4)-bencenadecafan-6-yl]prop-2-enamida
inhibidor de la tiroxina kinasa, antineoplásico



2414572-47-5

**ubamatamabum #**

ubamatamab

immunoglobulin G4-kappa, anti-[*Homo sapiens* MUC16 (mucin 16, MUC-16, cancer antigen 125, CA125)] and anti-[*Homo sapiens* CD3E (CD3e, CD3 epsilon)], monoclonal antibody, bispecific;

gamma4 heavy chain anti-MUC16 (1-443) [VH anti-MUC16 (*Homo sapiens* IGHV3-11*01 (88.8%) -(IGHD) -IGHJ5*01 (100%), CDR-IMGT [8.8.10] (26-33.51-58.97-106)) (1-117)-*Homo sapiens* IGHG4*01, G4v5 h P10 (CH1 (118-215), hinge 1-12 S10>P (225) (215-227), CH2 E1.4,F1.3>P1.3 (230), L1.2>V (231), G1.1>A (232) (228-336), CH3 (337-441), CHS (442-443)) (118-443)], (131-215')-disulfide with kappa light chain (1'-215') [V-KAPPA (*Homo sapiens* IGKV1-39*01 (97.9%) -IGKJ5*01 (100%), CDR-IMGT [6.3.10] (27-32.50-52.89-98)) (1'-108') -*Homo sapiens* IGKC*01 (100%), Km3 A45.1 (154), V101 (192) (109'-215')]; gamma4 heavy chain anti-CD3E (1"-450") [VH anti-CD3E (*Homo sapiens* IGHV3-9*01 (98.0%) -(IGHD) -IGHJ1*01 (90.9%) L123>T (119), CDR-IMGT [8.8.17] (26-33.51-58.97-113)) (1"-124")-*Homo sapiens* IGHG4*01, G4v5 h P10 (CH1 (125"-222"), hinge 1-12 S10>P (232) (223"-234"), CH2 E1.4,F1.3>P1.3 (237), L1.2>V (238), G1.1>A (239) (235"-343"), CH3 H115>R (438), Y116>F (439), L125>P (448) (344"-448"), CHS (449"-450")) (125"-450")], (138"-215")-disulfide with kappa light chain (1"-215") [V-KAPPA (*Homo sapiens* IGKV1-39*01 (97.8%) -IGKJ5*01 (100%), CDR-IMGT [6.3.10] (27-32.50-52.89-98)) (1"-108") -*Homo sapiens* IGKC*01 (100%), Km3 A45.1 (154), V101 (192) (109"-215")]; dimer (224-230":227-233")-bisdisulfide, produced in Chinese hamster ovary (CHO) cells, glycoform alfa antineoplastic

ubamatamab

immunoglobuline G4-kappa, anti-[*Homo sapiens* MUC16 (mucine 16, MUC-16, antigène de cancer 125, CA125)] et anti-[*Homo sapiens* CD3E (CD3e, CD3 epsilon)], anticorps monoclonal, bispécifique; chaîne lourde gamma4 anti-MUC16 (1-443) [VH anti-MUC16 (*Homo sapiens* IGHV3-11*01 (88.8%) -(IGHD) -IGHJ5*01 (100%), CDR-IMGT [8.8.10] (26-33.51-58.97-106)) (1-117)-*Homo sapiens* IGHG4*01, G4v5 h P10 (CH1 (118-215), charnière 1-12 S10>P (225) (215-227), CH2 E1.4,F1.3>P1.3 (230), L1.2>V (231), G1.1>A (232) (228-336), CH3 (337-441), CHS (442-443)) (118-443)], (131-215')-disulfure avec la chaîne légère kappa (1'-215') [V-KAPPA (*Homo sapiens* IGKV1-39*01 (97.9%) -IGKJ5*01 (100%), CDR-IMGT [6.3.10] (27-32.50-52.89-98)) (1'-108') -*Homo sapiens* IGKC*01 (100%), Km3 A45.1 (154), V101 (192) (109'-215')]; chaîne lourde gamma4 anti-CD3E (1"-450") [VH anti-CD3E (*Homo sapiens* IGHV3-9*01 (98.0%) -(IGHD) -IGHJ1*01 (90.9%) L123>T (119), CDR-IMGT [8.8.17] (26-33.51-58.97-113)) (1"-124")-*Homo sapiens* IGHG4*01, G4v5 h P10 (CH1 (125"-222"), charnière 1-12 S10>P (232) (223"-234"), CH2 E1.4,F1.3>P1.3 (237), L1.2>V (238), G1.1>A (239) (235"-343"), CH3 H115>R (438), Y116>F (439), L125>P (448) (344"-448"), CHS (449"-450")) (125"-450")], (138"-215")-disulfure avec la chaîne légère kappa (1"-215") [V-KAPPA (*Homo sapiens* IGKV1-39*01 (97.8%) -IGKJ5*01 (100%), CDR-IMGT [6.3.10] (27-32.50-52.89-98)) (1"-108") -*Homo sapiens* IGKC*01 (100%), Km3 A45.1 (154), V101 (192) (109"-215")]; dimère (224-230":227-233")-bisdisulfure, produit dans des cellules ovarianes de hamster chinois (CHO), glycoforme alfa antinéoplasique

ubamatamab

inmunoglobulina G4-kappa, anti-[*Homo sapiens* MUC16 (mucina 16, MUC-16, antígeno de cáncer 125, CA125)] y anti-[*Homo sapiens* CD3E (CD3e, CD3 épsilon)], anticuerpo monoclonal, biespecífico;

cadena pesada gamma4 anti-MUC16 (1-443) [VH anti-MUC16 (*Homo sapiens* IGHV3-11*01 (88.8%) -(IGHD) -IGHJ5*01 (100%), CDR-IMGT [8.8.10] (26-33.51-58.97-106)) (1-117) -*Homo sapiens* IGHG4*01, G4v5 h P10 (CH1 (118-215), bisagra 1-12 S10>P (225) (215-227), CH2 E1.4.F1.3>P1.3 (230), L1.2>V (231), G1.1>A (232) (228-336), CH3 (337-441), CHS (442-443)) (118-443)], (131-215')-disulfuro con la cadena ligera kappa (1'-215') [V-KAPPA (*Homo sapiens* IGKV1-39*01 (97.9%) -IGKJ5*01 (100%), CDR-IMGT [6.3.10] (27-32.50-52.89-98)) (1"-108") -*Homo sapiens* IGKC*01 (100%), Km3 A45.1 (154), V101 (192) (109"-215")]; cadena pesada gamma4 anti-CD3E (1"-450") [VH anti-CD3E (*Homo sapiens* IGHV3-9*01 (98.0%) -(IGHD) -IGHJ1*01 (90.9%) L123>T (119), CDR-IMGT [8.8.17] (26-33.51-58.97-113)) (1"-124") -*Homo sapiens* IGHG4*01, G4v5 h P10 (CH1 (125"-222"), bisagra 1-12 S10>P (232) (223"-234"), CH2 E1.4.F1.3>P1.3 (237), L1.2>V (238), G1.1>A (239) (235"-343"), CH3 H115>R (438), Y116>F (439), L125>P (448) (344"-448"), CHS (449"-450")) (125"-450")], (138"-215")-disulfuro con la cadena ligera kappa (1"-215") [V-KAPPA (*Homo sapiens* IGKV1-39*01 (97.8%) -IGKJ5*01 (100%), CDR-IMGT [6.3.10] (27-32.50-52.89-98)) (1"-108") -*Homo sapiens* IGKC*01 (100%), Km3 A45.1 (154), V101 (192) (109"-215")]; dímero (224-230"-227-233")-bisdisulfuro, producido en las células ováricas de hámster chino (CHO), forma glicosilada alfa antineoplásico

2305629-50-7

Heavy chain / Chaîne lourde / Cadena pesada (anti-MUC16)

QVQLVESGGG LVKEFGSIRL SCAASGFTFS NYMSWVVRQA PGKGLEWISY 50
ISGRGSTIFY ADSVKGRFTI SRDNAKNSLP LMNSLRAED TAVYFCVKDR 100
GGYSPYWGQ TLTVTVSSAST KGPSPVFLAP CSRSTSESTA ALGCCLVKDYF 150
PEPVTVWSNS GALTSGVHTF PAVLQSSGLY SLSSVVTVFS SSLGTTKTYTC 200
NVDHKPSNTK VDKRVESRYG PPCPCFPAPP VAGPSVFLPF PKPKDTLMIS 250
RTPEVTCVVA DVSGEDEPVQ FNWYVGVGEVHN AKARTKPREE QFNSTYRVFS 300
VLTVLHQDWL NGKEYKCKVNSK NGKLPSIEK TISKAKGQPR EPQVVTLPFS 350
QEEMTKNOVS LTCLLVKGFPY SDIAVWEWSN QOPENNYKTT PPVLDSDGSF 400
FLYSRLTVDK SRWQEGNVFS CSVMEHALHN HYTQKSLSLS LGK 443

Heavy chain / Chaîne lourde / Cadena pesada (anti-CD3E)

EVQLVESGGG LVQFGRSIRL SCAASGFTFI DYSMHMWRQA PGKGLEWVSG 50
ISWNNSGSKGY ADSVKGRFTI SRDNAKNSLP LMNSLRAED TALYYCAKYG 100
SGYGFXYHYG LDWVGGCTTV TVSSASTKGP SVFPLAPCSR STSESTAALG 150
CLVKDYPFPEP VTWSWNSGAL TSGVHTFFAV LQSSGLYLS SVVTPVSSL 200
GFKTYTCNWD HKPSNTKVDK RVESKYGPFC PFCPAPVVG PSVLFPPKP 250
KDTLMISRTP ETVCCVVDVS QDPPEVQFNW YVDGVEVHNKA KTKPREEQFN 300
STYRVSVSLT VLHQDWLNKG EYKCKVSNKG LPSSIEKTIS KAKGQPREPQ 350
VYTLEPQSQQE MTKNQVSILC LVKGFPYPSDI AVEWESNGQP ENNYKTTTPV 400
LDSDGDFTLY SRLTVDKSRW QBNVFC8CSV MHEALHNRET QK5L5LSPGK 450

Light chain / Chaîne légère / Cadena ligera

D1QMTQSPSS LSASQVGDRVT ITCRASQSIS TYLNWYQQKP GKAPKLLIYT 50
ASSLQSGVPF RFSGSSGSGTD FTLTQISLQP EDFATYVCQO SYSTPPITFG 100
QGTRLEIKRT VAAPSVEIIFP PSDEQIKSGT ASVVCCLNNF YPREAKVQWK 150
VDNALQSGNS QESVTEQDSK DSTSYLSSLT TLSKADYEKH KVYACEVTHQ 200
GLSSEVTKSF NRGEC 215

Post-translational modifications

Disulfide bridges location / Position des ponts disulfure / Posiciones de los puentes disulfuro

Intra-H (C23-C104) 22-96 144-200 257-317 363-421

22"-96" 151"-207" 264"-324" 370"-428"

Intra-L (C23-C104) 23"-88" 135"-195"

23"-88" 135"-195"

Inter-H-L (CH1 10-CL 126) 131-215' 138"-215"

Inter-H-H (h 8, h 11) 223-230" 226-233"

N-terminal glutaminyl cyclization / Cyclisation du glutaminyle N-terminal / Ciclación del glutaminilo N-terminal

H VH Q1> pyroglutamyl (pE, 5-oxopropyl): 1

N-glycosylation sites / Sites de N-glycosylation / Posiciones de N-glicosilación

H CH2 N84.4: 293, 300"

Fucosylated complex bi-antennary CHO-type glycans / glycanes de type CHO bi-antennaires complexes fucosylés / glicanos de tipo CHO biantenarios complejos fucosilados.

C-terminal lysine clipping / Coupe de la lysine C-terminal / Recorte de lisina C-terminal
H CHS K2: 443, 450"

ulenistamabum #

ulenistamab

immunoglobulin G1-kappa, anti-[*Homo sapiens* PAUF (pancreatic adenocarcinoma up-regulated factor)], humanized monoclonal antibody; gamma1 heavy chain humanized (1-451) [VH (*Homo sapiens* IGHV1-2*02 (90.8%) -(IGHD) -IGHJ6*01 (90.9%) T123>L (116), CDR-IMGT [8.8.14] (26-33.51-58.97-110)) (1-121) -*Homo sapiens* IGHG1*03v, G1m3>G1m17, nG1m1 (CH1 R120>K (218) (122-219), hinge 1-15 (220-234), CH2 (235-344), CH3 E12 (360), M14 (362) (345-449), CHS (450-451)) (122-451)], (224-219')-disulfide with kappa light chain humanized (1'-219') [V-KAPPA (*Homo sapiens* IGKV4-1*01 (91.9%) -IGKJ2*01 (91.7%) L124>V (109), CDR-IMGT [12.3.8] (27-38.56-58.95-102)) (1'-112') -*Homo sapiens* IGKC*01, Km3 T1.3>S (114), A45.1 (158), V101 (196) (113'-219')]; dimer (230-230":233-233")-bisdisulfide, produced in a Chinese hamster ovary (CHO)-K1 cell line, glycoform alfa
immunomodulator, antineoplastic

ulénistamab

immunoglobuline G1-kappa, anti-[*Homo sapiens* PAUF (facteur surexprimé de l'adénocarcinome pancréatique)], anticorps monoclonal humanisé; chaîne lourde gamma1 humanisée (1-451) [VH (*Homo sapiens* IGHV1-2*02 (90.8%) -(IGHD) -IGHJ6*01 (90.9%) T123>L (116), CDR-IMGT [8.8.14] (26-33.51-58.97-110)) (1-121) -*Homo sapiens* IGHG1*03v, G1m3>G1m17, nG1m1 (CH1 R120>K (218) (122-219), charnière 1-15 (220-234), CH2 (235-344), CH3 E12 (360), M14 (362) (345-449), CHS (450-451)) (122-451)], (224-219')-disulfure avec la chaîne légère kappa humanisée (1'-219') [V-KAPPA (*Homo sapiens* IGKV4-1*01 (91.9%) -IGKJ2*01 (91.7%) L124>V (109), CDR-IMGT [12.3.8] (27-38.56-58.95-102)) (1'-112') -*Homo sapiens* IGKC*01, Km3 T1.3>S (114), A45.1 (158), V101 (196) (113'-219')]; dimère (230-230":233-233")-bisdisulfure, produit dans des cellules ovarianes de hamster chinois (CHO) lignée cellulaire CHO-K1, glycoforme alfa
immunomodulateur, antinéoplasique

ulenistamab

inmunoglobulina G1-kappa, anti-[*Homo sapiens* PAUF (factor sobreexpresado del adenocarcinoma pancreático)], anticuerpo monoclonal humanizado; cadena pesada gamma1 humanizada (1-451) [VH (*Homo sapiens* IGHV1-2*02 (90.8%) -(IGHD) -IGHJ6*01 (90.9%) T123>L (116), CDR-IMGT [8.8.14] (26-33.51-58.97-110)) (1-121) -*Homo sapiens* IGHG1*03v, G1m3>G1m17, nG1m1 (CH1 R120>K (218) (122-219), bisagra 1-15 (220-234), CH2 (235-344), CH3 E12 (360), M14 (362) (345-449), CHS (450-451)) (122-451)], (224-219')-disulfuro con la cadena ligera kappa humanizada (1'-219') [V-KAPPA (*Homo sapiens* IGKV4-1*01 (91.9%) -IGKJ2*01 (91.7%) L124>V (109), CDR-IMGT [12.3.8] (27-38.56-58.95-102)) (1'-112') -*Homo sapiens* IGKC*01, Km3 T1.3>S (114), A45.1 (158), V101 (196) (113'-219')]; dímero (230-230":233-233")-bisdisulfuro, producido en las células ováricas de hámster chino (CHO) línea celular CHO-K1, forma glicosilada alfa
inmunomodulador, antineoplásico

2415259-90-2

Heavy chain / Chaîne lourde / Cadena pesada

QVQLVQSGAE VKKPGASVKV SCKASGFNIK DYYMHWRQA PGQGLEWMGW 50
 IDPENGNTNY AQQFGQRVTN TRDTISIAY MELSRRLSDA TAVYCCARRA 100
 ITTATATFAY WGQGTLVTVS SASTKGPSVF PLAPSSKSTS GGTAALGCLV 150
 KDYFPEPVDFV SUNNSGALTSG VHTTPAVLQS SGLYSLSSV TVPSSLGLT 200
 TYICNVNHHKP SNTKVDKKVE PKSCDKTHTC FPPCAPELLG GPSVFLFFPK 250
 PKDTLMISR P E V T C V V D V S H E D P E V K E N W Y Y D G E V H N A R T K F R E E Q Y 300
 N S T Y R V V S V S T V L H Q D W L N C K E Y K C K V S N K A L P A I E K T I S K A K Q P R E P 350
 Q V Y T L P P S R E E M T R N Q V S L T C L V K G F Y P S D I A V E W E S N G A P E N N Y K T T P 400
 V L D S D G S F F L Y S K L T V D K S R W Q Q G N V F S C S V M H E A L H N H Y T Q K S L S L S P G 450
 K

Light chain / Chaîne légère / Cadena ligera

DIVMTSPDS LA V S L G E R A T I N C K S Q S L L N S R T R K N Y L A W Y Q Q K P G Q P P 50
 K L L I Y W A S T R E S G V P D R F S G S G S T Q D F T L T I S S L Q A E D V A V Y Y C K Q S Y N L 100
 Y T F G Q G T K V E I K R S V A A P S V F I F P P S I E Q L K S G T A S V V C L L N N F Y P R E A K 150
 V Q N K V D N A L Q S G N S Q E S V T E Q D S K D S T Y S L S S T L T L S K A D Y E K H K V Y A C E 200
 V T H Q G L S S P V T K S F N R G B C 219

Post-translational modifications

Disulfide bridges location / Position des ponts disulfure / Posiciones de los puentes disulfuro
 Intra-H (C23-C104) 22-96 148-204 265-325 371-429
 22"-96" 148"-204" 265"-325" 371"-429"
 Intra-L (C23-C104) 23"-94" 139"-199"
 23"-94" 139"-199"
 Inter-H-L (h 5-CL 126) 224-219 224"-219"
 Inter-H-H (h 11, h 14) 230-230" 233-233"

N-terminal glutaminyl cyclization / Cyclisation du glutaminy N-terminal / Ciclación del glutamínico N-terminal
 H VH Q1> pyroglutamyl (pE, 5-oxoprollyl): 1, 1"

N-glycosylation sites / Sites de N-glycosylation / Posiciones de N-glicosilación

H CH2 N84.4: 301, 301"

Fucosylated complex bi-antennary CHO-type glycans / glycanes de tipo CHO bi-antennarios complejos fucosilados.

C-terminal lysine clipping / Coupe de la lysine C-terminale / Recorte de lisina C-terminal
 H CHS K2: 451, 451"

upanovimab #

upanovimab

immunoglobulin G1-kappa, anti-[severe acute respiratory syndrome coronavirus 2 (SARS-CoV-2) spike (S) glycoprotein, receptor binding domain (RBD)], monoclonal antibody; gamma1 heavy chain (1-451) [VH Musmus/Homsap (*Mus musculus*)IGHV5-9-4*01 (89.8%) -(IGHD) -
 IGHJ3*01 (91.7%) A128>S (121)/*Homo sapiens* IGHV3-21*01 (85.7%) -(IGHD) -IGHJ4*01 (100%), CDR-IMGT [8.8.14] (26-33.51-58.97-110)) (1-121) -
*Homo sapiens*IGHG1*01, G1m17.1, G1v14 CH2 A1.3, A1.2 (CH1 K120 (218) (122-219), hinge 1-15 (220-234), CH2 L1.3>A (238), L1.2>A (239) (235-344), CH3 D12 (360), L14 (362) (345-449), CHS (450-451)) (122-451)], (224-218')-disulfide with kappa light chain (1'-218') [V-KAPPA Musmus/Homsap (*Mus musculus*)IGKV3-2*01 (82.8%) -IGKJ2*03 (81.8%) S120>Q (104), L124>V (108)/*Homo sapiens* IGKV3D-11*02 (80.9%) -IGKJ1*01 (100%), CDR-IMGT [10.3.9] (27-36.54-56.93-101)) (1'-111') -*Homo sapiens* IGKC*01 (100%), Km3 A45.1 (157), V101 (195) (112-218')]; dimer (230-230":233-233")-bisdisulfide, produced in a Chinese hamster ovary (CHO)-DG44 cell line, glycoform alfa antiviral

upanovimab

immunoglobuline G1-kappa, anti-[domaine de liaison au récepteur (RBD) de la glycoprotéine spike (S) du coronavirus 2 du syndrome respiratoire aigu sévère (SARS-CoV-2)], anticorps monoclonal;

chaîne lourde gamma1 (1-451) [VH Musmus/Homsap (*Mus musculus* IGHV5-9-4*01 (89.8%) -(IGHD) -IGHJ3*01 (91.7%) A128>S (121)/*Homo sapiens* IGHV3-21*01 (85.7%) -(IGHD) -IGHJ4*01 (100%), CDR-IMGT [8.8.14] (26-33.51-58.97-110)) (1-121) -*Homo sapiens* IGHG1*01, G1m17.1, G1v14 CH2 A1.3, A1.2 (CH1 K120 (218) (122-219), charnière 1-15 (220-234), CH2 L1.3>A (238), L1.2>A (239) (235-344), CH3 D12 (360), L14 (362) (345-449), CHS (450-451)) (122-451)], (224-218')-disulfure avec la chaîne légère kappa (1'-218') [V-KAPPA Musmus/Homsap (*Mus musculus* IGKV3-2*01 (82.8%) -IGKJ2*03 (81.8%) S120>Q (104), L124>V (108)/*Homo sapiens* IGKV3D-11*02 (80.9%) -IGKJ1*01 (100%), CDR-IMGT [10.3.9] (27-36.54-56.93-101)) (1'-111') -*Homo sapiens* IGKC*01 (100%), Km3 A45.1 (157), V101 (195) (112'-218')]; dimère (230-230":233-233")-bisdisulfure, produit dans des cellules ovariennes de hamster chinois (CHO) lignée cellulaire CHO-DG44, glycoforme alfa **antiviral**

upanovimab

inmunoglobulina G1-kappa, anti-[dominio de unión al receptor (RBD) de la glicoproteína spike (S) del coronavirus 2 del síndrome respiratorio agudo severo (SARS-CoV-2)], anticuerpo monoclonal; cadena pesada gamma1 (1-451) [VH Musmus/Homsap (*Mus musculus* IGHV5-9-4*01 (89.8%) -(IGHD) -IGHJ3*01 (91.7%) A128>S (121)/*Homo sapiens* IGHV3-21*01 (85.7%) -(IGHD) -IGHJ4*01 (100%), CDR-IMGT [8.8.14] (26-33.51-58.97-110)) (1-121) -*Homo sapiens* IGHG1*01, G1m17.1, G1v14 CH2 A1.3, A1.2 (CH1 K120 (218) (122-219), bisagra 1-15 (220-234), CH2 L1.3>A (238), L1.2>A (239) (235-344), CH3 D12 (360), L14 (362) (345-449), CHS (450-451)) (122-451)], (224-218')-disulfuro con la cadena ligera kappa (1'-218') [V-KAPPA Musmus/Homsap (*Mus musculus* IGKV3-2*01 (82.8%) -IGKJ2*03 (81.8%) S120>Q (104), L124>V (108)/*Homo sapiens* IGKV3D-11*02 (80.9%) -IGKJ1*01 (100%), CDR-IMGT [10.3.9] (27-36.54-56.93-101)) (1'-111') -*Homo sapiens* IGKC*01 (100%), Km3 A45.1 (157), V101 (195) (112'-218')]; dímero (230-230":233-233")-bisdisulfuro, producido en las células ováricas de hámster chino (CHO) línea celular CHO-DG44, forma glicosilada alfa **antiviral**

2500633-46-3

Heavy chain / Chaîne lourde / Cadena pesada

EVKLVESGG LVKPGGSRL SCAASGFTES NYGMSWVRQA PGKRLEWVAE 50
ISSGGGSYTYY PDTVTGRFTI SRDNNAKNTLY LQMNSSLRAED TAVYVCARFR 100
YDGGGGTVDY WGQGTIVTVS SASTKGPSVF PLAPSSKSTS GGTAALGCLV 150
KDYYFPEPVTV SWNSGALTWSV VHTFPAVLQS SGLYSSLSSVV TVPSSSLGQTQ 200
TYICNWNHKEP SNTKVDKVKVE PKSCDKTHTC PFCPAEEAG GPSVLFPPK 250
PKDTLMISRT PEVTFCVVVDV SHEDPEVKFN WYVGWVEHVN ATRKPREEQY 300
NSTYRVVSVL TVLHQDWLNG KEYKCKVSNK ALPAPIEKTI SKAKQGPREP 350
QVYTLPPFSD ELTKNQVSLT CLVKGFYPSD IAVEWESNQ PENNYKTTPP 400
VLDSDGSFFL YSLKLTVDKSR WQQGNVFSCS VMHEALHNHY TQKSLSSLPG 450
K 451

Light chain / Chaîne légère / Cadena ligera

EIVLTVQSPAT LSLSPGERAT LSCRASESVD NYGISFMNWV QQKPGQAPRL 50
LIYAAASNQGS GVPARFGSGG SGTDPSLTIS SLEEFDFAVY FCQQSKEVPR 100
TFFGQTKVEI KRTVAAPSVF IFPPSDEQLK SGATASVUCL NNFYPREAKV 150
QNKVNDNALQS GNQSESVTEQ DSKDSTYSLS STILTLSKADY EKHKVYACEV 200
THQGLSSPVK KSFNRGEC 218

Post-translational modifications

Disulfide bridges location / Position des ponts disulfure / Posiciones de los puentes disulfuro
Intra-H (C23-C104) 22-96 148-204 265-325 371-429
22"-96" 148"-204" 265"-325" 371"-429"
Intra-L (C23-C104) 23"-92" 138"-198"
23"-92" 138"-198"
Inter-H-L (h 5-CL 126) 224-218" 224"-218"
Inter-H-H (h 11, h 14) 230-230" 233-233"

N-glycosylation sites / Sites de N-glycosylation / Posiciones de N-glicosilación

H CH2 N84.4: 301, 301"

Fucosylated complex bi-antennary CHO-type glycans / glycanes de type CHO bi-antennaires complexes fucosyles / glicanos de tipo CHO biantenarios complejos fucosilados.

C-terminal lysine clipping / Coupe de la lysine C-terminale / Recorte de lisina C-terminal
H CHS K2: 451, 451"

utreloxastatum

utreloxastat

2,3,5-trimethyl-6-nonylcyclohexa-2,5-diene-1,4-dione
15-lipoxygenase inhibitor

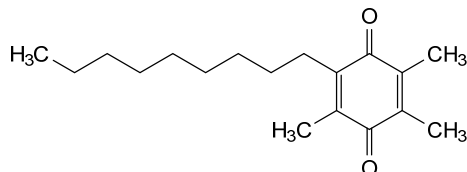
utréloxastat

2,3,5-triméthyl-6-nonylcyclohexa-2,5-diene-1,4-dione
inhibiteur de la 15-lipoxygénase

utreloxastat

2,3,5-trimetil-6-nonilciclohexa-2,5-dieno-1,4-diona
*inhibidor de la 15-lipoxigenasa*C₁₈H₂₈O₂

1213269-96-5

**vebreltinibum**

vebreltinib

6-(1-cyclopropyl-1*H*-pyrazol-4-yl)-3-[difluoro(6-fluoro-2-methyl-2*H*-indazol-5-yl)methyl][1,2,4]triazolo[4,3-*b*]pyridazine
tyrosine kinase inhibitor, antineoplastic

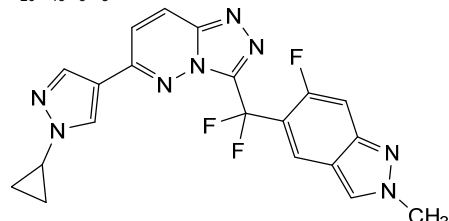
vébreltinib

6-(1-cyclopropyl-1*H*-pyrazol-4-yl)-3-[difluoro(6-fluoro-2-méthyl-2*H*-indazol-5-yl)méthyl][1,2,4]triazolo[4,3-*b*]pyridazine
inhibiteur de la tyrosine kinase, antinéoplasique

vebreltinib

6-(1-ciclopropil-1*H*-pirazol-4-il)-3-[difluoro(6-fluoro-2-metil-2*H*-indazol-5-il)metil][1,2,4]triazolo[4,3-*b*]piridazina
*inhibidor de la tirosina kinasa, antineoplásico*C₂₀H₁₅F₃N₈

1440964-89-5

**vepafestinibum**

vepafestinib

4-amino-N-[4-(methoxymethyl)phenyl]-7-(1-methylcyclopropyl)-6-[3-(morpholin-4-yl)prop-1-yn-1-yl]-7*H*-pyrrolo[2,3-*d*]pyrimidine-5-carboxamide
tyrosine kinase inhibitor, antineoplastic

vêpafestinib

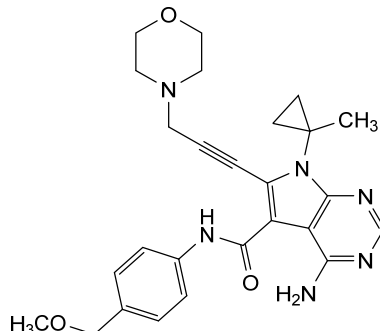
4-amino-N-[4-(méthoxyméthyl)phényl]-7-(1-méthylcyclopropyl)-6-[3-(morpholin-4-yl)prop-1-yn-1-yl]-7*H*-pyrrolo[2,3-*d*]pyrimidine-5-carboxamide
inhibiteur de la tyrosine kinase, antinéoplasique

vepafestinib

4-amino-7-(1-metilciclopropil)-N-[4-(metoximetil)fenil]-
6-[3-(morfolin-4-il)prop-1-in-1-il]-7H-pirrolo[2,3-
d]pirimidina-5-carboxamida
inhibidor de la tirosina kinasa, antineoplásico

 $C_{26}H_{30}N_6O_3$

2129515-96-2

**vepsitamabum #**

vepsitamab

immunoglobulin scFv-scFv-scFc, anti-[*Homo sapiens* MUC17 (mucin 17, cell surface associated)] and anti-[*Homo sapiens* CD3E (CD3e, CD3 epsilon)], monoclonal antibody single chain, bispecific; IG single chain scFv-scFv-scFc, anti-MUC17 and anti-CD3E (1-984) [scFv-VH-V-LAMBDA, anti-MUC17 (1-242) [VH (*Homo sapiens*)IGHV4-34*01 (91.8%) - (IGHD) -IGHJ4*01 (93.3%), CDR-IMGT [8.7.14] (26-33.51-57.96-109)) (1-120) -15-mer tris(tetraglycyl-seryl) linker (121-135) -V-LAMBDA (*Homo sapiens*) IGLV3-1*01 (93.7%) -IGLJ2*01 (90.9%) G120>C (234), CDR-IMGT [6.3.9] (161-166.184-186.223-231) (136-242)] -5-mer tetraglycyl-seryl linker (243-247) -[scFv-VH-V-LAMBDA anti-CD3E (248-496) [VH Musmus/Homsap (*Mus musculus*)IGHV10-1*02 (91.9%) -(IGHD) -IGHJ3*01 (86.7%)/*Homo sapiens* IGHV3-73*01 (87.0%) -(IGHD) -IGHJ5*01 (100%), CDR-IMGT [8.10.16] (274-280.298-307.346-361)) (248-372) -15-mer tris(tetraglycyl-seryl) linker (373-387) -V-LAMBDA (*Homo sapiens*) IGLV7-43*01 (85.1%) -IGLJ3*02 (100%), CDR-IMGT [9.3.9] (413-421.439-441.478-486)) (388-496)] -4-mer tetraglycyl linker (497-500) -[scFc (h-CH2-CH3)-(h-CH2-CH3) (501-984) [*Homo sapiens*]IGHG1*03 h-CH2-CH3, nG1m1, G1v30 CH2 N84.4>G (hinge 6-15 (501-510), CH2 R83>C (572), N84.4>G (577), V85>C (582) (511-620), CH3 E12 (636), M14 (638) (621-725), CHS (726-727)) (501-727)] -30-mer hexakis(tetraglycyl-seryl) linker (728-757) -[*Homo sapiens*]IGHG1*03 h-CH2-CH3, nG1m1, G1v30 CH2 N84.4>G (hinge 6-15 (758-767), CH2 R83>C (829), N84.4>G (834), V85>C (839) (768-877), CH3 E12 (893), M14 (895) (878-982), CHS (983-984)) (758-984)]], produced in Chinese hamster ovary (CHO) cells, glycoform alfa immunomodulator, antineoplastic

vepsitamab	immunoglobuline scFv-scFv-scFc, anti-[<i>Homo sapiens</i> MUC17 (mucine 17, surface cellulaire associée)] et anti-[<i>Homo sapiens</i> CD3E (CD3e, CD3 epsilon)], anticorps monoclonal à chaîne unique, bispécifique; IG à chaîne unique scFv-scFv-scFc, anti-MUC17 et anti-CD3E (1-984) [scFv-VH-V-LAMBDA anti-MUC17 (1-242) [VH (<i>Homo sapiens</i> IGHV4-34*01 (91.8%) -(IGHD) -IGHJ4*01 (93.3%), CDR-IMGT [8.7.14] (26-33.51-57.96-109)) (1-120) -15-mer tris(tétraglycyl-séryl) linker (121-135) -V-LAMBDA (<i>Homo sapiens</i> IGLV3-1*01 (93.7%) -IGLJ2*01 (90.9%) G120>C (234), CDR-IMGT [6.3.9] (161-166.184-186.223-231)) (136-242)] -5-mer tétraglycyl-séryl linker (243-247) -[scFv-VH-V-LAMBDA anti-CD3E (248-496) [VH Musmus/Homsap (<i>Mus musculus</i> IGHV10-1*02 (91.9%) -(IGHD) -IGHJ3*01 (86.7%)/ <i>Homo sapiens</i> IGHV3-73*01 (87.0%) -(IGHD) -IGHJ5*01 (100%), CDR-IMGT [8.10.16] (274-280.298-307.346-361)) (248-372) -15-mer tris(tétraglycyl-séryl) linker (373-387) -V-LAMBDA (<i>Homo sapiens</i> IGLV7-43*01 (85.1%) -IGLJ3*02 (100%), CDR-IMGT [9.3.9] (413-421.439-441.478-486)) (388-496)] -4-mer tétraglycyl linker (497-500) -[scFc (h-CH2-CH3)-(h-CH2-CH3) (501-984) [<i>Homo sapiens</i> IGHG1*03 h-CH2-CH3, nG1m1, G1v30 CH2 N84.4>G (charnière 6-15 (501-510), CH2 R83>C (572), N84.4>G (577), V85>C (582) (511-620), CH3 E12 (636), M14 (638) (621-725), CHS (726-727)) (501-727)] -30-mer hexakis(tétraglycyl-séryl) linker (728-757) -[<i>Homo sapiens</i> IGHG1*03 h-CH2-CH3, nG1m1, G1v30 CH2 N84.4>G (charnière 6-15 (758-767), CH2 R83>C (829), N84.4>G (834), V85>C (839) (768-877), CH3 E12 (893), M14 (895) (878-982), CHS (983-984)) (758-984)]], produit dans des cellules ovariennes de hamster chinois (CHO), glycoforme alfa <i>immunomodulateur, antineoplásique</i>
vepsitamab	inmunoglobulina scFv-scFv-scFc, anti-[<i>Homo sapiens</i> MUC17 (mucina 17, superficie celular asociada)] y anti-[<i>Homo sapiens</i> CD3E (CD3e, CD3 épsilon)], anticuerpo monoclonal con cadena única, biespecífica; IG con cadena única scFv-scFv-scFc, anti-MUC17 y anti-CD3E (1-984) [scFv-VH-V-LAMBDA anti-MUC17 (1-242) [VH (<i>Homo sapiens</i> IGHV4-34*01 (91.8%) -(IGHD) -IGHJ4*01 (93.3%), CDR-IMGT [8.7.14] (26-33.51-57.96-109)) (1-120) -15-mer tris(tetraglicil-séryl) linker (121-135) -V-LAMBDA (<i>Homo sapiens</i> IGLV3-1*01 (93.7%) -IGLJ2*01 (90.9%) G120>C (234), CDR-IMGT [6.3.9] (161-166.184-186.223-231)) (136-242)] -5-mer tetraglicil-séryl linker (243-247) -[scFv-VH-V-LAMBDA anti-CD3E (248-496) [VH Musmus/Homsap (<i>Mus musculus</i> IGHV10-1*02 (91.9%) -(IGHD) -IGHJ3*01 (86.7%)/ <i>Homo sapiens</i> IGHV3-73*01 (87.0%) -(IGHD) -IGHJ5*01 (100%), CDR-IMGT [8.10.16] (274-280.298-307.346-361)) (248-372) -15-mer tris(tetraglicil-séryl) linker (373-387) -V-LAMBDA (<i>Homo sapiens</i> IGLV7-43*01 (85.1%) -IGLJ3*02 (100%), CDR-IMGT [9.3.9] (413-421.439-441.478-486)) (388-496)] -4-mer tetraglicil linker (497-500) -[scFc (h-CH2-CH3)-(h-CH2-CH3) (501-984) [<i>Homo sapiens</i> IGHG1*03 h-CH2-CH3, nG1m1, G1v30 CH2 N84.4>G (bisagra 6-15 (501-510), CH2 R83>C (572), N84.4>G (577), V85>C (582) (511-620), CH3 E12 (636), M14 (638) (621-725), CHS (726-727)) (501-727)] -30-mer hexakis(tetraglicil-séryl) linker (728-757) -[<i>Homo sapiens</i> IGHG1*03 h-CH2-CH3, nG1m1, G1v30 CH2 N84.4>G (bisagra 6-15 (758-767), CH2 R83>C (829), N84.4>G (834), V85>C (839) (768-877), CH3 E12 (893), M14 (895) (878-982), CHS (983-984)) (758-984)]], producido en las células ováricas de hámster chino (CHO), forma glicosilada alfa <i>inmunomodulador, antineoplásico</i>

Heavy chain / Chaîne lourde / Cadena pesada

QVQLQQWGAG LLKPSETLSSL TCAVYGGGSFS GYYWSWIRQP PGKCLEWIGD 50
 IDASGSTKYN PSLSKRVTIS LDTSKNQFSL KLNNSVTAADT AVYFCARKKY 100
 STVWSYFDNW GQGTIUVTVSS GGGGSGGGGS GGGGSSYELT QPSSVSPBPG 150
 QTASITCSGD KLGDKYIASWY QQKPGQSPL VIYQDRKRPS GPVERFGSN 200
 SGNTATLTLIS GQTQAMDEADY YCQAWGSVTA VFVCGCTKLTV LSGGGGSEVQ 250
 LVESGGGLVQ PGGSLKLSCA ASGFTFNKYA MNWVRQAFKG GLEWVARIRS 300
 KYNNYATYYA GQSKDRFTIS RDDSKNTAYL QMNNLKTEDT AVYVCRHGN 350
 FGNNSYISYWA YNGQQTLTIV SSSGGGGGGG GSgggggSQT VtQEPBLTVS 400
 PGGTGTLLTG SSTGAUTSGN YPNWVQKPG QAPRGLIGT KFLAPGTPAR 450
 FSGSLLGGKA AITLSGVQPE DEAEYVYCVLW YSNRWVFGGG TKLTVLGGGG 500
 DKTHTCPGP APELLGGPSV FLFPKPKD7 LM1SRTPEV7 CVVDSHED 550
 PEVKFNWVVD KFVNWKAKTK PCEEEQYGSITY RCVSVLTVLR QDWLNKEYK 600
 CKVNSKALPA PIETKTSKAK QOPREPVQVYT LPPSRSEMTR NQVSLTCLVK 650
 GFYPSDIAVE WESNGQPEENN YKTTTPVLDS DGSPFLYSKL TVDKSRWQGG 700
 NVFSCSVMH E ALHNHYTQKS LSLSPGKGGG GSgggggSGGG GSgggggSGGG 750
 GSgggggSDKT HCTPPCPAPE LLGGPSVFLF PPFPKPD7LM1 SRTPEVTCVV 800
 DVSHEDPEV KFNWVVDGE VHNAKTKPCV E QYGSITYRCV SFLTVLHQWD 850
 LNCKEYKCKV SNKALPAPIE KTISKAKQGP REPQVYTLPP SREEMTKNV 900
 SLTCLVKGFY PSDIAVEWES NGQEENNYKT TPFLVDSLGS FFYLSKLTV 950
 KSRWQGNVF SCSVMEHALH NYHTQKSLSL SPKG 984

Post-translational modifications

Disulfide bridges location / Position des ponts disulfure / Posiciones de los puentes disulfuro
 Intra-V (C23 C104) 22-95 157-222 269-345 409-477
 Intra-C (C23-C104) 541-601 647-705 798-858 904-962

Intra-CH² (C83-C85) 572-582 829-839

Inter-VH-VL* (C49-C120) 44-234

Inter-h11 (h 11 - h 11) 506-763

Inter-h14 (h 14 - h 14) 509-766

*engineered

N-terminal glutaminyl cyclization / Cyclisation du glutaminyile N-terminal / Ciclación del glutamino N-terminal

H VH Q1 > pyroglutamyl (pE, 5-oxoprolyl): 1

No N-glycosylation sites / pas de site de N-glycosylation / ningún posición de N-glicosilación CH2 N844-G: 577, 834

Aglycosylated / aglycosylé / agluicosilada

C-terminal lysine clipping / Coupe de la lysine C-terminale / Recorte de lisina C-terminal
 H CHS K2: 984

vesletepirlsenum
vesletepirlsen

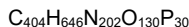
all-P-ambo-2'-N-(N²-acetyl-L-arginyl-L-arginyl-L-arginyl-L-arginyl-L-arginyl-L-arginyl-L-arginyl-L-arginyl-L-arginylglycyl)[2',3'-azanediyl-P,2',3'-trideoxy-P-(dimethylamino)-2',3'-seco](2'-N→5')(CTCCAACATC AAGGAAGATG GCATTCTAG) 5'-{P-[4-((2-[2-(2-hydroxyethoxy)ethoxy]ethoxy)carbonyl)piperazin-1-yl]-N,N-dimethylphosphonamide}
promotion of functional dystrophin synthesis

veslétéplirsen

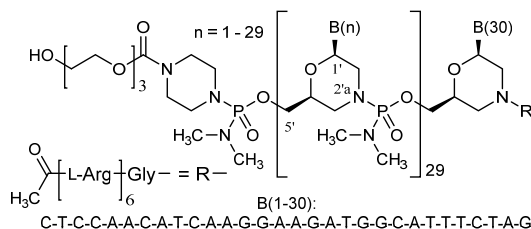
tout-P-ambo-5'-{P-[4-((2-[2-(2-hydroxyéthoxy)éthoxy]éthoxy)carbonyl)-pipérazin-1-yl]-N,N-diméthylphosphonamidate} de 2'-N-(N²-acétily-L-arginyl-L-arginyl-L-arginyl-L-arginylglycyl)[2',3'-azanediyl-P,2',3'-tridesoxy-P-(diméthylamino)-2',3'-séco](2'-N→5')(CTCCAACATC AAGGAAGATG GCATTCTAG)
stimulation de la synthèse de dystrophine fonctionnelle

vesletepirlsén

todo-P-ambo-5'-{P-[4-((2-[2-(2-hidroxietoxi)etoxi]etoxi)carbonil)piperazin-1-il]-N,N-dimetilfosfonamido} de 2'-N-(N²-acetil-L-arginil-L-arginil-L-arginil-L-arginil-L-arginil-L-arginil-L-arginil-L-arginil-L-arginil[L-arginil-L-arginil-L-arginil-L-arginilglycyl)]2',3'-azanodiil-P,2',3'-tridesoxi-P-(dimetilamino)-2',3'-seco)(2'-N→5')(CTCCAACATC AAGGAAGATG GCATTCTAG)
estimulación de la síntesis de distrofina funcional



2101570-09-4

**vibozilimodum**

vibozilimod

1-[(4-{5-[3-chloro-4-(2-methylpropyl)phenyl]-1,2,4-oxadiazol-3-yl}phenyl)methyl]-4-[(2-methoxyethoxy)methyl]piperidine-4-carboxylic acid
immunomodulator

vibozilimod

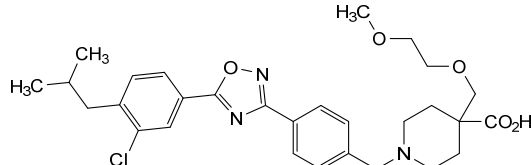
acide 1-[(4-{5-[3-chloro-4-(2-méthylpropyl)phényl]-1,2,4-oxadiazol-3-yl}phényl)méthyl]-4-[(2-méthoxyéthoxy)méthyl]pipéridine-4-carboxylique
immunomodulateur

vibozilimod

ácido 1-[(4-{5-[3-cloro-4-(2-metilpropil)fenil]-1,2,4-oxadiazol-3-il}fenil)metyl]-4-[(2-metoxietoxi)metyl]piperidina-4-carboxílico
inmunomodulador



1403232-33-6

**vimdemerum**

vimdemer

poly[1-(1*H*-imidazol-1-yl)ethane-1,2-diyl];
poly(*N*-vinylimidazole)
polymer

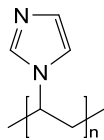
vimdémère

poly[1-(1*H*-imidazol-1-yl)éthane-1,2-diyl];
poly(*N*-vinylimidazole)
polymère

vimdémero

poli[1-(1*H*-imidazol-1-il)etano-1,2-diilo];
poli(*N*-vinylimidazol)
polímero

$(C_5H_6N_2)_n$,
 $n \approx 80-120 (M_r \approx 10-20 \text{ kDa})$

**vornorexantum**

vornorexant

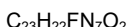
(4^2S) -1⁵-fluoro-6⁵-methyl-4(2,3)-[1,3]oxazinana-1(2)-pyridina-7(2)-[1,2,3]triazola-2(3,1)-pyrazola-6(1,2)-benzenaheptaphan-5-one
orexin receptor antagonist

vornorexant

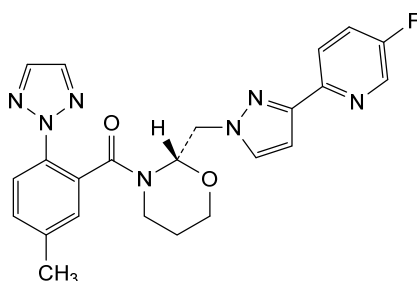
(4^2S) -1⁵-fluoro-6⁵-méthyl-4(2,3)-[1,3]oxazinana-1(2)-pyridina-7(2)-[1,2,3]triazola-2(3,1)-pyrazola-6(1,2)-benzenaheptaphan-5-one
antagoniste du récepteur de l'orexine

vornorexant

(4^2S) -1⁵-fluoro-6⁵-métيل-4(2,3)-[1,3]oxazinana-1(2)-piridina-7(2)-[1,2,3]triazola-2(3,1)-pirazola-6(1,2)-bencenaheptafan-5-ona
antagonista del receptor de la orexina



2265899-49-6

**voxalatamabum #**

voxalatamab

immunoglobulin G4-kappa/lambda2, anti-[*Homo sapiens* FOLH1 (folate hydrolase, prostate specific membrane antigen, PSMA)] and anti-[*Homo sapiens* CD3E (CD3e, CD3 epsilon)], humanized, chimeric and *Homo sapiens* monoclonal antibody, bispecific; gamma4 heavy chain humanized anti-FOLH1 (1-451) [VH anti-FOLH1 (*Homo sapiens*IGHV3-23*01 (92.9%) -(IGHD) -IGHJ4*01 (100%), CDR-IMGT [8.8.17] (26-33.51-58.97-113)) (1-124)-*Homo sapiens*IGHG4*01, G4v5 h P10, G4v4 CH2 A1.3, A1.2 (CH1 (125-222), hinge 1-12 S10>P (232) (223-234), CH2 F1.3>A (238), L1.2>A (239) (235-344), CH3 (345-449), CHS (450-451)) (125-451)], (138-214')-disulfide with kappa light chain *Homo sapiens* anti-FOLH1 (1'-214') [V-KAPPA anti-FOLH1 (*Homo sapiens*IGKV3-11*01 (100%) -IGKJ1*01 (100%), CDR-IMGT [6.3.9] (27-32.50-52.89-97)) (1'-107') -*Homo sapiens* IGKC*01 (100%), Km3 A45.1 (153), V101 (191) (108'-214')];

	gamma4 heavy chain chimeric anti-CD3E (1"-452") [VH anti-CD3E Musmus/Homsap (<i>Mus musculus</i> IGHV10-1*02 (89.8%) - (IGHD) -IGHJ3*01 (93.3%) A128>S (125)/ <i>Homo sapiens</i> IGHV3-72*01 (88.0%) -(IGHD) -IGHJ6*01 (90.9%) T123>L (120), CDR-IMGT [8.10.16] (26-33.51-60.99-114)) (1"-125")- <i>Homo sapiens</i> IGHG4*01, G4v5 h P10, G4v4 CH2 A1.3, A1.2 (CH1 (126"-223"), hinge 1-12 S10>P (233) (224"-235"), CH2 F1.3>A (239), L1.2>A (240) (236"-345"), CH3 F85.1>L (410) (346"-450"), CHS (451"-452")) (126"-452")], (139"-214")-disulfide with lambda2 light chain humanized anti-CD3E (1"-215") [V-LAMBDA anti-CD3E (<i>Homo sapiens</i> IGLV7-43*01 (81.9%) -IGLJ3*02 (100%), CDR-IMGT [9.3.9] (26-34.52-54.91-99), (1"-109") - <i>Homo sapiens</i> IGLC2*01 (100%) (110"-215")]; dimer (230-231":233-234")-bisdisulfide, produced in Chinese hamster ovary (CHO) cells, glycoform alfa <i>immunomodulator, antineoplastic</i>
voxalatamab	immunoglobuline G4-kappa/lambda2, anti-[<i>Homo sapiens</i> FOLH1 (folate hydrolase, antigène membranaire spécifique de la prostate, PSMA)] et anti-[<i>Homo sapiens</i> CD3E (CD3e, CD3 epsilon)], anticorps monoclonal humanisé, chimérique et <i>Homo sapiens</i> , biespécifique; chaîne lourde gamma4 humanisée anti-FOLH1 (1-451) [VH anti-FOLH1 (<i>Homo sapiens</i> IGHV3-23*01 (92.9%) -(IGHD) -IGHJ4*01 (100%), CDR-IMGT [8.8.17] (26-33.51-58.97-113)) (1-124)- <i>Homo sapiens</i> IGHG4*01, G4v5 h P10, G4v4 CH2 A1.3, A1.2 (CH1 (125-222), charnière 1-12 S10>P (232) (223-234), CH2 F1.3>A (238), L1.2>A (239) (235-344), CH3 (345-449), CHS (450-451)) (125-451)], (138-214")-disulfure avec la chaîne légère kappa <i>Homo sapiens</i> anti-FOLH1 (1"-214") [V-KAPPA anti-FOLH1 (<i>Homo sapiens</i> IGKV3-11*01 (100%) -IGKJ1*01 (100%), CDR-IMGT [6.3.9] (27-32.50-52.89-97)) (1"-107") - <i>Homo sapiens</i> IGKC*01 (100%), Km3 A45.1 (153), V101 (191) (108"-214")]; chaîne lourde gamma4 chimérique anti-CD3E (1"-452") [VH anti-CD3E Musmus/Homsap (<i>Mus musculus</i> IGHV10-1*02 (89.8%) - (IGHD) -IGHJ3*01 (93.3%) A128>S (125)/ <i>Homo sapiens</i> IGHV3-72*01 (88.0%) -(IGHD) -IGHJ6*01 (90.9%) T123>L (120), CDR-IMGT [8.10.16] (26-33.51-60.99-114)) (1"-125")- <i>Homo sapiens</i> IGHG4*01, G4v5 h P10, G4v4 CH2 A1.3, A1.2 (CH1 (126"-223"), charnière 1-12 S10>P (233) (224"-235"), CH2 F1.3>A (239), L1.2>A (240) (236"-345"), CH3 F85.1>L (410) (346"-450"), CHS (451"-452")) (126"-452")], (139"-214")-disulfure avec la chaîne légère lambda2 humanisée anti-CD3E (1"-215") [V-LAMBDA anti-CD3E (<i>Homo sapiens</i> IGLV7-43*01 (81.9%) -IGLJ3*02 (100%), CDR-IMGT [9.3.9] (26-34.52-54.91-99)) (1"-109") - <i>Homo sapiens</i> IGLC2*01 (100%) (110"-215")]; dimère (230-231":233-234")-bisdisulfure, produit dans des cellules ovarianes de hamster chinois (CHO), glycoforme alfa <i>immunomodulateur, antinéoplasique</i>
voxalatamab	inmunoglobulina G4-kappa/lambda2, anti-[<i>Homo sapiens</i> FOLH1 (folato hidrolasa, antígeno membranario específico de la próstata, PSMA)] y anti-[<i>Homo sapiens</i> CD3E (CD3e, CD3 épsilon)], anticuerpo monoclonal humanizado, quimérico y <i>Homo sapiens</i> , biespecífico; cadena pesada gamma4 humanizada anti-FOLH1 (1-451) [VH anti-FOLH1 (<i>Homo sapiens</i> IGHV3-23*01 (92.9%) -(IGHD) -IGHJ4*01 (100%), CDR-IMGT [8.8.17] (26-33.51-58.97-113)) (1-124)- <i>Homo sapiens</i> IGHG4*01, G4v5 h P10, G4v4 CH2 A1.3, A1.2 (CH1 (125-222), bisagra 1-12 S10>P (232) (223-234), CH2

F1.3>A (238), L1.2>A (239) (235-344), CH3 (345-449), CHS (450-451)) (125-451)], (138-214')-disulfuro con la cadena ligera kappa *Homo sapiens* anti-FOLH1 (1'-214') [V-KAPPA anti-FOLH1 (*Homo sapiens* IGKV3-11*01 (100%) -IGKJ1*01 (100%), CDR-IMGT [6.3.9] (27-32.50-52.89-97)) (1'-107') -*Homo sapiens* IGKC*01 (100%), Km3 A45.1 (153), V101 (191) (108'-214')]; cadena pesada gamma4 químérica anti-CD3E (1"-452") [VH anti-CD3E Musmus/Homsap (*Mus musculus*IGHV10-1*02 (89.8%) - (IGHD) -IGHJ3*01 (93.3%) A128>S (125)/*Homo sapiens* IGHV3-72*01 (88.0%) -(IGHD) -IGHJ6*01 (90.9%) T123>L (120), CDR-IMGT [8.10.16] (26-33.51-60.99-114)) (1"-125")-*Homo sapiens* IGHG4*01, G4v5 h P10, G4v4 CH2 A1.3, A1.2 (CH1 (126"-223"), bisagra 1-12 S10>P (233) (224"-235"), CH2 F1.3>A (239), L1.2>A (240) (236"-345"), CH3 F85.1>L (410) (346"-450"), CHS (451"-452")) (126"-452")], (139"-214")-disulfuro con la cadena ligera lambda2 humanizada anti-CD3E (1'-215') [V-LAMBDA anti-CD3E (*Homo sapiens* IGLV7-43*01 (81.9%) -IGLJ3*02 (100%), CDR-IMGT [9.3.9] (26-34.52-54.91-99)) (1"-109") -*Homo sapiens* IGLC2*01 (100%) (110"-215")]; dímero (230-231":233-234")-bisdisulfuro, producido en las células ováricas de hamster chino (CHO), forma glicosilada alfa *inmunomodulador, antineoplásico*

2411871-58-2

Heavy chain / Chaîne lourde / Cadena pesada (anti-FOLH1)

EVQLLESGGG LVQPGGSLR SCAASGFTFK SDAMHNWVRQA PGKGLEWVSE 50
 ISGGGGYTNY ADSVKGRFTI SRDN SKNTLY LQMNSKNTL RAVYYCAR 100
 YDSSLYVGDY FDYWGQGTLV TVSSA STKGP SVFPLAPCSR STSESTAA LG 150
 CLVKD YFPEP VTVWSNGAL TSGVHTTPAV LQSSGLYSL SVTVTPSSL 200
 GTKTYTCNVD HKPSNTKV DK RVE SKYGP CPCPAA EAG GPSVLFPPK 250
 PKDTLMISRT PEVTCVVVDV SQEDPEVQFN WYWDGVEVHN AKTKPREEQF 300
 NSTYRVVSVL TVLHQDWLNG KEYKCKVSNK GLPSSIEKTI SKAKGQPREP 350
 QVYTLPFSQ EMTRK NQVSLT CLVKGFYPSD TAVEWESNQ PENNYKTTTP 400
 VLDS DGSFFL YSRLTVDKSR WQEGNVFC SVMHEALHNH TQKSL SLSL 450
 K

Heavy chain / Chaîne lourde / Cadena pesada (anti-CD3E)

EVQLVESGGG LVQPGGSLR SCAASGFTFN TYAMNWVRQA PGKGLEWVAR 50
 IRSK NYN YAT YYA ASVKG RFTI TIS RD SKNS LYLQ MNS LKT EDT AVYY CAR 100
 HGNFG NSYVS WFAYWQG QTLT VTVSSA STKGP SVFPLAPCS RST SESTAA LG 150
 GCLVKD YFPEP PVT VWSN GSA LTSGVHTTPA VLQSSGLYSL SSVTVTPSS 200
 LGT KTY TCNV DHKPS NT KV DK RVE SKY GP CPCP AA EAG GPSVLF PPK 250
 KPKDTL MISRT PEVTCVVVDV SQEDPEVQFN WYWDGVEVHN NAKTKPREEQF 300
 FNSTY RVVSVL ITLV HQDWLN G REYK CKVSNK GLPSSIEKTI ISKAKGQPRE 350
 QVYTLPFSQ EMTRK NQVSLT CLVKGFYPSD TAVEWESNQ PENNYKTTTP 400
 PVLD SDGSFFL LY SKL T VDKS RW QEG NVFC SVMHEALHNH YTQKSL SLSL 450
 GK

Light chain / Chaîne légère / Cadena ligera (anti-FOLH1)

EIVLT QSPAT LSLSPGER LSCRAS QSVS SYLA WYQQKP QQAP RLLI YD 50
 ASN R ATG IPA RFG SGSG STAD FT LTI SS LEEF ED FA VY CCQ RSNW LTF QG 100
 GTK VEIK RTV AAP SVF I FPP SDE QL KSG TA SV C L N F Y PREAK V QK V 150
 DN AL QSG NSQ ES VT EQ DS K D ST Y S LS S T L T LSKAD Y EK H K VY ACE VTH QG 200
 LS S P VTK S FN R GEC 214

Light chain / Chaîne légère / Cadena ligera (anti-CD3E)

QT VVT QEP SL TV SP GGT VTL TCR S T GAV T TS N V A N W V Q Q K P G Q A P R G L I 50
 GGT NK R A P G T PAR FSG SLL G K R A P G T L S G V Q P E D E A Y Y C A L W Y S N L W V F 100
 G G G T K L T V L G Q P K A A P S V T L F P P S S E E L Q A N K A T L V C L I S D F Y P G A V T V A 150
 W K R A D S P F V K A G V E T T P F S K Q S N N K Y A A S Y L S L T P E Q W K S H R S Y S C Q V T H 200
 E G S T V E K T V A P T E C S 215

Post-translational modifications

Disulfide bridges location / Position des ponts disulfure / Posiciones de los puentes disulfuro
 Intra-H (C23-C104) 22-96 151-207 265-325 371-429
 22"-98" 152"-208" 266"-326" 372"-430"
 Intra-L (C23-C104) 23"-88" 134"-194"
 22"-90" 137"-196"
 Inter-H-L (CH1 10-CL 126) 138-214" 139"-214"
 Inter-H-H (h 8, h 11) 230-231" 233-234"

N-glycosylation sites / Sites de N-glycosylation / Posiciones de N-glicosilación
 H CH2 N84.4: 301, 302"

Fucosylated complex bi-antennary CHO-type glycans / glycanes de type CHO bi-antennaires
 complejos fucosylés / glicanos de tipo CHO biantenarios complejos fucosilados.

vusolimogenum oderparepvecum #

vusolimogene oderparepvec

recombinant oncolytic herpes simplex virus 1 (HSV1) based on strain RH018A, with ICP47 (US12) and ICP34.5 (RL1) genes deleted, expressing the US11 gene under the control of the ICP47 promoter, and encoding two copies of an expression cassette inserted in opposite orientation at the ICP34.5 gene deletion sites, comprising codon-optimized human granulocyte-macrophage colony-stimulating factor (hGM-CSF) and a fusogenic codon-optimized gibbon ape leukemia virus (GALV) glycoprotein lacking the R peptide (GALV-R). The hGM-CSF gene is under the control of a cytomegalovirus immediate-early (CMV IE) promoter/bovine growth hormone (BGH) polyadenylation sequence and the truncated GALV-R gene is under the control of a Rous sarcoma virus (RSV) promoter/simian virus 40 (SV40) polyadenylation sequence.
gene therapy (antineoplastic)

vusolimogène oderparepvec

virus de l'herpès simplex 1 (HSV1) oncolytique recombinant basé sur la souche RH018A, avec délétion des gènes ICP47 (US12) et ICP34.5 (RL1), exprimant le gène US11 sous le contrôle du promoteur ICP47, et codant deux copies d'une cassette d'expression insérée dans une orientation opposée aux sites de délétion du gène ICP34.5, comprenant le facteur humain de stimulation des colonies de granulocytes-macrophages (hGM-CSF) aux codons optimisés et une glycoprotéine fusogène aux codons optimisés du virus de la leucémie de singe Gibbon (GALV) dépourvue du peptide R (GALV-R). Le gène hGM-CSF est sous le contrôle du promoteur précoce immédiat du cytomégavirus (CMV IE)/séquence de polyadénylation de l'hormone de croissance bovine (BGH) et le gène tronqué GALV-R est sous le contrôle du promoteur du virus du sarcome de Rous (RSV)/séquence de polyadénylation du virus simien 40 (SV40).

thérapie génique (antinéoplasique)

vusolimogén oderparepvec

virus herpes simplex 1 (HSV1) recombinante, oncolítico, basado en la cepa RH018A, con los genes ICP47 (US12) e ICP34.5 (RL1)delecionados, que expresa el gen US11 bajo el control del promotor ICP47, y codifica para dos copias de un casete de expresión insertado en orientación opuesta en los sitios de delección del gen ICP34.5, que contiene el factor estimulador de colonias de granulocitos-macrófagos humano (hGM-CSF) con codones optimizados y una glicoproteína fusogénica del virus de la leucemia de gibones (GALV) sin el péptido R (GALV-R) con codones optimizados. El gen hGM-CSF está bajo el control de un promotor inmediato-temprano del citomegalovirus (CMV IE)/secuencia de poliadenilación de la hormona de crecimiento bocina (BGH) y el gen truncado GALV-R está bajo el control de un promotor del virus del sarcoma de Rous (RSV)/secuencia de poliadenilación del virus simio 40 (SV40).

terapia génica (antineoplásico)

2305659-09-8

xeligekimabum #

xeligekimab

immunoglobulin G4-kappa, anti-[*Homo sapiens* IL17A (interleukin 17A, IL-17A)], monoclonal antibody; gamma4 heavy chain (1-454) [VH (*Homo sapiens*IGHV3-7*01 (88.8%) -(IGHD) -IGHJ2*01 (100%), CDR-IMGT [8.8.20] (26-33.51-58.97-116)) (1-127)-*Homo sapiens*IGHG4*01, G4v5 h P10 (CH1 (128-225), hinge 1-12 S10>P (235) (226-237), CH2 (238-347), CH3 (348-452), CHS (453-454)) (128-454)], (141-214')-disulfide with kappa light chain (1'-214') [V-KAPPA (*Homo sapiens*IGKV1-6*01 (89.1%) -IGKJ1*01 (100%), CDR-IMGT [6.3.9] (27-32.50-52.89-97)) (1'-107') -*Homo sapiens*IGKC*01 (100%), Km3 A45.1 (153), V101 (191) (108'-214')]; dimer (233-233":236-236")-bisdisulfide, produced in a Chinese hamster ovary (CHO)-S cell line, glycoform alfa *immunomodulator*

xéligékimab

immunoglobuline G4-kappa, anti-[*Homo sapiens* IL17A (interleukine 17A, IL-17A)], anticorps monoclonal; chaîne lourde gamma4 (1-454) [VH (*Homo sapiens*IGHV3-7*01 (88.8%) -(IGHD) -IGHJ2*01 (100%), CDR-IMGT [8.8.20] (26-33.51-58.97-116)) (1-127)-*Homo sapiens*IGHG4*01, G4v5 h P10 (CH1 (128-225), charnière 1-12 S10>P (235) (226-237), CH2 (238-347), CH3 (348-452), CHS (453-454)) (128-454)], (141-214')-disulfure avec la chaîne légère kappa (1'-214') [V-KAPPA (*Homo sapiens*IGKV1-6*01 (89.1%) -IGKJ1*01 (100%), CDR-IMGT [6.3.9] (27-32.50-52.89-97)) (1'-107') -*Homo sapiens*IGKC*01 (100%), Km3 A45.1 (153), V101 (191) (108'-214')]; dimère (233-233":236-236")-bisdisulfure, produit dans des cellules ovariennes de hamster chinois (CHO) lignée cellulaire CHO-S, glycoforme alfa *immunomodulateur*

xeligekimab

inmunoglobulina G4-kappa, anti-[*Homo sapiens* IL17A (interleukina 17A, IL-17A)], anticuerpo monoclonal; cadena pesada gamma4 (1-454) [VH (*Homo sapiens*IGHV3-7*01 (88.8%) -(IGHD) -IGHJ2*01 (100%), CDR-IMGT [8.8.20] (26-33.51-58.97-116)) (1-127)-*Homo sapiens*IGHG4*01, G4v5 h P10 (CH1 (128-225), bisagra 1-12 S10>P (235) (226-237), CH2 (238-347), CH3 (348-452), CHS (453-454)) (128-454)], (141-214')-disulfuro con la cadena ligera kappa (1'-214') [V-KAPPA (*Homo sapiens*IGKV1-6*01 (89.1%) -IGKJ1*01 (100%), CDR-IMGT [6.3.9] (27-32.50-52.89-97)) (1'-107') -*Homo sapiens*IGKC*01 (100%), Km3 A45.1 (153), V101 (191) (108'-214')]; dímero (233-233":236-236")-bisdisulfuro, producido en las células ováricas de hámster chino (CHO) línea celular CHO-S, forma glicosilada alfa *inmunomodulador*

Heavy chain / Chaîne lourde / Cadena pesada

EVQLVESGGV LVQPGGSLRL SCAASGMSSMS DYWMNNWVRQAG PKGKLEWWVA 50
 INQDQEKKY VQGVKGRTI SRDNAKNSLY LQMNLSLVED TAVYVCVRDY 100
 YDLISDYYIH YWYFDLWGRC TLTVVSSAST KGPSPVPIAP CSRSTSESTA 150
 ALGLCLVKDYL PFPVTWSWNS GALTSGVHTF PAVLQSGLY SLSSVVTVPS 200
 SSLGTTKTYTC NVDHKPSTNK VDKRVEVKYRG PFCPPCPAPE FLGGPSVLF 250
 PPPKPKDTLMR SRTPEVTCVV DVDSQEDPEV QFNWYVYDVE VHNAKTKPKE 300
 EQFNSTYRVV SVTLVLIHQDW LNKEYKCKV SNKGLPSSIE KTISKAGQP 350
 REPQVVTLPW SQEEMTQNQV SLTCLVKGFY PSDIAVEWES NGQPENNYKT 400
 TPPVLDSDGS FFLYLSRTLVD KSRWQBGNVF SCSCVMHEALH NYHTQKSLS 450
 SLGK 454

Light chain / Chaîne légère / Cadena ligera

DIGMTQSPPS LSASVGRDRVIT ITCRASQNHN NRLTWYQOKP GKAPKLLIYG 50
 ASNCLESGVES RFSGGSGSTD FTLLTSSLQP EDFATYVCQQ YNGSPTTFQG 100
 GTKVEIKRTV AAPSVFIFPPP SDEQLKSGTA SVVCLLNNFY PREAKVQWKV 150
 DNALQSQNSQ ESVTEQUSKD STYSLSSLT LSKADYEKHK VYACEVTHQG 200
 LSSPVTKSFN RGEC 214

Post-translational modifications

Disulfide bridges location / Position des ponts disulfure / Posiciones de los puentes disulfuro
 Intra-H (C23-C104) 22-96 154-210 268-328 374-432
 22"-96" 154"-210" 268"-328" 374"-432"
 Intra-L (C23-C104) 23"-88" 134"-194"
 23"-88" 134"-194"
 Inter-H-L (CHI 10-CL 126) 141-214" 141"-214"
 Inter-H-H (h 8, h 11) 233-233" 236-236"

N-glycosylation sites / Sites de N-glycosylation / Posiciones de N-glicosilación

H CH2N84.4:304, 304"

Fucosylated complex bi-antennary CHO-type glycans / glycanes de type CHO bi-antennaires complexes fucosylés / glicanos de tipo CHO biantenarios complejos fucosilados.

C-terminal lysine clipping / Coupe de la lysine C-terminale / Recorte de lisina C-terminal
 H CHS K2: 454, 454"

xeruborbactam
xeruborbactam

(1a*R*,7b*S*)-5-fluoro-2-hydroxy-1,1a,2,7b-tetrahydrocyclopropa[*c*][1,2]benzoxaborinine-4-carboxylic acid
beta-lactamase inhibitor

xéruborbactam

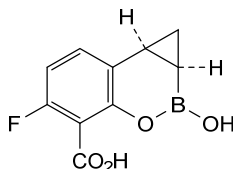
acide (1a*R*,7b*S*)-5-fluoro-2-hydroxy-1,1a,2,7b-tetrahydrocyclopropa[*c*][1,2]benzoxaborinine-4-carboxylique
inhibiteur de la bêta-lactamase

xeruborbactam

ácido (1a*R*,7b*S*)-5-fluoro-2-hidroxi-1,1a,2,7b-tetrahidrociclopropa[*c*][1,2]benzoxaborinina-4-carboxílico
inhibidor de la beta-lactamasa

C₁₀H₈BFO₄

2170834-63-4

**zalunfibanum**
zalunfiban

2-amino-N-[5-[5-oxo-7-(piperazin-1-yl)-5H-[1,3,4]thiadiazolo[3,2-a]pyrimidin-2-yl]pyridin-3-yl]acetamide
integrin alpha-IIb/beta-3 receptor antagonist

zalunfiban

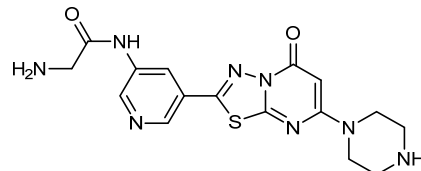
2-amino-N-{5-[5-oxo-7-(pipérazin-1-yl)-5H-[1,3,4]thiadiazolo[3,2-a]pyrimidin-2-yl]pyridin-3-yl}acétamide
antagoniste du récepteur de l'intégrine alpha-IIb/ bêta-3

zalunfibán

2-amino-N-{5-[5-oxo-7-(piperazin-1-il)-5H-[1,3,4]thiadiazolo[3,2-a]pirimidin-2-il]piridin-3-il}acetamida
antagonista del receptor de la integrina alfa-IIb/ beta-3

C16H18N8O2S

1448313-27-6

**zamerovimabum #**

zamerovimab

immunoglobulin G1-kappa, anti-[rabies lyssavirus (rabies virus, RABV) spike glycoprotein G], humanized monoclonal antibody;
 gamma1 heavy chain humanized (1-451) [VH (*Homo sapiens* IGHV1-3*01 (80.6%) -(IGHD) -IGHJ4*01 (100%), CDR-IMGT [8.8.14] (26-33.51-58.97-110)) (1-121) -*Homo sapiens* IGHG1*01 (100%), G1m17.1 (CH1 K120 (218) (122-219), hinge 1-15 (220-234), CH2 (235-344), CH3 D12 (360), L14 (362) (345-449), CHS (450-451)) (122-451)], (224-214')-disulfide with kappa light chain humanized (1'-214') [V-KAPPA (*Homo sapiens* IGKV1-16*01 (86.3%) -IGKJ2*02 (100%), CDR-IMGT [6.3.9](27-32.50-52.89-97)) (1'-107') -*Homo sapiens* IGKC*01 (100%), Km3 A45.1 (153), V101 (191) (108'-214')]; dimer (230-230":233-233")-bisdisulfide, produced in a Chinese hamster ovary (CHO)-DG44 cell line, glycoform alfa
antiviral

zamérovimab

immunoglobuline G1-kappa, anti-[glycoprotéine spike G du lyssavirus de la rage (virus de la rage, RABV)], anticorps monoclonal humanisé; chaîne lourde gamma1 humanisée (1-451) [VH (*Homo sapiens* IGHV1-3*01 (80.6%) -(IGHD) -IGHJ4*01 (100%), CDR-IMGT [8.8.14] (26-33.51-58.97-110)) (1-121) -*Homo sapiens* IGHG1*01 (100%), G1m17.1 (CH1 K120 (218) (122-219), charnière 1-15 (220-234), CH2 (235-344), CH3 D12 (360), L14 (362) (345-449), CHS (450-451)) (122-451)], (224-214')-disulfure avec la chaîne légère kappa humanisée (1'-214') [V-KAPPA (*Homo sapiens* IGKV1-16*01 (86.3%) -IGKJ2*02 (100%), CDR-IMGT [6.3.9](27-32.50-52.89-97)) (1'-107') -*Homo sapiens* IGKC*01 (100%), Km3 A45.1 (153), V101 (191) (108'-214')]; dimère (230-230":233-233")-bisdisulfure, produit dans des cellules ovarianes de hamster chinois (CHO) lignée cellulaire CHO-DG44, glycoforme alfa
antiviral

zamerovimab

inmunoglobulina G1-kappa, anti-[glicoproteína spike G del lyssavirus de la rabia (virus de la rabia, RABV)], anticuerpo monoclonal humanizado; cadena pesada gamma1 humanizada (1-451) [VH (*Homo sapiens* IGHV1-3*01 (80.6%) - (IGHJ4*01 (100%), CDR-IMGT [8.8.14] (26-33.51-58.97-110)) (1-121) -*Homo sapiens*IGHG1*01 (100%), G1m17,1 (CH1 K120 (218) (122-219), bisagra 1-15 (220-234), CH2 (235-344), CH3 D12 (360), L14 (362) (345-449), CHS (450-451)) (122-451)], (224-214')-disulfuro con la cadena ligera kappa humanizada (1'-214') [V-KAPPA (*Homo sapiens* IGKV1-16*01 (86.3%) -IGKJ2*02 (100%), CDR-IMGT [6.3.9](27-32.50-52.89-97)) (1'-107') -*Homo sapiens* IGKC*01 (100%), Km3 A45.1 (153), V101 (191) (108'-214')]; dímero (230-230":233-233")-bisdisulfuro, producido en las células ováricas de hámster chino (CHO) línea celular CHO-DG44, forma glicosilada alfa
antiviral

2419087-87-7

Heavy chain / Chaîne lourde / Cadena pesada

QQLVLVGSQAE VKKPGASVKV SCKASGYSTT DYIMLWVRQA PGQRLEWIGD 50
IYPYYGSTSY NLKFKKGKATL TVDTDSASTAY MELSSLRSED TAVYYCARQG 100
GDGNYVLFDY WGQGTLVTVS SASTKGPSVF PLAPSSKSTS GGTAALGCLV 150
KDYFPEPVTV SWNSGALTSG VHTFPAVLQS SGLYSLSSVV TVPSSSLGTQ 200
TYICNVNHPK SNTKVDDKVE FKSCDKTHTC PPCPAPPELPPK 250
PKDTLMISRT PVEVTCVVVDVW SHEDPEVKEN WYVDGEVNEH AKTRKPREEQY 300
NSTYRVUVSVL TVLHODWLNG KEYRKVSNK ALAPPIEKTI SKAKGQPREP 350
QVYTLPPSRD ELTKNQVSLT CLVKCFYPSD IAVEWESNGQ PENNYKTPP 400
VLDSDGSFL YSKLTVOKSR WQQGNVFSCS VMHEALHNHY TQKSLSLSPG 450
K 451

Light chain / Chaîne légère / Cadena ligera

DIGMTQSPSS LSASVGDRVT ITCKASQNVG TTVAWYQQKP GKAKPALKIYS 50
ASRYSGVPSS RFSGSGGGTD FTLTISSLQD EDFATYYCQQ VNSYVFFEGQ 100
GTLKLEIKRTV AAPSVEIFPP SDEQLKSGTA SVVCLNNFY PREAKVQWV 150
DNALQSGNSQ ESVTEQDSKD STYSLSSLT LSKADYEHKH VYACEVTHQG 200
LSSPVTKSFN RGEC 214

Post-translational modifications

Disulfide bridges location / Position des ponts disulfure / Posiciones de los puentes disulfuro
Intra-H (C23-C104) 22-96 148-204 265-325 371-429
22"-96" 148"-204" 265"-325" 371"-429"
Intra-L (C23-C104) 23"-88" 134"-194"
23"-88" 134"-194"
Inter-H-L (h 5-CL 126) 224-214" 224"-214"
Inter-H-H (h 11, h14) 230-230" 233-233"

N-terminal glutaminyl cyclization / Cyclisation du glutaminyle N-terminal / Ciclación del glutaminilo N-terminal
H VH QI> pyroglutamyl (pE, 5-oxoprollyl): 1, 1"

N-glycosylation sites / Sites de N-glycosylation / Posiciones de N-glicosilación
H CH2 N84.4:301, 301"
Fucosylated complex bi-antennary CHO-type glycans / glycanes de type CHO bi-antennaires complexes fucosylés / glicanos de tipo CHO biantenarios complejos fucosilados.

C-terminal lysine clipping / Coupe de la lysine C-terminale / Recorte de lisina C-terminal
H CHS K2: 451, 451"

zapnometinibum

zapnometinib

2-(2-chloro-4-iodoanilino)-3,4-difluorobenzoic acid
tyrosine kinase inhibitor

zapnométinib

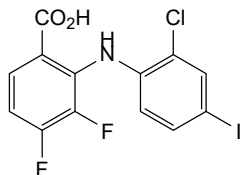
acide 2-(2-chloro-4-iodoanilino)-3,4-difluorobenzoïque
inhibiteur de la tyrosine kinase

zapnometinib

ácido 2-(2-cloro-4-iodoanilino)-3,4-difluorobenzoico
inhibidor de la tirosina kinasa

C₁₃H₇ClF₂INO₂

303175-44-2

**zastaprazanum**

zastaprazan

(azetidin-1-yl)(8-{{[(2,6-dimethylphenyl)méthyl]amino}-2,3-diméthylimidazo[1,2-a]pyridin-6-yl)méthanone
proton pump inhibitor

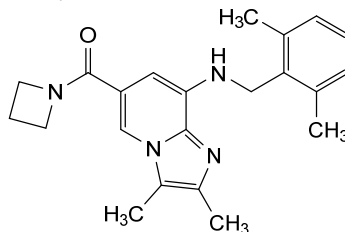
zastaprazan

(azétidin-1-yl)(8-{{[(2,6-diméthylphényl)méthyl]amino}-2,3-diméthylimidazo[1,2-a]pyridin-6-yl)méthanone
inhibiteur de la pompe à protons

zastaprazán

(azetidin-1-il)(8-{{[(2,6-dimetilifenil)metil]amino}-2,3-dimetilimidazo[1,2-a]piridin-6-il)metanona
*inhibidor de la bomba de protones*C₂₂H₂₆N₄O

2133852-18-1

**zavacorilantum**

zavacorilant

{(4aR,8aS)-1-(4-fluorophenyl)-6-[2-(propan-2-yl)-2H-1,2,3-triazole-4-sulfonyl]-1,4,5,6,7,8,8a,9-octahydro-4aH-pyrazolo[3,4-g]isoquinolin-4a-yl}(1,3-thiazol-4-yl)méthanone
glucocorticoid receptor antagonist

zavacorilant

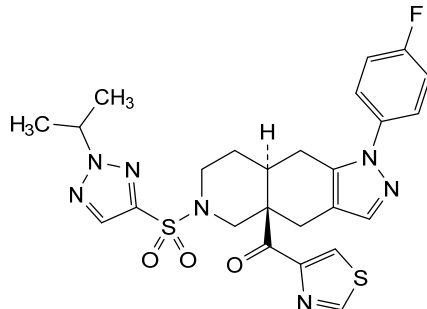
{(4aR,8aS)-1-(4-fluorophényl)-6-[2-(propan-2-yl)-2H-1,2,3-triazole-4-sulfonyl]-1,4,5,6,7,8,8a,9-octahydro-4aH-pyrazolo[3,4-g]isoquinoléin-4a-yl}(1,3-thiazol-4-yl)méthanone
antagoniste des récepteurs glucocorticoïdes

zavacorilant

{(4aR,8aS)-1-(4-fluorofenil)-6-[2-(propan-2-il)-2H-1,2,3-triazol-4-sulfonil]-1,4,5,6,7,8,8a,9-octahidro-4aH-pirazolo[3,4-g]isoquinolein-4a-il}(1,3-tiazol-4-il)méthanone
antagonista de los receptores glucocorticosides



1781245-13-3

**zectivimodum**

zectivimod

1-[(1-chloro-6-[[3-chloro-1-(propan-2-yl)-1*H*-indazol-5-yl]methoxy)-3,4-dihydronaphthalen-2-yl)methyl]piperidine-4-carboxylic acid
immunomodulator

zectivimod

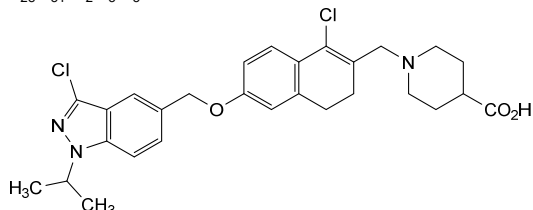
acide 1-[(1-chloro-6-[[3-chloro-1-(propan-2-yl)-1*H*-indazol-5-yl]méthoxy)-3,4-dihydronaphtalén-2-yl)méthyl]piperidine-4-carboxylique
immunomodulateur

zectivimod

ácido 1-[(1-cloro-6-[[3-cloro-1-(propan-2-il)-1*H*-indazol-5-il]metoxi)-3,4-dihidronaftalen-2-il)metil]piperidina-4-carboxílico
inmunomodulador



1623066-63-6

**zedenoleucelum**

zedenoleucel

allogeneic multi-tumour associated antigen specific T lymphocytes prepared from peripheral blood mononuclear cells (PBMCs), collected by apheresis from human leukocyte antigen (HLA)-matched donors. The donor T cells are purified by depleting CD14+ and CD56+ cells, then co-cultured *ex vivo* with antigen presenting dendritic cells, derived from the same donor that have been exposed to a peptide mixture of four tumour associated antigens: preferentially expressed antigen in melanoma (PRAME), cancer/testis antigen 1 (LAGE2, NY-ESO-1), survivin (BIRC5) and Wilms' tumor protein (WT1). The cells are expanded in medium containing recombinant cytokines interleukin 6 (IL-6), 7 (IL-7), 12 (IL-12), and 15 (IL-15). Cells consist of a mixture of CD4+ and CD8+ T cells, that include effector memory (CD45RA-CD197-; on average 30%).

central memory (CD45RA-CD197+; on average 43%), naïve (CD45RA+CD197+; on average 22%) and terminally-differentiated effector memory (CD45RA+CD197-; on average 5%) T cells.
cell therapy (immunomodulator, antineoplastic)

zédénoleucel

lymphocytes T allogéniques spécifiques d'antigènes associés à des tumeurs multiples, préparés à partir de cellules mononucléaires du sang périphérique (PBMC), recueillies par aphérèse auprès de donneurs dont l'antigène leucocytaire humain (HLA) est identique. Les lymphocytes T des donneurs sont purifiés en éliminant les cellules CD14+ et CD56+, puis mis en co-culture *ex vivo* avec des cellules dendritiques présentatrices d'antigène, provenant du même donneur, qui ont été exposées à un mélange peptidique de quatre antigènes associés à des tumeurs: l'antigène exprimé préférentiellement dans le mélanome (PRAME), l'antigène 1 cancer/testicules (LAGE2, NY-ESO-1), la survivine (BIRC5) et la protéine de la tumeur de Wilm (WT1). Les cellules sont amplifiées dans un milieu contenant des cytokines recombinantes interleukine 6 (IL-6), 7 (IL-7), 12 (IL-12) et 15 (IL-15). Les cellules sont constituées d'un mélange de cellules T CD4+ et CD8+, qui comprennent des cellules T de la mémoire effectrice (CD45RA-CD197-; en moyenne 30%), de la mémoire centrale (CD45RA-CD197+; en moyenne 43%), naïves (CD45RA+CD197+; en moyenne 22%) et de la mémoire effectrice à différenciation terminale (CD45RA+CD197-; en moyenne 5%).
thérapie cellulaire (immunomodulateur, antinéoplasique)

zedenoleucel

linfocitos T alogénicos específicos de antígenos asociados a multi tumores, preparados a partir de células mononucleares de sangre periférica, recogidos por aféresis de donantes con antígeno común leucocitario (HLA) compatible. Los linfocitos T de donantes se purifican mediante la depleción de células CD14+ y CD56+, después se co-cultivan *ex vivo* con células dendríticas presentadoras de antígeno, derivadas del mismo donante y que han sido expuestas a una mezcla de cuatro antígenos asociados a tumor: antígeno preferentemente expresado en melanoma (PRAME), antígeno 1 de cáncer/testículos (LAGE2, NY-ESO-1), survivina (BIRC5) y proteína del tumor de Wilm (WT1). Las células se expanden en medio que contiene las citoquinas recombinantes interleukina 6 (IL-6), 7 (IL-7), 12 (IL-12) y 15 (IL-15). Las células consisten en una mezcla de linfocitos T CD4+ y CD8+, que incluyen linfocitos T de memoria efectora (CD45RA-CD197-; 30% de media), de memoria central (CD45RA-CD197+; 43% de media), naif (CD45RA+CD197+; 22% de media) y de memoria efectora completamente diferenciados (CD45RA+CD197-; 5% de media).
terapia celular (inmunomodulador, antineoplásico)

zegocractinum

zegocractin

N-[5-(6-chloro-2,2-difluoro-2*H*-1,3-benzodioxol-5-yl)pyrazin-2-yl]-2-fluoro-6-methylbenzamide
immunomodulator

zégocractine

N-[5-(6-chloro-2,2-difluoro-2*H*-1,3-benzodioxol-5-yl)pyrazin-2-yl]-2-fluoro-6-méthylbenzamide
immunomodulateur

zegocractina

N-[5-(6-cloro-2,2-difluoro-2*H*-1,3-benzodioxol-5-il)pirazin-2-il]-2-fluoro-6-metilbenzamida
inmunomodulador

C₁₉H₁₁ClF₃N₃O₃ 1713240-67-5

**zenuzolacum**

zenuzolac

rac-[(5*R*)-3-phenyl-4,5-dihydro-1,2-oxazol-5-yl]acetic acid
anti-inflammatory

zénuzolac

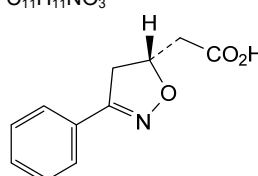
acide *rac*-[(5*R*)-3-phényl-4,5-dihydro-1,2-oxazol-5-yl]acétique
anti-inflammatoire

zenuzolac

ácido *rac*-[(5*R*)-3-fenil-4,5-dihidro-1,2-oxazol-5-il]acético
antiinflamatorio

C₁₁H₁₁NO₃

6501-72-0



and enantiomer
et énantiomère
y enantiómero

zetomipzomibum

zetomipzomib

N-[(morpholin-4-yl)acetyl]-L-alanyl-(β *R*)-*N'*-(*(2S*)-3-(cyclopent-1-en-1-yl)-1-[*(2R*)-2-methyloxiran-2-yl]-1-oxopropan-2-yl}- β -hydroxy-O-methyl-L-tyrosinamide
proteasome inhibitor, immunomodulator

zétomipzomib

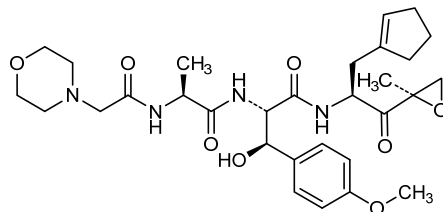
N-[(morpholin-4-yl)acetyl]-L-alanyl-(β *R*)-*N'*-(*(2S*)-3-(cyclopent-1-én-1-yl)-1-[*(2R*)-2-méthylloxiran-2-yl]-1-oxopropan-2-yl}- β -hydroxy-O-méthyl-L-tyrosinamide
inhibiteur du protéasome, immunomodulateur

zetomipzomib

*N-[(morfolin-4-il)acetil]-L-alanil-(βR)-N¹-{(2S)-3-(ciclopent-1-en-1-il)-1-[(2R)-2-metiloxiran-2-il]-1-oxopropan-2-il}- β -hidroxi-O-metil-L-tirosinamida
inhibidor del proteasoma, inmunomodulador*

C30H42N4O8

1629677-75-3

**zevorcabtagenum autoleucelum #**

zevorcabtagene autoleucel

autologous T cells obtained from peripheral blood mononuclear cells by leukapheresis, transduced with a self-inactivating, non-replicating lentiviral vector, encoding a chimeric antigen receptor (CAR) targeting B-cell maturation antigen (BCMA, TNFRSF17, CD269). The expressed transgene comprises the anti-BCMA single-chain variable fragment (scFv), a CD8 α hinge and transmembrane (TM) domain, a 4-1BB costimulatory domain, a CD3 ζ domain and is under control of the elongation factor 1 alpha (EF1 α) promoter. The construct is flanked by 5' and 3' long terminal repeats (LTRs) and also contains a ψ packaging signal, a Rev response element (RRE), a central polypurine tract (cPPT) sequence and the Woodchuck hepatitis virus post-transcriptional regulatory element (WPRE). The T cells are cultured in the presence of growth medium containing IL-2 and activated using anti-CD3 and anti-CD28 antibodies. The cell suspension consists of T cells (>70%), natural killer (NK) cells and low numbers of non-T cells. Greater than 10% of the T cells express the CAR-BCMA transgene. The T cells secrete interferon gamma (IFN- γ) following co-culture with BCMA-expressing cells.
cell-based gene therapy (antineoplastic)

zévorcabtagène autoleucel

lymphocytes T autologues obtenus à partir de cellules mononucléaires de sang périphérique par leucaphérèse, transduits avec un vecteur lentiviral auto-inactif et non répliquant, codant un récepteur antigénique chimérique (CAR) ciblant l'antigène de maturation des cellules B (BCMA, TNFRSF17, CD269). Le transgène exprimé comprend le fragment variable à chaîne unique (scFv) anti-BCMA, un domaine transmembranaire (TM) et charnière CD8 α , un domaine costimulateur 4-1BB, un domaine CD3 ζ et est sous le contrôle du promoteur du facteur d'élongation 1 alpha (EF1 α). La construction est

flanquée de répétitions terminales longues (LTRs) en 5' et 3' et contient également un signal d'encapsulation ψ, un élément de réponse Rev (RRE), une séquence du tractus de polypurine central (cPPT) et l'élément régulateur post-transcriptionnel du virus de l'hépatite de Woodchuck (WPRE).

Les lymphocytes T sont cultivés en présence de milieu de croissance contenant de l'IL-2 et activés à l'aide d'anticorps anti-CD3 et anti-CD28. La suspension cellulaire se compose de lymphocytes T (>70%), de cellules tueuses naturelles (NK) et d'un faible nombre de cellules non T. Plus de 10% des lymphocytes T expriment le transgène CAR-BCMA. Les lymphocytes T sécrètent de l'interféron gamma (IFN-γ) après co-culture avec des cellules exprimant le BCMA.

thérapie génique à base de cellules (antineoplastique)

zevercabtagén autoleucel

linfocitos T autólogos obtenidos a partir de células mononucleares de sangre periférica mediante leucaféresis, transducidos con un vector lentiviral auto inactivante, no replicativo, que codifica para un receptor de antígenos quimérico (CAR) dirigido al antígeno de maduración de linfocitos B (BCMA, TNFRSF17, CD269). El transgen expresado contiene el fragmento de cadena variable sencilla (scFv) anti-BCMA, un dominio bisagra y transmembrana de CD8α, un dominio coestimulador de 4-1BB, un dominio de CD3ζ y está bajo el control del promotor del factor de elongación 1 alfa (EF1α). El constructo está flanqueado por repeticiones terminales largas (LTRs) en 5' y 3' y también contiene una señal de empaquetamiento ψ, un elemento de respuesta Rev (RRE), un trácto de poli-purina central (cPPT) y un elemento regulador post-transcripcional del virus de la hepatitis de la marmota (WPRE). Los linfocitos T se cultivan en presencia de medio de crecimiento que contiene IL-2 y se activan usando anticuerpos anti-CD3 y anti-CD28. La suspensión celular consiste en linfocitos T (>70%), células natural killer (NK) y bajas cantidades de células no-T. Más del 10% de los linfocitos T expresan el transgen CAR-BCMA. Los linfocitos T secretan interferón gamma (IFN-γ) tras co-cultivo con células que expresan BCMA.

terapia génica basada en células (antineoplásico)

zifanocyclinum

zifanocycline

(4S,4aS,5aR,12aS)-9-[(3-azabicyclo[3.1.0]hexan-3-yl)methyl]-4,7-bis(dimethylamino)-3,10,12,12a-tetrahydroxy-1,11-dioxo-1,4,4a,5,5a,6,11,12a-octahydrotetracene-2-carboxamide

tetracycline antibiotic

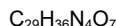
zifanocycline

(4S,4aS,5aR,12aS)-9-[(3-azabicyclo[3.1.0]hexan-3-yl)méthyl]-4,7-bis(diméthylamino)-3,10,12,12a-tétrahydroxy-1,11-dioxo-1,4,4a,5,5a,6,11,12a-octahydrotétracène-2-carboxamide

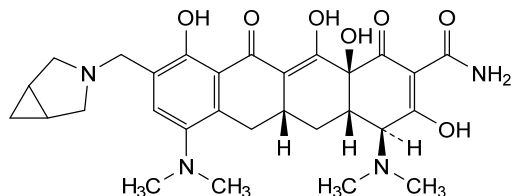
antibiotique de la famille des tétracyclines

zifanociclina

(4S,4aS,5aR,12aS)-9-[(3-azabiclo[3.1.0]hexan-3-il)metyl]-4,7-bis(dimetilamino)-3,10,12,12a-tetrahidroxi-1,11-dioxo-1,4,4a,5,5a,6,11,12a-octahidrotetraceno-2-carboxamida
antibiótico del grupo de las tetraciclinas



1420294-56-9



ziftomenibum

ziftomenib

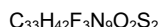
(7S)-8⁴-(methanesulfonyl)-5⁴,7-dimethyl-1²-(methylamino)-1⁶-(2,2,2-trifluoroethyl)-2-aza-1(4)-thieno[2,3-*d*]pyrimidina-5(5,1)-indola-8(1)-piperazina-3(4,1)-piperidinaoctaphane-5²-carbonitrile
antineoplásico

ziftoménib

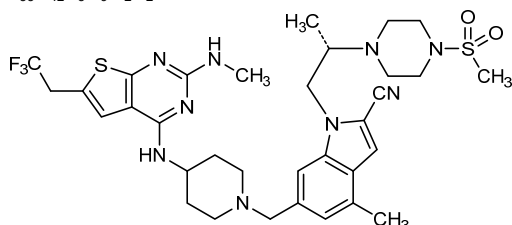
(7S)-8⁴-(méthanesulfonyl)-5⁴,7-diméthyl-1²-(méthylamino)-1⁶-(2,2,2-trifluoroéthyl)-2-aza-1(4)-thiéno[2,3-*d*]pyrimidina-5(5,1)-indola-8(1)-pipérazina-3(4,1)-pipéridinaoctaphane-5²-carbonitrile
antineoplastique

ziftomenib

(7S)-8⁴-(metanosulfonil)-5⁴,7-dimetil-1²-(metilamino)-1⁶-(2,2,2-trifluoroetil)-2-aza-1(4)-tieno[2,3-*d*]pirimidina-5(5,1)-indola-8(1)-piperazina-3(4,1)-piperidinaoctafano-5²-carbonitrilo
antineoplásico



2134675-36-6



zimlovisertibum

zimlovisertib

1-{[(2S,3S,4S)-3-ethyl-4-fluoro-5-oxopyrrolidin-2-yl]methoxy}-7-methoxyisoquinoline-6-carboxamide
serine/ threonine kinase inhibitor

zimlovisertib

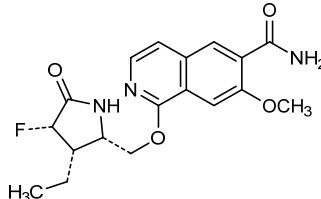
1-{[(2S,3S,4S)-3-éthyl-4-fluoro-5-oxopyrrolidin-2-yl]méthoxy}-7-méthoxyisoquinoléine-6-carboxamide
inhibiteur de sérine/ thréonine kinase

zimlovisertib

1-{[(2S,3S,4S)-3-etyl-4-fluoro-5-oxopirrolidin-2-il]metoxi}-
7-metoxiisoquinoleína-6-carboxamida
inhibidor de serina/ treonina kinasa

 $C_{18}H_{20}FN_3O_4$

1817626-54-2

**zinpentraxinum alfa #**

zinpentraxin alfa

human serum amyloid P component (SAP, pentraxin-2),
non-covalent cyclic homopentamer, produced in Chinese
hamster ovary (CHO) cells, glycoform alfa;
serum amyloid P component (APCS, SAP, pentraxin 2,
pentaxin 2, PTX2, 9.5S α -1 glycoprotein), non-covalent
cyclic homopentamer, human, produced in Chinese
hamster ovary (CHO) cells, glycoform alfa
serum amyloid P-component (SAP), antifibrotic

zinpentraxine alfa

composant P de l'amyloïde sérique humaine (SAP,
pentraxine-2), homopentamère cyclique non covalent,
produit dans des cellules ovaries de hamster chinois
(CHO), glicoforme alfa;
composant P de l'amyloïde sérique (APCS, SAP,
pentraxine 2, pentaxine 2, PTX2, glycoprotéine 9.5S α -1),
homopentamère cyclique non covalent, humain, produit
dans des cellules ovaries de hamster chinois (CHO),
glycoforme alfa
composant amyloïde P sérique (SAP), antifibrotique

zinpentraxina alfa

componente amiloide sérico P (SAP, pentraxina 2)
homopentámero cíclico no covalente, producido en
células ováricas de hámster chino (CHO), glicoforma alfa;
componente amiloide sérico P (APCS, SAP, pentraxina
2, pentaxina 2, PTX2, glicoproteína 9.5S α -1),
homopentámero cíclico no covalente, humano, producido
en células ováricas de hámster chino (CHO), glicoforma
alfa
componente P amiloide sérico (SAP), antifibrótico

1387453-03-3

Sequence / Séquence / Secuencia

HTDLSGKVVF FPRESVTDHV NLITPLEKPL QNFTLCFRAY SDLSRAYSLF	50
SYNTQGRDNNE LLVYKERVGE YSLYIGRIHKV TSKVIEKFPA PVHICVSWE	100
SSGIAEFWIN GTPLVKGCLR QGYFVEAQPK IVLQEQEDSY GGKFDRSQS	150
VGEIGDLYMW DSVLPPENIL SAYQGTPLPKA NILDWQALNY EIRGYVIKPL	200
LVWW	204

Supramolecular structure / Structure supramoléculaire / Estructura supramolecular
non-covalent cyclic pentamer / pentamère cyclique non covalent / pentámero cíclico no covalente

Post-translational modifications

Disulfide bridges location / Position des ponts disulfure / Posiciones de los puentes disulfuro
36-95, 36'-95', 36"-95", 36'''-95'''

Glycosylation sites / Sites de glycosylation / Posiciones de glicosilación
N32, N32', N32'', N32'''

zorevunersenum	<i>all-P-ambo-2'-O-(2-methoxyethyl)-P-thioadenyllyl-(3'→5')-2'-O-(2-methoxyethyl)-P-thioguananyl-(3'→5')-2'-O-(2-methoxyethyl)-5-methyl-P-thiouridyl-(3'→5')-2'-O-(2-methoxyethyl)-P-thioguananyl-(3'→5')-2'-O-(2-methoxyethyl)-P-thioadenyllyl-(3'→5')-2'-O-(2-methoxyethyl)-P-thioguananyl-(3'→5')-2'-O-(2-methoxyethyl)-5-methyl-P-thiouridyl-(3'→5')-2'-O-(2-methoxyethyl)-P-thioguananyl-(3'→5')-2'-O-(2-methoxyethyl)-P-thioadenyllyl-(3'→5')-2'-O-(2-methoxyethyl)-P-thioguananyl-(3'→5')-2'-O-(2-methoxyethyl)-5-methyl-P-thiouridyl-(3'→5')-2'-O-(2-methoxyethyl)-P-thioguananyl-(3'→5')-2'-O-(2-methoxyethyl)-5-methyl-P-thiouridyl-(3'→5')-2'-O-(2-methoxyethyl)-P-thioguananyl-(3'→5')-2'-O-(2-methoxyethyl)-5-methyl-P-thiouridyl-(3'→5')-2'-O-(2-methoxyethyl)-P-thioguananyl-(3'→5')-2'-O-(2-methoxyethyl)-5-methyl-P-thiouridyl-(3'→5')-2'-O-(2-methoxyethyl)-P-thioguananyl-(3'→5')-2'-O-(2-methoxyethyl)-5-methylcytidine</i> <i>sodium channel protein type 1 subunit alpha (SCN1A) synthesis reducer</i>
zorévunersen	<i>tout-P-ambo-2'-O-(2-méthoxyéthyl)-P-thioadénylyl-(3'→5')-2'-O-(2-méthoxyéthyl)-P-thioguanyllyl-(3'→5')-2'-O-(2-méthoxyéthyl)-5-méthyl-P-thiouridyl-(3'→5')-2'-O-(2-méthoxyéthyl)-P-thioguanyllyl-(3'→5')-2'-O-(2-méthoxyéthyl)-P-thioadénylyl-(3'→5')-2'-O-(2-méthoxyéthyl)-P-thioguanyllyl-(3'→5')-2'-O-(2-méthoxyéthyl)-5-méthyl-P-thiocytidyl-(3'→5')-2'-O-(2-méthoxyéthyl)-P-thioguanyllyl-(3'→5')-2'-O-(2-méthoxyéthyl)-P-thioadénylyl-(3'→5')-2'-O-(2-méthoxyéthyl)-P-thioguanyllyl-(3'→5')-2'-O-(2-méthoxyéthyl)-5-méthyl-P-thiouridyl-(3'→5')-2'-O-(2-méthoxyéthyl)-P-thioguanyllyl-(3'→5')-2'-O-(2-méthoxyéthyl)-5-méthyl-P-thiouridyl-(3'→5')-2'-O-(2-méthoxyéthyl)-P-thioguanyllyl-(3'→5')-2'-O-(2-méthoxyéthyl)-5-méthyl-P-thiouridyl-(3'→5')-2'-O-(2-méthoxyéthyl)-P-thioguanyllyl-(3'→5')-2'-O-(2-méthoxyéthyl)-5-méthyl-P-thiouridyl-(3'→5')-2'-O-(2-méthoxyéthyl)-P-thioguanyllyl-(3'→5')-2'-O-(2-méthoxyéthyl)-5-méthylcytidine</i> <i>réducteur de la synthèse de la sous-unité alpha du canal sodique de type 1 (SCN1A)</i>
zorevunersén	<i>todo-P-ambo-2'-O-(2-metoxietil)-P-tioadenilil-(3'→5')-2'-O-(2-metoxietil)-P-tiouridilil-(3'→5')-5-metil-2'-O-(2-metoxietil)-P-tioguanilil-(3'→5')-5-metil-2'-O-(2-metoxietil)-P-tiouridilil-(3'→5')-2'-O-(2-metoxietil)-P-tioguanilil-(3'→5')-2'-O-(2-metoxietil)-P-tiouridilil-(3'→5')-2'-O-(2-metoxietil)-P-tioguanilil-(3'→5')-2'-O-(2-metoxietil)-P-tiadenilil-(3'→5')-5-metil-2'-O-(2-metoxietil)-P-tiociotidilil-(3'→5')-2'-O-(2-metoxietil)-P-tiadenilil-(3'→5')-2'-O-(2-metoxietil)-P-tioguanilil-(3'→5')-2'-O-(2-metoxietil)-P-tiadenilil-(3'→5')-5-metil-2'-O-(2-metoxietil)-P-tiouridilil-(3'→5')-5-metil-2'-O-(2-metoxietil)-P-tioguanilil-(3'→5')-2'-O-(2-metoxietil)-P-tiadenilil-(3'→5')-5-metil-2'-O-(2-metoxietil)-P-tiouridilil-(3'→5')-2'-O-(2-metoxietil)-P-tiadenilil-(3'→5')-5-metil-2'-O-(2-metoxietil)-P-tioguanilil-(3'→5')-2'-O-(2-metoxietil)-5-metil-2'-O-(2-metoxietil)citidina</i> <i>reductor de la síntesis de la subunidad alfa de la proteína del canale de sodio tipo 1 (SCN1A)</i>

$$\text{C}_{234}\text{H}_{334}\text{N}_{71}\text{O}_{124}\text{P}_{17}\text{S}_{17}$$

2415330-04-8

$$(3', 5')\text{A}-\text{C}-\text{U}-\text{U}-\text{C}-\text{C}-\text{A}-\text{C}-\text{C}-\text{A}-\text{A}-\text{G}-\text{A}-\text{U}-\text{U}-\text{A}-\text{U}-\text{G}$$

Legend:

Legend:

C & H: 2'-O-(methoxyethyl)nucleotide



zunsemetinibum

zunsemetinib

($-$)(1*P*)-3-chloro-4-[(3,5-difluoropyridin-2-yl)methoxy]-2'-[2-(2-hydroxypropan-2-yl)pyrimidin-4-yl]-5',6-dimethyl-2*H*-[1,4'-bipyridin]-2-one
tyrosine kinase inhibitor

zunsémétinib

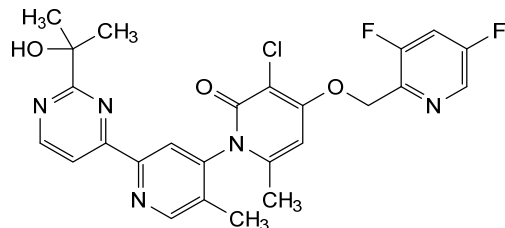
($-$)(1*P*)-3-chloro-4-[(3,5-difluoropyridin-2-yl)méthoxy]-2'-[2-(2-hydroxypropan-2-yl)pyrimidin-4-yl]-5',6-diméthyl-2*H*-[1,4'-bipyridin]-2-one
inhibiteur de tyrosine kinase

zunsemetinib

($-$)(1*P*)-3-cloro-4-[(3,5-difluoropiridin-2-il)metoxi]-2'-[2-(2-hidroxipropan-2-il)pirimidin-4-il]-5',6-dimetil-2*H*-[1,4'-bipiridin]-2-ona
inhibidor de tirosina kinasa



1640282-42-3



Proposed International Nonproprietary Names: List 125 – COVID-19 (special edition)

Comments on, or formal objections to, the proposed names may be forwarded by any person to the INN Programme of the World Health Organization within one month of the date of their publication on WHO INN Programme website, i.e., for List 125 – COVID-19 (special edition) of Proposed INN not later than 9 July 2021, exceptionaly for this special edition. Publication date: 09/06/2021

Dénominations communes internationales proposées: Liste 125 - COVID-19 (édition spéciale)

Des observations ou des objections formelles à l'égard des dénominations proposées peuvent être adressées par toute personne au Programme des Dénominations communes internationales de l'Organisation mondiale de la Santé dans un délai d'un mois à compter de la date de leur publication sur le site Internet du Programme des DCI de l'OMS, c'est à dire pour la **Liste 125 - COVID-19 (édition spéciale) de DCI Proposées le 9 juillet 2021 au plus tard**, exceptionnellement pour cette édition spéciale.

Date de publication : 09/06/2021

Denominaciones Comunes Internacionales Propuestas: Lista 125 - COVID-19 (edición especial)

Cualquier persona puede dirigir observaciones u objeciones respecto de las denominaciones propuestas, al Programa de Comunes Internacionales de la Organización Mundial de la Salud, en un plazo de un mes, contados desde la fecha de su publicación en el *sitio web del Programa de las DCI de la OMS*, es decir, para la **Lista 125 - COVID-19 (edición especial) de DCI Propuestas el 9 de julio de 2021 a más tardar**, excepcionalmente para esta edición especial. Fecha de publicación: 09/06/2021

<i>Proposed INN (Latin, English, French, Spanish)</i>	<i>Chemical name or description: Action and use: Molecular formula, Chemical Abstracts Service (CAS) registry number: Graphic formula</i>
<i>DCI Proposée</i>	<i>Nom chimique ou description: Propriétés et indications: Formule brute, Numéro dans le registre du CAS: Formule développée</i>
<i>DCI Propuesta</i>	<i>Nombre químico o descripción: Acción y uso: Fórmula molecular, Número de registro del CAS: Fórmula desarrollada</i>

elasomeranum #

elasomeran

messenger RNA (mRNA), 5'-capped, encoding a full-length, codon-optimised pre-fusion stabilised conformation variant (K986P and V987P) of the SARS-CoV-2 (severe acute respiratory syndrome coronavirus 2; GenBank ID MN908947.3) spike (S) glycoprotein, further optimized by two additional stop codons, flanked by an artificial 5' untranslated region (UTR) and a 3' UTR derived from the human alpha globin gene (HBA1) and terminated by a 3' poly(A) tail; contains *N*¹-methylpseudouridine instead of uridine (*all-U>m1Ψ*).
immunological agent for active immunization (anti-SARS-CoV-2)

élasoméran	ARN messager (ARNm), protégé par une coiffe en 5', codant la séquence entière d'un variant de la glycoprotéine de la spicule (S) du SARS-CoV-2 (coronavirus 2 du syndrome respiratoire aigu sévère ; GenBank ID MN908947.3) à la conformation stabilisée par pré-fusion (K986P et V987P) et aux codons optimisés, optimisation renforcée par l'ajout de deux codons stop, flanqué de régions artificielles non traduites (UTR) en 5' et 3' dérivées du gène de l'alpha-globine humaine (HBA1) et terminé par une queue poly(A) en 3'; contient de la <i>N</i> ¹ -méthylpseudouridine au lieu de l'uridine (<i>tout-U>m</i> ¹ Ψ). <i>agent immunologique pour immunisation active (anti-SARS-CoV-2)</i>
elasomerán	ARN mensajero (ARNm), protegido en 5', que codifica para una variante estabilizada en conformación pre-fusión (K986P and V987P) de la glicoproteína de la espícula (S) del SARS-CoV-2 (coronavirus 2 del síndrome respiratorio agudo severo; GenBank ID MN908947.3) completa, con codones optimizados, con dos codones de terminación adicionales, flanqueado por una región 5' no traducida (UTR) artificial y una UTR en 3' derivada del gen de la globina alfa humana (HBA1) y terminado por una cola poly(A) en 3'; contiene <i>N</i> ¹ -metilpseudouridina en lugar de uridina (<i>all-U>m</i> ¹ Ψ). <i>agente inmunológico para inmunización activa (anti-SARS-CoV-2)</i>

2430046-03-8

Electronic structure available on Mednet INN services: <https://extranet.who.int/soinn>
 # Structure électronique disponible sur les services Mednet DCI: <https://extranet.who.int/soinn>
 # Estructura electrónica disponible en los servicios Mednet DCI : <https://extranet.who.int/soinn>

AMENDMENTS TO PREVIOUS LISTS
MODIFICATIONS APPORTÉES AUX LISTES ANTÉRIEURES
MODIFICACIONES A LAS LISTAS ANTERIORES

Proposed International Nonproprietary Names (Prop. INN): List 4**Dénominations communes internationales proposées (DCI Prop.): Liste 4****Denominaciones Comunes Internacionales Propuestas (DCI Prop.): Lista 4****(*Chronicle of the World Health organization, Vol. 10, No. 1, January 1956*)****p.29 androstanolonom**

androstanolone	<i>replace the chemical name by the following one</i>
androstanolone	<i>replacer le nom chimique par le suivant</i>
androstanolona	<i>sustitúyase el nombre químico por el siguiente</i>

17 β -hydroxy-5 α -androstan-3-one17 β -hydroxy-5 α -androstan-3-one17 β -hidroxi-5 α -androstan-3-ona**Proposed International Nonproprietary Names (Prop. INN): List 11****Dénominations communes internationales proposées (DCI Prop.): Liste 11****Denominaciones Comunes Internacionales Propuestas (DCI Prop.): Lista 11****(*WHO Chronicle, Vol. 15, No. 8, August 1961*)****p.316 oxymetholonom**

oxymetholone	<i>replace the chemical name by the following one</i>
oxymétholone	<i>replacer le nom chimique par le suivant</i>
oximetolona	<i>sustitúyase el nombre químico por el siguiente</i>

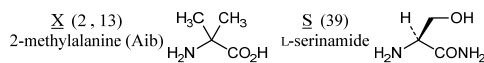
17 β -hydroxy-2-(hydroxymethylene)-17 α -methyl-5 α -androstan-3-one17 β -hydroxy-2-(hydroxyméthylène)-17 α -méthyl-5 α -androstan-3-one17 β -hidroxi-2-(hidroximetileno)-17 α -metil-5 α -androstan-3-ona**Proposed International Nonproprietary Names (Prop. INN): List 119****Dénominations communes internationales proposées (DCI Prop.): Liste 119****Denominaciones Comunes Internacionales Propuestas (DCI Prop.): Lista 119****(*WHO Drug Information, Vol. 32, No. 2, 2018*)****p.371 tirzepatidum**

tirzepatide	<i>replace the structure by the following one</i>
tirzépatide	<i>remplacer la structure par la suivante</i>
tirzepatida	<i>sustitúyase la estructura por la siguiente</i>

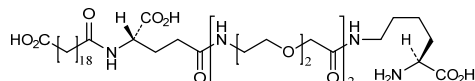
Sequence / Séquence / Secuencia

YXE~~G~~TFTSDY S~~I~~XLDKIAQK AFVQWLIAGG PSSGAPPPS 39

Modified residues / Résidus modifiés / Restos modificados



K (20): N⁶-{N-(hydrogen icosanedioyl)-
 γ -Glu-bis[iminobis(ethylenoxy)acetyl]-}Lysine



Proposed International Nonproprietary Names (Prop. INN): List 121**Dénominations communes internationales proposées (DCI Prop.): Liste 121****Denominaciones Comunes Internacionales Propuestas (DCI Prop.): Lista 121****(WHO Drug Information, Vol. 33, No. 2, 2019)****p.253 betibeglogenum autotemcelum #**betibeglogene autotemcel *replace the description by the following one*bétibéglogène autotemcel *remplacer la description par la suivante*betibeglogén autotemcel *sustitúyase la descripción por la siguiente*

autologous CD34+ hematopoietic stem cells **obtained from mobilised peripheral blood of patients with beta-thalassemia**, transduced *ex vivo* with *betibeglogene darolentivec* (116)(78), a self-inactivating human immunodeficiency virus-1 (HIV-1)-derived lentiviral vector encoding a T87Q-mutated form of the human hemoglobin subunit beta (HBB, beta-globin) gene under the control of a human β-globin promoter and a 3' β-globin enhancer.

cellules souches hématopoïétiques CD34+ autologues **obtenues à partir de sang périphérique mobilisé de patients atteints de bêta-thalassémie**, transduites *ex vivo* avec le *bétibéglogène darolentivec* (116)(78), vecteur lentiviral auto-inactivant dérivé du virus de l'immunodéficience humaine-1 (HIV-1) codant pour une forme mutée (T87Q) du gène de la sous-unité bêta de l'hémoglobine humaine (HBB, bêta-globine) sous le contrôle d'un promoteur de la β-globine humaine et un activateur de la bêta-globine en position 3'.

células madre hematopoyéticas CD34+ autólogas **obtenidas a partir de sangre periférica mobilizada de pacientes con betatalasemia**, transducidas *ex vivo* con *betibeglogén darolentivec* (116)(78), un vector lentiviral, auto-inactivante, derivado del virus de la inmunodeficiencia humana-1 (VIH-1) que codifica para una forma mutada T87Q del gen de la subunidad beta de la hemoglobina humana (HBB, beta-globina) bajo el control del promotor de la beta-globina humana y un potenciador de la beta-globina localizado en posición 3'.

p. 352 veverimerum**-353 veverimer**

vévérimère

verérímero

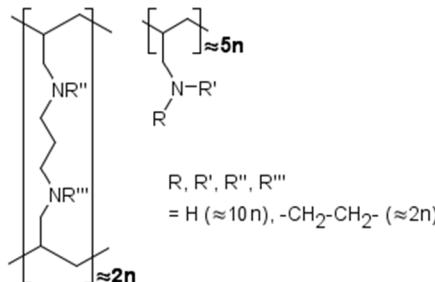
*replace the chemical name and the structure by the following ones**remplacer le nom chimique et la structure par les suivants**sustitúyase el nombre químico y la estructura por los**siguentes*

poly[N¹,N³-di(prop-2-en-1-yl)propane-1,3-diamine]-co-prop-2-en-1-amine], crosslinked with N,N'-ethane-1,2-diyl bridges (molar ratio ≈ 2:5:2)

poly[N¹,N³-di(prop-2-én-1-yl)propane-1,3-diamine]-co-prop-2-én-1-amine], réticulé avec des ponts N,N'-éthane-1,2-diyle (rapport molaire ≈ 2:5:2)

poli[N¹,N³-di(prop-2-en-1-il)propano-1,3-diamina]-co-prop-2-en-1-amina], reticulada con puentes N,N'-etano-1,2-diilo (cociente molar ≈ 2:5:2)

$[(C_9H_{18}N_2)\approx_2 (C_3H_7N)\approx_5 (C_2H_2)\approx_2]_n$

p.371 **zagotenemabum #**

zagotenemab
zagoténémab
zagotenemab

replace the structure by the following one
remplacer la structure par la suivante
sustitúyase la estructura por la siguiente

Heavy chain / Chaîne lourde / Cadena pesada

EVQLVQSGAE VKKPGESLKI SCKGSGTFS NYWIEWVRQM PGKGLEMNGE 50
 ILPGSDSIRY EKNFKGGVITI SADKSISTAY LQNSSLKAED TAMYCARG 100
 NVYDDNGQQT LVTVSSASTK GPSVFEPLACP SRSTSESTAA LGCLVKDYFF 150
 EFVTWSNNSG ALTSQVHTPP AVLQSSGLYS LSSVUTVFESS SLGKTYTCN 200
 VDHKPSNTKV DKRVESKYGP PCPFCPAPEA AGGPSVFLFP PKPKITLMIS 250
 RTPEVTCVVV DVSQEDPEVQ FNWYDGVEV HNAKTKPREE QFNSTYRVVS 300
 VLTVLHQDWL NGKEYKCKVS NKGLPSSIEK TISKAKQOPR EPQVVTLPSS 350
 QEEMTRNQVS LTCLVKCFXP SDIAVENEWSN QGPENNYKTT PPVLDSDGSF 400
 FLYSLRLTVDK SWRQEGRHVS CSWMEHALHN HYTQKSLSLS LG 442

Light chain / Chaîne légère / Cadena ligera

EIVLTQSPGT LSLSFGERAT LSCRSSQSLV HSNQNTYLHW YQQPKQQAPR 50
 LLIIVKVNRF SGIPDRFSGS GSGTDFLITI SRLEPEDFAV YICSSQTLVP 100
 LTFGGGTKEV IKRTVAAPSV FIFPPSDEQL KSGTASVUCL LNNTFTREAK 150
 VQWKVNTALQ SGNSQSESVTE QDSKDDSTYL SSTLTLSKAD YEKHKVYACE 200
 VTHQQLSSEFV TKSFNRSRGE 219

Post-translational modifications

Disulfide bridges location / Position des ponts disulfure / Posiciones de los puentes disulfuro
 Intra-H (C23-C104) 22-96 143-199 257-317 363-421
 22°-96° 143°-199° 257°-317° 363°-421°
 Intra-L (C23-C104) 23°-93° 139°-199°
 23°-93° 139°-199°
 Inter-H-L (CH1 10-CL 126) 130-219° 130°-219°
 Inter-H-H (h 8, h 11) 222-222° 225-225°

N-glycosylation sites / Sites de N-glycosylation / Posiciones de N-glicosilación

H CH2 N84:4;

293, 293°

Fucosylated complex bi-antennary CHO-type glycans / glycanes de type CHO bi-antennaires complexes fucosylés / glicanos de tipo CHO biantenarios complejos fucosilados

Proposed International Nonproprietary Names (Prop. INN): List 123**Dénominations communes internationales proposées (DCI Prop.): Liste 123****Denominaciones Comunes Internacionales Propuestas (DCI Prop.): Lista 123****(WHO Drug Information, Vol. 34, No. 2, 2020)**

p.368

-369

delete/supprimer/suprimáse

pavunalimabum #

pavunalimab

pavunalimab

pavunalimab

insert/insérer/insertese

bavunalimabum #

bavunalimab

bavunalimab

bavunalimab

p.371 **radgocitabinum**

radgocitabine

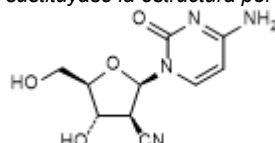
radgocitabine

radgocitabina

replace the structure by the following one

remplacer la structure par la suivante

sustitúyase la estructura por la siguiente



p.416 **zanidatamabum zovodotinum #**

-419 zanidatamab zovodotin *replace the description and the structure by the following ones*

zanidatamab zovodotine *remplacer la description et la structure par les suivantes*
 zanidatamab zovodotina *sustitúyase la descripción y la estructura por las siguientes*

immunoglobulin half-IG G1-kappa/scFv-h-CH2-CH3, anti-[*Homo sapiens* ERBB2 (epidermal growth factor receptor 2, receptor tyrosine protein kinase erbB-2, EGFR2, HER2, HER-2, p185c-erbB2, NEU, CD340)], humanized monoclonal antibody, biparatopic (targeting two different non-overlapping epitopes on ERBB2, on extracellular domains 2 (ECD2) and 4 (ECD4) respectively), conjugated to a **derivative of auristatin E**; gamma1 heavy chain, anti-ERBB2 extracellular domain 2 (ECD2), humanized (1-449) [VH humanized (*Homo sapiens* IGHV3-66*01 (78.8%) -(IGHD)-IGHJ4*01 (100%)) CDR-IMGT [8.8.12] (27-34.52-59.98-109) (1-120) -*Homo sapiens* IGHG1*01 G1m17,1 (CH1 K120 (217) (121-218), hinge 1-15 (219-233), CH2 (234-343), CH3 T6>V (353), L7>Y (354), D12 (359), L14 (361), F85.1>A (408), Y86>V (410) (344-448), CHS K2>del (449)) (121-449)], (223-215')-disulfide with kappa light chain, anti-ERBB2 ECD2, humanized (1'-215') [V-KAPPA humanized (*Homo sapiens* IGKV1-16*01 (84.2%)-IGKJ1*01 (100%)) CDR-IMGT [6.3.9] (28-33.51-53.90-98) (1'-108') -*Homo sapiens* IGKC*01 (100%) Km3 A45.1 (154), V101 (192) (109'-215')];
 Ig scFv-h-CH2-CH3 single chain, anti-ERBB2 extracellular domain 4 (ECD4), humanized (1"-481") [scFv V-kappa-VH anti-ERBB2 ECD4 (1"-248') [V-KAPPA humanized (*Homo sapiens* IGKV1-39*01 (86.3%)-IGKJ1*01 (100%)) CDR-IMGT [6.3.9] (28-33.51-53.90-98) (1"-108") -20-mer pentakis(diglycyl-seryl-glycyl) linker (109"-128") - VH humanized (*Homo sapiens* IGHV3-66*01 (81.6%) -(IGHD)-IGHJ4*01 (100%)) CDR-IMGT [8.8.13] (154-161.179-186.225-237) (129"-248")] -dialanyl linker (249"-250") -*Homo sapiens* IGHG1*01 h-CH2-CH3, G1m1 (251"-481") [hinge 1-15, C5>S (255) (251-265), CH2 (266-375), CH3 T6>V (385), D12 (391), L14 (393), T22>L (401), K79>L (427), T81>W (429) (376-480), CHS K2>del (481)]; dimer (229-261":232-264")-bisdisulfide, produced in Chinese hamster ovary (CHO) cells, glycoform alfa, **conjugated, on an average of 2 to 3 cysteinyl, to an auristatin E derivative, via a cleavable 1-maleimido-3,6,9-trioxadodecan-12-oyl-valyl-citrullyl-p-aminobenzenesulfonyl linker**

immunoglobuline G1-kappa, anti-[*Homo sapiens* ERBB2 (récepteur 2 du facteur de croissance épidermique, récepteur tyrosine-protéine kinase erbB-2, EGFR2, HER2, HER-2, p185c-erbB2, NEU, CD340)], anticorps monoclonal humanisé, biparatopique (ciblant deux épitopes différents non chevauchants sur ERBB2, respectivement sur les domaines extracellulaires 2 (ECD2) et 4 (ECD4)), conjugué à un **dérivé de l'auristatine E**, chaîne lourde gamma1 anti-ERBB2 domaine extracellulaire 2 (ECD2), humanisée (1-449) [VH humanisé (*Homo sapiens* IGHV3-66*01 (78.8%) -(IGHD)-IGHJ4*01 (100%)) CDR-IMGT [8.8.12] (27-34.52-59.98-109) (1-120) -*Homo sapiens* IGHG1*01 G1m17,1 (CH1 K120 (217) (121-218), charnière 1-15 (219-233), CH2 (234-343), CH3 T6>V (353), L7>Y (354), D12 (359), L14 (361), F85.1>A (408), Y86>V (410) (344-448), CHS K2>del (449)) (121-449)], (223-215')-disulfure avec la chaîne légère kappa, anti ERBB2 ECD2,

humanisée (1'-215') [V-KAPPA humanisé (*Homo sapiens* IGKV1-16*01 (84.2%) -IGKJ1*01 (100%)) CDR-IMGT [6.3.9] (28-33.51-53.90-98) (1'-108') -*Homo sapiens* IGKC*01 (100%) Km3 A45.1 (154), V101 (192) (109'-215')];

IG scFv-h-CH2-CH3 chaîne unique, anti-ERBB2 domaine extracellulaire 4 (ECD4), humanisée (1"-481") [scFv V-kappa-VH anti-ERBB2 ECD4 (1'-248') [V-KAPPA humanisé (*Homo sapiens* IGKV1-39*01 (86.3%) - IGKJ1*01 (100%)) CDR-IMGT [6.3.9] (28-33.51-53.90-98) (1'-108') -20-mer pentakis(diglycyl-seryl-glycyl) linker (109"- 128") -VH humanisé (*Homo sapiens* IGHV3-66*01 (81.6%) -(IGHD) -IGHJ4*01 (100%)) CDR-IMGT [8.8.13] (154-161.179-186.225-237) (129"-248")] -dialanyl linker (249"-250") -*Homo sapiens* IGHG1*01 h-CH2-CH3, G1m1 (251"-481") [charnière 1-15 C5>S (255) (251- 265), CH2 (266-375), CH3 T6>V (385), D12 (391), L14 (393), T22>L (401), K79>L (427), T81>W (429) (376-480), CHS K2>del (481)];

dimère (229-261":232- 264")-bisdisulfure, produit dans des cellules ovariennes de hamster chinois (CHO), glicoformé alfa; conjugué, sur 2 à 3 cystéinyl en moyenne, à un dérivé de l'auristatine E, via un linker clivable **1-maléimido-3,6,9-trioxadodécane-12-oyl-valyl-citrullyl-p-aminobenzènesulfonyle**.

inmunoglobulina G1-kappa, anti-[*Homo sapiens* ERBB2 (receptor 2 del factor de crecimiento epidérmico, receptor tirosina-proteína kinasa erbB-2, EGFR2, HER2, HER-2, p185c-erbB2, NEU, CD340)], anticuerpo monoclonal humanizado, biparatópico (dirigiendo dos epítopos diferentes no superpuestos sobre ERBB2, respectivamente sobre los dominios extracelulares 2 (ECD2) y 4 (ECD4)), conjugado con un derivado de auristatina E;

cadena pesada gamma1 anti-ERBB2 dominio extracelular 2 (ECD2), humanizada (1-449) [VH humanizado (*Homo sapiens* IGHV3-66*01 (78.8%) -(IGHD) -IGHJ4*01 (100%)) CDR-IMGT [8.8.12] (27-34.52-59.98-109) (1-120) -*Homo sapiens* IGHG1*01 G1m17.1 (CH1 K120 (217) (121-218), bisagra 1-15 (219-233), CH2 (234- 343), CH3 T6>V (353), L7>Y (354), D12 (359), L14 (361), F85.1>A (408), Y86>V (410) (344-448), CHS K2>del (449)) (121-449)], (223-215')-disulfuro con la cadena ligera kappa, anti-ERBB2 ECD2, humanizada (1"-215') [V-KAPPA humanizado (*Homo sapiens* IGKV1-16*01 (84.2%) -IGKJ1*01 (100%)) CDR-IMGT [6.3.9] (28-33.51-53.90-98) (1'-108') -*Homo sapiens* IGKC*01 (100%) Km3 A45.1 (154), V101 (192) (109'-215')];

IG scFv-h-CH2-CH3 cadena única, anti-ERBB2 dominio extracelular 4 (ECD4), humanizada (1"-481") [scFv V-kappa-VH anti-ERBB2 ECD4 (1'-248') [V-KAPPA humanizado (*Homo sapiens* IGKV1-39*01 (86.3%) - IGKJ1*01 (100%)) CDR-IMGT [6.3.9] (28-33.51-53.90-98) (1'-108') -20-mer pentakis(diglicil-seril-glicil) linker (109"- 128") -VH humanizado (*Homo sapiens* IGHV3-66*01 (81.6%) -(IGHD) -IGHJ4*01 (100%)) CDR-IMGT [8.8.13] (154-161.179-186.225-237) (129"-248")] -dialanil linker (249"-250") -*Homo sapiens* IGHG1*01 h-CH2-CH3, G1m1 (251"-481") [bisagra 1-15 C5>S (255) (251- 265), CH2 (266-375), CH3 T6>V (385), D12 (391), L14 (393), T22>L (401), K79>L (427), T81>W (429) (376-480), CHS K2>del (481)];

dímero (229-261":232- 264")-bisdisulfuro, producido en las células ováricas de hámster chino (CHO), forma glicosilada alfa; conjugado, sobre 2 a 3 restos cisteínilo en término medio, con un derivado de auristatina E, mediante un conector escindible **1-maleimido-3,6,9-trioxadodecan-12-oil-valyl-citrullil-p-aminobencenesulfonilo**.

1. Heavy chain / Chaîne lourde / Cadena pesada (anti-ERBB2 ECD2)

GEVQLVESGG GLVQPGGSLR LSCAASGFTF ADYTMWVRQ APGKGLEWVG 50
 DVNPNSGGSI YNQRFKGRFT FSVDRSKNTL YLQMNSLRAE DTAVYYCARN 100
 LGPSFYFDWY GQGTILTVTSS ASTKGPSVFP LAPSSKSTSG CTAALGCLVK 150
 DYFPEPVTVS WNSGALTSGV HTFPAVLQSS GLYSLSVVVT VPSSLGTQT 200
 YICNVNHHKPS NTKVDKKVEP KSCDKTHTCP PCPAPELLGG PSVFLFPKP 250
 KDTLMISRTP EVTCVVVDVS HEDPEVKFNW YVDGVEVHNA KTKPREEQYN 300
 STYRVSVLT VLNQDWLNGK EYKCKVSNKA LPAPIEKTIS KAKGQPREPQ 350
 VYYVPPSRDE LTKNQVSLTC LVKGFYPSDI AVEWESNGQP ENNYKTPPV 400
 LDSDGSFALV SKLTVDKSRW QQGNVFSCSV MHEALHNHYT QKSLSLSPG 449

2. Light chain / Chaîne légère / Cadena ligera (anti-ERBB2 ECD2)

GDIQMTQS P SLSASVGDRV TITCRASQDV NTAVAWYQQK PGKAPKLLIY 50
 SASFRYRTGVP SRFSGSGSGT DFTLTISSLQ PEDFATYYCQ QYYIYPATFG 100
 QGTKVEIKRG VAAQSVFIFP PSDEQLKSGT ASVVCLNNF YPREAKVQWK 150
 VDNALQSGNS QESVTEQDSK DSTYSLSSTL TLSKADYEKH KVYACEVTHQ 200
 GLSSPVTKSF NRGEC 215

3. Chain / Chaîne / Cadena: IG scFv-h-CH2-CH3 (anti-ERBB2 ECD4)

GDIQMTQS P SLSASVGDRV TITCRASQDV NTAVAWYQQK PGKAPKLLIY 50
 SASFLYSGVP SRFSGSGSGT DFTLTISSLQ PEDFATYYCQ QHYTTPPTFG 100
 QGTKVEIKGG SGGGGGGGG GGSGGGSGEV QLVESGGGLV QPGGSSLRSLC 150
 AASGFNIKDT YIHWRVQAPG KGLEWVARTY PTNGYTRYAD SVKGRFTISA 200
 DTSKNTAYLQ MNSLRAEDTA VYYCSRWGGD GFYAMDYWGQ GTLTVVSSAA 250
 EPKSSDKTHT CPPCPAPELL GGPSVFLFPP KPKDTLMISR TPEVTCVVVD 300
 VSHEDEPEVKW NWYVDGVEVH NAKTKPREEQ YNSTYRVVSV LTVLHQDWLN 350
 GKEYKCKVSN KALPAPIEKT ISKAKGQPREG PQVYVLPPSR DELTKNQVSL 400
 LCLVKGFYPS DIAVEWESNG QPENNYLTWP PVLDSDGSFF LYSKLTVDKS 450
 RWQQGNVFSC SVMHEALHNH YTQKSLSLSP G 481

Post-translational modifications

Disulfide bridges location / Position des ponts disulfure / Posiciones de los puentes disulfuro

Intra-H (C23-C104) 23-97 147-203 264-324 370-428

Intra-L (C23-C104) 24'-89' 135'-195'

Intra-chain 3 24"-89" 150"-224" 296"-356" 402"-460"

Inter-H-L (h 5-CL 126)* 223-215'

Inter-H-chain 3 (h 11, h 14)* 229-261" 232-264"

*The inter-chain disulfide bridges are partially reduced, an average of 2 to 3 cysteinyl being conjugated each via a thioether bond to a drug linker. * Les ponts disulfure inter-chaines sont partiellement réduits, une moyenne de 2 à 3 cystéinyl étant chacun conjugué via une liaison thioéther à un linker-principe actif.

* Los puentes disulfuro inter-catenarios están parcialmente reducidos, una media de 2 a 3 cisteínilo está conjugada a conectores de principio activo a través de un enlace tióter.

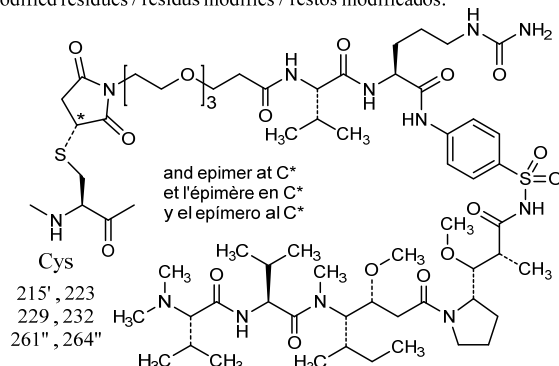
N-glycosylation sites / Sites de N-glycosylation / Posiciones de N-glicosilación

H CH2 N84.4:

300,332"

Fucosylated complex bi-antennary CHO-type glycans / glycanes de type CHO bi-antennaires complexes fucosylés / glicanos de tipo CHO biantenarios complejos fucosilados.

Modified residues / résidus modifiés / restos modificados:



Proposed International Nonproprietary Names (Prop. INN): List 124**Dénominations communes internationales proposées (DCI Prop.): Liste 124****Denominaciones Comunes Internacionales Propuestas (DCI Prop.): Lista 124****(WHO Drug Information, Vol. 34, No. 4, 2020)**

p.253 **sirelretigenum suboparvovecum #**

sirelretigene suboparvovec

replace the description by the following one

sirelrétilgène suboparvovec

remplacer la description par la suivante

sirelretigén suboparvovec

sustitúyase la descripción por la siguiente

A non-replicating self-complementary adeno-associated virus serotype 8 (scAAV8) vector, encoding human cellular retinaldehyde-binding protein 4 (**CRALBP RLBP1**).

A recombinant non-replicating self-complementary adeno-associated virus serotype 8 (scAAV8) vector, encoding human cellular retinaldehyde-binding protein 4 (**CRALBP RLBP1**) under the control of the retinaldehyde-binding protein 1 promoter (pRLBP1) and **terminated with** SV40 poly adenylation (polyA) sequence. The vector genome is a head-to-head, self-complementary dimer, with the vector genome cassette located 5' of the mutated internal inverted terminal repeat (Δ-ITR) in a reverse complementary orientation and 3' of the Δ-ITR in a forward orientation.

Un vecteur du virus adéno-associé de sérotype 8 auto-complémentaire (scAAV8), non-répliquant, codant la protéine 4 cellulaire humaine liée au rétinaldéhyde (**CRALBP RLBP1**).

Un vecteur du virus adéno-associé de sérotype 8 auto-complémentaire (scAAV8) recombinant, non-répliquant codant la protéine 4 cellulaire humaine liée au rétinaldéhyde (**CRALBP RLBP1**) sous le contrôle du promoteur de la protéine 1 liée au rétinaldéhyde (pRLBP1) et **terminé par** la séquence polyadénylée (polyA) SV40. Le génome du vecteur est un dimère en tête à tête, auto-complémentaire, avec la cassette génomique du vecteur localisée en 5' des répétitions terminales inversées mutées (Δ-ITR) en une orientation complémentaire inverse et en 3' de la Δ-ITR en une orientation en avant.

Un vector de virus adeno-asociado serotipo 8 auto complementario (scAAV8), no replicativo, que codifica para la proteína 4 de unión a retinaldehído celular (**CRALBP RLBP1**) humana.

Un vector de virus adeno-asociado serotipo 8 auto complementario (scAAV8) recombinante, no replicativo, que codifica para la proteína de unión a retinaldehído celular 4 (**CRALBP RLBP1**) humana bajo el control del promotor de la proteína de unión a retinaldehído 1 (pRLBP1) y **terminado por** la secuencia de poliadeniilación (polyA) de SV40. El genoma del vector es un dímero cabeza con cabeza auto complementario, con el casete del genoma del vector localizado 5' de la repetición terminal invertida mutada (Δ-ITR) en una orientación complementaria reversa y 3' de (Δ-ITR) en orientación hacia delante.

Names for chemical modifications of INN (substituent groups, counterions, adduct partners, etc.):

Many pharmaceutical substances for which an International Nonproprietary Name (INN) has been established are used as modified derivatives (salts, esters, protein-drug conjugates, solvates, etc.). The chemical modification (including counterions) involved may be of complex nature and it is then inconvenient to use its systematic chemical name. Consequently, shorter nonproprietary names for such modifications have been devised, and these are recommended for creating modified International Nonproprietary Names (INNM).

Dénominations applicables aux modifications chimiques des DCI (groupes substituants, contre-ions, adduits, etc.) :

Certaines substances pour lesquelles une dénomination commune internationale proposée a été établie sont parfois utilisées comme dérivés modifiés (sels, esters, médicaments conjugués à des protéines, produits de solvatation, etc.). Les modifications chimiques (incluant les contre-ions) sont alors quelques fois si complexes qu'il est malcommode de les désigner conformément à la nomenclature chimique systématique. Des dénominations communes abrégées ont donc été formées ou choisies pour certaines d'entre elles et il est suggéré de les employer pour créer les dénominations communes internationales modifiées (DCIM).

Denominaciones aplicables a modificaciones químicas de las DCI (grupos sustituyentes, contraiones, aductos, etc.):

Muchas sustancias farmacéuticas para las cuales hay establecidas una denominación común internacional (DCI) pueden usarse como derivados modificados (sales, ésteres, medicamentos conjugados con proteínas, solvatos, etc.). Las modificaciones químicas (incluidos los contraiones) implicadas pueden ser de naturaleza compleja y por tanto es inapropiado utilizar su nombre químico sistemático. Como consecuencia, se han diseñado denominaciones abreviadas para estas modificaciones y se recomiendan para la creación de Denominaciones Comunes Internacionales modificadas (DCIM).

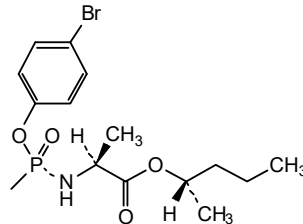
bralpamidum

bralpamide (S)-P-(4-bromophenyl) ester P-[(2S)-1-oxo-1-[(2S)-pentan-2-yloxy]propan-2-yl]amide

bralpamide (S)-ester P-(4-bromophénylique) et P-[(2S)-1-oxo-1-[(2S)-pentan-2-yloxy]propan-2-yl]amide (de)

bralpamida (S)-éster P-(4-bromofenílico) y P-[(2S)-1-oxo-1-[(2S)-pentan-2-il]oxi]propan-2-il]amida (de)

-C₁₄H₂₀BrNO₂



ecteribulinum

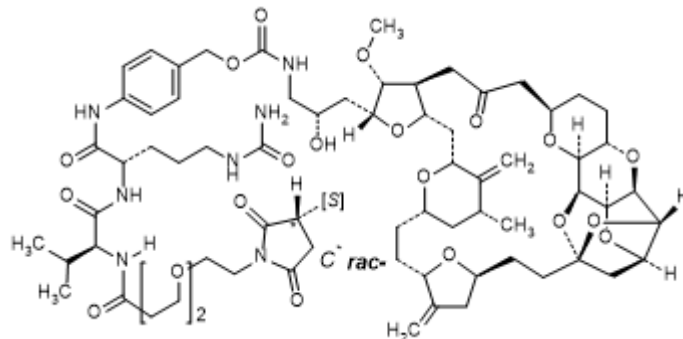
ecteribulin (3RS)-1-[(6S,9S)-1-amino-6-[(4-[[({(2S)-2-hydroxy-3-[({(1^2S,1^3S,1^4R,1^5R,3^2R,-3^4R,3^6S,6^2S,6^5S,9^2S,9^3aR,9^4aR,9^5S,9^5aS,9^7R,9^9aS,9^10aR,9^10bS)-1^4-methoxy-3^4-methyl-3^3,6^3-bis(methylene)-11-oxo-9-decahydro-9^3H-9(2,7)-(2,5-epoxyfuro[2',3':4,5]furo[3,2-b]pyrano[2,3-e]pyran)-3(2,6)-oxana-

1(2,3),6(2,5)-bis(oxolana)cyclododecaphan-1⁵-yl[propyl]carbamoyl)oxy]methyl}phenyl)carbamoyl]-1,8,11-trioxo-9-(propan-2-yl)-14,17-dioxa-2,7,10-triazanonadecan-19-yl]-2,5-dioxopyrrolidin-3-yl

ectéribuline (3RS)-1-[(6S,9S)-1-amino-6-[(4-[[({(2S)-2-hydroxy-3-[(1²S,1³S,1⁴R,1⁵R,3²R,-3⁴R,3⁶S,6²S,6⁵S,9²S,9^{3a}S,9^{4a}R,9⁵S,9^{5a}S,9⁷R,9^{9a}S,9^{10a}S,9^{10b}S)-1⁴-méthoxy-3⁴-méthyl-3³,6³-bis(méthylidène)-11-oxo-9-décahydro-9³H-9(2,7)-(2,5-époxifuro[2',3':4,5]furo[3,2-b]pirano[2,3-e]pirana)-3(2,6)-oxana-1(2,3),6(2,5)-bis(oxolana)cyclododecaphan-1⁵-yl[propyl]carbamoyl)oxy]methyl}phényle)carbamoyl]-1,8,11-trioxo-9-(propan-2-yl)-14,17-dioxa-2,7,10-triazanonadécane-19-yl]-2,5-dioxopyrrolidin-3-yle

ecteribulina (3RS)-1-[(6S,9S)-1-amino-6-[(4-[[({(2S)-2-hidroxi-3-[(1²S,1³S,1⁴R,1⁵R,3²R,-3⁴R,3⁶S,6²S,6⁵S,9²S,9^{3a}S,9^{4a}R,9⁵S,9^{5a}S,9⁷R,9^{9a}S,9^{10a}S,9^{10b}S)-3⁴-metil-3³,6³-bis(metilideno)-1⁴-metoxi-11-oxo-9-decahidro-9³H-9(2,7)-(2,5-époxifuro[2',3':4,5]furo[3,2-b]pirano[2,3-e]pirana)-3(2,6)-oxana-1(2,3),6(2,5)-bis(oxolana)cyclododecaphan-1⁵-il]propil]carbamoi]oxijmetil}fenil]carbamoi]-1,8,11-trioxo-9-(propan-2-il)-14,17-dioxa-2,7,10-triazanonadecan-19-il]-2,5-dioxopirrolidin-3-ilo

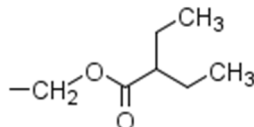
C₇₀H₁₀₀N₇O₂₁ 2130869-18-8 (maleimide reagent)



etzadroxilum

etzadroxil [(2-ethylbutanoyl)oxy]methyl (ester)
étzadroxil [(2-éthylbutanoyl)oxy]méthyle (ester)
etzadroxiol [(2-étilbutanoilo)oxi]metilo (ester)

-C₇H₁₃O₂



guraxetanum

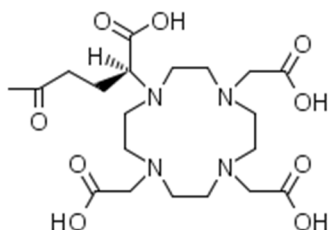
guraxetan (4S)-4-carboxy-4-[4,7,10-tris(carboxymethyl)-1,4,7,10-tetraazacyclododecan-1-yl]butanoyl

guraxétan

(4S)-4-carboxy-4-[4,7,10-tris(carboxyméthyl)-1,4,7,10-tétraazacyclododécan-1-yl]butanoyle

guraxetán

(4S)-4-carboxi-4-[4,7,10-tris(carboximetil)-1,4,7,10-tetraazaciclododecan-1-il]butanoilo

 $-C_{19}H_{31}N_4O_9$ 

ANNEX 1

PROCEDURE FOR THE SELECTION OF RECOMMENDED INTERNATIONAL NONPROPRIETARY NAMES FOR PHARMACEUTICAL SUBSTANCES¹

The following procedure shall be followed by the World Health Organization (hereinafter also referred to as "WHO") in the selection of recommended international nonproprietary names for pharmaceutical substances, in accordance with resolution WHA3.11 of the World Health Assembly, and in the substitution of such names.

Article 1 - Proposals for recommended international nonproprietary names and proposals for substitution of such names shall be submitted to WHO on the form provided therefore. The consideration of such proposals shall be subject to the payment of an administrative fee designed only to cover the corresponding costs of the Secretariat of WHO ("the Secretariat"). The amount of this fee shall be determined by the Secretariat and may, from time to time, be adjusted.

Article 2 - Such proposals shall be submitted by the Secretariat to the members of the Expert Advisory Panel on the International Pharmacopoeia and Pharmaceutical Preparations designated for this purpose, such designated members hereinafter referred to as "the INN Expert Group", for consideration in accordance with the "General principles for guidance in devising International Nonproprietary Names for Pharmaceutical Substances", annexed to this procedure². The name used by the person discovering or first developing and marketing a pharmaceutical substance shall be accepted, unless there are compelling reasons to the contrary.

Article 3 - Subsequent to the examination provided for in article 2, the Secretariat shall give notice that a proposed international nonproprietary name is being considered.

a) Such notice shall be given by publication in *WHO Drug Information*³ and by letter to Member States and to national and regional pharmacopoeia commissions or other bodies designated by Member States.

i) Notice shall also be sent to the person who submitted the proposal ("the original applicant") and other persons known to be concerned with a name under consideration.

b) Such notice shall:

i) set forth the name under consideration;

ii) identify the person who submitted the proposal for naming the substance, if so requested by such person;

iii) identify the substance for which a name is being considered;

iv) set forth the time within which comments and objections will be received and the person and place to whom they should be directed;

v) state the authority under which WHO is acting and refer to these rules of procedure.

c) In forwarding the notice, the Secretariat shall request that Member States take such steps as are necessary to prevent the acquisition of proprietary rights in the proposed name during the period it is under consideration by WHO.

Article 4 - Comments on the proposed name may be forwarded by any person to WHO within four months of the date of publication, under article 3, of the name in *WHO Drug Information*.

¹ See Annex 1 in WHO Technical Report Series, No. 581, 1975. The original text was adopted by the Executive Board in resolution EB15.R7 and amended in resolutions EB43.R9 and EB115.R4.

² See Annex 2.

³ Before 1987, lists of international nonproprietary names were published in the *Chronicle of the World Health Organization*.

Article 5 - A formal objection to a proposed name may be filed by any interested person within four months of the date of publication, under article 3, of the name in WHO Drug Information.

Such objection shall:

- i) identify the person objecting;
- ii) state his or her interest in the name;
- iii) set forth the reasons for his or her objection to the name proposed.

Article 6 - Where there is a formal objection under article 5, WHO may either reconsider the proposed name or use its good offices to attempt to obtain withdrawal of the objection. Without prejudice to the consideration by WHO of a substitute name or names, a name shall not be selected by WHO as a recommended international nonproprietary name while there exists a formal objection thereto filed under article 5 which has not been withdrawn.

Article 7 - Where no objection has been filed under article 5, or all objections previously filed have been withdrawn, the Secretariat shall give notice in accordance with subsection (a) of article 3 that the name has been selected by WHO as a recommended international nonproprietary name.

Article 8 - In forwarding a recommended international nonproprietary name to Member States under article 7, the Secretariat shall:

- a) request that it be recognized as the nonproprietary name for the substance; and
- b) request that Member States take such steps as are necessary to prevent the acquisition of proprietary rights in the name and to prohibit registration of the name as a trademark or trade name.

Article 9

a) In the extraordinary circumstance that a previously recommended international nonproprietary name gives rise to errors in medication, prescription or distribution, or a demonstrable risk thereof, because of similarity with another name in pharmaceutical and/or prescription practices, and it appears that such errors or potential errors cannot readily be resolved through other interventions than a possible substitution of a previously recommended international nonproprietary name, or in the event that a previously recommended international nonproprietary name differs substantially from the nonproprietary name approved in a significant number of Member States, or in other such extraordinary circumstances that justify a substitution of a recommended international nonproprietary name, proposals to that effect may be filed by any interested person. Such proposals shall be submitted on the form provided therefore and shall:

- i) identify the person making the proposal;
- ii) state his or her interest in the proposed substitution; and
- iii) set forth the reasons for the proposal; and
- iv) describe, and provide documentary evidence regarding the other interventions undertaken in an effort to resolve the situation, and the reasons why these other interventions were inadequate.

Such proposals may include a proposal for a new substitute international nonproprietary name, devised in accordance with the General principles, which takes into account the pharmaceutical substance for which the new substitute international nonproprietary name is being proposed.

The Secretariat shall forward a copy of the proposal, for consideration in accordance with the procedure described in subsection (b) below, to the INN Expert Group and the original applicant or its successor (if different from the person bringing the proposal for substitution and provided that the original applicant or its successor is known or can be found through diligent effort, including contacts with industry associations).

In addition, the Secretariat shall request comments on the proposal from:

- i) Member States and national and regional pharmacopoeia commissions or other bodies designated by Member States (by including a notice to that effect in the letter referred to in article 3(a), and
- ii) any other persons known to be concerned by the proposed substitution.

The request for comments shall:

- i) state the recommended international nonproprietary name that is being proposed for substitution (and the proposed substitute name, if provided);
- ii) identify the person who submitted the proposal for substitution (if so requested by such person);
- iii) identify the substance to which the proposed substitution relates and reasons put forward for substitution;
- iv) set forth the time within which comments will be received and the person and place to whom they should be directed; and
- v) state the authority under which WHO is acting and refer to these rules of procedure.

Comments on the proposed substitution may be forwarded by any person to WHO within four months of the date of the request for comments.

b) After the time period for comments referred to above has elapsed, the Secretariat shall forward any comments received to the INN Expert Group, the original applicant or its successor and the person bringing the proposal for substitution. If, after consideration of the proposal for substitution and the comments received, the INN Expert Group, the person bringing the proposal for substitution and the original applicant or its successor all agree that there is a need to substitute the previously recommended international nonproprietary name, the Secretariat shall submit the proposal for substitution to the INN Expert Group for further processing.

Notwithstanding the foregoing, the original applicant or its successor shall not be entitled to withhold agreement to a proposal for substitution in the event the original applicant or its successor has no demonstrable continuing interest in the recommended international nonproprietary name proposed for substitution.

In the event that a proposal for substitution shall be submitted to the INN Expert Group for further processing, the INN Expert Group will select a new international nonproprietary name in accordance with the General principles referred to in article 2 and the procedure set forth in articles 3 to 8 inclusive. The notices to be given by the Secretariat under article 3 and article 7, respectively, including to the original applicant or its successor (if not the same as the person proposing the substitution, and provided that the original applicant or its successor is known or can be found through diligent effort, including contacts with industry associations), shall in such event indicate that the new name is a substitute for a previously recommended international nonproprietary name and that Member States may wish to make transitional arrangements in order to accommodate existing products that use the previously recommended international nonproprietary name on their label in accordance with national legislation.

If, after consideration of the proposal for substitution and the comments received in accordance with the procedure described above, the INN Expert Group, the original applicant or its successor and the person bringing the proposal for substitution do not agree that there are compelling reasons for substitution of a previously recommended international nonproprietary name, this name shall be retained (provided always that the original applicant or its successor shall not be entitled to withhold agreement to a proposal for substitution in the event that the original applicant or its successor has no demonstrable continuing interest in the recommended international nonproprietary name proposed to be substituted). In such an event, the Secretariat shall advise the person having proposed the substitution, as well as the original applicant or its

successor (if not the same as the person proposing the substitution, and provided that the original applicant or its successor is known or can be found through diligent effort, including contacts with industry associations), Member States, national and regional pharmacopoeia commissions, other bodies designated by Member States, and any other persons known to be concerned by the proposed substitution that, despite a proposal for substitution, it has been decided to retain the previously recommended international nonproprietary name (with a description of the reason(s) why the proposal for substitution was not considered sufficiently compelling).

ANNEX 2

GENERAL PRINCIPLES FOR GUIDANCE IN DEVISING INTERNATIONAL NONPROPRIETARY NAMES FOR PHARMACEUTICAL SUBSTANCES¹

1. International Nonproprietary Names (INN) should be distinctive in sound and spelling. They should not be inconveniently long and should not be liable to confusion with names in common use.
2. The INN for a substance belonging to a group of pharmacologically related substances should, where appropriate, show this relationship. Names that are likely to convey to a patient an anatomical, physiological, pathological or therapeutic suggestion should be avoided.

These primary principles are to be implemented by using the following secondary principles:

3. In devising the INN of the first substance in a new pharmacological group, consideration should be given to the possibility of devising suitable INN for related substances, belonging to the new group.
4. In devising INN for acids, one-word names are preferred; their salts should be named without modifying the acid name, e.g. "oxacillin" and "oxacillin sodium", "ibufenac" and "ibufenac sodium".
5. INN for substances which are used as salts should in general apply to the active base or the active acid. Names for different salts or esters of the same active substance should differ only in respect of the name of the inactive acid or the inactive base.
For quaternary ammonium substances, the cation and anion should be named appropriately as separate components of a quaternary substance and not in the amine-salt style.
6. The use of an isolated letter or number should be avoided; hyphenated construction is also undesirable.
7. To facilitate the translation and pronunciation of INN, "f" should be used instead of "ph", "t" instead of "th", "e" instead of "ae" or "oe", and "i" instead of "y"; the use of the letters "h" and "k" should be avoided.
8. Provided that the names suggested are in accordance with these principles, names proposed by the person discovering or first developing and marketing a pharmaceutical preparation, or names already officially in use in any country, should receive preferential consideration.
9. Group relationship in INN (see General principle 2) should if possible be shown by using a common stem. The following list contains examples of stems for groups of substances, particularly for new groups. There are many other stems in active use.² Where a stem is shown without any hyphens it may be used anywhere in the name.

¹ In its Twentieth report (WHO Technical Report Series, No. 581, 1975), the WHO Expert committee on Nonproprietary Names for Pharmaceutical Substances reviewed the general principles for devising, and the procedures for selecting, INN in the light of developments in pharmaceutical compounds in recent years. The most significant change has been the extension to the naming of synthetic chemical substances of the practice previously used for substances originating in or derived from natural products. This practice involves the use of a characteristic "stem" indicative of a common property of the members of a group. The reason for, and the implications of, the change are fully discussed.

The guiding principles were updated during the 13th consultation on nonproprietary names for pharmaceutical substances (Geneva, 27-29 April 1983) (PHARM S/NOM 928 13 May 1983, revised 18 August 1983).

² A more extensive listing of stems is contained in the working document WHO/EMP/RHT/TSN/2018.1 which is regularly updated and can be requested from the INN Programme, WHO, Geneva.

Latin	English	
-acum	-ac	anti-inflammatory agents, ibufenac derivatives
-adolum	-adol }	analgesics
-adol-	-adol-}	
-astum	-ast	antiasthmatic, antiallergic substances not acting primarily as antihistaminics
-astinum	-astine	antihistaminics
-azepamum	-azepam	diazepam derivatives
bol	bol	steroids, anabolic
-cain-	-cain-	class I antiarrhythmics, procainamide and lidocaine derivatives
-cainum	-caine	local anaesthetics
cef-	cef-	antibiotics, cefalosporanic acid derivatives
-cillinum	-cillin	antibiotics, 6-aminopenicillanic acid derivatives
-conazolum	-conazole	systemic antifungal agents, miconazole derivatives
cort	cort	corticosteroids, except prednisolone derivatives
-coxibum	-coxib	selective cyclo-oxygenase inhibitors
-entanum	-entan	endothelin receptor antagonists
gab	gab	gabamimetic agents
gado-	gado-	diagnostic agents, gadolinium derivatives
-gatranum	-gatran	thrombin inhibitors, antithrombotic agents
gest	gest	steroids, progestogens
gli	gli	antihyperglycaemics
io-	io-	iodine-containing contrast media
-metacinum	-metacin	anti-inflammatory, indometacin derivatives
-mycinum	-mycin	antibiotics, produced by <i>Streptomyces</i> strains
-nidazolum	-nidazole	antiprotozoal substances, metronidazole derivatives
-ololum	-olol	β-adrenoreceptor antagonists
-oxacinum	-oxacin	antibacterial agents, nalidixic acid derivatives
-platinum	-platin	antineoplastic agents, platinum derivatives
-poetinum	-poetin	erythropoietin type blood factors
-pril(at)um	-pril(at)	angiotensin-converting enzyme inhibitors
-profenum	-profen	anti-inflammatory substances, ibuprofen derivatives
prost	prost	prostaglandins
-relinum	-relin	pituitary hormone release-stimulating peptides
-sartanum	-sartan	angiotensin II receptor antagonists, antihypertensive (non-peptidic)
-vaptanum	-vaptan	vasopressin receptor antagonists
vin-	vin- }	vinca-type alkaloids
-vin-	-vin-}	

ANNEXE 1

PROCEDURE A SUIVRE EN VUE DU CHOIX DE DENOMINATIONS COMMUNES INTERNATIONALES RECOMMANDÉES POUR LES SUBSTANCES PHARMACEUTIQUES¹

L'Organisation mondiale de la Santé (également désignée ci-après sous l'appellation « OMS ») observe la procédure exposée ci-dessous pour l'attribution de dénominations communes internationales recommandées pour les substances pharmaceutiques, conformément à la résolution WHA3.11 de l'Assemblée mondiale de la Santé, et pour le remplacement de telles dénominations.

Article 1 - Les propositions de dénominations communes internationales recommandées et les propositions de remplacement de telles dénominations sont soumises à l'OMS sur la formule prévue à cet effet. L'examen de telles propositions est soumis au paiement d'une taxe administrative destinée uniquement à couvrir les coûts correspondants assumés par le Secrétariat de l'OMS (« le Secrétariat »). Le montant de cette taxe est déterminé par le Secrétariat et peut être modifié de temps à autre.

¹ Voir annexe 1 dans OMS, Série de Rapports techniques, N° 581, 1975. Le texte original a été adopté par le Conseil exécutif dans sa résolution EB15.R7 et amendé dans ses résolutions EB43.R9 et EB115.R4.

Article 2 - Ces propositions sont soumises par le Secrétariat aux experts désignés à cette fin parmi les personnalités inscrites au Tableau d'experts de la Pharmacopée internationale et des Préparations pharmaceutiques, ci-après désignés sous l'appellation « le Groupe d'experts des DCI » ; elles sont examinées par les experts conformément aux « Directives générales pour la formation de dénominations communes internationales pour les substances pharmaceutiques » reproduites ci-après¹. La dénomination acceptée est la dénomination employée par la personne qui découvre ou qui, la première, fabrique et lance sur le marché une substance pharmaceutique, à moins que des raisons majeures n'obligent à s'écartier de cette règle.

Article 3 - Après l'examen prévu à l'article 2, le Secrétariat notifie qu'un projet de dénomination commune internationale est à l'étude.

a) Cette notification est faite par une insertion dans *WHO Drug Information*² et par l'envoi d'une lettre aux Etats Membres et aux commissions nationales et régionales de pharmacopée ou autres organismes désignés par les Etats Membres.

i) Notification est également faite à la personne qui a soumis la proposition (« le demandeur initial ») et à d'autres personnes portant à la dénomination mise à l'étude un intérêt notable.

b) Cette notification contient les indications suivantes :

i) dénomination mise à l'étude;

ii) nom de l'auteur de la proposition tendant à attribuer une dénomination à la substance, si cette personne le demande ;

iii) définition de la substance dont la dénomination est mise à l'étude ;

iv) délai pendant lequel seront reçues les observations et les objections à l'égard de cette dénomination ; nom et adresse de la personne habilitée à recevoir ces observations et objections ;

v) mention des pouvoirs en vertu desquels agit l'OMS et référence au présent règlement.

c) En envoyant cette notification, le Secrétariat demande aux Etats Membres de prendre les mesures nécessaires pour prévenir l'acquisition de droits de propriété sur la dénomination proposée pendant la période au cours de laquelle cette dénomination est mise à l'étude par l'OMS.

Article 4 - Des observations sur la dénomination proposée peuvent être adressées à l'OMS par toute personne, dans les quatre mois qui suivent la date de publication de la dénomination dans *WHO Drug Information* (voir l'article 3).

Article 5 - Toute personne intéressée peut formuler une objection formelle contre la dénomination proposée dans les quatre mois qui suivent la date de publication de la dénomination dans *WHO Drug Information* (voir l'article 3).

Cette objection doit s'accompagner des indications suivantes :

i) nom de l'auteur de l'objection ;

ii) intérêt qu'il ou elle porte à la dénomination en cause ;

iii) raisons motivant l'objection contre la dénomination proposée.

Article 6 - Lorsqu'une objection formelle est formulée en vertu de l'article 5, l'OMS peut soit soumettre la dénomination proposée à un nouvel examen, soit intervenir pour tenter d'obtenir le retrait de l'objection. Sans préjudice de l'examen par l'OMS d'une ou de plusieurs appellations de

¹ Voir annexe 2.

² Avant 1987, les listes de dénominations communes internationales étaient publiées dans la *Chronique de l'Organisation mondiale de la Santé*.

remplacement, l'OMS n'adopte pas d'appellation comme dénomination commune internationale recommandée tant qu'une objection formelle présentée conformément à l'article 5 n'est pas levée.

Article 7 - Lorsqu'il n'est formulé aucune objection en vertu de l'article 5, ou que toutes les objections présentées ont été levées, le Secrétariat fait une notification conformément aux dispositions du paragraphe a) de l'article 3, en indiquant que la dénomination a été choisie par l'OMS en tant que dénomination commune internationale recommandée.

Article 8 - En communiquant aux Etats Membres, conformément à l'article 7, une dénomination commune internationale recommandée, le Secrétariat :

- a) demande que cette dénomination soit reconnue comme dénomination commune de la substance considérée ; et
- b) demande aux Etats Membres de prendre les mesures nécessaires pour prévenir l'acquisition de droits de propriété sur cette dénomination et interdire le dépôt de cette dénomination comme marque ou appellation commerciale.

Article 9 -

a) Dans le cas exceptionnel où une dénomination commune internationale déjà recommandée donne lieu à des erreurs de médication, de prescription ou de distribution ou en comporte un risque démontrable, en raison d'une similitude avec une autre appellation dans la pratique pharmaceutique et/ou de prescription, et où il apparaît que ces erreurs ou ces risques d'erreur ne peuvent être facilement évités par d'autres interventions que le remplacement éventuel d'une dénomination commune internationale déjà recommandée, ou dans le cas où une dénomination commune internationale déjà recommandée diffère sensiblement de la dénomination commune approuvée dans un nombre important d'Etats Membres, ou dans d'autres circonstances exceptionnelles qui justifient le remplacement d'une dénomination commune internationale recommandée, toute personne intéressée peut formuler une proposition dans ce sens. Cette proposition est présentée sur la formule prévue à cet effet et doit s'accompagner des indications suivantes :

- i) nom de l'auteur de la proposition ;
- ii) intérêt qu'il ou elle porte au remplacement proposé ;
- iii) raisons motivant la proposition ; et
- iv) description, faits à l'appui, des autres interventions entreprises pour tenter de régler le problème et exposé des raisons pour lesquelles ces interventions ont échoué.

Les propositions peuvent comprendre une proposition de nouvelle dénomination commune internationale de remplacement, établie conformément aux Directives générales, compte tenu de la substance pharmaceutique pour laquelle la nouvelle dénomination commune internationale de remplacement est proposée.

Le Secrétariat transmet une copie de la proposition pour examen, conformément à la procédure exposée plus loin au paragraphe b), au Groupe d'experts des DCI et au demandeur initial ou à son successeur (s'il s'agit d'une personne différente de celle qui a formulé la proposition de remplacement et pour autant que le demandeur initial ou son successeur soit connu ou puisse être retrouvé moyennant des efforts diligents, notamment des contacts avec les associations industrielles).

De plus, le Secrétariat demande aux entités et personnes ci-après de formuler des observations sur la proposition :

- i) les Etats Membres et les commissions nationales et régionales de pharmacopée ou d'autres organismes désignés par les Etats Membres (en insérant une note à cet effet dans la lettre mentionnée à l'article 3.a), et
- ii) toutes autres personnes portant au remplacement proposé un intérêt notoire.

La demande d'observations contient les indications suivantes :

- i) dénomination commune internationale recommandée pour laquelle un remplacement est proposé (et la dénomination de remplacement proposée, si elle est fournie) ;
- ii) nom de l'auteur de la proposition de remplacement (si cette personne le demande) ;
- iii) définition de la substance faisant l'objet du remplacement proposé et raisons avancées pour le remplacement ;
- iv) délai pendant lequel seront reçus les commentaires et nom et adresse de la personne habilitée à recevoir ces commentaires ; et
- v) mention des pouvoirs en vertu desquels agit l'OMS et référence au présent règlement.

Des observations sur la proposition de remplacement peuvent être communiquées par toute personne à l'OMS dans les quatre mois qui suivent la date de la demande d'observations.

b) Une fois échu le délai prévu ci-dessus pour la communication d'observations, le Secrétariat transmet les observations reçues au Groupe d'experts des DCI, au demandeur initial ou à son successeur et à l'auteur de la proposition de remplacement. Si, après avoir examiné la proposition de remplacement et les observations reçues, le Groupe d'experts des DCI, l'auteur de la proposition de remplacement et le demandeur initial ou son successeur reconnaissent tous qu'il est nécessaire de remplacer la dénomination commune internationale déjà recommandée, le Secrétariat soumet la proposition de remplacement au Groupe d'experts des DCI pour qu'il y donne suite.

Nonobstant ce qui précède, le demandeur initial ou son successeur n'est pas habilité à refuser son accord à une proposition de remplacement au cas où il ne peut être démontré qu'il porte un intérêt durable à la dénomination commune internationale recommandée qu'il est proposé de remplacer.

Dans le cas où une proposition de remplacement est soumise au Groupe d'experts des DCI pour qu'il y donne suite, le Groupe choisit une nouvelle dénomination commune internationale conformément aux Directives générales mentionnées à l'article 2 et selon la procédure décrite dans les articles 3 à 8 inclus. La notification faite par le Secrétariat en vertu de l'article 3 et de l'article 7, respectivement, y compris au demandeur initial ou à son successeur (si ce n'est pas la même personne que celle qui a proposé le remplacement et pour autant que le demandeur initial ou son successeur soit connu ou puisse être retrouvé moyennant des efforts diligents, notamment des contacts avec les associations industrielles), doit dans un tel cas indiquer que la nouvelle dénomination remplace une dénomination commune internationale déjà recommandée et que les Etats Membres peuvent souhaiter prendre des mesures transitoires pour les produits existants qui utilisent la dénomination commune internationale déjà recommandée sur leur étiquette conformément à la législation nationale.

Si, après examen de la proposition de remplacement et des observations communiquées conformément à la procédure exposée plus haut, le Groupe d'experts des DCI, le demandeur initial ou son successeur et l'auteur de la proposition de remplacement ne s'accordent pas sur le fait qu'il y a des raisons impératives de remplacer une dénomination commune internationale déjà recommandée, cette dernière est conservée (étant entendu toujours que le demandeur initial ou son successeur n'est pas habilité à refuser son accord à une proposition de remplacement au cas où il ne peut être démontré qu'il porte un intérêt durable à la dénomination commune internationale recommandée qu'il est proposé de remplacer). Dans un tel cas, le Secrétariat informe l'auteur de la proposition de remplacement, ainsi que le demandeur initial ou son successeur (s'il s'agit d'une personne différente de celle qui a formulé la proposition de remplacement et pour autant que le demandeur initial ou son successeur soit connu ou puisse être retrouvé moyennant des efforts diligents, notamment des contacts avec les associations industrielles), les Etats Membres, les commissions nationales et régionales de pharmacopée, les autres organismes désignés par les Etats Membres et toutes autres personnes portant un intérêt notoire au remplacement proposé que, malgré une proposition de remplacement, il a été décidé de conserver la dénomination commune internationale déjà recommandée (avec une brève description de la ou des raisons pour lesquelles la proposition de remplacement n'a pas été jugée suffisamment impérative).

ANNEXE 2

**DIRECTIVES GENERALES POUR LA FORMATION DE
DENOMINATIONS COMMUNES INTERNATIONALES APPLICABLES
AUX SUBSTANCES PHARMACEUTIQUES¹**

1. Les dénominations communes internationales (DCI) devront se distinguer les unes des autres par leur consonance et leur orthographe. Elles ne devront pas être d'une longueur excessive, ni prêter à confusion avec des appellations déjà couramment employées.

2. La DCI de chaque substance devra, si possible, indiquer sa parenté pharmacologique. Les dénominations susceptibles d'évoquer pour les malades des considérations anatomiques, physiologiques, pathologiques ou thérapeutiques devront être évitées dans la mesure du possible.

Outre ces deux principes fondamentaux, on respectera les principes secondaires suivants :

3. Lorsqu'on formera la DCI de la première substance d'un nouveau groupe pharmacologique, on tiendra compte de la possibilité de former ultérieurement d'autres DCI appropriées pour les substances apparentées du même groupe.

4. Pour former des DCI des acides, on utilisera de préférence un seul mot. Leurs sels devront être désignés par un terme qui ne modifie pas le nom de l'acide d'origine : par exemple «oxacilline» et «oxacilline sodique», «ibufénac» et «ibufénac sodique».

5. Les DCI pour les substances utilisées sous forme de sels devront en général s'appliquer à la base active (ou à l'acide actif). Les dénominations pour différents sels ou esters d'une même substance active ne différeront que par le nom de l'acide inactif (ou de la base inactive). En ce qui concerne les substances à base d'ammonium quaternaire, la dénomination s'appliquera de façon appropriée au cation et à l'anion en tant qu'éléments distincts d'une substance quaternaire. On évitera de choisir une désignation évoquant un sel aminé.

6. On évitera d'ajouter une lettre ou un chiffre isolé ; en outre, on renoncera de préférence au trait d'union.

7. Pour simplifier la traduction et la prononciation des DCI, la lettre « f » sera utilisée à la place de « ph », « t » à la place de « th », « e » à la place de « ae » ou « oe », et « i » à la place de « y » ; l'usage des lettres « h » et « k » sera aussi évité.

8. On retiendra de préférence, pour autant qu'elles respectent les principes énoncés ici, les dénominations proposées par les personnes qui ont découvert ou qui, les premières, ont fabriqué et lancé sur le marché les préparations pharmaceutiques considérées, ou les dénominations déjà officiellement adoptées par un pays.

9. La parenté entre substances d'un même groupe (voir Directive générale 2) sera si possible indiquée dans les DCI par l'emploi de segments-clés communs. La liste ci-après contient des exemples de segments-clés pour des groupes de substances, surtout pour des groupes récents. Il y a beaucoup d'autres segments-clés en utilisation active.² Les segments-clés indiqués sans trait d'union pourront être insérés n'importe où dans une dénomination.

¹ Dans son vingtième rapport (OMS, Série de Rapports techniques, N° 581, 1975), le Comité OMS d'experts des Dénominations communes pour les Substances pharmaceutiques a examiné les directives générales pour la formation des dénominations communes internationales et la procédure à suivre en vue de leur choix, compte tenu de l'évolution du secteur pharmaceutique au cours des dernières années. La modification la plus importante a été l'extension aux substances de synthèse de la pratique normalement suivie pour désigner les substances tirées ou dérivées de produits naturels. Cette pratique consiste à employer des syllabes communes ou groupes de syllabes communes (segments-clés) qui sont caractéristiques et indiquent une propriété commune aux membres du groupe des substances pour lequel ces segments-clés ont été retenus. Les raisons et les conséquences de cette modification ont fait l'objet de discussions approfondies.

Les directives ont été mises à jour lors de la treizième consultation sur les dénominations communes pour les substances pharmaceutiques (Genève, 27-29 avril 1983) (PHARM S/NOM 928, 13 mai 1983, révision en date du 18 août 1983).

² Une liste plus complète de segments-clés est contenue dans le document de travail WHO/EMP/RHT/TSN/2018.1 qui est régulièrement mis à jour et qui peut être demandé auprès du programme des DCI, OMS, Genève

Latin	Français	
-acum	-ac	substances anti-inflammatoires du groupe de l'ibufénac
-adolum	-adol	
-adol-	-adol-	
-astum	-ast	antiasthmatiques, antiallergiques n'agissant pas principalement en tant qu'antihistaminiques
-astinum	-astine	antihistaminiques
-azepamum	-azépam	substances du groupe du diazépam
bol	bol	stéroïdes anabolisants
-cain-	-caïn-	antiarythmiques de classe I, dérivés du procaïnamide et de la lidocaïne
-cainum	-caïne	anesthésiques locaux
cef-	céf-	antibiotiques, dérivés de l'acide céphalosporanique
-cillinum	-cilline	antibiotiques, dérivés de l'acide 6-aminopénicillanique
-conazolum	-conazole	agents antifongiques systémiques du groupe du miconazole
cort	cort	corticostéroïdes, autres que les dérivés de la prednisolone
-coxibum	-coxib	inhibiteurs sélectifs de la cyclo-oxygénase
-entanum	-entan	antagonistes du récepteur de l'endothéline
gab	gab	gabamimétiques
gado-	gado-	agents diagnostiques, dérivés du gadolinium
-gatranum	-gatran	antithrombines, antithrombotiques
gest	gest	stéroïdes progestogènes
gli	gli	antihyperglycémiants
io-	io-	produits de contraste iodés
-metacinum	-métacine	substances anti-inflammatoires du groupe de l'indométabine
-mycinum	-mycine	antibiotiques produits par des souches de <i>Streptomyces</i>
-nidazolum	-nidazole	substances antiprotozoaires du groupe du métronidazole
-ololum	-olol	antagonistes des récepteurs β-adrénergiques
-oxacinum	-oxacine	substances antibactériennes du groupe de l'acide nalidixique
-platinum	-platine	antineoplasiques, dérivés du platine
-poetinum	-poétique	facteurs sanguins de type érythropoïétine
-pril(at)um	-pril(ate)	inhibiteurs de l'enzyme de conversion de l'angiotensine
-profenum	-profène	substances anti-inflammatoires du groupe de l'ibuprofène
prost	prost	prostaglandines
-relinum	-réline	peptides stimulant la libération d'hormones hypophysaires
-sartanum	-sartan	antagonistes d'un récepteur de l'angiotensine II, antihypertenseurs (non peptidiques)
-vaptanum	-vaptan	antagonistes du récepteur de la vasopressine
vin-	vin-	alcaloïdes du type vinca
-vin-	-vin-	

ANEXO 1

PROCEDIMIENTO DE SELECCIÓN DE DENOMINACIONES COMUNES INTERNACIONALES RECOMENDADAS PARA SUSTANCIAS FARMACÉUTICAS¹

La Organización Mundial de la Salud (OMS) seguirá el procedimiento que se expone a continuación tanto para seleccionar denominaciones comunes internacionales recomendadas para las sustancias farmacéuticas, de conformidad con lo dispuesto en la resolución WHA3.11, como para sustituir esas denominaciones.

Artículo 1 - Las propuestas de denominaciones comunes internacionales recomendadas y las propuestas de sustitución de esas denominaciones se presentarán a la OMS en los formularios que se proporcionen a estos efectos. El estudio de estas propuestas estará sujeto al pago de una tasa destinada a sufragar los costos de administración que ello suponga para la Secretaría de la OMS («la Secretaría»). La Secretaría establecerá la cuantía de esa tasa y podrá ajustarla periódicamente.

Artículo 2 - Estas propuestas serán sometidas por la Secretaría a los miembros del Cuadro de Expertos en Farmacopea Internacional y Preparaciones Farmacéuticas encargados de su estudio, en adelante designados como «el Grupo de Expertos en DCI», para que las examinen de conformidad con los «Principios generales de orientación para formar denominaciones comunes internacionales para sustancias farmacéuticas», anexos a este procedimiento.² A menos que haya poderosas razones en contra, la denominación aceptada será la empleada por la persona que haya descubierto o fabricado y comercializado por primera vez esa sustancia farmacéutica.

Artículo 3 - Tras el examen al que se refiere el artículo 2, la Secretaría notificará que está en estudio un proyecto de denominación internacional.

a) Esa notificación se hará mediante una publicación en *Información Farmacéutica OMS*³ y el envío de una carta a los Estados Miembros y a las comisiones nacionales y regionales de las farmacopeas u otros organismos designados por los Estados Miembros.

i) La notificación será enviada también a la persona que haya presentado la propuesta («el solicitante inicial») y a otras personas que tengan un interés especial en una denominación objeto de estudio.

b) En esa notificación se incluirán los siguientes datos:

i) la denominación sometida a estudio;

ii) la identidad de la persona que ha presentado la propuesta de denominación de la sustancia, si lo pide esa persona;

iii) la identidad de la sustancia cuya denominación está en estudio;

iv) el plazo fijado para recibir observaciones y objeciones, así como el nombre y la dirección de la persona a quien deban dirigirse; y

v) los poderes conferidos para el caso a la OMS y una referencia al presente procedimiento.

¹ Véase el anexo 1 en OMS, Serie de Informes Técnicos, N° 581, 1975. El texto vigente fue adoptado por el Consejo Ejecutivo en su resolución EB15.R7 y modificado en las resoluciones EB43.R9 y EB115.R4..

² Véase el anexo 2.

³ Hasta 1987 las listas de DCI se publicaban en la *Crónica de la Organización Mundial de la Salud*.

c) Al enviar esa notificación, la Secretaría solicitará de los Estados Miembros la adopción de todas las medidas necesarias para impedir la adquisición de derechos de patente sobre la denominación propuesta, durante el periodo en que la OMS la tenga en estudio.

Artículo 4 - Toda persona puede formular a la OMS observaciones sobre la denominación propuesta dentro de los cuatro meses siguientes a su publicación en *Información Farmacéutica OMS*, conforme a lo dispuesto en el artículo 3.

Artículo 5 - Toda persona interesada puede presentar una objeción formal a una denominación propuesta dentro de los cuatro meses siguientes a su publicación en *Información Farmacéutica OMS*, conforme a lo dispuesto en el artículo 3.

Esa objeción deberá acompañarse de los siguientes datos:

- i) la identidad de la persona que formula la objeción;
- ii) las causas que motivan su interés por la denominación; y
- iii) las causas que motivan su objeción a la denominación propuesta.

Artículo 6 - Cuando se haya presentado una objeción formal en la forma prevista en el artículo 5, la OMS podrá reconsiderar el nombre propuesto o utilizar sus buenos oficios para intentar lograr que se retire la objeción. La OMS no seleccionará como denominación común internacional una denominación a la que se haya hecho una objeción formal, presentada según lo previsto en el artículo 5, que no haya sido retirada, todo ello sin perjuicio de que la Organización examine otra denominación o denominaciones sustitutivas.

Artículo 7 - Cuando no se haya formulado ninguna objeción en la forma prevista en el artículo 5, o cuando todas las objeciones presentadas hayan sido retiradas, la Secretaría notificará, conforme a lo dispuesto en el párrafo a) del artículo 3, que la denominación ha sido seleccionada por la OMS como denominación común internacional recomendada.

Artículo 8 - Al comunicar a los Estados Miembros una denominación común internacional, conforme a lo previsto en el artículo 7, la Secretaría:

- a) solicitará que esta denominación sea reconocida como denominación común para la sustancia de que se trate; y
- b) solicitará a los Estados Miembros que adopten todas las medidas necesarias para impedir la adquisición de derechos de patente sobre la denominación, y prohíban que sea registrada como marca de fábrica o como nombre comercial.

Artículo 9

a) En el caso excepcional de que, debido a su semejanza con otra denominación utilizada en las prácticas farmacéuticas y/o de prescripción, una denominación común internacional recomendada anteriormente ocasione errores de medicación, prescripción o distribución, o suponga un riesgo manifiesto de que esto ocurra, y parezca que tales errores o potenciales errores no sean fácilmente subsanables con otras medidas que no sean la posible sustitución de esa denominación común internacional recomendada anteriormente; en el caso de que una denominación común internacional recomendada anteriormente difiera considerablemente de la denominación común aprobada en un número importante de Estados Miembros, o en otras circunstancias excepcionales que justifiquen el cambio de una denominación común internacional recomendada, cualquier persona interesada puede presentar propuestas en este sentido. Esas propuestas se presentarán en los formularios que se proporcionen a estos efectos e incluirán los siguientes datos:

- i) la identidad de la persona que presenta la propuesta;
- ii) las causas que motivan su interés en la sustitución propuesta;
- iii) las causas que motivan la propuesta; y

iv) una descripción, acompañada de pruebas documentales, de las otras medidas que se hayan adoptado con el fin de resolver la situación y de los motivos por los cuales dichas medidas no han sido suficientes.

Entre esas propuestas podrá figurar una relativa a una nueva denominación común internacional sustitutiva, formulada con arreglo a los Principios generales y que tenga en cuenta la sustancia farmacéutica para la que se proponga la nueva denominación común internacional sustitutiva.

La Secretaría enviará al Grupo de Expertos en DCI y al solicitante inicial o a su sucesor (en el caso de que sea una persona diferente de la que ha presentado la propuesta de sustitución y siempre que el solicitante inicial o su sucesor sean conocidos o puedan ser encontrados mediante esfuerzos diligentes, como el contacto con las asociaciones industriales) una copia de la propuesta, para que sea examinada de conformidad con el procedimiento descrito en el párrafo b) *infra*.

Además, la Secretaría solicitará observaciones sobre la propuesta:

i) a los Estados Miembros y a las comisiones nacionales y regionales de las farmacopeas u otros organismos designados por los Estados Miembros (ello se hará incluyendo una notificación a tal efecto en la carta a la que se refiere el párrafo a) del artículo 3), y

ii) a cualquier persona que tenga un interés especial en la sustitución propuesta.

Al solicitar que se formulen estas observaciones se facilitarán los siguientes datos:

i) la denominación común internacional recomendada que se propone sustituir (y la denominación sustitutiva propuesta, si se ha facilitado);

ii) la identidad de la persona que ha presentado la propuesta de sustitución (si lo pide esa persona);

iii) la identidad de la sustancia a la que se refiere la sustitución propuesta y las razones para presentar la propuesta de sustitución;

iv) el plazo fijado para recibir observaciones, así como el nombre y la dirección de la persona a quien deban dirigirse; y

v) los poderes conferidos para el caso a la OMS y una referencia al presente procedimiento.

Toda persona puede formular a la OMS observaciones sobre la sustitución propuesta dentro de los cuatro meses siguientes a la fecha en que se realizó la solicitud de observaciones.

b) Una vez agotado el mencionado plazo para la formulación de observaciones, la Secretaría enviará todos los comentarios recibidos al Grupo de Expertos en DCI, al solicitante inicial o a su sucesor, y a la persona que haya presentado la propuesta de sustitución. Si después de examinar la propuesta de sustitución y las observaciones recibidas, el Grupo de Expertos en DCI, la persona que haya presentado la propuesta de sustitución y el solicitante inicial, o su sucesor, están de acuerdo en la necesidad de sustituir la denominación común internacional recomendada anteriormente, la Secretaría remitirá la propuesta de sustitución al Grupo de Expertos en DCI para que la tramite.

No obstante lo anterior, el solicitante inicial o su sucesor no tendrán derecho a impedir el acuerdo sobre una propuesta de sustitución en el caso de que hayan dejado de tener un interés demostrable en la denominación común internacional cuya sustitución se propone.

En caso de que la propuesta de sustitución sea presentada al Grupo de Expertos en DCI para que la tramite, este grupo seleccionará una nueva denominación común internacional de conformidad con los Principios generales a los que se refiere el artículo 2 y al procedimiento establecido en los artículos 3 a 8 inclusive. En ese caso, en las notificaciones que la Secretaría ha de enviar con arreglo a los artículos 3 y 7, respectivamente, incluida la notificación al solicitante

inicial o a su sucesor (en el caso de que no sea la misma persona que propuso la sustitución y siempre que el solicitante inicial o su sucesor sean conocidos o puedan ser encontrados mediante esfuerzos diligentes, como el contacto con las asociaciones industriales), se indicará que la nueva denominación sustituye a una denominación común internacional recomendada anteriormente y que los Estados Miembros podrán, si lo estiman oportuno, adoptar disposiciones transitorias aplicables a los productos existentes en cuya etiqueta se utilice, con arreglo a la legislación nacional, la denominación común internacional recomendada anteriormente que se haya sustituido.

En caso de que, después de haber estudiado la propuesta de sustitución y los comentarios recibidos de conformidad con el procedimiento descrito anteriormente, el Grupo de Expertos en DCI, el solicitante inicial o su sucesor y la persona que haya presentado la propuesta de sustitución no lleguen a un acuerdo sobre la existencia de razones poderosas para sustituir una denominación común internacional recomendada anteriormente, esta denominación se mantendrá (siempre en el entendimiento de que el solicitante inicial o su sucesor no tendrán derecho a impedir el acuerdo sobre una propuesta de sustitución en el caso de que hayan dejado de tener un interés demostrable en la denominación común internacional cuya sustitución se propone). En ese caso, la Secretaría comunicará a la persona que haya propuesto la sustitución, así como al solicitante inicial o a su sucesor (en el caso de que no sea la misma persona que propuso la sustitución y siempre que el solicitante inicial o su sucesor sean conocidos o puedan ser encontrados mediante esfuerzos diligentes, como el contacto con las asociaciones industriales), a los Estados Miembros, a las comisiones nacionales y regionales de las farmacopeas o a otros organismos designados por los Estados Miembros y a cualquier otra persona que tenga interés en la sustitución propuesta, que, pese a la presentación de una propuesta de sustitución, se ha decidido mantener la denominación común internacional recomendada anteriormente (con una descripción de la o las razones por las que se ha considerado que la propuesta de sustitución no estaba respaldada por razones suficientemente poderosas).

ANEXO 2

PRINCIPIOS GENERALES DE ORIENTACIÓN PARA FORMAR DENOMINACIONES COMUNES INTERNACIONALES PARA SUSTANCIAS FARMACÉUTICAS¹

1. Las denominaciones comunes internacionales (DCI) deberán diferenciarse tanto fonéticamente como ortográficamente. No deberán ser incómodamente largas, ni dar lugar a confusión con denominaciones de uso común.
2. La DCI de una sustancia que pertenezca a un grupo de sustancias farmacológicamente emparentadas deberá mostrar apropiadamente este parentesco. Deberán evitarse las denominaciones que puedan tener connotaciones anatómicas, fisiológicas, patológicas o terapéuticas para el paciente.

Estos principios primarios se pondrán en práctica utilizando los siguientes principios secundarios:

3. Al idear la DCI de la primera sustancia de un nuevo grupo farmacológico, deberá tenerse en cuenta la posibilidad de poder formar DCI convenientes para las sustancias emparentadas que se agreguen al nuevo grupo.
4. Al idear DCI para ácidos, se preferirán las de una sola palabra; sus sales deberán denominarse sin modificar el nombre del ácido: p. ej. «oxacilina» y «oxacilina sódica», «ibufenaco» y «ibufenaco sódico».

¹ En su 20º informe (OMS, Serie de Informes Técnicos, Nº 581, 1975), el Comité de Expertos de la OMS en Denominaciones Comunes para las Sustancias Farmacéuticas revisó los Principios generales para formar denominaciones comunes internacionales (DCI), y su procedimiento de selección, a la luz de las novedades registradas en los últimos años en materia de compuestos farmacéuticos. El cambio más importante había consistido en hacer extensivo a la denominación de sustancias químicas sintéticas el método utilizado hasta entonces para las sustancias originadas en productos naturales o derivadas de éstos. Dicho método conlleva la utilización de una «partícula» característica que indica una propiedad común a los miembros de un grupo. En el citado informe se examinan en detalle las razones y consecuencias de este cambio.

Los Principios generales de orientación se actualizaron durante la 13ª consulta sobre denominaciones comunes para sustancias farmacéuticas (Ginebra, 27 a 29 de abril de 1983) (PHARM S/NOM 928, 13 de mayo de 1983, revisado el 18 de agosto de 1983).

5. Las DCI para las sustancias que se usan en forma de sal deberán en general aplicarse a la base activa o al ácido activo. Las denominaciones para diferentes sales o esteres de la misma sustancia activa solamente deberán diferir en el nombre del ácido o de la base inactivos.

En los compuestos de amonio cuaternario, el catión y el anión deberán denominarse adecuadamente por separado, como componentes independientes de una sustancia cuaternaria y no como sales de una amina.

6. Deberá evitarse el empleo de letras o números aislados; también es indeseable el empleo de guiones.

7. Para facilitar la traducción y la pronunciación, se emplearán de preferencia las letras «f» en lugar de «ph», «t» en lugar de «th», «e» en lugar de «ae» u «oe», e «í» en lugar de «y»; se deberá evitar el empleo de las letras «h» y «k».

8. Siempre que las denominaciones propuestas estén de acuerdo con estos principios, recibirán una consideración preferente las denominaciones propuestas por la persona que haya descubierto las sustancias, o que fabrique y comercialice por primera vez una sustancia farmacéutica, así como las denominaciones ya adoptadas oficialmente en cualquier país.

9. El parentesco entre sustancias del mismo grupo se pondrá de manifiesto en las DCI (véase el Principio 2) utilizando una partícula común. En la lista que figura a continuación se indican ejemplos de partículas para grupos de sustancias, en particular para grupos nuevos. Existen muchas otras partículas que se usan habitualmente.¹ Cuando una partícula aparece sin guion alguno, puede utilizarse en cualquier lugar de la palabra.

Latin	Español	
-acum	-aco	antiinflamatorios derivados del ibufenaco
-adolum	-adol)	analgésicos
-adol-	-adol-)	
-astum	-ast	antiasmáticos, sustancias antialérgicas cuya acción principal no es la antihistamínica
-astinum	-astina	antihistamínicos
-azepamum	-azepam	derivados del diazepam
bol	bol	esteroides anabolizantes
-cain-	-caína-	antiarrítmicos de clase I, derivados de procainamida y lidocaína
-cainum	-caína-	anestésicos locales
cef-	cef-	antibióticos, derivados del ácido cefalosporánico
-cillinum	-ciliña	antibióticos derivados del ácido 6-aminopenicilánico
-conazolum	-conazol	antifúngicos sistémicos derivados del miconazol
cort	cort	corticosteroides, excepto derivados de prednisolona
-coxibum	-coxib	inhibidores selectivos de ciclooxigenasa
-entanum	-entán	antagonistas del receptor de endotelina
gab	gab	gabamiméticos
gado-	gado-	agentes para diagnóstico derivados de gadolinio
-gartranum	-gatrán	inhibidores de la trombina antitrombóticos
gest	gest	esteroides progestágenos
gli	gli	hipoglucemiantes,antihiperglucémicos
io-	io-	medios de contraste iodados
-metacinum	-metacina	antiinflamatorios derivados de indometacina
-mycinum	-micina	antibióticos producidos por cepas de <i>Streptomyces</i>
-nidazolum	-nidazol	antiprotzoarios derivados de metronidazol
-ololum	-olol	antagonistas de receptores β-adrenérgicos

¹ En el documento de trabajo WHO/EMP/RHT/TSN/2018.1, que se actualiza periódicamente y puede solicitarse al Programa sobre Denominaciones Comunes Internacionales, OMS, Ginebra, figura una lista más amplia de partículas.

-oxacinum	<i>-oxacino</i>	antibacterianos derivados del ácido nalidíxico
-platinum	<i>-platino</i>	antineoplásicos derivados del platino
-poetinum	<i>-poetina</i>	factores sanguíneos similares a la eritropoyetina
-pril(at)um	<i>-pril(at)</i>	inhibidores de la enzima conversora de la angiotensina
-profenum	<i>-profeno</i>	antiinflamatorios derivados del ibuprofeno
<i>prost</i>	<i>prost</i>	prostaglandinas
-relinum	<i>-relina</i>	péptidos estimulantes de la liberación de hormonas hipofisarias
-sartanum	<i>-sartán</i>	antihipertensivos (no peptídicos) antagonistas del receptor de angiotensina II
-vaptanum	<i>-vaptán</i>	antagonistas del receptor de vasopresina
<i>vin-</i>	<i>vin-</i>)	alcaloides de la vinca
<i>-vin-</i>	<i>-vin-</i>)	